

Szittyá Ottó

# Digitális és Analóg Technika

Informatikusoknak

II.



Oktatóközpont



**Dr. Szittyá Ottó**

**DIGITÁLIS ÉS ANALÓG  
TECHNIKA**

**INFORMATIKUSOKNAK**

**II. kötet**

Nyitott rendszerű képzés  
– távoktatás – oktatási segédlete  
Felsőoktatási tankönyv



**Gábor Dénes Főiskola**

Budapest, 2001

## Készült az Oktatási Minisztérium támogatásával

Lektorálta: **Dr. Kóczy T. László**  
a műszaki tudományok doktora  
egyetemi tanár

**Dr. Flesch István**  
egyetemi adjunktus

**Dr. Adamis Gusztáv**  
egyetemi adjunktus

ISBN 963 577 261 0 ö  
ISBN 963 577 263 7 II.

Kiadó: **LSI Oktatóközpont**  
Felelős vezető: **Dr. Kovács Magda**  
Témafelelős: **Flier István**  
Tördelés: **HEXACO GNH Kft.**

LIGATURA KFT – TEXT KFT

A könyv megrendelhető vagy megvásárolható:  
LSI Oktatóközpont, 1037 Budapest, Bécsi út 324.  
Tel./fax: 250-60-13

---

# TARTALOMJEGYZÉK

<b>9. KÜLÖNLEGES DIGITÁLIS HÁLÓZATOK</b> . . . . .	569
9.1. Szimmetrikus-, pozicionális- és híd-hálózatok . . . . .	569
9.1.1. Szimmetrikus függvények és hálózatok . . . . .	569
9.1.2. Pozicionális hálózatok . . . . .	577
9.1.3. Híd-struktúrák . . . . .	578
9.2. Küszöb-logikás hálózatok . . . . .	581
9.2.1. Küszöb-elem, küszöbfüggvény . . . . .	581
9.2.2. Egyszerű és összetett küszöbfüggvények . . . . .	584
9.2.3. Geometriai ábrázolás és lineáris szeparálhatóság . . . . .	585
9.2.4. Identifikációs algoritmus . . . . .	587
9.2.5. Összetett küszöbfüggvények szintézise . . . . .	591
9.2.6. Összefoglalás . . . . .	594
9.3. Majoritás és minoritás-logikák . . . . .	596
9.4. Többértékű logikák . . . . .	597
9.4.1. A POST függvény fogalma és a vele kapcsolatos műveletek . . . . .	597
9.4.2. Többértékű függvények minimalizálása . . . . .	605
9.4.3. Megjegyzések, realizációs kérdések . . . . .	610
9.5. Fuzzy-logikák . . . . .	612
9.5.1. Fuzzy-halmazok és műveletek . . . . .	615
9.5.2. Fuzzy relációk . . . . .	622
9.5.3. FUZZY flip-flopok elvi működése és realizációja . . . . .	632
9.5.4. Fuzzy logikák irányítástechnikai alkalmazása . . . . .	641
9.E. Ellenőrző kérdések . . . . .	647
<b>10. FUNKCIONÁLIS EGYSÉGEK</b> . . . . .	651
10.1. Regiszterek . . . . .	651
10.2. Kódolás, kódátalakítók . . . . .	654
10.2.1. Információelméleti alapfogalmak . . . . .	654
10.2.2. Kódolási alapok . . . . .	657
10.2.3. Alkalmazott kódrendszerek . . . . .	661
10.2.4. Kódátalakítók . . . . .	667
10.3. Demultiplexerek . . . . .	673
10.3.1. Adatelosztás . . . . .	674

10.3.2.	Kódátalakítás	674
10.3.3.	Demultiplexerek összekapcsolása	677
10.4.	Multiplexerek	677
10.4.1.	Adatkiválasztás	678
10.4.2.	Logikai feladatmegoldás	678
10.4.3.	Multiplexerek összekapcsolása	680
10.5.	Számlálók	682
10.5.1.	Aszinkron előreszámlálók	683
10.5.2.	Szinkron előreszámlálók	684
10.5.3.	„Hátra”-számlálók	687
10.5.4.	Reverzibilis számlálók	689
10.5.5.	Számlálók kialakítása adott feladatra	691
10.5.6.	Számlálókkal felépített frekvencia-osztók	695
10.6.	Aritmetikai műveletvégzők	698
10.6.1.	Számábrázolás	698
10.6.2.	Bináris összeadók és kivonók	709
10.6.3.	BCD számábrázolás és összeadás	718
10.6.4.	Bináris szorzás	721
10.6.5.	BCD szorzás	732
10.6.6.	Bináris osztás	734
10.6.7.	Műveletek lebegőpontos bináris számokkal	746
10.7.	Digitális komparátorok, összehasonlító	751
10.7.1.	Elvi működés	751
10.7.2.	Soros elven működő komparátorok	753
10.7.3.	Párhuzamos elven működő komparátorok	755
10.7.4.	Komparátorok összekapcsolása	756
10.8.	Memóriák	759
10.8.1.	Elvi működés, főbb jellemzők, csoportosítás	759
10.8.2.	Memória-cellák felépítése és működése	762
10.8.3.	Memória-egységek felépítése	766
10.8.4.	Memóriák szervezése	768
10.8.5.	Aszociatív memóriák	774
10.8.6.	Memóriák összekapcsolása	777
10.9.	Digitál-Analóg átalakítók	779
10.9.1.	Elvi működés, általános blokkvázlat	779
10.9.2.	Kapcsoló- és ellenálláshálózatok	781
10.9.3.	Jellegzetes megvalósítási esetek	782
10.9.4.	Alkalmazások	785
10.10.	Analóg-Digitál átalakítók	786
10.10.1.	Elvi működés, mintavételezés	787
10.10.2.	A/D átalakítók alaptípusai	789

10.10.3. Jellegzetes megvalósítási esetek ·····	790
10.10.4. Egy összetett alkalmazási példa ·····	795
10.E. Ellenőrző kérdések és feladatok ·····	796
<b>11. SZOFTVER ÉS HARDVER VEGYES ALKALMAZÁSÁN ALAPULÓ DIGITÁLIS RENDSZEREK ·····</b>	<b>801</b>
11.1. Általános megfontolások ·····	801
11.2. A rendszer hardver összetevői ·····	803
11.2.1. CPU–Central Processing Unit (Központi feladat- megoldó egység) ·····	803
11.2.2. MEMORIA-egység ·····	807
11.2.3. IO – INPUT–OUTPUT egységek ·····	808
11.3. A rendszer szoftver összetevői ·····	809
11.3.1. Program és utasítások ·····	809
11.3.2. Az utasításvégrehajtás hardver lépései és az utasításkészlet ·····	810
11.4. A CPU és az IO-egységek kapcsolata ·····	823
11.4.1. IO-egységek címzése ·····	823
11.4.2. Az INTERRUPT. Program-megszakítás ·····	824
11.4.3. IO INTERFÉSZ feladatok ·····	828
11.5. A MEMORIA és az IO-egységek kapcsolata ·····	832
11.5.1. Kapcsolat a CPU közreműködésével ·····	832
11.5.2. Közvetlen MEM–IO-kapcsolat ·····	833
11.6. Egy professzionális, univerzális, digitális berendezés szemléltető bemutatása ·····	836
11.6.1. A HW felépítése ·····	837
11.6.2. Az utasításkészlet ·····	839
11.6.3. Szemléltető feladatok ·····	843
11.E. Ellenőrző kérdések ·····	850
<b>12. GYAKORLÓ FELADATOK ÉS MEGOLDÁSAIK ·····</b>	<b>851</b>
12.1.1. · Gyakorló feladatok az 1. „Villamosságtani alapok” c. fejezethez ·····	851
12.1.2. · Feladatmegoldások az 1. fejezethez ·····	853
12.2.1. · Gyakorló feladatok a 2. „Logikai rendszerleírás alapjai” c. fejezethez ·····	863
12.2.2. · Feladatmegoldások a 2. fejezethez ·····	866
12.3.1. · Gyakorló feladatok a 3. „Elektronikus áramkörök építőelemei” c. fejezethez ·····	873
12.3.2. · Feladatmegoldások a 3. fejezethez ·····	875

12.4.1.	· Gyakorló feladatok a 4. „Jellegzetes elektronikus áramkörök” c. fejezethez	· · · · ·	883
12.4.2.	· Feladatmegoldások a 4. fejezethez	· · · · ·	888
12.5.1.	· Gyakorló feladatok az 5. „Digitális áramkörök” c. fejezethez	· ·	904
12.5.2.	· Feladatmegoldások az 5. fejezethez	· · · · ·	905
12.6.1.	· Gyakorló feladatok a 6. „Digitális hálózatok” c. fejezethez	· · ·	910
12.6.2.	· Feladatmegoldások a 6. fejezethez	· · · · ·	915
12.7.1.	· Gyakorló feladatok a 7. „Kombinációs hálózatok kialakítási kérdései” c. fejezethez	· · · · ·	934
12.7.2.	· Feladatmegoldások a 7. fejezethez	· · · · ·	936
12.8.1.	· Gyakorló feladatok a 8. „Sorrendi hálózatok kialakítási kérdései” c. fejezethez	· · · · ·	953
12.8.2.	· Feladatmegoldások a 8. fejezethez	· · · · ·	957
12.9.1.	· Gyakorló feladatok a 9. „Különleges digitális hálózatok” c. fejezethez	· · · · ·	980
12.9.2.	· Feladatmegoldások a 9. fejezethez	· · · · ·	982
12.10.1.	· Gyakorló feladatok a 10. „Funkcionális egységek” c. fejezethez	· · · · ·	999
12.10.2.	· Feladatmegoldások a 10. fejezethez	· · · · ·	1003
12.11.1.	· Gyakorló feladatok a 11. „Szoftver és hardver vegyes alkalmazásán alapuló digitális rendszerek” c. fejezethez	· · · ·	1036
12.11.2.	· Feladatmegoldások a 11. fejezethez	· · · · ·	1037
<b>NÉHÁNY TÁJÉKOZTATÓ IRODALMI FORRÁS</b>			· · · · · 1045
<b>TÁRGYMUTATÓ</b>			· · · · · 1047
<b>ÖSSZESÍTETT TARTALOMJEGYZÉK</b>			· · · · · 1055

---

# 9. KÜLÖNLEGES DIGITÁLIS HÁLÓZATOK

Az eddigiekben tárgyalt főként BOOLE–SHEFFER–PEIRCE axiómákon felépített digitális hálózatokon túlmenően különféle, más elveket felhasználó eszközök és hálózatok is kialakultak. Ezek karrierje – a mikroelektronika eszközök fejlődésének, és a felhasználói elvárásoknak függvényében – változatosan alakult az idők folyamán. Jó példa az eszközfejlődés és a felhasználás kapcsolatára a BOOLE elven működő áramlogikás *híd-típusú* hálózatok esete (5-4. ábra). A klasszikus jelfogás-hálózatok korszakában a *soros-párhuzamos* struktúrának *híd-struktúrába* való áttanszformálása hasznos törekvés volt, mivel így lényegesen egyszerűbb áramlogikás hálózathoz jutottak. Az elsősorban feszültséglogikákat felhasználó bipoláris félvezetők egyeduralma idején a híd-típusú hálózatok feledésbe merültek, majd a *MOS tranzszerelemek* megjelenése után a VLSI technikában újra szerephez jutottak, lényegesen magasabb műszaki színvonalon.

A fejezet keretében néhány fontosabbnak tekinthető, részben teljesen új, részben BOOLE-elveket hasznosító különleges digitális hálózatot mutatunk be az alábbiakban.

## 9.1. Szimmetrikus-, pozicionális- és híd-hálózatok

Ez a hálózatcsoport BOOLE-elveken alapul, és elsősorban áramlogikás vonatkozásban mutat különleges tulajdonságokat.



### 9.1.1. Szimmetrikus függvények és hálózatok

#### 9.1.1.1. Szimmetrikus BOOLE-függvények

A szimmetrikus hálózatok a logikai függvények egy speciális osztályán alapulnak.

Valamely  $F^n(X_1 \dots X_n)$  logikai függvényt *szimmetrikusnak* (totál-szimmetrikusnak) nevezzük, ha független változóinak tetszőleges permutációjára invariáns tulajdonságot mutat.



Az  $F^n(X_1 \dots X_n)$  függvényt *részben szimmetrikusnak* (parciálisan szimmetrikusnak) nevezzük  $\{X_i \dots X_K\}$  változókra ( $\{X_i \dots X_K\} \subset \{X_1 \dots X_n\}$ ) akkor és csak akkor, ha az  $X_i \dots X_K$  változók tetszés szerinti összecserélése esetén invariáns tulajdonságot mutat.

Azokat a változókat, melyekre nézve a függvény szimmetrikus tulajdonságot mutat, *szimmetria-változóknak* nevezzük. Például:

- a)  $Y_k = \overline{AB+AC+BC}$  – totál szimmetrikus
- b)  $Y_L = \overline{A \overline{BC} + \overline{AB} C}$  – parciálisan szimmetrikus  $A$  és  $C$ -re
- c)  $Y_M = \overline{ABC + \overline{ABC} + \overline{A} \overline{B} \overline{C}}$  –  $A$ ,  $B$  és  $C$ -re szimmetrikus.

A szimmetrikus függvényekhez jellegzetes számok, az ún.  $\beta$  *skalár jellemzők* rendelhetők. A függvény szimmetrikus voltának szükséges és elégséges feltétele, hogy meghatározható egy  $\beta_1, \beta_2 \dots \beta_K$  számcsoporthoz oly módon, hogy ha pontosan  $\beta_i$  számú  $i = 1, 2 \dots k$  független változó értéke „1” (vagy „0”), akkor és csak akkor a függvény értéke is „1” (vagy „0”).

A  $0 \leq \beta_i \leq n$  skalár jellemzők úgy is értelmezhetők, mint a szimmetrikus függvény „1”-es értékeihez tartozó term-ek „súlya”, ugyanis is valamely term súlyán a behelyettesített értékkészletében szereplő „1”-esek számát értjük.

Például az a) eset  $Y_K = F(A, B, C)$  függvényre  $\beta = 2$  és  $3$ , mert akkor és csak akkor vesz fel „1” értéket, ha független változói közül egyidejűleg 2 vagy 3 vesz fel „1” értéket. Ezt a továbbiak során a következőképpen jelöljük:  $F_{(2)(3)}^3$ .

A szimmetrikus függvényt „*elemi szimmetrikus függvény*”-nek nevezzük, ha csak egyetlen  $\beta$  skalár jellemzője van. (9.1) és (9.2) alapján belátható, hogy  $(2n + 2)$  darab elemi szimmetrikus függvény létezik.

$$\left. \begin{aligned} F_{(0)}^n &= \overline{X_1} \cdot \overline{X_2} \dots \overline{X_n} = E_0^n \\ F_{(1)}^n &= (\overline{X_1} \cdot \overline{X_2} \dots X_n) + \dots + (X_1 \cdot \overline{X_2} \dots \overline{X_n}) = \\ &= \text{az egy darab „1”-est tartalmazó } E_i^n \text{-k összege} \\ &\vdots \\ F_{(n)}^n &= X_1 \cdot X_2 \dots X_n = E_{2^n-1}^n \end{aligned} \right\} \quad (9.1)$$

$$\text{továbbá: } i = 0, 1 \dots n\text{-re } G_{(i)}^n = \overline{F_{(n-i)}^n} \quad (9.2)$$

Bebizonyítható, hogy bármely szimmetrikus függvény előállítható elemi szimmetrikus függvények összegeként (szorzataként).

A következőkben (korlátozott számú változóra felírt alakban) összefoglalunk néhány, szimmetrikus függvényekre vonatkozó fontosabb tételt, melyek transzformációval bármelyik más bázis-rendszerben felírhatók és „ $n$ ” változóra is általánosíthatók:

$$\left. \begin{aligned} F_{(2)(3)}^3(X_1, X_2, X_3) &= \bar{F}_{(0)(1)}^3(X_1, X_2, X_3) \\ F_{(2)(3)}^3(X_1, X_2, X_3) &= F_{(0)(1)}^3(\bar{X}_1, \bar{X}_2, \bar{X}_3) \\ F_{(0)(2)(4)(5)}^5 &= F_{(0)(2)(5)}^5 + F_{(2)(4)}^5 \\ F_{(2)(3)}^5 &= F_{(0)(2)(3)}^5 \cdot F_{(1)(2)(3)(4)}^5 \end{aligned} \right\} (9.3)$$

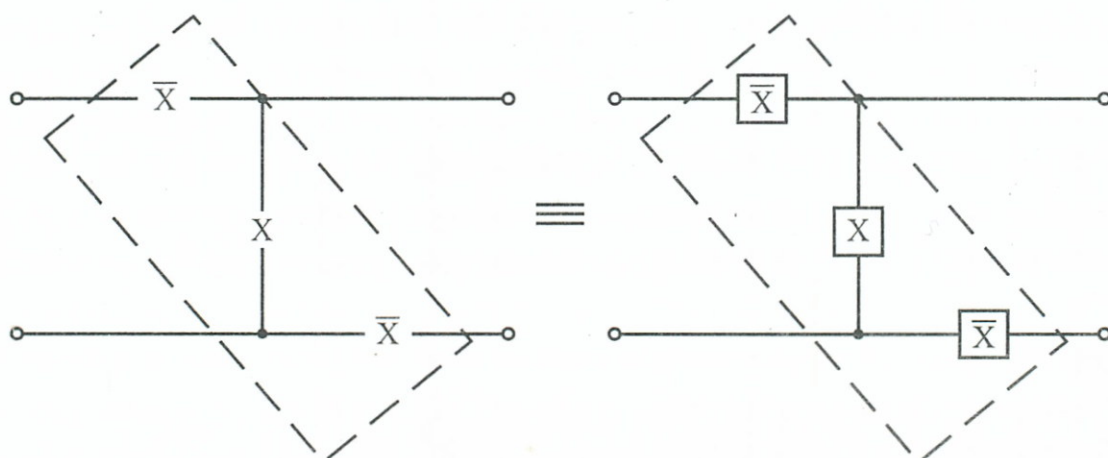
### 9.1.1.2. Szimmetrikus függvényeket realizáló hálózatok

A szimmetrikus logikai függvények klasszikus realizálási területét az ún. reiteratív struktúrájú hálózatok képezik. Ezek jellegzetessége, hogy felépítésük visszavezethető a 9-1. ábra szerinti ág-típusú alapcellák – vagy ezek negatívjának – *ismétlődő* rendszerére. A reiteratív hálózatokat az LSI MOS technikában alkalmazzák újabban, korábban a sokérintkezős jelfogás hálózatokban játszottak szerepet.

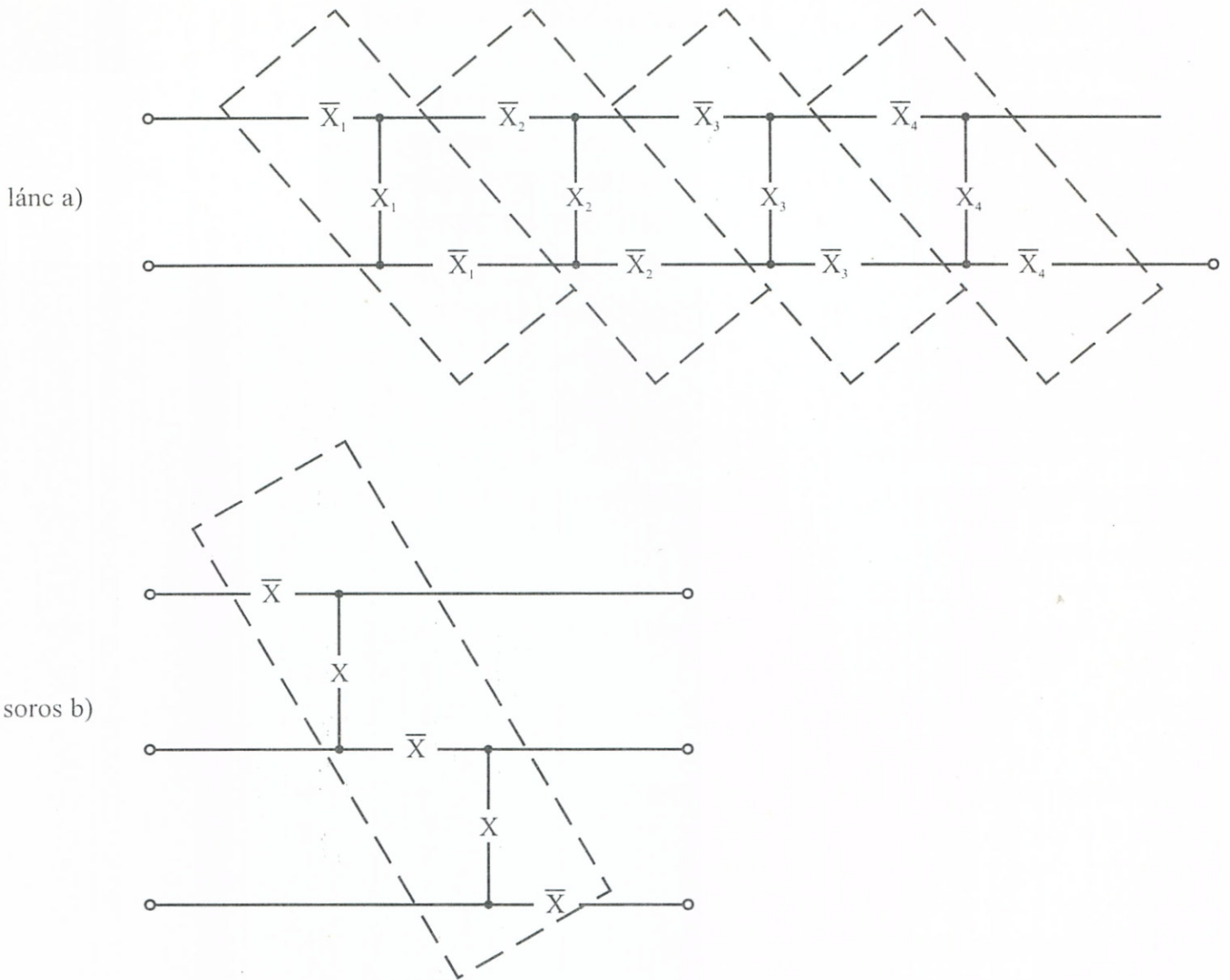
Az alapcellák lánc (9-2a. ábra) és soros (9-2b. ábra) kombinációiból olyan *általános tulajdonságú hálózatok* építhetők fel, melyből meghatározott részek elhagyása után különféle feladatok realizálása válik lehetővé. Egy ilyen általános 5-változós hálózatot mutat példaként a 9-3. ábra. A hálózat természetesen „ $n$ ” változósra is bővíthető.

Ha a 9-3. ábra szerinti 5-változós általános hálózatból csak a 9-4. ábra szerinti részt hasznosítjuk, akkor egy olyan hálózatot kapunk, amelyik az

$$F_{(0)}^4, F_{(1)}^4, F_{(2)}^4, F_{(3)}^4, F_{(4)}^4$$



9-1. ábra Ág-típusú alapcella



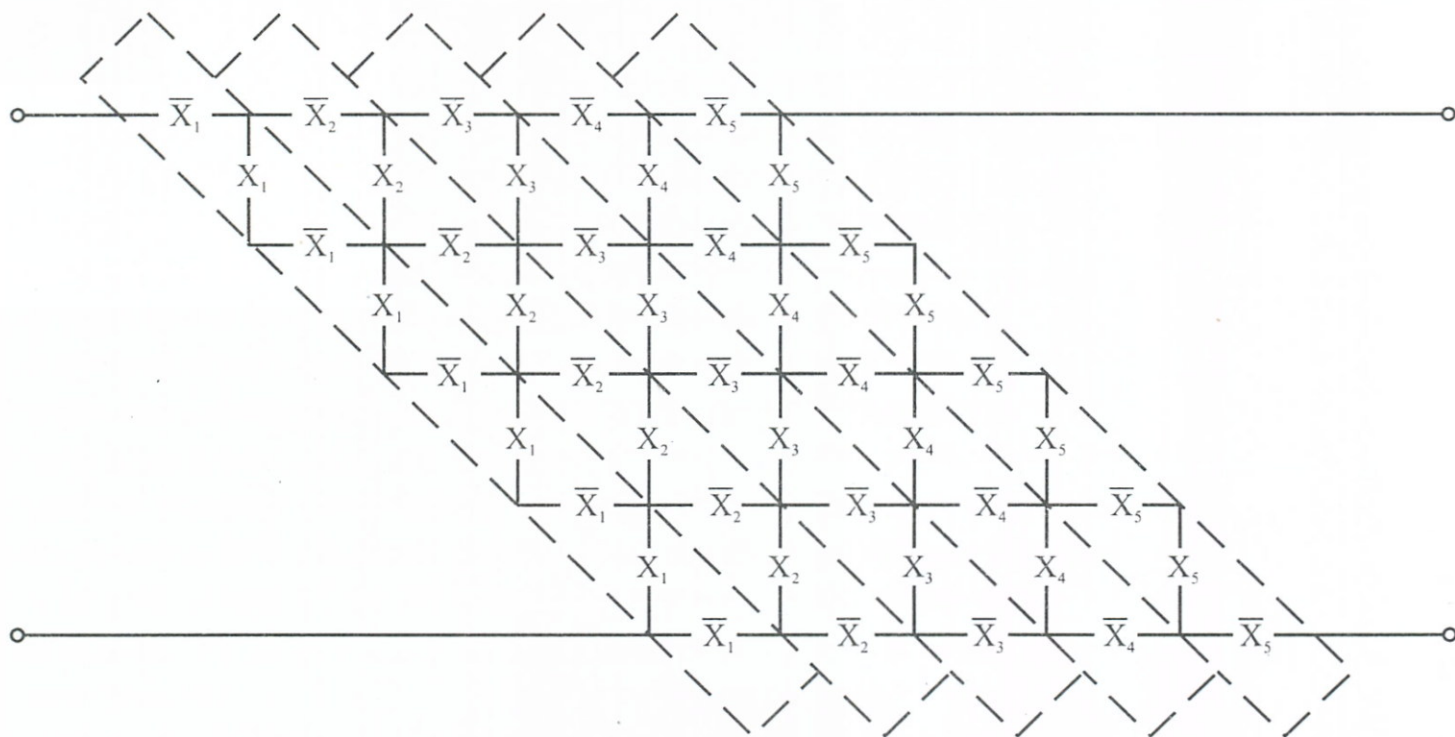
9-2. ábra Ág-típusú alapcellák lánc-és soros kapcsolatai

szimmetrikus függvények, vagy ezek diszjunkcióinak előállítására alkalmas. Az ilyen hálózatokat ág-típusú szimmetrikus hálózatoknak nevezzük. Mint látni fogjuk, konkrét megtervezésük során többféle topológiai egyszerűsítési szabály definiálható velük kapcsolatosan. Vizsgáljuk meg ezeket egy adott példa keretében.

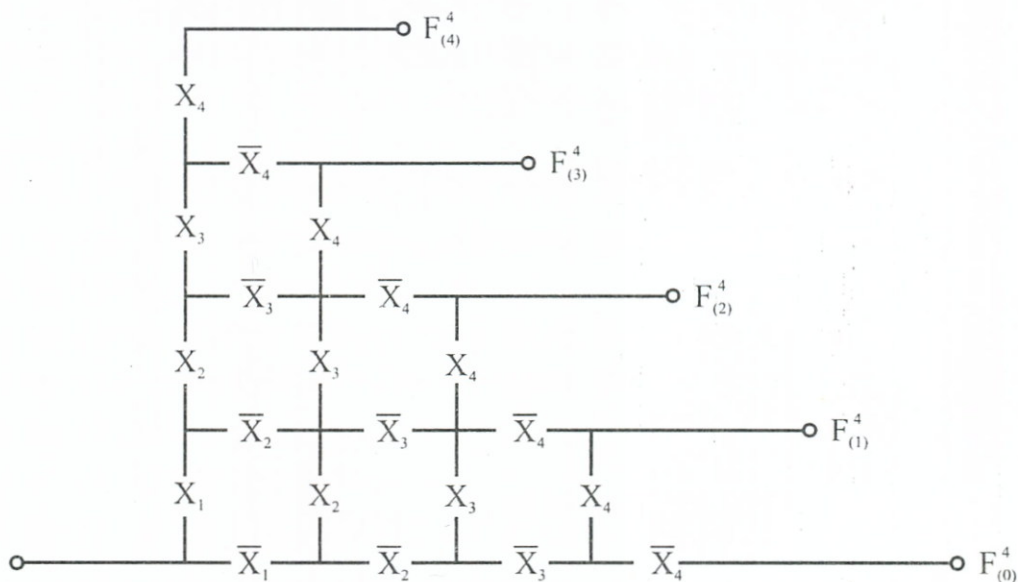
9.1. példa: Legyen a feladat egy olyan kombinációs hálózat tervezése, melynek egy kimenete van, és a kimeneti függvény „1” logikai értéket vesz fel minden olyan esetben, mikor a négy független változó közül egyidejűleg páros számú vesz fel „1”-es értéket.

Ha a nulla darabszámot is párosnak tekintjük, akkor a feladatot egy

$$F_{(0)(2)(4)}^4$$



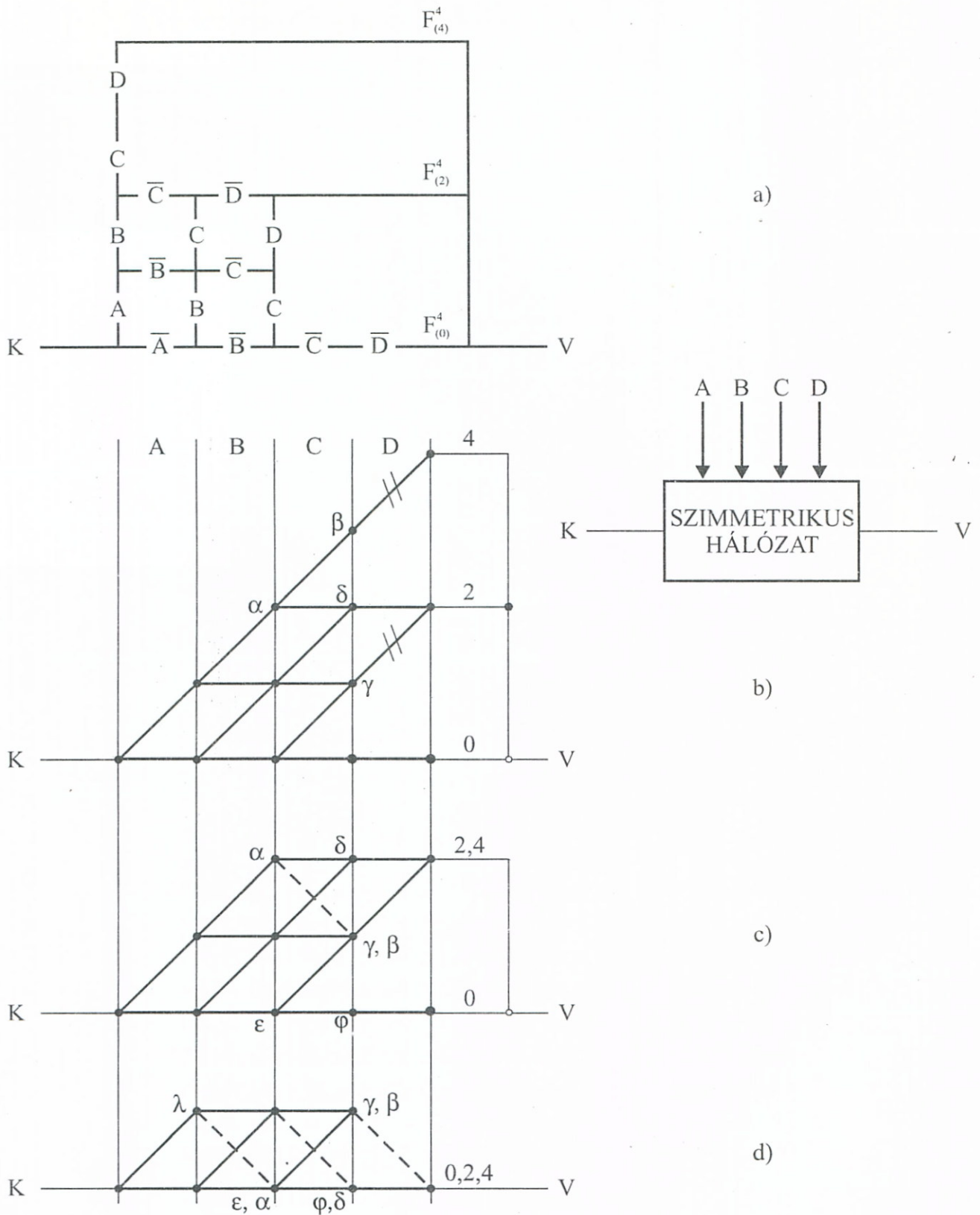
9-3. ábra 5-változós reiteratív struktúra



9-4. ábra Szimmetrikus hálózat leszármasztása reiteratív struktúrából

típusú szimmetrikus függvénnyel lehet leírni. A példát realizáló hálózatot kialakíthatjuk a 9-4. ábrából, ha ott a felesleges  $F_{(1)}^4$  és  $F_{(3)}^4$  kimeneteket elhagyjuk és a (9.3) összefüggések értelmében példánkra felírható:

$$F_{(0)(2)(4)}^4 = F_{(0)}^4 + F_{(2)}^4 + F_{(4)}^4$$



9-5. ábra Reiteratív hálózat egyszerűsítése gráfós módszerrel

formula alapján az  $F_{(0)}^4 - F_{(2)}^4 - F_{(4)}^4$  kimeneteket párhuzamosan VAGY-ba kapcsoljuk, azaz összekötjük. Az eredmény a 9-5a. ábrán látható hálózat lesz.

Ezt a hálózatot már meg lehetne építeni például *MOS transzfer-gate*-ekkel, vagy *jelfogó-érintkezős* áramlogikás hálózattal, melynél a kapcsolók száma 16 darab lenne. Ez elég nagy számnak mutatkozik, ezért kíséreljük meg a hálózat egyszerűsítését (esetleges többszörösen kihasználható áramutak keresésével). Ennek szisztematikus lebonyolítására vezessünk be egy gráfos jelölésmódot, mely a tervezés további lépéseit meg fogja könnyíteni. A gráfot úgy alakítsuk ki, hogy minden  $X_i$  záró-kapcsolót egy *ferde* vonal, minden  $X_i$  bontó-kapcsolót egy *vízszintes* vonal jelképezzen. Ezek után a 9-5a. ábrát helyettesítő „szimbolikus gráf” a 9-5b. ábra szerint fog alakulni. A gráfnál azt is feltételezzük, hogy az  $A, B, C, D$  intervallumokban egymás felett elhelyezkedő, gráf-rúddal helyettesített kapcsolók egyszerre kapnak működtetési hatást. (Például jelfogós realizációnál ugyanaz a jelfogó működteti az egymás feletti rudaknak megfelelő, egyszerre aktivizálódó érintkezőket.)

Az a) vagy b) ábra-változatot jól megfigyelve, megállapítható, hogy például  $D = 1$  bekövetkezésekor a  $K$  és  $V$  pontok között a kettős áthúzással megjelölt  $\beta-4$  és  $\gamma-2$  ágakon, tehát egyszerre két úton is létesülhet kapcsolat, mivel a két ág egybevágóan működik. Kézenfekvő a gondolat, hogy a két egybevágó ágat egyetlen, kétszeresen kihasznált ággal próbáljuk helyettesíteni. Erre lehetőséget az ún. „*lecsúsztatási*” művelet ad.

*Lecsúsztatásnál* a  $\beta-4$  ágat a  $\gamma-2$  ággal fedésbe hozzuk és a  $\gamma$  pontba „becsúszott”  $\beta$ -nek korábbi  $\alpha$ -val fennálló összeköttetését a 9-5c. ábra ferde, ugyancsak záró érintkezőt jelképező szaggatott vonalával pótoljuk. Ezzel a művelettel, tehát egy ág kétszeres kihasználásával a hálózat ágainak számát eggyel csökkenteni tudtuk.

A csúsztatási művelettel kapcsolatban általános szabályként bizonyítás nélkül megjegyezzük a következőket:

- Lecsúsztatni csak *összefüggő ágat*, vagy ágakkal határolt parallelogrammát lehet.
- Csúsztatás csak akkor végezhető, ha az összekötött „emeletek” sorszámai (példánkban: 0, 2, 4) *számtani* haladványt alkotnak, vagy minden emeletet beleértve, vagy a valamelyiktől felfelé következőket. Az utóbbi esetben a csúsztatás csak attól az emelettől felfelé végezhető, melytől a haladvány kezdődik.
- Hamis eredményű a csúsztatás, ha a számtani haladvány utolsó tagja után következő  $n+1$ -edik tag nem nagyobb a független változók számánál.

A szimmetrikus hálózatok topológiai egyszerűsítésének egy másik módszere a „*forgatás*”. Ez leginkább akkor vetődik fel, ha az emeletek közt a „0”-ás szerepel.

*Forgatásra* választott példánkban is kínálkozik lehetőség. Elvégzése úgy történik, hogy a 9-5c. ábra  $\lambda-\gamma, \beta$  vízszintes ága, mint „forgástengely” körül a felső hálózatrészt „leforgatjuk”, ezáltal az  $\alpha-\varepsilon$ -nal,  $\delta-\varphi$ -vel stb. kerül fedésbe. A keletkező új hálózatot a 9-5d. ábra mutatja, melyen az „átfordult” ágakat szaggatottan jelöltük (pl.  $\lambda-\varepsilon\alpha$ ). Érdekes megjegyezni, hogy a korábbi lecsúsztatás következtében kapott a 9-5c. ábrabeli  $\alpha-\gamma, \delta$  ág „beolvadt” az  $\varepsilon, \alpha-\gamma$  ágba.

A 9-5b. kiinduló-gráfot összehasonlítva a kapott, egyszerűsített 9-5d. gráffal megállapíthatjuk, hogy az eredeti 16 darab gráfrúd helyett 12 darab is elegendő a feladat megoldására, tehát érdemes volt az egyszerűsítést megkísérelni.

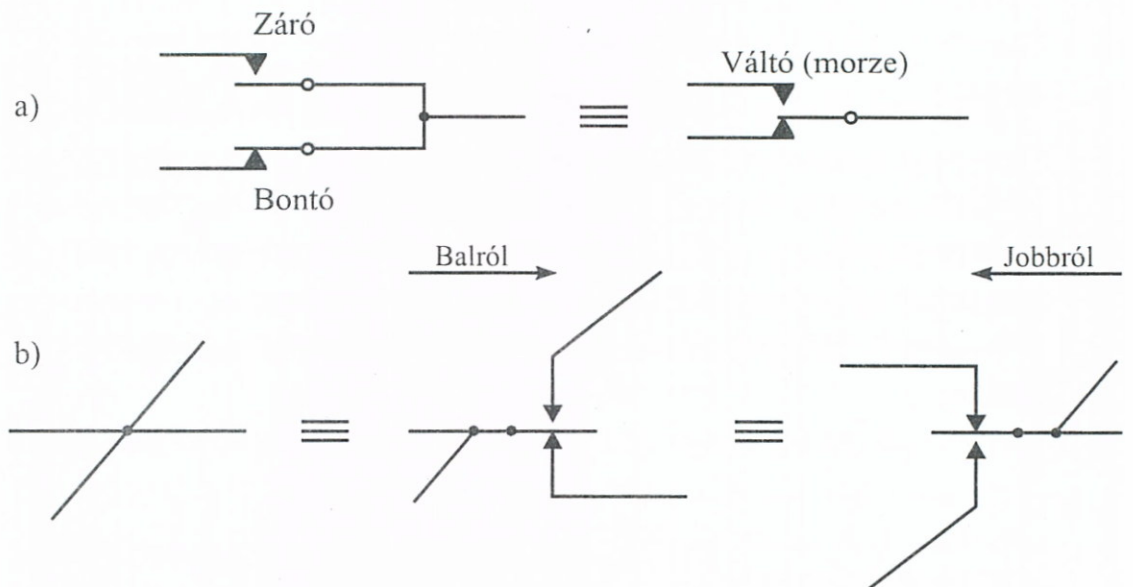
A szimbolikus rács alapján „visszaállíthatjuk” az egyszerűsített kapcsolóhálózatot, melyre itt egy klasszikus jelfogó-érintkezős megoldást mutatunk be.

A gráfos ábrázolásra történő áttéréskor bevezetett megállapodás szerint:

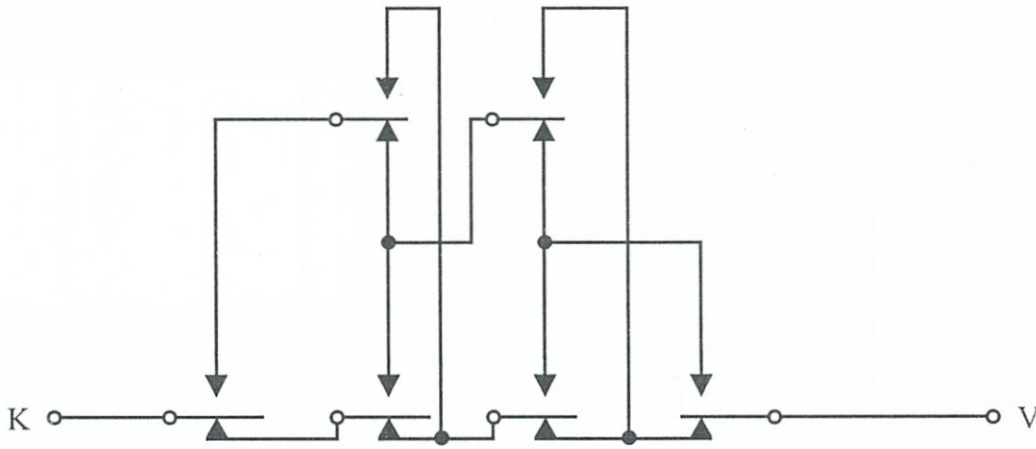
- ferde gráfrúd : záró-kapcsoló
- vízszintes gráfrúd : bontó-kapcsoló

jelentéssel bírt. Most, a visszatranszformáláskor is ezt kell érvényesítenünk.

A klasszikus jelfogós realizáláskor még kihasználható egy további egyszerűsítési lehetőség az ún. *váltó* (morze) érintkező-típus alkalmazása révén, amit a 9-6a. ábra szemléltet. A



9-6. ábra Érintkezők és a szimbolikus gráf kapcsolata



9-7. ábra Szimmetrikus hálózat realizációja klasszikus jelfogóérintkezős realizációval

gráf  $\rightarrow$  kapcsoló hálózat

transzformáció „szótárát” a 9-6b. ábra mutatja.

Az elmondottak értelmében a 9-7. ábrán látható morze érintkezős hálózattá rajzolhatjuk át a kapott eredményt. A kiindulás akár K, akár V oldalról történhet az átrajzolásnál, a kapott eredmény a 9-8. ábrán látható.

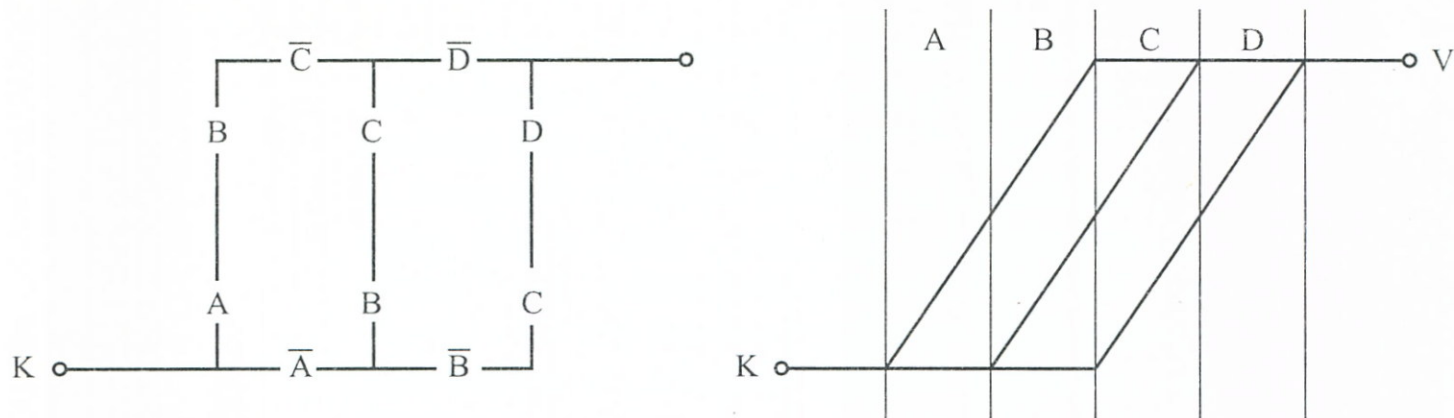
Megjegyezzük, hogy ha a feladatot nem reiteratív struktúrában oldottuk volna meg, hanem hagyományos módon, a logikai táblázatból kiindulva felírt algebrai formulákat realizáló ágak rendszeréből építettük volna össze, akkor a kapcsolók száma a jelenleginek többszöröse lett volna.

### 9.1.2. Pozicionális hálózatok

A reiteratív hálózatokkal kapcsolatosan megemlítünk még egy hálózattípust, mely ugyan szigorúan véve nem szimmetrikus függvényeket realizál, de rokonságban áll az előzőkben részletesen tárgyalt változattal. E hálózattípust *pozicionális* ág típusú hálózatnak nevezük. Származtatása ugyancsak a 9-1. és 9-3. ábrák általános hálózatából kiindulva történhet. Ha ezt oly módon redukáljuk, hogy az egyes sejtekben a közbenső *vízszintes átmeneteket* elhagyjuk, akkor egy hálózat-fajta-hoz jutunk, melynél a bemeneti változók egymáshoz viszonyított „*helyzete*” (pozíciója) határozza meg a kimeneti függvény természetét.

9.2. példa: A 9-8. ábra hálózatát megvizsgálva, megállapítható, hogy  $Y_K^4 = 1$  érték olyan esetekben lép fel, midőn a független változók kö-





9-8. ábra Példa pozicionális hálózatra

zül valamelyik két, egymás melletti pozíciójú (szomszédos) szerepel „1”-es értékkel.

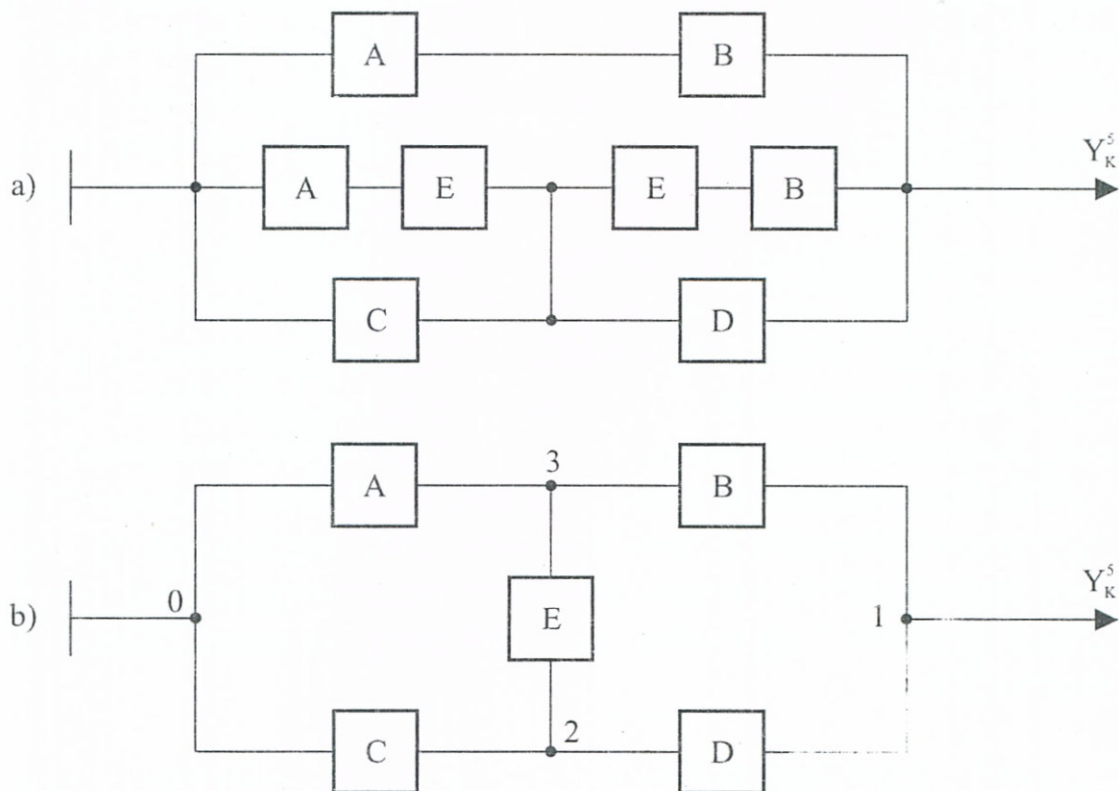
Az iterációsan realizált hálózat itt is lényegesen egyszerűbb a hagyományos úton előállítottnál.

### 9.1.3. Híd-struktúrák



A híd-struktúrájú hálózatok az ág-típusú hálózatokon belül, egy jellegzetes felépítésű csoportot képeznek.

Kiindulásul vizsgáljuk meg a 9-9. ábrán látható két ág-típusú logikai vázlatot.



9-9. ábra Példa híd struktúrára

Az a) ábra szerinti megszokottabb, ún. soros, párhuzamos típusú és a b) ábra szerinti híd-típusú hálózatok mindegyike ugyanazzal az algebrai függvényalakokkal jellemezhető:

$$Y^5 = AB + AED + CD + CEB$$

Szembetűnő viszont, hogy míg a soros–párhuzamos struktúránál 8, a híd-struktúránál csak 5 kapcsolóelem szükséges a hálózat felépítéséhez, mivel ez utóbbinál az  $A$ ,  $B$  és  $D$  kapcsolók többszörösen is ki vannak használva.

#### a) Közvetlen összeköttetési táblázat

A két struktúra topológiai eltérését a szokásos algebrai módszerekkel nem tudjuk egyértelműen kifejezni, ezért célszerű olyan leírás-módot keresni, mely a topológiát is tartalmazza. Ilyen adottságokkal rendelkezik az ún. *közvetlen összeköttetési táblázat*, melyet a következő kritériumok alapján képezünk:

a) a hálózat minden csomópontjához a táblázaton egy sort és egy oszlopot rendelünk,

b) a táblázat minden eleméhez egy, a sorához, ill. oszlopához tartozó csomópontok összeköttetéseit jellemző adatot rendelünk, így:

- rövidzárral csatlakozó két csomópont táblázatbeli sor-oszlop találkozásainál elhelyezkedő elembe „1”-et írunk;
- tetszés szerinti  $K$  kapcsolóval összekötött két csomópont táblázatbeli sor-oszlop találkozásaihoz  $K$ -t írunk;
- ha két csomópont közt csak további csomóponton vagy csomópontokon keresztül lehet összeköttetést létesíteni, akkor a megfelelő táblázatelembe „0” kerül.

c) A táblázat tükrös a főátlóra, ha a hálózat kapcsoló-elemei bilaterálisok (pl. jelfogó kontaktusok) és nem tükrös, ha az elemek közt *unilaterálisok* (pl. dióda) is szerepelnek.

Ezek után, a 9-9b. ábra hálózatát logikailag és topológiailag is jellemző közvetlen összeköttetési táblázat a következőképpen írható fel:

	0	1	2	3
0	1	0	C	A
1	0	1	D	B
2	C	D	1	E
3	A	B	E	1

A híd-típusú hálózatok szintézise a közvetlen összeköttetési táblázaton alapul. Az ezzel kapcsolatos szisztematikus eljárásokkal itt nem foglalkozunk. Csupán megemlítjük, hogy *nem minden* ág-típusú hálózat képezhető le híd-struktúrába és az ezzel kapcsolatos identifikációra is szisztematikus eljárásokat dolgoztak ki.

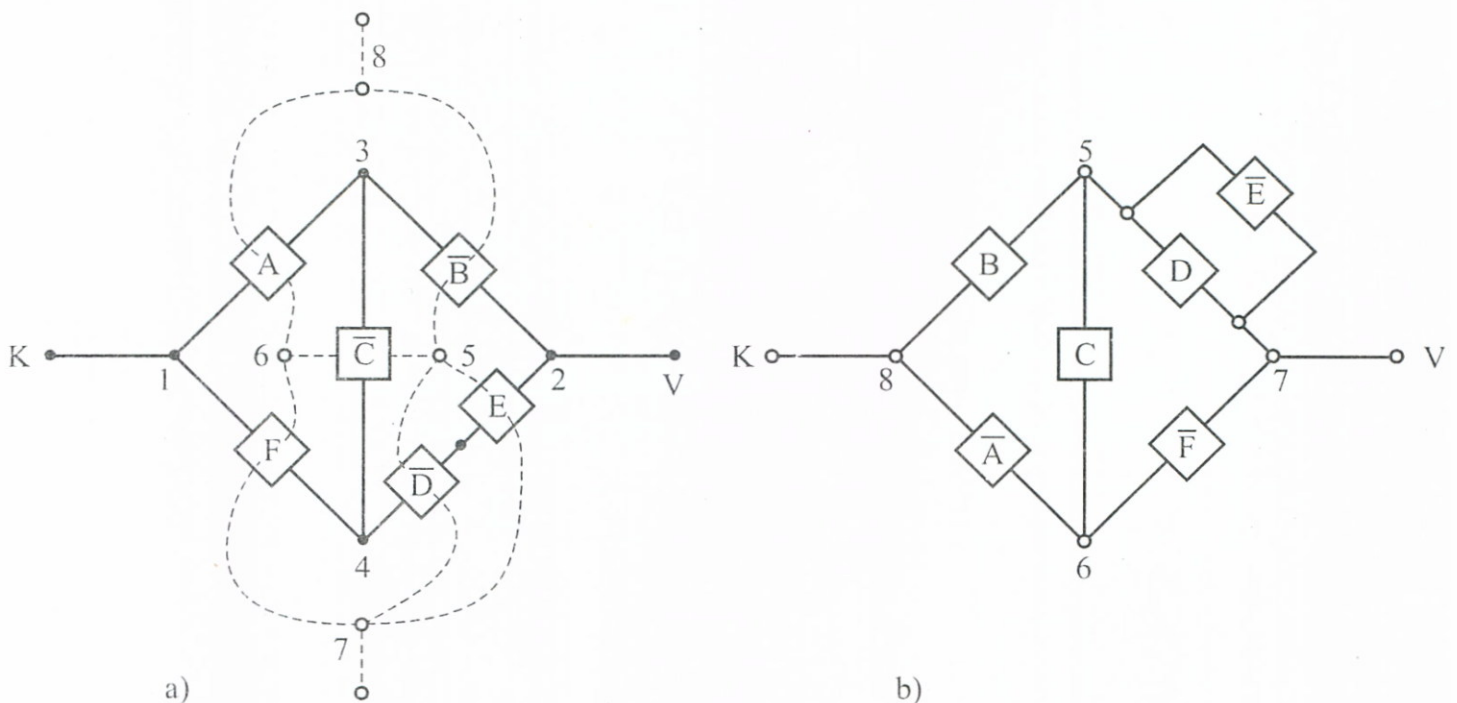
b) Topológiai átalakítások

Az alábbiakban befejezésül röviden bemutatjuk egy példa kapcsán, valamely híd-struktúrában realizált logikai függvény negáltjának topológiai előállítását. Az eljárás a hálózatelméleti „duál-hálózat szerkesztés” módszerén alapul. Eszerint minden soros jellegnek – parallel minden parallelnek – soros, minden huroknak csomópont és minden csomópontnak hurok felel meg az új hálózatban. Továbbmenőleg minden ág-elemnek is ellentétjét (záró-kapcsolónak bontó, bontónak-záró) kell venni a negált hálózatban.

9.3. példa: Adva a 9-10a. ábrán látható híd-struktúra.

I. lépés: Vegyünk fel minden hurokban egy-egy csomópontot és jelöljük meg őket. Itt huroknak számítanak a be- és kimeneti „felezővonal” feletti és alatti térrészek is (9-10a. ábra).

II. lépés: Kössük össze a szomszédos csomópontokat úgy, hogy az összekötő vonalak mindig egy-egy ág-elemen halad-



9-10. ábra Grafikus topológiai hálózatátalakítás

janak át. Az így kapott háló lesz a negált hálózat „ágainak” elrendezési képe (9-10a. ábra).

III. lépés: Az új elrendezési kép alapján, rajzoljuk meg úgy a végleges negatív hálózatot, hogy minden ág-elem helyett ellentettjét rajzoljuk be: 9-10b. ábra. Mint látható, a híd-ágakban levő soros kapcsolatot párhuzamossá (és viszont) transzformálódik.

## 9.2. Küszöb-logikás hálózatok

Az eddigi fejezetek során tárgyalt problémakör a 2. fejezetben bevezetett logikai függvény-definíció köré csoportosult. Ennek szellemében, műszaki feladatainkat elemi-logikai műveletek rendszerében írtuk le és az elemi-logikai műveleteket realizáló alapáramkörök hálózatával realizáltuk. Az így kapott hálózatok – különösen nagyobb változó szám esetén – meglehetősen sok összetevőjük miatt terjedőssé válhattak. Felvetődik a kérdés, vajon lehetne-e olyan absztrakt kifejezőmódot találni, melynél az elemi műveletek koncentráltabb egységekben jelennének meg, és ily módon – miután az ezeket realizáló alapáramkörök is összetettebb részfeladatokat realizálnak – a teljes hálózat kevesebb összetevőből lenne felépíthető. Ilyen koncentráltabb matematikai leírás lehetőségét rejti magában az ún. „küszöb-elemeken” alapuló „küszöb-logikás hálózatok” bevezetése (threshold logic).

### 9.2.1. Küszöb-elem, küszöbfüggvény

Egy küszöb-elem elvi felépítését és továbbiakban általunk használandó szimbolikus jelölését a 9-11. ábra mutatja. Az irodalomban másféle jelölésmódok is szerepelnek.

Minden küszöb-elem egy egyszerű küszöbfüggvényt határoz meg. Az  $Y \in \{0, 1\}$  és  $X = \{X_1 \dots X_i \dots X_n\}$  (ahol:  $X_i \in \{0, 1\}$  és  $i = 1, 2 \dots n$ ) változók közt fennálló alábbi függvénykapcsolatot egyszerű küszöbfüggvénynek nevezzük:

$$Y^n = \begin{cases} 1 & \text{ha } \sum_{i=1}^n W_i \cdot X_i \geq T \\ 0 & \text{ha } \sum_{i=1}^n W_i \cdot X_i < T \end{cases} \quad (9.4)$$

ahol: –  $W_i$  az ún. „súlytényező” valós pozitív vagy negatív szám;  
 –  $T$  az ún. „küszöbérték” valós pozitív vagy negatív szám,  
 továbbá: a  $\sum$  jel, ill. a  $W_i \cdot X_i$  közti „ $\cdot$ ” jel hagyományos *aritmetikai* összeadási, illetve szorzási műveletek.

Egyszerűsített jelölésmódarabban a továbbiakban írható:

$$Y^n = \left\langle \sum_{i=1}^n W_i \cdot X_i \right\rangle_T = \langle W_1 \cdot X_1 \dots W_n \cdot X_n \rangle_T$$

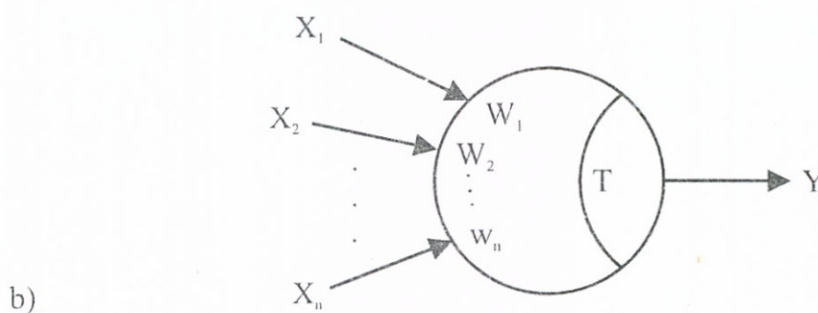
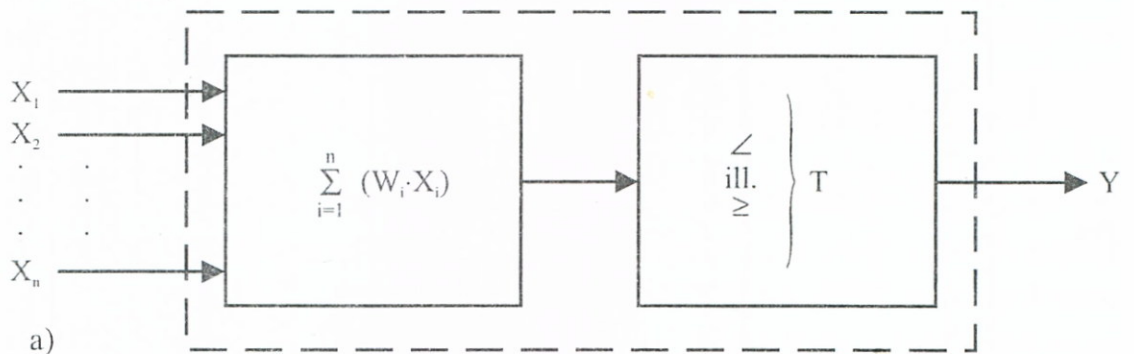
A 9-11. ábra szerinti küszöb-elem „működése” ezek után a következőképpen értelmezhető:

Az  $X_i$  független-változók értékei a hozzájuk tartozó  $i$ -edik bemeneten a küszöb-elemre jellemző  $W_i$  súlytényezőkkel összeszorozva „súlyozódnak”, majd a súlyozott tagok összeadódnak. Az összeadás eredménye összehasonlításra kerül (a küszöb-elemre ugyancsak jellemző) „ $T$ ” küszöbértékkel. Az összehasonlítás eredménye a (9.4) definíció szerinti egyenlőtlenség értelmében előállítja „ $Y$ ” függőváltozó konkrét értékét.

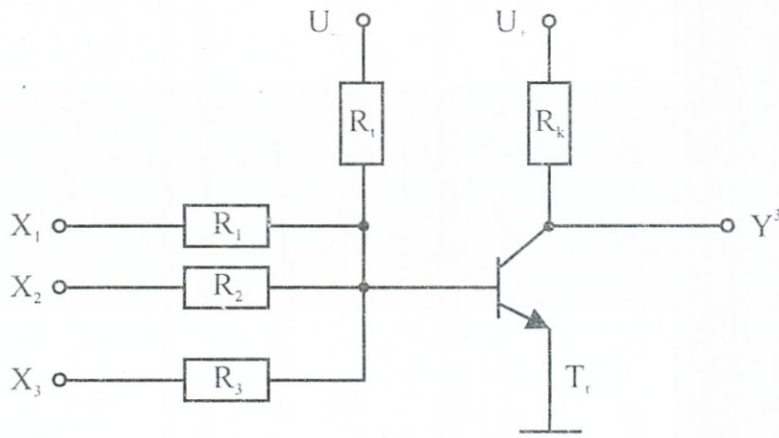
A küszöbfüggvények (ill. elemek) egyszerűsített jellemzésére célszerű bevezetni az alábbi

$$v = \{W_1, \dots, W_{nj}, T\} \tag{9.5}$$

ún. „súly-küszöbvektor”-t.



9-11. ábra Küszöb függvény definíciója és jelölése



9-12. ábra Egy realizált küszöb áramkör

A küszöb-elem előbb vázolt, bonyolultnak tűnő működése áramkörileg meglepő egyszerűen realizálható, többféle fizikai elven is. Egy integrált áramkörös megoldású küszöb-áramkör kapcsolását mutatja a 9-12. ábra.

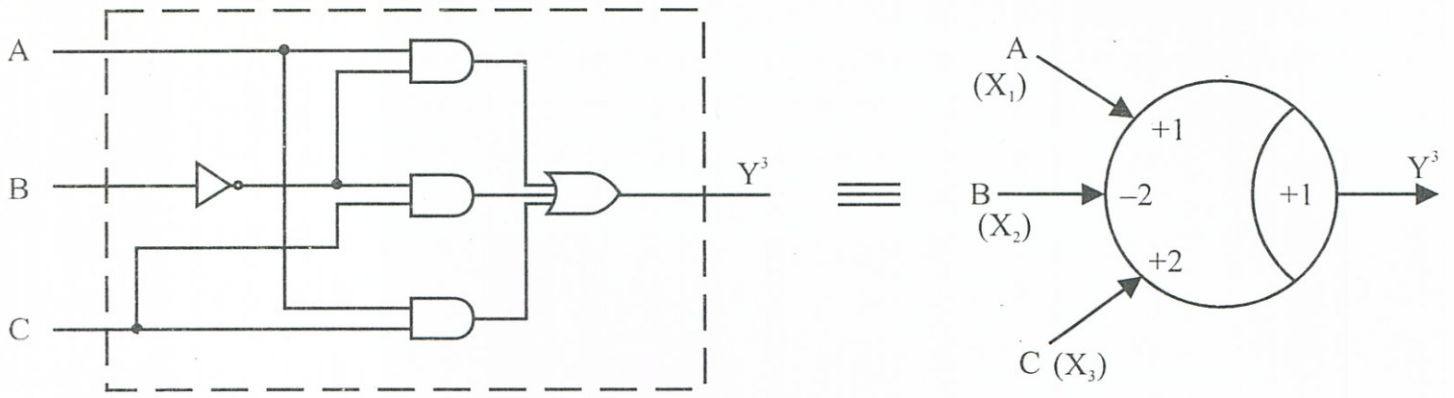
A kapcsolatban, a bemenetek soros  $R_1, R_2, R_3$  óhmos ellenállás-értékei a  $W_1, W_2, W_3$  súlytényezőket,  $R_T$  ellenállás és a „ $-U_T$ ” feszültség együttesen a  $T$  küszöbértéket határozzák meg. A kapcsolat valójában egy lineáris analóg feszültség összegezést végez a súlyozott bemenetekre, majd egy komparálás után zárja, ill. nyitja „ $<, \geq$ ” relációknak megfelelően  $Tr$ . tranzisztort.

9.4. példa: Vizsgáljuk meg a következő súly-küszöb vektorral megadott küszöbfüggvényt:

$$v = \{+1, -2, +2; +1\}.$$

A (9.4) definíció alapján felírható az alábbi táblázat.

$X_1$ $W_1=+1$	$X_2$ $W_2=-2$	$X_3$ $W_3=+2$	$W_1 X_1 =$ $=X_1 - 2X_2 + 2X_3$	$T$	$Y_K^n$
0	0	0	0		0
0	0	1	+2		1
0	1	0	-2		0
0	1	1	0		0
1	0	0	+1	+1	1
1	0	1	+3		1
1	1	0	-1		0
1	1	1	+1		1



9-13. ábra BOOLE és küszöbrealizációk összehasonlítása

A táblázatból megállapítható, hogy küszöbfüggvényünk ekvivalens a következő logikai (BOOLE) függvénnyel:

$$Y^3 = \sum_{(1,4,5,7)}^3 = \langle 1 \cdot X_1 - 2X_2 + 2 \cdot X_3 \rangle_{T=1}$$

A 9-13. ábrán felrajzoltuk a küszöbfüggvény szimbolikus vázlatát és az ekvivalens logikai függvény algebrailag egyszerűsített alakjának logikai vázlatát is.

Már a 9-13. ábra is érzékelteti, hogy egyetlen küszöb-elem a logikai műveletek igen nagy koncentrációját tudja megvalósítani.

### 9.2.2. Egyszerű és összetett küszöbfüggvények

Egyetlen küszöb-elem egy egyszerű küszöbfüggvényt határoz meg. Ha egy  $Y^n = F^n(X_1 \dots X_n)$  logikai függvény jellemzése csak több küszöb-elem együttesével végezhető el, akkor a leírás ún. összetett küszöbfüggvénnyel történik. Az összetett küszöbfüggvényt egyszerű küszöbfüggvények rendszere alkotja az alábbiak szerint:

$$\left. \begin{aligned} Y^n &= F^n [U_1^n(X_1 \dots X_n) \dots U_m^n(X_1 \dots X_n)] \\ Y^m &= F^m(U_1^n \dots U_m^n) = \left\langle \sum_{j=1}^m W_j U_j \right\rangle_T \end{aligned} \right\} \quad (9.6)$$

ahol:

$$U_j^n(X_1 \dots X_n) = \left\langle \sum_{i=1}^n W_{ji} X_i \right\rangle_{T_j}$$

Az alábbiakban néhány később felhasználandó tételt foglalunk össze, bizonyítás nélkül.

a) Ha egy  $F^n$  logikai függvény egy

$v = \{W_1, \dots, W_j, \dots, W_n, \dots, T\}$  súlyküszöb-vektorú egyszerű küszöbfüggvénnyel kifejezhető, akkor kifejezhető a  $v = \{W_1, \dots, -W_j, \dots, W_n, (T - W_j)\}$  vektorú egyszerű küszöbfüggvénnyel. Itt:  $T = T - W_j$  vagy általánosítva több negatív  $W$ -re:  $T = T - \sum$  (összes negatív  $W$ -k).

b) Az a) tételből következik, hogy valamely egyszerű küszöbfüggvénnyel kifejezhető  $F^n$  logikai függvény mindig konvertálható egy kizárólag  $W_k > 0$  súly-tényezőket tartalmazó  $\Phi^n$  egyszerű küszöbfüggvénybe.

c) Valamely  $F^n$  logikai függvény és negáltjának súlyküszöb-vektora között a következő rokonság állítható fel:

$$F^n\text{-nél: } v = \{W_1, \dots, W_j, \dots, W_n, T\}$$

$$\overline{F^n}\text{-nél: } v' = \{-W_1, \dots, -W_j, \dots, W_n, -T\}$$

d) Egy egyszerű küszöbfüggvény negáltja ugyancsak egyszerű küszöbfüggvény.

e) Egy logikai függvényt „UNATE”-nak nevezzük, ha diszjunktív irredundáns normál alakjában (tovább már nem egyszerűsíthető normál alakjában) a változók közül egyik sem szerepel negált, illetve nem negált alakban egyidejűleg. *Negatív unate* a függvény, ha az összes független változó negált, *pozitív unate*, ha valamennyi nem negált.

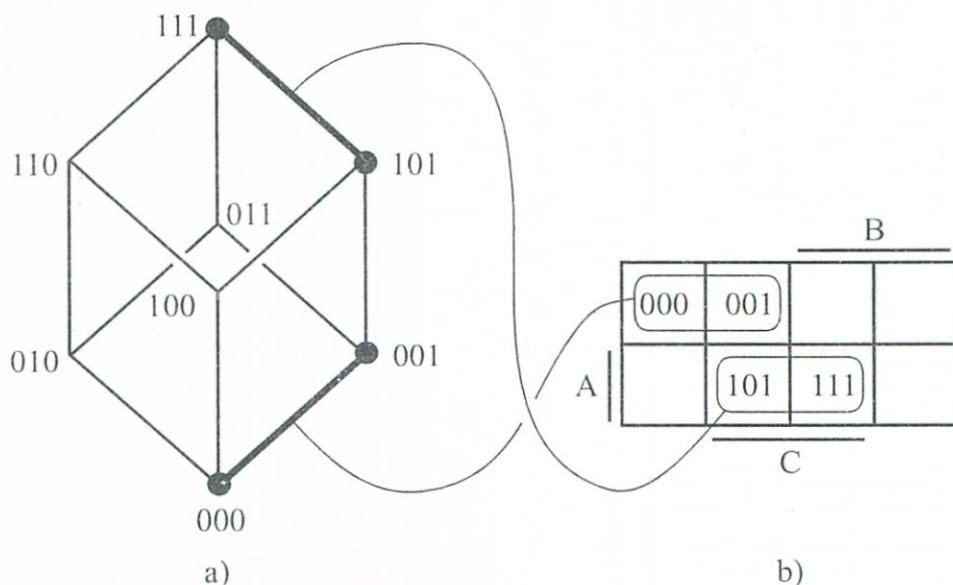
Például az  $Y^3 = X_1 \bar{X}_2 + X_2 \bar{X}_3$  függvény  $X_1$ -re nézve pozitív unate,  $X_3$ -ra negatív unate,  $X_2$ -re pedig nem unate. Az  $Y_L^3 = \bar{X}_1 + \bar{X}_2 \bar{X}_3$  függvény negatív unate.

f) Minden egyszerű küszöbfüggvény unate. Ez a tétel fordítva nem érvényes.

### 9.2.3. Geometriai ábrázolás és lineáris szeparálhatóság

Az  $F^n$  logikai függvényt geometriailag úgy is ábrázolhatjuk, hogy a független változók értékkombinációit egy „ $n$ ” dimenziós-kocka csúcsaihoz rendeljük és megjelöljük, hogy melyik csúcs jellemez az adott függvénynél  $Y = 1$  értékhez tartozó független változó kombinációt. Az „ $n$ ” dimenziós kockában a szomszédos csúcsokon az értékkombinációk úgy vannak elhelyezve, hogy egymástól csak egy független változó ellentétesre változása révén különböznek. (A Hamming-távolság  $H_D = 1$ .) Például ilyen elrendezés látható a háromváltozós:  $F^3 = A B + A C$  függvényre a 9-14a. ábrán. Az  $Y = F^3(A, B, C) = 1$  értékekhez tartozó





9-14. ábra Geometriai ábrázolás

csúcsokat bekarikáztuk. A 9-14b. ábra a megfelelő  $V-K$ -táblát mutatja. Mint látható, itt egy-egy 2-sejtes tömbnek a kockán egy-egy él ún. szubkocka felel meg.

A továbbiak érdekében célszerű bevezetni egy *parciális rendezési relációt*, amelynek alapján az „ $n$ ” dimenziós kocka egyes sarkaihoz rendelt független változók behelyettesítési érték kombinációit „nagyság szerint” rendezhetjük, amennyiben ezek egymással összehasonlíthatók. Eszerint:

$$(a_1, a_2 \dots a_n) \leq (b_1, b_2 \dots b_n) \tag{9.7}$$

akkor és csak akkor, ha minden „ $i$ ”-re áll:

$$a_i \leq b_i$$

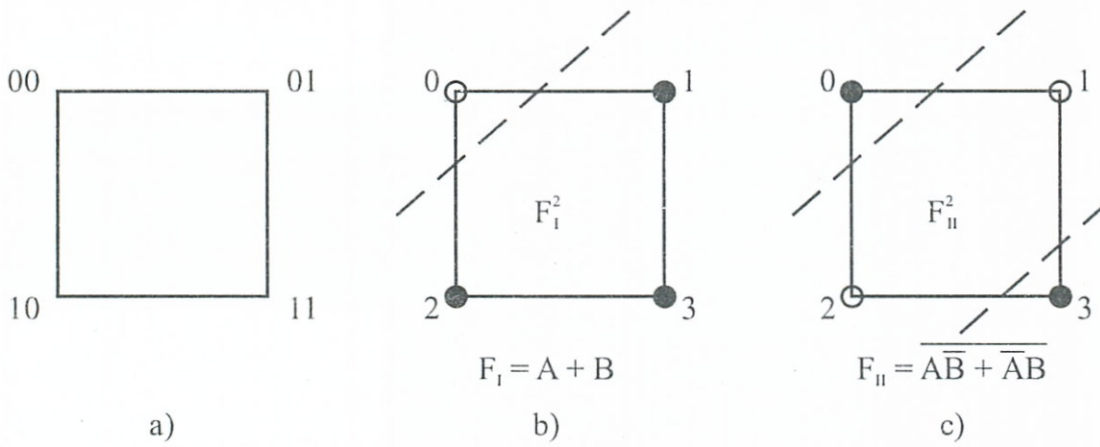
Például a 9-14. ábrán a legkisebb háromváltozós csúcs  $(0, 0, 0)$ , a legnagyobb  $(1, 1, 1)$ , továbbá  $(0, 0, 1) < (1, 0, 1)$ .

Nem összehasonlíthatók egymással a  $(0, 1, 0)$  és  $(1, 0, 0)$  csúcsok.

Egy  $F_k^n$  logikai függvény *unate*, akkor és csak akkor, ha nem tautologia (minden változó kombinációnál „1”) és a (9.7) definíció szerinti parciális rendezés létezik olyan formában a csúcsokhoz rendelt minden érték kombináció párra, hogy ha  $(a_1 \dots a_n)$  egy „1”-es csúcs, akkor  $(b_1 \dots b_n) \geq (a_1 \dots a_n)$  esetén  $(b_1 \dots b_n)$  is egy „1”-es csúcs az  $F^n$  függvény „ $n$ ” dimenziós kockán ábrázolt képén.

Ha létezik egy  $(n-1)$  dimenziós:

$$W_1 X_1 + \dots + W_n X_n = T$$



9-15. ábra Hipersík és egyszerű ill. összetett esetek

ún. *hipersík*, amely az „ $n$ ” dimenziós kockán átfektetve szétválasztja a kockán ábrázolt  $F^n$  függvény „1” értékű csúcsait a „0”-ásoktól, akkor az  $F^n$  függvény *lineárisan szeparálható*, és *egyszerű küszöbfüggvénnyel* leírható.

9.5. példa: Egy kétdimenziós kocka látható a 9-15a. ábrán. Két konkrét függvényt ábrázoltunk a *b)* és *c)* ábrákon:

$$F_I^2 = E_1^2 + E_2^2 + E_3^2 = A + B \quad (9-15b. \text{ ábra})$$

$$F_{II}^2 = E_0^2 + E_3^2 = \overline{AB} + AB \quad (9-15c. \text{ ábra})$$

Mint látható, a *b)* ábra esetében átfektethető egyetlen elválasztó,  $n-1 = 1$  dimenziós „hipersík” a befeketített „1” tényezőjű és az üres körrel jelölt „0” tényezőjű csúcsok között, míg a *c)* ábránál ezt a szeparálást egyetlen síkkal nem lehet elvégezni. Következésképpen a *b)* eset egyszerű küszöbfüggvénnyel, a *c)* eset csak összetett küszöbfüggvénnyel írható le. Minthogy pedig a fenti függvények irredundáns diszjunktív normál alakok, látható, hogy  $F_I^2$  unate, míg  $F_{II}^2$  nem unate.

#### 9.2.4. Identifikációs algoritmus

Eddigi eredményeink alapján már megadható egy olyan eljárásnak az algoritmus, amelynek segítségével felírhatunk egy adott  $F^n(X_1 \dots X_n)$  logikai függvénynek megfelelő elemi küszöbfüggvényt, amennyiben ilyen létezik. Az eljárás lépései a következők:



*I. lépés:*  $F^n(X_1 \dots X_n)$  diszjunktív irredundáns alakjának előállítása.

- II. lépés: Unate-vizsgálat. Ha a függvény nem unate, akkor a függvény lineárisan nem szeparálható.
- III. lépés: Ha a függvény unate, akkor a diszjunktív irredundáns alakot konvertáljuk egy minden változójában pozitív  $\Phi^n$  függvénybe, melynek minden súlyozási tényezőjére áll, hogy:  $W_i' > 0$ . Ezt a konvertálást a későbbi lépések érdekében végezzük el.
- IV. lépés: Megkeressük a hipersík helyét, mely az  $F^n = 1$  és  $F^n = 0$  értékekkel jellemzett csúcsok mezői között helyezkedik el az „ $n$ ” dimenziós kockában. Ehhez kikeressük a (9.7)-re és az  $e$ ) tételre támaszkodva a minimális „1”-es és a maximális „0”-ás csúcsokat, mivel a hipersík ezek közt kell, hogy elhelyezkedjen. A talált „ $p$ ” darab legnagyobb „1”-es és „ $q$ ” darab legkisebb „0”-ás csúcs  $p \times q$  darab egyenlőtlenséget eredményez, melyekből  $\Phi_K^n$  kizárólag pozitív előjelű  $W_i'$  tényezői és  $T'$  küszöbértéke meghatározhatók, így  $v\Phi$  felírható.
- V. lépés:  $\Phi_K^4$  visszakonvertálása (az ismert  $W_i'$  és  $T'$  értékek birtokában)  $F^n$ -be az  $a$ ) és  $b$ ) tételek alapján. A kapott eredmény már a keresett elemi küszöbfüggvény  $v_F$  vektora.

9.6. példa: Vizsgáljuk meg az alábbi logikai függvényt, és ha elemi küszöbfüggvénnyel leírható, határozzunk meg egy megfelelő  $v$  vektort.

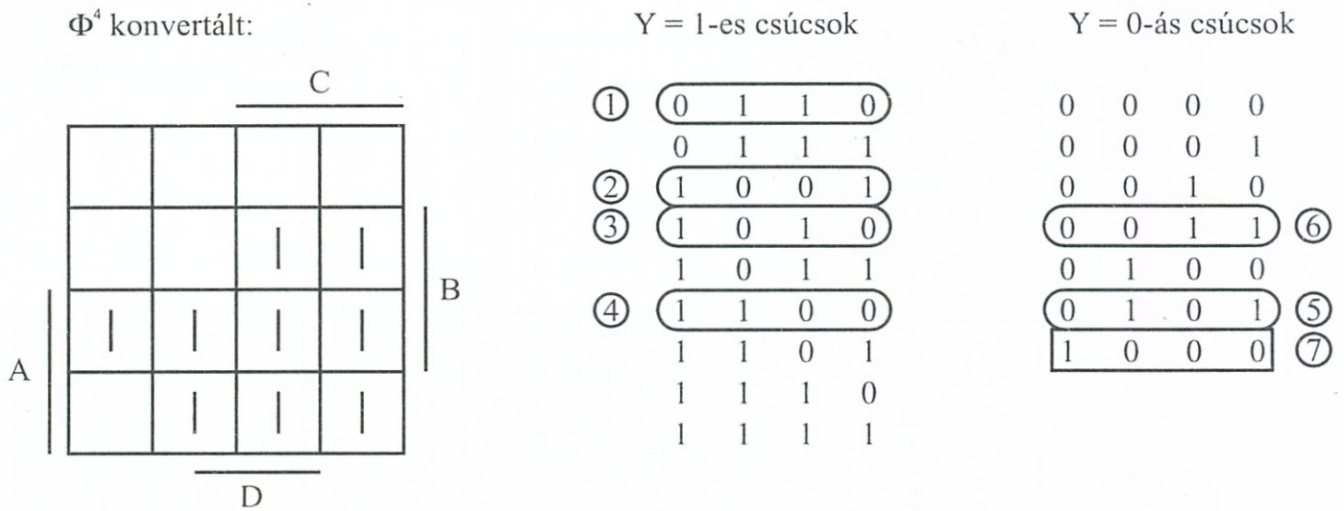
$$Y^4 = F_K^4(A, B, C, D) = \sum (0, 1, 3, 4, 5, 6, 7, 12, 13)$$

- I. lépés:  $V$ - $K$  táblán minimalizálva a diszjunktív irredundáns alak:

$$Y_K^4 = \bar{A}B + \bar{A}D + B\bar{C} + \bar{A}\bar{C}$$

- II. lépés: A függvény unate mindegyik változóra leolvashatóan ( $A$  és  $C$  mindenhol negált,  $B$  és  $D$  csak eredeti formában) szerepel:
- III. lépés: Konvertálás csupán negálatlan változókat tartalmazó  $\Phi_K^4$  függvénybe:

Mivel  $A$  és  $C$  negáltak, ezeknél kell változtatni, így a konvertált függvény:



9-16. ábra „1”-es és „0”-ás csúcsok szétválasztása

$$\Phi_K^4 = AB + AD + BC + AC$$

IV. lépés: Hipersík helyének megkeresése. Ehhez megkeressük az „1”-es csúcsok és a „0”-ás csúcsok halmazai közt elhelyezkedő határzónát, az  $n-1 = 4-1 = 3$  dimenziós hipersíknak ebben kell elhelyezkedni. A határzóna széléit a (9.7) szerinti parciális rendezésnek megfelelően a legkisebb „1”-es csúcsok és a legnagyobb „0”-ás csúcsok képezik. A kisebb-nagyobb összehasonlítást a (9.7) egyenlőtlenséggel végezzük. Az össze nem hasonlítható csúcsokat külön felsoroljuk. Példánkánál a 9-16. ábrán a V-K táblából felírtuk az „1”-es és „0”-ás csúcsokat.

A legkisebb „1”-es csúcsok azok lesznek az  $Y = 1$ -esek közül, melyekben a legkevesebb „1”-es van:

$$\rightarrow (0, 1, 1, 0) \quad (1, 0, 0, 1) \quad (1, 0, 1, 0) \quad (1, 1, 0, 0)$$

①                      ②                      ③                      ④

A legnagyobb „0”-ás csúcsok azok lesznek az  $Y = 0$ -ások között, amelyekben a legtöbb „1”-es van, illetve ide soroljuk az össze nem hasonlíthatókat is. Ez utóbbiak azok lesznek, amelyek a többi 0-ástól  $D > 1$  Hamming-távolságra vannak:

$$\Rightarrow \left\{ \begin{array}{ll} (0, 1, 0, 1) & (0, 0, 1, 1) \quad - \text{legtöbb 1-es} \\ \quad \quad \quad \text{⑤} & \quad \quad \quad \text{⑥} \\ (1, 0, 0, 0) & \quad \quad \quad - \text{össze nem hasonlítható egyik} \\ \quad \quad \quad \text{⑦} & \quad \quad \quad Y = 0\text{-ással sem} \end{array} \right.$$

A  $p = 4$  darab  $\rightarrow$  és  $q = 3$  darab  $\Rightarrow$  jelű csúcsot összehasonlítva,  $p \times q = 12$  darab egyenlőtlenség írható fel: Az ①-esen például  $(0, 1, 1, 0)$  a  $B$  és  $C$  változók helyén van 1-es, így ez a csúcs a  $W'_B$  és  $W'_C$ -re ad tájékoztatást. Azaz, írható

$$\rightarrow \left. \begin{array}{l} \textcircled{1} \quad W'_B + W'_C \\ \textcircled{2} \quad W'_A + W'_D \\ \textcircled{3} \quad W'_A + W'_C \\ \textcircled{4} \quad W'_A + W'_B \end{array} \right\} > \left\{ \begin{array}{l} W'_B + W'_D \quad \textcircled{5} \leftarrow \\ W'_C + W'_D \quad \textcircled{6} \\ W'_A \quad \textcircled{7} \end{array} \right.$$

Ezekből közvetlenül felírhatók a következők:

$$\left. \begin{array}{l} W'_A > W'_D \quad W'_C > W'_D \quad W'_B > 0 \\ W'_A > W'_B \quad W'_B > W'_D \quad W'_C > 0 \\ W'_A > W'_C \quad \quad \quad W'_D > 0 \end{array} \right\} \quad (9.8)$$

(9.8)-ból  $W'_A, W'_B, W'_C, W'_D$ -re sok megoldás adható meg. A realizáció szempontjából általában a *legkisebb egész értékekre* célszerű törekedni. (9.8)-ból látható, hogy  $W'_D$ , a legkisebb, ezt vegyük fel  $W'_D = 1$ -nek, akkor felírhatók a konvertált  $\Phi^4$  függvény súlytényezői:

$$W'_D = 1. \quad W'_C = W'_B = 2 \quad W'_A = 3$$

A  $\Phi^4$ -hez tartozó  $T'$  küszöbérték meghatározásához behelyettesítjük a súlyértékeket  $\rightarrow$  és  $\Rightarrow$  „legkisebb”, ill. „legnagyobb” csúcsokba, a „ $T'$ ” érték ezek súlyozott összege közt kell, hogy elhelyezkedjen:

$$\rightarrow \textcircled{1} \text{ csúcs: } (0, 1, 1, 0) \text{ súlyozott összege: } W'_B + W'_C = 2 + 2 = 4$$

$$\Rightarrow \textcircled{7} \text{ csúcs: } (1, 0, 0, 0) \text{ súlyozott összege: } W'_A = 3$$

$$\text{Innen: } 4 \geq T' > 3$$

$$\text{Választunk: } T' = 3,5\text{-öt}$$

Végül felírható  $\Phi^4$  súly-küszöb vektora:

$$v_\Phi = \{3, 2, 2, 1; 3, 5\}$$

V. lépés:  $\Phi^4$  visszakonvertálása  $F^4$ -be a) és b) tételek alapján. A III. lépésben  $X_i$ -ből  $X_i$ -be konvertált változók súlytényezőit itt a visszakonvertálásnál negatív előjellel látjuk el (példánkban A és C változók), a többiek pedig változatlanul maradnak. Így  $F^4$  súlytényezői:

$$W_D = 1, W_C = -2, W_B = 2, W_A = -3$$

A konvertált küszöbérték az 1. tétel szerint ( $W_i$ -ekkel jelöljük a negatív súlytényezőket).

$$T = T' - \sum W_i = 3,5 + W_A + W_C = 3,5 - 2 - 3 = -1,5$$

A kiinduló  $F^A$  függvényt leíró elemi küszöbfüggvény *súly-küszöb vektora* végül:

$$v_F = \{-3, 2, -2, 1; -1,5\}$$

azaz:

$$F^A = \sum_{i=0}^4 (0, 1, 3, 4, 5, 6, 7, 12, 13) = \langle 3A + 2B - 2C + D \rangle_{-1,5}$$

### 9.2.5. Összetett küszöbfüggvények szintézise

Egy tetszés szerinti  $F^n$  logikai függvény küszöb-logikás leírása, mint említettük, egyszerű vagy összetett küszöbfüggvényekkel lehetséges. Az első esetre vonatkozóan már az előző pontban megismertünk egy algoritmust. Most az összetett küszöbfüggvényes leírás lehetőségét vizsgáljuk meg a  $V$ - $K$  táblák felhasználásával.

A cél a minimális számú küszöb-elemet tartalmazó megoldás keresése.

Az eljárás során valójában az  $F^n$  függvény küszöb-elemes dekompozíciójára kerül sor, mely a következő tényekre épül:

A küszöbfüggvények eddig megismert tulajdonságai alapján bebizonyítható, hogy a  $V$ - $K$  táblákon definiálhatók olyan *megengedett alakzatok, melyek elemi küszöbfüggvényekkel leírhatók*.

a)  $n = 3$ -változós esetre a megengedett alakzatok típusait a 9-17a. ábra foglalja össze, egy tipikus  $n = 4$ -változós alakzat látható a 9-17b. ábrán.

b) Mindegyik alakzat bármely pozícióban elhelyezkedhet a táblán, ha alapvető topológiai struktúráját megtartja.

c) Alacsonyabb változó számhoz rendelt, megengedett alakzatok magasabb változószám esetén is megengedett alakzatok.

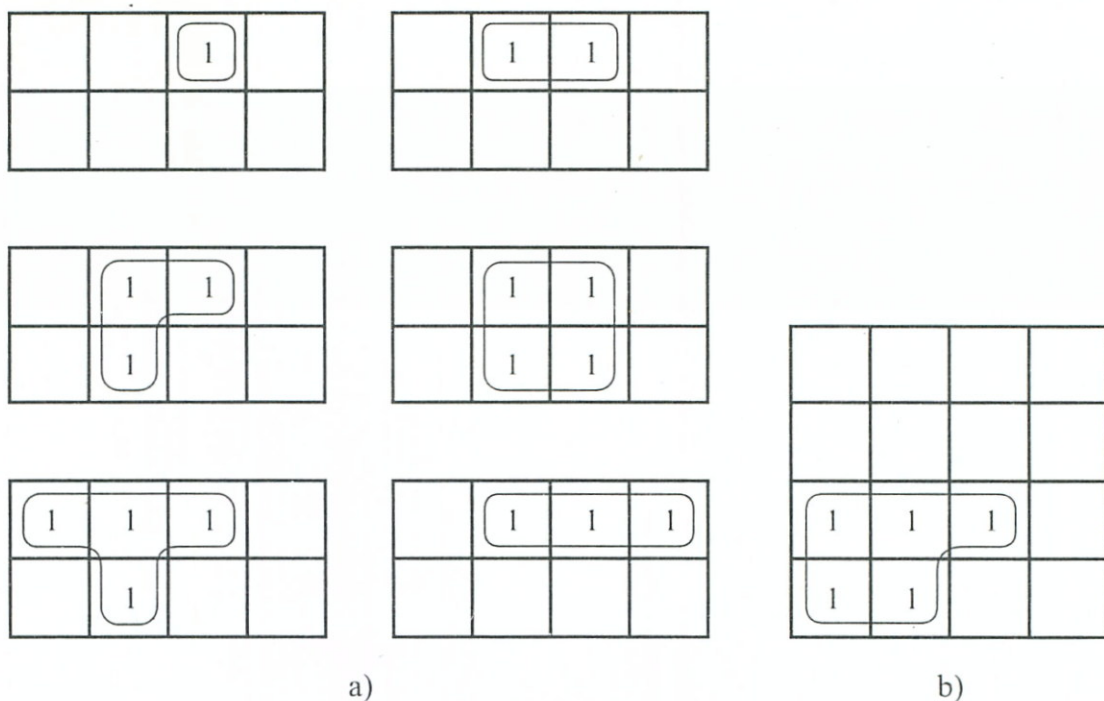
d) Mivel egy elemi küszöbfüggvény negáltja is elemi küszöbfüggvény, így a „0” cellák által képzett alakzatok is megengedettek.

Az eljárás fő lépései ezek után a következők:

*I. lépés: Diszjunktív irredundáns alak előállítása.*

*II. lépés: A kiinduló  $F^n$  BOOLE-függvény unate vizsgálata. Ha a függvény unate, úgy egyszerű küszöbfüggvény előállítása következik és a 9.2.4. pontban ismertetett eljárást alkalmazzuk. Ha a függvény nem unate, akkor következik a*



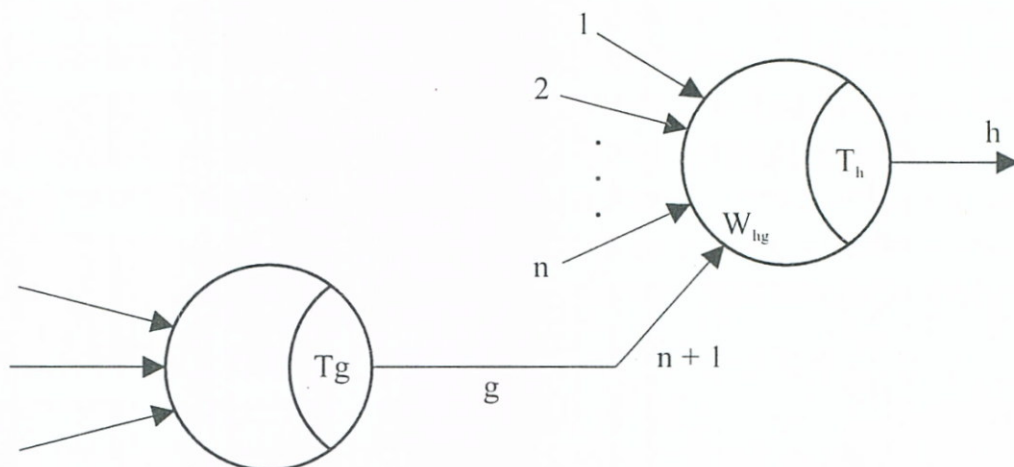


9-17. ábra Megengedett alakzatok

III. lépés: A függvényt a  $V-K$  táblán megengedett alakzatokkal fedjük le, és majd ezen alakzatokhoz tartozó elemi küszöbfüggvények kaszkád rendszerével írjuk le (9-18. ábra).

IV. lépés: A megengedett alakokhoz tartozó „ $n$ ” változós elemi küszöbfüggvények felírása (9.2.4. pont).

V. lépés: A kaszkád elrendezés „meghajtott” „ $h$ ”-elemének a „meghajtó” „ $g$ ”-elemmel csatlakozó,  $(n + 1)$ -edikként felvett bemenetéhez tartozó  $W_{hg}$  súlytényező megállapítása. Ezt olyan nagyra kell választani, hogy ha a „ $g$ ”-elem kimenete „1” értékű lesz, ennek hatása feltét-



9-18. ábra Kaszkád összetett küszöbfüggvény

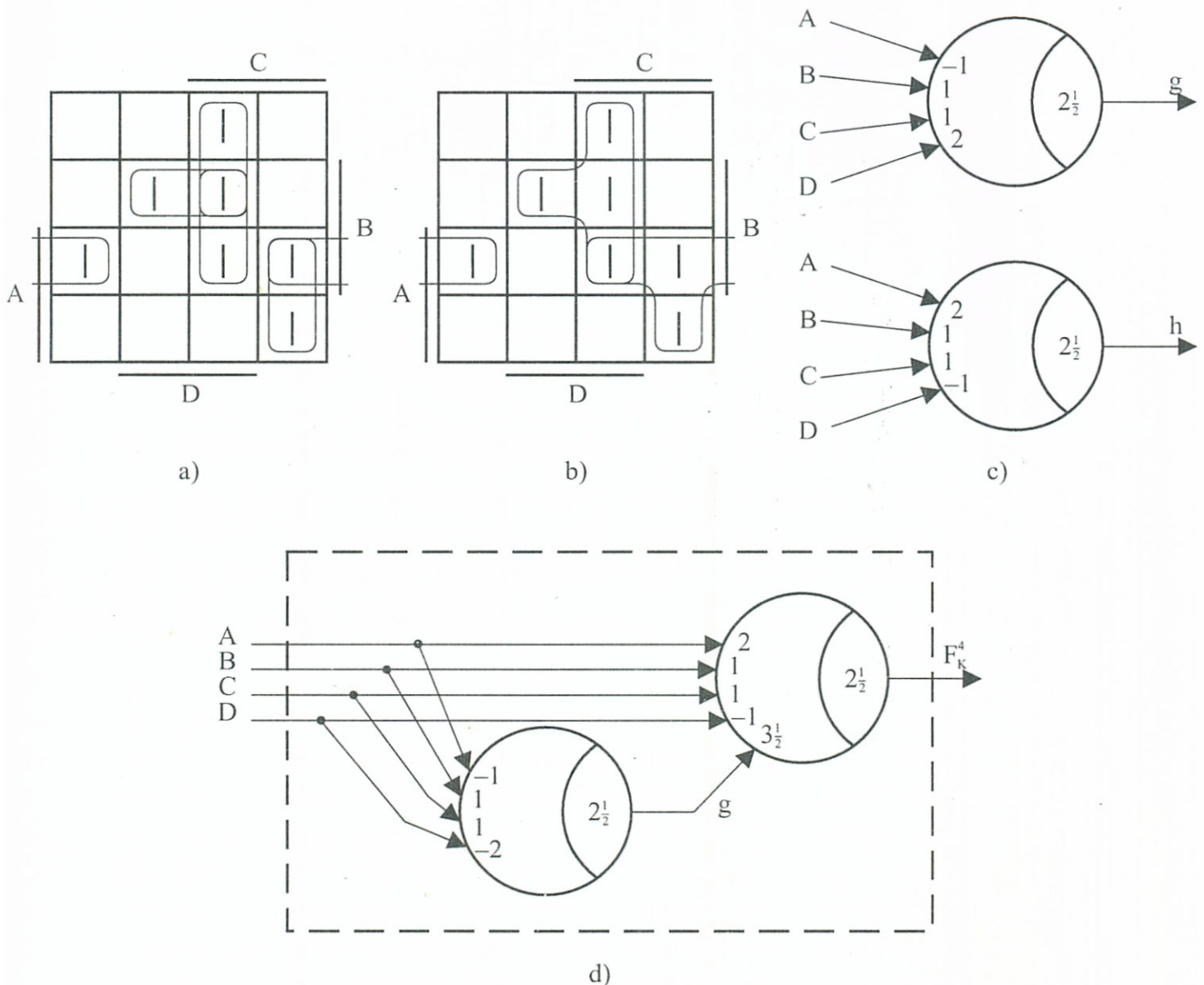
lenül átjuthasson a „ $h$ ” elem kimenetéhez. Ezért, ha „ $W_h$ ”<sup>negatív</sup>-val jelöljük a „ $h$ ” elem negatív súlytényezőinek abszolút értékeit, első közelítésben felírható:

$$W_{hg} = T_h + \sum W_{h \text{ negatív}} \quad (9.9)$$

9.7. példa: Vizsgáljuk meg a következő logikai függvényt, és írjuk fel küszöblogikás megfelelőjét:

$$Y^4 = F^4(A, B, C, D) = \sum (3, 5, 7, 10, 12, 14, 15)$$

I. lépés: Diszjunktív irredundáns alak előállítása. A függvény  $V$ - $K$  tábláját a 9-19a. ábra mutatja.



9-19. ábra Összetett küszöbfüggvény realizációja



II. lépés: Unate-vizsgálat. A diszjunktív irredundáns alakból látható, hogy a függvény nem unate, mivel „A” és „D” is szerepelnek negáltan és nem negáltan is:

$$Y^A = AB\bar{D} + \bar{A}BD + \bar{A}CD + BCD + ACD\bar{D}$$

III. lépés: Lefedés megengedett alakzatokkal. A lefedés 2 darab, a 3-változós táblán már definiált alakzattal is elvégezhető, ezek itt is megengedettnek számítanak (9-19b. ábra).

IV. lépés: A két megengedett alakhoz tartozó egyszerű küszöb-függvényeket a 9.2.4. pont algoritmusá szerint tudjuk meghatározni. Ezt itt nem részletezve a kapott eredmény:

$$v_g = \left\{ -1, 1, 1, 2; \quad 2 \frac{1}{2} \right\}$$

$$v_h = \left\{ 2, 1, 1, -1; \quad W_{hg}; \quad 2 \frac{1}{2} \right\}$$

A küszöb-elemeket a 9-19c. ábra mutatja.

V. lépés:  $W_{hg}$  meghatározása. Előző pontból:  $T_h = 2 \frac{1}{2}, \sum W_{h \text{ negatív}} = |-1| = 1$ . Behelyettesítve (9.9)-be kapjuk:

$$W_{hg} = T_h + \sum W_{h \text{ negatív}} = 2 \frac{1}{2} + 1 = 3 \frac{1}{2}$$

Ezt beírva az előző lépés  $v_h$ -jába már megkapjuk a keresett *összetett küszöb-függvényt*, mely a 9-19d. ábrán látható.

### 9.2.6. Összefoglalás

Az elmondottak alapján belátható, hogy a küszöblogikás kifejezőmód a műveletek nagyobb koncentrációját teszi lehetővé, így végeredményben egyszerűbb hálózat felépítést eredményez. Ebben rejlik elsősorban e rendszerek előnyös volta. Elterjedésük mégsem olyan gyors és általános, mint várható lenne, ennek oka a jelenleg még fennálló számos, hátrányos kötöttség.

Az egyik fő problémát a realizációs áramkörökkel szemben támasztott fokozott pontossági igény jelenti, mivel a kapcsolások fokozottabban érzékenyek az áramköri paraméterek megváltozására. Így például a 9-12. ábránál az  $R_1, R_2, R_3$  ellenállások szórása a súlyténye-

zók megváltozását, az  $R_T$ ,  $-U_T$  és a  $T_r$  tranzisztor bemenő paramétereinek elvándorlása a küszöbpont elcsúszását eredményezheti. Problémák jelentkeznek nagyobb bemenetszámnál is.

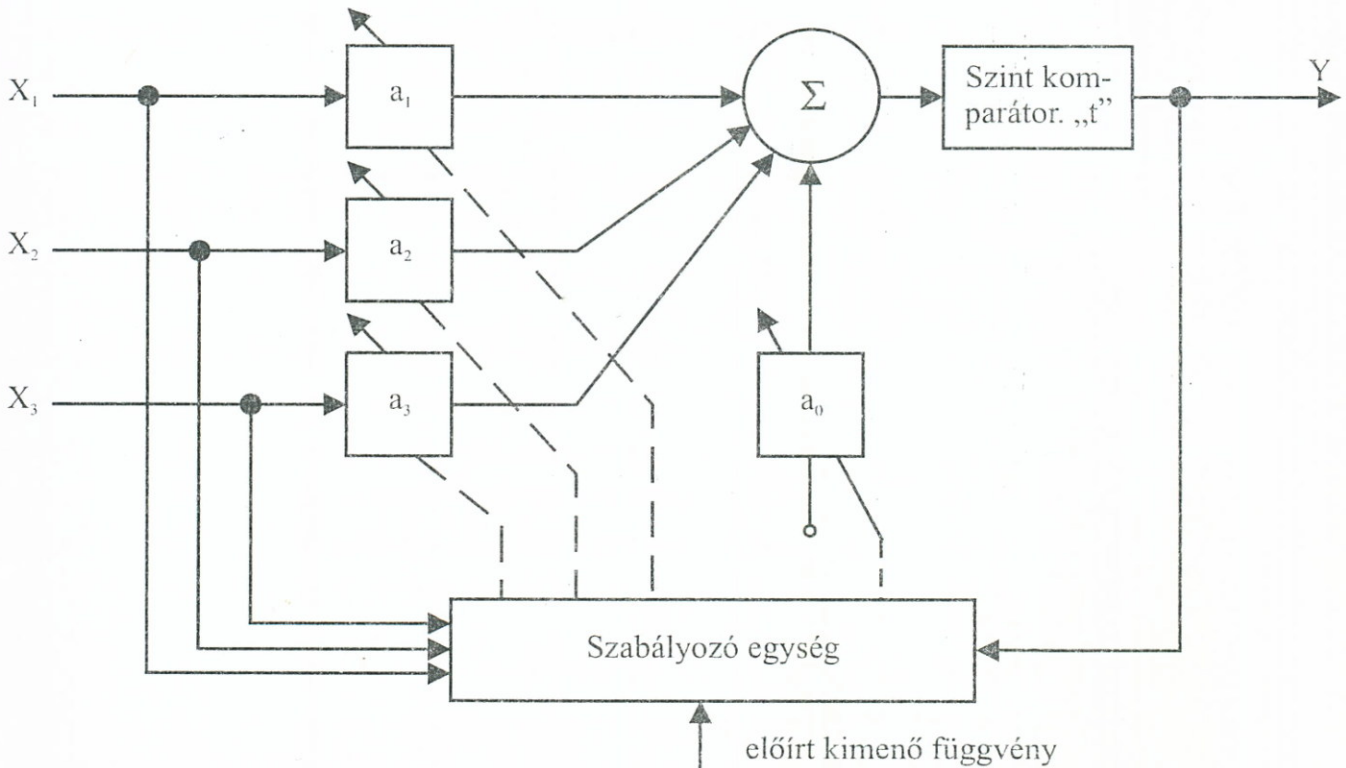
Másik probléma, a küszöblogikák tervezéséhez a hatékony szintézis-eljárások jelenleg matematikailag még nem minden részében tisztázott volta.

Napjainkban mindkét alapproblémával kapcsolatban intenzív kutatás folyik.

IC-s megoldásban már léteznek küszöblogikás rendszerek. MOS-tranzisztoros felépítéssel kidolgoztak olyan megoldásokat, ahol a  $W_i$  súlytényezők és a  $T'$  küszöbérték külső vezérléssel változtathatók, így egy küszöb-elem többféle logikai függvényt is realizálhat. Egy kapacitív analóg súlyozó tényezőkkel működő megoldást mutat a 9-20. ábra.

Egy szabályozó-áramkör, az előírt kimeneti függvénynek megfelelően „ $a_i$ ” kapacitív súlyozó tényezők feszültségét állítja be egy meghatározott adaptációs időszak alatt. Az „ $a_0$ ” tényező a  $T = t - a_0$  küszöb beállítására szolgál. Az előállított küszöbfüggvény:

$$Y = \begin{cases} 1 & \text{ha: } a_1 X_1 + \dots + a_3 X_3 \geq t - a_0 \\ 0 & \text{ha: } a_1 X_1 + \dots + a_3 X_3 < t - a_0 \end{cases}$$



9-20. ábra Programozható MOS-IC küszöbfüggvények

### 9.3. Majoritás és minoritás-logikák



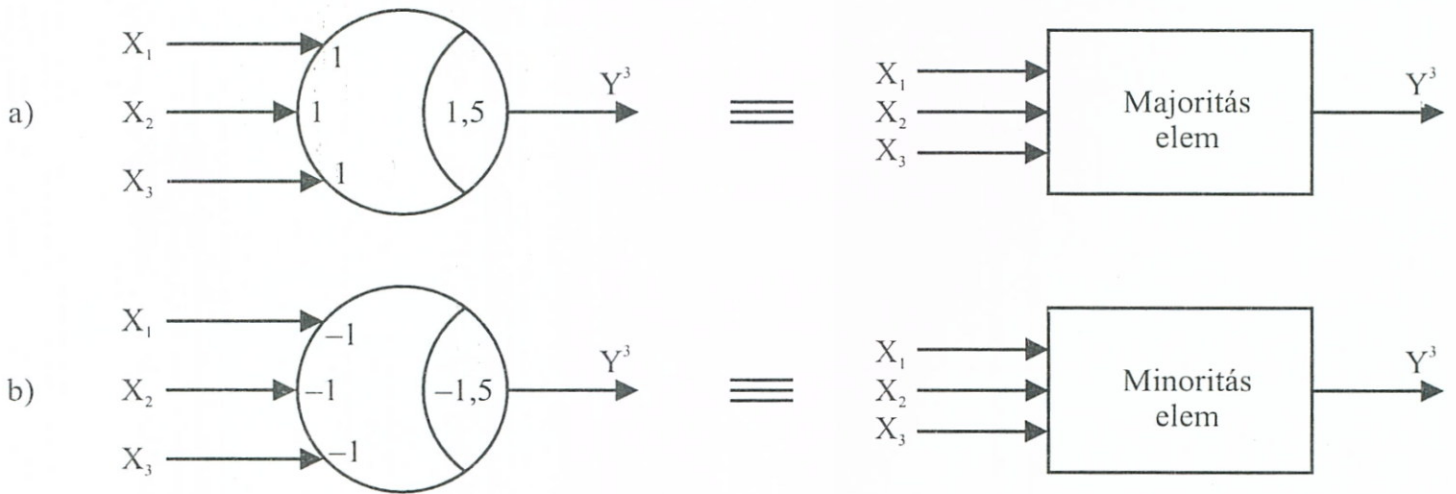
A küszöblogikák speciális osztályának tekinthetők a *majoritás* (más néven: többségi) és *minoritás* (más néven: kisebbségi) logikák, melyek majoritás-, ill. minoritás-kapukból épülnek fel.

A majoritás (minoritás) kapu egy olyan egyszerű logikai hálózat, melynél a kimeneti „ $Y$ ” akkor „1” értékű, ha a bemeneti  $X_1 \dots X_n$ -eknél a többség (kisebbség) „1”-es értéket vesz fel.

Mivel „többség” (kisebbség) legalább három résztvevő esetén definiálható használhatóan, ezért a majoritás (minoritás)-logikákat igen gyakran 3-bemenetű elemi kapukból építik fel.

A majoritás, ill. minoritás-kapukhoz önálló logikai műveleteket definiálhatunk, és segítségükkel funkcionálisan teljes rendszerek is felépíthetők. Egyes irodalmak külön algebrákat is tárgyalnak.

9.8. példa: Vizsgáljuk meg a 9-21a. ábrán látható logikai táblázatot majoritás és minoritás szempontjából.



c)

$X_1$	$X_2$	$X_3$	$F_{Ma}^3$	$F_{Mi}^3$
0	0	0	0	1
0	0	1	0	1
0	1	0	0	1
0	1	1	1	0
1	0	0	0	1
1	0	1	1	0
1	1	0	1	0
1	1	1	1	0

9-21. ábra Majoritás és minoritás logikák

Megállapítható, hogy

$$v_{Ma} = \{1, 1, 1; 1,5\}$$

$$v_{Mi} = \{-1, -1, -1; -1,5\}$$

súlyküszöb-vektorok mellett a 9-21b., ill. c. ábrák küszöb-elemei adhatók meg, melyek egy majoritás, ill. minoritás-elemnek felelnek meg.

Viselkedés szempontjából hasonló tulajdonságú kapukat kaphatunk volna az:

$$Y = F_{(2)(3)}^3(X_1, X_2, X_3) = F_{Ma}^3$$

$$Y = F_{(0)(1)}^3(X_1, X_2, X_3) = F_{Mi}^3$$

szimmetrikus függvények realizációja révén is.

## 9.4. Többértékű logikák

A kettőnél több állapotú kapcsoló-eszközökből felépíthető rendszerek kérdéskörével már évtizedek óta foglalkoznak és velük kapcsolatosan – különösen elméleti vonatkozásban – figyelemreméltó eredményeket értek el. Miután a komplement elem meghatározása többféle értelmezésben megközelíthető, ezért többféle algebra is kialakult az idők folyamán (Post, Lukasiewicz stb.). E fejezet keretében (elsősorban bevezető célzattal) csak néhány, műszaki alkalmazás szempontjából számításba jöhető alapfogalmat tárgyalunk.



### 9.4.1. A POST függvény fogalma és a vele kapcsolatos műveletek

A 2. fejezetben megismert kétértékű logikai függvény fogalmának egy általánosított változatához jutunk a többértékű változókon felépülő, ún. „POST-függvény” bevezetésével.

Az  $Y = F^n(X_1 \dots X_i \dots X_n)$  „ $n$ ”-változós Post-függvény a  $\{0, 1 \dots (R-1)\}$  halmaz „ $n$ ”-szeres Descartes-szorzatát egyértelműen a  $\{0, 1, \dots (R-1)\}$  halmazba képezi le. Fennáll:

$$X_i \in \{0, 1 \dots (R-1)\} \quad (i = 1, 2 \dots n)$$

$$Y \in \{0, 1 \dots (R-1)\}$$

A képezhető POST-függvények száma:  $N = R^R$

Mint látható, a POST-függvények „ $X_i$ ”, „ $Y$ ” változói több lehetséges diszkrét értéket vehetnek fel, ily módon az ún. „többértékű logikák” leírására szolgálnak.

A POST-függvények  $R = 2$  esetén a 2. fejezetbeli logikai függvényekbe (BOOLE-függvényekbe) mennek át.

*Operátorok, komplement, algebrai összefüggések*

A többértékű függvényekben szereplő többértékű mennyiségek algebraja eltér a már tárgyalt bináris algebraétól. A fő problémát a *komplement* kérdésköre jelenti, miután ez „ $R$ ” érték esetén többféleképpen is definiálható. A többféle lehetséges definíciónak megfelelően az idők folyamán különféle algebraik alakulhattak ki, mint ezt a bevezetőben már említettük.

*a) Operációk és tulajdonságaik*

Az  $A, B \dots K$  ( $A, B, \dots K \in \{0, 1 \dots (R-1)\}$ ) többértékű mennyiségekre definiálhatók a következő operációk:

$$\begin{aligned} \text{Min}(A, B \dots K) &= A \cdot B \cdot \dots \cdot K \\ \text{Max}(A, B \dots K) &= A + B + \dots + K \end{aligned} \tag{9.10}$$

9.9. példa: A 9-22. ábrán szemléltetésül megadtuk  $R = 3$  értékű két mennyiség esetére a  $\text{Min}(A, B)$  és  $\text{Max}(A, B)$  operátorokat.

$A$	$B$	$\text{Min}(A, B)$	$\text{Max}(A, B)$
0	0	0	0
0	1	0	1
0	2	0	2
1	0	0	1
1	1	1	1
1	2	1	2
2	0	0	2
2	1	1	2
2	2	2	2

9-22. ábra 3-értékű igazságtáblázat  $\text{Min}$  és  $\text{Max}$  műveletekre

A (9.10) definícióval kapcsolatban fennállnak a következő tulajdonságok:

I.	$A \cdot B$	$= B \cdot A$	Kommutativitás	}	(9.11)		
	$A+B$	$= B+A$					
II.	$A \cdot B \cdot C$	$= A \cdot (B \cdot C)$	Asszociativitás				
	$A+B+C$	$= A+(B+C)$					
III.	$A \cdot (B+C)$	$= A \cdot B + A \cdot C$	Disztributivitás				
	$A+(BC)$	$= (A+B)(A+C)$					
IV.	$A \cdot (R-1)$	$= A$	Egység			}	elem létezése
	$A+0$	$= A$	Nulla				

### b) Komplementek

A komplement fogalmára több definíciót adunk meg.

#### 1. Komplement:

$$\overline{A} = (R-1) - A \quad (9.12)$$

ahol: a mínusz jel *aritmetikai* kivonást jelent és:  $A \in \{0, 1 \dots (R-1)\}$

#### 2. Komplement:

Vezessük be a következő „unáris operátort”

$$X = \begin{cases} R-1 & \text{ha: } a \leq X \leq b \\ 0 & \text{egyébként} \end{cases} \quad (9.13)$$

ahol:  $X, a, b \in \{0, 1 \dots (R-1)\}$

és:  $a \leq b$  fix konstans-értékek.

Ezután a komplement:

$$\overline{X} = \begin{cases} 0 & \text{ha: } a \leq X \leq b \\ R-1 & \text{egyébként} \end{cases} \quad (9.14)$$

További, az irodalomban tárgyalt komplement képzésnél használható műveletek, pl. a POST-féle „ciklikus tagadás” és „forgatás” műveletek, melyek segítségével külön algebraik építhetők fel. Jelen vizsgálódásainkhoz ezek nem szükségesek, így velük részletesebben nem foglalkozunk.

A következőkben fenti két komplement felhasználásával építjük fel algebrai rendszerünket, mégpedig oly módon, hogy az 1. típust konstans-értékekre, míg a 2. típust változókra definiáljuk.

A 2. típussal kapcsolatban bevezetett  ${}_{X}^{a,b}$  valójában kétértékű (bináris) változó, annak ellenére, hogy maga „ $X$ ” „ $R$ ”-értékű változó. Ily módon az  ${}_{X}^{a,b}$  kétértékű változóra felhasználhatjuk a kétértékű BOOLE-algebra már megismert tételeit is a továbbiakban.

További összefüggéseket foglaltunk össze a 9-23. ábrán.

a	$\overline{a,b} = X + X$ $X = 0, a-1 \quad b+1, R-1$ <p>ahol: <math>X = 0, \text{ ha: } a=0</math></p> $X = 0, \text{ ha: } b=R-1$
b	$X = R-1$
c	$X + \overline{X} = R-1$
d	$X + X = \begin{cases} a,b & \text{ha: } a \leq y \leq w \leq b \\ y,b & \text{ha: } y \leq a \leq w \leq b \\ w+1, y-1 & \text{ha: } a \leq w \leq y \leq b \end{cases}$
e	$X + X = \begin{cases} 0 & \text{ha: } a \leq w \leq y \leq b \\ y,w & \text{ha: } a \leq y \leq w \leq b \\ y,b & \text{ha: } a \leq y \leq b \leq w \end{cases}$
f	<p>DE MORGAN:</p> $\overline{C \cdot X_1 \cdot X_2 \dots X_n} = C + \overline{X_1} + \overline{X_2} + \dots + \overline{X_n}$ $C + \overline{X_1} + \overline{X_2} + \dots + \overline{X_n} = \overline{C \cdot X_1 \cdot X_2 \dots X_n}$
g	$\text{Min}(X_1, X_2 \dots X_n) = X_1 \cdot X_2 \dots X_n$ $\text{Max}(X_1, X_2 \dots X_n) = X_1 + X_2 + \dots + X_n$ <p><math>a, b, y, w, X_i, C \in \{1, 2 \dots R-1\}</math></p>

9-23. ábra Az unáris operátorral kapcsolatos műveletek

$\Sigma$  és  $\Pi$  ALAKOK. TERM TÁBLÁK

## a) Teljesen meghatározott függvények

Minden többértékű logikai függvény előállítható a következő kanonikus alakban:

$$Y = \sum_K \alpha_K \cdot \overset{a_{K_1}, a_{K_1}}{X_1} \cdot \overset{a_{K_2}, a_{K_2}}{X_2} \cdot \dots \cdot \overset{a_{K_n}, a_{K_n}}{X_n} = \sum_K \alpha_K \cdot E_K^n \quad (9.15)$$

ahol:  $\alpha_K \in \{0, 1 \dots (R-1)\}$  konstans  
 $E_K^n$  – egy  $n$  változós „Min-term”.

Komplemente pedig felírható az alábbi módon:

$$\bar{Y} = \prod_K (\overline{\alpha_K} + \overset{a_{K_1}, a_{K_1}}{X_1} + \dots + \overset{a_{K_n}, a_{K_n}}{X_n}) \quad (9.16)$$

Itt:  $\overline{\alpha_K}$  – a (9.12) szerint:  $\overline{\alpha_K} = (R-1) - \alpha_K$   
 $\overset{a_{K_j}, a_{K_j}}{X_j}$  – a (9.14) szerint képezhető.

(9.15) formula alapján felírható a következő alak is:

$$Y = F_1 + F_2 + \dots + F_{R-1} = \sum_{i=1}^{R-1} F_i \quad (9.17)$$

ahol:  $F_i = i \cdot \sum_{j=1}^{q_i} E_j^n$ ,  $i \in \{0, 1 \dots (R-1)\}$

$E_j^n$  – azokat a „Min-term”-eket jelöli, ahol  $Y = i$

$q_i$  – azoknak a „term”-eknek száma, ahol  $Y = i$

A (9.17) alak  $R = 2$  esetén a (9.15) alakba megy át.

9.10. példa: Írjuk fel a 9-24. ábra logikai táblázatával megadott  $n = 1$  kétváltozós  $R = 3$ -értékű logikai függvényt, ill. komplementét  $\Sigma$  és  $\Pi$  alakjaiban.

A többértékű elemeket rendszerező logikai táblázat felépítését az ábrán tanulmányozhatjuk. A sorok száma:  $R^n = 3^2 = 9$ . Az I. és II. oszlopban az  $X_1, X_2$  független változók minden lehetséges értékvariációja szerepel. A III. oszlopban az  $Y$ -értékeknek a megfelelő sorba történő beírásával adjuk meg a konkrét függvényt. A IV. oszlop értékei már számítás eredményeképpen adódtak. Mivel a táblabeli értékek konstansok, így a komplementet a (9.12) módon képezzük sorról sorra.





I.	II.	III.	IV.
$X_1$	$X_2$	$Y$	$\bar{Y}$
0	0	2	0
0	1	0	2
0	2	0	2
1	0	2	1
1	1	0	2
1	2	2	0
2	0	1	1
2	1	0	2
2	2	0	2

9-24. ábra A 9.10. példa kiinduló igazságtáblázata

Pl.  $Y_x = 2$  esetén  $\bar{Y}_x = (R-1) - Y_x = (3-1) - 2 = 0$ .

– A (9.15) szerinti kanonikus alakot felírva:

$$\begin{aligned}
 & 0,0 \ 0,0 \quad 0,0 \ 1,1 \quad 0,0 \ 2,2 \\
 Y = & 2 \cdot X_1 \cdot X_2 + 0 \cdot X_1 \cdot X_2 + 0 \cdot X_1 \cdot X_2 + \\
 & 1,1 \ 0,0 \quad 1,1 \ 1,1 \quad 1,1 \ 2,2 \\
 + & 1 \cdot X_1 \cdot X_2 + 0 \cdot X_1 \cdot X_2 + 2 \cdot X_1 \cdot X_2 + \\
 & 2,2 \ 0,0 \quad 2,2 \ 1,1 \quad 2,2 \ 2,2 \\
 + & 1 \cdot X_1 \cdot X_2 + 0 \cdot X_1 \cdot X_2 + 0 \cdot X_1 \cdot X_2 = \\
 & 0,0 \ 0,0 \quad 1,1 \ 0,0 \quad 1,1 \ 2,2 \quad 2,2 \ 0,0 \\
 = & 2 \cdot X_1 \cdot X_2 + 1 \cdot X_1 \cdot X_2 + 2 \cdot X_1 \cdot X_2 + 1 \cdot X_1 \cdot X_2
 \end{aligned}$$

Mint látható, az  $\alpha_k$  koefficienseket  $Y$ -nak a megfelelő sorhoz tartozó táblabeli értékei képezik.

– Innen átrendezéssel kapható a (9.17) szerinti alak:

$$Y = 1 \cdot \underbrace{(X_1 \cdot X_2 + X_1 \cdot X_2)}_{F_1} + 2 \cdot \underbrace{(X_1 \cdot X_2 + X_1 \cdot X_2)}_{F_2} = F_1 + F_2$$

– A komplementek  $\Pi$  alakban felírva:

$$\begin{aligned} \bar{Y} = & (\overline{0,0} + \overline{0,0} + \overline{0,0}) \cdot (\overline{2,2} + \overline{1,1} + \overline{1,1}) \cdot (\overline{2,2} + \overline{2,2} + \overline{2,2}) \cdot \\ & (\overline{1,1} + \overline{0,0} + \overline{0,0}) \cdot (\overline{2,2} + \overline{1,1} + \overline{1,1}) \cdot (\overline{0,0} + \overline{2,2} + \overline{2,2}) \cdot \\ & (\overline{2,2} + \overline{0,0} + \overline{0,0}) \cdot (\overline{2,2} + \overline{1,1} + \overline{1,1}) \cdot (\overline{2,2} + \overline{2,2} + \overline{2,2}) \end{aligned}$$

b) *Részben meghatározott függvények*

A többértékű függvényekkel kapcsolatban is adódhatnak olyan feladatok, amelyek részben határozott függvényekre vezetnek. Itt a  $h_i$  határozatlan értékekhez a  $\{0, 1 \dots (R-1)\}$  halmaz bármelyik értékét hozzárendelhetjük. A részben határozatlan függvények (9.15), ill. (9.16) típusú kanonikus alakjaiban a határozatlan eseteknél az  $\alpha_K$  koefficiensek helyébe  $h_i$  kerül.

Ha egy  $Y = F^n(X_1 \dots X_n)$   $R$  értékű függvény részben meghatározott függvény, akkor felírható a következőképpen, analógiában (9.17)-tel:

$$Y = \left( \sum_{i=1}^{R-1} F_i \right) + F_h \quad (9.18)$$

ahol: a zárójeles tag (9.17) szerint értelmezendő, továbbá:

$$F_h = \sum_{k=1}^{q_h} h_k \cdot E_K^n$$

$E_K^n$  = azokat a „Min-term”-eket jelöli, ahol

$$Y = h_k \quad (h_k \in \{0, 1 \dots (R-1)\})$$

$q_h$  = azoknak a term-eknek száma, ahol

$$Y = h_K.$$

c) *Grafikus leírásmód, term-tábla*

A többértékű függvények grafikus leírása analógiába állítható a kétértékű BOOLE-függvények  $V$ - $K$  táblás leírásával. Így a kanonikus alak egy-egy termjének itt is a *term-tábla* egy-egy sejtje felel meg és a függvény annyi sejtet fed le, ahány nem nulla értékű, különböző term a kanonikus alakban szerepel.

Mivel a *term-tábla* sejtjeinek száma itt:  $R^n$ , ezért a grafikus leírás „ $R$ ”, ill. „ $n$ ” növekedésével rohamosan terjedőssé válik.

$X_1$	$X_2$	Y
0	0	0
0	1	1
0	2	$h_1$
0	3	0
1	0	3
1	1	0
1	2	$h_2$
1	3	0
2	0	0
2	1	0
2	2	1
2	3	2
3	0	$h_3$
3	1	0
3	2	0
3	3	1

$X_2 \backslash X_1$	0	1	2	3
0	0	3	0	$h_3$
1	1	0	0	0
2	$h_1$	$h_2$	1	0
3	0	0	2	1

a) b)

9-25. ábra Logikai értéktáblázat határozatlan esetekkel

9.11. példa: Adott a 9-25a. ábra logikai táblázatával az  $Y = F^2(X_1, X_2)$ ,  $R = 4$  értékű részben határozott függvény. Írjuk fel (9.15), (9.18) szerinti  $\Sigma$  alakjait és ábrázoljuk *term-táblán* is.

– A *kanonikus* alak:

$$\begin{aligned}
 Y = & 1 \cdot X_1 \cdot X_2 + h_1 \cdot X_2 \cdot X_2 + 3 \cdot X_1 \cdot X_2 + h_2 \cdot X_1 \cdot X_2 + \\
 & + 1 \cdot X_1 \cdot X_2 + 2 \cdot X_1 \cdot X_2 + h_3 \cdot X_1 \cdot X_2 + 1 \cdot X_1 \cdot X_2
 \end{aligned}$$

– Az  $F_i$  alak (9.17) szerint:

$$\begin{aligned}
 Y = & \underbrace{1 \cdot (X_1 \cdot X_2 + X_1 \cdot X_2 + X_1 \cdot X_2)}_{F_1} + \underbrace{2 \cdot X_1 \cdot X_2}_{F_2} + \\
 & + \underbrace{3 \cdot X_1 \cdot X_2}_{F_3} + \underbrace{h_1 \cdot X_1 \cdot X_2 + h_2 \cdot X_1 \cdot X_2 + h_3 \cdot X_1 \cdot X_2}_{F_h}
 \end{aligned}$$

– A *term-táblát* a 9-25b. ábrán rajzoltuk fel.

## 9.4.2. Többértékű függvények minimalizálása

A többértékű logikai függvények minimalizálása a korábbi 2. fejezetben és a 7. fejezet 7.1. pontban bevezetett általános érvényű fogalmakon alapul. A 9-23. ábra operátorainak felhasználásával többértékű függvényeink és komplementeik kétszintes minimál alakban adhatók meg. A többértékű logikák minimalizálásra formuláris, grafikus és táblázatos módszerek is kidolgozásra kerültek. A táblázatos módszerek közt szerepelnek a McCluskey eljárással rokon felépítésű eljárások is. A továbbiakban – helyszűke miatt – csak a formuláris és grafikus módszereket tárgyaljuk vázlatosan.



### 9.4.2.1. Formuláris minimalizálási módszerek

A formuláris minimalizálás a (9.11)-ben felsorolt tulajdonságoknak, a 9-23. ábra összefüggéseinek és a BOOLE-algebra itt is érvényes szabályainak felhasználásán alapul.

A minimalizálást célszerű a következő főbb lépésekben végezni:

- I. lépés:* A (9.17) vagy (9.18) szerinti alakok összetevőinek előállítására a célból, hogy „ $F_i$ ”-ket egymás után minimalizálhassuk.
- II. lépés:* Először az  $i = R-1$  esetekhez tartozó  $F_{R-1}$ -et egyszerűsítjük. Ha „ $F_h$ ” is van, akkor az egyszerűsítésnél figyelembe vesszük a „ $h_k$ ”-értékű don't care term-eket is, a  $h_1, h_2 \dots$  stb. értékeinek legcélszerűbb megválasztásával.
- III. lépés:* Ezután  $i = R-2$  eset következik  $F_{R-2}$  egyszerűsítésével. Itt felhasználjuk a  $\text{Min}(A, B)$  operátor tulajdonságai alapján közvetlenül belátható alábbi tételt:

Ha ugyanazt a term-et egyszerre  $F_{R-1}$  és  $F_{R-1+1}$  összetevők is előállítják, akkor írható:

$$\text{Min}[F_{R-1}, F_{R-1+1}] = F_{R-1}, \quad (9.19)$$

melyből az következik, hogy  $F_{R-1}$ -nél az  $F_{R-1+1}$ -hez tartozó termeket is határozatlannak tekintjük az eredeti „ $h_k$ ”-k mellett.

- IV. lépés:* Folytatjuk az  $i = R-3, R-4 \dots$  stb. esetek egyszerűsítését a *III. lépés* szabályai szerint egészen  $i = 1$  esetig,  $F_1$  minimalizálásának befejezéséig.
- V. lépés:* Minimálalak felírása.

9.12. példa: Írjuk fel a következő  $R = 4$  értékű teljesen meghatározott  $n = 2$  változós függvény minimál alakját:

$$Y = 2 \cdot X_1 \cdot X_2 + 2 \cdot X_1 \cdot X_2 + 2 \cdot X_1 \cdot X_2 + 2 \cdot X_1 \cdot X_2$$

Mint látható, a függvény nem kanonikus alakban van megadva. A kanonikus alak  $R^n = 4^2 = 16$  összetevőt, a logikai táblázat ugyanannyi sort tartalmazna, ha felírnánk. Megvizsgálva a függvényt, megállapítható, hogy itt:

$$Y = F_2,$$

azaz a minimalizálás egyszerű algebrai egyszerűsítésre redukálódik, mivel  $F_h = 0$  a teljes határozottság miatt. Ezek után a *disztributív* tulajdonság (9.11) és pl. a 9-23. ábra a) szabályának felhasználásával kihozható a minimálalak:

$$\begin{aligned} Y &= 2 \cdot X_1 \cdot (X_2 + X_2) + 2 \cdot X_1 \cdot (X_2 + X_2) = \\ &= 2 \cdot X_1 \cdot X_2 + 2 \cdot X_1 \cdot X_2 = \\ &= 2 \cdot X_2 (X_1 + X_1) = \\ &= 2 \cdot X_2 \cdot X_1 \end{aligned}$$

$X_1$	$X_2$	$Y$
0	0	$h_1$
0	1	1
0	2	2
1	0	0
1	1	2
1	2	$h_1$
2	0	1
2	1	1
2	2	2

9.13. példa: Adva a 9-26. ábra logikai táblázatával egy  $R = 3$  állapotú,  $n = 2$ -változós, részben határozott többértékű függvény.

A minimalizált alakot az előzőleg vázolt algoritmus segítségével állíthatjuk elő:

I. lépés: (9.18)  $\Sigma$  alak összetevőinek előállítás:

$$Y = F_1 + F_2 + F_h$$

Az  $Y = 1$ -hez tartozó sorokból felírható:

$$F_1 = 1 \cdot (X_1 \cdot X_2 + X_1 \cdot X_2 + X_1 \cdot X_2)$$

Az  $Y = 2$  sorokból:

$$F_2 = 2 \cdot (X_1 \cdot X_2 + X_1 \cdot X_2 + X_1 \cdot X_2)$$

9-26. ábra Logikai táblázat a 9.13. példához

végül az  $Y = h_i$  sorokból:

$$F_h = h_1 \overset{0,0}{X_1} \cdot \overset{0,0}{X_2} + h_2 \overset{1,1}{X_1} \cdot \overset{2,2}{X_2}$$

II. lépés: Ezután írhatjuk az  $i = R - 1 = 3 - 1 = 2$  esetre:

$$\begin{aligned} F_2 + F_h &= \overset{2,2}{X_2} (2 \cdot \overset{0,0}{X_1} + 2 \cdot \overset{2,2}{X_1} + h_2 \overset{1,1}{X_1}) + \\ &+ \overset{1,1}{X_1} (2 \cdot \overset{2,2}{X_2} + h_2 \overset{0,0}{X_2}) + h_1 \cdot \overset{0,0}{X_1} \cdot \overset{0,0}{X_2} \end{aligned}$$

felvéve:  $h_2 = 2$  és  $h_1 = 0$  értékeket kapjuk:

$$\begin{aligned} F_2 + F_h &= 2 \cdot \overset{2,2}{X_2} (\overset{0,0}{X_1} + \overset{1,1}{X_1} + \overset{2,2}{X_1}) + 2 \cdot \overset{1,1}{X_1} (\overset{2,2}{X_2} + \overset{1,1}{X_2}) = \\ &= 2 \cdot \overset{2,2}{X_2} \cdot \overset{0,2}{X_1} + 2 \cdot \overset{1,1}{X_1} \cdot \overset{1,2}{X_2} \end{aligned}$$

mivel:  $X_1 = \overset{0,2}{X_1} = \overset{0, R-1}{X_1} = R - 1 = 3 - 1 = 2$  (b. szabály)

$$F_2 + F_h = 2(\overset{2,2}{X_2} \cdot 2 + \overset{1,1}{X_1} \cdot \overset{1,2}{X_2}) = 2(\overset{2,2}{X_2} + \overset{1,1}{X_1} \cdot \overset{1,2}{X_2})$$

III. lépés: A következő lépés az  $i = R - 2 = 3 - 2 = 1$  eset, ahol az összes 2-es tényezőt  $h$ -nak tekintjük a \*-gal jelzett  $F_2 + F_h$  alakban, majd írjuk:

$$\begin{aligned} F_1 + (F_2 + F_h)_{2=h} &= \overset{0,0}{1} (\overset{1,1}{X_1} \cdot \overset{2,2}{X_2} + \overset{0,0}{X_1} \cdot \overset{2,2}{X_2} + \overset{2,2}{X_1} \cdot \overset{1,1}{X_2}) + \\ &+ \overset{2,2}{X_2} (h \cdot \overset{0,0}{X_1} + h \cdot \overset{2,2}{X_1} + h_2 \cdot \overset{1,1}{X_1}) + \\ &+ \overset{1,1}{X_1} (h \cdot \overset{2,2}{X_2} + h_2 \cdot \overset{0,0}{X_2}) + h_1 \cdot \overset{0,0}{X_1} \cdot \overset{0,0}{X_2} = \\ &= \overset{0,0}{X_1} (1 \cdot \overset{1,1}{X_2} + h \cdot \overset{2,2}{X_2} + h_1 \cdot \overset{0,0}{X_2}) + \overset{2,2}{X_1} (1 \cdot \overset{2,2}{X_2} + 1 \cdot \overset{0,0}{X_2} + h \cdot \overset{1,1}{X_2}) + \\ &+ \overset{1,1}{X_1} \cdot (h_2 \cdot \overset{2,2}{X_2} + h \cdot \overset{1,1}{X_2} + h_2 \cdot \overset{2,2}{X_2}) \end{aligned}$$

$h = h_1 = 1$ -et választva az első két tagban,  $h = h_2 = 0$ -át a harmadikban:

$$\begin{aligned}
 F_1 + (F_2 + F_h)_{2=h} &= 1 \cdot X_1 \cdot X_2 + 1 \cdot X_1 \cdot X_2 = \\
 &= 1 \cdot X_2 (X_1 + X_1) = 1 \cdot X_2 \cdot X_1 = 1 \cdot X_1
 \end{aligned}$$

IV. lépés-re nincs szükség, miután már a III. lépésben elértük  $F_1$ -et.

V. lépés: A minimálalak:

$$Y = 2 \cdot (X_2 + X_1 \cdot X_2) + 1 \cdot X_1$$

### 9.4.2.2. Grafikus minimalizálási módszerek

a) A term-tábla sejtjeiből itt is alkothatók tömbök, melyek egy lefedő implikánsnak felelnek meg. A törekvés úgyszintén a „legnagyobb tömbök” előállítására irányul, miután a lefedő implikánsok így egyszerűbbek lesznek. (9.17), (9.18) és (9.19) értelmében – hasonlóan a formuláris módszerekhez – itt is az  $F_i$ ,  $i = R-1$  esettel kezdjük a tömbösítést, majd az itteni sejtet „h”-nak tekintve, folytatjuk az  $i = R-2$  esettel.

$X_1 \backslash X_2$	0	1	2
0	$h_1$	0	1
1	1	2	1
2	2	$h_2$	2

a)  $i = R - 1 = 2$

$$F_2 + F_h = 2 \cdot (X_2 + X_1 \cdot X_2)$$

$X_1 \backslash X_2$	0	1	2
0	$h_1$	0	1
1	1	h	1
2	h	$h_2$	h

b)  $i = R - 1 = 2$

$$F_1 + (F_2 + F_h)_{2=h} = 1 \cdot X_1$$

$$Y = 2 \cdot (X_2 + X_1 \cdot X_2) + 1 \cdot X_1$$

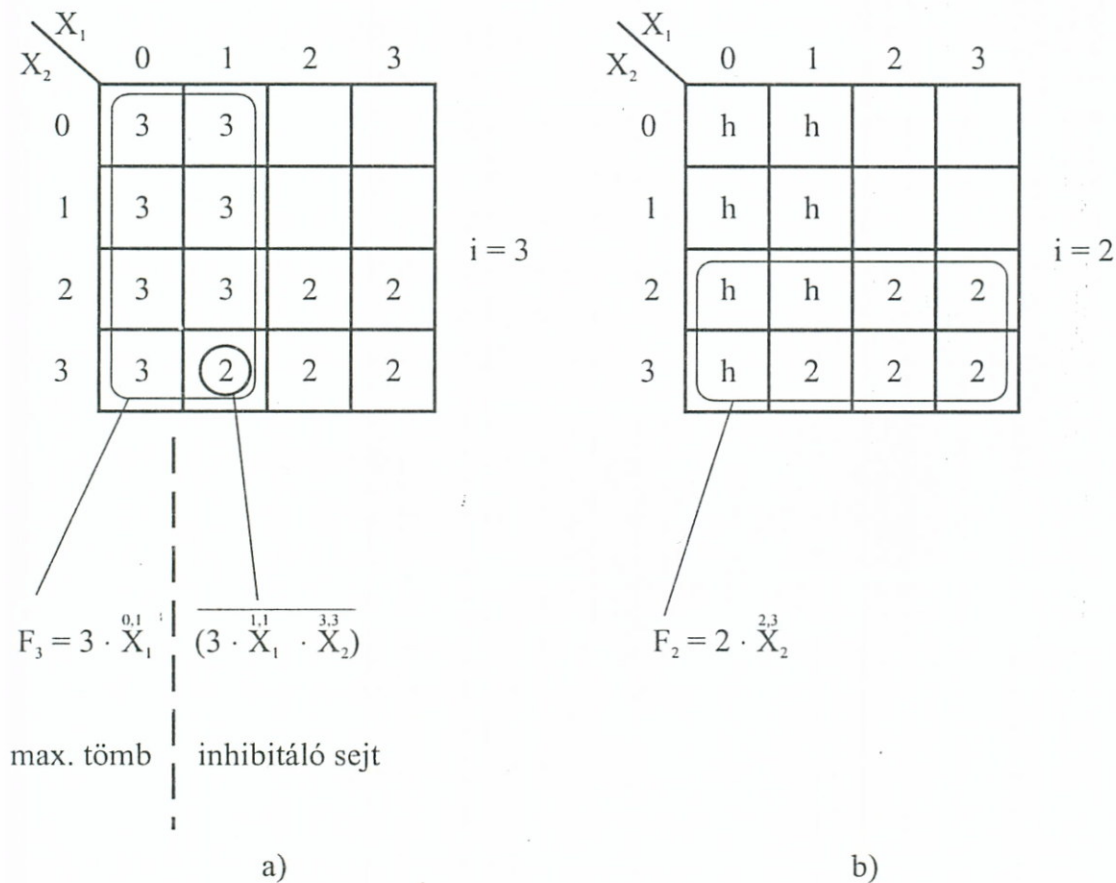
9-27. ábra A 9.13. példa grafikus megoldása

b) A gátlási elv alap gondolata hasonló a BOOLE-függvényeknél gyakran alkalmazott módszerrel. Eszerint úgy képzünk maximális tömböket, hogy – ha ez előnyös – olyan sejteket is befoglalunk a tömbökbe, melyek nem tartoznak  $F_i$ -hez. Ezután maximális tömbjeinket az  $F_i$ -hez nem tartozó sejtek term-jeivel *inhibitáljuk*, oly módon, hogy ha  $h_K \cdot E_K$  az inhibitáló term alakja, akkor  $h_K = R-1$  értéket adunk az eredeti érték helyett. Mint látható, itt is minden kimeneti értékhez külön minimalizáljuk, mint a formuláris módszereknél is tettük.

9.14. példa: Minimalizáljuk grafikusan a 9.13. példában tárgyalt függvényt:

A 9-27a. ábrán látható term-tábla tömbösítése megfelel a 9.13. példa  $i = 2$  lépésének, a 9-27b. ábra pedig az  $i = 1$ -nek. A kapott eredmények összehasonlíthatók.

9.15. példa: Minimalizáljuk gátlási elv felhasználásával a 9-28a. ábrán term-táblájával megadott függvényt.



$$F_3 = 3 \cdot \overline{X_1} + (3 \cdot \overline{X_1} \cdot \overline{X_2}) + 2 \cdot \overline{X_2}$$

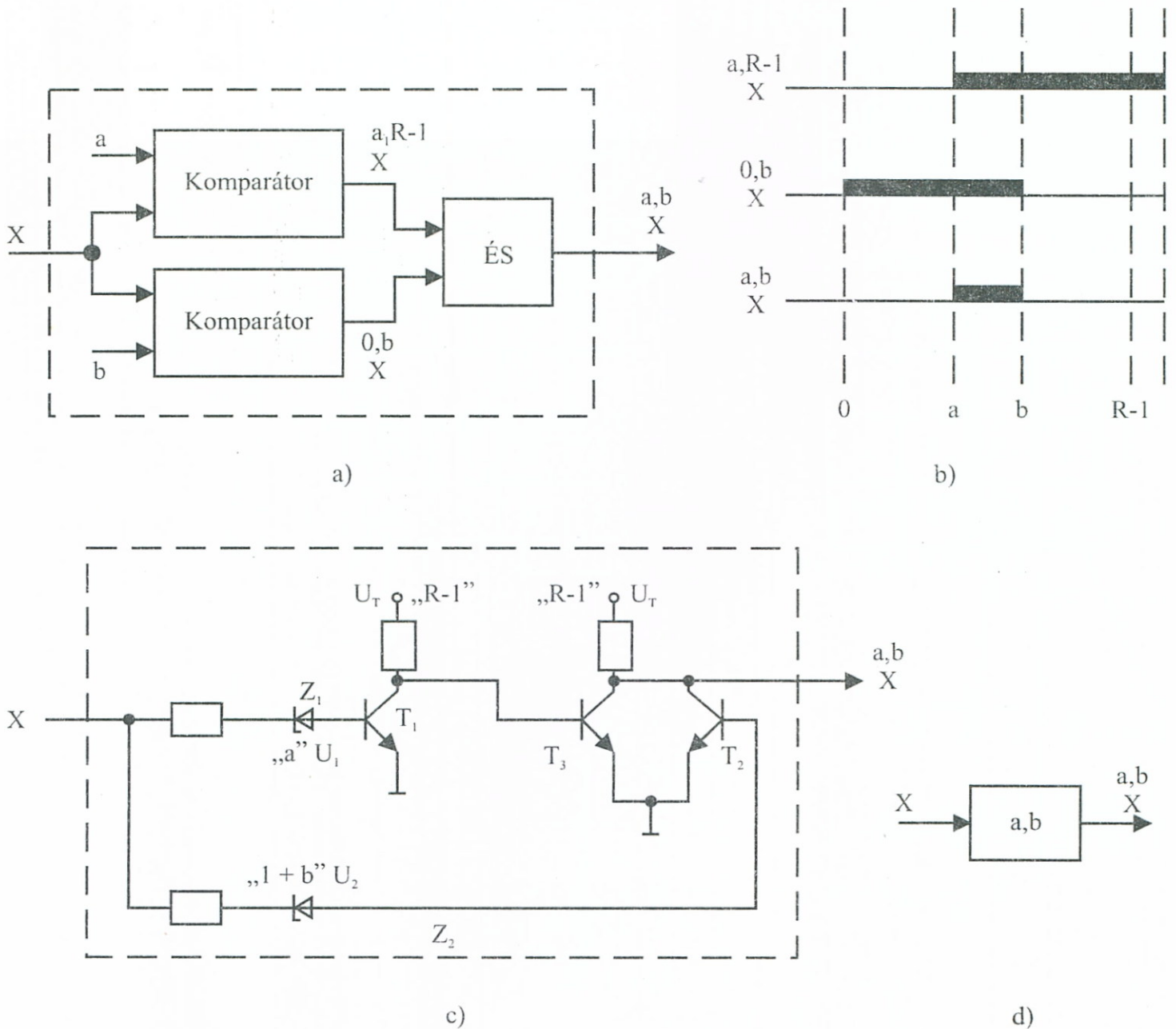
9-28. ábra Gátlási elv grafikus alkalmazása



A 9-28a. ábrán  $i = 3$  esetre látható a gátlási elv alkalmazása  $F_3$ -nál. A 9-28b. ábrán  $i = 2$ -re  $F_2$ -höz egy nagy tömb képezhető minden 3-as sejt „h”-nak vételével. Az  $i = 1$ -es esetre nem kerül sor, mivel „1”-es sejt a függvényben nincs.

### 9.4.3. Megjegyzések, realizációs kérdések

A többértékű logikák a jelenségek tömörebb leírását teszik lehetővé. (Például négy kétállapotú elemet helyettesíthet két négyállapotú stb.) Elterjedésüknek jelenleg – hasonlóan a küszöblogikákkal kapcsolatban a 9.2.6. pontban elmondottakhoz – elsősorban realizációs problémák (pl. áramköri építőelemekkel szemben támasztott, fokozott pon-

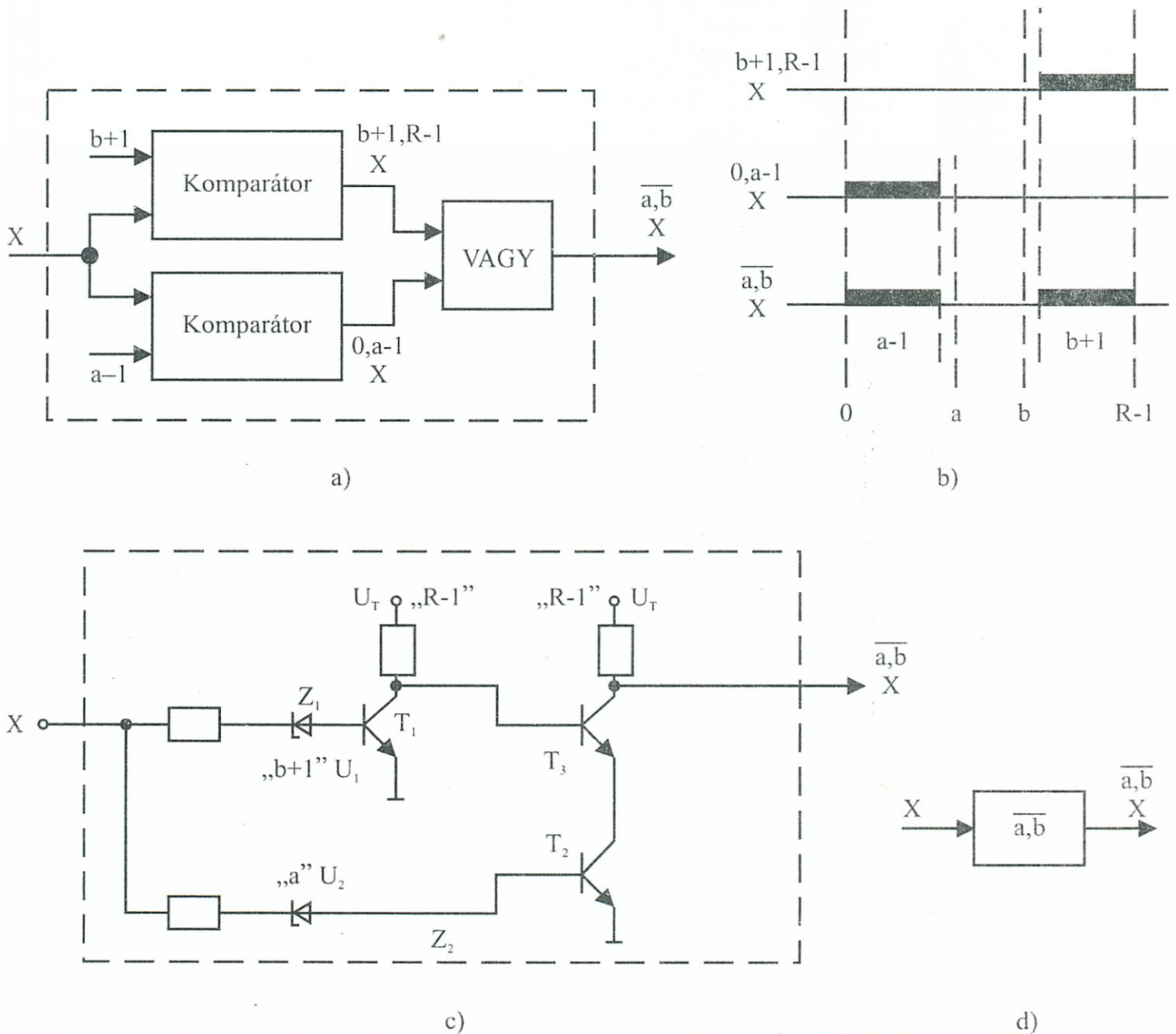


9-29. ábra Az  $X$  operátor egy lehetséges realizációja

tossági igény, költségesebb elemek stb.), másrészt a szisztematikus matematikai módszerekkel kapcsolatosan még fennálló problémák szabnak határt. Az utóbbi években, a technikai lehetőségek fejlődésével párhuzamosan a témakör irodalma igen kiterjedtté vált.

A most tárgyalt többértékű logikai rendszer, mint láttuk, olyan felépítésű, hogy a *klasszikus kétértékű* ÉS, VAGY alapáramkörök benne alkalmazásra kerülhetnek, a Min, ill. Max műveleteknek megfelelően.

Az  $\overline{a,b}$  unáris operátor realizálásának egy elvi vázlatát a 9-29a. ábrán láthatjuk. A 9-29b. ábrából leolvasható, hogy az „ $a, (R-1)$ ” és „ $0, b$ ” intervallum-határok beállítását komparátorok végzik. A komparálási műveletek eredményeiből egy ÉS művelettel „vágjuk ki” a kí-



9-30. ábra Az  $\overline{a,b}$  komplement operátor egy lehetséges realizációja

vánt „ $a, b$ ” intervallumot. Egy konkrét áramköri realizáció látható a 9-29c., szimbolikus jelölése a 9-29d. ábrán. Itt  $U_1, U_2$  a  $T_1, T_2$  tranzistorok nyitó feszültségei, a határértékek beállítását a választott Zener-feszültségű Zener-diódák végzik.

Hasonló elven értelmezhető az  $\overline{a,b}$   $X$  komplementis realizálásának 9-30a., b, c, d. ábrákon bemutatott példája is.

## 9.5. Fuzzy-logikák



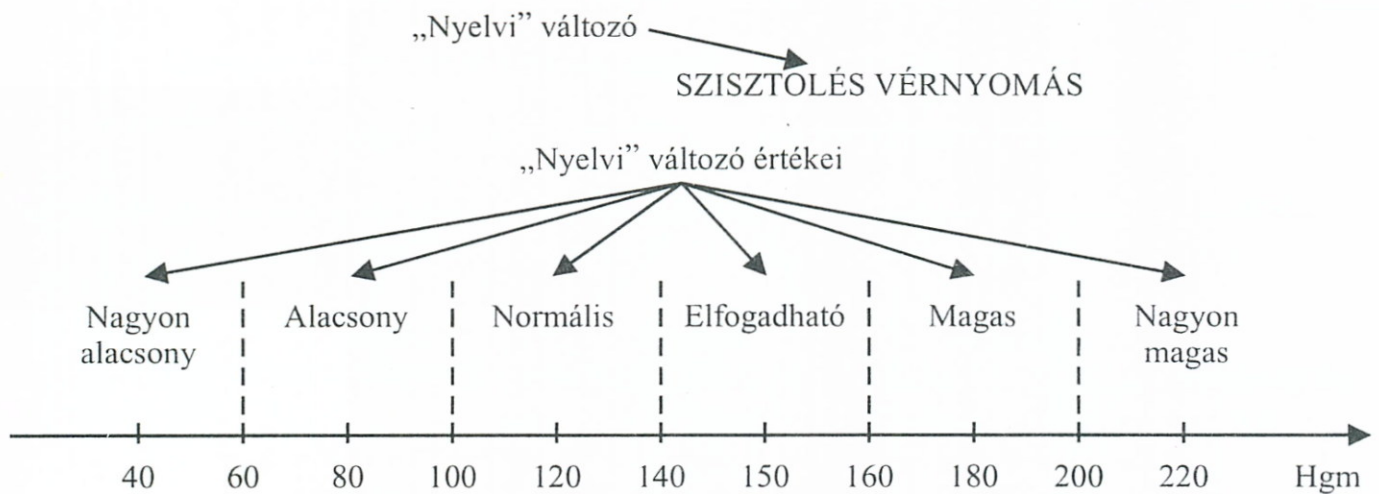
Az elektronikus rendszerek fejlődése során mind bonyolultabb rendszerek alakulnak ki, melyek egyre több összetevőt tartalmaznak és ezekkel – a lehető legrövidebb idő alatt – nagyon összetett feladatokat kell megoldani. Az ilyen, nagyon összetett rendszerek működésének leírása a hagyományos, minden részletet figyelembevevő, „precíz” matematikai eszközökkel egyre nehezkesebbé válik, és ez kihat a „jó” működés feltételeire is.

A 60-as évek közepén L. A. Zadeh által bevezetett, ún. Fuzzy-halmazok a műszaki feladatoknak egy új koncepció szerinti megfogalmazását és tárgyalását tették lehetővé. Az angol „fuzzy” szó számos jelentése közül itt az „elmosódott körvonalú”, „életlen”, „homályos” fordítások kaptak szerepet, amelyek érzékeltetik a dolgok „nem részletekbe menő” jellemzését, melyekre Zadeh matematikai háttérrel keresett. Zadeh, abból a megállapításból indult ki, hogy az emberi nyelv szavaival és mondataival történő jellemzés egyszerűbb, tömörebb és gyorsabban kiértékelhető lehet, mint a számokon alapuló, részletekbe kényszerített, hagyományos matematikai jellemzés. Fentiek érdekében – többek között – célszerűnek látta bevezetni az emberi kifejezésmódhoz jobban illeszkedő, ún. *nyelvi változó* fogalmát.

Vizsgáljuk meg az ezzel kapcsolatos problémákat egy példán keresztül. A 9–31. ábrán az emberi szisztolés vérnyomás gyógyítás szempontjából érdekes értékeit egy 40-től 220 Hgmm-es skálán ábrázoltuk. Egy konkrét mérés esetén többféle módon járhatunk el:

a) Követhetjük a klasszikus „precíz” módszert, ahol az ábrázolt 180 szám közül feljegyezzük az aktuális mért értéket (pl. 147 Hgmm), és ezt az adatot használjuk fel a további gyógyítási folyamatban.

b) Megoldhatjuk a problémát úgy is, hogy (korábbi tapasztalatokat is figyelembevéve) a 180 elemből álló halmaz elemeit a 9–31. ábra szerinti módon (Nagyon alacsony, ..., Normális, ..., Nagyon magas)



9-31. ábra Nyelvi változó értékeinek értelmezése

szubhalmazokba csoportosítjuk a gyorsabb kiértékelhetőség érdekében, és a továbbiakban a mérések során csak azt figyeljük, hogy az aktuális adat melyik alhalmazba került és ennek alapján *minősítjük* a beteg állapotát.

Összehasonlítva a két változatot, megállapíthatjuk, hogy az a) eset klasszikusan precíz vérnyomás-eredményt szolgáltat 1 Hgmm-es pontossággal, viszont itt 180-féle számértékkel kell foglalkoznunk és ez a pontosság a legtöbb esetben nem is szükséges. A b) változatnál a vérnyomást „nyelvi változó” értékekkel jellemezzük, melyekre a példában itt 6-féle értéket vezetünk be, így a kiértékeléskor csak ezekkel kell foglalkoznunk. Igaz, hogy az a) változathoz viszonyítottan ez utóbbi jellemzés kevésbé részletezett, de az orvosi gyakorlat számára – adott esetben – kielégítő információt szolgáltat.

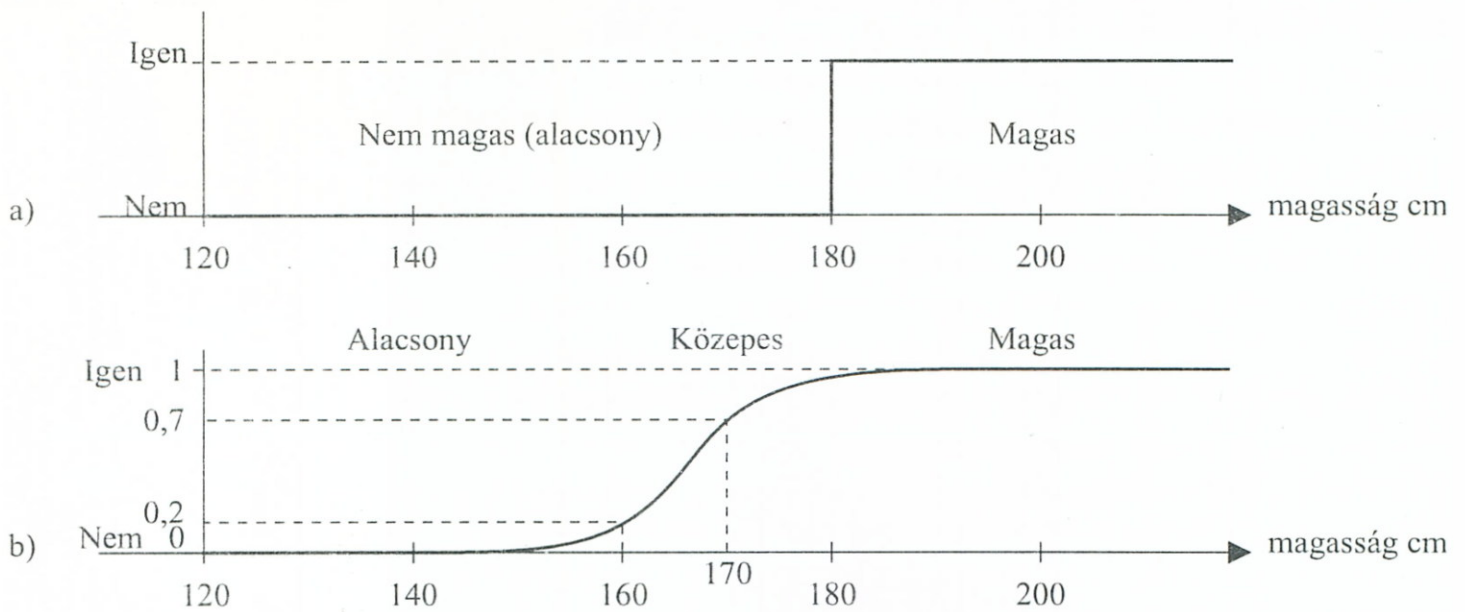
A példával kapcsolatosan még további két, szélső esetet is megfogalmazhatunk:

c) Szélső esetnek tekinthető az a helyzet, midőn a vérnyomást például egy analóg mutató mérőeszközzel mérjük, azaz a mért értékek skálája a 40–220-as intervallumban *folytonos* lesz, és bármely valós értéket felvehet.

d) Ugyancsak szélső esetnek tekinthető, ha a 40–220-as halmazt csupán két szubhalmazra osztjuk fel (pl. 160-nál elválasztva) „nem magas” és „magas” nyelvi változó értékek bevezetésével, amely például a magas vérnyomásúak kiszűrésére használható.

Egy másik, ugyancsak Zadeh által tárgyalt problémát, a minősítő osztályok és átmenetek kérdéskörét egy újabb példa keretében célszerű megvizsgálunk.

A 9–32a. ábrán az embereket magasságuk alapján két:



9-32. ábra Testmagasság kategóriák

- magas,
- nem magas (alacsony)

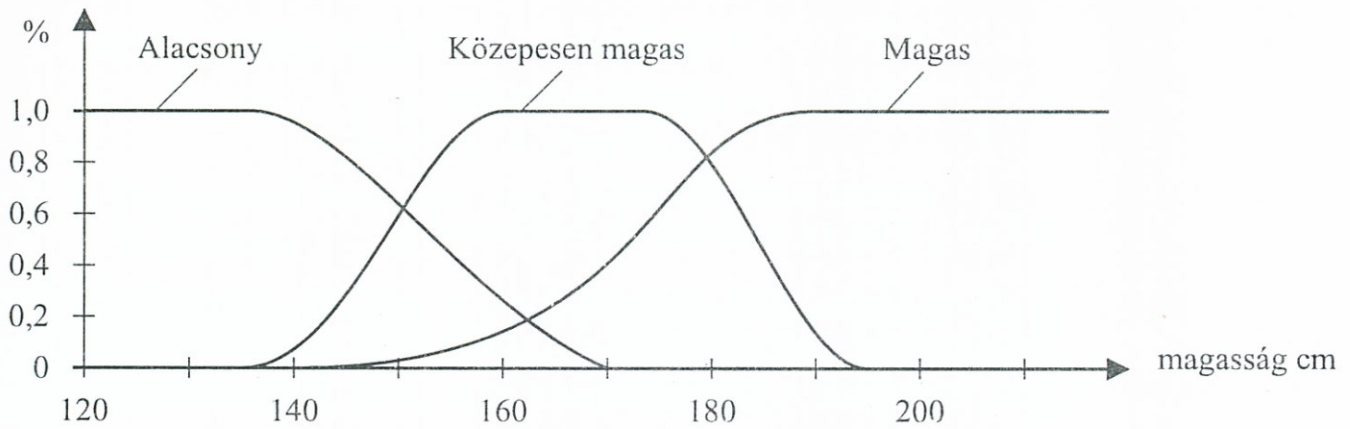
csoportba soroltuk. A magasság mértékét kifejező ugrásfüggvény a két csoportot egyértelműen elkülöníti olymértékben, hogy közös elemük nincsen. Ez a leírásmód már ismerős a bináris logikai halmazok témaköréből és az ott tárgyaltak alapján az előbbieket úgy is megfogalmazhatjuk, hogy az emberek egy adott vizsgálati csoportját (egy ún.  $X$  „univerzumot”) két elem (0 – nem magas, 1 – magas) készletére képeztük le, azaz:

$$X \rightarrow \{0, 1\}$$

A 9–32b. ábra egy más csoportosítási elvet szemléltet. A magasság mértékét kifejező görbe nem jelöl ki egyértelmű elkülönítést. Itt az  $X$  univerzumot nem kizárólag két elem készletére képezzük le, hanem bármely (diszkrét vagy folytonos skála szerinti) értékre a 0 – nem magas, 1 – magas értékek között. Ily módon például a 170 cm „magas” emberekre, azt is mondhatjuk, hogy kb. 70%-osan magasak, a 160 cm „magas”-akra pedig, hogy kb. 20%-osan magasak – a görbéről leolvashatóan, azaz a magasságok %-os mértékét egy szorzófaktorral jellemezve is megadhatjuk.

Ez a jellemzőmód nem jelöl ki szigorúan elkülönített osztályokat. A „magasság”-ot például tovább tagolhatjuk:

- nem is olyan magas (közepes),
- egyáltalán nem magas (alacsony)



9-33. ábra Testmagasság és fuzzy halmazok

osztályokra, melyeknél (miután határaik meglehetősen szubjektívek is lehetnek a megfogalmazások alapján) az is előfordulhat, hogy két osztály közös elemeket is tartalmaz. Ily módon például a 160 cm magasságú embert úgy is jellemezhetjük, hogy „magas is, meg alacsony is”, de azt is mondhatjuk, hogy „közepesen magas”.

A fentiekben elmondottakra valóban jellemzőek az „életlen”, „homályos”, „elmosódott körvonalú” meghatározások, melyeket a bevezetőben a Fuzzy szó kapcsán már említettünk. A testmagasságokra vonatkozó példánkkal kapcsolatos, ilyen fuzzy-halmazokat szemléltet a 9-33. ábra.

## 9.5.1. Fuzzy-halmazok és műveletek

### 9.5.1.1. A fontosabb jelölések összefoglalása

Miután a fuzzy-halmazok tanulmányozásánál számos halmazelméleti jelölést kell használnunk, ezért ezek közül a leggyakoribbakat előzetesen összefoglaljuk:



$\alpha \in \{0, 1\}$	$\alpha$ értéke: 0, ill. 1 lehet
$\alpha \in [0, 1]$	$\alpha$ értéke: lehet 0, ill. 1, ill. 0,1 között bármi diszkrét vagy folytonos skálaérték
$a \in A$	$a$ eleme $A$ -nak
$A \subset B$	$A$ benne foglaltatik $B$ -ben
$A \subseteq B$	$A$ benne foglaltatik $B$ -ben, vagy, vele egyenlő
$\forall a$	valamennyi $a$
$\exists a$	létezik olyan $a$
$A \Rightarrow B$	ha $A$ , akkor $B$ (implikáció)
$A \Leftrightarrow B$	$A$ ekvivalens $B$ -vel (ekvivalencia)
$f: A \rightarrow B$	$A$ leképezése $B$ -re $f$ alapján
$\{a \mid \dots\}$	azon a elemek halmaza, melyekre ... teljesül

$\neg$	komplementum műveleti jel
$\cup$	unió, egyesítés
$\cap$	interszekció, metszet

### 9.5.1.2. Fuzzy-halmazok definíciója

Fuzzy-halmaznak nevezzük azt a halmazt, melynek minden  $X$  „univerzum”-beli eleméhez egy 0 és 1 közé eső valós számot rendelünk. Egy adott  $A$  fuzzy-halmaz esetén, mely  $X$ -nek alhalmaza írható:

$$\mu_A : X \rightarrow [0, 1]$$

itt  $\mu_A$  az  $A$  fuzzy-halmaz ún. tagsági függvénye.

Amennyiben a fenti  $[0, 1]$  helyett  $\{0, 1\}$  szerepel, azaz a halmaz-elemekhez 0 vagy 1-et rendelünk, akkor a fuzzy-halmaz egy határozott halmazba megy át.

Fuzzy-halmazokra felírhatók az alábbiak, ha  $x_i$  egy halmazelem és  $\mu_i(x_i)$  a vele kapcsolatos tagsági függvényérték:

Diszkrét elemeknél

$$A = \sum_{i=1}^h \mu_i / x_i \tag{9.20a}$$

Folytonos elemeknél

$$A = \int \mu(x)/x \tag{9.20b}$$

A formulákban a  $\mu/x$  az adott  $x$  és a  $\mu$  tagsági függvény összetartozását érzékelteti.



9.16. példa: Tételezzük fel, hogy a 9–33. ábra alapján a 9–34. ábra táblázatában szereplő diszkrét fuzzy-halmaz értékek állnak rendelkezésünkre. A táblázatból (9.20) alapján a KÖZEPESEN MAGAS (KM) fuzzy-halmaz a következőképpen írható le:

testmagasság cm		120	130	140	150	160	170	180	190	200	210
ALACSONY (A)	$\mu_A$	1	1	0,9	0,5	0,2	0	0	0	0	0
KÖZEPESEN MAGAS (KM)	$\mu_{KM}$	0	0	0,1	0,5	1	1	0,6	0,1	0	0
MAGAS (M)	$\mu_M$	0	0	0	0,1	0,3	0,7	0,9	1	1	1

9–34. Fuzzy-halmazok diszkrét elemekkel

$$\begin{aligned} KM = & 0/120 + 0/130 + 0,1/140 + 0,5/150 + 1/160 + \\ & + 1/170 + 0,6/180 + 0,1/190 + 0/200 + 0/210 \end{aligned}$$

### 9.5.1.3. Fuzzy-halmazokkal kapcsolatos fontosabb definíciók

a) *Mag*-nak (core) nevezzük az  $X$  univerzumon értelmezett fuzzy-halmazt, mely az  $A$  halmaz valamennyi  $\mu_A = 1$  értékű elemét tartalmazza:

$$\text{core}(A) = \{x \in X \mid \mu_A(x) = 1\} \quad (9.21)$$

b) *Hordozónak* (support) nevezzük azt a fuzzy-halmazt, mely az  $A$ -halmaz valamennyi  $\mu_A \geq 0$  értékű elemét tartalmazza:

$$\text{sup}(A) = \{x \in X \mid \mu_A(x) > 0\} \quad (9.22)$$

c) *Magasságnak* (height) nevezzük az  $A$  halmazban lévő legnagyobb tagsági függvényértéket:

$$\text{height}(A) = \max_x(\mu_A(x)) \quad (9.23)$$

d) *Normalizáltak* nevezzük az  $A$  halmazt, ha magassága:

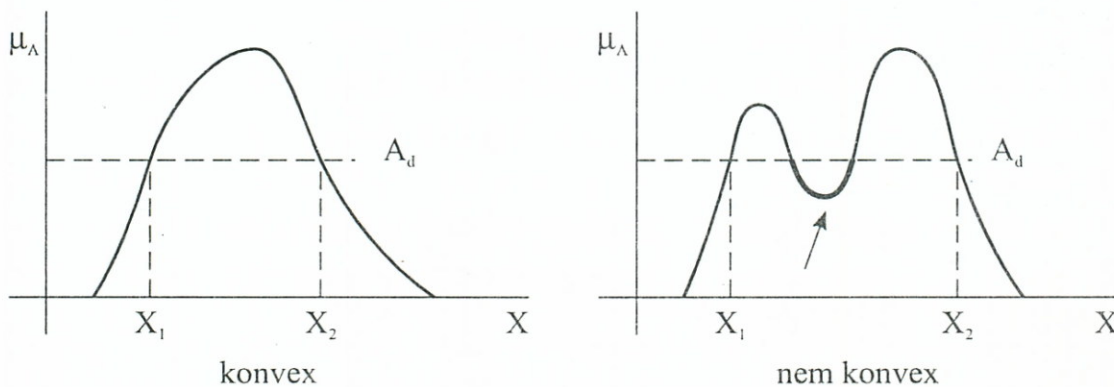
$$\text{height}(A) = 1$$

e)  $\alpha$ -*vágatnak* nevezzük az  $A$  halmaz hordozójának (support) azt a részhalmazát, melynek elemeihez rendelt  $\mu_A(x)$  tagsági függvényérték nem kisebb az  $\alpha$  valós számnál

$$A_\alpha = \{x \in X \mid \mu_A(x) \geq \alpha\} \quad (9.24)$$

f) *Konvexnek* nevezzük az  $A$  halmazt, ha valamennyi  $\alpha$ -vágata konvex. A konvexitást grafikusán a 9–35. ábrán szemléltettük.

$$\mu_A(\lambda x_1 + (1 - \lambda)x_2) \geq \min[\mu_A(x_1), \mu_A(x_2)], \forall x_1, x_2 \in X, \lambda \in [0, 1]$$



9-35. ábra Konvex és nem-konvex fuzzy halmazok



g) Számosságnak (kardinalitás) nevezzük az  $A$  halmazt alkotó elemek  $\mu_A$  értékeinek összegét.

$$|A| = \sum_{x \in X} \mu_A(x) \quad (9.25)$$

h) *Részhalmaznak* tekintjük az  $A$  halmazt  $B$  halmazra vonatkozóan, ha valamennyi univerzum-beli elemére fennáll, hogy az  $A$  halmaz tagsági függvényértékei nem nagyobbak a megfelelő  $B$  halmazbeli tagsági függvényértékeknél.

$$A \subseteq B : \mu_A(x) \leq \mu_B(x) \quad \forall x \in X \quad (9.26)$$

9.17. példa: Vizsgáljuk meg az előzőkben bevezetett fogalmakat a 9–34. ábra KÖZEPESEN MAGAS fuzzy-halmazának esetében:

- KM = 0/120 + 0/130 + 0,1/140 + 0,5/150 + 1/160 + 1/170 + 0,6/180 + 0,1/190 + 0/200 + 0/201
- mag : core (KM) = {160, 170}
- hordozó : sup (KM) = {140, 150, 160, 170, 180, 190}
- magasság : height (KM) = 1
- a = 0,5 vágat : (KM) $_{\alpha=0,5}$  = 150, 160, 170, 180
- konvexitás : KM  $\rightarrow$  konvex (lásd: 9–33. ábra)
- számosság : |KM| = 0,1 + 0,5 + 1 + 1 + 0,6 + 0,1 = 3,3

#### 9.5.1.4. Műveletek fuzzy halmazokon

A fuzzy halmazokkal kapcsolatosan eddig elmondottak alapján felmerülhet a gondolat, hogy a fuzzy problémakör rokonságba hozható a 9.4. pontban bemutatott többértékű logikák problémakörével. Ez a rokonság különösen a diszkrét elem-skálájú fuzzy halmazoknál szembetűnő, és azt sugallja, hogy az ott alkalmazott műveleti, számítási elvek a fuzzy halmazoknál is felhasználhatók. Zadeh is innen indult ki, és az általa bevezetett műveleteket a POST–LUKASIEWITZ többértékű műveletrendszer – bizonyos értelemben vett – általánosításának tekintette. Később a Zadeh által bevezetett műveleteket több szerző (többféle szempontot előtérbe helyezve) többféle irányban általánosította és a jelenlegi változatok „kínálatából”, azt a változatot célszerű alkalmazni, amelyik az adott feladat leírásához a legjobban illeszkedik.

$\alpha)$  A Zadeh-féle standard műveletek:

a) *Unió (max-művelet), halmazok egyesítése*

Az A és B fuzzy halmazok egyesített halmazának nevezzük a következő halmazt:

$$A \cup B = \{(x, \mu_{A \cup B}(x)) \mid x \in X, \mu_{A \cup B} = \max [\mu_A(x), \mu_B(x)]\} \quad (9.27)$$

azaz az egyesítési tagsági függvény a komponens tagsági függvények *max* kapcsolatából származik.

b) *Metszet (min-művelet), halmazok metszete*

Az A és B fuzzy halmazok metszet halmazának nevezzük a következő halmazt:

$$A \cap B = \{(x, \mu_{A \cap B}(x)) \mid x \in X, \mu_{A \cap B} = \min [\mu_A(x), \mu_B(x)]\} \quad (9.28)$$

azaz a komponens tagsági függvények *min* kapcsolatát kell képezni.

c) *Komplement*

Az A fuzzy halmaz komplement halmaza:

$$A^c = \{(x, \mu_{A^c}(x)) \mid x \in X, \mu_{A^c}(x) = 1 - \mu_A(x)\} \quad (9.29)$$

azaz a komplement tagsági értékek előállításakor a megfelelő eredeti értékeket 1-ből ki kell vonni.

9.18. példa: Végezzük el a Zadeh-féle standard műveleteket a 9–34. ábra KÖZEPES (KM) és MAGAS (M) fuzzy halmazain.

A *max* műveletnél a  $\mu_{KM}, \mu_M$  párok közül mindig a nagyobbat kell választani az eredményhez:

$$KM \cup M = 0/120 + 0/130 + 0,1/140 + 0,5/150 + 1/160 + \\ + 1/170 + 0,9/180 + 1/190 + 1/200 + 1/210$$

A *min* műveletnél a  $\mu_{KM}, \mu_M$  párok közül mindig a kisebbet kell választani az eredményhez:

$$KM \cap M = 0/120 + 0/130 + 0/140 + 0,1/150 + 0,3/160 + \\ + 0,7/170 + 0,6/180 + 0,1/190 + 0/200 + 0/210$$

A komplementálásnál az 1-ből kivont  $\mu$  értéket kell beírni az eredménybe:

$$KM^c = 1/120 + 1/130 + 0,9/140 + 0,5/150 + 0/160 + \\ + 0/170 + 0,4/180 + 0,9/190 + 1/200 + 1/210$$



A példa eredményeiből is látható, hogy itt a formális logika szabályai már nem érvényesek, azaz:

$$A \cup A^c \neq X$$

$$A \cap A^c \neq 0$$

*β) További műveletek*

A Zadeh-féle három alpműveleten túlmenően a következő további műveleteket definiálhatjuk:

*d) Algebrai összeg*

$$\begin{aligned} A + B &= \{(x, \mu_{A+B}(x) \mid x \in X, \mu_{A+B}(x) = \\ &= \mu_A(x) + \mu_B(x) - \mu_A(x) \cdot \mu_B(x)\} \end{aligned} \quad (9.30)$$

*e) Algebrai szorzat*

$$A \cdot B = \{(x, \mu_{A \cdot B}(x) \mid x \in X, \mu_{A \cdot B}(x) = \mu_A(x) \cdot \mu_B(x)\} \quad (9.31)$$

*f) Korlátozott összeg*

$$\begin{aligned} A \oplus B &= \{(x, \mu_{A \oplus B}(x) \mid x \in X, \mu_{A \oplus B}(x) = \\ &= \min[1, \mu_A(x) + \mu_B(x)]\} \end{aligned} \quad (9.32)$$

*g) Korlátozott szorzat*

$$\begin{aligned} A \odot B &= \{(x, \mu_{A \odot B}(x) \mid x \in X, \mu_{A \odot B}(x) = \\ &= \max[0, \mu_A(x) - \mu_B(x)]\} \end{aligned} \quad (9.33)$$

*γ) A három alpművelet általánosítása*

Az alpművelet általánosításának több elvi változata is elképzelhető különféle speciális függvények és paraméterek bevezetésével, így az eltelt néhány évtized folyamán számos műveletcsalád alakult ki. A családok száma napjainkban sem tekinthető lezártnak. Könyvünk keretei meghaladják ezek részletesebb bemutatását, ezért a továbbiakban inkább általánosságokra szorítkozhatunk, esetenként szemléltetésül bemutatva az egyes koncepciókból eredő eltéréseket.

*a) s-norma (unió, t-conorma)*

Bevezethető egy „u” (union) függvény, mely eleget tesz a következő előírásoknak:

$$u : [0, 1] \times [0, 1] \rightarrow [0, 1],$$

ekkor:

$$\mu_{A \cup B}(x) = u[\mu_A(x), \mu_B(x)] \quad \forall x \in X \quad (9.34)$$

$u$ -ra a következők adhatók meg:

- $u(0, 0) = 0$
- $u(0, 1) = u(1, 0) = u(1, 1) = 1$
- $u(a, b) = u(b, a)$
- ha:  $a \leq a'$  és  $b \leq b'$   
akkor:  $u(a, b) \leq u(a', b')$
- $u(u(a, b), c) = u(a, u(b, c))$ ,

tehát érvényes rá a: kommutativitás, monotonitás és asszociativitás

Példák változatokra:

*Yager* – család  $s$ -norma:

$$u_w^y(a, b) = \min[1, (a^w + b^w)^{1/w}] \quad w \in (0, \infty)$$

- az esetben, ha:  $w \rightarrow \infty$  felé tart, határesetben átmegy a Zadeh-féle:  $\max(a, b)$  műveletbe
- az esetben, ha:  $w = 1$ , átmegy az alábbi „korlátozott összeg” kifejezésbe:

$$u_1^y(a, b) = \min[1, (a + b)]$$

*Hamacher* – család  $s$ -norma:

$$u_\gamma^H(a, b) = \frac{a + b - (2 - \gamma) \cdot a \cdot b}{1 - (1 - \gamma) \cdot a \cdot b} \quad \gamma \in (0, \infty)$$

- az esetben, ha:  $\gamma = 1$ , átmegy az *algebrai unió* kifejezésbe:

$$u_1^H(a, b) = a + b - a \cdot b$$

b) *t-norma* (metszet, intersection)

Bevezethető egy „ $i$ ” (intersection) függvény, mely eleget tesz a következő előírásoknak:

$$i: [0, 1] \times [0, 1] \rightarrow [0, 1]$$

ekkor:

$$\mu_{A \cap B}(x) = i[\mu_A(x), \mu_B(x)] \quad \forall x \in X \quad (9.35)$$

$i$ -re a következők adhatók meg:

- $i(1, 1) = 1$   
 $i(0, 1) = i(1, 0) = i(0, 0) = 0$
- továbbá, hasonlóan az s-normához, itt is érvényes a:
  - kommutativitás
  - monotonitás
  - asszociativitás

Példák változatokra:

*Yager* – család t-norma:

$$i_w^y(a, b) = 1 - \min[1, ((1-a)^w + (1-b)^w)^{1/w}] \quad w \in (0, \infty)$$

- az esetben, ha:  $w \rightarrow \infty$  felé tart, határesetben átmegy a Zadeh-féle:  $\min(a, b)$  műveletbe.

*Hamacher* – család t-norma:

$$i_\gamma^H(a, b) = \frac{a \cdot b}{\gamma + (1-\gamma) \cdot (a+b-a-b)} \quad \gamma \in (0, \infty)$$

- az esetben, ha  $\gamma = 1$ , átmegy a geometriai t-normába:

$$i_1^H(a, b) = a \cdot b$$

c) *Komplement* (complement)

Bevezethető egy „ $n$ ” (non) függvény, mely eleget tesz a következő előírásoknak:

$$n: [0, 1] \rightarrow [0, 1],$$

ekkor:

$$\mu_{\bar{A}}(x) = n(\mu_A(x)) \quad \forall x \in X \quad (9.36)$$

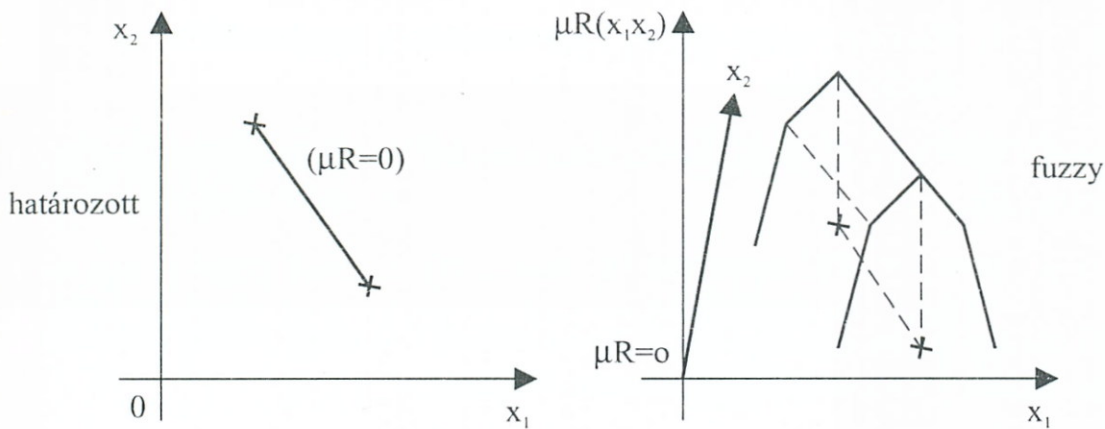
$n$ -re a következők adhatók meg:

- $n(0) = 1$   
 $n(1) = 0$
- $\forall a, b \in [0, 1]$ , ha  $a < b$ , akkor  $n(a) \geq n(b)$   
 tehát *nem monoton* növekvő.

### 9.5.2. Fuzzy relációk



A *relációk* a halmazelemek közötti kapcsolatok meglétéről tájékoztatnak. A *fuzzy relációk* a halmazok elemeinek összerendeltségi *mértékét* határozzák meg. Egy fuzzy reláció, melyet  $n$  darab halmaz



9-36. ábra Határozott és fuzzy relációk

között értelmezünk, az  $n$  dimenziós tér pontjaihoz rendel  $\mu_R$  tagsági függvényeket a 9–36. ábrának megfelelően.

Amennyiben  $X_1, X_2, \dots, X_n$  halmazok referencia-osztályai az  $A_1, A_2, \dots, A_n$  fuzzy halmazoknak, akkor az  $A_1, A_2, \dots, A_n$  halmazok *fuzzy-relációja* a következő:

$$R(A_1, \dots, A_n) = \{((x_1, \dots, x_n, \mu_{R(A_1, \dots, A_n)}(x_1, \dots, x_n)) \mid (x_1, \dots, x_n) \in X_1 \times \dots \times X_n\} \quad (9.37)$$

ahol:  $\mu_{R(A_1, \dots, A_n)}(x_1, \dots, x_n) = \min(\mu_{A_1}(x_1), \dots, \mu_{A_n}(x_n))$

és:  $X = X_1 \times X_2 \times \dots \times X_n$  a direkt (Descartes) szorzat.

Két, tetszőleges halmaz relációját *bináris relációnak* nevezzük.

Diszkrét, véges elemszámú fuzzy halmazoknál a relációt gyakran a  $\mu_i$  tagsági függvények *mátrixával* adják meg.

9.19. példa: Legyen adva:  $X_1 = X_2 = \{1, 2, 3\}$ , tovább:  $A = 0,5/1 + 1/2 + 0,6/3$ , ill.  $B = 1/1 + 0,6/2 + 0/3$ , ekkor az  $R(A, B)$  reláció  $\mu_{R(A, B)}$  tagsági függvény mátrixa:

$\mu_{R(A,B)}$	$b_1$	$b_2$	$b_3$
$a_1$	0,5	0,5	0
$a_2$	1	0,6	0
$a_3$	0,6	0,6	0

### 9.5.2.1. Fuzzy relációkkal kapcsolatos fontosabb definíciók

a) Az  $X_1 \times X_2 \times \dots \times X_n$  univerzum elemeit az  $x$  sorozatvektor-ral jelölhetjük:

$$x = (x_1, x_2, \dots, x_n)$$

b) Ha egy  $y$  sorozat az  $x$  sorozat elemeinek csak egy részét tartalmazza, akkor  $y$  az  $x$ -nek *részsorozata*. Jelölése:

$$y \pi x$$

c) Valamely  $R(X_1, X_2, \dots, X_n)$  fuzzy-reláció  $Y$  fuzzy halmazra (relációra) vett *vetületének* (projekciójának) nevezzük azt az  $[R \downarrow Y]$  fuzzy relációt, melynek tagsági függvénye:

$$\mu_{[R \downarrow Y]}(y) = \max_{x, y} \mu_R(x)$$

ahol:  $y \pi x$  fennáll

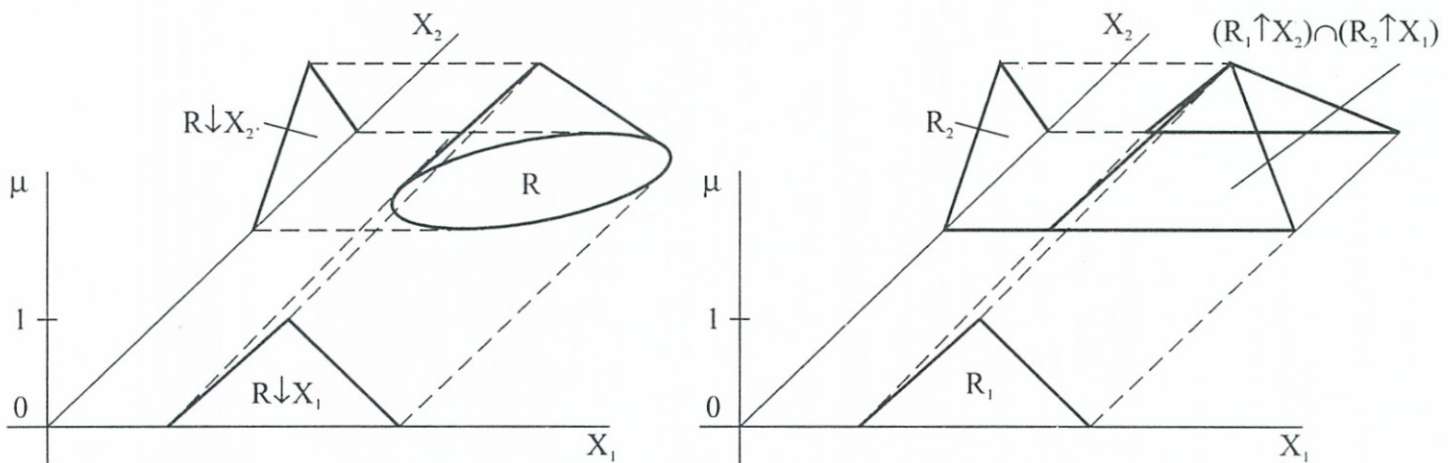
d) Az  $R(Y_1, Y_2, \dots, Y_n)$  fuzzy reláció  $X$ -re vett *hengeres kiterjesztésének* nevezzük azt az  $[R \uparrow X-Y]$  fuzzy relációt, melynek tagsági függvénye:

$$\mu_{[R \uparrow X-Y]}(x) = \mu_R(y)$$

valamennyi  $x$ -re, ahol fennáll:  $y \pi x$

Ezzel a kiterjesztéssel olyan  $X-Y$  dimenziókra is kiterjeszthetjük a relációt, ahol eddig nem volt definiálva.

e) Valamely  $R$  fuzzy relációt közelíteni lehet az egyes dimenziókra vett vetületeinek hengeres kiterjesztésének metszetével, azok ún. *hengeres lezártjával*:



9-37. ábra  $R$  közelítése hengeres lezártjával

$$\mu_{cyl\{R_i\}}(x) = \min_{i \in I} \mu_{[R_i \uparrow X-X_i]}(x)$$

Itt *cyl* (cylinder), ahol  $cyl\{R_i\}$  az  $R_i$  relációnak  $\{R_i \mid i \in I\}$  vetületeken alapuló hengeres lezártja.

f) Ha egy  $A$  fuzzy halmazt (relációt) annak összes lehetséges  $\alpha$  vágatával ( $A_\alpha$ ) adunk meg, akkor ezt *felbontási alaknak* nevezzük.

$$\mu_A(y) = \sup_{\alpha \in (0,1]} \min(\alpha, \mu_{A_\alpha}(x))$$

$$\begin{aligned} \text{itt: } \mu_{A_\alpha}(x) &= 1, \text{ ha } x \in A_\alpha \\ \mu_{A_\alpha}(x) &= 0 \text{ egyéb esetben} \end{aligned}$$

g) Igazolható, hogy az  $A$  fuzzy halmaz előállítható az  $\alpha$ -vágatok ( $\alpha A_\alpha$ ) uniójaként, azaz, ha az összes  $\alpha$  vágatot ismerjük, a halmaz megadható a tagsági függvények nélkül is. Ez az ún. *megjelenítési tétel*. Például  $\alpha = 0,5$  esetre a 9-38. ábrán látható.

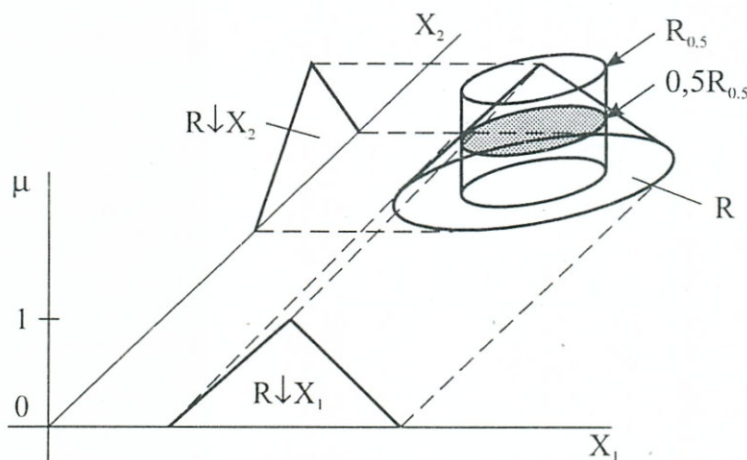
h) Ha a  $P(X, Y)$  és  $Q(Y, Z)$  két relációt ugyanazon az  $Y$  halmazon értelmezzük, akkor a két reláció ún. *kompozícióját* az alábbi  $R(X, Z)$  relációként fogalmazhatjuk meg:

$$R(X, Z) = P(X, Y) \circ Q(Y, Z) \quad (9.38)$$

ahol:  $R(X, Z)$  az  $X \times Z$  univerzumon értelmezett reláció, és  $(x, z) \in R$ , ha létezik legalább egy  $y \in Y$ , hogy  $(x, y) \in P$ , és  $(y, z) \in Q$ .

A kompozícióra felírhatók a következő tulajdonságok:

$$\begin{aligned} P \circ Q &\neq Q \circ P \\ (P \circ Q)^{-1} &= Q^{-1} \circ P^{-1} \\ (P \circ Q) \circ R &= P \circ (Q \circ R) \end{aligned}$$



9-38. ábra Az  $R$  reláció  $\alpha$ -vágata ( $\alpha=0,5$ )



Két fuzzy reláció kompozíciója következtében egy újabb fuzzy reláció adódik, melyhez különböző megfontolások alapján rendelhetünk  $\mu_R$  tagsági függvényeket. Egy gyakran alkalmazott változat az ún. Zadeh-féle „max–min” kompozíció, melynél a kompozíciós műveletet  $\max [\min \dots]$  műveletként értelmezzük.

h1.) 9.20. példa: A dolgok jobb megvilágítása érdekében vizsgáljunk meg egy példát, amely a 9–39. ábrával kapcsolatos.

Az ábrán látható  $X, Y, Z$  halmazok között a  $P(X, Y), Q(Y, Z), R(X, Z)$  fuzzy relációk érvényesek, és az  $x_i - y_j, y_k - z_l$  halmazelem-párok közötti  $\mu_P, \mu_Q$  kapcsolatok számszerűen is adva vannak. Az összetevők jelölése:

$x_i - y_k$  kapcsolatnál:  $p_{i,k}$

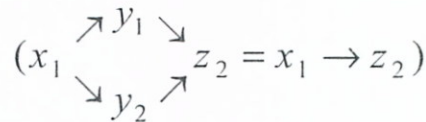
$y_k - z_j$  kapcsolatnál:  $q_{k,j}$

$x_i - z_j$  kapcsolatnál:  $r_{i,j}$

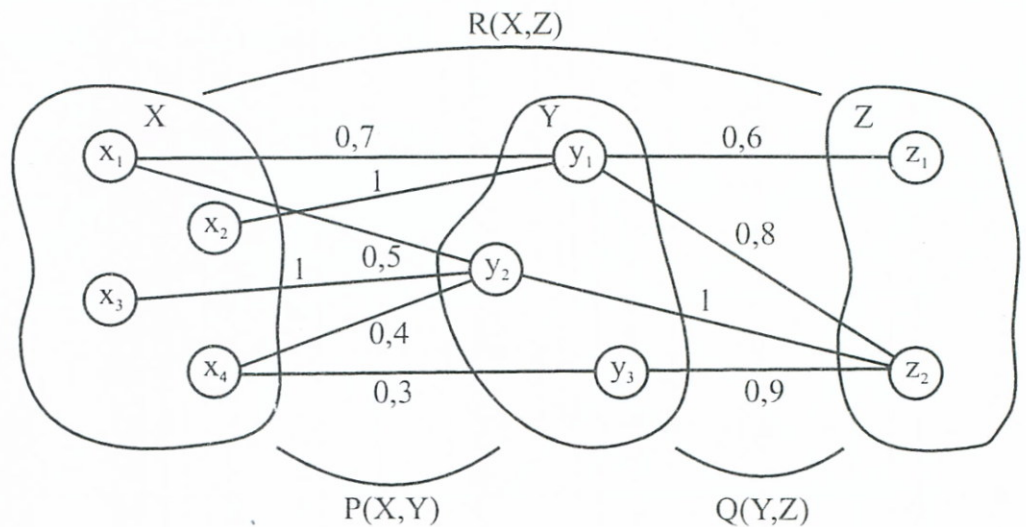
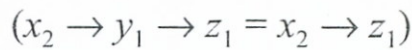
ahol: 
$$r_{i,j} = \max_k [\min(p_{i,k}, q_{k,j})]$$

néhány esetet kiszámítva:

$$r_{1,2} = \max [\min (0,7, 0,8), \min (0,5, 1,0)] = \max [0,7, 0,5] = 0,7$$



$$r_{2,1} = \max [\min (1,0, 0,6)] = 0,6$$



9-39. ábra Bináris fuzzy relációk szemléltetése

$$r_{4,2} = \max [\min (0,4, 1,0), \min (0,3, 0,9)] = \max [0,4, 0,3] = 0,4$$

Amennyiben a komponenseket *mátrixokba* foglaljuk, általánosított formában felírhatjuk a következőket:

$$\begin{aligned} \mathbf{M}_P &= [p_{i,k}], \mathbf{M}_Q = [q_{k,j}], \mathbf{M}_R = [r_{i,j}] \\ R &= P \circ Q : [r_{i,j}] = [p_{i,k}] \circ [q_{k,j}] \end{aligned} \quad (9.39)$$

h.2.) A „max-min” típusú kompozíciót Zadeh az ún. „bizonytalan logikai következtetések” kezelésére is alkalmasnak tartotta. A *klasszikus logikában* a HA ..., AKKOR típusú implikációk segítségével vontunk le következtetéseket (lásd: 7.5.5.1. pont). Ezeket a továbbiakban „biztos” logikai következtetéseknek nevezhetjük és jellemzőjük az volt, hogy az ítélet *megegyezett* az implikáció bal oldalával:



pl.: Ítélet : Füst van (U)  
 Implikáció : HA füst van (U), AKKOR ég a pajta (V)  
 Következtetés : Ég a pajta (V)

Fentieket a MODUS PONENS következtetésfajtába soroltuk. Formulárisan így adható meg:

Ítélet : U  
 Implikáció : HA U, akkor V  
 Következtetés : V

A formulában U, V *határozott* halmazok.

A *fuzzy logikában* (mivel „elmosódottan”, „bizonytalanul” definiált fogalmakkal kell számolnunk) az implikáció úgy módosul, hogy az ítélet *csak hasonlít* az implikáció bal oldalához:

pl. Ítélet : Mintha füstöt látnék (U\*)  
 Implikáció : HA füst van (U), AKKOR ég a pajta (V)  
 Következtetés : Előfordulhat, hogy ég a pajta (V\*)

Ilyenkor a következtetés *bizonytalanságot* takar. Formulárisan megadva:

Ítélet : U\*  
 (hasonlít)  
 Implikáció : Ha U, akkor V  
 Következtetés : V\*  
 (bizonytalan)

Ezt a formulát általánosított következtetés-fajtának GENERALISED MODUS PONENS (GMP)-nek nevezzük, melynél az U, U\*, V, V\*

fuzzy halmazok. A formulákban az  $U$ -t *antecedensnek*, a  $V$ -t *konzekvensnek* is szokták nevezni.

Az elmondottakkal kapcsolatosak a következő megfontolások: Legyen egy  $A$  fuzzy halmaz  $X$ -en, egy  $B$  pedig  $Y$ -on értelmezve. Továbbá legyen egy  $R$  fuzzy reláció  $X, Y$ -on értelmezve, azaz felírhatók a következők:

$$A = \{(x, m_A(x)) \mid x \in X, m_A(x) : A \rightarrow [0,1]\}$$

$$B = \{(y, m_B(y)) \mid y \in Y, m_B(y) : B \rightarrow [0,1]\}$$

$$R = \{(x, y, m_R(x, y)) \mid x, y \in X, Y, m_R(x, y) = \min(m_A(x), m_B(y))\}$$

Ezután tételezzük fel, hogy olyan a feladat, hogy az  $A, R$  halmazokat ismerjük és keressük  $B$ -t. A megoldásnál  $B = A \circ R$  kompozíciót alkalmazva, ennek max-min változatával felírható a keresett tagsági függvény:

$$\mu_B(y) = \max [\min (m_A(x), m_R(x, y))] \quad (9.40)$$

A kapott összefüggés felhasználható „bizonytalan” logikai következtetések tárgyalásánál.

i) Az  $R(X, Y)$  fuzzy reláció *értelmezési tartományának* (domain,  $\text{dom } R(X, Y)$ ) nevezzük azt az  $X$ -en értelmezett fuzzy halmazt, melynek tagsági függvénye:

$$\mu_{\text{dom}R}(x) = \max_{y \in Y} \mu_R(x, y) \quad \forall x \in X$$

j) Az  $R(X, Y)$  fuzzy reláció *értékkészletének* (range,  $\text{ran } R(X, Y)$ ) nevezzük azt az  $Y$ -on értelmezett fuzzy halmazt, melynek tagsági függvénye:

$$\mu_{\text{ran}R}(y) = \max_{x \in X} \mu_R(x, y) \quad \forall y \in Y$$

k) Az  $R(X, Y)$  fuzzy reláció *magassága* (height) az a  $h \rightarrow$  valós érték, amely a reláció legmagasabb tagsági foka:

$$h(R) = \max_{y \in Y} \max_{x \in X} \mu_R(x, y)$$

továbbá érvényes:

$$h(R) = h(\text{dom } R) = h(\text{ran } R)$$

*normális* az  $R$  reláció : ha  $h(R) = 1$

szubnormális : ha  $h(R) = 1$  nem teljesül

l) Az  $X, Y$  fuzzy halmazokon értelmezett  $R(X, Y)$  bináris relációt *független* nevezük, ha nem létezik olyan értelmezési tartománybeli eleme, melyhez a reláció két értékkészletbeli elemet rendelne, azaz:

$$\forall x \in X \text{-hez nem létezik } y_1, y_2 \in Y, \text{ hogy}$$

$$R(x, y_1) > 0 \text{ és } R(x, y_2) > 0, \text{ ahol: } y_1 \neq y_2$$

m) Az  $R(X, Y)$  bináris fuzzy reláció *inverzének* nevezük azt az  $R^{-1}(X, Y)$ -t, melyre fennáll:

$$\mu_{R^{-1}}(y, x) = \mu_R(x, y) \quad \forall (x, y) \in X \times Y$$

továbbá felírhatók:

$$\left. \begin{aligned} (R^{-1})^{-1} &= R \\ \text{dom } R(X, Y) &= \text{ran } R^{-1}(X, Y) \\ \text{dom } R^{-1}(X, Y) &= \text{ran } R(X, Y) \end{aligned} \right\} \quad (9.41)$$

### 9.5.2.2. Fuzzy halmazok geometriai reprezentációja

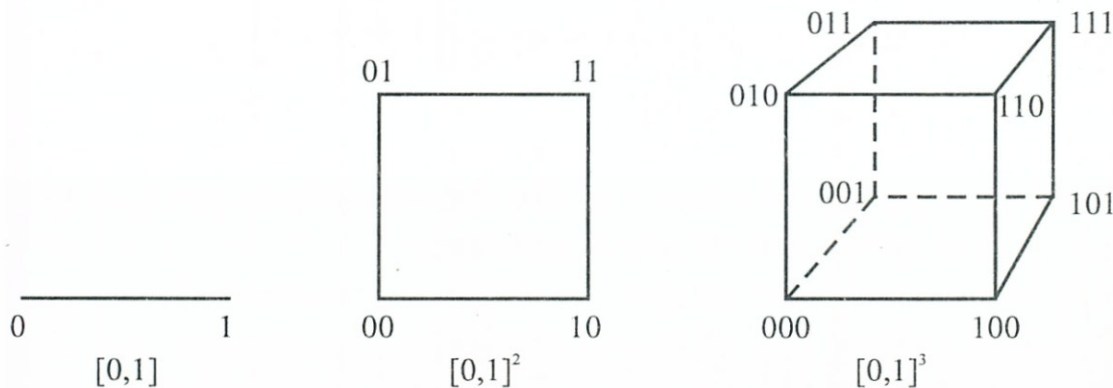
A fuzzy halmazok grafikus ábrázolása egységkockák (hiperkockák) segítségével történik. A határozott halmazok a kockák csúcsain és élein, a fuzzy halmazok a kockák belső pontjain helyezkednek el. Egységkockákat szemléltet a 9-40. ábra

Ha  $A$  egy fuzzy halmaz

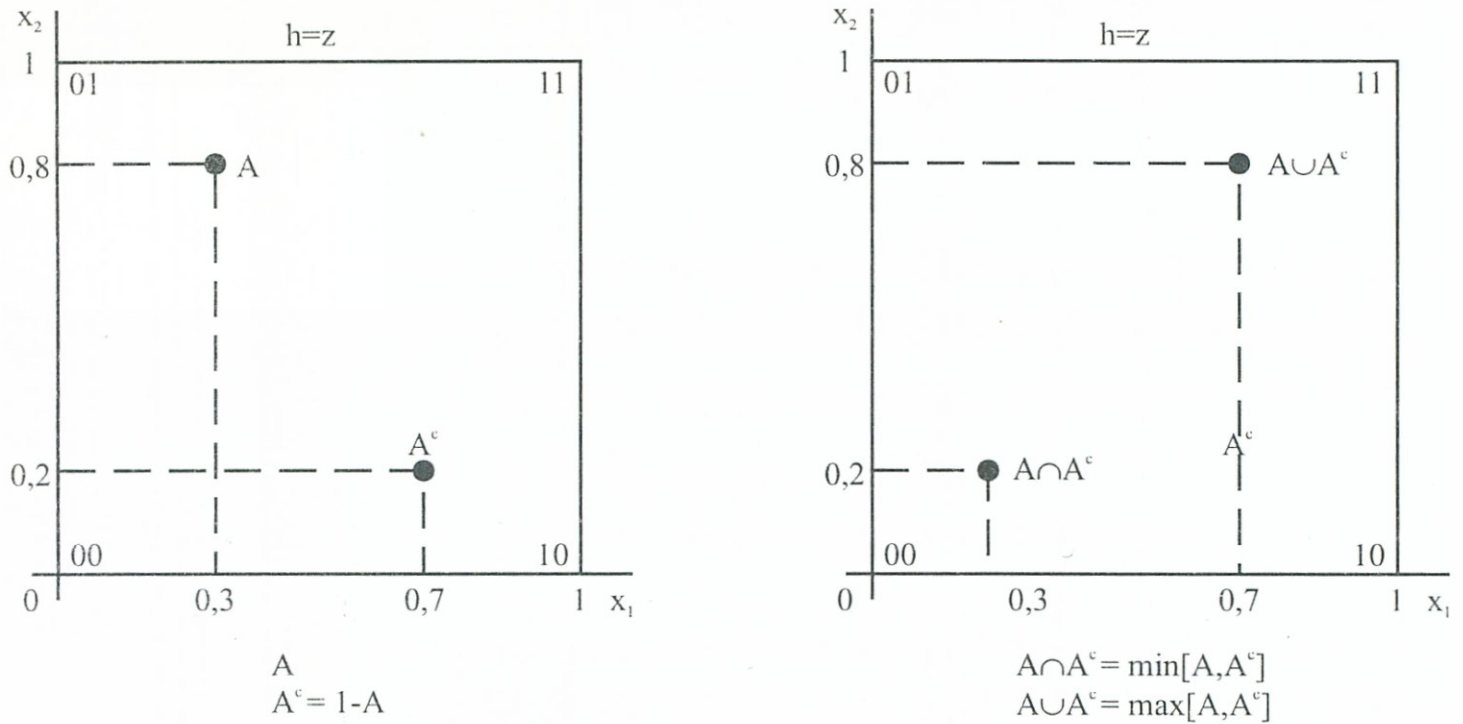
$$A = \{(x, m_A(x)) \mid x \in X, m_A(x) : X \rightarrow [0,1]\}$$

akkor *illesztő vektornak* nevezük az alábbi vektort:

$$A(m_A(x_1), \dots, m_A(x_n)) : X \rightarrow [0,1]^n$$



9-40. ábra  $(X, [0,1]^n)$  egységkockák  $n = 1, 2, 3$  esetén



9-41. ábra  $A, A^c, A \cap A^c, A \cup A^c$  grafikus ábrázolása egységkockán

9.21. példa: Vizsgáljuk meg az alábbi esetek grafikus képét az egységkockán:  $A, A^c, A \cup A^c, A \cap A^c$

Legyen az illesztő vektor adva az alábbiakban:

$$A(0,3(x_1), 0,8(x_2)), X \rightarrow [0,1]^2$$

A 9-41. ábrán egy egységkockán feltüntettük a fenti kérdéses eseteket.

Az egyes számításokat részletezve a számszerű eredmények:

Ha:	$A =$	$(0,3, 0,8)$
akkor:	$A^c = 1 - A$	$(0,7, 0,2)$
	$A \cap A^c = \min [A, A^c]$	$(0,3, 0,2)$
	$A \cup A^c = \max [A, A^c]$	$(0,7, 0,8)$

### 9.5.2.3. A „fuzzy entropy” fogalma

A 9-41. ábra példájának tapasztalatai alapján elgondolkodtatónak látszik az az eset, ha  $A(0,5, 0,5)$  kiindulással oldanánk meg a feladatot, azaz még mélyebbre hatolnánk az egységkocka belsejébe. A 9-41. ábra a.) és b.) eseteiből szemléletesen látható, hogy az  $A, A^c, A \cap A^c, A \cup A^c$  pontok közelednének egymáshoz és az említett  $A(0,5, 0,5)$  elérésekor a hagyományos logikákban eleve elképzelhetetlen:

$$A = A^c = A \cap A^c = A \cup A^c$$

eset adódna. Természetesen hagyományos logikákban (a  $\{0,1\}$  feltétel miatt) csak az egységkocka élein mozoghatunk, így az említett paradoxon nem állhat elő. Más a helyzet a fuzzy esetnél, ahol a  $[0,1]$  feltétel miatt bejuthatunk a kocka belsejébe, így elérhetjük a kocka közepét is. A fuzzy esetben azonban – mint láttuk – az  $A = A^c$  eset nem elképzelhetetlen, mivel a „félíg igaz – félíg nem igaz” esettel is számolni tudunk.

Az előzőleg elmondottak alapján tulajdonképpen megfogalmazhatunk egy olyan felismerést, mely szerint minél inkább távolodunk befelé a kocka éleitől, annál inkább nő a fuzzy halmaz bizonytalansága. Ennek számszerű felbecsülésére célszerű bevezetni egy mutatót, melyet *fuzzy entrópiának* (fuzzy entropy) fogunk nevezni.

*Fuzzy entrópia* a következő mennyiség egy adott,  $A$  fuzzy halmaz esetén:

$$E(A) = \frac{L_k}{L_t}$$

ahol az egységkocka belsejében mérve:

$L_k = „A”$  távolsága a legközelebbi kockaéltől

$L_t = „A”$  távolsága a legtávolabbi kockaéltől.

Bebizonyítható, hogy fennáll:

$$E(A) = \frac{L_k}{L_t} = \frac{|A \cap A^c|}{|A \cup A^c|} \quad (9.42)$$

Az  $E(A)$  adat segítségével jellemezhető valamely halmaz bizonytalanságának mértéke. Az összefüggés például határozott halmazok esetén is használható. Ilyenkor, mint tudjuk, a halmaz a hiperkocka valamelyik élén található, ekkor  $L_k = 0$  ( $A \cap A^c = 0$ ),  $L_t = A \cup A^c = 1$ , tehát:

$$E_{\text{határozott}} = \frac{|A \cap A^c|}{|A \cup A^c|} = \frac{0}{1} = 0$$

tehát *nincs* bizonytalanság.

### 9.5.3. FUZZY flip-flopok elvi működése és realizációja



A fuzzy tárolóelemek kialakításánál célszerű a kétértékű logikáknál megismert flip-flopok általánosításából kiindulnunk. Az irodalomban gyakran találkozunk az  $F^3$  (Fuzzy–Flip-Flop) jelöléssel is.

Kiindulásul válasszuk a „legintelligensebb” klasszikus kétértékű  $J$ – $K$  tárolóelemet, melyet minimál konjunktív, ill. diszjunktív alakjaiban a következőképpen írhatunk fel a BOOLE ÉS, VAGY, NEM függvényekkel:

$$Q' = (J + Q) \cdot (\bar{K} + \bar{Q})$$

$$Q' = J \cdot \bar{Q} + \bar{K} \cdot Q$$

(ahol:  $Q' = Q_{t+1}$ ,  $Q = Q_t$ )

Ezek a kifejezések a BOOLE algebra értelmében egymással ekvivalensek.

#### 9.5.3.1. A J–K flip-flop kiterjesztése $F^3$ -ra

Formálisan átírva az előzőket, fuzzy ( $\cap, \cup$ , KOMPLEMENT) (9.27), (9.28), (9.29) műveletekbe kapjuk:

$$Q'_S = (J \cup Q) \cap ((1-K) \cup (1-Q)) \quad (9.43)$$

$$Q'_R = (J \cap (1-Q)) \cup ((1-K) \cap Q) \quad (9.44)$$

Bebizonyítható, hogy a fuzzy logikában a két kifejezésre az alábbi reláció áll fenn:

$$Q'_S \geq Q'_R, \quad (9.45)$$

azaz – ellentétben a BOOLE változattal – ezek nem mindig ekvivalensek. Emiatt célszerű volt őket az  $S$ -set,  $R$ -reset indexeléssel megkülönböztetnünk.

$J$	$K$	BOOLE	FUZZY	
		$Q'$	$Q'_R$	$Q'_S$
0	0	$Q$	$Q$	$Q$
0	1	0	0	$Q \cap (1-Q)$
1	0	$\bar{1}$	$(1-Q) \cup Q$	1
1	1	$\bar{Q}$	$1-Q$	$1-Q$

9–42. ábra  $J$ – $K$  flip-flop BOOLE és FUZZY definíciós táblái

A  $J$ - $K$  flip-flop definíciós tábláját BOOLE és FUZZY esetekre a 9–42. ábra szerint rajzolhatjuk fel:

A fuzzy esetre feltételezve, hogy  $Q \in [0,1]$  az előbbi  $Q'_S, Q'_R$  kifejezéseinket a következő formába is átírhatjuk:

$$Q' = \begin{cases} (J \cup Q) \cap ((1-K) \cup (1-Q)) & \text{ha: } J \geq K \\ (J \cap (1-Q)) \cup ((1-K) \cap Q) & \text{ha: } J \leq K \end{cases} \quad (9.46)$$

### 9.5.3.2. Az algebrai $F^3$

Az előző (9.43), (9.44) formuláinkat átírhatjuk a (9.30), (9.31) műveletekkel képzett formába is, az

$$A \cap B \rightarrow A \cdot B$$

$$A \cup B \rightarrow A + B$$

transzformációk feltételezésével. Ezt a flip-flop változatot *algebrai  $F^3$* -nak ( $Q^A$ ) fogjuk a továbbiakban nevezni. Így felírva  $Q_S$  és  $Q_R$ -t:

$$Q_S^A = F_S = J + Q - J \cdot K - J \cdot K \cdot Q - K \cdot Q^2 + J \cdot K \cdot Q^2 \quad (9.47)$$

$$Q_R^A = F_A = J + Q - 2 \cdot J \cdot Q - K \cdot Q + J \cdot Q^2 + J \cdot K \cdot Q - J \cdot K \cdot Q^2 \quad (9.48)$$

A kapott kifejezések egyelőre nehezen lennének kezelhetők, ezért a 9–23. ábra  $Q'$  tábla-oszlopa alapján célszerű  $F(J, K, Q)$ -ra a következő kikötéseket tennünk,  $Q \rightarrow 1-Q$  helyettesítéssel (9–43. ábra).

	$F(J, K, Q)$	$F$
$k1.$	$F(0, 0, Q)$	$Q$
$k2.$	$F(0, 1, Q)$	$0$
$k3.$	$F(1, 0, Q)$	$1$
$k4.$	$F(1, 1, Q)$	$1-Q$
$k5.$	$F(0,5, 0,5, Q)$	$0,5$

**9–43. ábra** Kikötések az algebrai  $F^3$  függvényeinek megoldásához

A 9–43. ábra  $k1 \dots k4.$  kikötése származik a 9–42. ábrából, míg a  $k5.$ -öt abból a megfontolásból vettük fel, hogy egy abszolút fuzzy bemenet (maximális entrópia esetén) hasonló fuzzy kimenetet célszerű, hogy eredményezzen.

Ezek után felírhatunk egy *általános paraméteres egyenletet* a (9.47), (9.48) egyenletek megoldása érdekében:



$$F = (\alpha_0 + \alpha_1 J + \alpha_2 K + \alpha_3 JK) + (\beta_0 + \beta_1 J + \beta_2 K + \beta_3 JK) Q + (\gamma_0 + \gamma_1 J + \gamma_2 K + \gamma_3 JK) Q^2$$

A 9-43. ábra kikötéseit  $F$ -re alkalmazva kapjuk a következőket:

$$k1: \alpha_0 + \beta_0 Q + \gamma_0 Q^2 = Q$$

$$\text{innen: } \alpha_0 = 0, \beta_0 = 1, \gamma_0 = 0$$

$$k2: \alpha_2 + (1 + \beta_2) Q + \gamma_2 Q^2 = 0$$

$$\text{innen: } \alpha_2 = 0, \beta_2 = -1, \gamma_2 = 0$$

$$k3: \alpha_1 + (1 + \beta_1) Q + \gamma_1 Q^2 = 1$$

$$\text{innen: } \alpha_1 = 1, \beta_1 = -1, \gamma_1 = 0$$

$$k4: (1 + \alpha_3) + (1 - 1 - 1 + \beta_3) Q + \gamma_3 Q^2 = 1 - Q$$

$$\text{innen: } \alpha_3 = 0, \beta_3 = 0, \gamma_3 = 0$$

Fentiek alapján már felírható:

$$F = J + (1 - J - K) Q = J + Q - J \cdot Q - K \cdot Q = J + Q - (J + K) Q \quad (9.49a)$$

Végül:

$$F = J \cdot (1 - Q) + Q \cdot (1 - K) \quad (9.49b)$$

Mivel behelyettesítéssel  $k5$  is teljesül, így nem részletezetten igazolható, hogy (9.49a) egyetlen megoldása a (9.47) és (9.48)-nak.

Az  $F$  algebrai fuzzy-flip-flopra a következő tulajdonságokat foglathatjuk össze:

$$t1: F \text{ mindig } > 0, \text{ ha: } J, K, Q \neq 0, 1$$

$$t2: F \text{ mindig } < 1, \text{ ha: } J, K, Q \neq 0, 1$$

$$t3: F(J_1) > F(J_2), \text{ ha: } J_1 > J_2 \text{ és } Q \neq 1$$

$$t4: F(K_1) < F(K_2), \text{ ha: } K_1 > K_2 \text{ és } Q \neq 0$$

$$t5: \text{A „D”-flip-flop esete:}$$

$$F(D, 1 - D, Q) = D, \text{ ha: } J = D, K = 1 - D$$

$$t6: \text{A „T”-flip-flop esete:}$$

$$F(T, T, Q) = 1 - Q, \text{ ha: } J = K = T = 1$$

$$F(T, T, Q) = Q, \text{ ha: } J = K = T = 0$$

### 9.5.3.3. $F^3$ általánosított alakban

Amennyiben alkalmazzuk a 9.5.1.2. pont  $\gamma$ ) alpontjának általánosításait a (9.49a) összefüggés átírható a következőképpen:

$$F = J + Q - JQ - KQ = J_S Q - K_T Q$$

vagy megfelelő műveletcsalád megválasztásával felírható még az alábbi formában is:

$$F = \max(J, Q) - \min(K, Q) \quad (9.50)$$

### 9.5.3.4. Fuzzy flip-flopok működésének ábrázolása egységkockákkal

A fuzzy flip-flopok működése lényegesen elüt a kétállapotú rendszerek tapasztalataitól. Amiatt, hogy a bemeneti  $J$ ,  $K$  vezérlések és a jelenlegi állapotot képviselő  $Q$  „0” és „1” között tetszés szerinti értékekre beállhatnak (esetleg folytonos skálán is) a következő állapotot képviselő  $Q'$ -t csak többdimenziós térben tudjuk ábrázolni. A  $Q' = f(J, K, Q)$  háromváltozós függvényt rendszerint úgy ábrázolják, hogy fix  $Q_i$  értékeknél egységkockán ábrázolják a

$$Q' = f(J, K)_{Q_i}$$

függvényeket, és  $i$ -t leggyakrabban:  $i = \{0; 0,25; 0,5; 0,75; 1\}$  skála szerint lépcsőzik.

Az előzőekben levezetett: kiterjesztett; algebrai és általánosított  $F^3$ -ak mindegyikét más-más formulák képviselik, így (annak ellenére, hogy  $J$ - $K$  flip-flopokról van szó) működésük más-más grafikus képet mutat. A számos változat közül:

kiterjesztett  $Q'R$ -t a 9-44. ábrán,  
algebrai  $Q_S^A$ -t a 9-45. ábrán,  
általánosított  $F$ -t a 9-46. ábrán

ábrázoltuk grafikusan.

### 9.5.3.5. Fuzzy flip-flopok realizációja

A fuzzy flip-flopok lényegesebben összetettebb áramkörök, mint a BOOLE típusú kétállapotú változatok. Ennek egyik oka a fuzzy változók többértékű (gyakran folytonos) értékskálája, másik oka a megoldandó műveletek sokrétúsége. A realizációs hálózatok gyakran keverten tartalmaznak digitális és analóg összetevőket is. Az áramkörök viszonylagos összetettsége a korszerű IC-technológiák korszakában már nem tekinthető akadálynak.

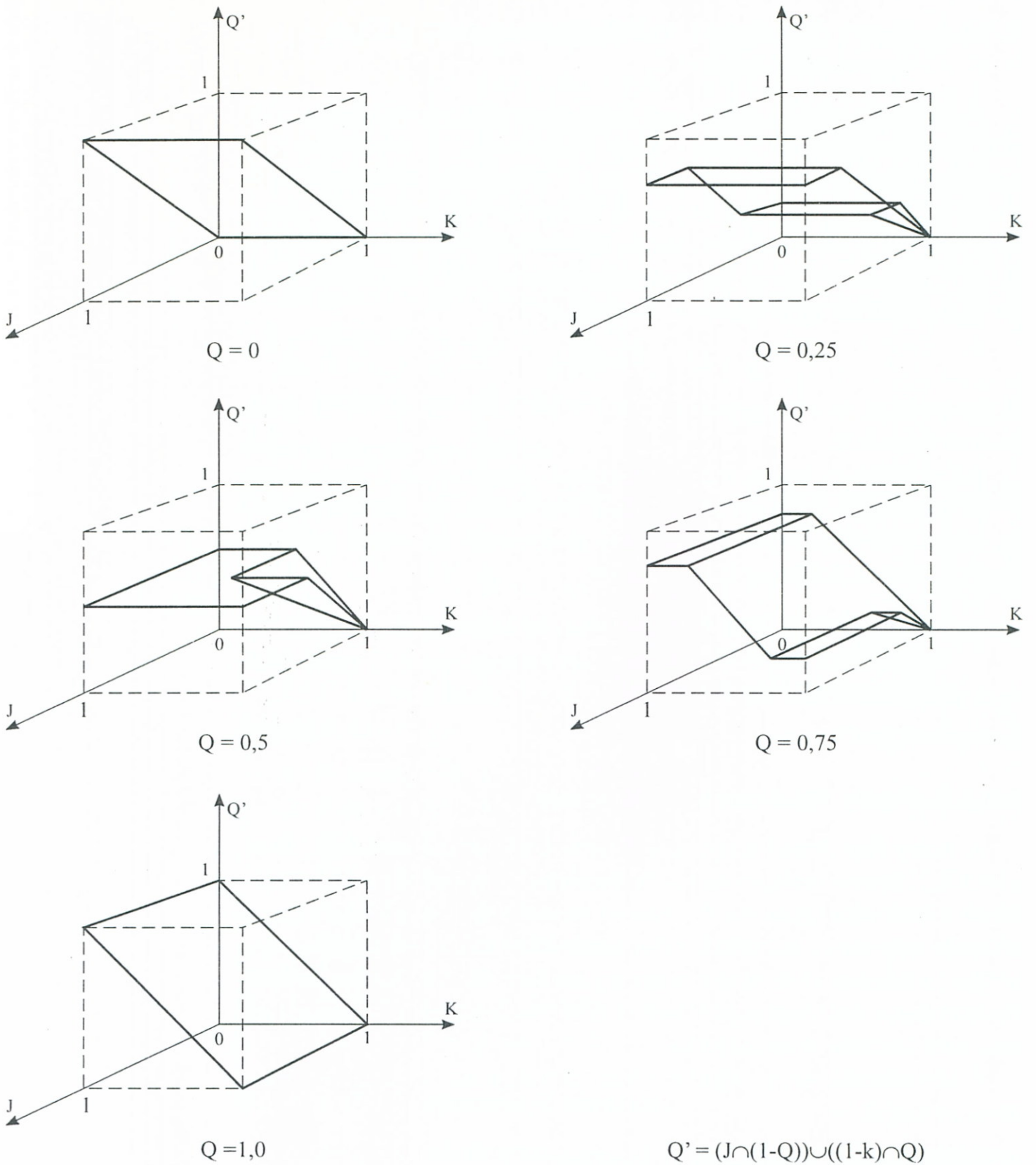
A következőkben az *algebrai fuzzy flip-flop* két realizációs változatát mutatjuk be.

a) *Diszkrét módú algebrai fuzzy flip-flop ( $F^3$ )*

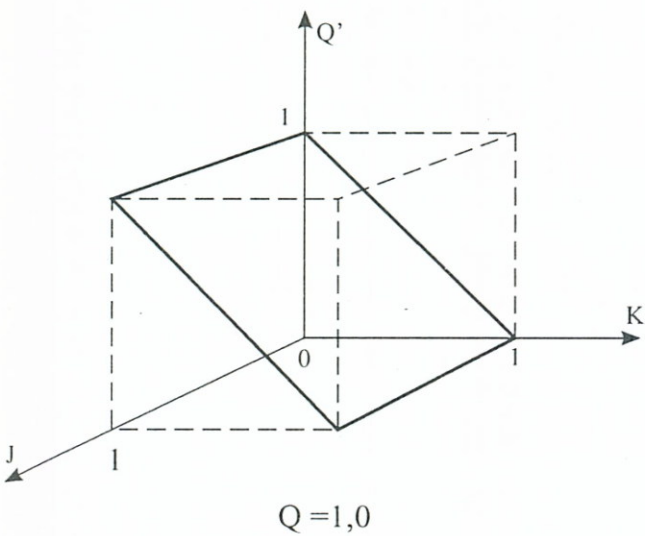
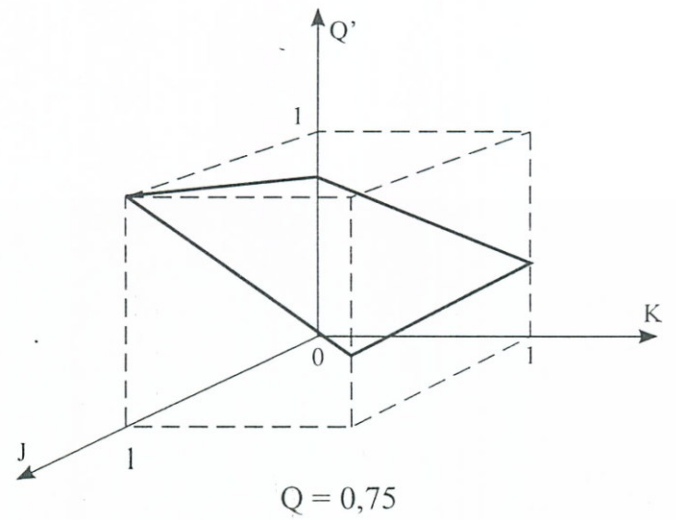
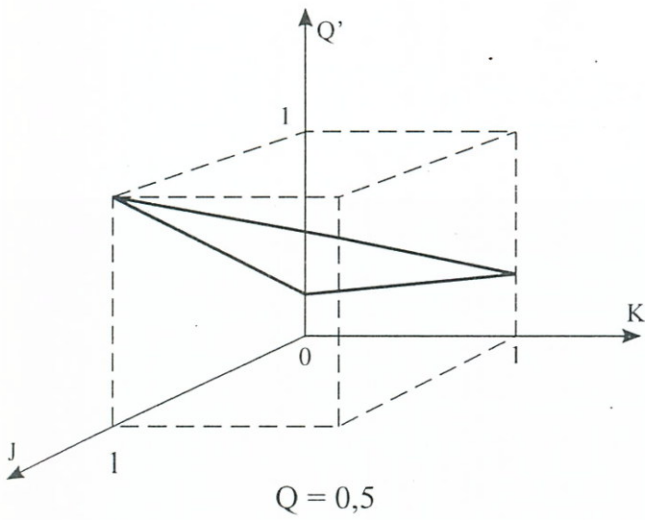
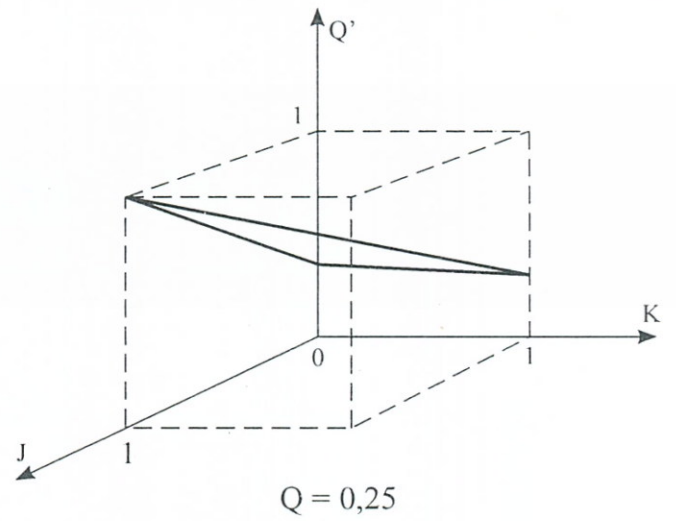
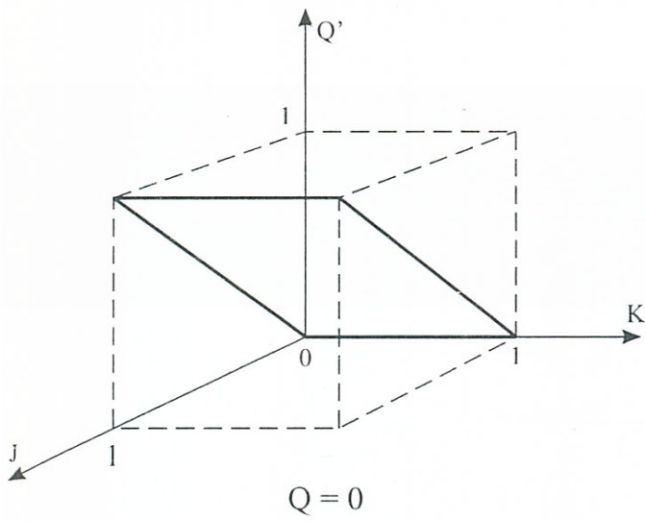
A 9-47. ábrán látható diszkrét módú  $F^3$  a (9.49b) összefüggés alapján lett kialakítva:

$$Q^A = F = J + Q - JQ - KQ$$

Itt a  $[0, 1]$ -beli  $\mu(X)$  tagsági függvényértékek 4 bites formában vannak digitalizálva  $\{0000, 0001, \dots, 1111\}$ . A berendezés két  $4 \times 4$  bites szor-

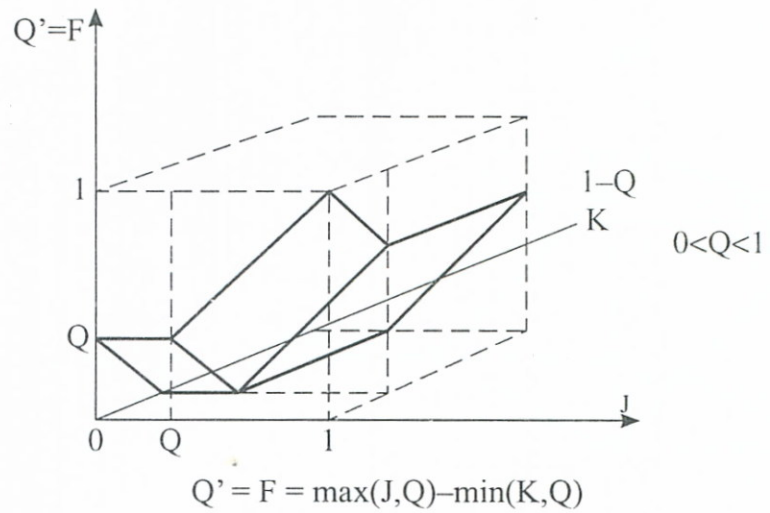
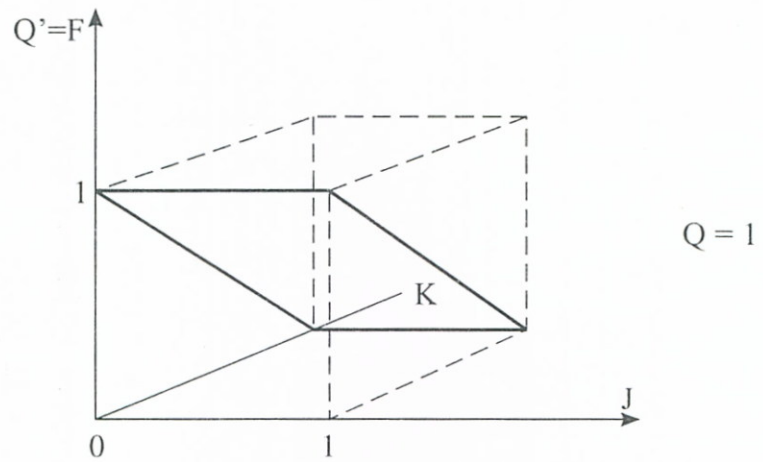
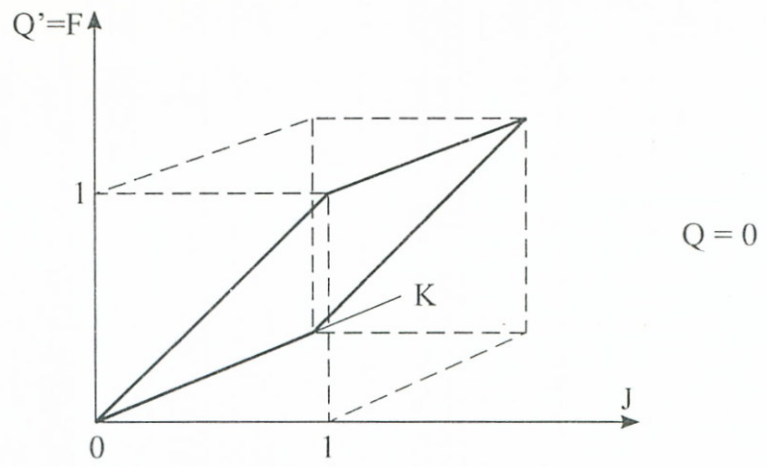


9-44. ábra Kiterjesztett  $Q_R$  Reset típusú fuzzy flip-flop működésének ábrázolása egységkockán

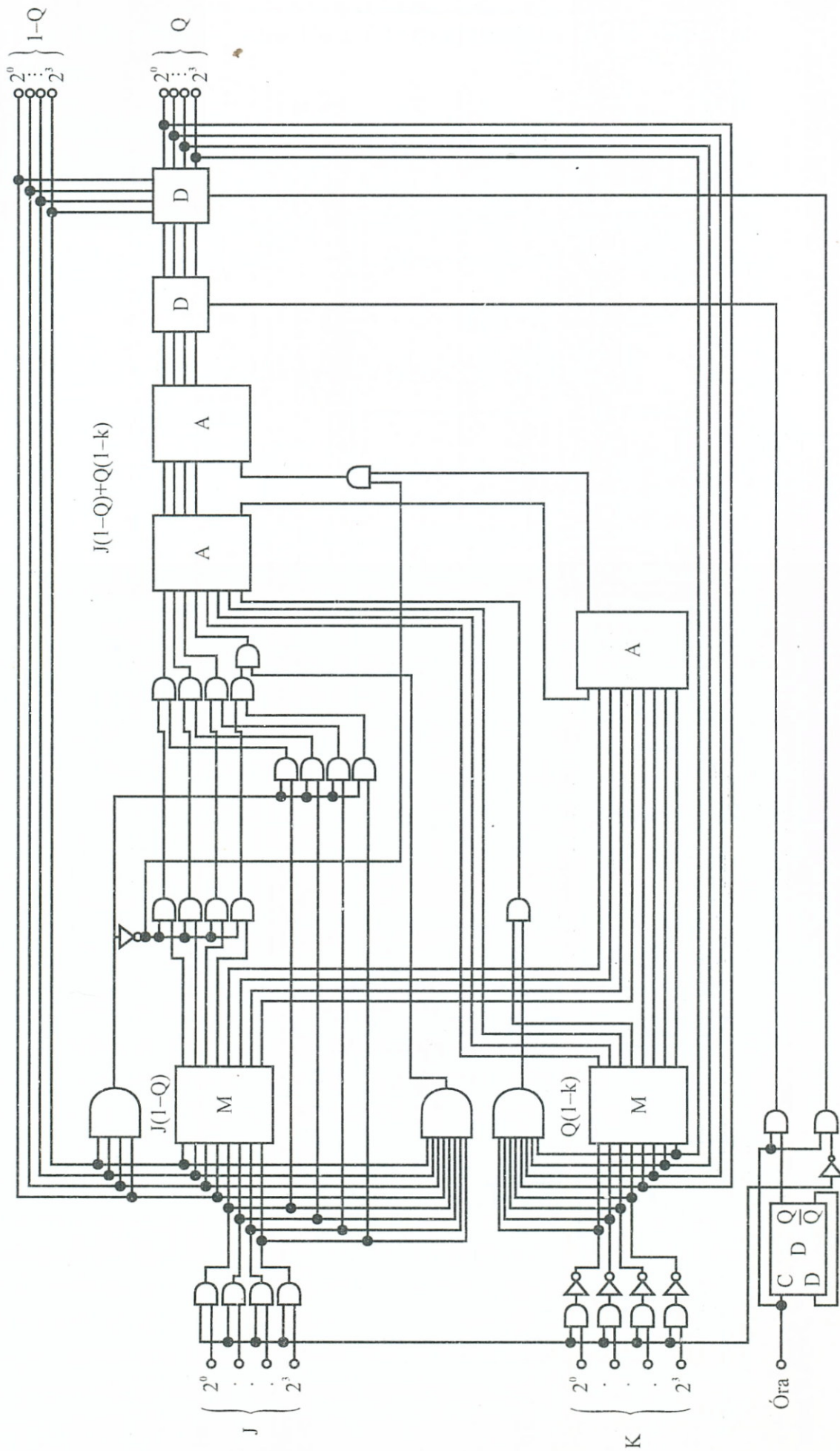


$$Q' = J + Q - JQ - KQ$$

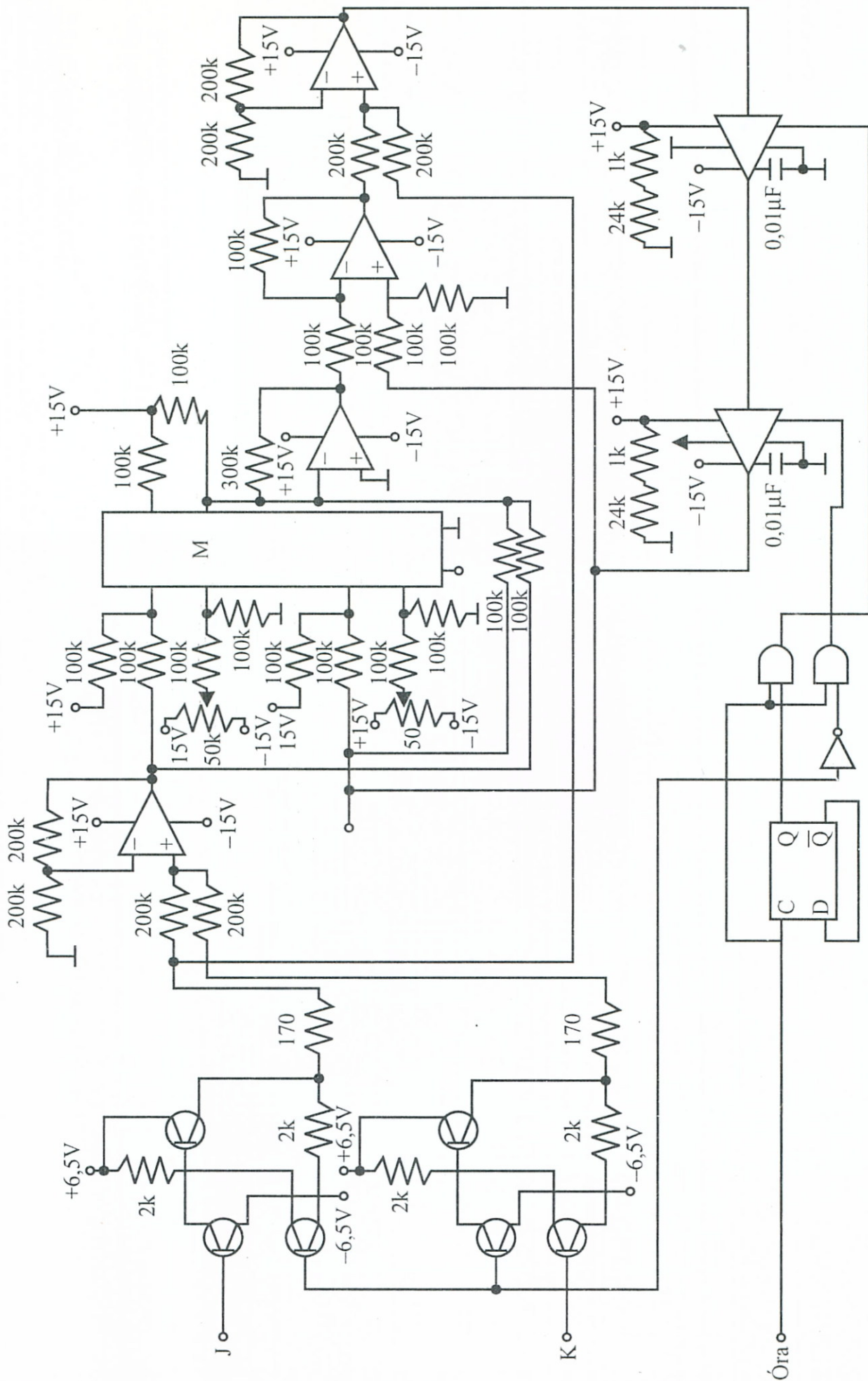
9-45. ábra Algebrai  $Q_s$  Set típusú fuzzy flip-flop működésének ábrázolása egységkockán



9-46. ábra Általánosított alakú fuzzy flip-flop működésének ábrázolása egységkockán



9-47. ábra Diszkrét módú algebrai fuzzy flip-flop egy digitális realizációja



9-48. ábra Folytonos-módú algebrai fuzzy flip-flop egy katalógusból kimásolt analóg realizációja

zóáramkört (M), 4 bites összeadókat (A) és klasszikus D flip-flopokat (D) tartalmaz.

b) *Folytonos módú algebrai fuzzy flip-flop ( $F^3$ )*

A 9–48. ábrán látható folytonos módú  $F^3$  a (9.49a) összefüggés alapján lett kialakítva. A  $[0,1]$ -beli fuzzy értékeket folytonos analóg feszültség  $[0V, 5V]$  képviseli. A formula szerinti összeadási, szorzási- és kivonási műveleteket a 4.3. fejezetben megismert analóg műveletvégzők oldják meg.

#### 9.5.4. Fuzzy logikák irányítástechnikai alkalmazása

Napjainkban a fuzzy logikák legfontosabb alkalmazási területét az *irányítástechnikai* berendezések képezik. Szerepük e vonatkozásban folyamatosan növekszik. A terjedés különösen olyan esetekben látványos, ahol a klasszikus módszerek a folyamat matematikai modelljének hiányában nehézkesen alkalmazhatók, mivel a fuzzy irányítórendszerekben az irányítás tapasztalatokból és megfigyelésekből nyert szabálybázisának kialakítása nem okvetlenül kívánja meg a matematikai modell ismeretét. A fuzzy irányítórendszer jobban utánozza az emberi következtetési tevékenységet és szillogizmusok (lásd: 7.5.5. pont) formájában oldja meg a feladatokat.

Klasszikus osztályozás szerint az irányító-berendezéseknek két alaptípusát szokták elkülöníteni, ezek elvi vázlatát a 9–49a. és b. ábrákon hasonlíthatjuk össze.

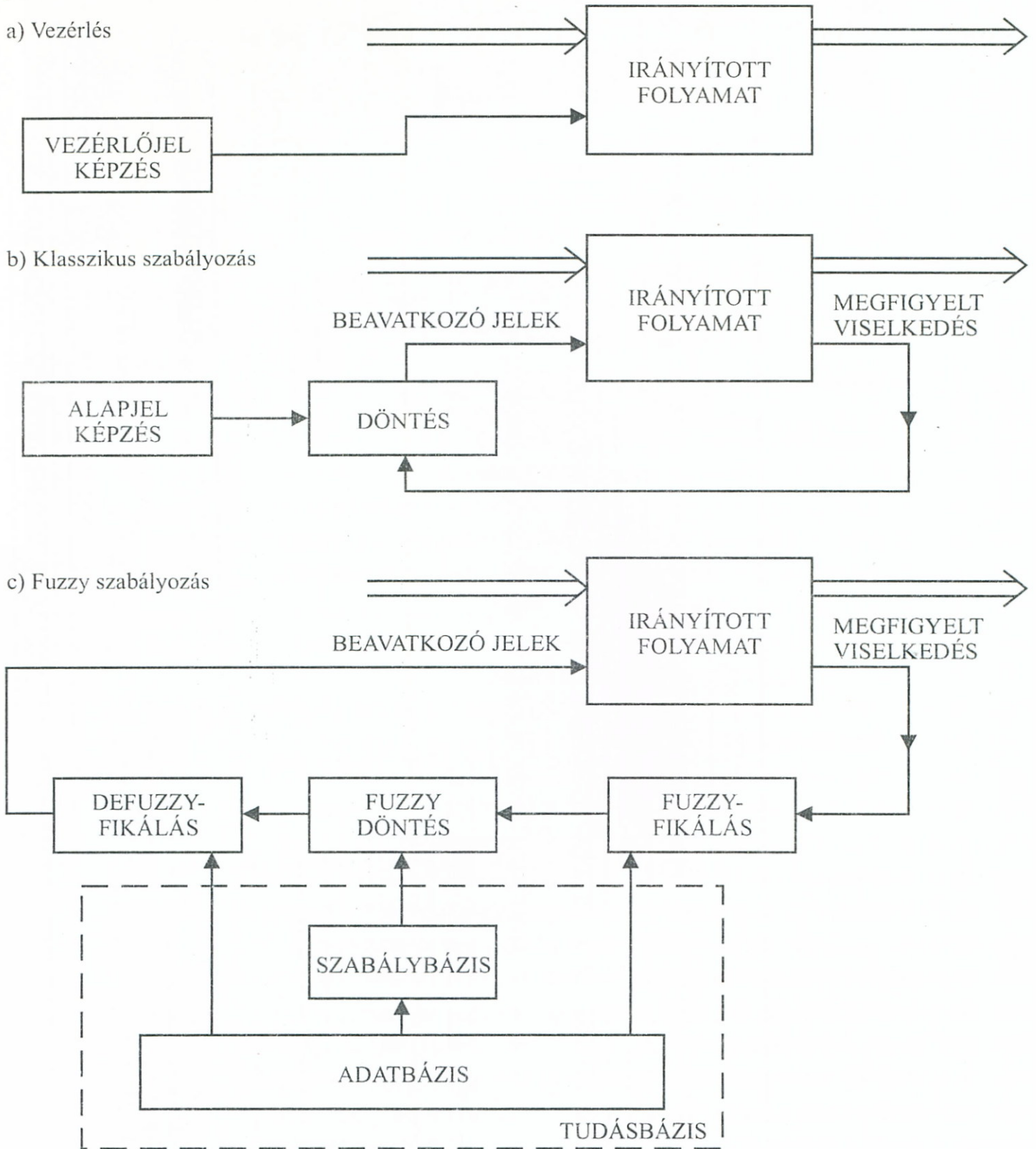
*Vezérlésnél* az irányított folyamat kívánt lefolyás szerinti alakulása a beadott *vezérlő* jelek (vezérlő program) hatására történik.

*Klasszikus szabályozásnál* az irányított folyamat kívánt lefolyás szerinti alakulása lényegében az ún. *alapjelek* szerint történik, de itt a rendszer *megfigyeli* a folyamat tényleges (kimeneti) viselkedését, és ha ez (például valamilyen külső nem várt körülmény hatására) eltér az elvárt viselkedéstől, akkor egy *döntési logika* gondoskodik a *beavatkozó jelek* értelemszerű korrekciót eredményező módosításáról. Mint látható, a szabályozás *visszacsatolt* rendszerstruktúrában valósítható meg.

*Fuzzy-szabályozásnál* (9–49c. ábra) a visszacsatolt rendszerstruktúra ugyancsak megvalósul, de a folyamat (tényleges) *megfigyelt* viselkedésére utaló információkat egy fuzzy transzformációnak (*fuzzyfikálás*) vetjük alá. A transzformációt követően kihasználhatjuk a fuzzy-rendszerek minden, korábban megismert előnyét, így: az emberivel rokon „gon-







9-49. ábra Az irányítás különféle változatai

dolkodásmódot”, az említett, klasszikus matematikai modell hiányában is létező feladatmegoldó képességet, a tapasztalatok és korábbi megfigyelések hasznosítását és – igen gyakran – a nagyobb feladatmegoldó sebességet. A szükséges korrekciós módosításokat eredményező *döntések* egy ugyancsak fuzzy-orientált *tudásbázis* alapulvéte-

lével hozhatók meg. Mivel e döntések is fuzzy-jellegűek, ezért – végezetül – ezeket még vissza kell transzformálnunk (*defuzzyfikálás*) az irányított folyamat számára „megérthető” *beavatkozó jelekké*.

### 9.5.4.1. A fuzzy irányítórendszer összetevői

A továbbiakban vizsgáljuk meg kissé részletesebben a fuzzy irányítórendszer fő összetevőit.

a) A FUZZYFIKÁLÁS-t végző „fuzzyfikáló egység” valójában interfészként működik, és feladata a *megfigyelt értékek* (rendszerint konkrét számértékek) fuzzy számokká történő átalakítása. Az egység gyakran adatkonverziót is végez, melynek során az *adatbázisban* meghatározott alaphalmazra képezi le a megfigyelt értékeket.

*Fuzzyfikáló operátornak* tekintjük a

$$\text{nem fuzzy} \rightarrow \text{fuzzy} \\ op$$

operátort, mely a két halmaz közötti transzformációt megoldja.

Egy gyakran alkalmazott módszer, hogy háromszög alakú  $\mu$  tagsági függvényt rendelünk az átalakítandó adathoz, oly módon, hogy a várható érték felel meg a csúcsnak és az alap mérete arányos a bizonytalansági intervallum szélességével.

Ha bizonytalanságtól mentes értéket akarunk átalakítani fuzzy halmazzá, akkor érdemes a következő transzformációt választani:

$x_0$  fuzzyfikálandó érték esetén álljon fenn:

$$\begin{aligned} \mu_A(x) &= 1 & \text{ha: } x_0 &= 0 \\ \mu_A(x) &= 0 & \text{ha: } x_0 &\neq 0 \end{aligned} \quad \text{és } \forall x \in X$$

b) A ADATBÁZIS feladata, hogy mind a *megfigyelési*, mind a *következtetési* univerzumok számára tartalmazza a nyelvi változók jellemző adatait, melyek a megfigyelések fuzzyfikálásánál és a következtetések „kiszámításánál” kerülnek felhasználásra.

Mivel a *megfigyelt értékek* folytonosak is lehetnek, ezért ilyenkor szükségessé válhat azok kvantálása. Ez például kisebb volumenű feladatoknál lehet előnyös, ahol a nem túl nagyszámú *megfigyelési* kombinációhoz hozzárendelendő *következtetést* egyetlen táblázatban lehet tárolni megfigyelési–következtetés-párok formájában. Ilyenkor a *döntési* művelet egyszerű táblázatkeresésre egyszerűsödhet.

Ugyancsak az adatbázissal kapcsolatos a *nyelvi változók* definiálása, melynek során a *megfigyelési* és *-következtetési* univerzumok-

hoz tartozó nyelvi változók értékeit és ezek  $\mu$  tagsági függvényét kell előállítani. A nyelvi értékekre történő felbontást *fuzzy-felosztási műveletnek* nevezzük. A nyelvi értékek száma már meghatározza a maximálisan kialakítható *fuzzy-szabályok számát* is. Amennyiben a *fuzzy-döntéssel* kapcsolatos következtetést *kompozícióval* kívánjuk megoldani, ügyelni kell a „sűrű” lefedést biztosító szabályhalmaz kialakítására.

A nyelvi értékeket *diszkrét* esetben  $\mu_i(x_i)/X_i$  elemeket tartozó vektorral, *folytonos* esetben a nyelvi értékek számának megfelelő számú tagsági függvényrel szokták megadni.

c) A SZABÁLYBÁZIS-nál alkalmazott fuzzy következtetési módszerek elsősorban kompozíciós (9.5.2.1. h.2) *általánosított modus ponens (GMP)* elvre épülnek, ezért a szabálybázis: HA  $U$ , AKKOR  $V = U \rightarrow V$  típusú szabályokat tárol. Ezekben a szabályokban mind az  $U$  (antecedens), mind a  $V$  (konzekvens) helyén olyan nyelvi értékek találhatók, melyeket előzőleg a *tudásbázisban* már bevezettünk. Az antecedens helyén a konkrét *megfigyelések*, a konzekvens helyén a megfigyelésekhez tartozó *következtetések* szerepelnek.

A szabálybázis feladata, hogy az összes fuzzy-szabályhoz tartalmazza a szabályt leíró valamennyi *megfigyelési* és *-következtetési* nyelvi értéket.

A szabálybázisban szereplő szabályok *felállításának* többféle módszere ismeretes:

– *Szakértői tudás* felhasználása:

Miután a nyelvi változók használata jól illeszkedik a GMP szabályaihoz, ezért például egy emberi közreműködéssel már irányított berendezés automatizálásakor jól fuzzyfikálható lehet egy működési leírás, melyből a szabálybázis már összeállítható.

– *A berendezés kezelőjének megfigyelése*

Ilyenre lehet példa egy ember által működtetett berendezéssel kapcsolatos kezelési mozzanatok és tevékenységek összegyűjtése és ezek rendszerezése alapján történő szabálybázis összeállítása.

– *Adott folyamat fuzzy modellje*

A modell alapján összegyűjthetők azok a *bemenő*-jelek, melyek a folyamat meghatározott típusú állapotváltozásait eredményezik.

## – Tanulás

Az ilyen elven működő, ún. *adaptív* rendszerek, melyek kísérletezésen (a működő rendszer folyamatos megfigyelésén) alapulnak és egy rendszerint már meglévő szabálybázis kiterjesztésére, illetve tökéletesítésére szolgálnak.

c) A FUZZY-DÖNTÉS-eket az ún. „döntési logikai egység” valósítja meg. Ennek feladata, hogy az *adatbázis* adataival és a *szabálybázis* szabályaival kialakítsa a *megfigyelés*hez tartozó fuzzy következtetéseket, melyek lehetnek fuzzy *halmazok*, vagy fuzzy *relációk* is. Fentiekkel kapcsolatosan összefoglalhatók a következők, melyek a „döntési logika” működésénél kerülnek felhasználásra.

Egy szabály ( $R_i$ ) formátuma a szabálybázisban:

$$R_i : \text{HA } x = A_i, \text{ AKKOR } y = B_i = A_i \rightarrow B_i$$

ahol:  $x = x_1 \times x_2 \times \dots \times x_n$  : megfigyelés

$y = y_1 \times y_2 \times \dots \times y_m$  : következtetés

$i \in [1, r]$  : szabály sorszáma

$A_i = A_{1,i} \times A_{2,i} \times \dots \times A_{n,i}$  : antecedens

$B_i = B_{1,i} \times B_{2,i} \times \dots \times B_{m,i}$  : konzekvens

A teljes szabálybázis ( $R$ ) az  $R_i$  szabályok diszjunkciójaként értelmezhető, azaz felírható a következőképpen:

$$R = A \rightarrow B = \sum_{i=1}^r R_i = \sum_{i=1}^r (A_i \rightarrow B_i)$$

A döntéssel kapcsolatos következtetés – mint már utaltunk rá – a *megfigyelési* fuzzy halmaz és a *szabálybázis-reláció* kompozíciójaként fogható fel, azaz felírható:

$$y = x \circ R$$

ahol:  $x \in X$  megfigyelés fuzzy halmaz

$y \in Y$  következtetés fuzzy halmaz

$R$  a szabálybázis reláció

Ezután például a 9.5.2.1.h. pontban bevezetett Zadeh-féle max-min kompozíció-változat felhasználásával felírhatók a következők is:

$$y = x \circ R$$

$$\mu_{x \circ R}(y) = \max_{x \in X} \min[\mu_x(x), \mu_R(x, y)]$$

és bebizonyítható az a tétel, hogy:

a szabály-relációk unióján számított következtetés megegyezik a szabály relációkon külön-külön számított következtetések uniójával.

d) A DEFUZZYFIKÁLÁS műveletét végző „defuzzyfikáló egység” interfészként működik, csak a „fuzzyfikáló egységhez” viszonyítottan ellenkező értelemben. Feladata, hogy a „döntési logiká”-ból érkező fuzzy halmazokat *visszaalakítsa* a *beavatkozó jelek* határozott értékeivé, melyek az irányított folyamatot a kívánt értelemben befolyásolják.

A defuzzykálásra többféle elven kínálkozik lehetőség:

– *Maximális tagsági értékű elem keresése:*

Itt azt az alaphalmazbeli elemet keressük, melyhez a maximális tagsági érték maximális ( $y_M$ ):

$$y_M: y_M \in Y, \quad \mu_y(y_M) = \max_{y \in Y} \mu_y(y)$$

A látszólag kézenfekvő módszer hibája, hogy több alaphalmazbeli elemnek lehet ugyanolyan maximális tagsági értéke, így ezek megkülönböztetése nem egyértelmű. Ezért itt vagy úgy döntenek, hogy véletlenszerűen választanak, vagy úgy, hogy az elsőként felismert esetet tekintik a megoldásnak.

– *Maximumok átlagolása:*

Itt nem a maximális tagsági értékű elemet, hanem azok átlagát választjuk a fuzzy halmaz legjellemzőbb elemének.

$$y_M: \{y_M^i \in Y | \mu_y(y_M^i) = \max_{y \in Y} \mu_y(y)\}$$

$$y_M = \sum_{i=1}^n \left( \frac{y_M^i}{n} \right)$$

ahol:  $n$  = maximális tagsági értékű elemek száma

E módszer hibája lehet például, hogy a vele kiválasztott eset nem is tagja a fuzzy halmaznak ( $\mu$  értéke = 0), vagy még az univerzumban sem szerepel.

– *Súlypont-keresési módszer*

Itt a maximumok átlagolását a halmaz valamennyi elemére kiterjesztjük. A legjellemzőbb elemet a következő formula adja meg:

$$y_c = \frac{\sum_{y \in Y} y \cdot \mu_y(y)}{\sum_{y \in Y} \mu_y(y)}$$

Itt is még előfordulhat az előbbi módszernél említett hiba eset.

– *Defuzzyfikálás korlátozással*

Ennél a módszernél az előző két módszer hibáját, úgy küszöbölhetjük ki, hogy a fenti kritikus eseteket nem értékeljük (kitiltjuk), hanem a hozzájuk legközelebb eső már érvényes, nem kitiltott elemet értelmezzük.

A fentiekben bemutatott fuzzy irányító-berendezést végleges üzembe helyezése előtt még „*behangolják*”, azaz a paramétereket szimulált, vagy a már megépített berendezésen iterációs módszerrel a kívánt mértékig „*pontosítják*”.

## 9.E. Ellenőrző kérdések

- E.9.1. Mit nevezünk *szimmetrikus* BOOLE-függvénynek, és milyen változatai léteznek?
- E.9.2. Mik azok a *skalár-jellemzők* szimmetrikus függvényeknél?
- E.9.3. Milyen összefüggéseket tud felsorolni a szimmetrikus függvények átalakításával kapcsolatosan?
- E.9.4. Mik azok a *reiteratív* struktúrák?
- E.9.5. Milyen módszereket ismer reiteratív hálózatok egyszerűsítésére?
- E.9.6. Mik a *pozicionális* hálózatok?
- E.9.7. Mit tud a *híd*-struktúrákról?
- E.9.8. Mi a *közvetlen összeköttetési* táblázat?
- E.9.9. Milyen topológiai lehetőségeket ismer a híd-struktúrák átalakítására?
- E.9.10. Milyen elven működik egy *küszöb*-elem?
- E.9.11. Mi a *súlyküszöb*-vektor, és mit jelentenek a *súlytényezők*?
- E.9.12. Milyen előnyei vannak egy küszöb-elemnek a BOOLE-kapus megoldással szemben?
- E.9.13. Mik a hátrányai a küszöb-elemes realizációnak?
- E.9.14. Mit jelent a UNATE tulajdonság?
- E.9.15. Mi a lineáris szeparálhatóság?



- E.9.16. Milyen lépésekből áll egy küszöbfüggvény identifikációs algoritmus?
- E.9.17. Miként állíthatók elő *összetett* küszöbfüggvények?
- E.9.18. Mik a *majoritás*- és *minoritás* logikák?
- E.9.19. Milyen rokonság van a küszöblogikák és a majoritás-minoritás logikák között?
- E.9.20. Mit nevezünk *többértékű* logikának?
- E.9.21. Mit tud a POST-függvényről?
- E.9.22. Miért jelent problémát a *komplement* meghatározása többértékű logikáknál?
- E.9.23. Milyen általános műveletek definiálhatók többértékű logikák esetén?
- E.9.24. Milyen algebrai axiómák foglalhatók össze többértékű logikáknál?
- E.9.25. Miként definiálható a komplement *konstansok* esetén?
- E.9.26. Mi az *unáris* operátor?
- E.9.27. Milyen összefüggések érvényesek az unáris operátorra?
- E.9.28. Miként adható meg a komplement *változók* esetén?
- E.9.29. Írjon fel egy kanonikus alakot többértékű függvényre.
- E.9.30. Milyen kezelést igényelnek a részben meghatározott függvények többértékű logikáknál?
- E.9.31. Milyen egy *term-tábla* többértékű logikáknál?
- E.9.32. Milyen lépésekbe foglalható össze a többértékű függvények minimalizálása *algebrai* jellemzésnél?
- E.9.33. Milyen lépéseket kell elvégezni *grafikus* minimalizálásnál többértékű függvények esetén?
- E.9.34. Mutasson be egy *realizációs esetet* az unáris operátorra.
- E.9.35. Esetünkben mit takar a *fuzzy* szó?
- E.9.36. Mit értünk *nyelvi változó* alatt, mutassuk be egy egyszerű példán.
- E.9.37. Mi a különbség a klasszikus és fuzzy-logikák között?
- E.9.38. Mi a tagsági függvény?
- E.9.39. Fuzzy esetben mi a *core*, *sup*, *height*?
- E.9.40. Fuzzy esetben mi az a *kardinalitás*?
- E.9.41. Mik a *klasszikus fuzzy* műveletek?
- E.9.42. Milyen *további fuzzy* műveleteket ismer?
- E.9.43. Mi az az „*s*” *norma*, „*t*” *norma*?
- E.9.44. Mit értünk fuzzy *reláció* alatt?
- E.9.45. Milyen a max-min *kompozíció*?
- E.9.46. Mi a különbség a hagyományos és az általánosított MODUS PONENS-ek között?

- E.9.47. Hogy jelöljük egy fuzzy reláció *értékkészletét* és *értelmezési tartományát*?
- E.9.48. Mit tud a fuzzy halmazok *geometriai* ábrázolásmódjáról?
- E.9.49. Mi a *fuzzy entropy*?
- E.9.50. Milyen fuzzy flip-flop alapváltozatokat ismer?
- E.9.51. Elképzelhető-e *analóg* áramkörökből felépített fuzzy flip-flop?
- E.9.52. Melyik technikai területen előnyös a fuzzy logikák alkalmazása napjainkban?
- E.9.53. Milyen irányítórendszer változatokat ismer?
- E.9.54. Milyen összetevőkből épül fel egy fuzzy szabályozórendszer?
- E.9.55. Mi a „fuzzyfikálás”, ill. „defuzzyfikálás”?
- E.9.56. Mi az adatbázis és szabálybázis feladata fuzzy irányító-rendszerekben?
- E.9.57. Mit tud a fuzzy döntéseket megoldó egységről?
- E.9.58. Milyen szerepe van az általánosított modus ponens-nek (GMP) a fuzzy szabályozásnál?
- E.9.59. Milyen defuzzyfikációs eljárásokat ismer?
- E.9.60. Mit értünk a fuzzy irányítórendszer „behangelésén”?



---

# 10. FUNKCIONÁLIS EGYSÉGEK

A funkcionális egységek valamely komplex feladatra kialakított, rendszerint moduláris szempontokat is figyelembevevő összetett elektronikus hálózatok.



A funkcionális egységek az előző fejezetekben megismert alkatrészekből, analóg és digitális alapáramkörökből stb. épülnek fel, de egészükben egy magasabb hierarchiájú rendszeralkotási szintet képviselnek, mivel önmagukban is bonyolultabb feladatok (funkciók) megoldására (pl. számlálás, memorizálás, összeadás stb.) és nagyobb mennyiségű információ kezelésére alkalmasak.

Funkcionális egységek alkalmazásával a tervező e funkciókkal építkezve oldja meg feladatát, aminek során a rendszer matematikai modelljét a korábban megismert aritmetikai-logikai műveletek helyett, egy más elvek szerint felépített, a funkcionális egységek által képviselt műveletrendszerre képezi le.

A funkcionális egységek választéka a gyakorlat követelményei alapján alakult ki, és elterjedésüket az integrált áramköri technika fejlődése nagyban elősegítette.

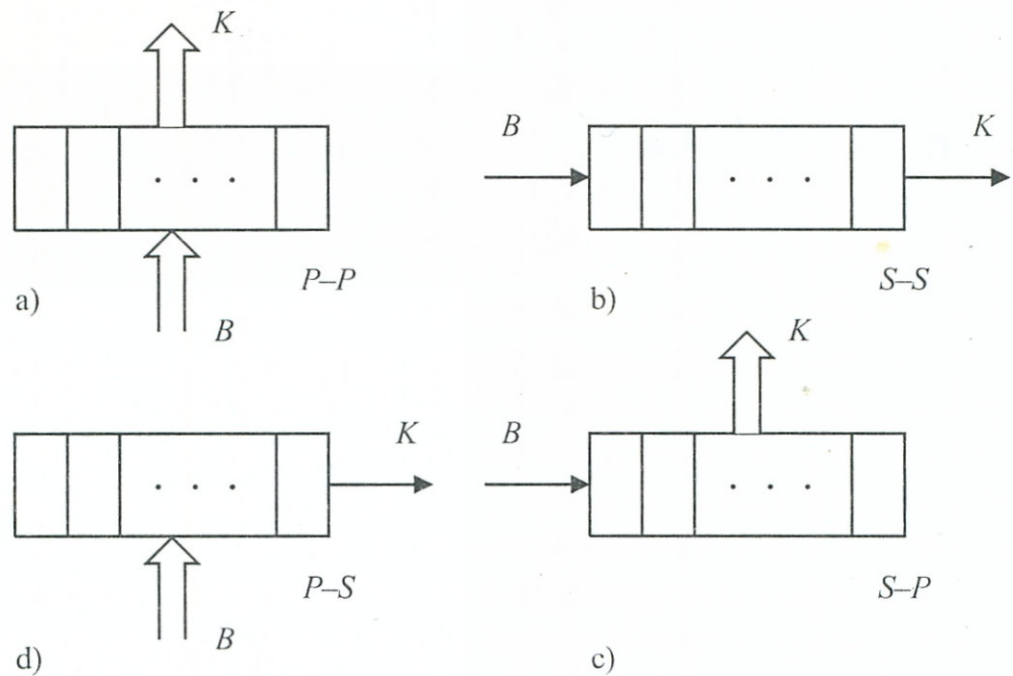
A következő pontokban az elektronikai rendszerek gyakorlatában alkalmazott fontosabb funkcionális egységek tárgyalásával foglalkozunk, súlyozottan kezelve az informatikai alkalmazás vonatkozásában előtérben levő digitális egységeket.

## 10.1. Regiszterek

A regiszterek sorrendi hálózatból adott típusfeladatra kialakított funkcionális egységek.



Alapvető tulajdonságuk, hogy a beléjük sorosan vagy párhuzamosan bevitt információt meghatározott ideig *tárolni* tudják, esetleg a tárolt információval a regiszter elemi tárolóiban *relatív helyváltást*, ún. *léptetést* („shift”-elést) végezni képesek, végül pedig a tárolt információ soros, ill. párhuzamos kiadására alkalmasak.



10-1. ábra Regiszterek alapváltozatai

*Alapváltozatok*

Az információ-bevitelnek, ill. kivitelnek megfelelően négy alapváltozatot különíthetünk el a 10-1. ábra szerinti értelmezésben.

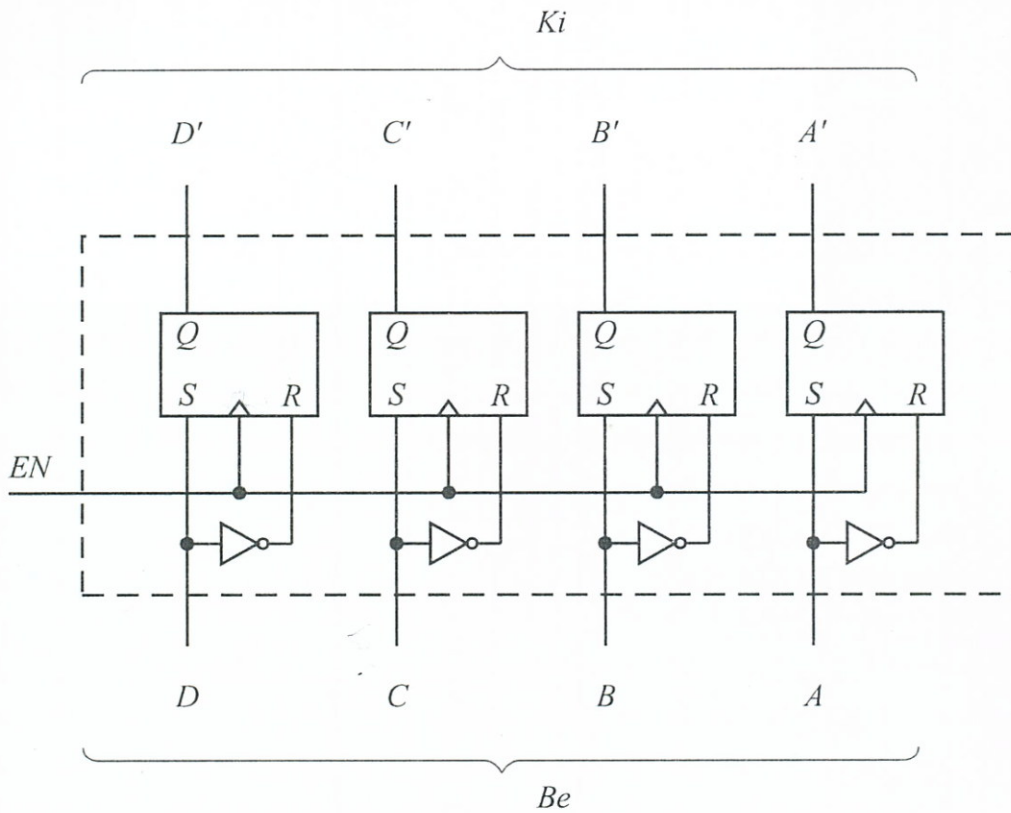
a) *P-P változat:* A párhuzamos beírást információ-tárolási fázis követi. A tárolt információt ugyancsak párhuzamosan olvassuk ki a működés által megkívánt időpontban.

b) *S-S változat:* A bemenetre időben sorosan érkező bemeneti állapotsorozatot a regiszter „lépésenként feltöltődve” („shift”-elve) tárolja, majd szükség esetén (esetleg más léptetési frekvenciával) a kimenetén egy kimeneti állapotsorozat formájában kiadja.

c) *S-P változat:* A bemeneti soros állapotsorozatot shift-elés, majd tárolás után, a *párhuzamos* kimeneteken egyidejűleg megjelenő kód-elemekből álló *kódszó* formájában adja ki.

d) *P-S változat:* Párhuzamos kódszavas beírást követő tárolás után a kimeneten a shift-elés következtében egy kimeneti állapotsorozat jelenik meg.

– A 10-2. ábrán egy szinkron S–R tárolóelemekből felépülő 4 bit-es P–P típusú regisztert rajzoltunk fel, melynél az adatbeírás egyidejű engedélyezését az órabemenetekre csatlakozó EN engedélyező jel biztosítja. A P–P típusú regisztereket gyakran *tároló* vagy *memória-regiszternek* (STORAGE) nevezik.



10-2. ábra 4 bit-es P–P regiszter

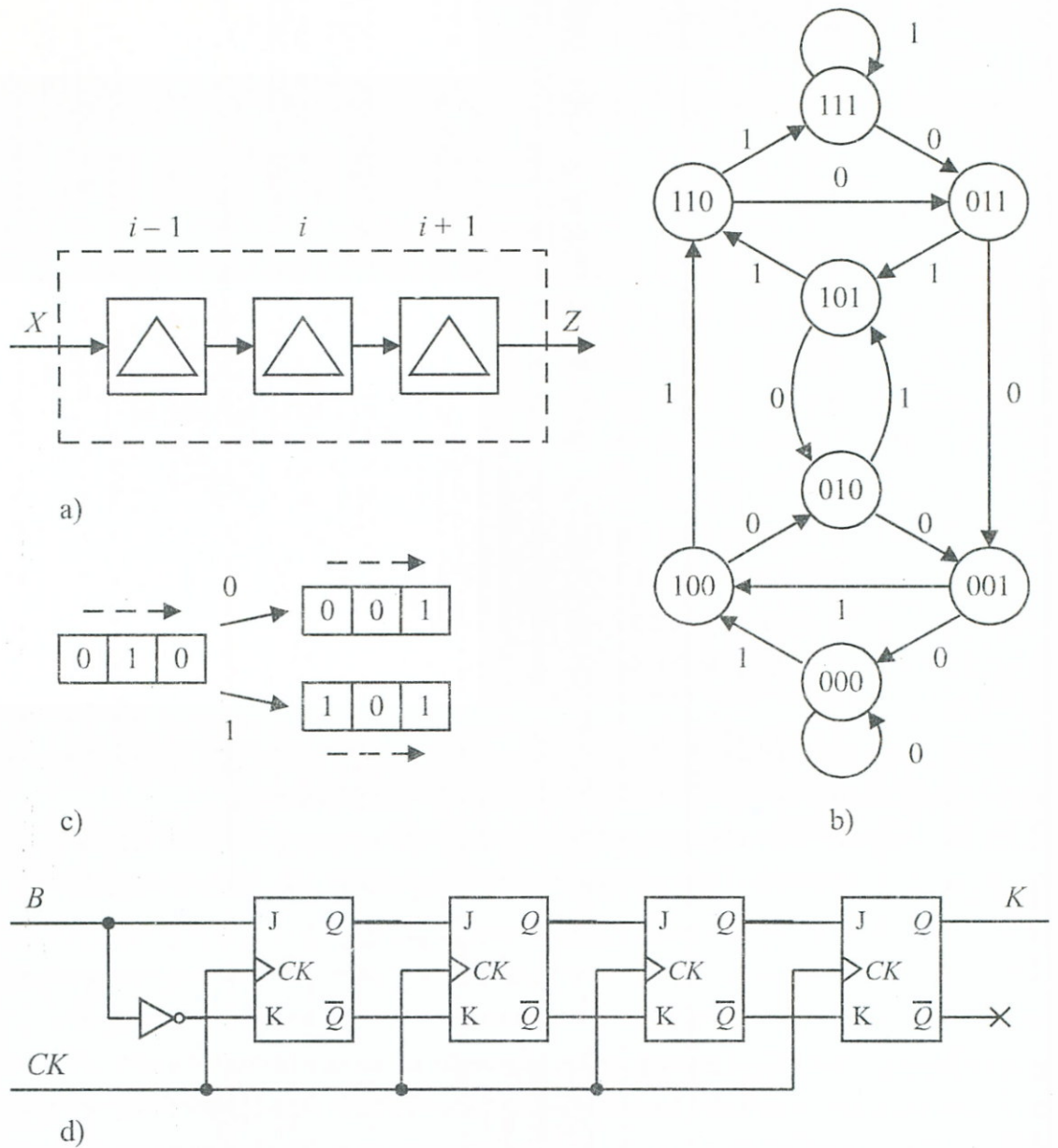
A 10-1. b), c), d) változatok mindegyikénél szükség van a léptetés (shift-elés) műveletére, melynek révén a regiszter tároló-cellaiban tárolt információt „bit”-enként jobbra, ill. balra mozgathatjuk. Egy ilyen, ún. *léptető regiszter* elvileg több *késleltető* cella-kaszkádkapcsolásával állítható elő (lásd 10-3. ábra).

Egy hármas „szóhosszúságú” léptetőregiszter elvi vázlatát a 10-3a., állapotdiagramját a b. ábra mutatja. Valamely regiszter állapot-egyenlete a következőképpen írható fel:

$$q_{i(T+1)} = q_{(i-1)T} \quad (10.1)$$

A léptetés mechanizmusát a 10-3c. ábra értelmezi egy olyan esetre, mikor a léptetés a 010 tárolt kódszóból kiindulva 0 vagy 1 újabb bemeneti állapot hatására *eggyel* jobbra halad.

– A 10-3d. ábrán egy szinkron J–K tárolóelemekből felépülő négybites S–S típusú jobbra léptető regiszter logikai vázlata látható. A *B* bemenetre a *CK* órajel ütemében érkező logikai értékek (0, 1) ütemenként eggyel jobbra ugranak, és a *K* kimenethez érkezve sorosan, ütemenként kilépnek. A kapcsolást figyelmesebben megvizsgálva, megállapíthatjuk, hogy az ellenütemű bemenetekkel rendelkező J–K



10-3. ábra Léptetőregiszter működési elve és egy realizációja

tárolók valójában *D-tárolót* valósítanak meg, mely *szinkronizált késleltetésnek* is tekinthető, így párhuzamba állítható a 10-3a. ábrával.

## 10.2. Kódolás, kódátalakítók

### 10.2.1. Információelméleti alapfogalmak



A digitális berendezéseket – általánosított értelmezésben – olyan rendszereknek tekinthetjük, melyeknél az összetevő egységek között *üzenet-továbbítás* folyik. Az üzenetek *információt* hordoznak és információelméleti módszerekkel bebizonyítható, hogy valamely üzenet *információtartalma* (más néven: a benne rejlő információ mennyisé-

ge) attól függ, hogy mekkora *tájékozatlanságot* szüntet meg az üzenet, továbbá, hogy mekkora az üzenetet alkotó szimbólumok bekövetkezésének *valószínűsége*.

– Ennek alapján az *információ egységét* a következőképpen definiáljuk: Egységnyi információt hordoz az az üzenet, mely két szimbólumból álló szimbólumkészlettel rendelkezik és a szimbólumok bekövetkezésének valószínűsége azonos (tehát 50–50%). Az információnak ezt az egységét *bitnek* nevezzük.

Fenti meghatározás más formában úgy is megfogalmazható, hogy két azonos valószínűséggel előforduló szimbólum egyértelmű jellemzéséhez 1 bitnyi információ (pl. egy igen–nem állásfoglalás) szükséges.

*Példa:* A *bit* fogalmának szemléletesebbé tételére vizsgáljunk meg egy négy, azonos valószínűségű szimbólumból álló szimbólumkészletet, és állapítsuk meg, hogy hány igen–nem döntés (hány bit-információ) szükséges e négy szimbólum valamelyikének egyértelmű elhatárolásához.

Látható, hogy a feladatnál hasonló módszert kell követni, mint a divatos társasjátéknál, ahol a valamit megtudni kívánó kérdező csak igen–nem feleletek alapján tájékozódhat.

Feleljen meg az érdekesség kedvéért a négy szimbólumnak a régi arab mese négy, kívülről teljesen egyforma zsákja, melyek közül háromban homok volt, míg a negyedikben arany. Utóbbi az nyerhette el, aki *legkevesebb* igen–nem választ kívánó kérdés feltevése alapján tudta azt, a négy közül kiválasztani. Az *első* pályázó – nem lévén céltudatos – azt az utat választotta, hogy a zsákokra egyenként rákérdezett: „ebben van-e az arany?” Előfordulhatott volna véletlenül, hogy elsőre el is találja a keresettet, de miután nem volt szerencséje, csak utolsó, harmadik kérdése után tudta a kiválasztást egyértelműen elvégezni. A *második* pályázó módszeresebben állt a dologhoz. A zsákokat gondolatban két kettes csoportba osztályozta, majd első kérdése így szólt: „a bal oldali csoportban van-e az arany?” A kapott akár igen, akár nem kimenetelű válasz alapján már tudhatta, hogy melyik csoport tartalmazza a keresett zsákot és ezután egy második, erre a már csak két zsákot tartalmazó csoportra vonatkozó kérdésével a kiválasztást egyértelműen el tudta végezni. A második pályázónak láthatóan csak *két* kérdést kellett feltennie az első pályázó *három* kérdésével szemben.

Alkalmazzuk a továbbiakban mi is a második pályázó ügyes módszerét tetszés szerinti  $N$  szimbólumból álló készlet egyes szimbólu-

mainak egyértelmű elhatárolására. Mint láttuk  $N = 4$  szimbólumnál két igen–nem döntés, azaz 2 bit/szimbólumnyi információ szükséges a jellemzéshez.

Általánosságban ezután kimondható, hogy  $N$  azonos valószínűségű szimbólum közül egynek a kiválasztásához

$$H = {}^2\log N \quad \text{bit/szimbólum} \quad (10.2)$$

szükséges.

*Entrópia:*

Általánosságban nem mindig áll fenn, hogy a szimbólumkészlet elemei azonos valószínűséggel szerepelnek (pl. az élő beszédnél nem azonos gyakorisággal használunk minden betűt). Ez esetben, a szimbólumonkénti információ meghatározásához a (10.2.) formulát nem használhatjuk. Matematikailag igazolható, hogy ilyenkor: – valamely üzenet egy szimbólumra vonatkoztatott *átlagos információ tartalma*, ún. *entrópiája* a következő formulával számítható:

$$H = - \sum_{i=1}^N P_i \cdot {}^2\log P_i \quad \text{bit/szimbólum}, \quad (10.3)$$

ahol:  $N$  – a szimbólumok száma

$P_i$  – az  $i$ -edik szimbólum előfordulási valószínűsége.

Az entrópia akkor és csak akkor zérus, ha valamelyik szimbólum bekövetkezése biztos.

Az entrópia akkor maximális, ha valamennyi szimbólum azonos valószínűségű, ilyenkor:

$$P_i = P = \frac{1}{N}$$

$$H_{\max} = - \sum_{i=1}^N \frac{1}{N} \cdot {}^2\log \frac{1}{N} = - {}^2\log \frac{1}{N} = {}^2\log N \quad (10.4)$$

és mint látható, a (10.2) formulához jutunk.

*Redundancia*

Valamely üzenetforrás ki nem használt információ mennyiségét *redundanciának* nevezzük. Kiszámítása a következő képletekkel történik

$$\Delta H = H_{\max} - H \quad (10.5)$$

Ha a redundanciát a maximális entrópiához viszonyítjuk, az ún. *relatív redundanciát* kapjuk:

$$r = \frac{\Delta H}{H_{\max}} = 1 - \frac{H}{H_{\max}} \quad (10.6)$$

A redundancia *csökkentése* növeli az üzenetforrás szimbólumkészletének kihasználtságát, viszont csökkenti az információátvitel biztonságát, a redundancia *növelésével* ez a viszonylat megfordul.

### *Memória nélküli és Markov-források*

Ha egy tetszés szerint kiragadott üzenet kibocsátása *független* a korábban kibocsátott üzenetektől, akkor a forrást *memória nélküli forrásnak* (zérus memóriájú forrásnak) nevezzük.

Ha egy tetszés szerint kiragadott üzenet kibocsátása a korábban kibocsátott üzenetektől is függ, akkor az ún. *Markov-forrásról* beszélünk. A korábban kibocsátott üzenetek sorozatát a *forrás állapotának* nevezzük, ez az állapot egy újabb üzenet kibocsátásakor megváltozik. Markov-forrással modellezhető például az értelmes beszéd, ahol az egymást követő hangok statisztikusan összefüggenek.

## 10.2.2. Kódolási alapok

Általánosságban *kód*-nak nevezzük valamely információ szimbólumokkal történő kifejezését, *kódolás*-nak pedig két szimbólumhalmaz egymáshoz rendelését. A kódolás ellentétes művelete (visszaképezés a kiindulóhalmazra) a *dekódolás*.

Elektronikus rendszerekben leggyakrabban két értékű bináris szimbólumokat (0,1–L, H) használunk a kódolásnál, melyekkel többnyire számokat és betűszimbólumokat fejezünk ki.

– Valamely szimbólumhalmaz az elemeiből, értelmes üzenet előállítására érdekében képzett szimbólum-sorozatot *kód-szónak* nevezzük.

– A kódokat a kódszavak képzéséhez felhasznált szimbólumkészlet alapján két csoportba soroljuk:

*bináris* a kód, ha felépítése két szimbólum útján,

*nem bináris*, ha kettőnél több szimbólum felhasználása révén történik.



- A kódszavak hossza alapján megkülönböztetünk:  
*kötött szóhosszúságú és*  
*változó szóhosszúságú*

kódokat.

– A kódoknak csatornán történő átvitele elvileg kétféle üzemmódban lehetséges.

*Soros átvitel*-ről beszélünk, ha a kódszó elemeit egyetlen csatornán, *időben sorba* állítva továbbítjuk.

Párhuzamos átvitel esetén a kódszó elemeket több csatornán *egyidejűleg* továbbítjuk.

Gyakori a két elv részleges kombinálása is, ekkor *vegyes átvitel*-ről beszélünk.

*A hibakorlátozás elvi szempontjai:*

Az információ-átvitel célja a következő egyenlőség lehető legjobb biztosítása:

$$\text{küldött üzenet} = \text{érkező üzenet.}$$

Ideális átvitelnél ez az egyenlőség zavartalanul teljesül.

A valóságban az átvitel során fellépő zavarok (pl. hibás áramköri működés) zajos átviteli csatornát teremtenek, csatornaveszteség keletkezik, így az *átvitt információ* csökken.

A jelentkező hibák kiküszöbölésére a rendszerben alkalmazott „bőbeszédűség”, azaz a *rendszer redundanciájának növelése* ad lehetőséget. A rendszer redundanciáját a rendszert alkotó áramkörök megfelelő kialakításával, vagy *hibakorlátozó kódrendszer* alkalmazásával növelhetjük.

A hibakorlátozó kódrendszereket két csoportba soroljuk, ezek:

- hiba-felfedő vagy ED (ERROR DETECTING),
- hibajavító vagy EC (ERROR CORRECTING)

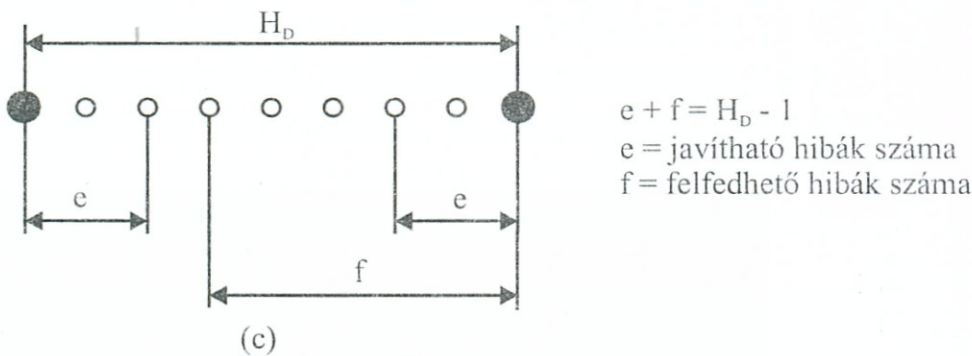
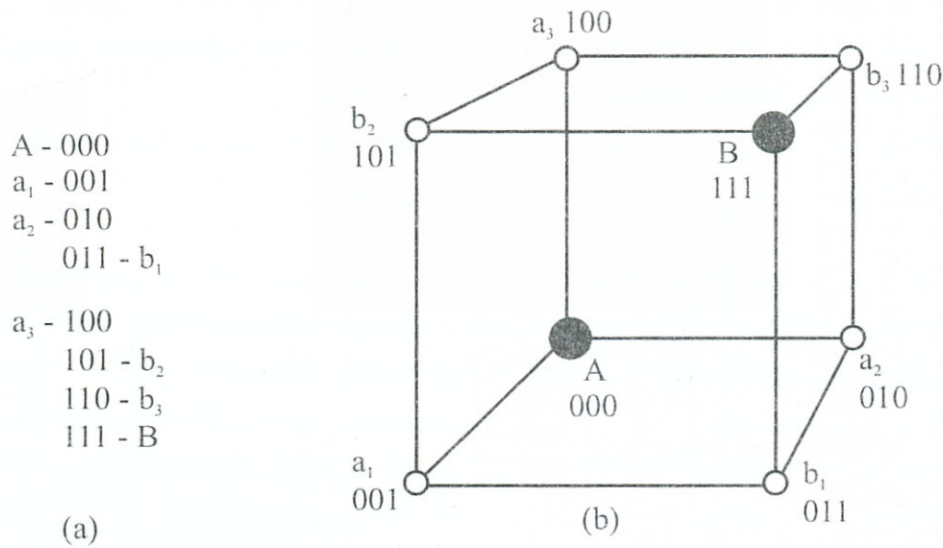
kódok.

A következőkben ezeket tesszük vizsgálat tárgyává. A vizsgálatot leszűkítjük a logikai rendszerekben elsősorban érdekes: kötött szóhosszúságú bináris kódokra.

A hiba-korlátozó kódok minőségi jellemzésére bevezetjük az ún. Hamming-távolság fogalmát, melyet  $H_D$ -vel jelölünk a továbbiakban.

– Két *kódszó között* annyi a *Hamming-távolság*, ahány kódelemet ellenkezőjére kell változtatni az egyik szóban avégett, hogy a másik kódszóval megegyezővé váljon.





10 - 4. ábra. Hibafelfedés és hibajavítás

– Egy kód Hamming-távolságán, kódszó készletének elemei közt észlelhető legkisebb Hamming-távolságot értjük.

Vizsgáljuk meg egy szemléltető példa keretében a hiba-felfedésnek és hiba-javításnak Hamming távolsággal kapcsolatos feltételeit.

*Példa:* Legyen egy három-elemes csoport-kódunk, melynek kódszókészlete 8 szót tartalmazzon a 10.4a. ábrának megfelelően:

Helyezzük el az a) ábra egyes kódszavait a b) ábrán látható kocka csúcsain úgy, hogy a csúcsok  $H_D = 1$  Hamming-távolságra legyenek egymástól. Bináris kódoknál a „zajos” átvitel következtében keletkező hibák úgy jelennek meg, hogy az egyes kódelemek ellenkezőjükkre ( $0 \rightarrow 1$ ,  $1 \rightarrow 0$ ) változnak. Ennek alapján a következő megállapításokat érdemes megtennünk:

a) Ha a hasznos üzenetünk szótárába olyan kódszavakat válogatunk a 10.4a. ábra 8 lehetősége közül, melyek azonos kockaél végpontjain helyezkednek el (tehát rájuk nézve  $H_D = 1$ ), akkor egyetlen fellépő hiba esetén, a beérkező és valójában hibás kódszót az üzenet-vevő, egy másik hasznos szóként félreértheti. Ilyen eset lép fel például  $a_2 - 010$  és  $b_3 - 011$  hasznos kódszavaknál, mikor a küldött  $a_2$

utolsó elemének zaj következtében történő megváltozása miatt, a vevő  $b_3$ -t fog hasznos üzenetként elkönyvelni.

Nyilvánvaló:  $H_D = 1$  esetén arra rájönni, hogy hibás átvitel történt, nincs lehetőség.

b) Ha a hasznos üzenetek szótárába most csak olyan szavakat engedünk bekerülni, melyek egymástól *lap-átló*, vagy ennél nagyobb távolságban vannak,  $H_D \geq 2$ , akkor egy hiba fellépése esetén az üzenetvevő azt tapasztalja, hogy szótárában nem szereplő kódszó érkezett be. A szótártól való eltérésből már következtetni lehet a hiba előfordulás tényére. Például  $a_1 - 001$  és  $a_2 - 010$  hasznos kódok relációjában  $a_1$  utolsó elemének hibája egy nem hasznos  $A - 000$  kódot eredményez.

c) Ha végül hasznos kódszavaknak *test-átlón* elhelyezkedőket választunk  $H_D = 3$ , akkor még két hiba fellépése sem eredményez másik hasznos üzenettel történő túlfedést, ezért két hiba felfedésére is lehetőség nyílik.

A-t és B-t tekintve például hasznosnak, A-nak két hibája esetén B-től még mindig  $H_D = 1$  távolságra leszünk.

d) A *test-átlón* elhelyezkedő hasznos kódszavak már a *hiba-javítás* lehetőségét is magukban rejtik. Ugyanis pl. A-t és B-t tekintve ismét hasznosnak, A-nak egy hibája esetén:  $a_1$ ,  $a_2$  vagy  $a_3$  szótáron kívüli üzenet keletkezik (és ez fog fennállni B- $b_1$ ,  $b_2$ ,  $b_3$  vonatkozásában is). Mivel  $a_i$ -k távolsága A-tól csak 1, B-től pedig 2 (és  $b_i$ -kre pedig ez fordítva áll), kialakíthatjuk a dekódoló berendezést olyanra, hogy az  $a_i$ -ket A-vá, a  $b_i$ -ket B-vé alakítsa az üzenet-vevő számára.

A rendszer *redundanciájának növekedését* tanulságos számszerűleg is megvizsgálni:

Az a) esetben mind a nyolc kódszó felhasználható hasznos üzenetként. A b) esetben már csak négyet tudunk úgy kiválasztani, hogy a  $H_D \geq 2$  feltétel teljesüljön, végül a c) esetben már csak két kódszó hasznosítása esetén biztosítható a  $H_D = 3$  feltétel.

Az a) és c) szélső eseteket összehasonlítva a következők írhatók fel:

$$H_a = H_{\max} = {}^2\log 8 = 3 \text{ bit/szimbólum}$$

$$H_c = {}^2\log 2 = 1 \text{ bit/szimbólum}$$

A redundanciák:

$$r_a = 0$$

$$r_c = \frac{H_{\max} - H_c}{H_{\max}} = \frac{3 - 1}{3} = 0,666$$

Mint látható, a hibajavítási képesség „ára” a magas redundancia.

Az előző példa alapján általános következtetéseket vonhatunk le. Ezek szerint:

- hibafelfedés feltétele:  $H_D \geq 2$
- hibajavítás feltétele:  $H_D \geq 3$  (10.7)

Általánosságban az együttesen felfedhető és javítható hibák számát a 10.4c. ábrában megfogalmazott összefüggésekkel jellemezhetjük.

### 10.2.3. Alkalmazott kódrendszerek

A kódokat felhasználói oldalról többféle szempont szerint csoportosíthatjuk, aszerint, hogy milyen egymáshoz rendelést valósítanak meg. Az elterjedten használt kódokat nemzetközi szabványokban rögzítik az egységesség érdekében.

A következőkben csupán néhány, digitális technikában gyakran előforduló kódot tekintünk át a 10-5. ábra táblázatának segítségével, melynél a bemutatott kódok a decimális számok szemszögéből lettek csoportosítva.

*Hexadecimális kód:* Az egyes szimbólumok a megfelelő decimális számot 16-os *radixú* számrendszerben jelölik a konvencionális, szám és betű szimbólumokkal.

*Bináris kód:* Az egyes kódszavak a megfelelő decimális szám bináris átszámítottjaként állnak elő. Az egyes kód-elemek helyértékenként kettő hatványaival *súlyozottak*. A kódrendszer *additív* tulajdonságú, azaz az összes kódszó „jelentése”, mely az összerendelést képviseli, aritmetikai műveletekkel határozható meg.

*BCD kód:* A BCD számábrázolás szerint a többhelyértékes decimális számok jellemzése helyértékenként történik 0-tól 9-ig terjedő bináris számokkal:

*EXCESS 3 kód:* (Háromtöbbletes kód) Az egyes kódszavak előállítására az

$$\text{EXCESS KÓDSZÓ} = \text{BIN SZÁM} + 3$$



Dec.	Hexa	BINÉR 8 4 2 1	10 <sup>1</sup> B C D 10 <sup>0</sup>		EXCESS 3 DEC=BIN+3	GRAY	JOHNSON	5-ből 2 7 4 2 1 0
			8421	8421				
0	0	0 0 0 0	0000	0000	0 0 1 1	0 0 0 0	0 0 0 0 0	1 1 0 0 0
1	1	0 0 0 1	0000	0001	0 1 0 0	0 0 0 1	0 0 0 0 1	0 0 0 1 1
2	2	0 0 1 0	0000	0010	0 1 0 1	0 0 1 1	0 0 0 1 1	0 0 1 0 1
3	3	0 0 1 1	0000	0011	0 1 1 0	0 0 1 0	0 0 1 1 1	0 0 1 1 0
4	4	0 1 0 0	0000	0100	0 1 1 1	0 1 1 0	0 1 1 1 1	0 1 0 0 1
5	5	0 1 0 1	0000	0101	1 0 0 0	0 1 1 1	1 1 1 1 1	0 1 0 1 0
6	6	0 1 1 0	0000	0110	1 0 0 1	0 1 0 1	1 1 1 1 0	0 1 1 0 0
7	7	0 1 1 1	0000	0111	1 0 1 0	0 1 0 0	1 1 1 0 0	1 0 0 0 1
8	8	1 0 0 0	0000	1000	1 0 1 1	1 1 0 0	1 1 0 0 0	1 0 0 1 0
9	9	1 0 0 1	0000	1001	1 1 0 0	1 1 0 1	1 0 0 0 0	1 0 1 0 0
10	A	1 0 1 0	0001	0000		1 1 1 1		
11	B	1 0 1 1	0001	0001		1 1 1 0		
12	C	1 1 0 0	0001	0010		1 0 1 0		
13	D	1 1 0 1	0001	0011		1 0 1 1		
14	E	1 1 1 0	0001	0100		1 0 0 1		
15	F	1 1 1 1	0001	0101		1 0 0 0		
.	.		.	.		.		
.	.		.	.		.		
.	.		.	.		.		

10–5. ábra Néhány kódrendszer

formula alapján történik a 10 alatti tartományban. A kód jellegzetesége, hogy a 4-es és 5-ös számok közt egy elválasztó vonal húzható, melyre tükrözve a táblázatot az egymással fedésbe kerülő kódszavaknál 0-val mindig 1, illetve 1-gyel mindig 0 találkozik.

*GRAY-kód:* Legjellemzőbb tulajdonsága, hogy két „sorrendszomszédos” kódszó mindig csak egyetlen kód-elemnél térhet el egymástól. A szókészlet tetszés szerint bővíthető, betartva az ábrán látható „1-es mintázat” törvényszerűségeit.

Az eddigi első három kód átalakítása decimálisba, vagy viszont a definíciók alapján nem okoz nehézséget az additív tulajdonságok jóvoltából. A GRAY-kód konverziói valamivel bonyolultabbak, a következő két algoritmus ezeket szemlélteti:

a) DEC-BIN-GRAY átalakítás:

I. lépés: DEC/BIN átalakítás, és legelőre egy 0-át írunk.

II. lépés: A kapott BIN kód két szomszédos elemét úgy párosítjuk, hogy *azonos* szomszédoknál az eredmény: 0, *eltérő* szomszédoknál pedig: 1.

Pl.: 
$$\begin{array}{l} \text{I: } 13_{10} \longrightarrow 1101_2 \longrightarrow .01101_2 \\ \text{II: } \begin{array}{ccccccc} 0 & & 1 & & 1 & & 0 & & 1 \\ & \swarrow & \searrow & \swarrow & \searrow & \swarrow & \searrow & \swarrow & \searrow \\ & 1 & & 0 & & 1 & & 1 & & 1 \end{array} \end{array} = 1011_{\text{GRAY}} \quad (10.8)$$

b) GRAY-BIN-DEC átalakítás:

I. lépés: A kiinduló GRAY alak legnagyobb helyértéke megegyezik az új BIN legnagyobb helyértékével, majd az eggyel alacsonyabb helyértékek meghatározásánál a nagyobb helyértéknél kapott eredményt párosítjuk az aktuális GRAY elemmel. *Egyforma* párnál az eredmény: 0, *eltérőnél*: 1.

II. lépés: BIN/DEC átalakítás

Pl.: Adva:  $0111_{\text{GRAY}}$

$$\begin{array}{l} \text{I: } \begin{array}{cccc} 0 & & 1 & & 1 & & 1 \\ \downarrow & & \downarrow & & \downarrow & & \downarrow \\ 0 & \longrightarrow & 1 & \longrightarrow & 0 & \longrightarrow & 1 \end{array} = 0101_2 \quad (10.9) \\ \text{II: } 0101_2 \longrightarrow 5_{10} \end{array}$$

*JOHNSON kód:* A kód a táblázatban látható szabályosságot tartalmazza, így előnyös hardver megvalósításokra nyújt lehetőséget. A szókészlet bővíthető a következő formula szerint:

$$\text{szavak száma} = 2 \times \text{kód-elemek száma}$$

*5-ből 2 kód:* Jellegzetessége, hogy minden szóban csak két 1-es szerepel. Kedvező hibafelfedő tulajdonságokkal rendelkezik a szavakban található szabályosság miatt.

*Hibafelismerés.*

A bináris jelek továbbítása során, átviteli zavar következtében a 0–1 jelek felcserélődhetnek. Ez hibát jelent, melynek kivédésére *hibafelismerő* (sőt *hibajavító*) eljárásokat is kifejlesztettek, melyekkel később foglalkozunk. Legegyszerűbb ezek közül a *paritás-elemes* eljárás, amivel bármely kódrendszer alkalmassá tehető hibafelismerés-

DEC	Kiegészített				
	Eredeti BIN				Pa- ritás
0	0	0	0	0	0
·		·			·
·		·			·
10	1	0	1	0	0
11	1	0	1	1	1
·		·			·
·		·			·
·		·			·
15	1	1	1	1	0

10–6. ábra Párosra kiegészítés  
paritás elemmel

re, amennyiben minden kódszót egy ún. *paritás bit*-tel kiegészítünk. A paritás elemet:

- páros (EVEN)
- páratlan (ODD)

kiegészítőként alkalmazhatjuk, aszerint, hogy a kiegészített kódszóban szereplő 1-esekre (0-ásokra) a páros vagy páratlan szabályosság lesz a jellemző.

A 10-6. ábra ilyen *páros 1-esre* kiegészítő bináris kódot mutat.

A kódolási hibafelismerő-képesség ezúton történő növelésének természetesen ára van. A 10-6. ábra szerinti bináris kód csak 16-féle eset (szimbólum) megkülönböztetésére képes. Valójában pedig 5 elemet használ, mellyel elméletileg  $N = 2^5 = 32$  szimbólum megkülönböztetése lenne lehetséges. A kódrendszerben valójában információfelesleg keletkezik, azzal, hogy az elméleti 32 esetből elhagyjuk a páratlan 1-eseket tartalmazókat, azaz tulajdonképpen nem használjuk a lehetséges szimbólumok 50%-át.

Ha megvizsgálunk a 10-6. ábra táblázatának valamennyi kódszavát, akkor tapasztalhatnánk, hogy bármelyik két kódszót egymással összehasonlítva kielégülve a (10.7)-ben megfogalmazott hibafelismerési feltétel, azaz  $H_D < 2$  Hamming-távolságú párosítást nem találunk.

*Többdimenziós paritás-elemes kód*

A paritás-elemes kódok többdimenziós általánosításával a hibakorlátozó képesség növekszik. Pl. a (10.10) táblázatbeli kódnál, ahol a sorok és oszlopok is paritás-elemeket tartalmaznak, egy hiba javításának lehetősége áll fenn. A sorok és oszlopok paritás-ellenőrzéseinek kijelölése révén a hibás elem megtalálható és ellenkező értékükre változtatva javítható.

Információt hordozó kód-elemek	Sorparitás ellenőrzés	
0 0 0 1 1	0	
1 0 0 0 0	1	
0 1 0 0 1	0	
1 1 0 1 0	1	(10.10)
1 1 0 1 1	0	
1 1 1 1 1	1	
0 0 1 0 0	1	
Oszlopparitás ellenőrzése	Paritás-elemek ellenőrzése	

*Hamming-féle hibajavító kód*

A Hamming-kódoknál, több paritás-elem alkalmazásával rész-kódszavak paritásvizsgálatát végezzük el és ezek eredményéből következtetünk a hiba helyére, melyen levő kódszó-elemet ellenkezőjére változtatva, a hibát kijavítjuk.

A hibajavítás elvi menetét egy hibát javító változatnál a 10.7. ábrán követhetjük.

Az egy-egy paritás-elemet ( $X_1, X_2, X_4$ ) tartalmazó, célszerűen összeállított rész-kódszavak paritásellenőrzését, az  $E_1, E_2, E_4$  blokkokban végezzük el. Paritáshiba esetén a megfelelő blokk vagy blokkok „1”-es elemet jelentenek meg kimenetükön, hibamentességnél pedig „0”-t. A három blokk kimeneti elemkombinációit az  $F$  dekódlóba vezetve, ennek hét kimenete közül azon jelenik meg „1”-es, amellyel egyező betűjelű bemenőcsatornán a hiba jelentkezett. Az így megkeresett hibás csatorna-elemet a megfelelő  $J$  javító blokk ellenkezőjére változtatja. Amelyik  $J$  blokkba az  $F$ -ből „0” érkezik, ott a csatornán beérkező kódszóelemek változatlanul maradnak.

Szemléltetésül vizsgáljuk meg azt az esetet, mikor a hasznos információt hordozó A, B, C, D és a kiegészítő paritás-elemeket hordozó  $X_1, X_2, X_4$  csatornákon a helyes:

$$\begin{array}{ccccccc} X_1 & X_2 & A & X_4 & B & C & D \\ \hline 1 & 0 & 1 & 1 & 0 & 1 & 0 \end{array} \quad (10.11)$$

kódszó helyett az alábbi hibás kódszó érkezik:

$$\begin{array}{ccccccc} X_1 & X_2 & A & X_4 & B & C & D \\ \hline 1 & 0 & 0 & 1 & 0 & 1 & 0 \end{array} \quad (10.12)$$

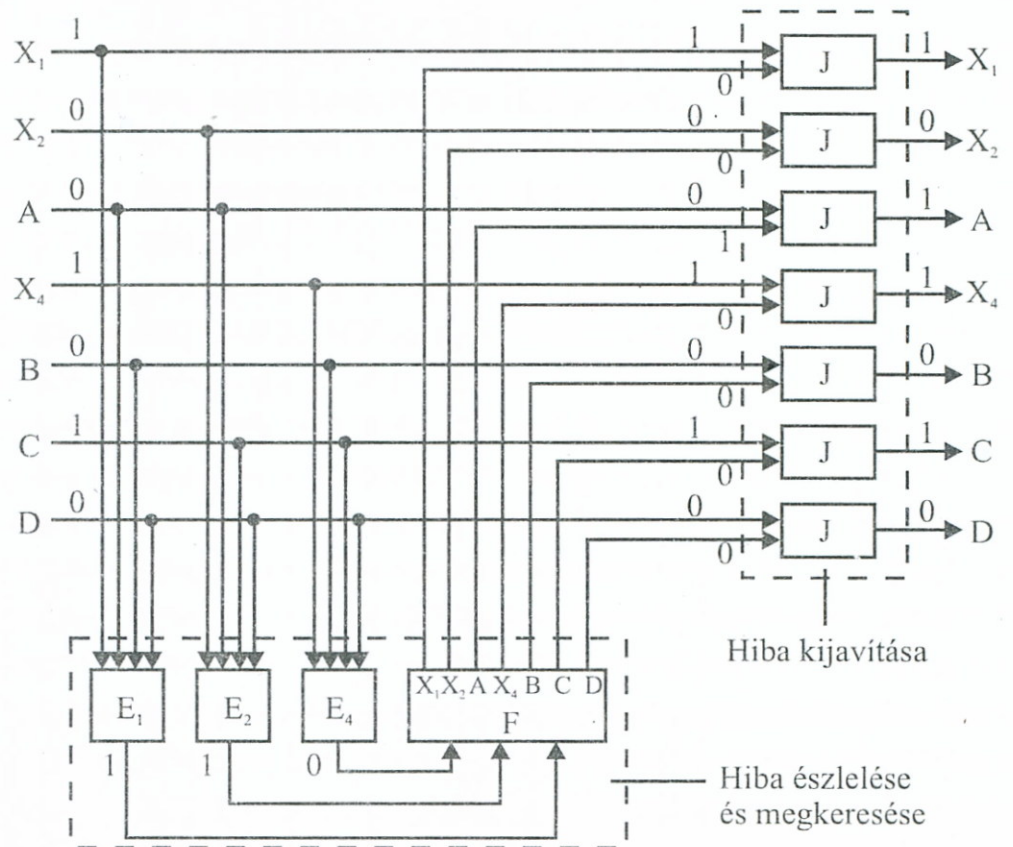
↑ (hiba)

A paritásellenőrzött részkódszavak a következők:

$$\begin{array}{ccc|ccc|ccc} & E_1 & & E_2 & & E_4 & & & \\ X_1 & A & B & D & X_2 & A & C & D & X_4 & B & C & D \\ \hline 1 & 0 & 0 & 0 & 0 & 0 & 1 & 0 & 1 & 0 & 1 & 0 \end{array}$$

A paritásellenőrzés eredménye:

$$\begin{array}{ccc} E_1 & E_2 & E_4 \\ \hline 1 & 1 & 0 \end{array}$$



10 - 7. ábra



Az F blokkban történő hibakeresés elemi okoskodásra vezethető vissza: Miután  $E_4$ -nél nincs hiba (0), ezért (csak egy hiba lehetőségét feltételezve)  $X_4$ , B, C és D csatornákon biztos jó elem érkezett. A hiba ezért csak olyan csatornánál lehet, amelyik mindkét hibát jelző blokkban ( $E_1 = 1$  és  $E_2 = 1$ ) szerepel, de  $E_4$ -ben nem. Ennek a megszorításnak csak az „A” csatorna tesz eleget, tehát a hibás elemnek itt kellett beérkezni. Ez a kiinduló (10.11) és (10.12) összehasonlításával valóban ellenőrizhető is.

A  $J_A$  javító blokk – miután F-től jelet kap – „A” csatorna beérkező jelét ellentétesre változtatja, így az összes J-k kimenetének együttese már a javított, helyes kódszót:

1 0 1 1 0 1 0

szolgáltatja.

A  $J_i$  javító blokkok valójában egy egyszerű antivalencia kapuval realizálhatók. Ha ugyanis megállapítottuk, hogy az adott  $i$  helyen nincs hiba, azaz a  $J_i$  alsó bemenetén  $J_{i\text{alsó}} = 0$  van, akkor az antivalencia kapu a  $J_{i\text{felső}}$  bemeneti jelét

$$0 \oplus J_{i\text{felső}} = J_{i\text{felső}}$$

összefüggés értelmében változtatás nélkül átengedi.

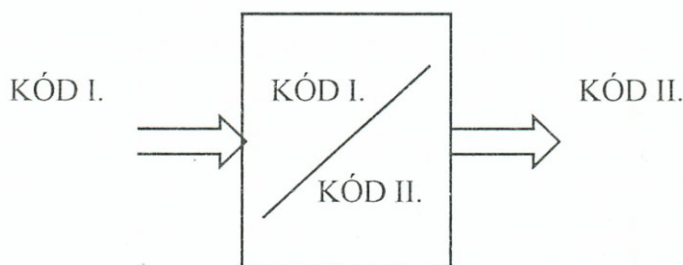
Ha a  $J_i$  alsó bemenetére  $J_{i\text{alsó}} = 1$  érkezik, akkor itt *hiba van*, amit ki kell javítani. A javítás a  $J_i$  felső bemenetére érkezett jel invertálásával történik, amit az antivalencia kapu az

$$1 \oplus J_{i\text{felső}} = \bar{J}_{i\text{felső}}$$

összefüggés értelmében el is végez.

#### 10.2.4. Kódátalakítók

A kódátalakítók elvi működése a 10-8. ábra alapján fogalmazható meg, mely szerint a bemenetre érkező KÓD I. kódrendszer-beli kódszavakat a KÓDÁTALAKÍTÓ funkcionális egység a KÓD II. kód-



10–8. ábra Kódátalakító elvi vázolata

	KÓD I./KÓD II.	Formulák
a)	BIN/GRAY	$G_{n-1} = B_{n-1}$ $G_i = B_i \oplus B_{i+1}$
b)	GRAY/BIN	$B_{n-1} = G_{n-1}$ $B_i = G_i \oplus B_{i+1}$

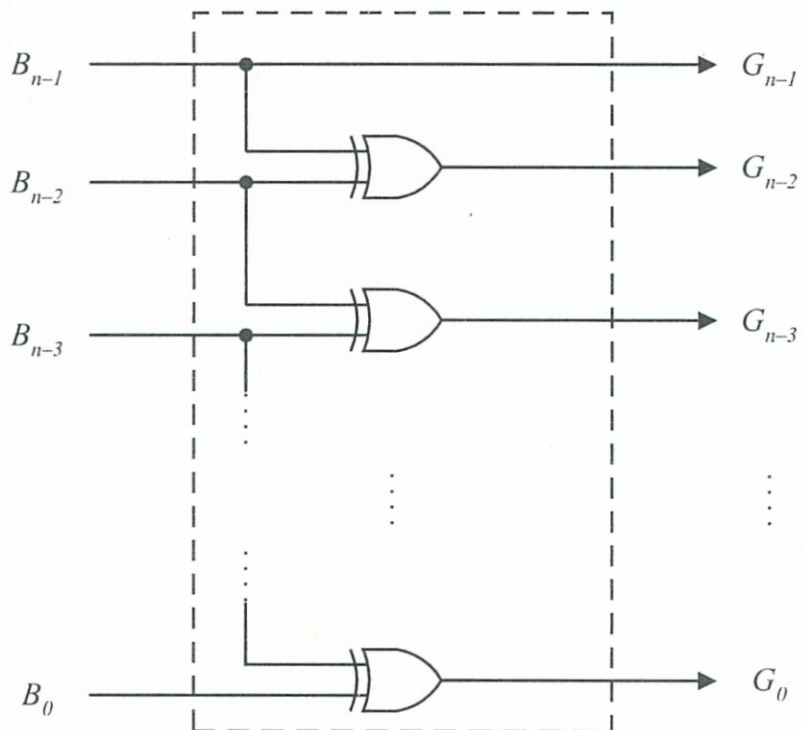
10–9. ábra Konverziók a BIN ↔ GRAY kódok között

rendszer-beli, a bemenetivel *azonos információt* kifejező kódszavakká alakítja át.

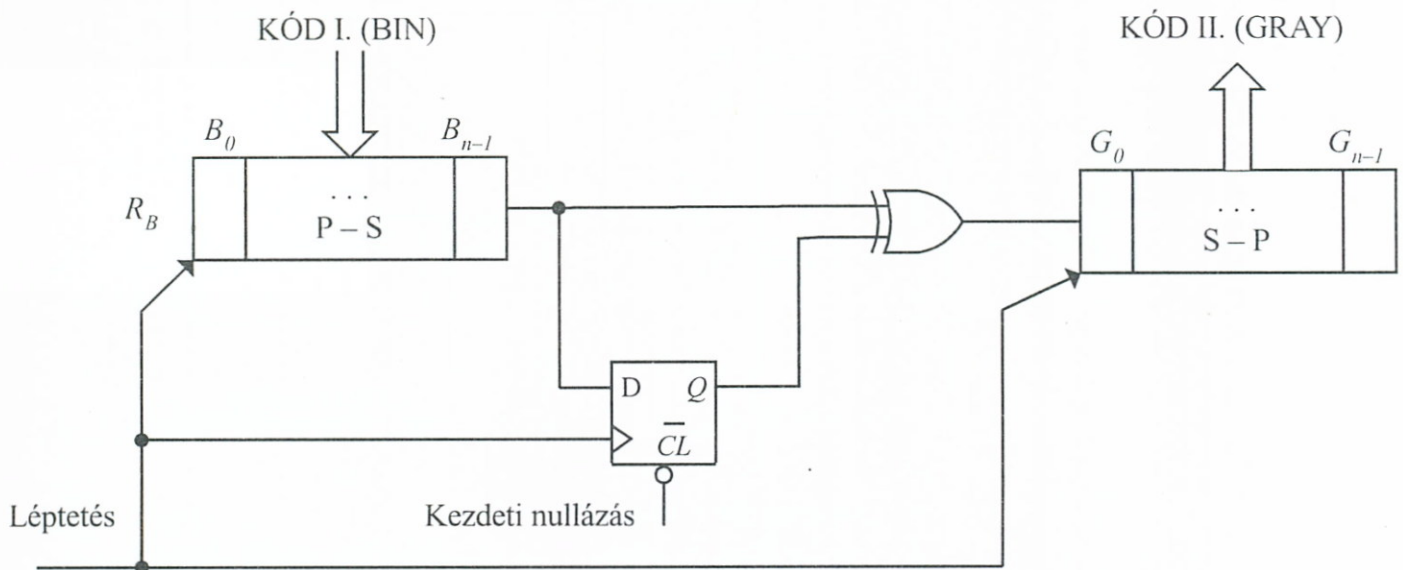
A kódátalakítás történhet párhuzamosan, például kombinációs hálózattal, vagy időben sorbaállítottan, például sorrendi hálózattal.

*Párhuzamos* esetre példaként a 10-10. ábrán felrajzoltunk egy BINÉR/GRAY átkódolót, mely az előzőekben bemutatott átalakítási számításokból levezethető és a 10-9. ábra táblázatában összefoglalt formulákon épül fel.

*Soros* esetre egy ugyancsak BINÉR/GRAY megoldást mutat a 10-11. ábra. Itt első lépésként betöltjük a BIN kódot, párhuzamosan a



10–10. ábra Párhuzamos BIN/GRAY kódátalakító

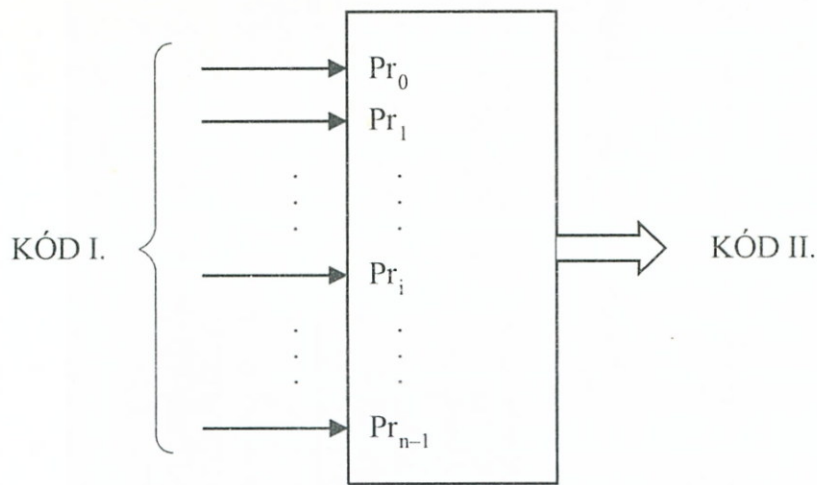
10-11. ábra *SOROS - BIN/GRAY kódátalakító*

P-S típusú regiszterbe úgy, hogy a legmagasabb bináris helyiérték lépjen majd ki legelőször. A D-típusú tárolóelem késleltető feladatot lát el a 10-9. ábra formuláiban szereplő  $i$  helyiérték pozíciós indexek (itt időbeli) eltolódásának biztosítása érdekében. Indítás előtt a D-tárolóelembe 0 információt írunk be a  $\overline{CL}$  bemenet révén. Ezután megindulhat a léptetés, melynek során a P-S-ből, és egy ütemnyi eltolással a D tárolóból kilépő bit-ek a 10-9a. ábra formulái szerint az antivalencia kapun kapcsolatba lépnek. A kiszámított bit-ek lépésenként tárolódnak az S-P regiszterben, ahonnan az összes bit átléptetése után az eredmény párhuzamosan kiolvasható lesz.

### *Prioritásos kódátalakítók*

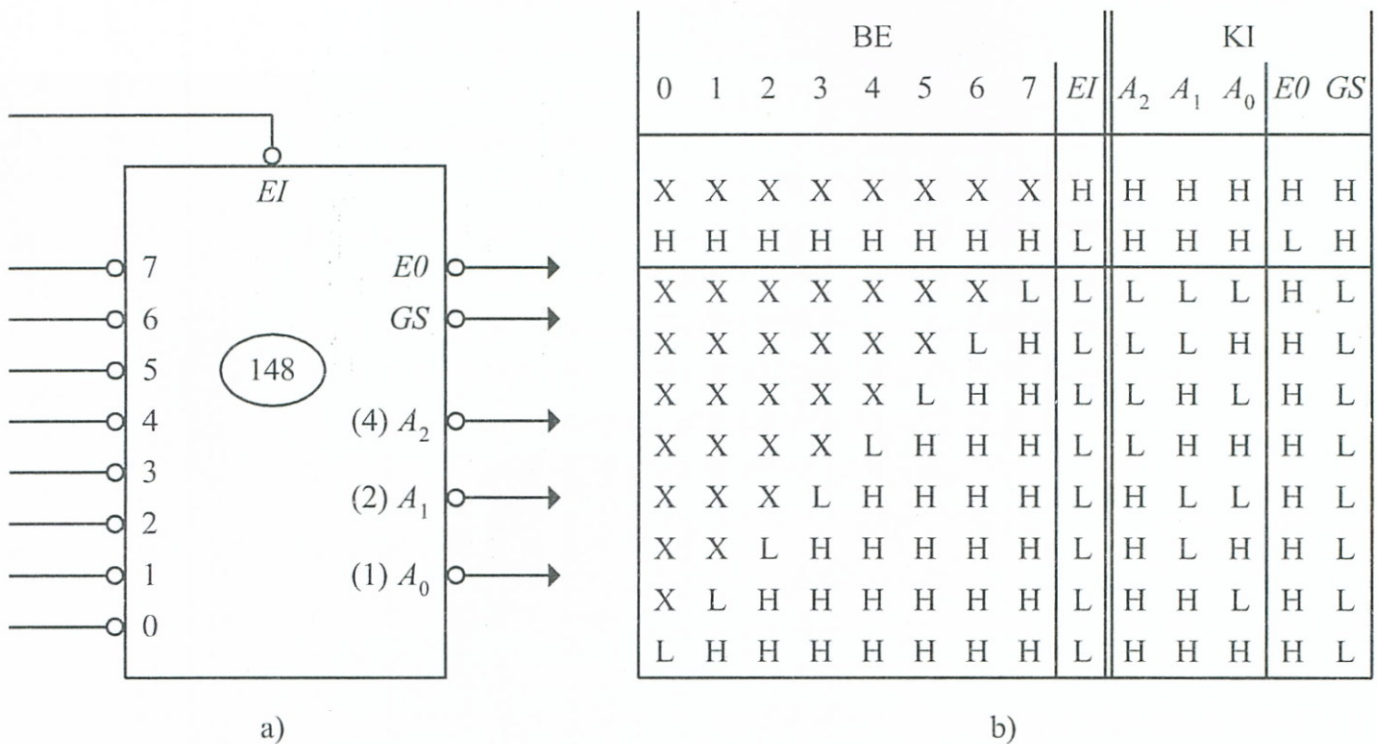
A prioritásos kódátalakítók jellemzője, hogy a bemeneti KÓD I. kódszavainak bit-jei egymáshoz viszonyítottan előre megadott, megkülönböztető prioritással rendelkeznek, és a KÓD I. kódszó legmagasabb prioritású bit-je határozza meg a kimeneti KÓD II. rendszer-beli kódszót (10-12. ábra).

Szemléltetésül vizsgáljuk meg a 10-13a. ábrán látható 148 típusú 8/3-as *Prioritásos kódoló* működését, melynél a bevezetőben megadott definíció úgy érvényesül, hogy itt a *decimálisan magasabb* értékű bemenet rendelkezik magasabb prioritással és a kimeneten ennek BINÉR kódja kell, hogy megjelenjen. Az ilyen alapon kitöltött működési táblázatot a 10-13b. ábrán rajzoltuk fel, aktív 0 (L) jellemzőjű be-, és kimenetek feltételezésével. Az EI bemenet-engedélyező hatású, E0 azt jelzi, hogy engedélyezés van, de a 0, 1, ... 7 bemenetek



$Pr_i$  – prioritási tényező (pl.  $Pr_i > Pr_j$ )

10–12. ábra Prioritásokódátalakító elvi vázlat

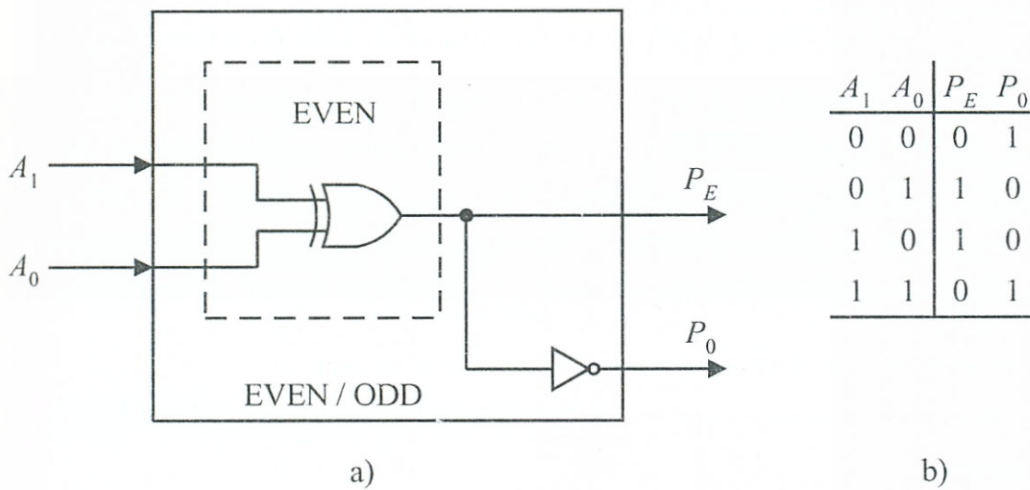


10–13. ábra 8/3-as prioritásokódoló működése

passzívak. GS az engedélyezés esetén megjelenő aktív bemenet jelenlétét jelzi.

*Hibafelismerés paritásképzéssel*

A paritásképzés elvével a 10-6. ábra kapcsán már foglalkoztunk. A 10-14a. ábrán 2 bit-es Páros (EVEN), illetve Páratlan (ODD) típusú paritásképzőt tanulmányozhatunk, melynek működését a 10-14b. táblázat definiálja. A táblázatból felírhatók a kimeneti függvények:

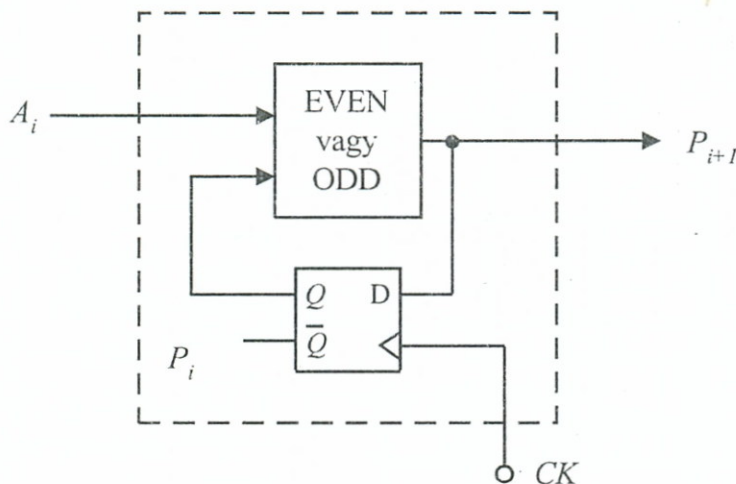


10–14. ábra Két bit-es paritásképző működési elve

$$\left. \begin{array}{l} \text{Páros:} \quad P_{\text{EVEN}} = A_0 \oplus A_1 \\ \text{Páratlan:} \quad P_{\text{ODD}} = A_0 \equiv A_1 = \bar{P}_{\text{EVEN}} \end{array} \right\} \quad (10.13)$$

A több bit-es paritásképzés soros és párhuzamos szervezésű lehet. Soros paritásképzés elvi vázlatát mutatja a 10-15. ábra, ahol az időben korábbi  $i-1$  bit és az érkező  $i$  bit kapcsolatát visszacsatolással állítjuk elő.

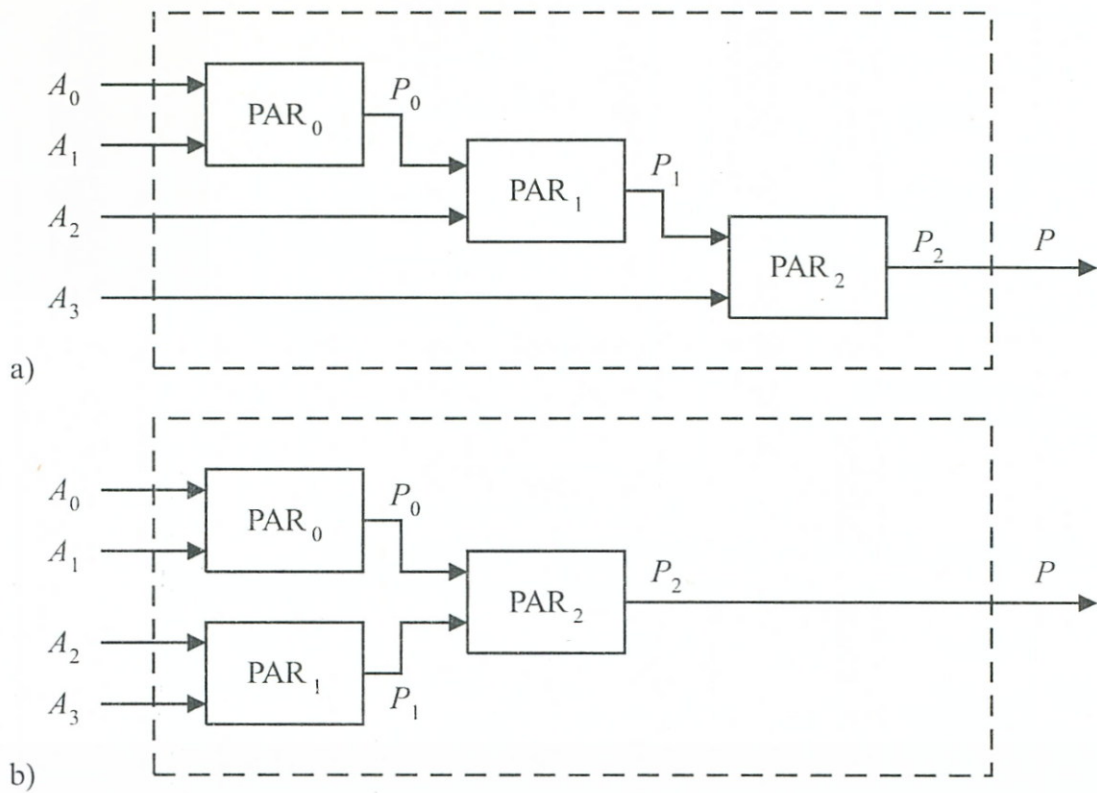
Párhuzamos paritásképzésnél kétféle felépítési struktúra alakítható ki.



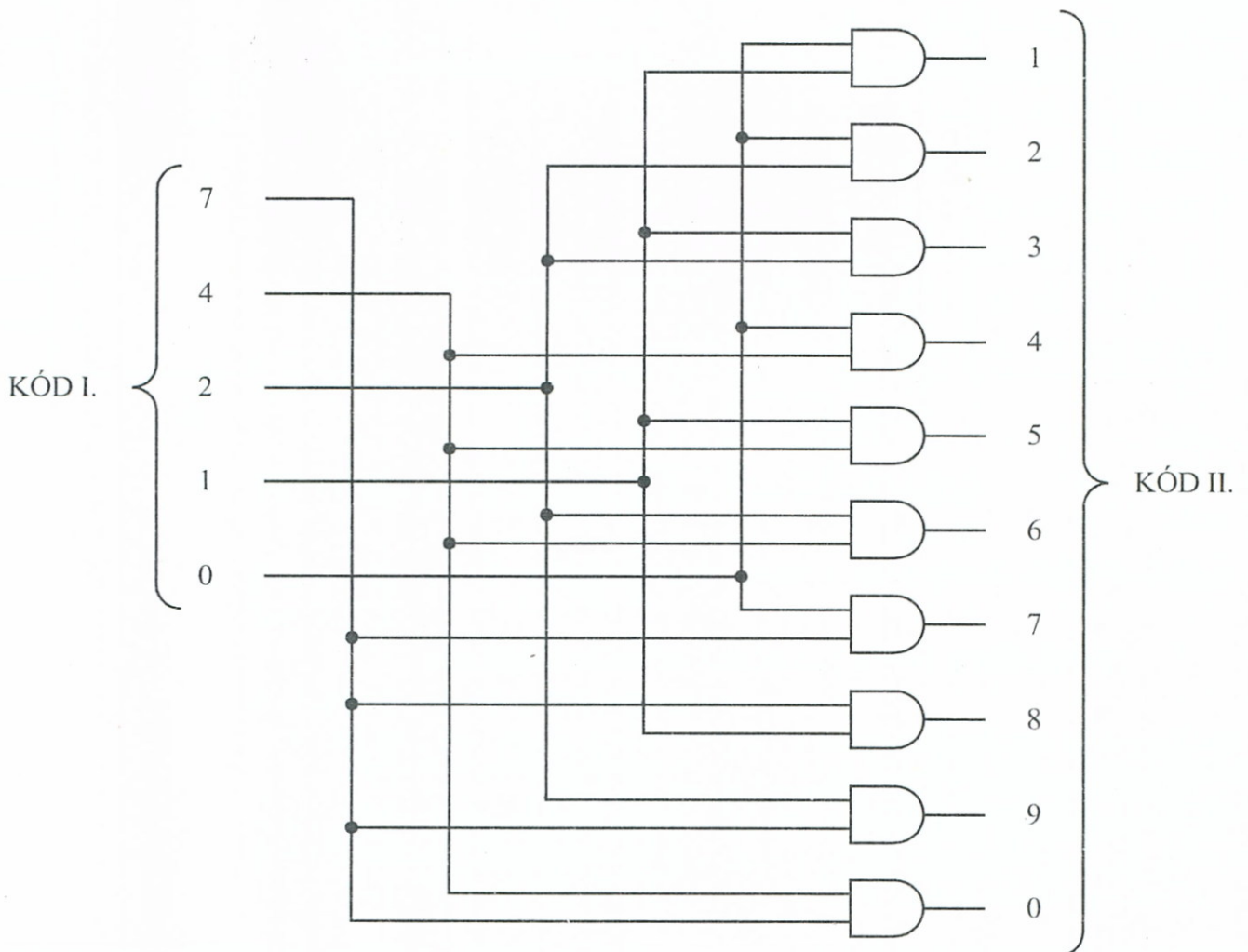
10–15. ábra Soros paritásképző cella felépítése

- a) Kaszkád struktúrára utal a 10-16a. ábra, mely két-két bit láncolt szukcesszív összehasonlításán épül fel,
- b) Fa struktúrát láthatunk a 10-16b. ábrán, ahol egyidejűleg több bit-csoport fa-elrendezésű összehasonlítása történik.

## 10. Funkcionális egységek



10–16. ábra Kaszkád ill. Fa struktúrájú párhuzamos paritásképzés



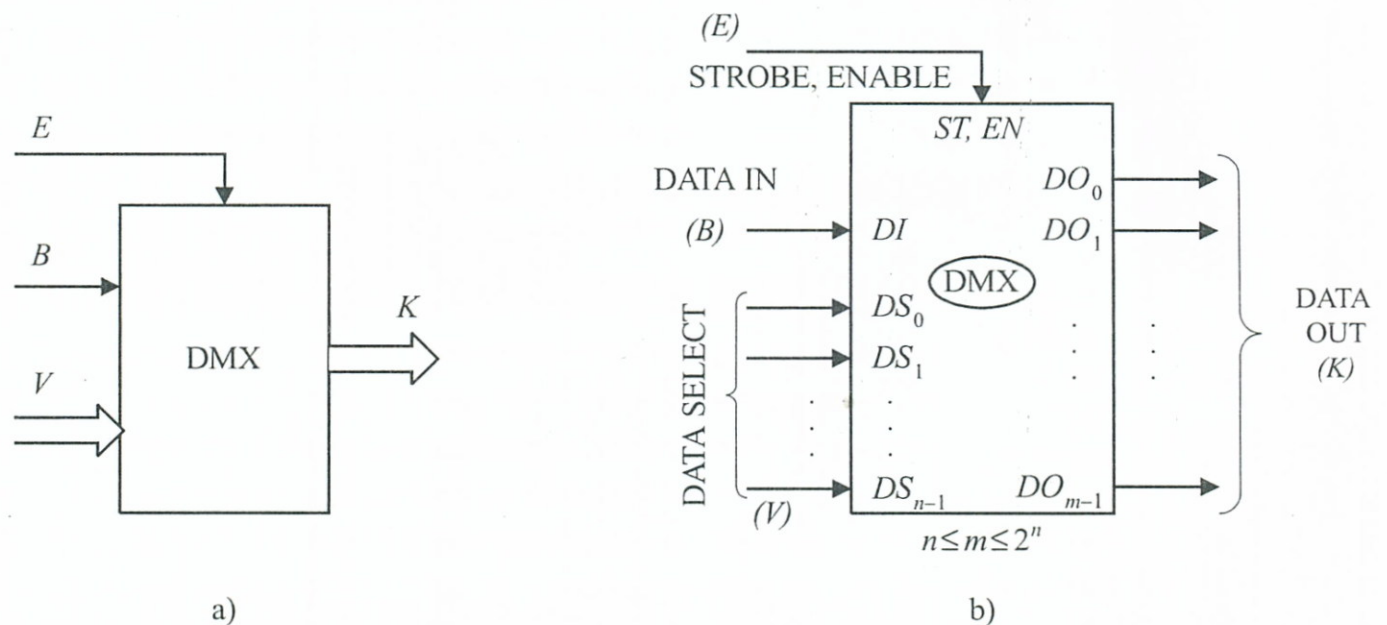
10–17. ábra Párhuzamos (5-ből 2) / DECIMÁLIS átkódoló

### Hibafelismerés a kódrendszer célszerű megválasztásával

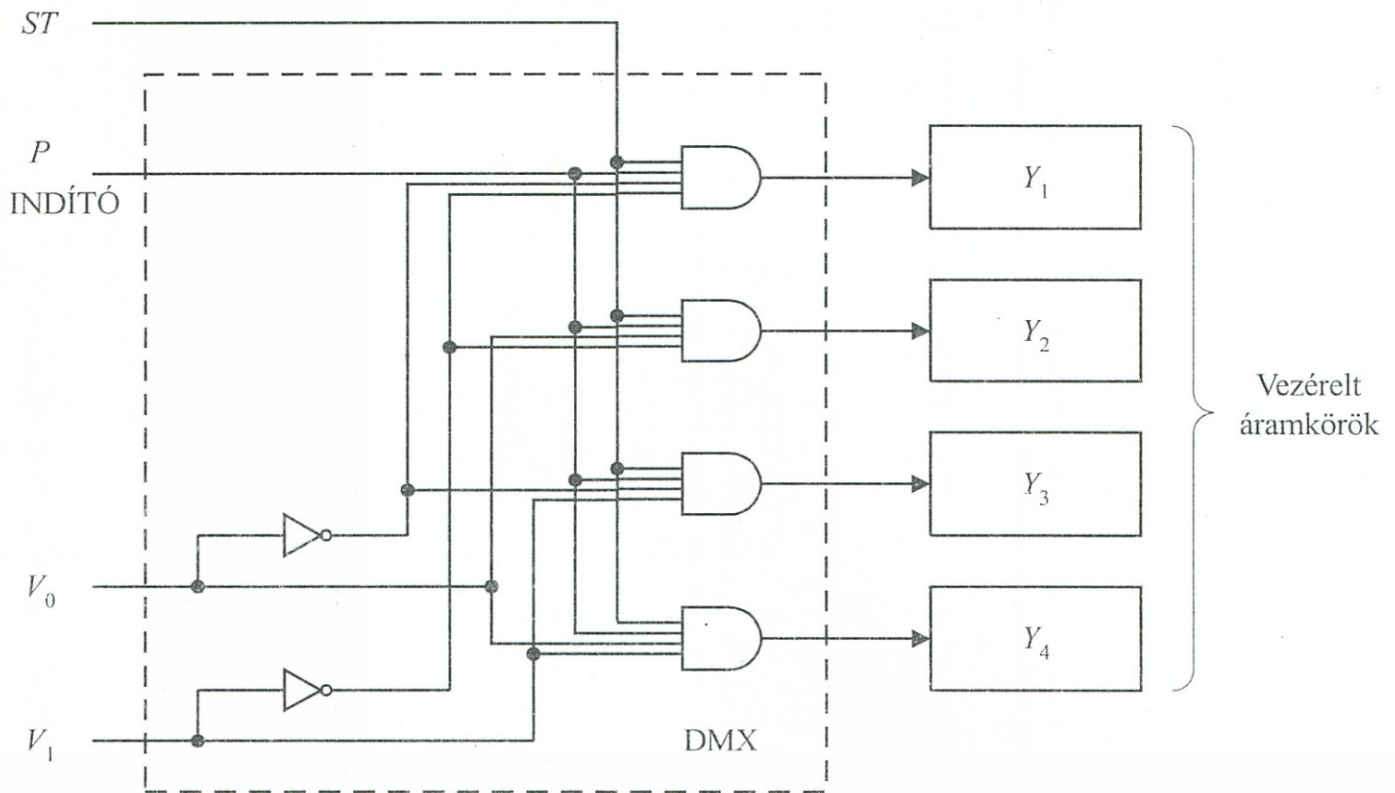
A 10-17. ábrán egy (5-ből 2)/DECIMÁL párhuzamos elven működő kódátalakítót rajzoltunk fel. A határozatlan term-ek száma:  $2^5 - 10 = 22$  miatt a hálózat meglehetősen leegyszerűsödött. Ha a bemenetre érkező kód-szónál az 5-ből 2 szabályosság felborul, ez abban is jelentkezik, hogy egyidejűleg több kimenet is aktívvá válik.

## 10.3. Demultiplexerek

Egy demultiplexer működését a 10-18a. ábrából kiindulva tanulmányozhatjuk. Funkciója szerint, a  $B$  bemenetre érkező jeleket kell átírányítani a  $K$  kimenetszoport valamelyik  $K_i$  kimenetére, attól függően, hogy a  $V$  kiválasztó-vezérlő bemenetek ezek közül melyiket jelölik ki. A  $K$  kimenetek aktivizálását egy  $E$  engedélyező bemenet teszi lehetővé. A 10-18b. kissé részletezettebb ábrán feltüntettük a katalógusokban található gyakoribb jelöléseket és elnevezéseket, valamint a választó bemenetek és a kimenetek száma közt fennálló összefüggést is, ahol  $n$  a választó bemenetek,  $m$  a kimenetek száma.



10-18. ábra DEMULTIPLEXER elvi vázlatja



10–19. ábra Vezérlendő ÁK kiválasztása

### 10.3.1. Adataelosztás

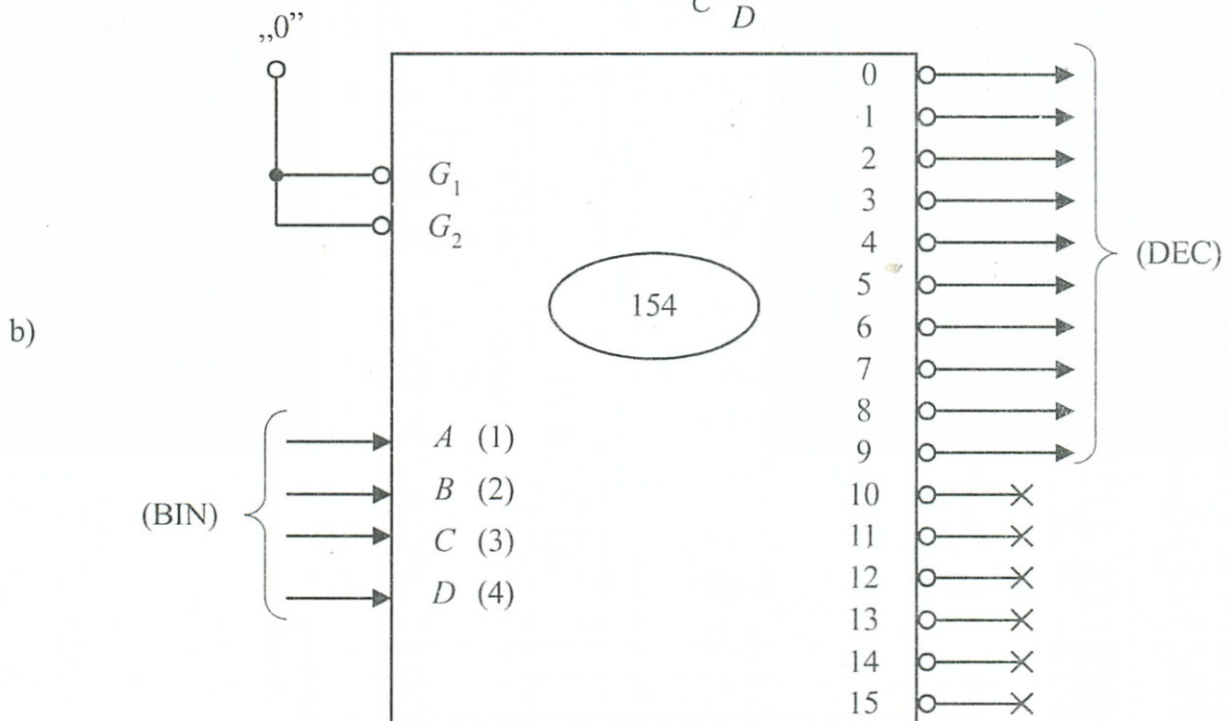
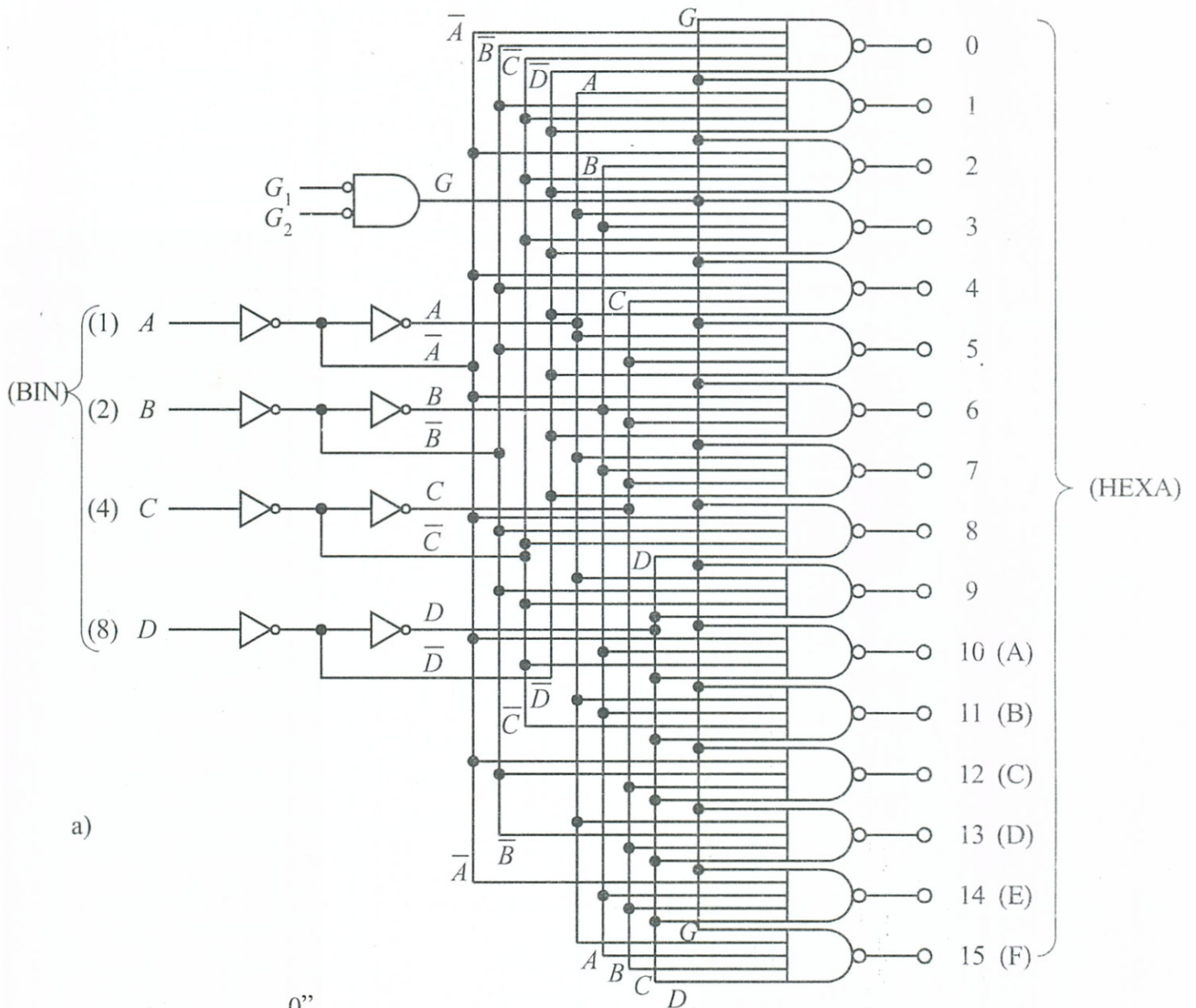
Egy adataelosztási feladatmegoldást szemléltet a 10-19. ábra példája, melynél egy  $P$  indító jellel mindig a DMX által ( $V_1$ ,  $V_0$  kombinációival) kiválasztott aktuális  $Y_i$  áramkört tudjuk elindítani, ha erre az  $ST$  engedélyező jel lehetőséget ad.

### 10.3.2. Kódátalakítás

A DMX-ek felhasználhatók kódátalakítási feladatokra is. Ilyenkor a bemeneti (átalakítandó) KÓD I. kódszó bit-jei kerülnek a  $V$  választóbemenetekre, a kimeneti KÓD II. pedig a  $K$  kimeneteken jelenik meg. A  $B$ , ill.  $ST$  bemeneteket vagy olyan konstans logikai szintre kötjük, mely a  $(V) \text{ — } (K)$  kapcsolatú művelet zavartalanságát biztosítja, vagy kapuzási-engedélyezési feladatok ellátására használjuk fel őket.

A 10-20a. ábrán egy DMX-el megoldott BINÉR/HEXA kódátalakítót rajzoltunk fel. A DCBA (8, 4, 2, 1) súlyozású bemenetekre érkező négyelemes BINÉR kódszó átszámított értékének megfelelő HEXA kimeneten jelenik meg egy *aktív 0* szint, míg a többi kimenetek *passzív 1* szinten maradnak. (Pl.: BE: 1101 esetén KI: D) Az ilyen kó-

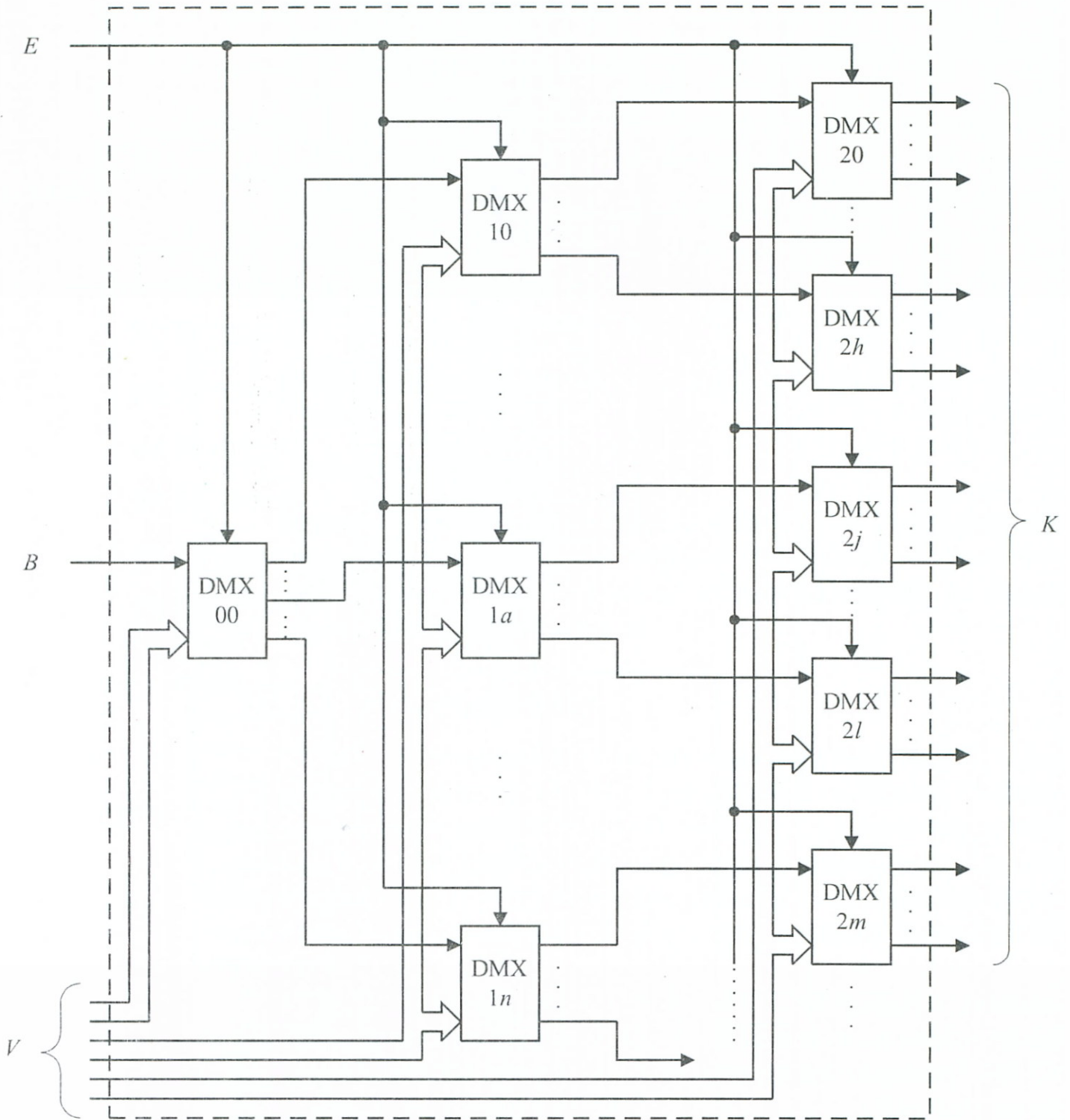




10-20. ábra

dolást „n-ből egy” típusnak nevezik. A  $G_1G_2$  vezérlőbemenetekkel valamennyi kimenet letiltható.

Ha ugyanezt az áramkört úgy üzemeltetjük, hogy a bemenetekre csak BCD kódszavakat adunk (10-20b. ábra), akkor egy BINÉR/DECIMÁL átkódolóhoz jutunk, ahol a 10 ... 15 kimeneteket nem használjuk fel.



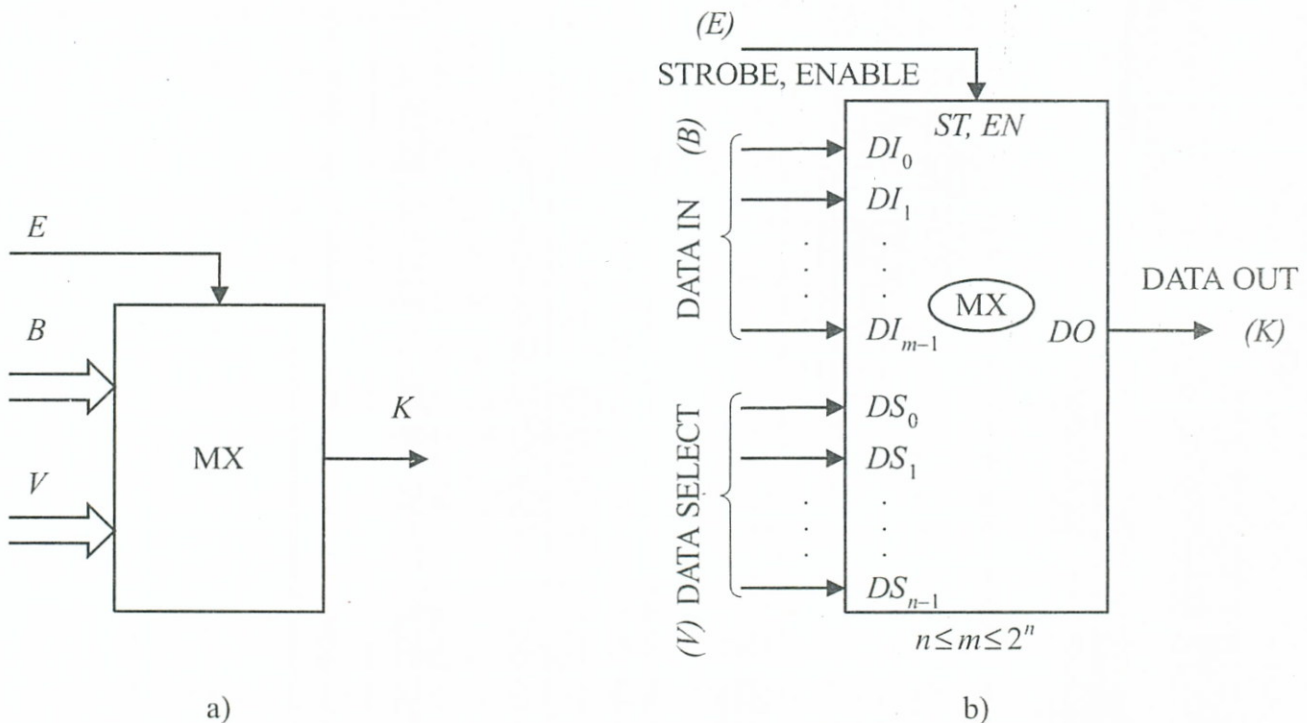
10-21. ábra DMX bővítés elvi vázlatja

### 10.3.3. Demultiplexerek összekapcsolása

A demultiplexereket gyakran a „Bemenet-Választóbemenet-Kimenet” (B/V/K) számcsoporttal jellemezzük. Például a 10-19. ábrabeli DMX jellemzője: 1/2/4. A kereskedelemben forgalmazott DMX-eknél egy-egy IC áramköri tokokban található egységek kimeneteinek száma gyakran kisebb, mint amennyi az adott műszaki feladathoz szükséges lenne. Ilyen esetekben – ha nem kívánunk az adott feladathoz egy speciális integrált áramkört (BOÁK) tervezni – a feladatot több DMX összekapcsolásával, ún. *bővítésével* oldjuk meg. A bővítés elvét a 10-21. ábra szemlélteti.

## 10.4. Multiplexerek

Egy multiplexer működését a 10-22a. ábrából kiindulva követhetjük. Funkciója szerint a  $B$  bemenetsoporra érkező jelek valamelyikét kell átírányítani a  $K$  kimenetre, attól függően, hogy a  $V$  kiválasztó-vezérlő bemenetek melyik  $B_i$  bemenetet jelölik ki. Hasonlóan a DMX-ekhez, itt is szerepel egy  $E$  engedélyező bemenet, továbbá itt is felrajzoltunk egy részletesebb ábrát (10-22b. ábra), mely az elterjedtebb jelöléseket és összefüggéseket szemlélteti.



10–22. ábra MULTIPLEXER elvi vázolata

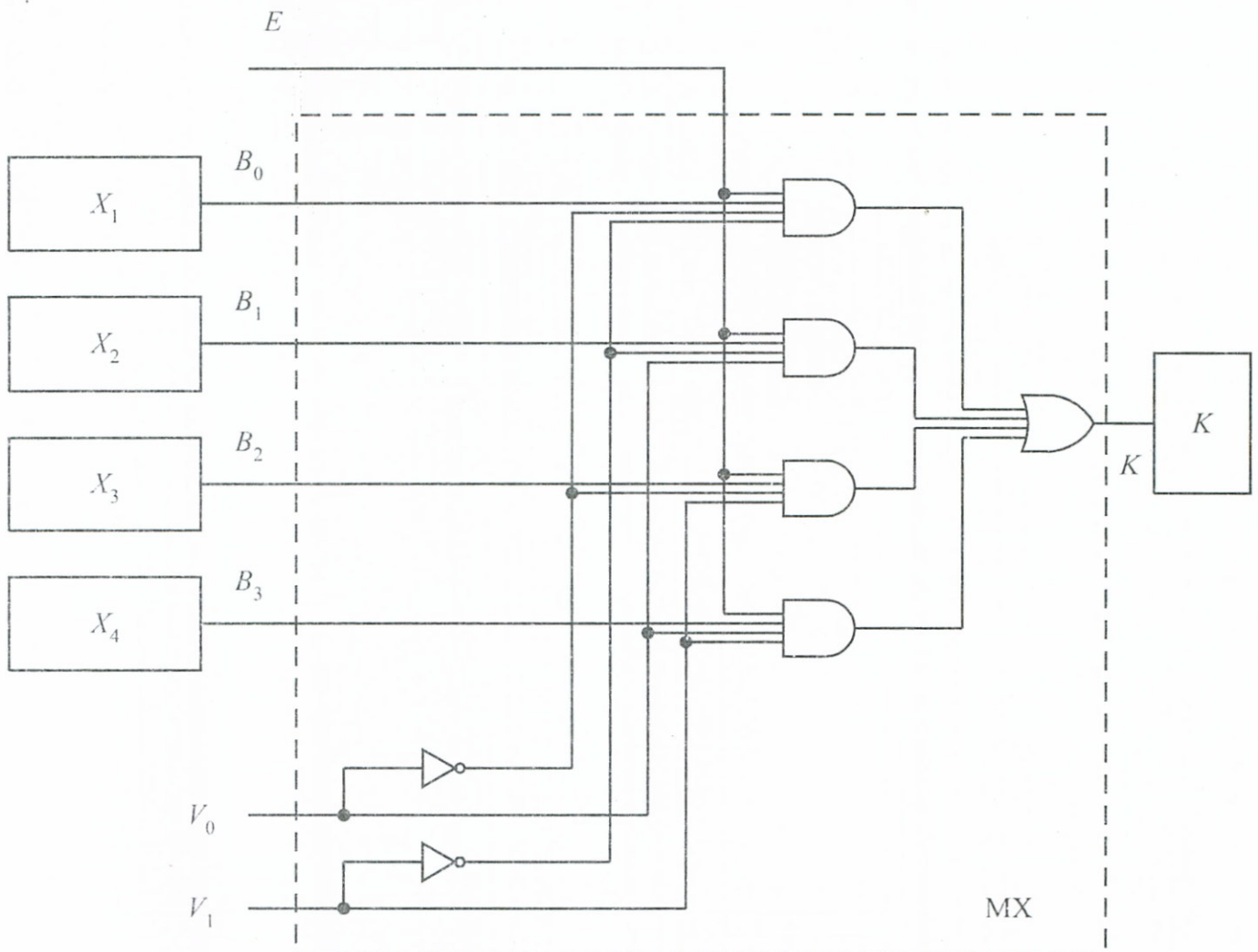
### 10.4.1. Adatkiválasztás

Az MX-ek egyik fontos alkalmazási területe a különböző helyekről érkező adat-, ill. parancs-funkciójú jelek közül a kívántnak kiválasztása és a kimenet felé továbbítása.

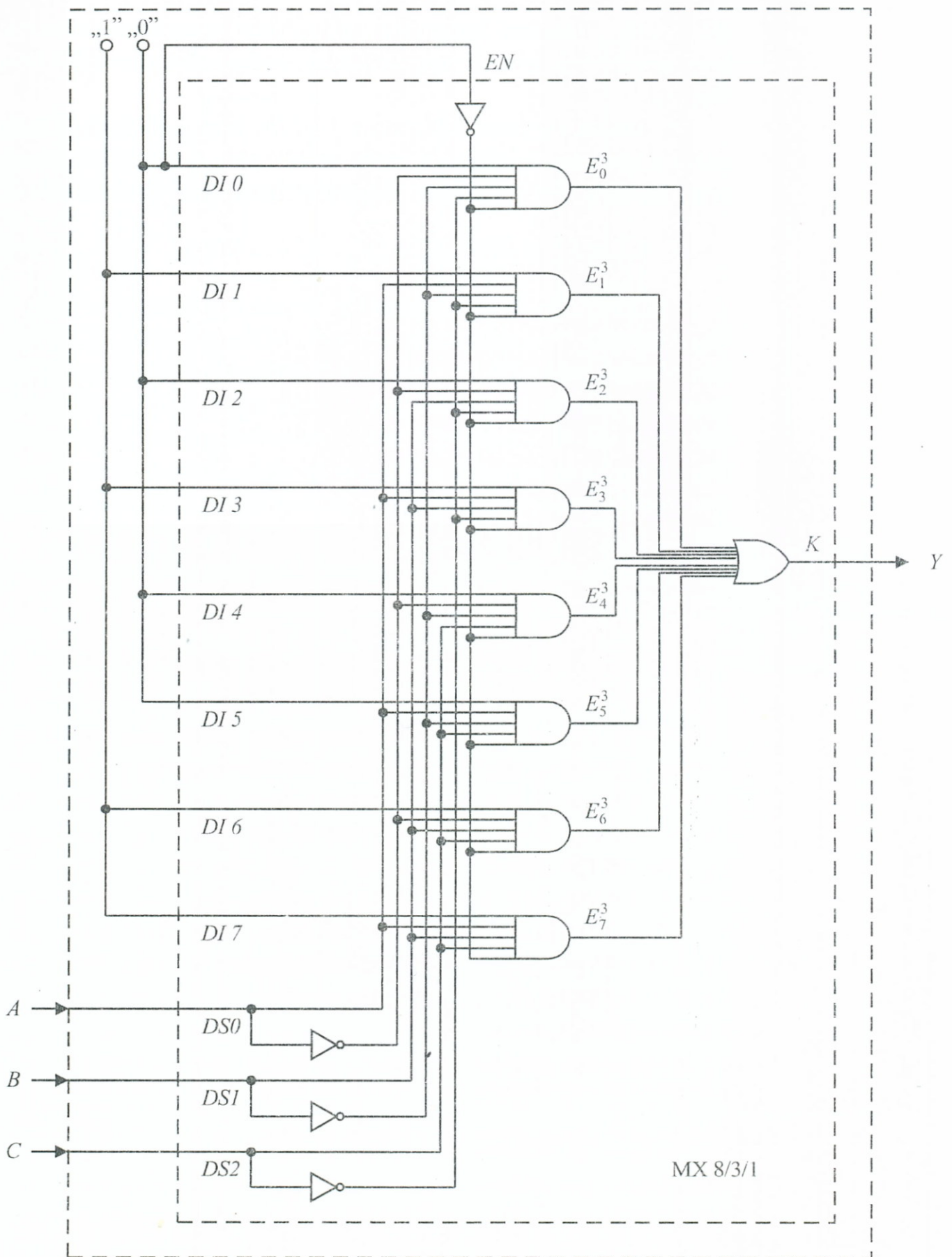
Egy adatkiválasztási feladat megoldására vonatkozó példát láthatunk a 10-23. ábrán, ahol az  $X_i$  mérőáramkörökről érkező mérési adatokat a  $V_0, V_1$  választó jelek különböző kódjainak segítségével „kapcsoljuk rá” a  $K$  kimeneten elhelyezkedő egyetlen kiértékelő berendezésre, alkalmanként. Az MX-eket is – hasonlóan a DMX-ekhez – jellemezhetjük a (B/V/K) számcsoporttal. Ez példánkánál: 4/2/1

### 10.4.2. Logikai feladatmegoldás

Az MX áramkörök segítségével tetszés szerinti logikai függvényt realizálhatunk, amennyiben az MX olyan felépítésű, hogy a  $DS_0$ ,



10–23. ábra Különböféle mérési helyek rákapcsolása a  $K$  kiértékelő berendezésre



10-24. ábra Az  $Y = \sum_{i=1,3,6,7}^3$  függvény realizálása MX 8/3/1-gyel

$DS_1 \dots DS_{n-1}$  választó bemenetei az áramkör belsejében az összes lehetséges  $E_i^n$  ÉS-term-et megvalósítják, és fennáll az:  $m = 2^{n-1}$  összefüggés.

Ez esetben ugyanis felírható a 10-22b. ábra jelöléseit is felhasználva a következő kifejezés, mely valójában a  $K$  kimeneten értelmezett valamely  $Y = F^n$  logikai függvény diszjunktív szabályos alakja:

$$K = Y = F^n = DI_0 \cdot E_0^n + DI_1 \cdot E_1^n + \dots + DI_{m-1} \cdot E_{2^{n-1}-1}^n \quad (10.14)$$

A (10.14) kifejezést felhasználva, ezután egy adott  $Y = F^n(X_1 \dots X_n)$  függvényt úgy realizálhatunk valamely MX-szel, hogy a  $DS_i(V)$  csatlakozásokat tekintjük a bemeneti változóknak, a  $K$  kimenetet  $Y$ -nak, míg az egyes  $DI_i(B)$  bemeneteket pedig olyan 0–1 konstans logikai értékekre kötjük, melyeket a realizálandó  $Y$  függvény igazságtáblázatának megfelelő sorai (ill. a diszjunktív alak  $\alpha_i$  tényezői) az  $Y$ -ra előírnak. Az  $E$  bemenetet rendszerint „szabad” állást biztosító értékekre kötjük le.

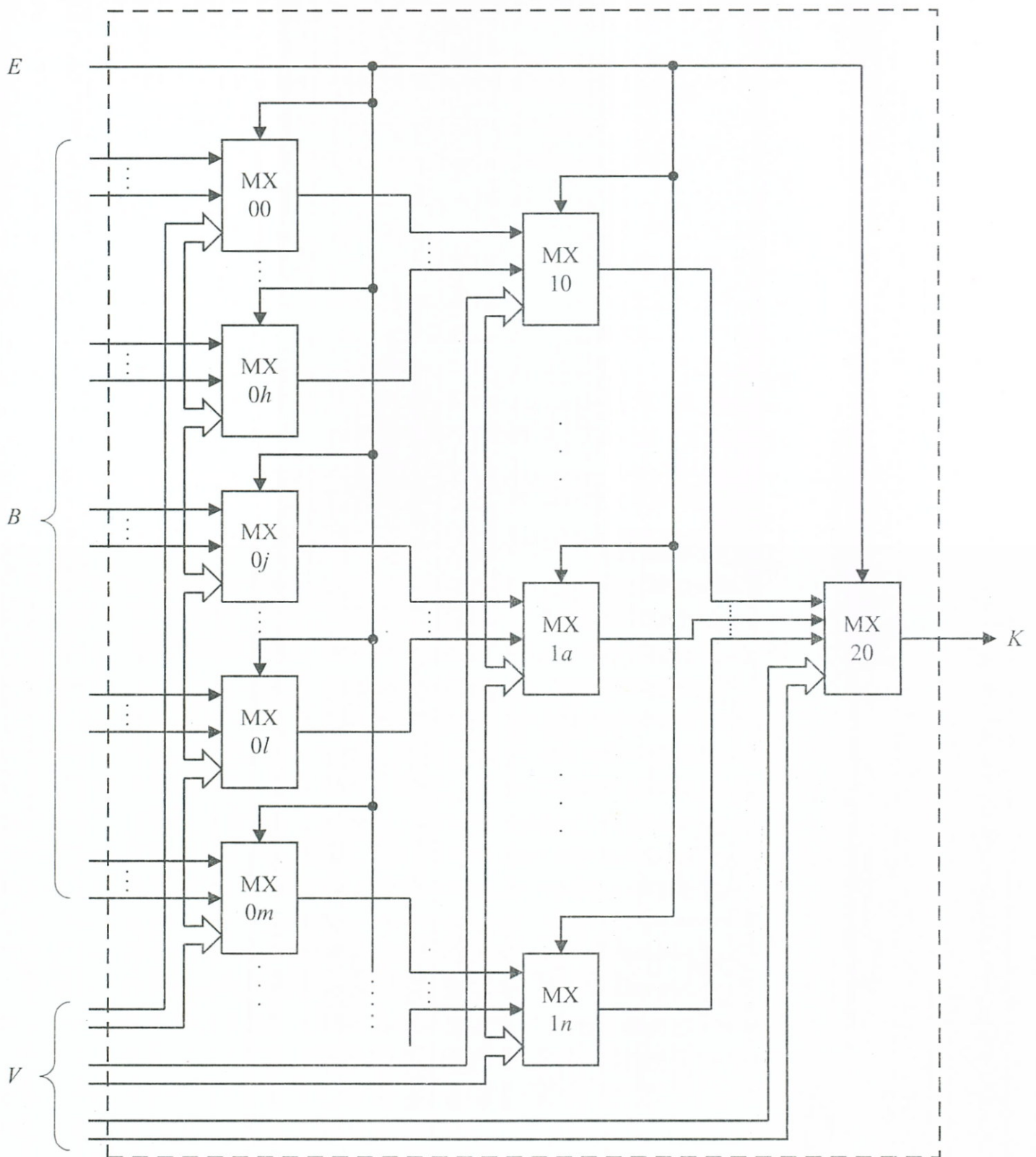
Példaként realizáljuk a következő függvényt MX segítségével:

$$Y = F(C, B, A) = \sum^3 (1,3,6,7) \quad (10.15)$$

A realizálásnál 8/3/1 MX-et választottuk, mivel egy háromváltozós függvény teljes diszjunktív alakjában 8 tag szerepel, ezért ez az MX típus látszik a realizációra legmegfelelőbbnek. A (10.14) összefüggés értelmében, a 10-24. ábrában a példa kiinduló alakjában szereplő term-ek  $\alpha_1 = \alpha_3 = \alpha_6 = \alpha_7$  tényezőit az 1, a többieket:  $\alpha_0 = \alpha_2 = \alpha_4 = \alpha_5$ -öt pedig a 0 logikai értékeknek megfelelő tápfeszültség-pontokra kötöttük, ugyanakkor a  $C, B, A$  független változókat a  $DS_2, DS_1, DS_0$  bemenetekre vezetjük. Mivel az EN engedélyező bemenet aktív 0-ára kapcsol „szabadra”, ezért ezt is a 0 konstans értékre csatlakoztatjuk. Az ily módon „felprogramozott” MX biztosítja a (10.15) formulával megadott kiinduló függvény áramköri realizálását.

### 10.4.3. Multiplexerek összekapcsolása

Hasonlóan a DMX-eknél elmondottakhoz, itt is szükségessé válhat a bővítés, melynek elvi vázlatát MX esetre a 10-25. ábra mutatja.



10-25. ábra MX bővítés elvi vázlata

## 10.5. Számlálók



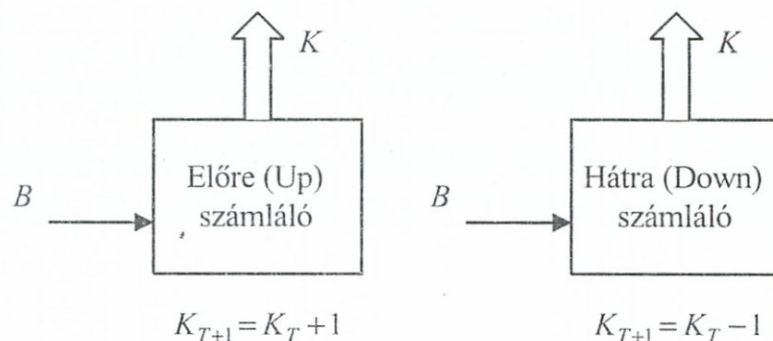
A számlálók sorrendi áramkörökből felépülő funkcionális egységek, melyek a bennük tárolt információ értékét a bejövő jel hatására 1-gyel növelik vagy csökkentik. A definíciónak megfelelő két alapváltozatot a 10-26. ábra elvi vázlatán láthatjuk.

A számlálók – mint sorrendi hálózatok – a számlált információt a mindenkori belső állapotukkal fejezik ki, melyet kódolt formában jelenítenek meg a kimeneten. Emiatt a számlálók automata-elméleti leírásánál elsősorban a Moore-modell kerül előtérbe.

A számlálók „hasznos” belső állapotainak számát, ami egyben azt a számot jelenti, mely a számláló által megszámlálható maximális érték: *moduló*-nak ( $M$ ) nevezzük, és a számláló fontos jellemzőjének tekintjük.

A számlálókat többféle szempont szerint osztályozhatjuk:

- a számlálót felépítő tárolóelemek kapcsolatai alapján:
    - soros
    - párhuzamos
  - a számlálót felépítő sorrendi hálózat jellege alapján:
    - szinkron
    - aszinkron
  - a számlálás iránya alapján:
    - előre (inkrementáló)
    - hátra (dekrementáló)
    - kétirányú (reverzibilis)
  - a számlálandó információt kifejező kódrendszer alapján:
    - Binér
    - BCD
    - JOHNSON
- stb.



10–26. ábra Előre- és hátra számlálók elvi vázlata

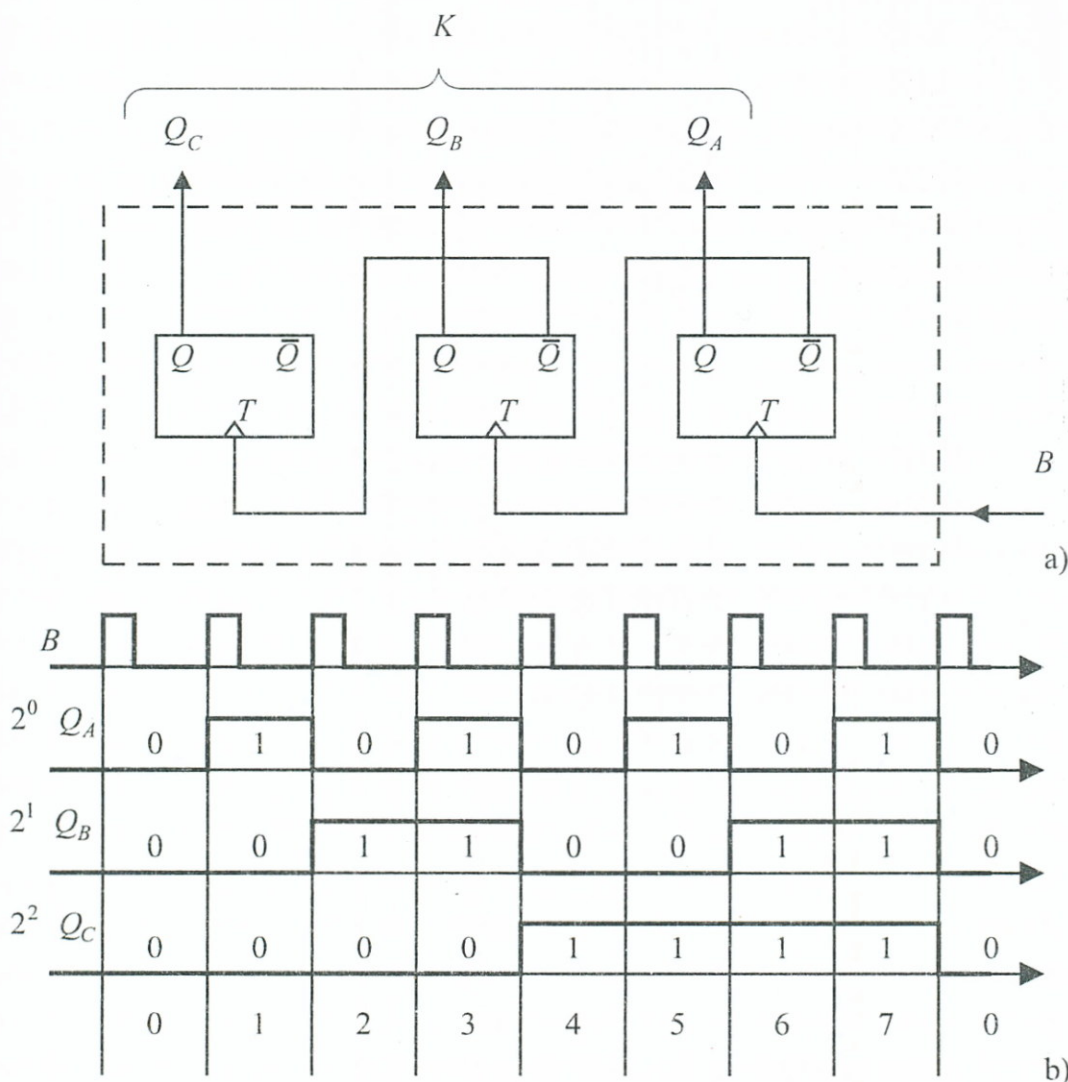


típusú számlálókat különböztetünk meg, melyek egy adott számláló elnevezésében is megjelennek.

### 10.5.1. Aszinkron előreszámlálók

A 10-27a. ábrán egy számlálásra alkalmas sorrendi hálózat látható. Vizsgáljuk meg ennek működését, állapítsuk meg az „ $M$ ” modulót és adjuk meg jellemző megnevezését is.

A hálózatot – mint látható – felfutó élre működő  $T$  tárolók soros kapcsolata alkotja. Ha lépésről lépésre felrajzoljuk a 10-27b. ábrán látható idődiagramot, mellyel figyelembe vesszük, hogy a tárolók egymásközti kapcsolata a  $\bar{Q} \rightarrow T$  összeköttetéseken zajlik le, akkor megállapíthatjuk, hogy a 10-27b. ábra: 0, 1, ... 7 ütemrendjében az egyes tárolók kimeneti értékeiből alkotott kódszavak binér rendszert



10-27. ábra  $M = 8$ -as aszinkron-soros-binér-előre számláló

alkotnak, és az ütemeket jellemző decimális sorszámok bináris megfelelőjét adják meg. A 7. ütemet követően ismét 0-ával kezdődő ciklus következik. A példa kérdésére válaszolva, megállapíthatjuk, hogy a kapcsolás egy „moduló 8-as – aszinkron – soros – binér – előre” típusú számlánc.

Az aszinkron számlálók lényegesen hátrányos tulajdonsága, hogy a tárolóelemek állapotváltozása a terjedési időkkel eltoltan, láncolódva történik, így az értékelendő állapotváltozások közé több tranzienst is beiktatódhat. Ez mind a működési sebesség, mind a számláló által meghajtott további áramkörök egyértelmű vezérlése szempontjából kedvezőtlen lehet.

### 10.5.2. Szinkron előreszámlálók

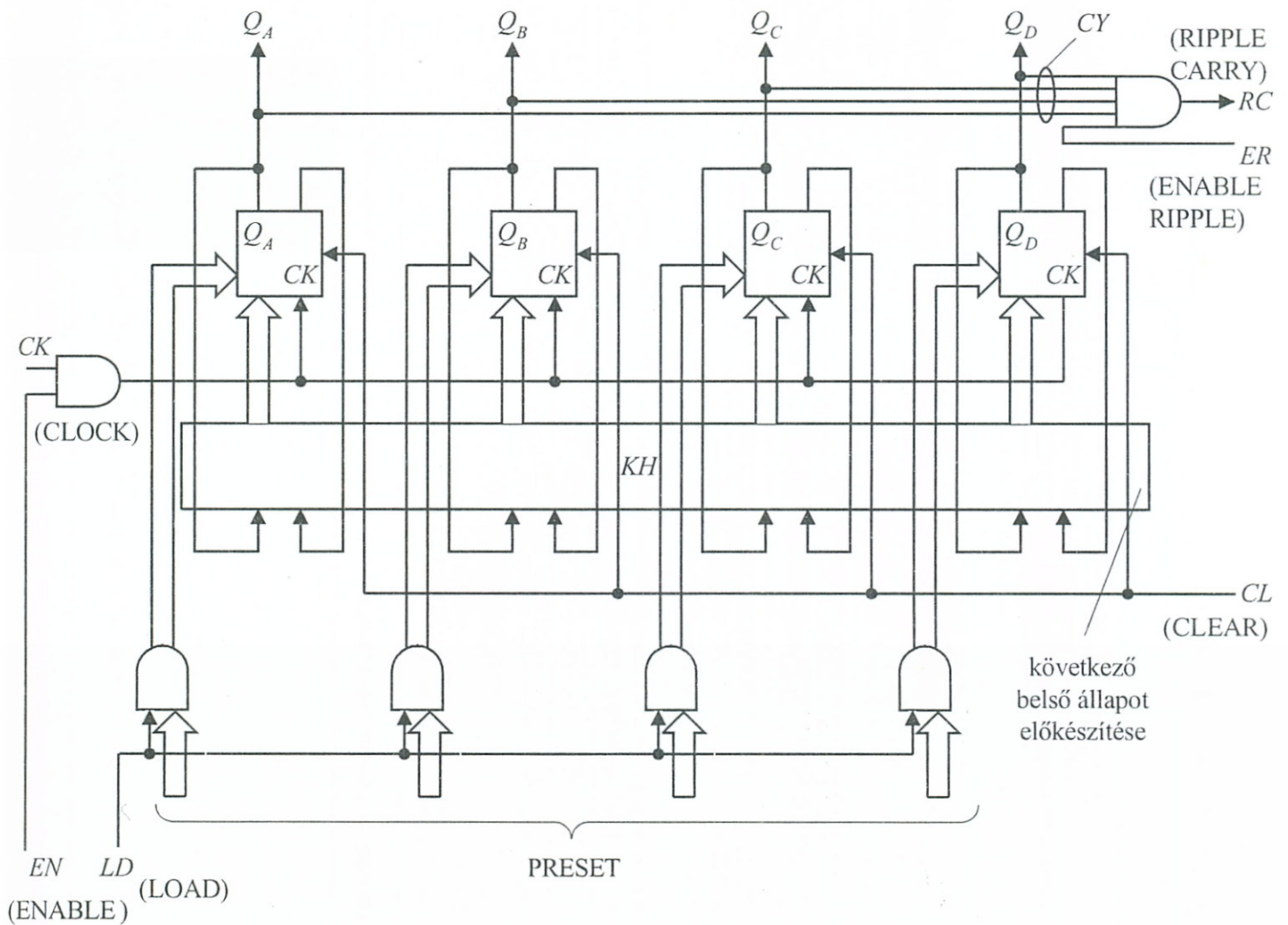
Szinkron számlálóknál az órajelek működtető hatása minden tárolóelemnél közel azonos időben érvényesül, ezért az előzőkben említett tranzienst kódok veszélye lecsökken, és így a működési sebesség is kedvezőbben alakul. A tárolóelemek vezérlését egy kombinációs hálózat végzi, melynek bemeneteit a vezérelt tárolóelemek előző időütemben felvett logikai állapotai alkotják a 10-28. ábra elvi rajzának megfelelően.

A számlálót el szokták látni többféle, sokoldalúságot biztosító további bemenetekkel is, így a 10-28. ábrán feltüntettük a számláló léptetését (CLOCK) engedélyező (ENABLE), az általános törlő (CLEAR) és a számláncot adott pozícióba bármikor beállító (PRESET) jeleket kapuzó (LOAD) bemenettel. A később tárgyalandó bővítések érdekében gyakran kivezetik a számláló legmagasabb értékű kódját kapuzottan összefoglaló átvitel (RIPPLE CARRY) és az ezt kapuzó (RIPPLE ENABLE) csatlakozásokat is.

A különféle csatlakozások aktív 0, vagy aktív 1 tulajdonsággal rendelkezhetnek. A LOAD és CLEAR csatlakozások *szinkron* (tehát az órajellel együtt hatásos), vagy *aszinkron* (órajeltől függetlenül hatásos) jellegűek is lehetnek a működésében szinkronnak tekintett számláncnál.

Egy ilyen, fent részletezett kialakítású hálózat elvi felépítését 4 bit-re a 10-28. ábra szemlélteti.

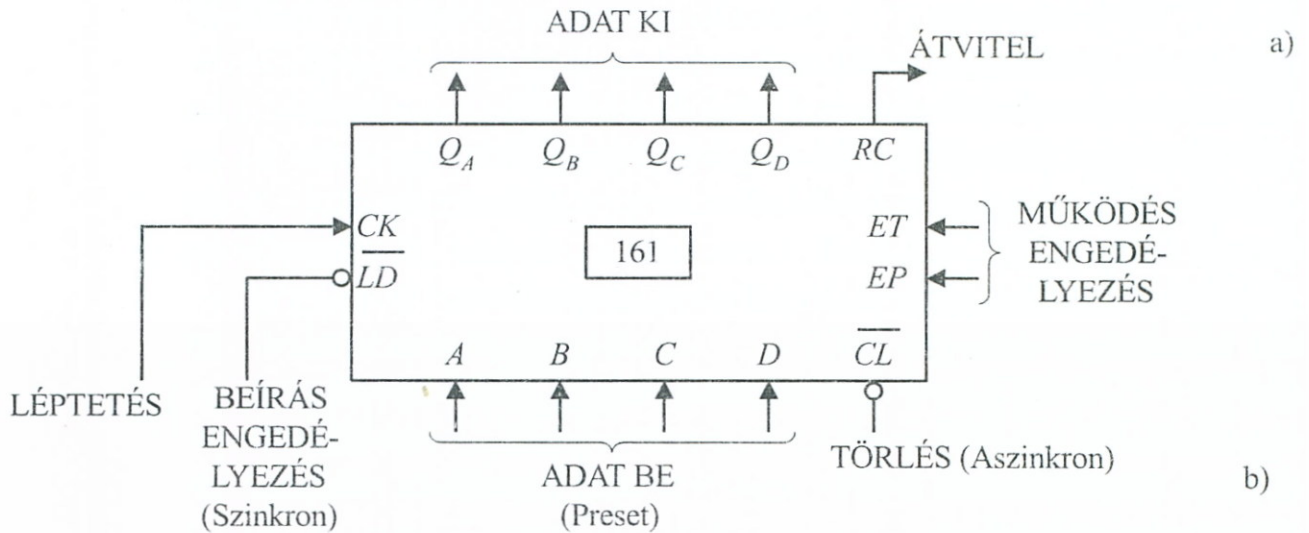
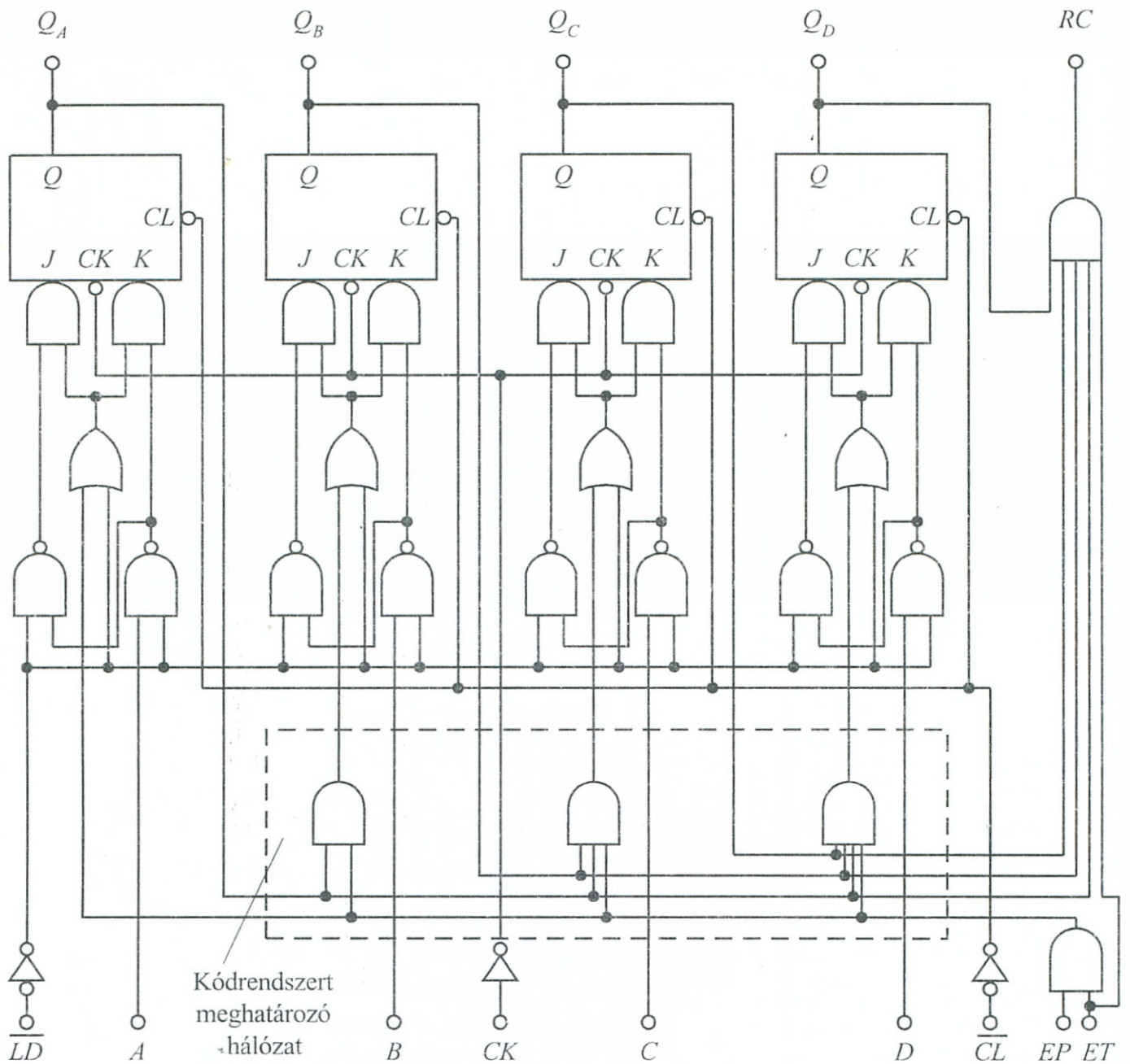
*Szemléltetésül* a 10-29a. ábrán egy „161” típusú  $M = 16$  – szinkron – párhuzamos – binér előreszámláló modult rajzoltunk fel némi egyszerűsítéssel. A hálózaton belüli szaggatottan körülhatárolt rész biztosítja az egyes bináris helyértékek közötti „párhuzamos” átvitelt olyan elven, hogy a magasabb helyértéken elhelyezkedő tárolóele-



10-28. ábra Párhuzamos szinkron számlánc elvi vázlata

mek csak akkor tudják megváltoztatni állapotukat, ha már valamennyi alacsonyabb helyérték tárolóeleme 1 (H-High) állapotba került. A kapcsolás preszetelhető, azaz a számlálás kezdeti állapotát az A, B, C, D bemenetekre (1, 2, 4, 8 súlyozás) adott bináris számmal beállíthatjuk. Az előzetesen előkészített beírandó értéket az LD (LOAD) bemenettel aktualizálhatjuk és a tárolókba való tényleges beírás a következő órajel (CK-CLOCK) megérkezésekor következik be, azaz *szinkron* módon történik. A hálózat valamennyi tárolójának  $Q_i = 0$ -ba történő állítását a CL (CLEAR) bemenetre adott aktív „0” szinttel végezhetjük *aszinkron* módon. Végül a számlánc el van látva egy bővítési lehetőséget elősegítő, DCBA – 1111 állapotnál aktivizálódó RC (RIPPLE CARRY) átviteli kimenettel, melyet az ET (ENABLE) bemenettel lehet engedélyezni. Az ET és EP engedélyezések  $EP \cdot ET = 0$  esetén a számláló működését tudják leállítani a tárolóelemek vezérlő pontjainak inhibitálásával.

A számlánc csatlakozási vázlatát a 10-29b. ábrán adtuk meg.



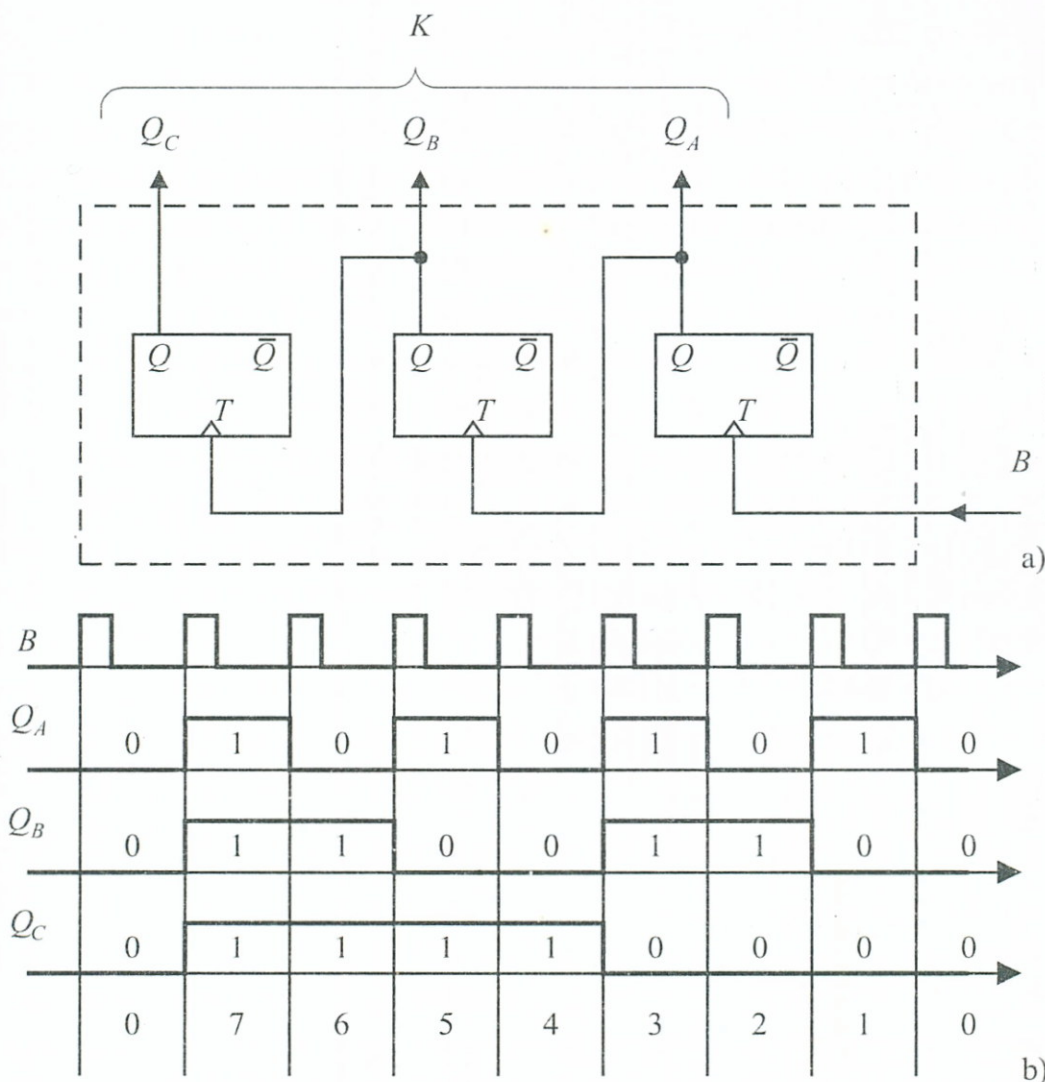
10-29. ábra  $M = 16$  – szinkron-párhuzamos-binér-előre számlánc

### 10.5.3. „Hátra”-számlálók

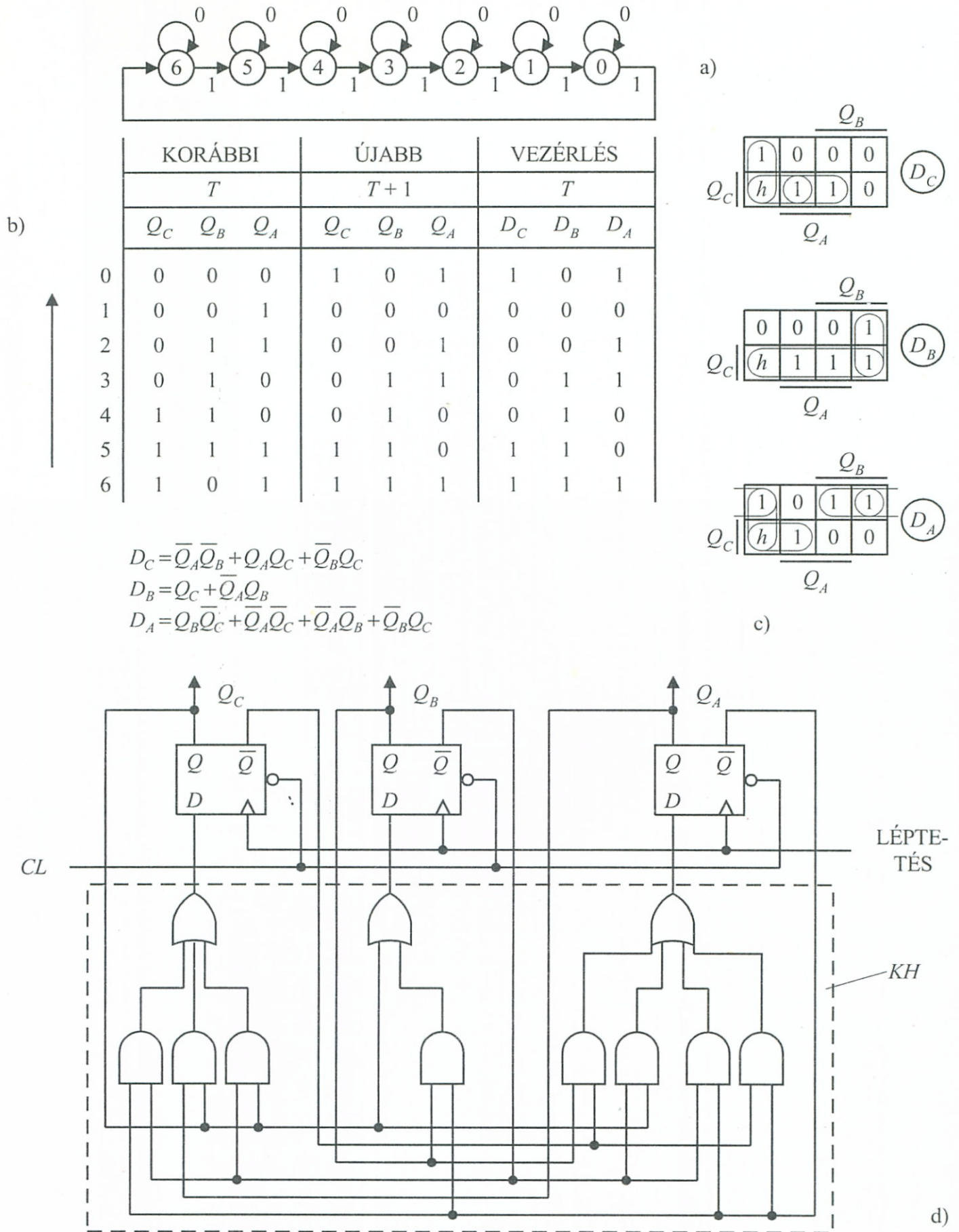
A „hátra”-számlálók elvileg csak annyiban különböznek az „előre”-számlálóktól, hogy a lépésenként egymást követő, számláló állapotát kifejező kódszavak *dekrementálódva* követik egymást.

Az aszinkron *hátra*-számláló szarmaztatása az előre irányúakból áramkörileg gyakran rendkívül egyszerűen oldható meg. Ez a lehetőség az előre-kódok és a hátra-kódok közötti komplementis természetű kapcsolatban rejlik. Vizsgáljuk meg ennek érvényesülését a következő példán keresztül:

A 10-30a. ábrán látható aszinkron hálózat csak annyiban különbözik a 10-27a. ábrabelitől, hogy a  $Q_A - Q_B - Q_C$  fokozatok közti kapcsolat az előzőhöz képest invertáltan, tehát  $Q_i \rightarrow T$  összeköttetéssel van megoldva. Ennek következménye viszont a 10-30b. ábra szerinti



10-30. ábra  $M = 8$ -as aszinkron-soros-binér-hátra számlánc



10-31. ábra  $M = 7$  – szinkron-párhuzamos-GRAY-hátra számlánc

idődiagramon alapuló működés, mely 0, 7, 6, ..., 1 ütemsorrendre, azaz dekrementáltan lépkedő: „M = 8 – aszinkron – soros – binér – hátra” típusú számlálóra utal.

A *szinkron hátra-számlálók* elvi rajza sem különbözik lényegében a 10-28. ábrán felrajzolttól. A 10-26. ábra értelmében hátra-számláláskor, a hálózat minden léptetéskor itt is egy *dekrementálást* végez, abban a kódrendszerben kifejezve, melyben a számláló működik. Áramköri kialakítás tekintetében ez a 10-28. ábránál azt jelenti, hogy a következő belső állapotok előkészítését végző KH hálózat tervezésekor a „visszafelé” sorrendet kell értelemszerűen biztosítani. Ezt a következő 10-31. ábra-beli példánál részletesebben illusztráljuk. A „lefelé” átvitelt pedig a BORROW-BW (kölcson vagy maradék) betűkkel jelöljük az előző RC helyett.

*Szemléltető példaként* alakítsunk ki egy moduló M = 7-es szinkron-párhuzamos-GRAY-hátra számláncot. A realizációhoz használjunk „D” típusú tárolóelemeket.

Mivel itt nem áll rendelkezésre egy kereskedelemben kapható modul, a feladat valójában egy szinkron szekvenciális hálózat tervezését jelenti, ami – mint látni fogjuk – adott esetben nem lesz nehéz feladat. A számláló-szekvenciális-hálózat gráfját kiindulásként a 10-31a. ábra mutatja, ahol az M = 7-nek megfelelő 7 darab belső állapot a hét számlálási pozíciót fogja képviselni. Ugyancsak nem jelent gondot az állapotok kódolása sem, mivel a GRAY kód itt elegendően szükséges 3 bit-es változata a már tárgyalt 10-5. ábrából felírható.

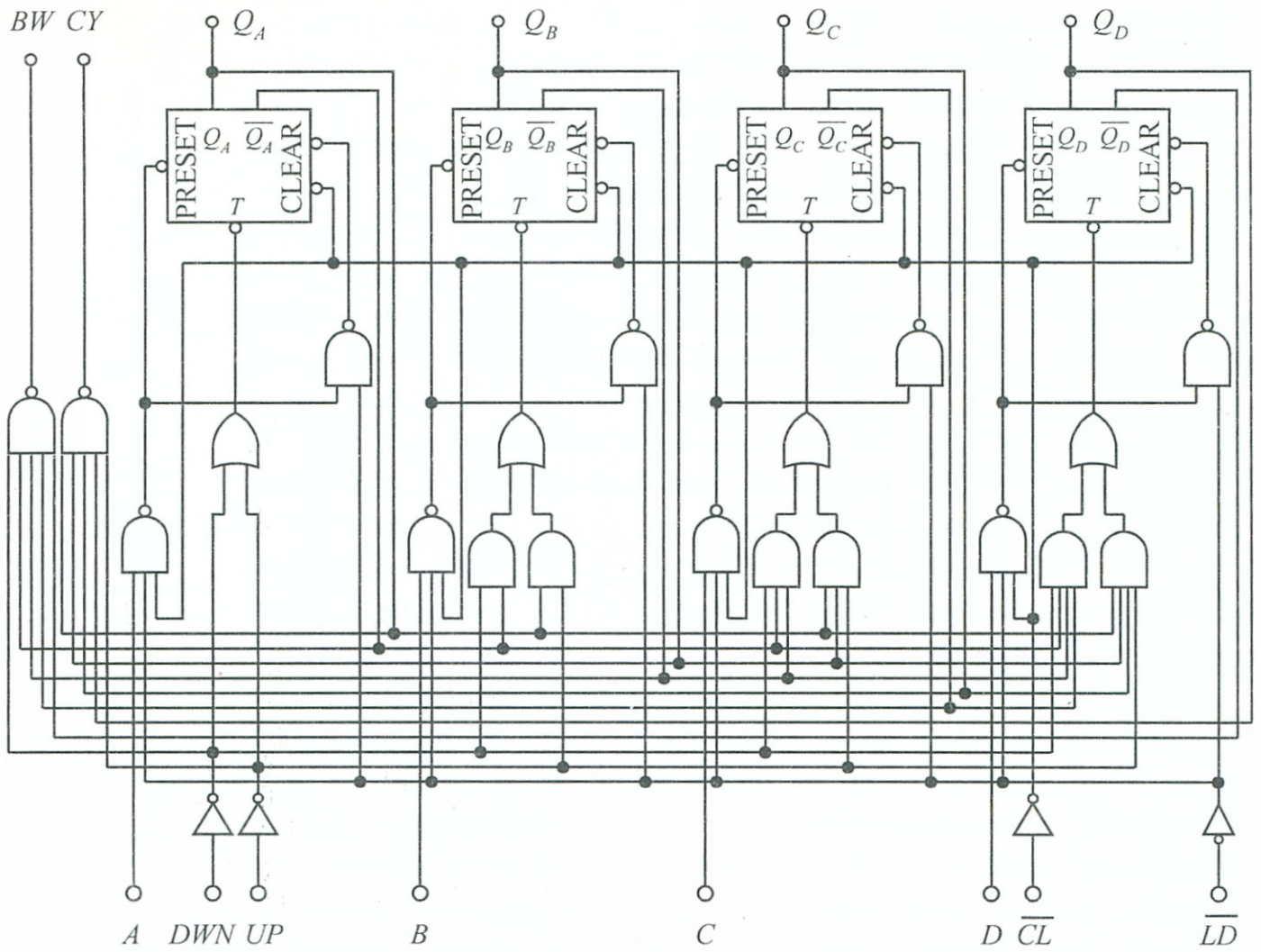
Kitölthető ezután a 10-31b. ábrán látható rovatos állapottábla és ebből a 2. fejezet 2-25. ábráján D tárolóra bevezetett

$$D_T = Q_{T+1} \quad (10.16)$$

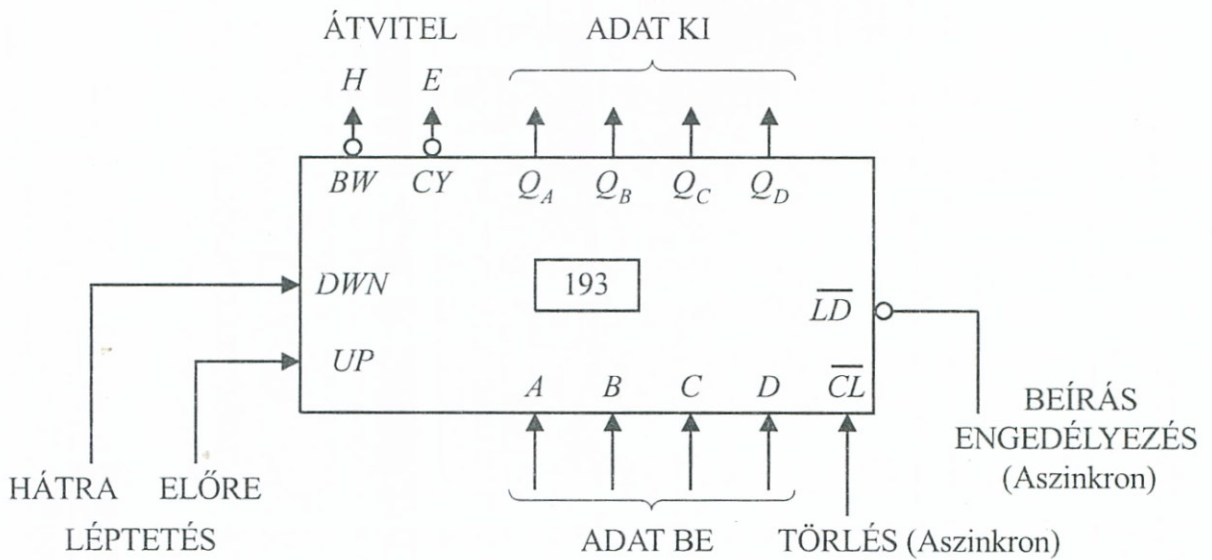
összefüggés felhasználásával a tárolóelemek  $D_i = f(Q_A, Q_B, Q_C)$  függvényei is felírhatók V-K táblán egyszerűsítve a 10-31c. ábra szerint. Végül a 10-31d. ábrán felrajzoltuk a számláló részletes logikai vázlatát, melyet elláttunk aszinkron törlési (CL) lehetőséggel is.

#### 10.5.4. Reverzibilis számlálók

A reverzibilis számlálók elvi felépítése főként abban tér el például a 10-28. ábrán felrajzolttól, hogy itt az előre, ill. hátra-irányok működtetéséhez két:  $KH_{előre}$  ill.  $KH_{hátra}$  kombinációs hálózatot kell alkalmaznunk, melyek aktivizálása az *előre*-választó (UP), ill. a *hátra*-választó (DOWN) vezérlő bemenetekkel történik, kizárásos ala-



a)



b)

10-32. ábra  $M = 16$  – szinkron-párhuzamos-binér-reverzibilis számlánc



pon. A kétféle működési irány miatt mindkét átvitel típus (CARRY, BORROW) külön kimenetekkel rendelkezhet.

*Szemléltető példaként* a 10-32a. ábrán egy „193” típusú  $M = 16$  – szinkron – párhuzamos – binér – reverzibilis számláló modult rajzoltunk fel némi egyszerűsítéssel. A kapcsoláson belül jól elkülöníthető az UP-COUNT (UP), illetve a DOWN-COUNT (DWN) bemenetekkel aktivizálható  $KH_{\text{előre}}$  ill.  $KH_{\text{hátra}}$  kombinációs hálózatrész és megtalálhatók az előre átvitel (CY), ill. hátra átvitel (BW) csatlakozások.

A 10-32b. ábrán felrajzoltuk a számlánc csatlakozási vázlatát is.

### 10.5.5. Számlálók kialakítása adott feladatra

A számlálók konkrét feladatnál történő alkalmazására két út kínálkozik. Az *első* változatnál a kívánt kapacitásra (modulusra) egyedileg tervezünk számláló hálózatot a szekvenciális hálózat tervezés módszereivel. A *második* változatnál felhasználjuk a kereskedelmi forgalomban kapható modulokat és ezeket „módosítjuk” az adott feladatnak megfelelően. Itt két probléma adódhat a felhasználandó számlánc modulusa ( $M_s$ ) és az adott feladat által kívánt modulus ( $M_k$ ) alapján:



$$\left. \begin{array}{l} \text{a) } M_s > M_k \text{ esetén: ciklus rövidítés} \\ \text{b) } M_s < M_k \text{ esetén: bővítés} \end{array} \right\} \quad (10.17)$$

szükséges. Vizsgáljuk meg mindkét esetet:

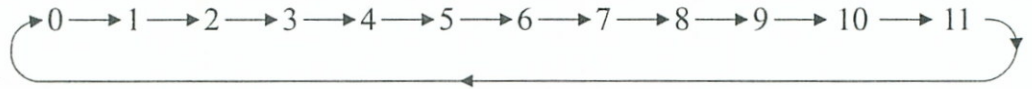
#### a) Ciklus-rövidítés

A számláló ciklusának rövidítése valójában a modulus csökkentését jelenti. Ezt legtöbbször *logikai visszacsatolás* alkalmazásával valósítjuk meg, oly módon, hogy a visszacsatoló ágat a CL, ill. LD csatlakozásokra visszavezetve, a számlálót nem hagyjuk végigmenni az elvileg lehetséges teljes cikluson. A visszacsatoló ág egy olyan ÉS feltételből indul, mely az új  $M_k$  modulusnak felel meg. Itt külön kell figyelniük arra, hogy a CL, ill. LD bemenetek szinkron vagy aszinkron természetűek-e, ugyanis a visszacsatolási *ÉS feltétel kódja*:

$$\left. \begin{array}{l} \text{a) szinkron CL ill. LD esetén: } N_{vs} = K_u \\ \text{b) aszinkron CL ill. LD esetén: } N_{va} = K_u + 1 \end{array} \right\} \quad (10.18)$$

kell, hogy legyen, ahol  $K_u$  a ciklusból való kiugrás kódértéke.

Vizsgáljuk meg a 10-29b. ábra moduljából kiindulva a visszacsatolás kialakítását  $M_s = 16$  modulusú – binér előreszámlálót feltételezve, olyan esetre, midőn a kívánt ciklus:



Vizsgáljuk meg a szinkron és aszinkron változatot is.

A kívánt modulus a ciklus alapján:  $M_k = 12$ . Miután  $M_s > M_k$ , ezért *ciklus rövidítést* kell alkalmaznunk. Mivel a ciklus tartalmazza a 0 – 0000 állapotot is, ezért a visszacsatolást a CL bemenetre vezethetjük vissza. (Ha a 0 nem volna a ciklusban, akkor az LD bemenetet kellene értelemszerűen használnunk.) A szinkron, ill. aszinkron működésű CL-et feltételező két változatot a 10-33. ábrán rajzoltuk fel az  $\bar{E}S$  feltétel kódjának fent részletezett beállításával,  $K_u = 11$  behelyettesítésével:

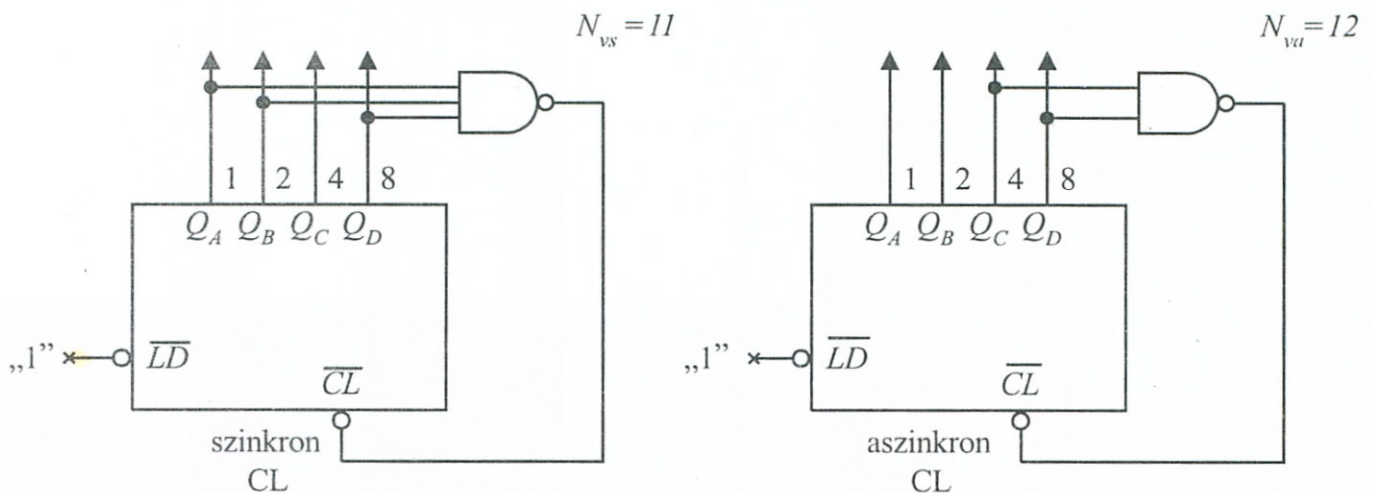
$$N_{vs} = 11$$

$$N_{va} = 11 + 1 = 12$$

A nem használt bemeneteket közömbös állapotba kell állítanunk. (Pl.:  $\overline{LD} = 1$  (H))

b) *Ciklus-bővítés*

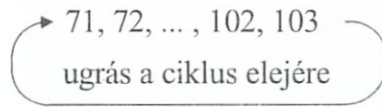
A számláló ciklusának bővítése a modulus növelését jelenti, azaz a feladatot *több modul-elem* összerakásával kell megoldanunk. Itt felhasználásra kerülhetnek az adott modul áramkör átvitelével kapcsola-



10-33. ábra *Ciklusrövidítés szinkron ill. aszinkron CL bemenetnél*

tos csatlakozásai is (pl. RC, EP, ET stb.). Vizsgáljuk meg a bővítést egy összetettebb példa keretében.

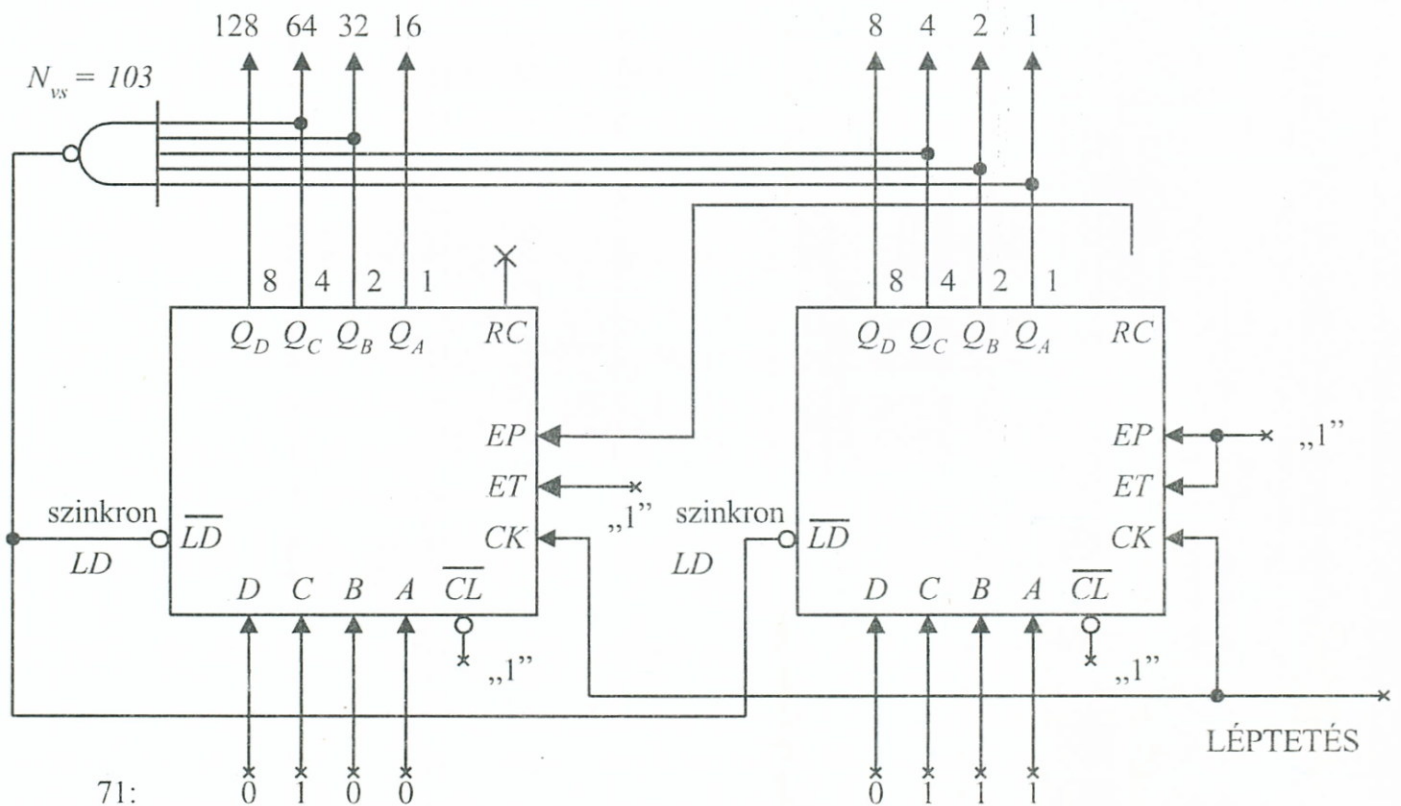
Gyakorlásul készítsünk egy olyan szinkron számlálóművet, amely az alábbi ciklusban dolgozik binér kódban:



Mint látható, a 0 nem szerepel a ciklusban, így a  $\overline{CL} = 1$  (H) bemenet-közömbösítést kell biztosítanunk. Mivel az egyes állapotokban felvett értékek kódolására egy négybites számlánc nem elegendő (a max. 103 érték miatt), két négybites binér láncot kell bővített formában összekapcsolnunk (10-34. ábra). A ciklus 71-ből indulva lépked előre 103-ig, majd ennek elérését követően ugrik vissza 71-re. A vissza-csatolási ÉS feltétel kódja binárisan 8 bit-en:

$$N_{vs} = 103_{10} = 01100111_2$$

Ezt a kikapuzott értéket vezetjük vissza, mint párhuzamos beírás engedélyező jelet a feltételezetten szinkron típusú LD bemenetre, mely nyitáskor a nyolc párhuzamos Preset bemenetre kötött konstans:



10-34. ábra Ciklus bővítés szinkron LD bemenetnél

$$71_{10} = 01000111_2$$

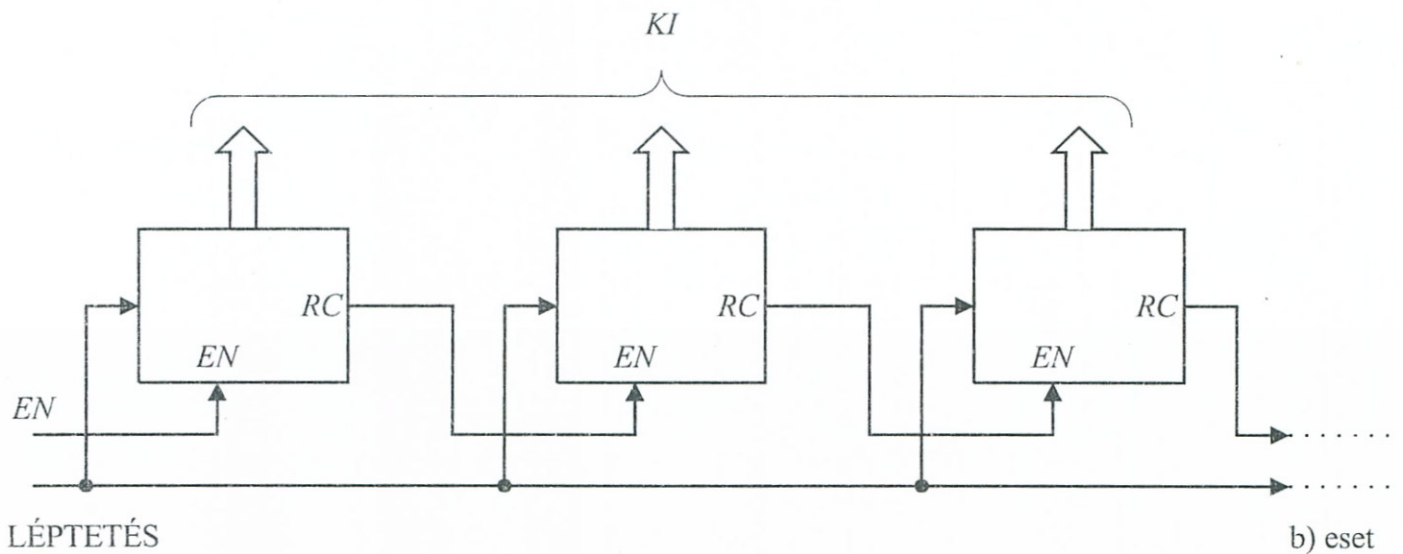
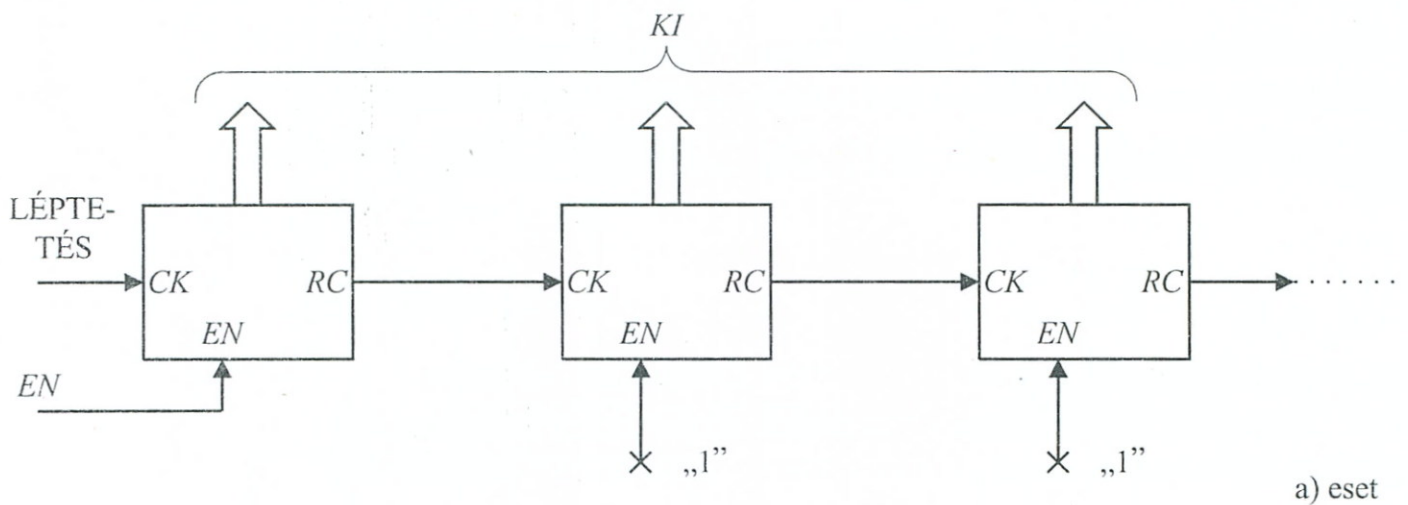
ciklusindító kódot írhatja be a bővített számláló tárolóiba. A következő léptető jelnél a működés innen folytatódik tovább.

c) *Bővítési változatok*

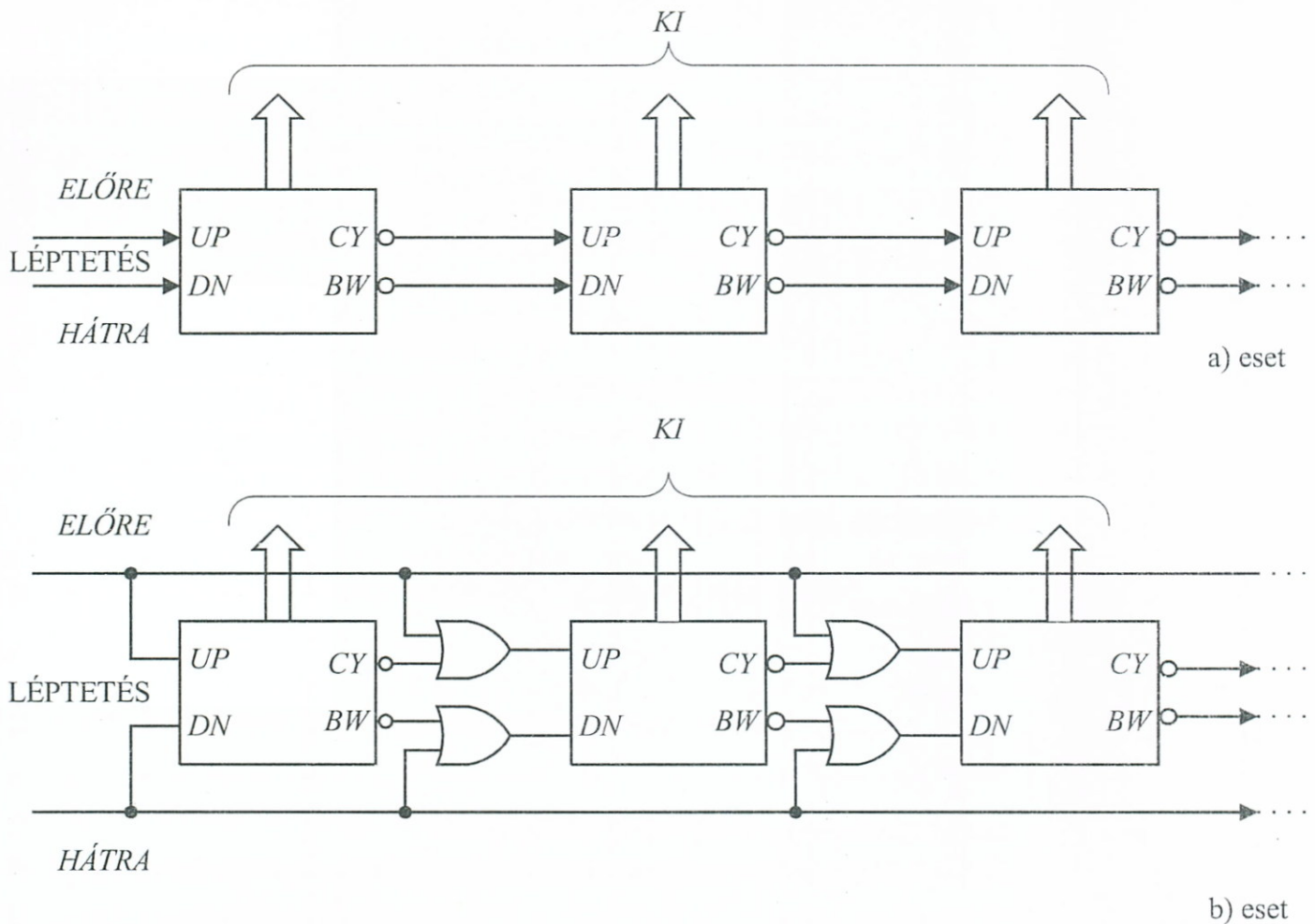
Az előző pontban bemutatott számlánc bővítésnek több elvi változata is elképzelhető:

I. Az *egyirányban* működő szinkron számlánc típusú eseteknél a 10-35. ábra szerinti elvi bővítési változatok képzelhetők el. Itt az

a) *eset*: az egyes modulok között *aszinkron* kapcsolatot létesít, az egyes bővítő fokozatok órajelét az előző modul átvitele szolgáltatja,



10-35. ábra Egyirányú számlánc elvi bővítési változatok



10–36. ábra Reverzibilis számlánc elvi bővítési változatok

b) eset: az egyes modulok egyszerre kapják órajeleiket, míg a következő fokozat engedélyezését az előző fokozat átvitele szolgáltatja.

II. A reverzibilis számlálókra bemutatott példabeli számlánc-típusnál a 10-36. ábra típusú bővítéseket alkalmazhatjuk. Itt az

a) eset: az egyes modulok soros láncolatát jelenti és rokonságban áll az előbbi I.a. esettel.

b) eset: itt ugyancsak az átvitel hozza létre a modulok közötti kapcsolatot, hasonlóan az I.b. esethez.

### 10.5.6. Számlálókkal felépített frekvencia-osztók

Digitális rendszerek kialakítása során gyakori feladat, hogy valamely adott frekvenciájú impulzus-sorozatot valamilyen alacsonyabb frekvenciájúra osszunk le. Ilyen feladat adódhat például nagy pontosságú kvarc oszcillátorok viszonylag nagy szaporaságú impulzus-sorozatának kívánt lassúságú órajellé konvertálása esetén stb. A szám-



láló hálózatok segítségével ez a „leosztás” nagy pontossággal és viszonylag egyszerűen elvégezhető.

Ha  $f_k$  = kimeneti-,  $f_b$  = bemeneti frekvencia és  $M$  = a számláló modulusa, akkor felírható:

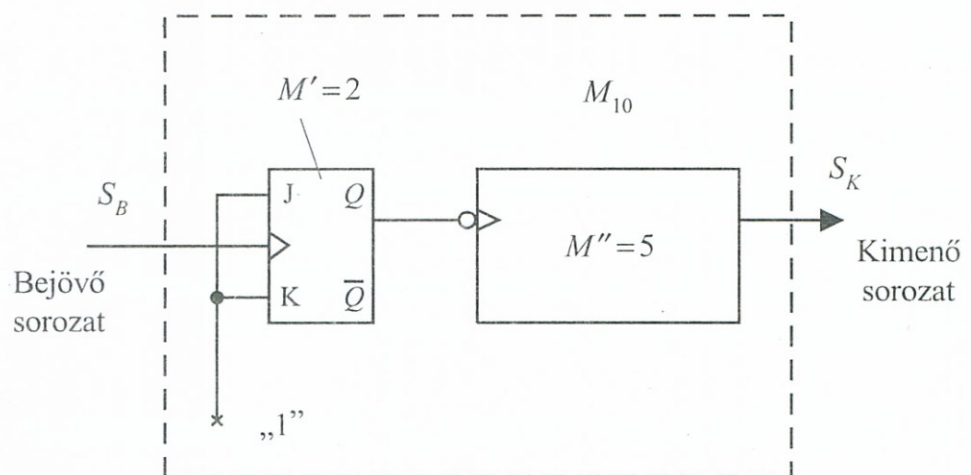
$$f_k = \frac{f_b}{M} \quad (10.19)$$

Már a tárolóelemek korábbi tárgyalásakor láthattuk, hogy egy T-tárolóelemnél (mivel a működtető órajelnek csak valamelyik jelhomlokára billent) a Q kimeneten jelentkező 1-esekből álló impulzusorozat frekvenciája a  $f_{ele}$  volt a T bemenetre érkezőének. A T-tárolóelemet ezért a legegyszerűbb (1:2 arányú) frekvencia-osztónak tekinthetjük.

A különféle osztásarányok előállításához felhasználhatók a számlálók ciklus-rövidítésével és bővítésével kapcsolatosan korábban elmondottak.

Általános szabály, hogy az osztási tényezőt *törzstényezők*re kell bontani és az egyes törzstényezőknek megfelelő osztóláncokat *sorba* kell kapcsolni, ekkor valójában a modulusok szorzata állítja elő az osztási tényezőt. Ilyen esetre mutat példát a 10-37. ábrán bemutatott  $M_{10} = M_2 \times M_5$  felépítésű számlánc.

Az ábrán az első fokozat egy J–K tárolóból kialakított T tároló, ez mint említettük, egy felező osztó, a második fokozat valamely  $M'' = 5$  modulusú számlánc.



Eredő modulus:  $M = 2 \times 5 = 10$

Kimenő frekvencia:  $f_k = \frac{f_B}{M} = \frac{f_B}{10}$

10-37. ábra

A frekvenciaosztók kialakításánál, külön feladatot jelent a kimeneti (leosztott frekvenciájú) impulzus-sorozat 1-0 (Jel–Szünet) viszonya, mivel ezek általában nem egyformák. Ha az egyenlőség igény, akkor például egy gyakran alkalmazott megoldásnál a sorbakapcsolásokat – lehetőség szerint – úgy csoportosítják, hogy a kimenetre csatlakozó fokozat egy  $M = 2$ -es osztó legyen.

A 10-37. ábra-beli példánál, ha a két fokozat sorrendjét felcseréljük, akkor a kimenő frekvencia nem változik, viszont az  $S_k$  sorozat jel–szünet viszonya 1:1-re alakul.

Bonyolultabb esetként vizsgáljuk meg azt az osztási esetet, midőn az osztási tényező olyan, hogy ugyan nem hatványa 2-nek, de eggyel csökkentve már egy  $2^n$  értékkel lesz egyenlő.

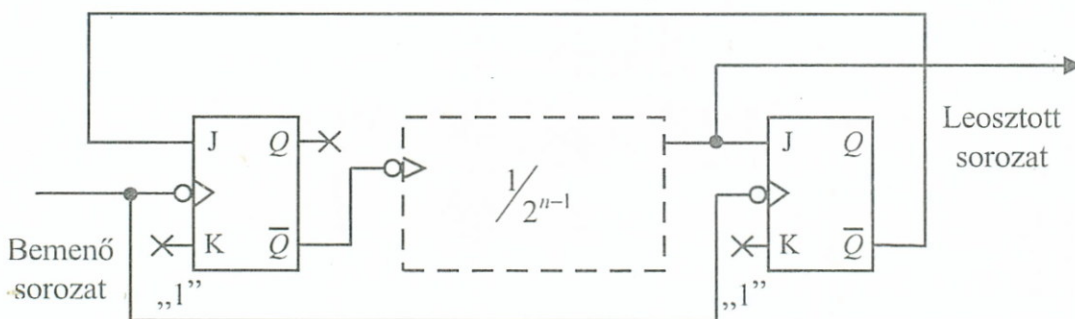
Ilyen esetben jól alkalmazható a 10-38. ábra elvi vázlata, melynél logikai visszacsatolást is beiktattunk.

Végezetül visszautalunk a 10-27. ábra binér számláncára, mint frekvencia-osztóként értelmezett példára. Ennek a bemenethez legközelebbi tárolójának kimenetén fél-, a második tárolón negyed-, a harmadikon nyolcad... (stb.) frekvenciájú jelek jelennek meg a  $B$  bemenethez viszonyítottan, azaz:

$$f_{QA} = \frac{f_B}{2}$$

$$f_{QB} = \frac{f_B}{4}$$

$$f_{QC} = \frac{f_B}{8}$$



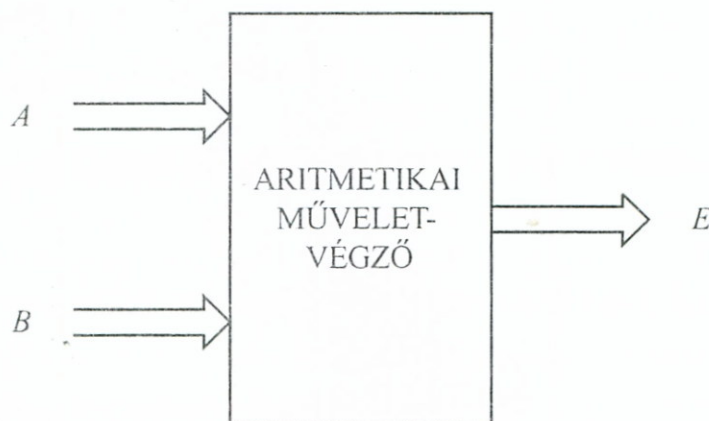
10-38. ábra  $1:2^n+1$  frekvenciaosztó elvi vázlata

## 10.6. Aritmetikai műveletvégzők



Aritmetikai műveletvégzés mind digitális, mind analóg elven megvalósítható. Ebben a fejezetben a digitális aritmetika alapeseteivel foglalkozunk. Analóg műveletvégzőkkel a 4. fejezetben a *műveleti erősítő*knél találkoztunk.

Informatikai rendszerekben elsősorban digitális aritmetikai feladatok fordulnak elő. A digitális aritmetikai műveletvégzőket a 10-39. ábra kapcsán tanulmányozhatjuk:



10–39. ábra Aritmetikai műveletvégző elvi vázolata

A digitális műveletvégző az  $A$  és  $B$  bemenetekre érkező, valamilyen kódban kifejezett számokkal aritmetikai műveleteket végez (pl. összeadás-kivonás, szorzás, osztás stb.), és a kapott eredményt az  $E$  kimeneten jeleníti meg, ugyancsak valamilyen kód formájában. Az elvi ábra elsősorban *két operandusos* műveletekre utal, természetesen elképzelhetők több operandusos esetek is.

Az aritmetikai műveletek rendkívül sokfélék lehetnek, és az őket realizáló hardver egységek választéka is igen nagy, melyek tanulmányozásával a digitális rendszertechnika tématerület foglalkozik. Ebben a könyvben bevezető célzattal a digitális összeadás, -kivonás, -szorzás és -osztás alapjait mutatjuk be néhány példa keretében.

### 10.6.1. Számábrázolás

A digitális számokkal végzett műveletek elvégzésének módozatai a számábrázolás módjától függenek. A bináris számokat a digitális rendszereknél:

- fixpontos és
- lebegőpontos

elv szerint szokták ábrázolni.



### 10.6.1.1. Bináris fixpontos számábrázolás

A fixpontos ábrázolás azt jelenti, hogy a szám egész- és tört- részeit elválasztó „pont” (tizedes pont, bináris pont) a műveletek során állandó (fix) pozícióban marad. A fixpontos ábrázoláson belül az

- előjel – abszolútértékes és a
- komplementes

ábrázolásmódokat vizsgáljuk meg a továbbiakban.

#### a) Bináris „előjel-abszolútértékes” ábrázolás

Bináris számok esetén – miután a számot alkotó szimbólumok csak a 0, 1 értékekre korlátozódnak, továbbá a számok ábrázolására felhasznált fizikai eszközök túlnyomó többségükben kétállapotúak – az előjel ábrázolását is célszerű a 0, 1 szimbólumokkal elvégezni egy újabb „előjel-helyérték” bevezetésével, melynél általában a következő összerendelést alkalmazzuk:

- 0 – pozitív
- 1 – negatív

Például, írjuk fel az  $N_1 = -21_{10}$  és  $N_2 = +27_{10}$  decimális számokat és a megfelelő bináris számokat előjel-abszolútértékes ábrázolás-módban:

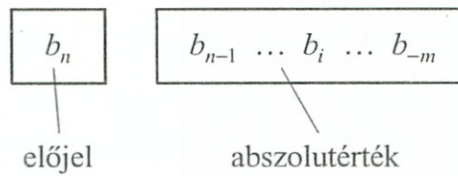
$$\begin{array}{r}
 N_1 = - \quad | \quad 21_{10} = 1 \quad | \quad 1 \ 0 \ 1 \ 0 \ 1_2 \\
 N_2 = + \quad | \quad 27_{10} = 0 \quad | \quad 1 \ 1 \ 0 \ 1 \ 1_2
 \end{array}$$

Általánosságban egy fixpontos bináris szám előjel-abszolútértékes ábrázolásban a következő formulával adható meg:

$$N = -b_n \cdot 2^n + \sum_{i=-m}^{n-1} b_i \cdot 2^i \quad (10.20)$$

ahol:  $m$  – a tört rész számjegyeinek száma  
 $n$  – az egész rész számjegyeinek száma  
 $b_i$  – a számjegy szimbólum, melyre fennáll:  
 $0 \leq b_i \leq 1$

továbbá:  $b_n = 0$  pozitív számnál  
 $b_n = 1$  negatív számnál.



**10–40. ábra** Előjel-abszolútértékes ábrázolás

Ez megfelel a (már kissé a későbbi realizációra is utaló) 10-40. ábrának.

Az előjel-abszolútértékes ábrázolásnál fel kell hívnunk a figyelmet az ún. „kétféle nulla” problémájára, mely a (10.20) formulánál akkor áll elő, ha zérus abszolútérték mellett az előjel helyértéknél  $b_n$  helyébe vagy 0-át, vagy 1-et helyettesítünk. Az így fellépő pozitív, ill. negatív nulla a digitális rendszerek működésénél zavart okozhat, melyre alkalmanként külön figyelmet kell fordítani.

*Összeadás és kivonás előjel-abszolútértékes ábrázolásnál*

A bináris összeadás és -kivonás egy-helyértékes elvégzésének szabályait a 10-41. ábra művelettáblázataival adhatjuk meg.

A kivonási művelettáblázatoknál jól látszik, hogy olyankor, mikor a kisebbítendő eleve kisebb, mint a kivonandó, a kivonás csak úgy végezhető el, ha a kisebbítendőt a megelőző, eggyel magasabb helyér-

Összeadási esetek:

	0		1		0		1	OP 1
+	0	+	0	+	1	+	1	OP 2
	0		1		1		0	ÖSSZEG

átvitel (CARRY) a magasabb helyérték felé

Kivonási esetek::

	0		1		1		0	OP 1
-	0	-	0	-	1	-	1	OP 2
	0		1		0		1	KÜLÖNBSÉG

át hozat (kölcsonv. BORROW) a magasabb helyérték felől

**10–41. ábra** Művelettáblázatok bináris egyhelyértékes esetre

tékről „kölcsonvett” értékkel megnöveljük. Ezt a „kölcsonzós” módszert az iskolából már jól ismerjük, a tanult papír-ceruza módszeres kivonást annak idején lényegében így végeztük el. A gépi kivonást – különösen, ha a több helyértéknél fellépő „láncolódo kölcsonzések-re” gondolunk – nagyon nehézkesé tenné e módszer követése. Többek között emiatt és az előjel-abszlútértékes ábrázolásnál felvetődő más gondok (pl. az említett kétféle nulla stb.) elkerülésére vezetjük be a *komplementens*-en alapuló ábrázolást, mellyel a következő pontokban foglalkozunk.

### b) Ábrázolás „komplementens”-sel

Kiindulási példaként legyen adva egy fogyasztásmérő „villanyóránk”, mely mondjuk  $M = 10\,000$  kWó-ig tud mérni. Nevezzük ezt a határértéket *M-modulusnak*. Ha óránkon a fogyasztásérték jelenleg  $f = 3700$ , akkor az óra még:

$$k = M - f = 10\,000 - 3700 = 6300\text{-at}$$

tud számolni. A  $k$  értéket az  $f$  kiegészítőjének – *komplementensének* nevezük. Ügyelni kell arra, hogy a komplementens nem csak  $f$ -től, hanem  $M$ -től is függ:

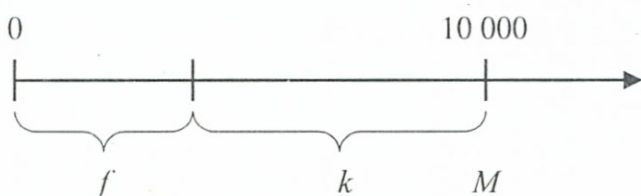
$$k = k(f, M)$$

Például:  $M' = 100\,000$  modulusú óránál ugyanarra az  $f = 3700$ -ra:

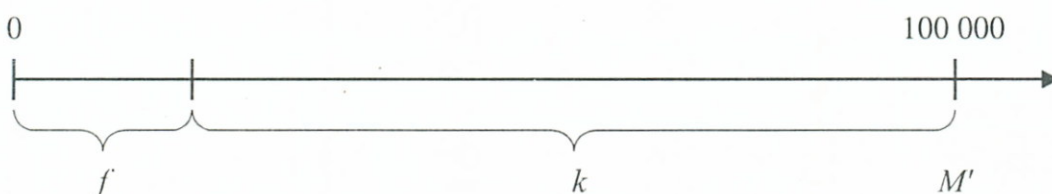
$$k' = M' - f = 100\,000 - 3700 = 96\,300$$

A komplementenset számegeyenesen is szemléltethetjük mindkét példabeli esetre a 10-42. ábra szerinti módon.

$M = 10\,000$ :



$M' = 100\,000$ :



10-42. ábra Komplementens a számegeyenesen

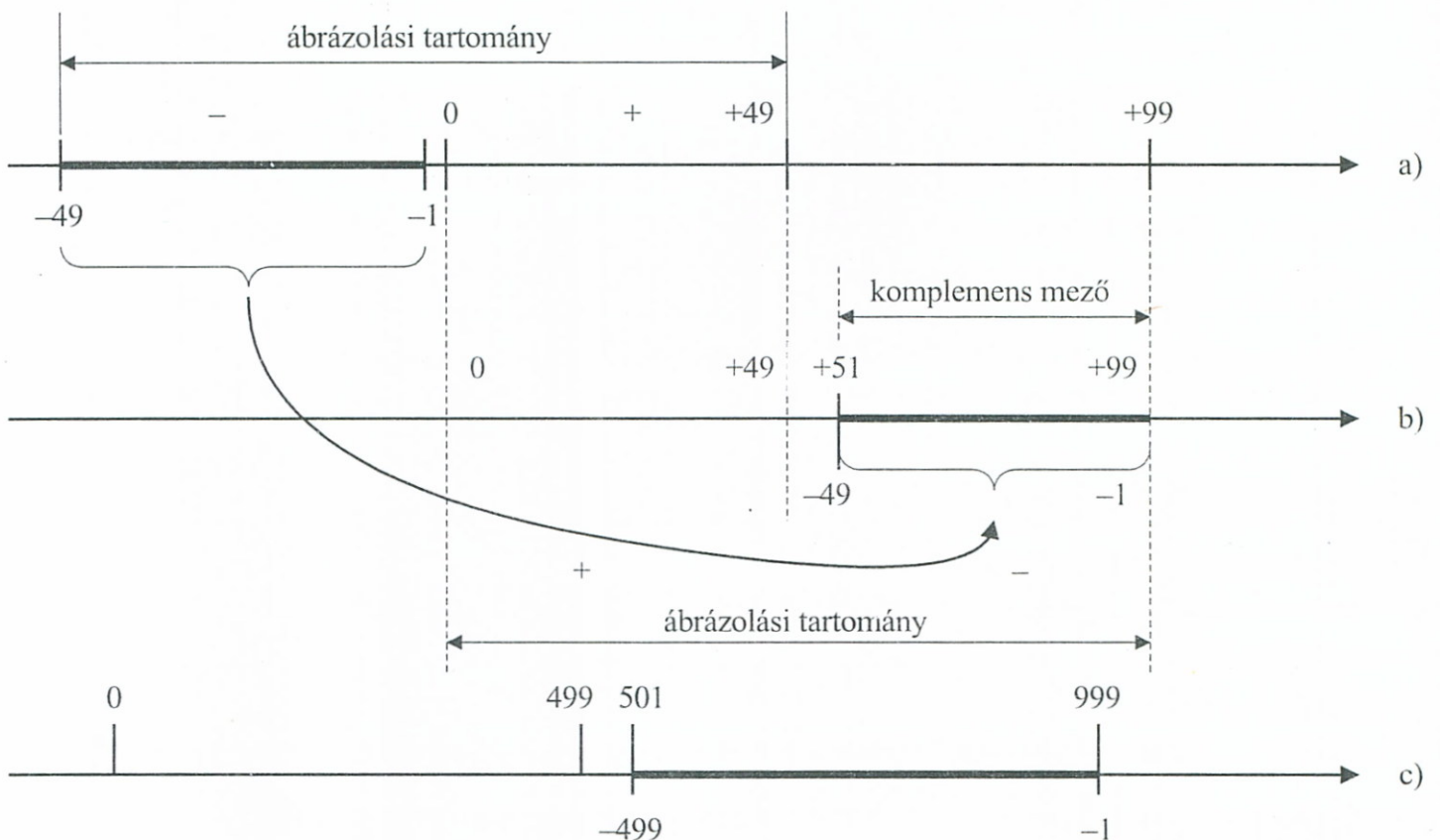
*A komplement használata negatív számok ábrázolására*

Példaként tegyük fel, hogy kéthelyértékes számokat akarunk ábrázolni, csak

$$-49\text{-től } +49\text{-ig}$$

a számegyenesen. Ez a megszokott előjel-abszolútértékes ábrázolásmódban a 10-43a. ábra szerint alakul. Már láttuk, hogy itt a 0-tól balra, ill. jobbra lévő zónákat csak külön beiktatott *előjel*-lel tudjuk megkülönböztetni. Ennek a „kényelmetlen” előjelnek kiküszöbölésére alkalom adódik, ha a  $-49$ -től  $-1$ -ig terjedő negatív tartományt, a 10-43b. ábra szerinti módon áthelyezzük a  $+51$ -től  $+99$ -ig terjedő komplement tartományba oly módon, hogy pl.  $-49$ -nek:  $+51$ , ...  $-1$ -nek:  $+99$ , azaz az ábrázolási tartomány szélességére jellemző modulusnak megfelelő komplementet feleltetünk meg. Ezzel a leképezéssel az ábrázolási tartományt teljes egészében a pozitív mezőbe helyeztük át, így az előjelekkel már nem is kell közvetlenül foglalkoznunk. Ebben az ábrázolásban pl. a 73-as szám láttán (az  $M = 100$ -as modulus hallgatóságos tudtával) automatikusan a  $-27$ -re ( $100 - 73$ )-ra gondolunk.

A példa kapcsán természetesen felvetődik a kérdés, mi lesz a komplement mezővel lefedett  $+50$  és e feletti kétjegyű számok sorsa.



**10-43. ábra** Komplement használata negatív szám ábrázolására

A probléma úgy hidalható át egyszerűen, ha az előbbinél nagyobb modulust választunk (pl.  $M = 1000$ -ret), azaz az ábrázolást kiterjesztjük három helyi értékre. Ilyenkor például a  $+65$  ábrázolásakor (mely  $M = 100$ -nál  $100 - 65 = -35$ -öt jelentene)  $065$ -öt kell írunk. A három helyi értékes ábrázolásnál az ábrázolható számtartományt  $-499$ -tól  $+499$ -ig tudjuk kiterjeszteni a 10-43c. ábrának megfelelően.

A példák általánosított tapasztalatai alapján felírhatók a komplementensekre vonatkozó alábbi összefüggések:

$$\left. \begin{array}{l} \text{pozitív szám: } N_K = N \\ \text{negatív szám: } N_K = M - |N| \end{array} \right\} \quad (10.21)$$

### Bináris számábrázolás komplementens felhasználásával

A (10.20) összefüggést bináris előjel-nélküli egész számra alkalmazva felírható:

$$N = \sum_{i=0}^{n-1} b_i \cdot 2^i \quad (10.22)$$

Ha *inverz bináris szám*-nak nevezzük azt a számot, melyet az eredetiből úgy kaptunk, hogy minden  $\bar{b}_i$  eleme helyett annak ellentétjét (0 helyett 1-et és fordítva) -et helyettesítünk be, akkor az inverzre felírható:

$$N_I = \sum_{i=0}^{n-1} \bar{b}_i \cdot 2^i \quad (10.23)$$

Amennyiben az  $N + N_I$  összeget képezzük, akkor megkapjuk az adott helyérték-számmal elérhető legnagyobb számot, mely bináris esetünkben  $n$  darab 1-esből áll:

$$N + N_I = \sum_{i=0}^{n-1} b_i \cdot 2^i + \sum_{i=0}^{n-1} \bar{b}_i \cdot 2^i = 2^n - 1$$

Például, ha:  $N = 101101_2$  ( $45_{10}$ ),  $N_I = 010010$

$$N + N_I = 101101 + 010010 = 111111_2$$

Ha az utóbbi összefüggést a (10.24) összefüggéssé alakítjuk át, megkapjuk a *bináris komplementens* kiszámítására alkalmas formulát:

$$-N = 2^n + \sum_{i=0}^{n-1} \bar{b}_i \cdot 2^i + 1 = -2^n + \underbrace{N_I + 1} \quad (10.24)$$

Itt, mint látható, az *előjel bit* ( $2^n$ ) negatív súlyozású. Egyidejűleg leolvasható a komplement számérték kiszámításának algoritmus is:

- I. lépés: képezzük az inverzet:  $N \rightarrow N_I$   
 II. lépés: hozzáadunk 1-et:  $N_I + 1$  (10.25)

Példaként írjuk fel  $N = 25_{10}$  bináris megfelelőjének komplementjét, amely (amennyiben a negatív számot a komplementtel fejezzük ki), egyben  $-25_{10}$  bináris megfelelője is.

A  $25_{10}$ -hez számértékileg elegendő lenne 5 bináris helyi érték, mivel az ezen ábrázolható legnagyobb szám:  $11111_2 = 31_{10} > 25_{10}$ . Ebbe a modulusba azonban a komplement ábrázolás már nem férne bele, ezért legalább 6 helyi értékkel kell ábrázolnunk. Itt:

$N = 25_{10} =$	0	1	1	0	0	$1_2$	Eredeti szám
	$2^5$	$2^4$	$2^3$	$2^2$	$2^1$	$2^0$	
	32	16	8	4	2	1	
I. lépés: $N_I$	1	0	0	1	1	$0_2$	Inverz
II. lépés: +1	+0	0	0	0	0	$1_2$	
$N_K = -N$	1	0	0	1	1	$1_2$	Komplement

↓  
előjel helyérték

Mint látjuk, az előjel helyérték alapján, az eredmény valóban negatív. Ezt különben számszerűen is ellenőrizhetjük, ha a (10.24) formula negatív súlyozású legnagyobb előjel-helyértékét figyelembe véve, újra decimálisba számítjuk át a kapott  $N_K$  eredményt:

$$N_K = -1 \cdot 2^5 + 0 \cdot 2^4 + 0 \cdot 2^3 + 1 \cdot 2^2 + 1 \cdot 2^1 + 1 \cdot 2^0 = -32 + 0 + 0 + 4 + 2 + 1 = -25$$

A példánál azt is szemléltethetjük, hogy  $N$ -hez  $N_K$ -t hozzáadva egy helyi értékkel nagyobb számhoz jutunk, mely jelen esetben a modulusra is utal:

$$\begin{array}{r|l} N = & \vdots 0 1 1 0 0 1_2 \\ N_K = & \vdots 1 0 0 1 1 1_2 \\ \hline & 1 \vdots 0 0 0 0 0 0 \end{array}$$

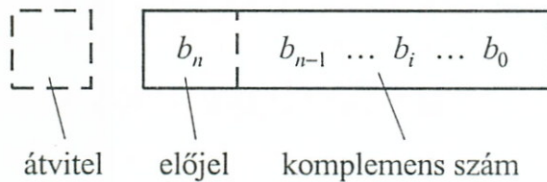
*Kivonás visszavezetése összeadásra*

Fentiek alapján a továbbiakban két pozitív szám kivonását, mint egy pozitív és egy negatív szám összeadását értelmezzük és a komplement alkalmazásával a feladatot kizárólag pozitív előjelű mennyiségek tartományába visszük át.

*Bináris összeadás-kivonás komplement ábrázolásmódban, túlcsoordulás*

Az előzőekben már láttuk, hogy komplement ábrázolásmódnál – lényegében – csak összeadással kell foglalkoznunk. Vezessük be az ábrázoláshoz a 10-44. ábrát, mely első látásra hasonlít ugyan az előjel-abszolútértékes ábrázolás 10-40. ábrájához, de értelmezése valójában teljesen eltér attól, mivel a (10.21) összefüggéseken és a (10.24) formulán alapul. Az átvitel ábrázolása csak azért történt, hogy a következő szemléltető-példákkal jobban összhangban lehessünk.

További megfontolások érdekében tekintsünk adottnak két operandust (pl.  $N_1 = 3_{10}$  és  $N_2 = 6_{10}$ ), végezzünk velük összeadást mind a négy lehetséges előjelkombináció feltételezésével, a 10-44. ábra szerinti ábrázolásmódban:



**10-44. ábra** Komplement bináris számábrázolás

*I. eset:*  $N_1$  és  $N_2$  egyaránt pozitív

$$\begin{array}{r}
 N_1 = +3_{10}: \quad 0 \dot{\vdots} 0 \ 0 \ 1 \ 1_2 \\
 N_2 = +6_{10}: \quad 0 \dot{\vdots} 0 \ 1 \ 1 \ 0_2 \\
 \hline
 \text{Összeg} = +9_{10} \quad 0 \dot{\vdots} 1 \ 0 \ 0 \ 1_2 \\
 \qquad \qquad \qquad \downarrow \\
 \qquad \qquad \qquad \text{pozitív az eredmény}
 \end{array}$$

## 10. Funkcionális egységek

II. eset:  $N_1$  negatív és  $N_2$  pozitív

$$\begin{array}{r|l}
 N_1 = -3_{10}: & 1 \vdots 1 \ 1 \ 0 \ 1_2 \rightarrow \text{komplementes, a negatív előjel} \\
 N_2 = +6_{10}: & 0 \vdots 0 \ 1 \ 1 \ 0_2 \quad \text{miatt: } 0 \vdots 0 \ 0 \ 1 \ 1 \\
 \hline
 \text{Összeg} = +3_{10}: & 1 \vdots 0 \ 0 \ 0 \ 1 \ 1_2 \\
 & \swarrow \quad \searrow \\
 & \text{pozitív eredmény}
 \end{array}$$

most érdektelen átvitel

III. eset:  $N_1$  pozitív és  $N_2$  negatív

$$\begin{array}{r|l}
 N_1 = +3_{10}: & 0 \vdots 0 \ 0 \ 1 \ 1_2 \\
 N_2 = -6_{10}: & 1 \vdots 1 \ 0 \ 1 \ 0_2 \rightarrow \text{komplementes ismét a negatív} \\
 \hline
 \text{Összeg} = -3_{10}: & 1 \vdots 1 \ 1 \ 0 \ 1_2 \quad \text{előjel miatt: } 0 \vdots 0 \ 1 \ 1 \ 0 \\
 & \searrow \quad \downarrow \\
 & \text{az eredmény negatív!} \\
 & \text{helyességét visszakomplementálással ellenőrizhetjük:} \\
 & 1 \vdots 1 \ 1 \ 0 \ 1 \\
 & \quad \quad \downarrow \\
 & 0 \vdots 0 \ 0 \ 1 \ 0 \\
 & +0 \vdots 0 \ 0 \ 0 \ 1 \\
 & \hline
 & 0 \vdots 0 \ 0 \ 1 \ 1 \rightarrow \text{tehát 3, mely természetesen negatív 3}
 \end{array}$$

IV. eset:  $N_1$  és  $N_2$  egyaránt negatív

$$\begin{array}{r|l}
 N_1 = -3_{10}: & 1 \vdots 1 \ 1 \ 0 \ 1_2 \rightarrow \\
 N_2 = -6_{10}: & 1 \vdots 1 \ 0 \ 1 \ 0_2 \rightarrow \\
 \hline
 \text{Összeg} = -9_{10}: & 1 \vdots 1 \ 0 \ 1 \ 1 \ 1_2 \\
 & \swarrow \quad \searrow \\
 & \text{most érdektelen átvitel} \quad \text{az eredmény negatív!} \\
 & \text{Ellenőrző visszakomplementálás:} \\
 & 1 \vdots 0 \ 1 \ 1 \ 1 \\
 & \quad \quad \downarrow \\
 & 0 \vdots 1 \ 0 \ 0 \ 0 \\
 & +0 \vdots 0 \ 0 \ 0 \ 1 \\
 & \hline
 & 0 \vdots 1 \ 0 \ 0 \ 1 \rightarrow \text{negatív 9-nek felel meg}
 \end{array}$$



Végezetül egy példa, amely az ún. *túlcsordulás* (overflow) jelenségére hívja fel a figyelmet. Ez a jelenség valójában a kicsinek választott modulus következménye:

Legyen:  $N_1 = 8_{10}$ ,  $N_2 = 9_{10}$

$$\begin{array}{r} N_1 = +8_{10}: 0 \vdots 1 \ 0 \ 0 \ 0_2 \\ N_2 = +9_{10}: 0 \vdots 1 \ 0 \ 0 \ 1_2 \\ \hline \end{array}$$

$$\text{Összeg} = +17_{10}: 1 \vdots 0 \ 0 \ 0 \ 1_2$$

számszerűen rossz!  
látszólag negatív, ami téves, mert két pozitívot adtunk össze!

Modulus (helyértékszám) növeléssel:

$$\begin{array}{r} N_1 = +8_{10}: 0 \vdots 0 \ 1 \ 0 \ 0 \ 0_2 \\ N_2 = +9_{10}: 0 \vdots 0 \ 1 \ 0 \ 0 \ 1_2 \\ \hline \end{array}$$

$$\text{Összeg} = +17_{10}: 0 \vdots 1 \ 0 \ 0 \ 0 \ 1_2$$

Eredmény pozitív, és számszerűen is helyes!

### 10.6.1.2. Lebegőpontos számábrázolás

A lebegőpontos számábrázolás nagyobb tartományok lefedését és nagyobb számítási pontosság elérését teszi lehetővé. A számábrázolás itt a (10.26) formula alapján történik:

$$N = s, m \cdot r^k \tag{10.26}$$

ahol:  $N$  – az ábrázolt szám

$s$  – előjel

$m$  – mantissza

$r$  – radix, a számrendszer alapszáma

$k$  – karakterisztika (előjeles kitevő).

Mint látható, itt  $s, m$  révén a mantisszánál előjel-abszolútértékes ábrázolásmóddal találkozunk.

*Például:* a  $-519_{10}$ -es decimális számot megadhatjuk a következő módon (10.26) alapján:

$$-5, 19 \cdot 10^{+2},$$



ahol:  $N = 519_{10}$   
 $s = \text{negatív } (-)$   
 $m = 5, 19 \text{ (egész és törtrészekkel)}$   
 $r = 10$   
 $k = +2$

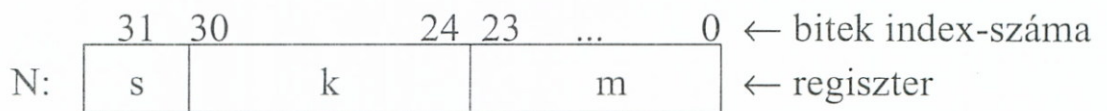
A digitális berendezéseknél (főként a számítógépeknél) célszerű a mantissza egész-, és tört részét összevonni a könnyebb kezelhetőség szempontjából. Példabeli esetünkben ennek érdekében a következő átalakítást végezhetjük:

$$-5,19 \cdot 10^{+2} = -0,519 \cdot 10^{+3}$$

Mint látható, ily módon az „egész” rész eltűnik (mindig „0” lesz) és a mantissza egy tizedes törtté alakul, melynél a tizedespont után közvetlenül egy nullától eltérő számjegy következik.

Az ilyen alakokat *normalizált* alakoknak nevezik és a számítástechnikában elterjedten alkalmazzák.

A digitális berendezéseknél természetesen *bináris* számokat használunk és ezeket *regiszterekben* helyezzük el. A lebegőpontos számokat kifejező (10.26) formulát ilyenkor közvetlenül nem alkalmazzuk. A problémát úgy oldjuk meg, hogy a számot tartalmazó regisztereknél az egyes szám-komponensek részére szektorokat alakítanak ki, melyek a számítások során, mindig ugyanazon elrendezésben maradnak a regiszterben. Egy ilyen szektoros regiszterbeli ábrázolást mutat példaként a 10.45. ábra:



itt:  $s$  – előjel : 1 bites (0 – pozitív, 1 – negatív)  
 $m$  – mantissza : 24 bites  
 $r$  – radix :  $r = 2$  (kettes számrendszer)  
 $k$  – karakterisztika : 7 bites

**10-45. ábra** Egy lebegőpontos regiszter-formátum

A 10.45. ábrán látható mantissza szektor 24 bites. Ez 25 bitesre tovább bővíthető azzal a megfontolással, hogy a mantissza bináris pont utáni *első* bitje eredendően, mindig „1”-es értékű. Ha ezt tudjuk, akkor ez a bit formálisan el is hagyható, így helyét egy további mantissza bittel feltölthetjük. Az ilyen ábrázolásmódot *implicit bites*-nek nevezzük.

Végül oldjunk meg egy szemléltető példát a 10.45. ábra szerinti formátum felhasználásával. Ábrázoljuk az:  $N = -1011_2$  számot.

$$N = -1011_2 = -0,1011 \cdot 2^4$$

$$s = 1 \text{ (negatív)}$$

$$m = 1011_2$$

$$k = 4 = 0000100_2$$

A regiszter tartalom:

	s	k			m				
N:	1	000	0100	1011	0000	0000	0000	0000	0000
	8	4	B	0	0	0	0	0	0

A rendkívül hosszú bináris kifejezéseket nehéz kezelni, ezért ezeket gyakran tetrádokra (négyes csoportokra) bontjuk és az egyes tetrádokat hexadecimális számjegyenként értelmezve a lebegőpontos számot egy HEXA számmal fejezzük ki. Esetünkben a kiindulatszám hexa formátumú lebegőpontos alakja:

$$N = 84B00000_{16} \text{ Hexa}$$

### 10.6.2. Bináris összeadók és kivonók

A következőkben az előző pontban összefoglaltakat hasznosító áramköröket tesszük vizsgálat tárgyává.

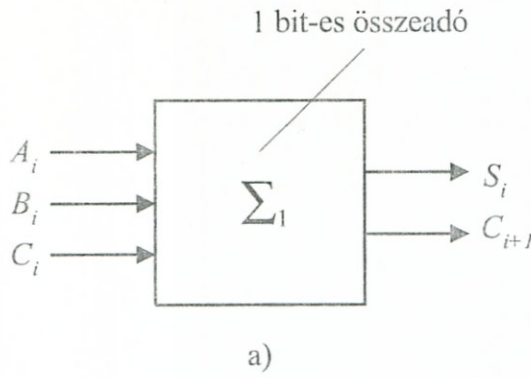


#### Egybites bináris összeadó

Vizsgáljuk meg a 10-46a. ábrán elvi vázlatával megadott  $1 \text{ bit-es}$  összeadó felépítését. Amennyiben ezt modul elemnek tekintjük, fel kell tételeznünk, hogy az  $A_i, B_i$  operandusok mellett a bemenetre érkezik egy alacsonyabb helyértéken átvitelként keletkezett  $C_i$  áthozat, továbbá a kimeneten az  $S_i$  összeg mellett egy  $C_{i+1}$  következő fokozat felé irányuló átvitel is megjelenik.

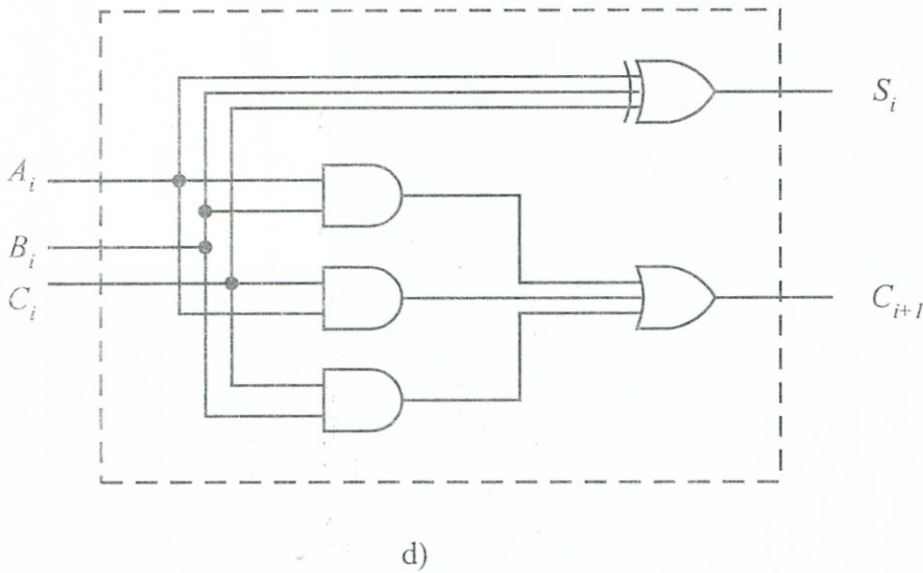
A hálózatra jellemző két  $(S_i, C_{i+1})$  kimeneti függvény logikai értéktáblázatát a 10-46b. ábrán adtuk meg a bináris összeadás 10-41. ábrán összefoglalt szabályainak felhasználásával. A táblázatból felírhatók az összeg és az átvitel függvényei a 10-46c. szerint, és egy realizációs logikai vázlat a 10-46d. ábrán került felrajzolásra.

A  $\sum_1$  1-bites összeadóból leszarmaztatható az u.n.  $\sum_{1/2}$  fél-összeadó, mely úgy keletkezik, hogy feltételezzük, hogy nincs  $C_i$  áthozat



$A_i$	$B_i$	$C_i$	$C_{i+1}$	$S_i$
0	0	0	0	0
0	0	1	0	1
0	1	0	0	1
0	1	1	1	0
1	0	0	0	1
1	0	1	1	0
1	1	0	1	0
1	1	1	1	1

b)



$$S_i = A_i \oplus B_i \oplus C_i$$

$$C_{i+1} = A_i B_i + A_i C_i + B_i C_i$$

c)

10-46. ábra 1 bit-es összeadó elve és működése

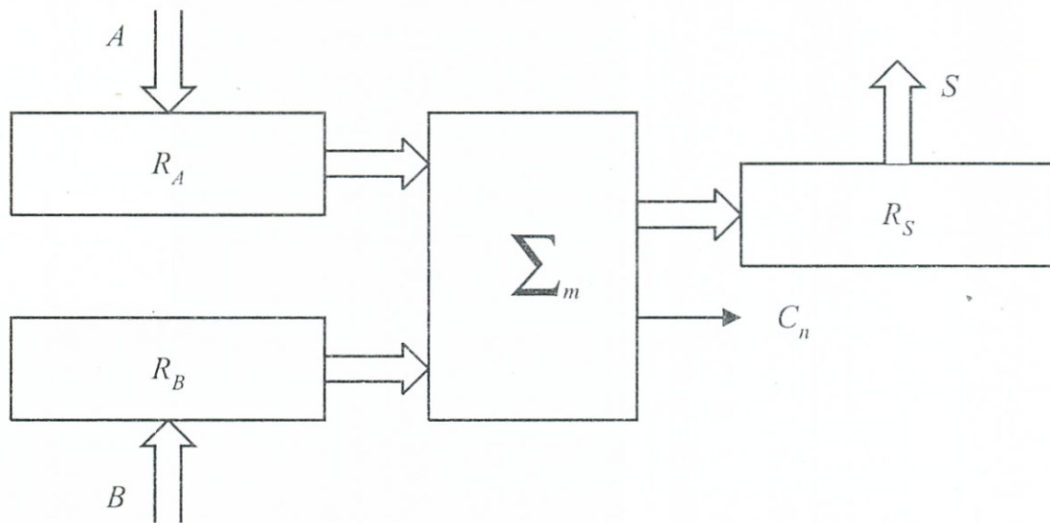
azaz ezt a bemenetet elhagyhatjuk a 10-46a. ábrából. Ezzel a módosítással a 10-46b,c,d ábrák is értelemszerűen egyszerűsödnek.

A több-bites összeadás megvalósítására soros- és párhuzamos elven felépített műveletvégzőket alkalmazunk.

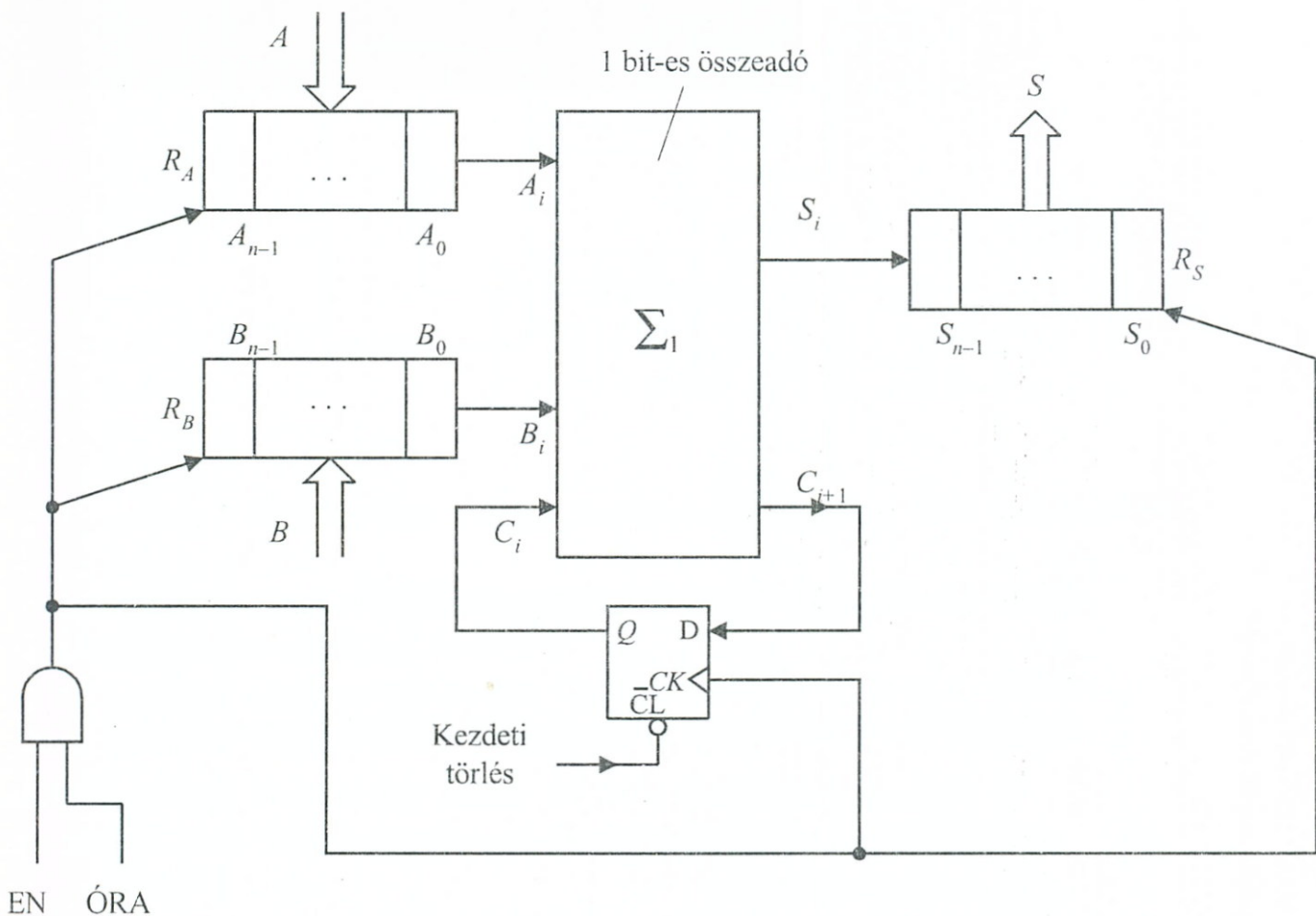
### 10.6.2.1. Soros elven működő összeadók

Soros összeadóknál a művelet az „A” és „B” kódszavak egyes szakaszaira időben eltolva történik. (10-47. ábra) Ezáltal a hosszú operandusok összeadásakor nem szükséges nagyobb kapacitású („n” bit-es összeadót) alkalmazni. Természetesen az összeadás soros elvégzése hosszabb időt vesz igénybe.

Az operandusokat 1 bitenként sorbaállító, 10-48. ábrán példaként felrajzolt kapcsolásnál az  $R_A$ ,  $R_B$  regiszterekbe előzetesen betöltjük az  $A$ ,  $B$  operandusokat, melyek legkisebb helyértéke van az összeadóhoz legközelebb.



10-47. ábra Soros elven működő összeadó vázlatja

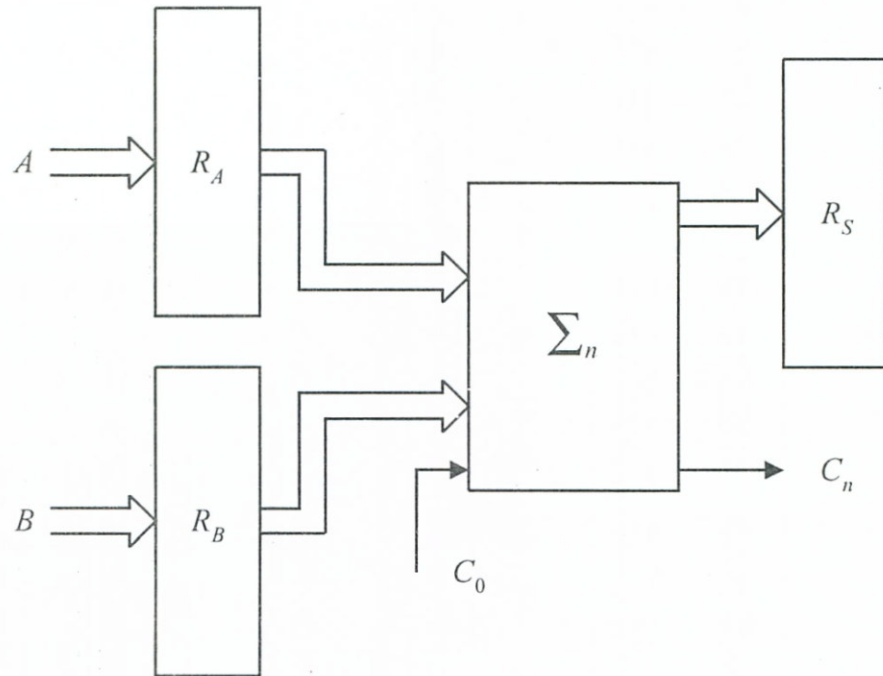
10-48. ábra Soros elven működő  $n$ -bit-es összeadó

Ezután az átvitelt előállító, visszacsatoló ág-beli  $D$ -tárolót töröljük a kezdeti  $C_0 = 0$  átvitel biztosítása céljából. Az összeadás az  $EN = 1$  engedélyezéssel indul, és minden órajel hatására a regiszterek jobbra lépnek, mialatt 1-1 bit összeadása történik meg. Az  $S_i$  összeg-bit az  $R_S$

regiszterbe lép be. Az  $n$ -edik lépést követően az  $EN = 0$  feltétellel a léptetést leállítjuk, az  $S$  összeg az  $R_S$  regiszterből kiolvasható lesz, míg a  $C_n$  átvitel a visszacsatoló hurokról vehető le. Az egy helyértéssel eltoló  $C_i$  áthozat itt időben szükséges 1 bit-nyi eltolódását a szinkron késleltetésként üzemelő  $D$ -tároló biztosítja.

### 10.6.2.2. Párhuzamos elvű összeadók

Párhuzamos összeadásnál a művelet az  $A$ ,  $B$  operandusok valamennyi bitjére egyidejűleg történik, így a műveleti idő lényegesen megrövidülhet (10.49. ábra).



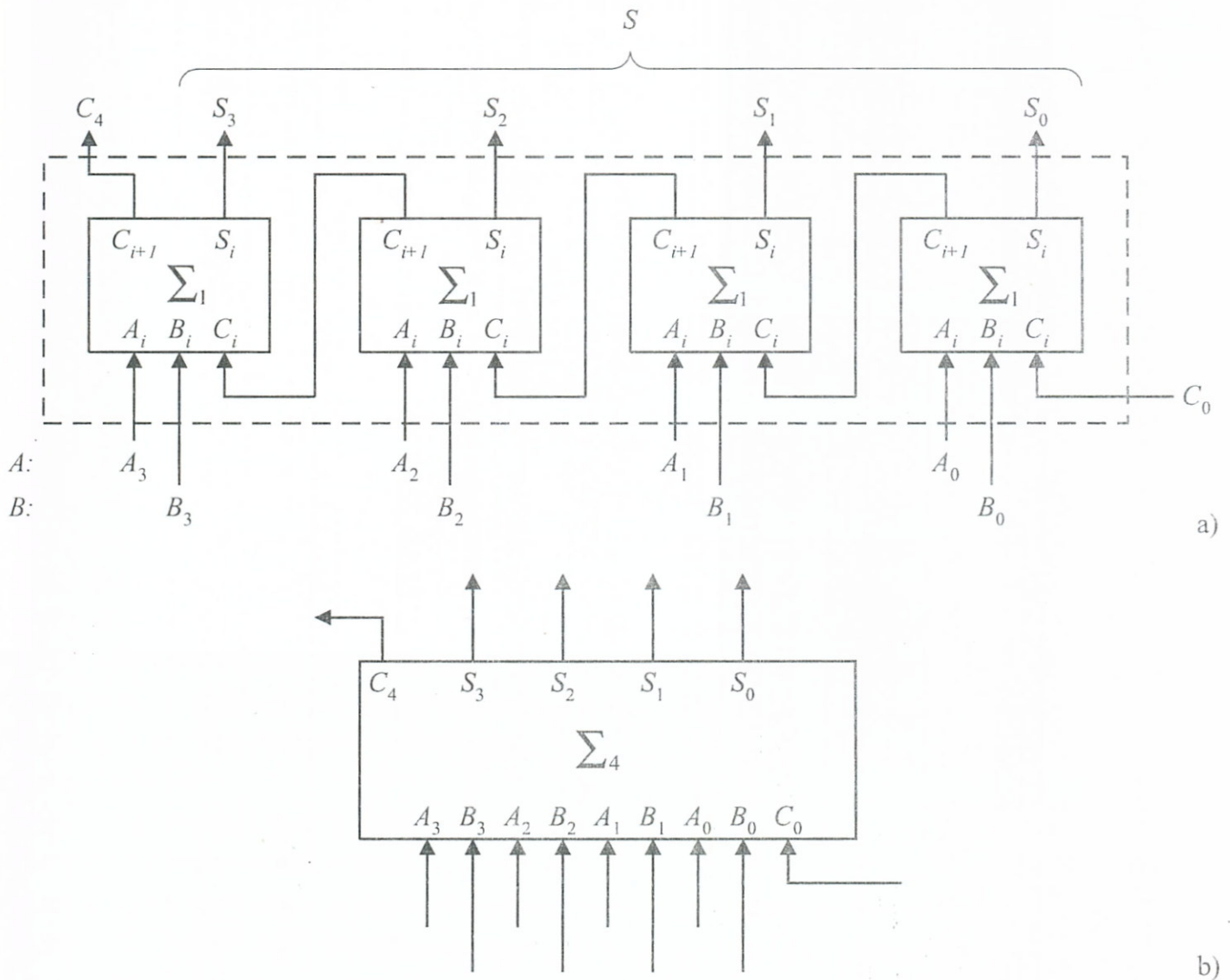
10–49. ábra Párhuzamos elven működő összeadó vázlat

#### a) RIPPLE–CARRY (sorosan terjedő) átvitelű összeadók

E változat működését a 10.50. ábrán bemutatott 4-bites párhuzamos összeadón tanulmányozhatjuk, melyet a 10.46. ábra 1 bites moduljaiból építettünk fel.

#### b) LOOK–AHEAD–CARRY elvű összeadók

A 10.50a. ábrán látható kapcsolás hátránya, hogy az átvitel „végigfutásához” számottevő terjedési idő kell, így az összeadás eredménye csak a tranziensek lezajlása után értékelhető. A soros átvitelből eredő hátrányt gyakran úgy kerülik meg, hogy az átvitelképzést kiemelik a modulokból és egy külön kombinációs hálózattal oldják



10–50. ábra 1 bit-es modulokból felépített 4 bit-es összeadó

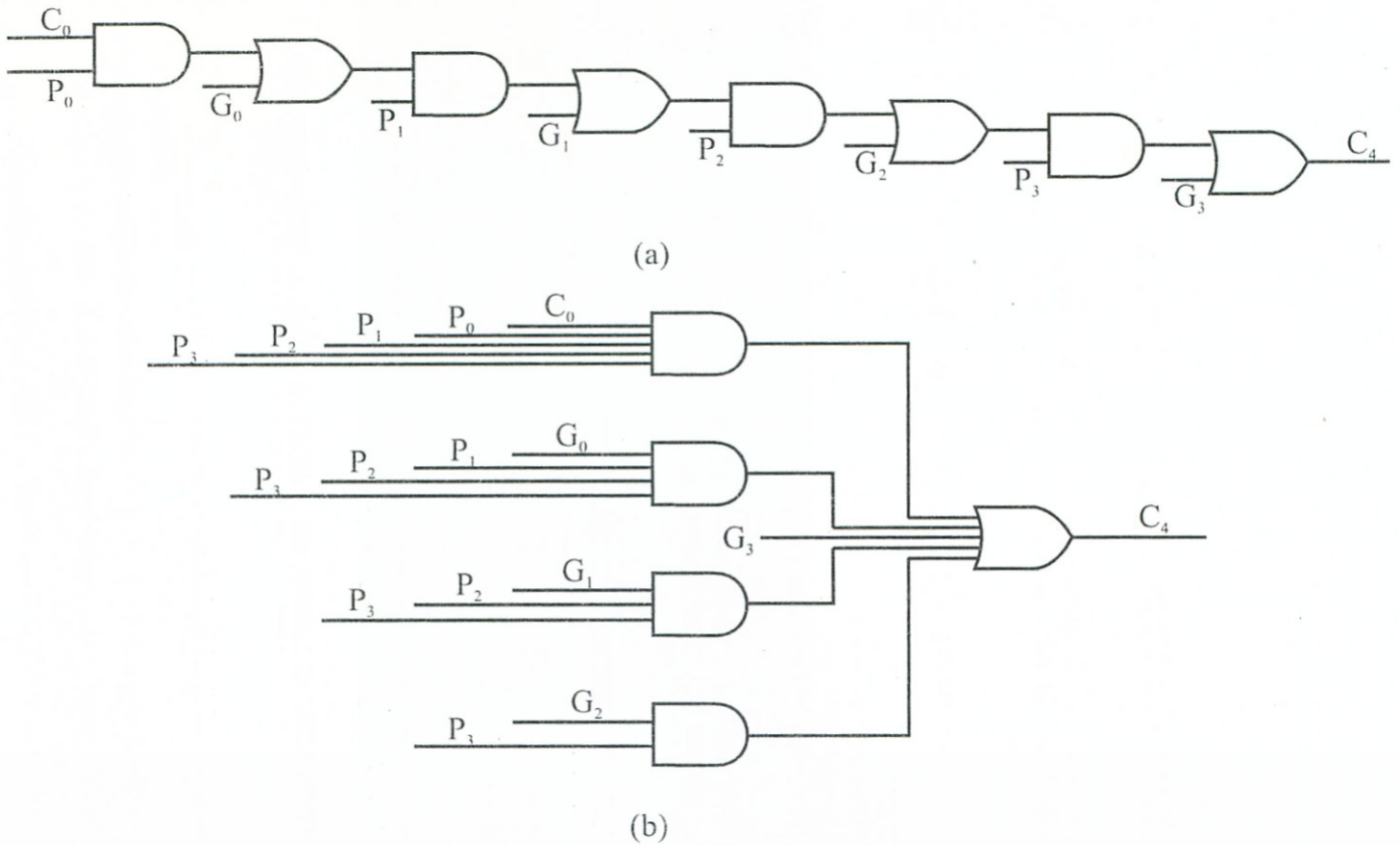
meg. Az ilyen elven működő összeadókát LOOK–AHEAD– CARRY-típusú műveletvégzőknek nevezik.

Ez utóbbi típus szemléltetése érdekében írjuk fel újra a 10.46c. ábra átvitelre vonatkozó összefüggését és alakítsuk át az alábbi módon:

$$C_{i+1} = A_i B_i + A_i C_i + B_i C_i$$

$$C_{i+1} = A_i B_i + (A_i + B_i) C_i = G_i + P_i C_i \quad (10.27)$$

Itt a  $G_i = A_i B_i$  függvényt *átvitelkeletkezési*, a  $P_i = A_i + B_i$  függvényt pedig *átvitelterjedési* feltételnek nevezik, ugyanis  $G_i = 1$  esetben az adott helyi értéken keletkezik átvitel,  $P_i = 1$  esetben pedig az alacsonyabb helyi értékről továbbterjed.  $G_i + P_i = 0$  esetben egyáltalán nem lesz átvitel, még akkor sem, ha az alacsonyabb helyi értéken



10 - 51. ábra. Ripple carry és look - ahead típusú átvitelképzés

ilyen volt. A (10.27) képlet rekurzív alkalmazásával s némi ügyes átrendezéssel kapjuk az alábbi összefüggést:

$$C_{i+1} = G_i + P_i G_{i-1} + P_i P_{i-1} G_{i-2} + \dots + P_i P_{i-1} \dots P_0 C_0 \quad (10.28)$$

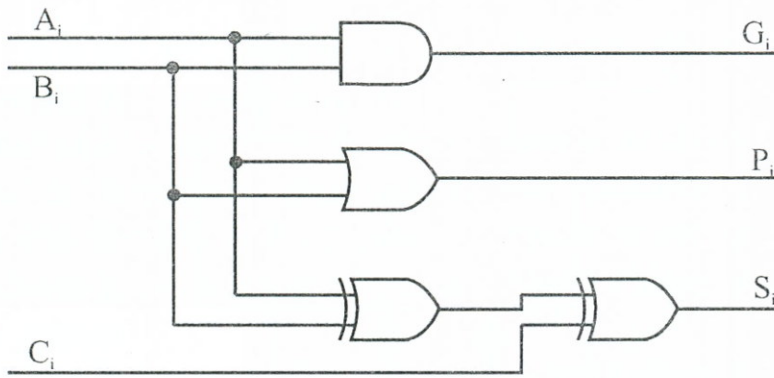
Ez a formula alkotja az alapját a LOOK-AHEAD-CARRYs megvalósításnak, ahol a párhuzamos összeadó egység átvitel kimenete igen gyorsan előállítja az átvitelt. A 10.51. ábra a. kapcsolása a ripple carry (terjedő) rendszerű soros (lassú), b. vázlata pedig a look-ahead típusú (gyors) átvitel előállítását szemlélteti 4 bites összeadandók esetében.

Az ilyen gyors átvitelképzésű megoldásoknál az egészösszeadót is úgy érdemes kialakítani, hogy az az összeg mellett ne az átvitelt, hanem közvetlenül az átvitelkeletkezési és -terjedési függvényeket állítsa elő például a 10.52. ábra szerinti elrendezésben.

Egy négybites párhuzamos összeadó kialakítása tehát 4 db, a 10.52. ábrán látható gyors átvitelképzésre alkalmas egészösszeadóból és a megfelelő, a 10.51b. ábra elve szerinti elrendezésű átvitelképző részáramkörökből történik.

Technológiai szempontból természetesen az ilyenfajta sokbites párhuzamos összeadó megvalósítása nehézségeket is hordoz magá-





10 - 52. ábra. Átvitelkeletkezési-, és terjedési - függvények közvetlen előállítás

ban. A bitszám növelésével ugyanis egyrészt egyre nő az átvitel előállításához szükséges logikai kapuk bemeneteinek a száma, s ami ennél még nagyobb probléma: egyre magasabb fan-outot kell az áramkörön belül megvalósítani. Ezért egy modul bitszáma általában erősen korlátozott, s a nagyon sokbites összeadók esetében még mindig jelentkezik a terjedési késleltetés problémája. (10.27) és (10.28) tanulmányozásával azonban rájöhethetünk arra, hogy semmi akadálya az átvitelkeletkezés és -terjedés elvének tetszőleges méretű modulra történő általánosításának. A modul legfelső helyiértéken keletkező átvitel helyett (vagy mellett) tehát a több-bites összeadó modul rendelkezik egy modul-átvitel-keletkezés és modul-átvitel-terjedés kimenettel is ( $G$  és  $P$ ), melyek felhasználásával a modulokból, a look-ahead-carry elvét felhasználva, további logikai kapukkal nagyobb egységek alakíthatók ki. Egy ilyen több-bites összeadó modul blokkja látható a 10.53. ábrán.

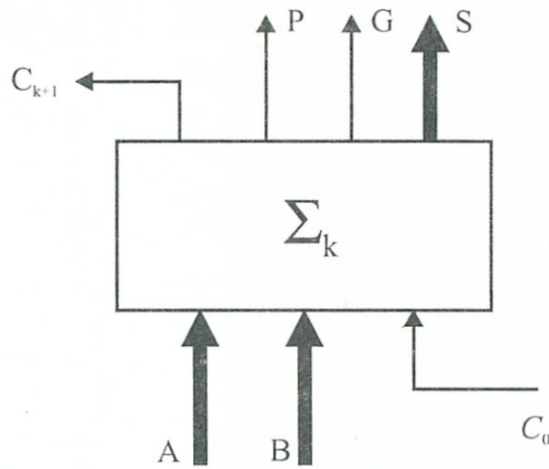
Az átvittel kapcsolatos kimenetek közötti összefüggés a következő:

$$C_{k+1} = G + PC_0.$$

$G$  és  $P$  belső előállítására pedig az alábbi függvények alapján történik:

$$\begin{aligned} G &= G_k + G_{k-1}P_k + G_{k-2}P_kP_{k-1} + \dots + G_0P_kP_{k-1}\dots P_1 \\ P &= P_0P_1\dots P_k \end{aligned} \quad (10.29)$$

Megemlítjük még, hogy léteznek olyan integrált áramkörök is, amelyek a gyors átvitelképzést a fokozatok közötti szinteken is megkönnyítik.



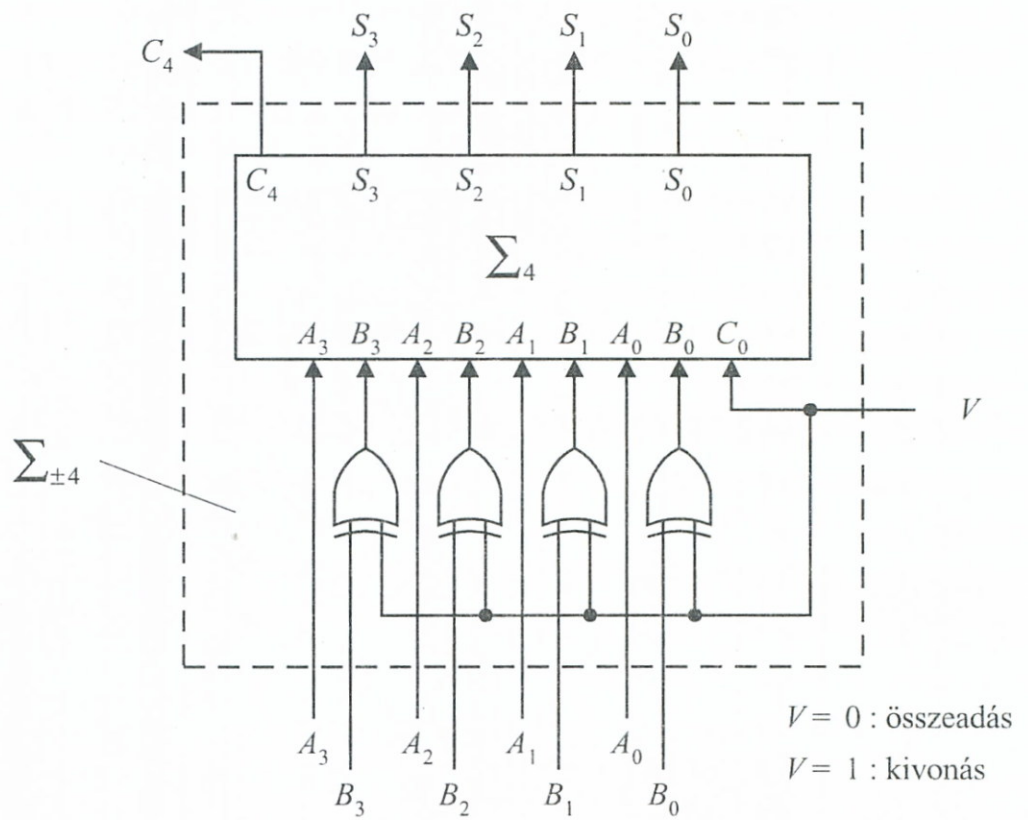
10 - 53. ábra. Look - ahead elvű, több - bites összeadó modul

### 10.6.2.3. Párhuzamos elvű kivonók

Már az előző pontban bemutattuk, hogy a kivonást miként lehet – komplementes képzéssel – összeadásra visszavezetni.

Miután a komplementes előállítás viszonylag egyszerűen megoldható a következő lépésekben:

- először: operandus negáltjának előállítása;
- másodsor: +1 hozzáadása,



10–54. ábra 4 bit-es összeadó-kivonó kialakítása összeadóból

ezért az összeadó áramkört a fentieket elvégző „előtét” beiktatásával kivonó áramkörre alakíthatjuk át.

Például alakítsuk át a 10-50. ábra összeadóját kivonó áramköri kiegészítést is tartalmazó *összeadó-kivonó* modullá. A megoldás a 10-54. ábrán látható. A  $B$  operandus bemenetei elé egy antivalencia kaput helyeztünk el, melyet a  $C_0$ -ra is rákötött  $V$  vezérlő jel kapcsol az alábbiak szerint.

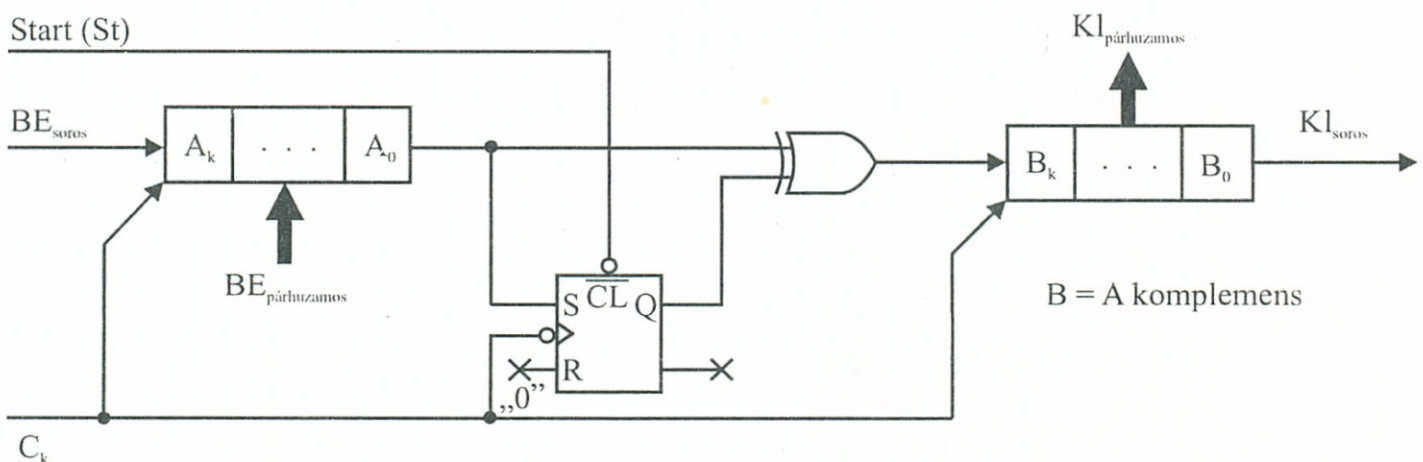
$V = 0$  esetén: az antivalencia kapu *ismételő* elemként működik, és a  $B_i$ -ket változatlanul átengedi magán, továbbá a  $V = C_0 = 0$  értékű átvitel is biztosítva van, így az eredő áramkör *összeadóként* működhet.

$V = 1$  esetén: az antivalencia *inverterként* üzemel, és előállítja  $B$  operandus negáltját, majd ehhez a  $V = C_0 = 1$  mint áthozat révén  $+1$  hozzáadódik, így lényegében „ $B$ ” *komplementese* keletkezik a bemeneten. Ezzel elvégezve az összeadást – mint láttuk – valójában kivonást végzünk.

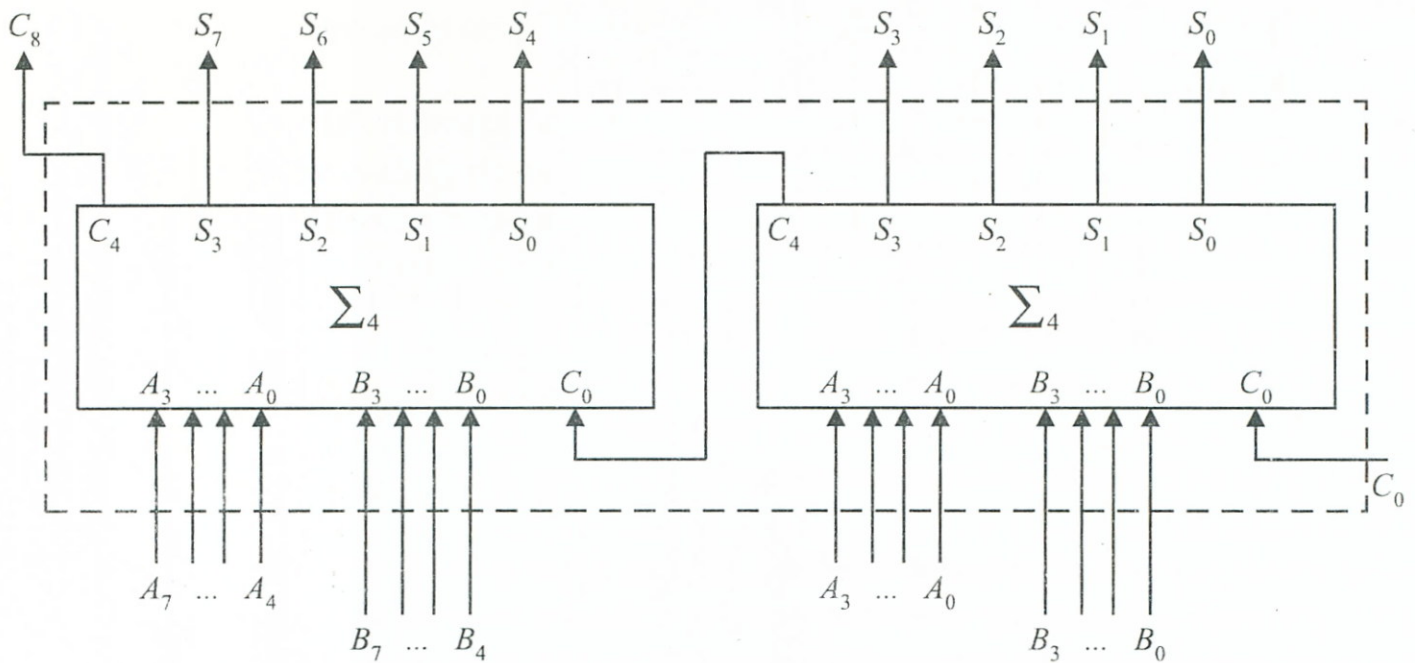
#### 10.6.2.4. Soros elvű kivonók

A kivonásnál itt is a komplementet használhatjuk fel, de ezt most „sorosan” kell előállítanunk. Itt soros vonalon érkeznek a bitek a legelső helyiértéktől kezdve és mindaddig változatlanul lépnek ki, amíg az első 1-es meg nem jelent. A következő bittől kezdve minden negálódik. Egy lehetséges kialakítás látható a 10-55. ábrán.

Az indítás az  $St$  bemenetre adott törlő impulzussal valósul meg, amely a master–slave S-R tárolót alaphelyzetbe hozza. Ezután indulhat a bitek beléptetése, s a tároló mindaddig nem változtatja meg az állapotát, amíg egy 1-es nem jelentkezik a bemenetén. Ekkor az órajel lefutó élére átbillen 1-be és itt is marad a működés további idejére. Így az első 1-es még változatlanul halad át az antivalencia-kapun, az ezt követő többi jegy azonban negálódik.



10 - 55. ábra. Soros komplementképző áramkör



10-56. ábra 8 bit-es összeadó kialakítása bővítéssel

A 10.55. ábrabeli soros komplementesképzőt például a 10.48. ábrán bemutatott soros összeadóval kombinálva már előállítható a soros kivonó áramkör.

### 10.6.2.5. Modulok összekapcsolása

A műveletvégző modulokat úgy alakítják ki a gyártó cégek, hogy magasabb bit-számra is bővíthetők legyenek. Egy rendkívül egyszerű példaként a 10-56. ábrán felrajzoltunk egy bővítéssel létrehozott 8 bit-es összeadót, melyet a 10-50. ábra áramkörtípusából építettünk fel.

Bonyolultabb modulokkal történő bővítésnél már több csatlakozási pontot kell összekapcsolni, ezért ilyenkor a katalógusok előírásait kell követnünk.

### 10.6.3. BCD számábrázolás és összeadás



A BCD (Binary Coded Decimal) kóddal már a 10.5. ábrán találkoztunk. Ennek alapján megállapítható volt, hogy decimális számoknak bináris elemekkel történő kifejezésekor valamely decimális helyérték (dekád) ábrázolásához négy bináris helyértékre (egy „tetrád”-ra) van szükség.

A BCD számok összeadásakor többféle úton is célhoz juthatunk:

- a) Ha bináris összeadó áll rendelkezésünkre, akkor először BCD–BIN átkódolást végzünk, ezután az összeadást kettes szám-

rendszerben végezzük el, majd egy BIN–BCD visszakódolás után kapjuk a decimális eredményt.

- b) Közvetlenül BCD összeadót alkalmazunk, mely rendszerint dekádós modulokból épül fel és annyi modult tartalmaz, ahány helyértékű decimális számokkal kell az összeadást elvégeznünk.

A két változat közötti választásnál az átkódolási késleltetések, a BCD összeadás sebessége, és a környező hardver-rendszerhez való illeszkedés, amiket elsősorban mérlegelni kell.

A BCD számokkal végzett műveleteknél gyakran problémát jelent az, hogy a decimális számjegyek csak tíz-féle (0, 1, ... 9) kombinációt értelmeznek a 4 bittel kifejezhető 16-féle (Hexa) lehetőség közül. A műveletek (pl. összeadás) során előadódhat viszont olyan eset, hogy a részeredmények „átlógnak” a nem értelmezett mezőbe. Valójában itt az átvitelképzés problémái jelentkeznek, melyek megoldására korrekciós faktorok (leggyakrabban a 6-os korrekció) bevezetésére van szükség.

Fentiek megvilágítására vizsgáljuk meg a 10.57. ábrában táblázatosan megoldott BCD összeadási példát:



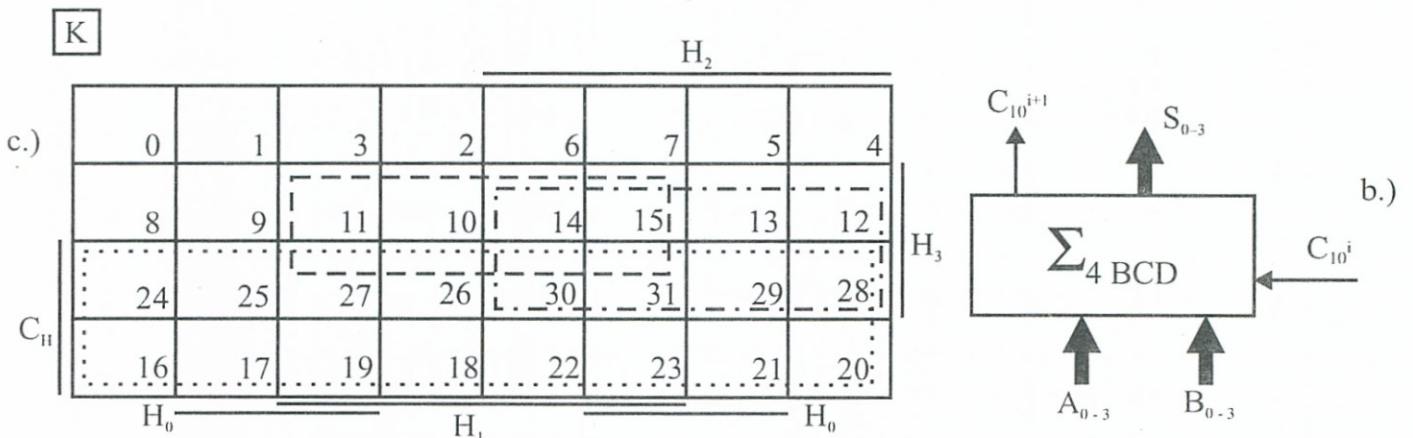
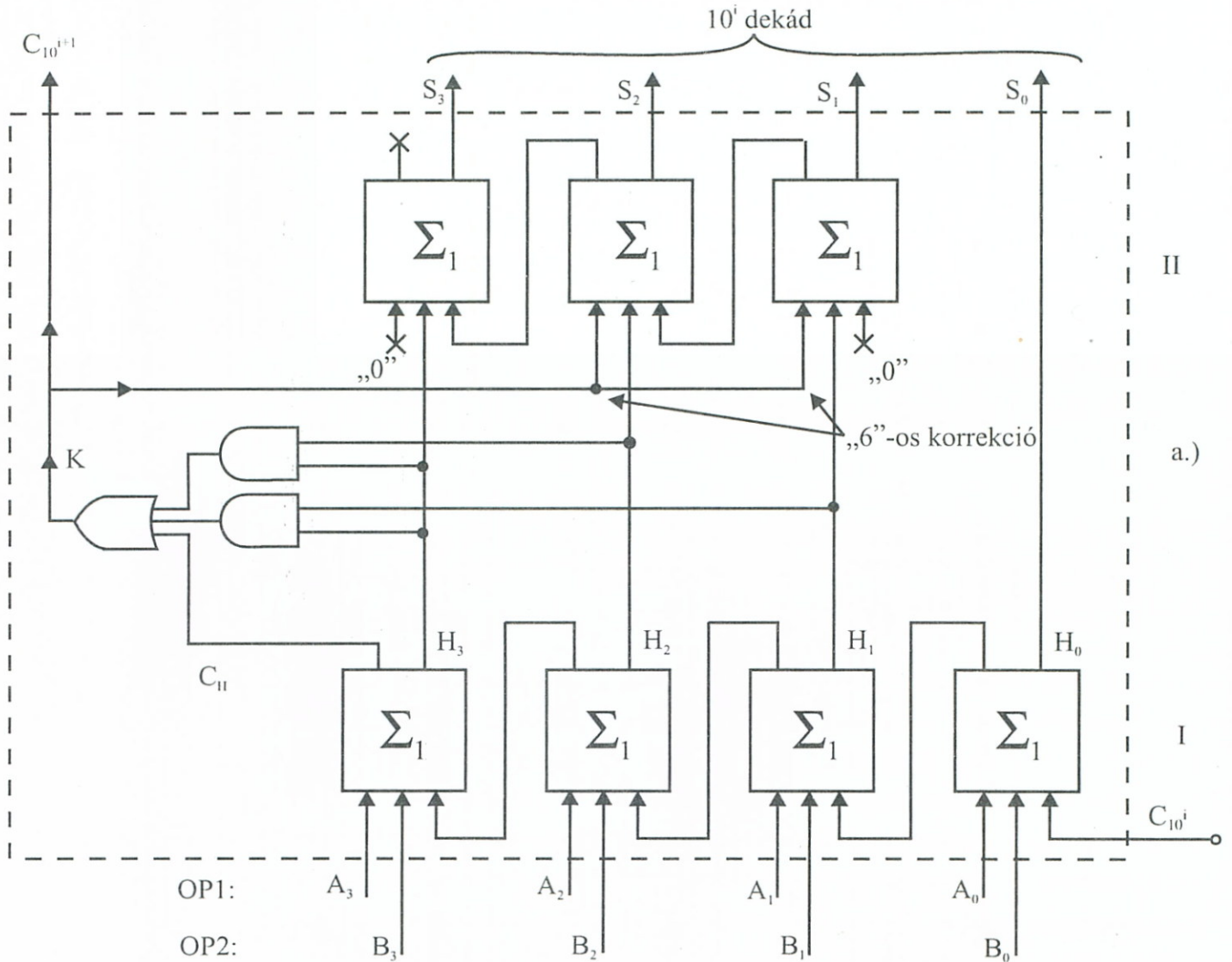
	Decimális	BCD			
		$10^3$	$10^2$	$10^1$	$10^0$
OP1	5 8 2 8 <sub>10</sub>	0101	1000	0010	1000 <sub>BCD</sub>
+ OP2	3 9 1 5 <sub>10</sub>	0011	1001	0001	0101 <sub>BCD</sub>
Hamis összeg	9 1 3 D	1001	0001	0011	1101
	↑ ↑		(átvitel)		(Hexa)
			↑↑		↑↑
+ 6-os korrekció:	0 6 0 6	0000	0110	0000	0110
Helyes összeg:	9 7 4 3 <sub>10</sub>	1001	0111	0100	0011 <sub>BCD</sub>

10–57. ábra BCD összeadás 6-os korrekcióval

A BCD rovatban elhelyezkedő négy decimális helyértékű,  $4 \times 4 = 16$  bites operandusokat bináris helyértékenként összeadva, már az első tetrádnál HEXA-szám adódik, azaz „kilógunk” a decimális szimbólum-halmazból, mivel 9 fölé kerültünk. A  $10^2$  helyérték összeadásánál pedig ( $8 + 9 = 17$ ) a Hexa (4-bites) szimbólumkészletből is „kilógunk” és átvitelt kellett képeznünk a  $10^3$  helyérték irányában. A 9 és 15 határértékek túllépéséből eredő átviteli gondok miatt az ábrán nyíllal megjelölt,  $10^0$  és  $10^2$ , példabeli problémás helyeken 6-os kor-

rekciót kellett alkalmaznunk, mellyel a „Hamis összeg” eltéréseit ki-  
küzöbölhettük.

Fenti 6-os korrekciós elv hardver formában történő alkalmazását  
láthatjuk a 10.58a. ábra *egydekádos* BCD összeadóján. A I. 4-bites  
BIN összeadó megegyezik a 10.50. ábrán már bemutatottal és kime-  
netén itt a „hamis összeg” jelenik meg, mivel az  $OP1 + OP2$  össze-



10 - 58. ábra. BCD összeadó dekád 6-os korrekcióval

adást végzi el. Az 1-dekádós BCD összeadó elvi vázlatát a 10.58b. ábrán rajzoltuk fel. Mint a 10.57. ábra példájánál tapasztaltuk, 6-os korrekcióra – végső fokon –, akkor van szükség, ha a 9-et túlléptük a dekád-összeggel. A korrekciós áramkör logikai vázlatának felrajzolása érdekében célszerű előállítani a 10.58c. ábrán látható 5-változós minterm táblát, melynek független változói azok a kimenetek, melyek a 6-os korrekció előállításában szerepet kapnak. A tábla azon helyein kell korrekciót alkalmazni, melyek minterm-indexeik túllépik a 9-et. Ezeket tömbösítéssel minimalizálva kapjuk a K-korrekciós függvényt:

$$K = C_H + H_3 \cdot H_1 + H_3 \cdot H_2$$

A K-kimenetet kötjük be a I.-hez hasonló felépítésű II. összeadó  $0110_2$  ( $6_{10}$ )-nak megfelelő bemeneteire. Így a felső összeadó a szükségessé váló korrekciós összeadásokat el tudja végezni.

#### 10.6.4. Bináris szorzás

Ha egy léptetőregiszterben tárolt bináris számot *balra* léptetünk, akkor a szám minden számjegye eggyel magasabb bináris helyérték pozícióba kerül. Ezt, a kiinduló szám szempontjából úgy tekinthetjük, hogy azt kettővel (a radix-szal) megszoroztuk. A léptetőregiszterrel tehát a bináris szorzás „legegyszerűbb” esetét valósíthatjuk meg, ún. *soros* szorzással.



##### 10.6.4.1. Szorzás előjel abszolútértékes ábrázolás esetén

Előjel-abszolútértékes szorzásnál a szorzat előjelének és abszolút értékének előállítása külön-külön feladatot igényel.

*Előjel-számolás* esetén, azt az „iskolás” szabályt alkalmazhatjuk, mely szerint a szorzat előjele:

- sp: pozitív – ha a szorzandók előjele ( $s_1, s_2$ ) egyforma,
- sp: negatív – ha a szorzandók előjele ( $s_1, s_2$ ) eltérő.

Az így megfogalmazott feladatot *logikai* értelmezésben is átgondolva egy *antivalencia* függvényre ismerhetünk, amennyiben a negatív jelet (a korábbiakkal egyezően) „1”-gyel jelöljük.

$$s_p = s_1 \oplus s_2 \quad (10.30)$$

*Abszolútérték-kiszámításnál* ugyancsak a „klasszikus, iskolás” szabályt alkalmazhatjuk, mely szerint a szorzatot úgy kapjuk, ha: „a szorzandó értékét a szorzó minden egyes bitjével külön-külön meg-



szorozva, az így nyert részszorzatokat a szorzó bit helyértékének megfelelő helyértékre eltolva összeadjuk”.

Szemléltetésül vizsgáljuk meg a 10.59a. ábrában megoldott „iskolás” szorzást, melynél a műveletet a szorzó legkisebb helyértékén kezdjük. A példa menetéből látható, hogy rész-szorzatonként a „0”-val történő szorzás esetén csupa „0”, míg „1”-gyel történő szorzás esetén a szorzandó „megismétlése” az eredmény, a kívánt helyérték-eltolódás figyelembevételével.

$$A = \text{szorzandó: } +7_{10} = 0 \mid 111_2$$

$$B = \text{szorzó: } -6_{10} = 1 \mid 110_2$$

előjel ( $s_i$ )  
abszolútérték

Előjel kiszámítása:

$$s_p = s_A \oplus s_B = 0 \oplus 1 = 1$$

$$s_p = \text{negatív}$$

Abszolútérték kiszámítása:

	$2^2$	$2^1$	$2^0$		$2^2$	$2^1$	$2^0$	
	A =	1	1		1	1	0	=B
		0	0		0	0	0	
+		0	0		0	0	0	
		0	0		0	0	0	
+		1	1		1	1	0	
		1	1		1	1	0	
+		1	1		1	1	0	
		1	0		1	0	1	= P =szorzat
		$2^5$	$2^4$		$2^3$	$2^2$	$2^1$	$2^0$
								absz. é.

Eredmény:

$$P = \text{szorzat} = s_p, |P| = -101010_2 = 42_{10}$$

**10–59. ábra** Bináris, klasszikus iskolás szorzás

A példában bemutatott szorzás áramköri realizálására többféle megoldás is kínálkozik:

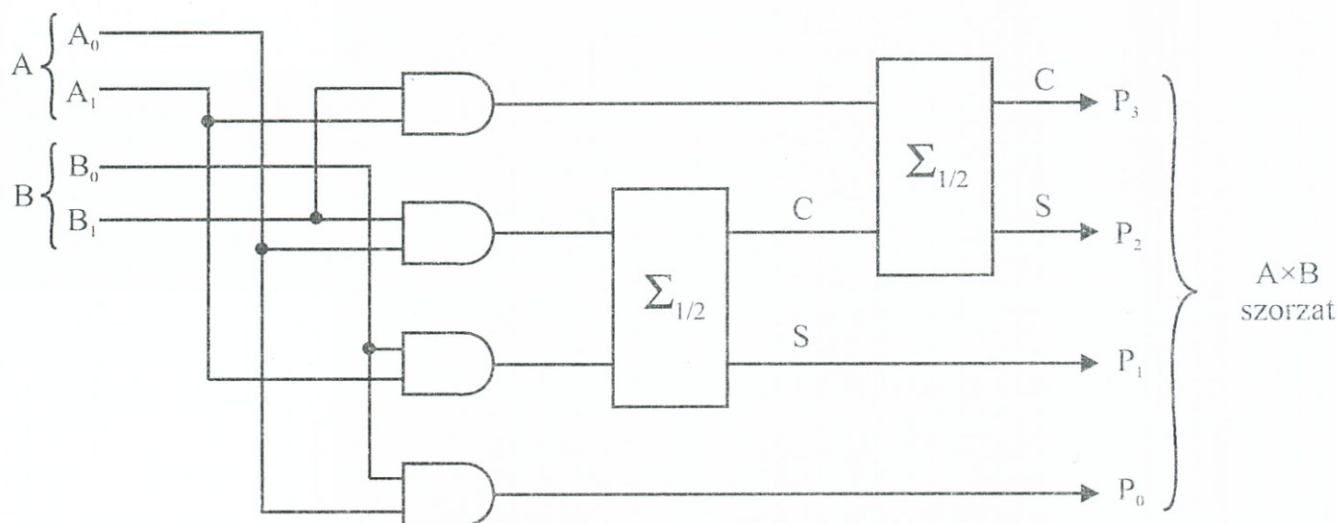
a) PÁRHUZAMOS STRUKTÚRA szerinti realizálással nagyon gyors szorzóáramkörök építhetők, mivel a részösszegek összeadói már néhány kapuáramköri késleltetést követően elérhetők.

A megoldásnak persze hátránya is van: igen sok kapuáramkört és fél-, illetve egész összeadót igényel, tehát meglehetősen költséges.

Egy nagyon egyszerű eset, a  $2 \times 2$  bites párhuzamos szorzó kapcsolási rajza látható a 10.60. ábrán.

A rajzból megérthető a szorzó működési elve, de a kevés összeadandó részszorzat miatt itt még igen egyszerű a megoldás, valójában egyetlen egész-összeadóra sincs szükség. Hasonlítsuk ezt az egyszerű kapcsolást össze a  $4 \times 4$  bites szorzó vázlatával (10.61. ábra).



10 - 60. ábra.  $2 \times 2$ - bites párhuzamos szorzó

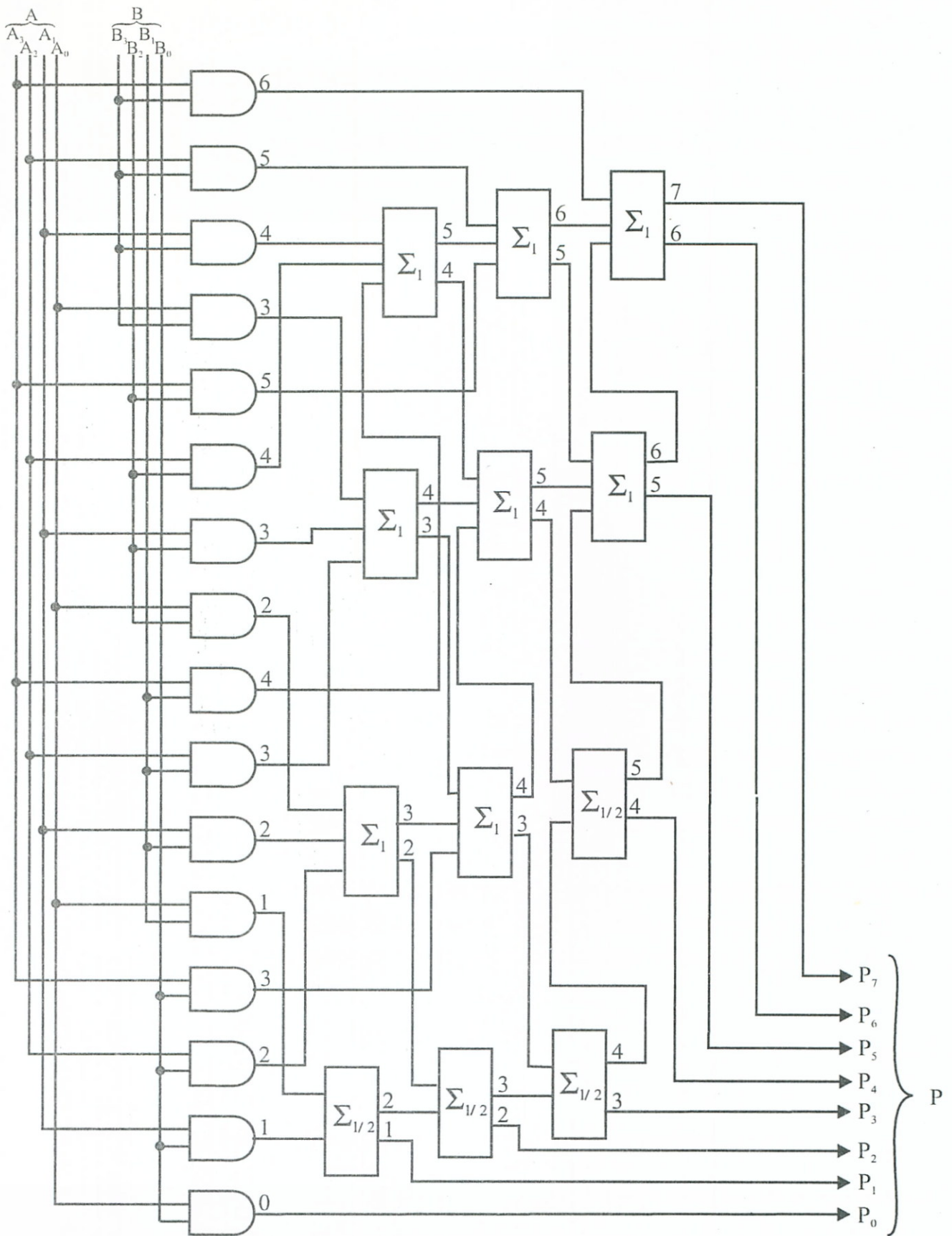
A könnyebb eligazodás érdekében minden egyes ÉS-kapu, fél- és egészösszeadó (S- és C-) kimenet mellett feltüntettük a helyiérték sorszámát, amelyen az adott bit képződik. Így nyomon követhető, hogyan adódnak össze az egyes részszorzatok bitjei, illetve az átvitelbitek. Az ábra bonyolultsága miatt az egyes részletszorzatokat képző áramkör csoportokat nem helyeztük el tagoltan, az egyes helyiértékek éppen a kimenetek melletti indexek révén követhetők nyomon.

Ez az elrendezés már nagyságrenddel bonyolultabb, s gondoljuk meg, hogy a gyakorlatban általában  $8 \times 8$ ,  $16 \times 16$ ,  $32 \times 32$ , vagy  $64 \times 64$  méretű szorzásokat kell megoldani. A szorzandók méretével a szorzó terjedelme és költsége exponenciálisan nő, tehát egy bizonyos méret felett ez az elv – még VLSI realizáció esetén is – nehezen kezelhetővé válik.

b) SOROS STRUKTÚRA szerinti realizálásnál az egyes helyiértékeknél adódó műveleteket időben egymás után sorba állítva végzük el. Emiatt a fázisonként kapott eredményeket – a későbbi felhasználás érdekében – regiszterekben tárolnunk kell. Az időbeli sorba állítás miatt a szorzás végrehajtásának ideje – természetesen – meghosszabbodik, viszont a realizáló hálózat felépítése lényegesen egyszerűbbé válhat.

Vizsgáljuk meg a továbbiakban a soros működés kapcsán felvetődő kérdéseket, mégegyszer átgondolva a 10.59. ábra példájának tapasztalatait is.

A példából leolvasható, hogy a szorzat bitjeinek száma (hossza) nagyobb, mint az operandusok hossza (szélső esetben azok duplája). A soros műveletvégzés során tárolni kell majd az operandusokat, a részösszegeket és magát a szorzatot is. A rész-összeadásokat minden



10 - 61. ábra. 4×4 bites párhuzamos szorzó

esetben a helyértékenként balra léptetett szorzandóval kell fázisonként elvégezni és ehhez az összeadó is dupla hosszúságú kellene, hogy legyen.

A felsorolásban szereplő kívánságlista enyhíthető a szükséges regiszterek számának csökkentésével és – ami különösen lényeges – a dupla hosszúságú összeadó szimpla hosszúságúra csökkentésével, ha a 10.59. ábra „iskolás” algoritmusát, néhány matematikai átalakítás felhasználásával módosítjuk.

Felírva a szorzatot a szorzó komponenseivel:

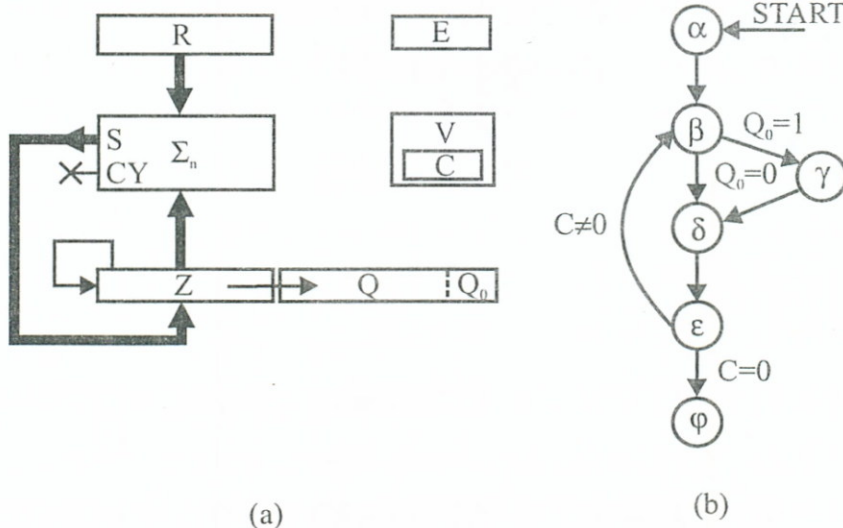
$$P = A \times B = A \times (b_{n-1} \cdot 2^{n-1} + \dots + b_1 \cdot 2^1 + b_0 \cdot 2^0) \quad (10.31)$$

Végezzünk el egy rekurzív átalakítást, mely szerint:

$$A \times B = \{ \dots [(2^n \cdot A \cdot b_0 \cdot 2^{-1} + 2^n \cdot A \cdot b_1) \cdot 2^{-1} + 2^n \cdot A \cdot b_2] \cdot 2^{-1} + \dots + 2^n \cdot A \cdot b_{n-1} \} \cdot 2^{-1} \quad (10.32)$$

Ha a (10.32) rekurzív formulát értelmezzük, akkor megállapítható, hogy a mindenütt szereplő  $2^n \cdot A$  szorzat – ami  $n$ -szeres *balra léptetés*nek felel meg – azt jelenti, hogy a szorzandó azonos helyértékű bitjétől a  $P$  szorzat legkisebb helyértékű bitje  $n$ -bittel jobbra fog elhelyezkedni. A szorzást – hasonlóan a 10.59. ábra példájához – a  $B$  szorzó legalacsonyabb ( $b_0$ ) bitjével kezdve, minden részletösszeadás után a  $2^{-1}$  szorzó miatt *eggyel jobbra* kell majd léptetnünk és miután a szóhossz itt  $n$ , ezért az algoritmus  $n$ -léptetés után fog befejeződni.

A (10.32) rekurzív formula által értelmezett algoritmus végrehajtására használható fel a 10.62a. ábrán látható blokksémával jellemzett hálózat, melynek működését a 10.62b. ábra állapotgráfja szerint dolgozó, valamennyi regiszterrel és az összeadóval is kapcsolatot tartó  $V$  vezérlőegység irányítja.



10 - 62. ábra. Bináris szorzó 1-bit figyelésű algoritmussal

A b. ábrabeli állapotgráf a szorzási algoritmus időbeli végrehajtásának lépéseit tartalmazza és alapjául szolgálhat a V vezérlőegység, mint sorrendi hálózat megtervezéséhez is.

Vizsgáljuk meg a rekurzív formula alapján dolgozó algoritmus lépéseit.

$\alpha$  állapot: Indulás előtt fel kell tölteni az egyes regisztereket:

SZORZANDÓ:	$A \rightarrow R$
SZORZÓ:	$B \rightarrow Q$
TÖRLÉS:	$0 \rightarrow Z$
CIKLUSSZÁM:	$n \rightarrow C$

C egy preszetelhető *hátra-számláló*, melybe beírjuk a B szorzó bit hosszát ( $n-t$ ) és a működés során később, minden egyes helyértékenkénti szorzás befejezése után majd 1-gyel dekrementálni fogjuk. A szorzási folyamat befejezését az fogja jelezni, hogy  $C = 0$  lesz, azaz az utolsó részösszeg képzési ciklus is befejeződött.

A START indító parancs után a szorzási algoritmus beindul.

$\beta$  állapot: A működés a  $\beta$  állapotba tevődik át, itt a berendezés megvizsgálja, hogy a  $Q_0$  bit értéke milyen értékű:

$Q_0 = 0$ -nál: nincs részösszeg-képzés, ezért a hálózat átlép  $\delta$ -ba.

$\gamma$  állapot:

$Q_1 = 1$ -nél:  $R + S$  összeadás történik, majd továbblépés  $\delta$ -ba.

$\delta$  állapot: Itt a Z, Q regiszterpár (a  $2^{-1}$  szorzó miatt) 1 bittel *jobbra* léptetődik együttesen, és ezzel az aktuális  $b_i$  szorzóbittel kapcsolatos részszorzat teendői befejeződnek.

Itt dekrementáljuk a C hátraszámlálót is.

$\varepsilon$  állapot: Megvizsgáljuk, hogy nem értünk-e el a szorzási folyamat végére, azaz nem végeztük-e el már az összes szorzóbittel történő szorzást. Ezt az előzők értelmében C állapota mutatja.

$C \neq 0$ -nál: még *újabb* részműveleti ciklust kell lefolytatni, ezért visszaugrás  $\beta$ -ba, és a  $\beta \dots \varepsilon$  ciklus ismétlődik.

$C = 0$ -nál: ez volt az *utolsó* ciklus, a folyamat leáll  $\beta$ -ben.

$\varphi$  állapot: Ebben az állapotban az egyes regiszterek – melyek tartalma időközben folyamatosan változott – a szorzás végeredményét tartalmazzák:

Z, Q = SZORZAT ( $A \times B = P$ )  
 R = SZORZANDÓ (A)  
 C = 0

Mint látható, az algoritmus során elvégzett teendőknel fontos szerepe van a  $Q_0$  bitnek, mely ciklusonként a  $b_i$  aktuális szorzóbitet tartalmazza. Ezért a bemutatott algoritmust: *1-bit figyelésű szorzási algoritmusnak* is nevezik.

Miután az operandusok itt is előjel-abszolútértékes ábrázolásnak, ezért végezetül a 10.59. ábrabeli példához hasonló módon ez E előjelképző blokkal még a szorzat előjelét is meg kell határozni.

A bemutatott *soros szorzóberendezés* lassúbb, mint a 10.60. ábra elvén felépülő párhuzamos megoldás, mivel a:

$$\text{hasznos szorzási idő} \approx n \times t_{CK},$$

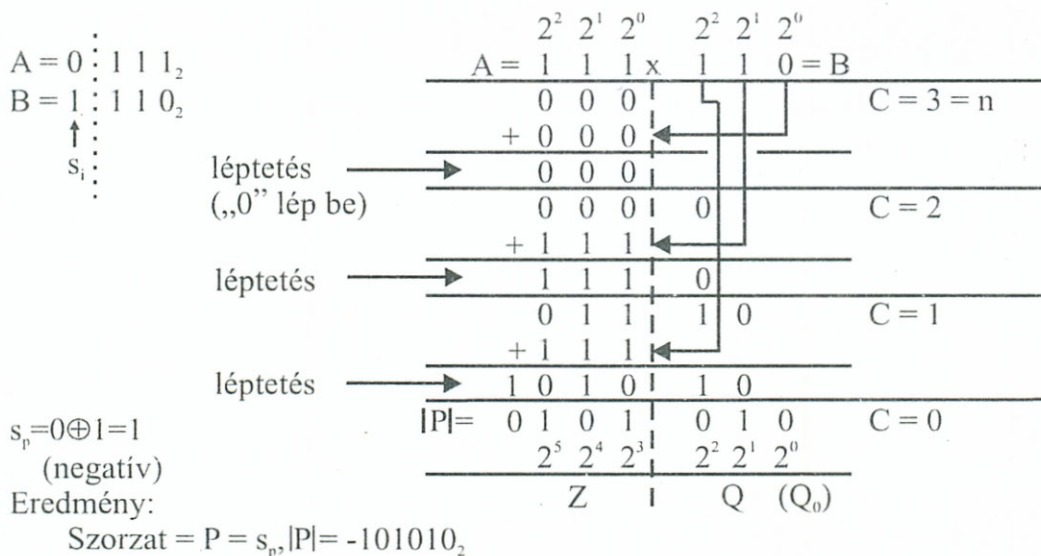
ahol:  $n$  = az operandusok bit-száma

$t_{CK}$  = 1 részműveleti ciklus időtartama.

A szorzóművet vezérlő V vezérlőegység, a megadott állapotgráfból kiindulva akár fázisregiszteres, akár mikroprogramozott változatban is kialakítható a sorrendi hálózatokkal foglalkozó 8. fejezet 8.4. pontjában megismert módszerek segítségével.

A realizált hálózat (elég nagy „n” esetén) lényegesen egyszerűbb lehet, mint a 10.61. ábrabeli változat.

Végezetül, a 10.59. ábrabeli példában szereplő számpéldát odjuk meg még egyszer a most megismert 1-bit figyelésű algoritmus felhasználásával. A megoldás egyes lépéseit a 10.63. ábrán követhetjük.



10 - 63. ábra. Bináris, 1-bit figyelésű szorzási példa



### 10.6.4.2. Szorzás komplementekben

A korábban már bevezetett „komplementes” számbázisnál – mint tapasztaltuk – nem kellett az előjelekkel külön foglalkoznunk. Ezért a komplement-kódban ábrázolt számok szorzására több eljárást is kidolgoztak, melyek közül az elterjedt BOOTH-féle szorzási algoritmust mutatjuk be az alábbiakban.

Induljunk ki ismét a szorzat (10.31)-ben már alkalmazott komponensekkel történő ábrázolásából, de itt ügyelnünk kell arra, hogy a komplement kódú jellemzésnél a legmagasabb bit negatív súlyozású (10.24) értelmében. Emiatt kiinduló-formulánk (10.33) szerint fog alakulni:

$$A \times B = A \times (-b_{n-1} \cdot 2^{n-1} + \dots + b_1 \cdot 2^1 + b_0 \cdot 2^0) \quad (10.33)$$

Használjuk fel az alábbi lehetséges formális átalakítást:

$$b_i \cdot 2^i = b_i \cdot 2^{i+1} - b_i \cdot 2^i, \quad (10.34)$$

melyet (10.33)-ba behelyettesítve (10.35)-öt kapjuk:

$$A \times B = A \times [(b_{n-2} - b_{n-1}) \cdot 2^{n-1} + \dots + (b_0 - b_1) \cdot 2^1 + (b_{-1} - b_0) \cdot 2^0] \quad (10.35)$$

Ezután bevezetve az alábbi jelölést:

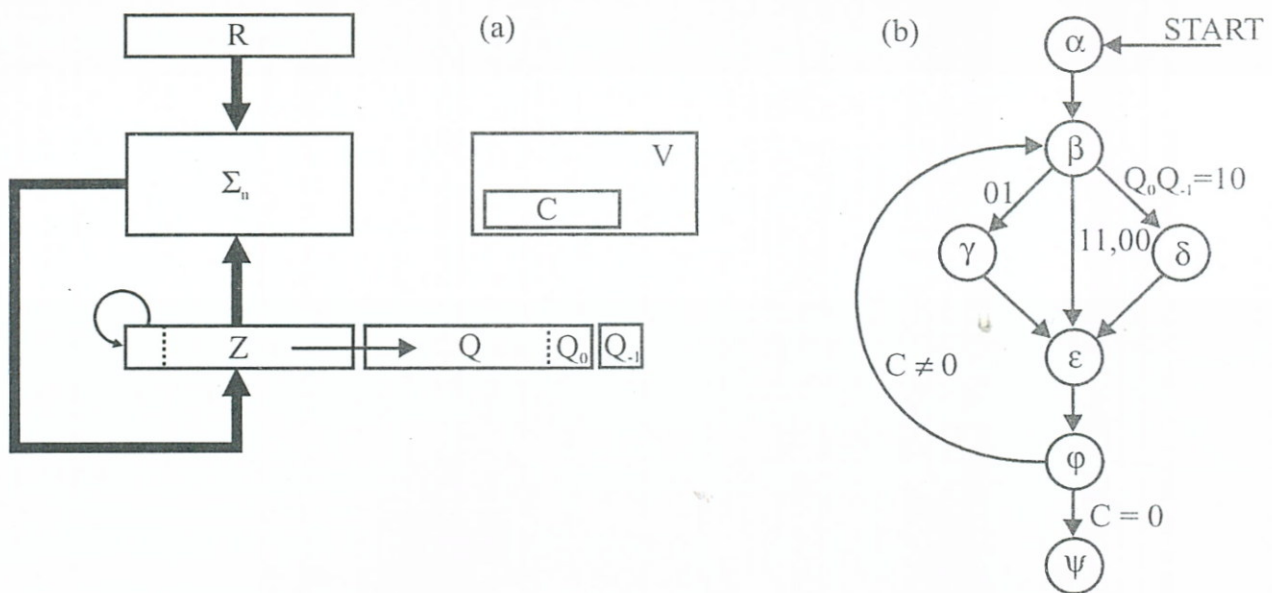
$$d_i = b_{i-1} - b_i,$$

majd behelyettesítve (10.35)-be és némileg átrendezve a következő rekurzív formulához (10.36) jutunk:

$$A \times B \{ \dots [(2^n \cdot A \cdot d_0 \cdot 2^{-1} + 2^n \cdot A \cdot d_1) \cdot 2^{-1} + 2^n \cdot A \cdot d_2] \cdot 2^{-1} + \dots + 2^n \cdot A \cdot d_{n-1} \} \cdot 2^{-1} \quad (10.36)$$

A formulák levezetése során keletkezett  $2^{-1}$  súlyozású  $b_{-1}$  szám értéke egész számok esetén  $b_{-1} = 0$ . A  $d_i$  bitek  $-1$ ,  $+1$  és  $0$  értékeket vehetnek fel és emiatt a részletszorzatokat néha kivonjuk vagy hozzáadjuk az előző részösszeghez, vagy  $0$ -esetén nem kell összevonási műveleteket végeznünk a (10.37) táblázatban összefoglaltaknak megfelelően:

$b_i$	$b_{i-1}$	$d_i$	Művelet	
0	0	0	NINCS	(10.37)
0	1	1	ÖSSZEADÁS	
1	0	-1	KIVONÁS	
1	1	0	NINCS	



10 - 64. ábra. Bináris szorzó, komplementenses, 2-bit figyelésű algoritmussal

A (10.36) rekurzív formulából leolvashatók a szorzási algoritmus-sal kapcsolatos teendők is, a (10.32)-nél tapasztaltakhoz hasonlóan: A szorzandót itt is *n*-szer *balra* kell léptetni ( $2^n \cdot A$ ) és a szorzást a  $b_0$ -lal kell kezdeni, továbbá az algoritmus *n* lépésből áll. A lényeges eltérés, hogy itt *két bitet* ( $b_i, b_{i-1}$ ) kell figyelni és a szükséges műveletek a (10.37) táblázat szerint alakulnak, melyek után *mindig léptetés* következik. Mivel erre az algoritmusra jellemző, hogy két bitet kell figyelni, ezért az irodalomban „két bit figyelésű algoritmus”-nak is nevezik.

Az elmondottak végrehajtására használható fel a 10.64a. ábra bloksémájával jellemzett hálózat, melynek működését a *V* vezérlőegység irányítja a 10.64b. ábra gráfiával értelmezett és az alábbiakban részletezett algoritmus szerint:

*α állapot:* Indulás előtt fel kell tölteni az egyes regisztereket:

SZORZANDÓ :  $A \rightarrow R$   
 SZORZÓ :  $B \rightarrow Q$  ( $Q_0$  a  $b_0$ -t tárolja)  
 TÖRLÉS :  $0 \rightarrow Q_{-1}$  ( $Q_{-1}$  a  $b_{-1}$ -t tárolja)  
 TÖRLÉS :  $0 \rightarrow Z$   
 CIKLUSSZÁM :  $n \rightarrow C$

A START indító-parancs után a szorzási algoritmus beindul.

*β állapot:* Ebben az állapotban  $Q_0Q_{-1}$  két bit vizsgálata történik a (10.37)-nek megfelelően.

$\gamma$  állapot:  $Q_0Q_{-1} = 01$  esetén ide ugrunk a  $\beta$  állapotból és itt, a részösszegek összeadását kell elvégezni.

$\delta$  állapot:  $Q_0Q_{-1} = 10$  esetén ide ugrunk a  $\beta$  állapotból és itt a részösszegek kivonását kell elvégezni.

$\varepsilon$  állapot:  $Q_0Q_{-1} = 00$ , ill.  $Q_0Q_{-1} = 11$  esetén közvetlenül ide ugrunk a  $\beta$  állapotból. Itt a Z, Q regiszterpár eggyel együttesen jobbra shiftelődik és az aktuális részszorzat ciklus teendői befejeződnek, emiatt itt dekrementáljuk a C hátraszámlálót.

$\varphi$  állapot: Megvizsgáljuk C belső állapotát,

C  $\neq$  0-nál: további ciklusnak kell jönnie, ezért visszaugrunk  $\beta$ -ba és a  $\beta \dots \varphi$  ciklus megismétlődik;

C = 0-nál: ez volt az utolsó ciklus és a folyamat leáll  $\Psi$  állapotban.

$\Psi$  állapot: Ebben az állapotban az egyes regiszterek – melyek tartalma időközben folyamatosan változott – már a szorzás végeredményét tartalmazzák az előjellel együtt:

$$\begin{aligned} Z, Q &= \text{SZORZAT } (A \times B = P) \\ R &= \text{SZORZANDÓ } (A) \\ C &= 0 \end{aligned}$$

Miután itt is – bizonyos értelemben – SOROS szorzásról volt szó, a szorzási műveleti időre hasonló megfontolások érvényesek, mint az egy bit-figyelésű algoritmus esetén.

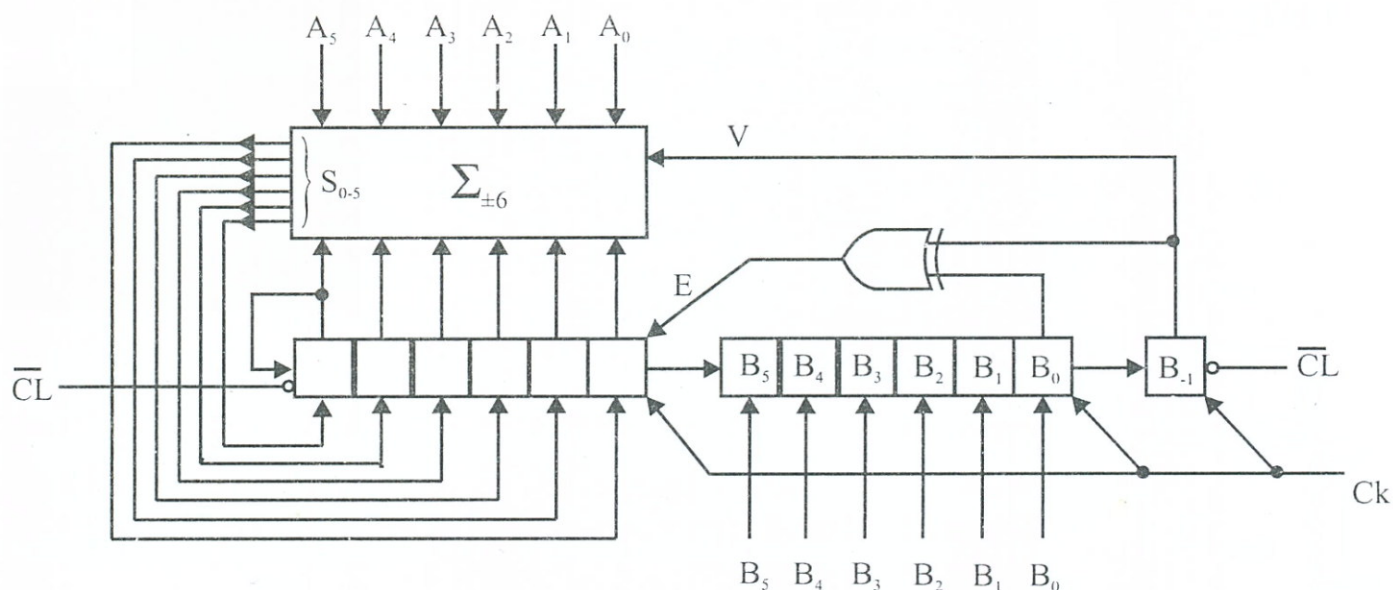
Szemléltetésül itt is bemutatunk egy részletezett számpéldát, melynek lépéseit a 10.65. ábrán követhetjük:

	$\overbrace{-3_{10}}$	$\times$	$\overbrace{+2_{10}}$	
	$A = \overline{1\ 1\ 0\ 1}_2$		$= B$	
	$\rightarrow 0\ 0\ 0\ 0$		$0\ 0\ 1\ 0\ 1\ 0$	léptetés C = 4
Kivonás komplementes összeadással	$0\ 0\ 0\ 0$		$0\ 0\ 0\ 1\ 1\ 0$	kivonás majd léptetés
	$A_k + 0\ 0\ 1\ 1$		$0\ 0\ 0\ 1\ 1\ 0$	C = 3
Normál összeadás	$\rightarrow 0\ 0\ 0\ 1$		$1\ 0\ 0\ 1\ 0\ 1$	összeadás majd léptetés
	$+ 1\ 1\ 0\ 1$		$1\ 0\ 0\ 0\ 1\ 1$	C = 2
	$\rightarrow 1\ 1\ 1\ 0$		$0\ 1\ 0\ 1\ 0\ 1$	léptetés C = 1
	$\rightarrow 1\ 1\ 1\ 1$		$1\ 0\ 1\ 1\ 0\ 1$	C = 0
	Z		Q $Q_0\ Q_{-1}$	

$$\begin{aligned} P &= A \times B = (-3_{10}) \times (+2)_{10} = (0011_2)_k \times (0010_2) = 1101_2 \times 0010_2 \\ P &= 11111010_2 = -6_{10} \end{aligned}$$

10-65. ábra. Bináris komplementes szorzási példa 2-bit figyelésű algoritmusra





10 - 66. ábra. Egy 6-bites Booth szorzó realizációja

Végezetül a 10.66. ábrán felrajzoltuk egy 6-bites kiépítésű szorzóáramkör részletezettebb sémáját, mely a Booth-algoritmus szerint működik.

Az ábrán a  $V$  vezeték választja ki az üzemmódot: 1 érték esetén összeadás, 0-nál pedig kivonás történik:

Az elrendezés lényeges eleme a tulajdonképpen 13 bites léptető-regiszter, melynek legalsó helyiértékét ( $B_{-1}$ ) indítás előtt – mint láttuk – nullázni kell. A regiszter felső helyiértékeit szintén törölni kell, a későbbiekben itt fog keletkezni a szorzat, melynek jobbra léptetésekor a mindenkori előjel-bit lép be balról. A regiszter felső 6 helyiértékén lehetőség van a párhuzamos beírásra. Ennek engedélyezését az  $E$  bemenet végzi,  $E = 0$  esetben nincs beírás.

Vizsgáljuk most meg, hogyan működik ez a szorzóáramkör. Induláskor  $B_{-1}$ -ben 0 van. Ha a  $B_0$  bit értéke 0, nem történik semmi, és a következő órajelre a  $B$  regiszter felső fele (0-k sorozata) eggyel jobbra lép. Ha  $B_1$  értéke 1 volt, a Booth-féle algoritmus szerint kivonást kell végezni. Ekkor a  $V$  bemenetre 0 érkezik, tehát a  $\Sigma_{\pm 6}$  áramkör valóban kivonást végez, azaz  $A$  2-es komplementjét adja hozzá a  $B$ -ben található 0-hoz, s ez az összeg beíródik  $B$  felső részébe, mivel  $E$  ilyenkor 1 ( $B_0$  és  $B_{-1}$  különbözőek). Az ezt követő léptetés hatására  $B_{-1}$ -be a korábbi  $B_0$ ,  $B_0$  helyére pedig  $B_1$  kerül, s az összeadás (kivonás) folytatódik. Összeadásra mindig akkor fog sor kerülni, ha  $B_{-1}$ -ben 1 található,  $B_0$ -ban pedig 0. Ha e két bit azonos, a részeredmény egyszerűen tovább lép jobbra és nem változik az értéke. Mikor a  $B$  regiszterben a szorzó legmagasabb helyiértékű bitje ( $B_5$ ) éppen kilépett

(azaz belépett  $B_{-1}$ -be), akkor a B regiszter 12 bitjében a szorzat 2-es komplementens kódú alakja lesz található.

A  $\Sigma_{\pm 6}$  (6-bites összeadó/kivonó) áramkör hasonló módon működik, mint a 10.54. ábrán megismert kapcsolás.

### 10.6.5. BCD szorzás



E pontban a BCD szorzás egy gyakran alkalmazott változatát mutatjuk be, mely az ún. „duplázó–felező” algoritmuson alapul. A szorzási műveletet itt összeadási művelettel kombinált duplázó–felező lépésekre vezetjük vissza.

Az *algoritmus* az alábbi matematikai átalakítások szisztematikus felhasználásán alapul:

$$\left. \begin{aligned} A \times B &= 2A \cdot \frac{B-1}{2} + A && \text{(ha } B \text{ páratlan szám)} \\ A \times B &= 2A \cdot \frac{B}{2} && \text{(ha } B \text{ páros szám)} \end{aligned} \right\} \quad (10.38)$$

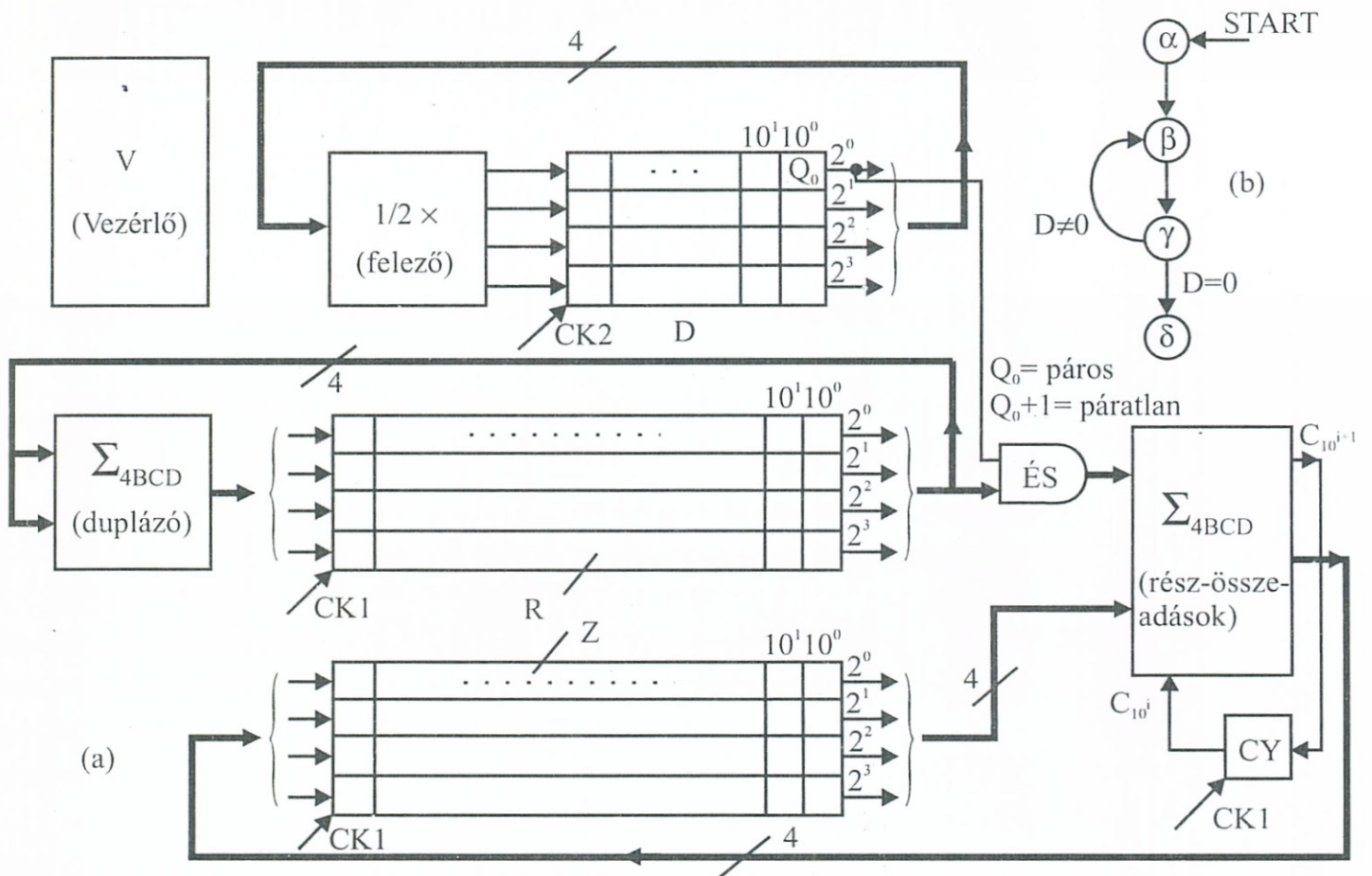
ahol: A = szorzandó

B = szorzó

A (10.38) formulákból látszik, hogy ezek felhasználásakor a szorzandó *duplázásával* egyidőben a szorzó *felezésére* is sor kerül. Innen ered az algoritmus elnevezése is. A szorzási művelet szisztematikus lépései során a szorzandó duplázását és a szorzó felezését mindaddig folytatni kell, amíg a feleződő szorzó a „0”-t el nem éri. A lépések során keletkező *páratlan* értékű szorzók esetén az aktuális szorzandót mindig *hozzá kell adni* a megelőző fázisokban keletkezett szorzandók összegéhez. Ez a mozzanat a (10.38) első összefüggéséből adódik. *Páros* értékű szorzónál – (10.38) második összefüggésének megfelelően – „0”-t kell hozzáadni a megelőző fázisokban keletkezett szorzandók összegéhez.

A fent összefoglalt algoritmus végrehajtására használható fel. a 10.67a. blokkvázlattal jellemzett hálózat, melynek működését a V vezérlőegység irányítja az előzőleg röviden összefoglalt szorzási algoritmushoz illeszkedő 10.67b. ábra állapotgráfnak megfelelően.

A D, R, Z regisztertömbökben 4-4 párhuzamosan lépkedő soros regiszter működik együtt. Egy-egy függőleges oszlopban szereplő, egymás alatti négy bit egy bináris tetráddal kifejezett dekádöt képvisel, és a dekádok decimális súlyozása jobbról–balra növekszik. A dekádok az órajelek hatására sorosan jobbra lépkednek.



10 -67. ábra. BCD szorzóberendezés duplázó - felező algoritmussal

A  $B$  osztó a  $D$  regisztertömbben van tárolva, melynek hossza az ismételt felezgetések miatt  $n$  tetrád.

Az  $A$  szorzó az  $R$  tömbben van tárolva, melynek hossza az ismételt duplázások miatt  $2n$  tetrád.

Végül az  $A \times B$ -szorzat a  $Z$  tömbben fog kialakulni, így ennek hossza is  $2n$  tetrádot igényel.

Az algoritmus lépései a 10.67b. állapotgráf ütemezésében a következőkben foglalhatók össze:

$\alpha$  állapot: Indulás előtt fel kell tölteni az egyes regisztertömböket és az átviteli  $CY$  tárolót, mely rendszerint egy  $D$ -flip-flop.

SZORZANDÓ :  $A \rightarrow R$   
 SZORZÓ :  $B \rightarrow D$   
 TÖRLÉS :  $0 \rightarrow Z$   
 TÖRLÉS :  $0 \rightarrow CY$

A  $START$  indítás után a szorzási algoritmus beindul.

$\beta$  állapot: Az osztandó duplázása és az osztó felezése után *páros* osztó ( $Q_0 = 0$ ) esetén 0-át (ilyenkor az ÉS-kapu lezár), *páratlan* osztó ( $Q_0 = 1$ ) esetén (az ÉS-kapu kinyit) az aktuális osztandó értékét adjuk hozzá a Z tartalmához, melyben az egyes fázisokban keletkezett szorzandók összege halmozottan tárolódik.

$\gamma$  állapot: Itt meg kell vizsgálni a felezések során egyre csökkenő  $B_i$  osztót tartalmazó D regiszter tartalmát, amennyiben ez még nem 0, akkor újabb ciklus következik, azaz  $\beta$ -t megismételjük.  $D = 0$  esetén a szorzás befejeződik és átlépünk a  $\delta$  állapotba.

$\delta$  állapot: Itt a ciklusok során változó tartalmú regiszterek már a szorzás végének megfelelő állapotban vannak.

$$\begin{aligned} Z &= \text{SZORZAT } (A \times B) \\ D &= 0 \end{aligned}$$

### 10.6.6. Bináris osztás



Az osztást, mint műveletet általánosságban a (10.39) összefüggésekkel jellemezhetjük:

$$\left. \begin{aligned} A:B &= \frac{A}{B} = Q + \frac{R}{B} \\ A &= Q \cdot B + R \end{aligned} \right\} \quad (10.39)$$

ahol: A – osztandó  
 B – osztó  
 Q – hányados  
 R – maradék

és a *törtvonal* fejezi ki a másként  $A:B$  módon jelölt *osztási* műveletet. Normális körülményeket feltételezve még az is kimondható, hogy:

$$B \neq 0$$

#### 10.6.6.1. Osztás visszavezetése kivonásra



Az osztást visszavezethetjük megismételt kivonási és összehasonlítási műveletek együttesére, melyet egy előzetes, decimális számokat tartalmazó példán szemléltetünk. A lépéseket a 10.68. ábrán követhetjük. A cél az, hogy megállapítsuk, hogy a B osztó hányszor „fél bele” *egész-számszor* az A osztandóba (ez fogja ugyanis megadni a Q hányadost), továbbá, meg kell még állapítanunk az R maradékot is. A

$$A = 13_{10} \text{ (osztandó)}$$

$$B = 5_{10} \text{ (osztó)}$$

lépés	kivonás	különbség	hányszor fér bele B az A-ba
1.	$13 - 5$	8	$1\times$
2.	$8 - 5$	3	$2\times$
3.	$3 - 5$	-2	már nem fér bele
4.	$-2 + 5$	3	visszaállítás

R = 3 (maradék)

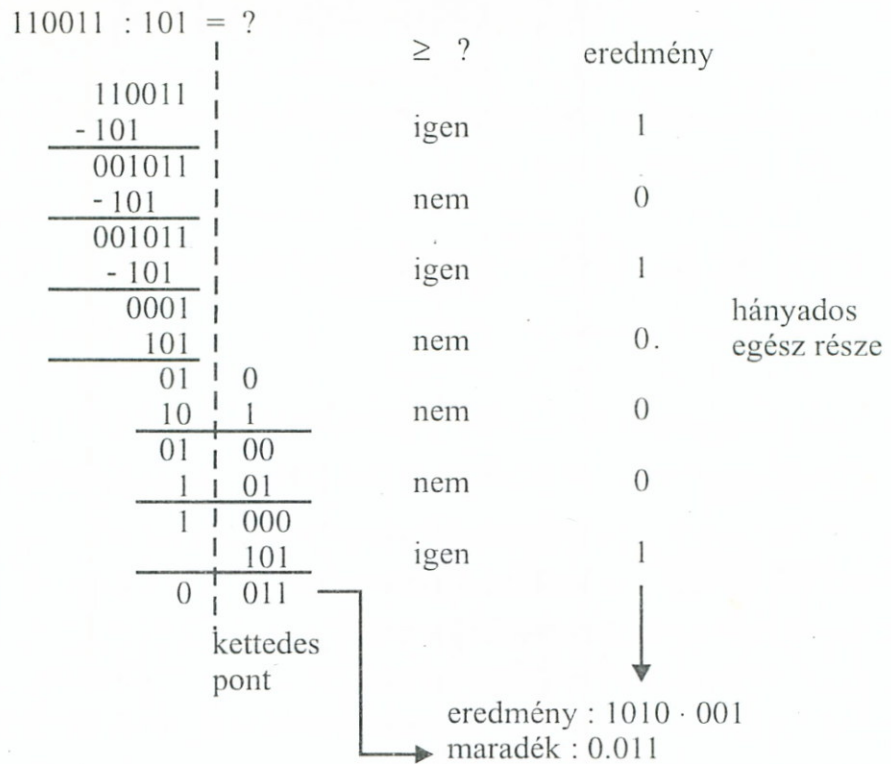
Q = 2 (hányados)

**10 - 68. ábra.** *Osztás visszavezetése kivonásra és összehasonlítási műveletre*

10.68. ábrán a 3. lépés kivonása negatív eredményt hoz, ebből kiderül, hogy a B  $2\times$  fért bele az A-ba, tehát a hányados  $Q = Z$ , míg a maradék az utolsó *nem negatív* eredményű kivonás (2. lépés) eredményéből adódik, azaz  $R = 3$ . Fentiek felismeréséhez tulajdonképpen el kellett végeznünk a végeredmény szempontjából „felesleges” 3. lépés kivonását is, mivel itt derült ki, hogy már a 2. lépésben az algoritmus leállítandó. Soros algoritmusok esetében ezt a „túlfutást” általában kompenzálni kell, hogy visszaléphessünk az algoritmus „utolsó hasznos” fázisába. Ezt a műveletet *visszaállítás*-nak nevezzük és egyszerű példánkban ez történik a 4. lépésben, ahol egy kompenzáló összeadással valójában visszaállítjuk az algoritmust a 2. lépésbe.

### 10.6.6.2. Bináris osztás kivonással

A bináris osztás is visszavezethető kivonásra és összehasonlításra az előzők alapján. Egy elterjedt algoritmus szerint az osztót először úgy kell elhelyezni az osztandóhoz képest, hogy a legmagasabb helyértékek *egymás alá* kerüljenek. Ha ekkor az osztandó nagyobb az osztónál, az osztót (az adott, eltolt helyérték szerint) ki kell vonni, majd az osztandót eggyel balra léptetve, ezt az eljárást kell megismételni a kivonás eredményével. Az osztandó léptetését, összehasonlítását, kivonását mindaddig folytatni kell, míg az osztó a valódi helyérték pozíciójába nem kerül és a felsorolt lépéseket itt is el nem végeztük. A hányados eközben úgy keletkezik, hogy valahányszor az osztandót az osztónál nem kisebbnek találtuk, 1-et, valahányszor pedig az osztó bizonyult nagyobbknak, 0-t írunk le. A fenti eljárással megkapjuk a hányados egész részét. Amennyiben kettedestört jegyekre is szükség van, az eljárás befejezése után az eredményben leírjuk a kettedespontot, majd folytatjuk az osztó jobbra csúsztatását, s



10 - 69. ábra. Bináris osztás ismételt kivonással

közben az osztandót 0 értékű kettedes jegyekkel egészítjük ki. Az osztás folyamatát illusztrálja a 10.69. ábra.

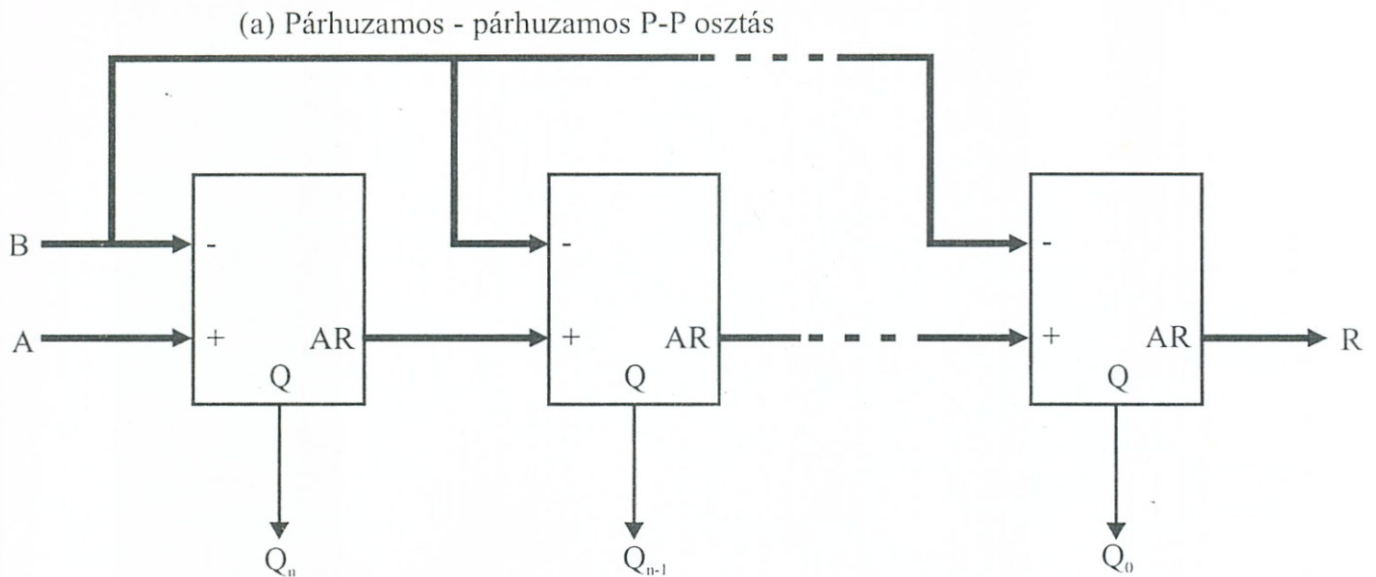
### 10.6.6.3. Kivonásos algoritmussal dolgozó osztóegységek

A 10.69. ábra bináris osztási algoritmusán alapulnak a következőkben bemutatandó osztó áramkörök, némi módosulásokkal.

Ezeknél is az osztandóból az osztót először 2 olyan magas hatványával szorozva (vagyis annyi helyiértékkel balra tolva) kíséreljük meg kivonni, hogy az osztandó legmagasabb helyiértékű bitje és az osztó legmagasabb helyiértékű bitje egymás alá kerüljenek. Ha a kivonás sikerült, vagyis az osztó ilyen módon még mindig kisebb az osztandónál, a hányados legmagasabb helyiértékű bitje 1 lesz, s a különbséggel fogjuk folytatni az előbbi eljárást oly módon, hogy az osztót most egy pozícióval jobbra léptetjük. Ha azonban a különbség negatív volt, a hányados legmagasabb helyiértékű bitje 0, s az osztót eggyel jobbra léptetve, az eredeti osztandóval folytatjuk az eljárást. Ezt az elvet követik az alábbi osztóberendezések is.

#### a) Párhuzamos-párhuzamos P-P osztás

A 10.70. ábra hálózatánál egy-egy blokk egy több-bites kivonó-döntő áramkört tartalmaz, melynek „+” bemenetére az osztandó,

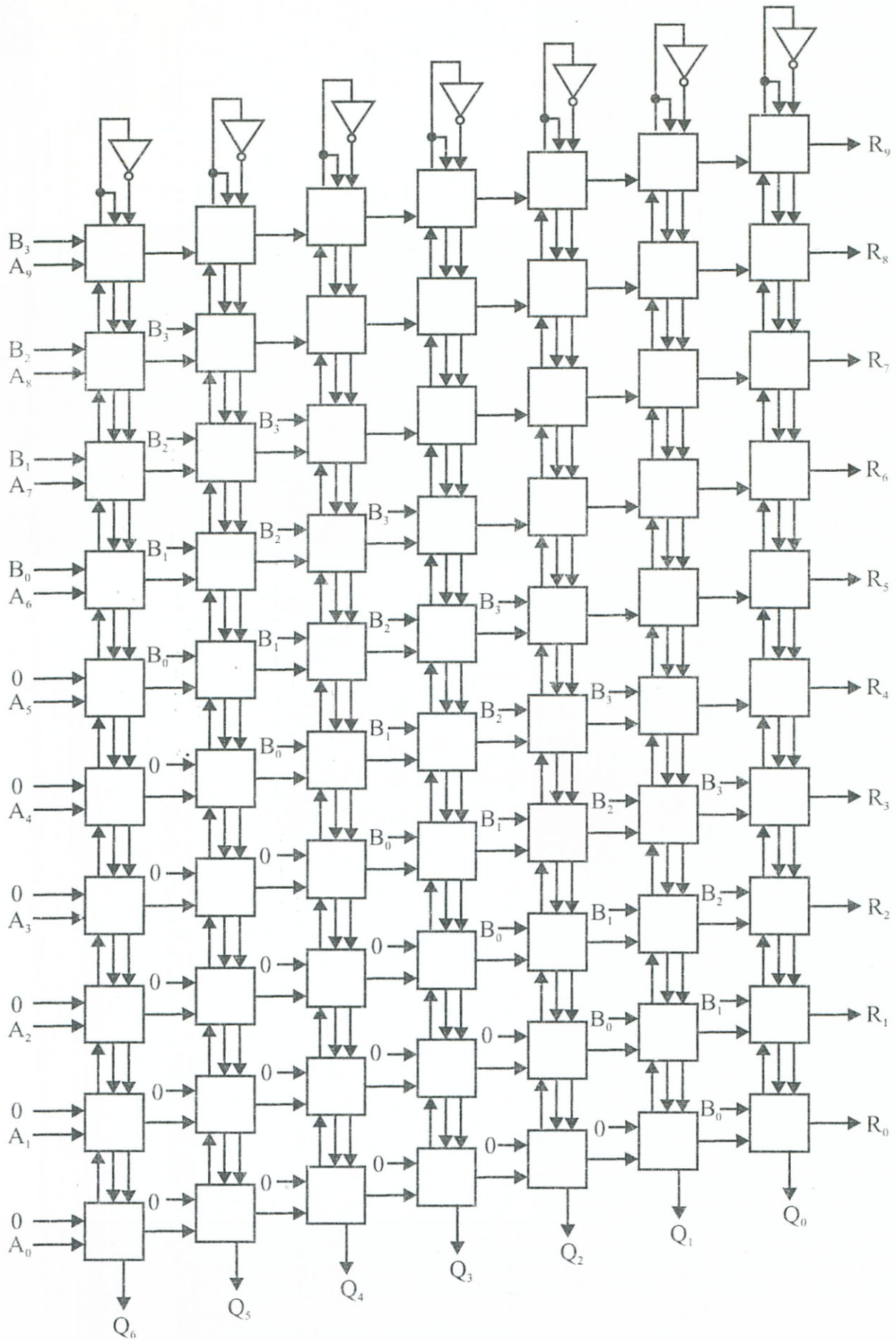


10 - 70. ábra. Párhuzamos - párhuzamos bináris osztó

„-” bemenetére az osztó kerül. Az AR kimeneten vagy a változatlan osztandó (1 értékű áthozat esetén), vagy a maradék (0 értékű áthozat esetén) jelenik meg, a Q bit pedig a hányados, mely nem más, mint az áthozat negáltja. Az osztó kapcsolás részletezve látható a 10.71. ábrán, mely 10 bites osztandó és 4 bites osztó esetén működik. A hányados így 7 biten keletkezik, természetesen lehetséges, hogy a legmagasabb helyiértéken 0 van.

Egy-egy cella a 10.72. ábrának megfelelő kapcsolású.

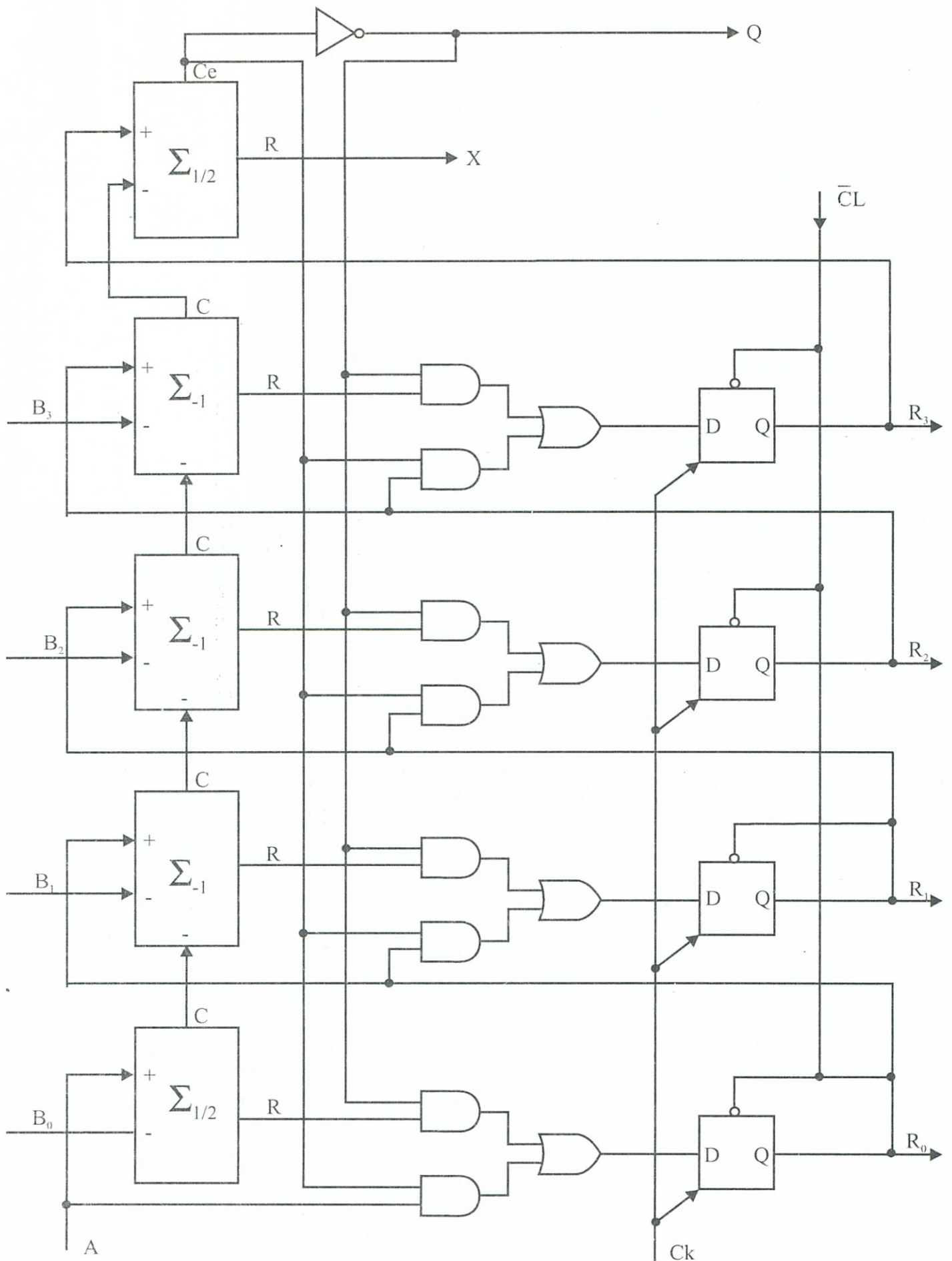
A működés a következő: A  $\Sigma_{-1}$  jelű 1-bites egész kivonó  $A_i$  bemenetére az osztandó,  $B_i$  bemenetére az osztó megfelelő helyiértékű bite kerül. A  $C_i$  bemeneten az előző helyiértékről érkezett áthozat, a  $C_{i+1}$  kimeneten pedig a következő helyiértékre továbbítandó áthozat található. E és  $\bar{E}$  a legmagasabb helyiértékű áthozattól függő engedélyező bemenetek, melyek az összes helyiértéken végigfutnak, ha az áthozat 1, az  $AR_i$  kimeneten  $A_i$  változatlanul jelenik meg, ha viszont az áthozat 0,  $AR_i$ -re  $R_i$  kerül. Az ilyen cellák együttesét csupán az engedélyező jelet előállító inverterrel kell kiegészíteni, s helyiértékenként a negált áthozat adja ki a  $Q_i$  hányadosbitet is. A 10.71. ábra rajzán természetesen mindazok az egész kivonók félkivonóra cserélhetők ki, amelyeknek egyik bemenetére biztosan 0 kerül. Ennek az áramkörnek a hátránya, hogy igen költséges,  $n$  bites osztandó és  $m$  bites osztó esetén  $n \cdot (n - m + 1)$  kivonó-döntő áramkört és  $n - m + 1$  invertert tartalmaz.



10 - 71. ábra. Párhuzamos - párhuzamos bináris osztó cellastruktúrája







10 - 74. ábra. Soros - párhuzamos bináris osztó

Az  $n$ -bites osztandó az  $A$  bemeneteken érkezik és az  $n$ -bites SR2 léptetőregiszterbe kerül, amennyiben az  $E$  engedélyező bemenet értéke 0. Az  $m$ -bites osztót a legmagasabb helyiértékre feltolva a  $B$  bemeneteken át az  $n$ -bites SR1 regiszterbe írjuk úgy, hogy az alacsonyabb helyiértékekre 0 kerül. Ezután indulhat az osztás, az  $E$  bemenetet azonban előbb 1-re kell állítani. A  $\Sigma_{\pm n}$  jelű áramkör  $n$ -bites kivonó, mely megfelel a 10-71. ábra egy oszlopának. Az eredő áthozat a  $C$  kimeneten képződik, ennek negáltja lép be az  $(n - m + 1)$ -bites SR3 regiszterbe. Az  $R$  kimeneteken képződik a különbség, a  $C$  áthozat negáltja engedélyezi ennek beírását az SR2-be, ha  $C = 1$ , az eredeti kisebbitendő visszairódik. Az egyszerűbb ábra érdekében  $n$  db ÉS-kaput, illetve  $n$  db VAGY-kaput egyetlen szimbólummal jelöltünk.

### c) Soros-párhuzamos osztás ( $S-P$ )

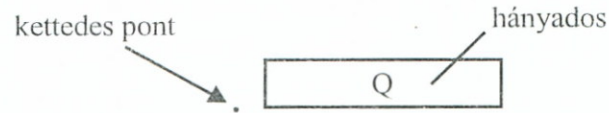
Ugyanezen elven alapuló újabb módosított realizáció valósítja meg a soros osztandó és párhuzamos osztó esetében működő áramkört (10-74. ábra).

A példában 4-bites osztó a  $B_i$  bemeneteken áll rendelkezésre, a tetszőleges hosszúságú osztandó pedig a legmagasabb helyiértéktől kezdve az  $A$  bemeneten érkezik. Közben a  $Q$  kimeneten jelennek meg a hányados bitjei sorosan, szintén a legmagasabb helyiértéktől kezdve. Az osztás megkezdése előtt a  $D$ -tárolókat a  $CL$  bemenet segítségével törölni kell, így mindaddig, amíg az osztandó bitjei közül annyi be nem lépett, hogy az így a  $D$ -tárolókból képzett regiszterben tárolt szám (legelső helyiértéknek tekintve az éppen  $A$ -n található bitet) már eléri vagy meghaladja a  $B$  osztót, a legmagasabb helyiértéken keletkező  $C_e$  áthozat mindig 1 lesz, azaz a hányados bitjei 0-k. Amíg az áthozat 1, az ÉS-kapuk mindig az eggyel alacsonyabb helyiértékről érkezett bit változatlan beírását fogják engedélyezni a  $D$ -tárolókba, így a 4  $D$ -tároló egyszerűen léptető regiszterként fog működni. Mivel  $C_e = 0$  keletkezik, megjelenik az első 0-tól különböző  $Q$  bit és ugyanakkor az ÉS-kapuk a kivonókból érkező  $R$  maradékok beírását engedélyezik, tehát az ilyen lépések eredményeképpen a  $D$ -tárolók alkotta regiszterben léptetés helyett a különbség bitjei jelennek meg. Természetesen ezek tovább fognak felfelé lépkedni (valójában az osztó lépked lefelé hozzájuk képest), s alulról mindig az osztandó újabb, alacsonyabb helyiértékű bitjei lépnek be folytatólagosan. A legfelső helyiértéken soha nem keletkezhetsz 1 értékű maradék, ezért ezt a kimenetet ( $X$ ) nem használjuk fel. Az osztás befejezése után a maradék az  $R_i$  kimeneteken olvasható ki párhuzamosan. Az ábrán  $\Sigma_{-1}$  az egész kivonó,  $\Sigma_{-1/2}$  pedig a fél kivonó jele.



## d) Tört hányadost előállító osztóberendezés

Ez az osztóberendezés ugyancsak az ismételt kivonás elvén működik és tört hányados ( $A:B$ , ha  $A \leq B$ ) kiszámítására alkalmas előjel-abszolútértékes ábrázolást feltételezve. Az eredményt ún. „kettedes-tört” alakban kapjuk a 10-75. ábra szerinti értelmezésben:



10 - 75. ábra. Kettedes - tört - es ábrázolás

Az algoritmus az abszolútértékek hányadosát állítja elő és rokon-ságban van a korábbi osztó algoritmussal. Az ismételten képződő részmaradékokat a következő formulával lehet megadni:

$$R_i = rR_{i-1} - Q_i \cdot B \quad (10.40)$$

ahol:  $R_i$  – aktuális rész-maradék  
 $r$  – radix (kettes számrendszer:  $r = 2$ )  
 $R_{i-1}$  – előző rész-maradék  
 $Q_i$  – részhányados  
 $B$  – osztó

A (10.40) formula érvényes más számrendszerben is, csak  $r$  helyett a megfelelő radixot kell beírni.

Az *osztási algoritmus* előzetesen a következőkben foglalható össze, figyelembevéve a 10.68. ábra példájánál tapasztaltakat is:

- Az első részmaradék maga az *osztandó*  $A = R_0$ .
- A (10.40) formula szerint az előző részmaradékot 2-szerezni kell (ez történhet *balra* léptetéssel, majd ki kell vonnunk a kétszerezés eredményéből az osztót).
- Ha keletkezett átvitel ( $CY = 1$ ), azaz az új részmaradék *pozitív*, akkor a kivonás elvégezhető volt, ilyenkor  $Q_i = 1$  lesz, és felírható, hogy  $Q_i = CY = 1$ .
- Ha nem keletkezett átvitel ( $CY = 0$ ), azaz az új részmaradék *negatív*, akkor a kivonást nem lett volna szabad elvégezni, ezért  $CY = Q_i = 0$  lesz és az állapotot *vissza kell állítani* a „felesleges” kivonás előtti értékre. A visszaállítás az osztó hozzáadásával történik. (Lásd: 10-68. ábra példája)
- A folyamatot mindaddig folytatni kell, amíg a részmaradék képzést minden  $i$ -re el nem végeztük,  $n$ -bites szóhossz esetén a lépések száma:  $n$ .

Az algoritmust matematikailag is alátámaszthatjuk a következő rövid levezetéssel. Ha az egyes mozzanatokra sorba felírjuk a (10.40) összefüggést:

$$\begin{aligned} R_0 &= A \\ R_1 &= 2R_0 - Q_1B = 2A - Q_1B \\ R_2 &= 2R_1 - Q_2B = 2(2A - Q_1B) - Q_2B \\ &\vdots \\ R_n &= 2^n \cdot A - 2^{n-1} \cdot Q_1B - 2^{n-2} \cdot Q_2B - \dots - 2^0 \cdot Q_nB \end{aligned}$$

$R_n$  átrendezése,  $2^{-n}$ -el történő végigszorzás, és a kiemelések elvégzése után végül írható:

$$A = B \cdot \sum_{i=1}^n Q_i \cdot 2^i + R_n \cdot 2^{-n} \quad (10.41)$$

vagy B-vel végig osztva kapjuk a kiinduló-formulával erősen rokon alábbi kifejezést:

$$\frac{A}{B} = \sum_{i=1}^n Q_i \cdot 2^i + \frac{R_n \cdot 2^{-n}}{B} \quad (10.42)$$

ahol: – az első tag a *hányados*  
– a második tag számlálója pedig a maradék.

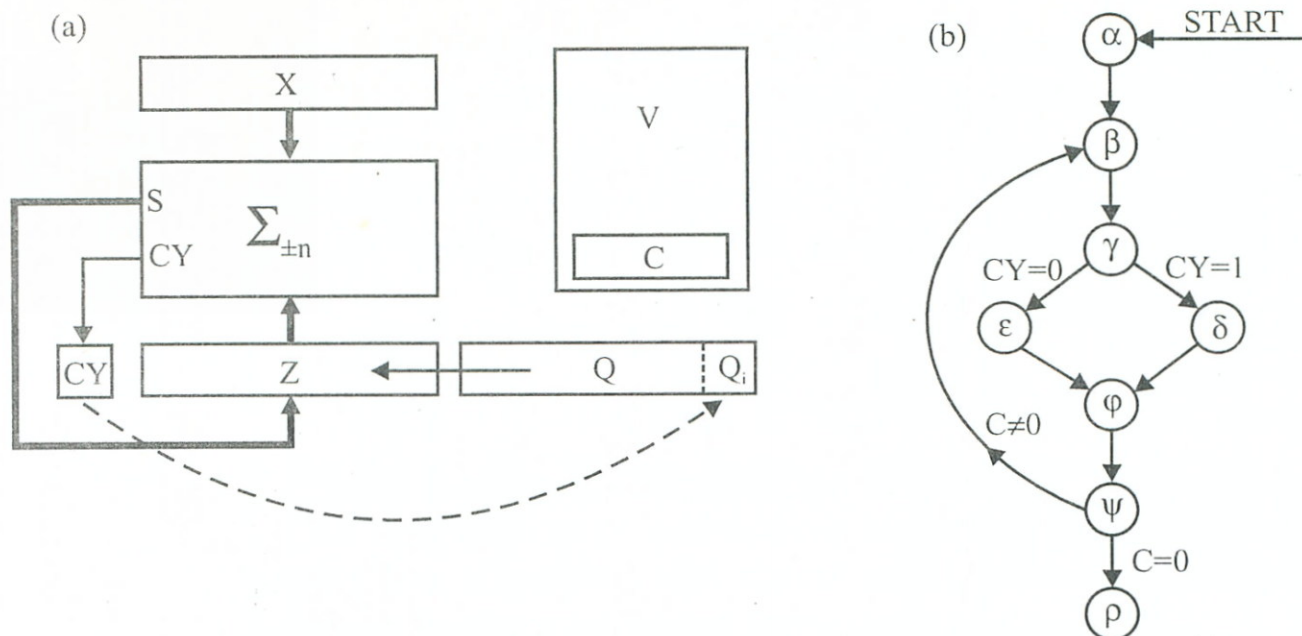
Mindkettőről megállapítható, hogy valóban tört számot képviselnek.

Az elmondottak végrehajtására használható fel a 10-76a. ábrán blokk-sémával jellemzett hálózat, melynek működését (a szorzási realizációknál tapasztaltakhoz hasonlóan) egy V vezérlőegység irányítja a 10-76b. ábra gráfjával értelmezett algoritmus szerint.

Az első, ami szembetűnik [és (10.40) alapján várható is volt] a 10-76a. ábra blokkvázlatánál, hogy itt a Z, Q munkaregiszterek *balra* lépkednek, és hogy az összeadó–kivonó áramkör átviteli kimenete is felhasználásra kerül a fent elmondottak értelmében.

A berendezés adatokkal feltöltése előtt célszerű meggyőződni arról, hogy az OSZTÓ  $\neq 0$  ( $B \neq 0$ ) és az algoritmus által megkívánt „törthányados” ( $A \leq B$ ) feltételek teljesülnek-e. Ezután, az előzetesen már összefoglalt *osztási algoritmus* egyes lépéseit képviselő 10-76b. ábrabeli gráfállapotok-beli teendők a következőképpen kell, hogy alakuljanak:

*$\alpha$  állapot:* Indulás előtt fel kell tölteni az egyes regisztereket és az átvitel bitet nullázni kell:



10 - 76. ábra. Bináris osztóberendezés algoritmizált vezérlővel

OSZTANDÓ :  $|A| \rightarrow Z$   
 OSZTÓ :  $|B| \rightarrow X$   
 TÖRLÉS :  $0 \rightarrow Q$   
 TÖRLÉS :  $0 \rightarrow CY$   
 CIKLUSSZÁM :  $n \rightarrow C$

A START indító parancs után az osztási folyamat beindul.

$\beta$  állapot: Itt a Z, Q regiszterpárt *balra* kell léptetni (2-vel való szorzás), majd el kell végezni a részmaradék számításához a *kivonási* műveletet is.

$\gamma$  állapot: Ha ez sikeres, akkor  $CY = 1$  és elugrunk a  $\delta$  állapotba. Ha „nem kellett volna” elvégezni a kivonást, akkor  $CY = 0$ , ekkor az  $\varepsilon$  állapotba ugrunk.

$\delta$  állapot: A *sikeres* kivonásnak megfelelően a  $CY = 1$  értéket beírjuk a Q regiszter pillanatnyilag *legutolsó* bitjébe:  $CY = 1 \rightarrow Q_i$ , majd továbblépünk  $\varphi$  állapotba.

$\varepsilon$  állapot: A *sikertelen* kivonás következtében  $CY = 0 \rightarrow Q_i$  beírás történik és a rendszer-állapotot *vissza kell állítani* (összeadással) a kivonás előtti értékre, majd továbblépünk a  $\varphi$  állapotba.

$\varphi$  állapot: Miután az aktuális részmaradékkal kapcsolatos teendők befejeződtek, itt dekrementáljuk a C hátrafelé lépő ciklusszámlálót.

$\psi$  állapot: Ha  $C \neq 0$ , akkor még újabb részmaradék számítás kell, hogy következzen, ezért visszaugrunk a  $\beta$  állapotba.

Ha  $C = 0$ , akkor ez volt az utolsó ciklus és a műveletsorozat leáll a  $\delta$  állapotban.

$\rho$  állapot: Ebben az állapotban az egyes regiszterek (melyeknek tartalma túlnyomórészt folyamatosan változott az algoritmus során) már az osztás végeredményét tartalmazzák a következők szerint:

Q = HÁNYADOS (Q)

Z = MARADÉK (R)

X = OSZTÓ (B)

C = CIKLUS VÉGE (0)

Miután itt előjel-abszolútértékes számábrázolás van, a fentiek csak az eredmény abszolútértékét érintik. Az előjelszámítás itt is az osztásra vonatkozó „iskolás” szabály szerint történik, melynél, ha az osztó és osztandó előjele azonos, akkor pozitív, ha eltérő, akkor negatív előjelű az osztás eredménye. Ez, a konvenciók szerint az alábbi formulával számítható ki:

$$s_E = s_{\text{osztó}} \oplus s_{\text{osztandó}} \quad (10.43)$$

ahol:  $s_E$  – eredmény előjele

$s_{\text{osztó}}$  – osztó előjele

$s_{\text{osztandó}}$  – osztandó előjele

és a konvenció:  $+ = 0$ ,  $- = 1$ .

Végül, szemléltető céllal itt is bemutatunk egy részletezett számpéldát, melynek lépései a 10-77. ábrán követhetők. A kivonásokat a  $B_k$  komplement hozzáadásával képezzük, a visszaállítást B hozzáadással:

OSZTANDÓ:  $|A| = |-3_{10}| = 0011_2$  (Z-be betöltve)  $n = 4$

OSZTÓ :  $|B| = |+5_{10}| = 0101_2$  (X-be betöltve),  $B_k = 1011$

A példa ellenőrző-próbáját a kiinduló (10.38) összefüggésbe történő behelyettesítéssel végezhetjük:

$$\frac{|A|}{|B|} = \frac{3}{5} = Q + \frac{R}{B} = \frac{9}{16} + \frac{3/16}{5} = \frac{45}{80} + \frac{3}{80} = \frac{48}{80} = \frac{3}{5}$$

Nyilván felvetődik a kérdés, hogy a bemutatott törthányadosú osztás elvei alapján vajon kialakítható-e egy egészhányadosú algoritmus. A probléma nem nagy ráfordítással megoldható. A módszer részleteit a Feladatgyűjtemény vonatkozó részében egy ugyancsak részletesen kidolgozott példa keretében mutatjuk be.



Osztandó:  $|A| = |-3_{10}| = 0011_2$  (Z-be betöltve)  $n = 4$   
 Osztó :  $|B| = |+5_{10}| = 0101_2$  (X-be betöltve)  $B_k = 1011$

	CY	Z	Q	Q <sub>i</sub>	C	C
A=R <sub>0</sub>	0	0011	000	0	4	
2R <sub>0</sub> +B <sub>k</sub>		0110 1011				←
R <sub>1</sub>	1	0001	000	1	3	CY→Q <sub>1</sub> =1
2R <sub>1</sub> +B <sub>k</sub>		0010 1011	001			←
+B	0	1101 0101		0		} Vissza- állítás
R <sub>2</sub>	1	0010	001	0	2	
2R <sub>2</sub> +B <sub>k</sub>		0100 1011	010			←
+B	0	1111 0101			0	} Vissza- állítás
R <sub>3</sub>	1	0100	010	0	1	
2R <sub>3</sub> +B <sub>k</sub>		1000 1011	100			←
R <sub>4</sub>	1	0011	100	1	0	CY→Q <sub>4</sub> =1

Ketteses vessző      ↑ Maradék      ↑ Hányados

                          2<sup>-1</sup>2<sup>-2</sup>2<sup>-3</sup>2<sup>-4</sup>    2<sup>-1</sup>2<sup>-2</sup>2<sup>-3</sup>2<sup>-4</sup>

MARADÉK :  $R = 0, 0011_2 = 1/8 + 1/16 = 3/16$   
 HÁNYADOS :  $Q = 0, 1001_2 = 1/2 + 1/16 = 9/16$   
 ELŐJEL :  $s_E = s_{osztó} \oplus s_{osztandó} = 1 \oplus 0 = 1 \rightarrow$  Negatív

10-77. ábra. Bináris törthányadosú osztás példája

### 10.6.7. Műveletek lebegőpontos bináris számokkal



A lebegőpontos bináris számokkal végzett műveleteknél a (10.26) definíciós formulából kell kiindulnunk:

$$N_i = s_i \cdot m_i \cdot 2^{k_i} \quad (10.44)$$

A formulából látható, hogy minden számhoz háromféle jellemző tartozik, ezek

- $s_i$  = előjel
- $m_i$  = mantissza
- $k_i$  = karakterisztika (előjeles kitevő)

Ha a lebegőpontos számokkal műveleteket végzünk, *mindhárom jellemző* kiszámítását *külön-külön* el kell végeznünk az adott művelet



által meghatározott szabályok szerint, melyek műveletfajtánként (esetleg erősen) eltérők lehetnek.

a) Szorzás-nál pl. két operandusra a következők írhatók fel:

$$N_p = N_i \times N_j = (s_i, m_i \cdot 2^{k_i}) \times (s_j, m_j \cdot 2^{k_j}) \quad (10.45)$$

A szorzat *előjelének* ( $s_p$ ) kiszámításánál azt az „iskolás” szabályt kell alkalmaznunk, mely szerint, ha a szorzandók előjele:

megegyezik, akkor: + (0)

eltérő, akkor: – (1)

lesz az eredmény. A számításnál – mint már láttuk – jól felhasználható az *antivalencia* függvény, ha fenntartjuk a: – = 1, + = 0 konvenciót. Ilyenkor érvényes:

$$s_p = s_i \oplus s_j \quad (10.46)$$

A szorzat *abszolút-értékének* ( $m_p \cdot 2^{k_p}$ ) kiszámításához el kell végeznünk a két operandus exponenciális függvény összeszorzását:

$$|N_p| = m_p \cdot 2^{k_p} = (m_i \cdot 2^{k_i}) \times (m_j \cdot 2^{k_j}) = (m_i \times m_j) \cdot 2^{k_i+k_j}$$

melyből az alábbiakat kapjuk:

$$\begin{aligned} m_p &= m_i \times m_j \\ k_p &= k_i + k_j \end{aligned} \quad (10.47)$$

Végeredményben megállapítható, hogy a szorzat három jellemzőjénél mindegyikhez más- és másfajta műveletvégző áramkört kell használnunk.

Így

$s_p$ -hez : logikai ekvivalencia képzőt

$m_p$ -hez : aritmetikai szorzót

$k_p$ -hez : aritmetikai összeadót

A problémát tovább bonyolíthatja, hogy normalizált alakok esetén a szorzat normalizálásáról is gondoskodni kell.

b) *Osztásnál* ismét két operandust választva, a következők írhatók fel:

$$N_D = N_i : N_j = (s_i, m_i \cdot 2^{k_i}) : (s_j, m_j \cdot 2^{k_j}) \quad (10.48)$$

A hányados *előjelének* ( $s_D$ ) kiszámításánál az iskolai szabály „szerencsére” megegyezik a szorzatra vonatkozóval, így alkalmazható az előbbi antivalencia függvény:

$$s_D = s_i \oplus s_j \quad (10.49)$$

A hányados abszolút-értékéhez ( $m_D \cdot 2^{k_D}$ ) el kell osztani az osztandót az osztóval:

$$|N_D| = m_D \cdot 2^{k_D} = \frac{m_i \cdot 2^{k_i}}{m_j \cdot 2^{k_j}} = \frac{m_i}{m_j} \cdot 2^{k_i - k_j}$$

melyből az alábbiak adódnak:

$$m_D = \frac{m_1}{m_2} \tag{10.50}$$

$$k_D = k_i - k_j$$

azaz, végül az osztásnál a következőkre van szükség:

- $s_D$ -hez : logikai antivalencia képző
- $m_D$ -hez : aritmetikai osztó
- $k_D$ -hez : aritmetikai kivonó

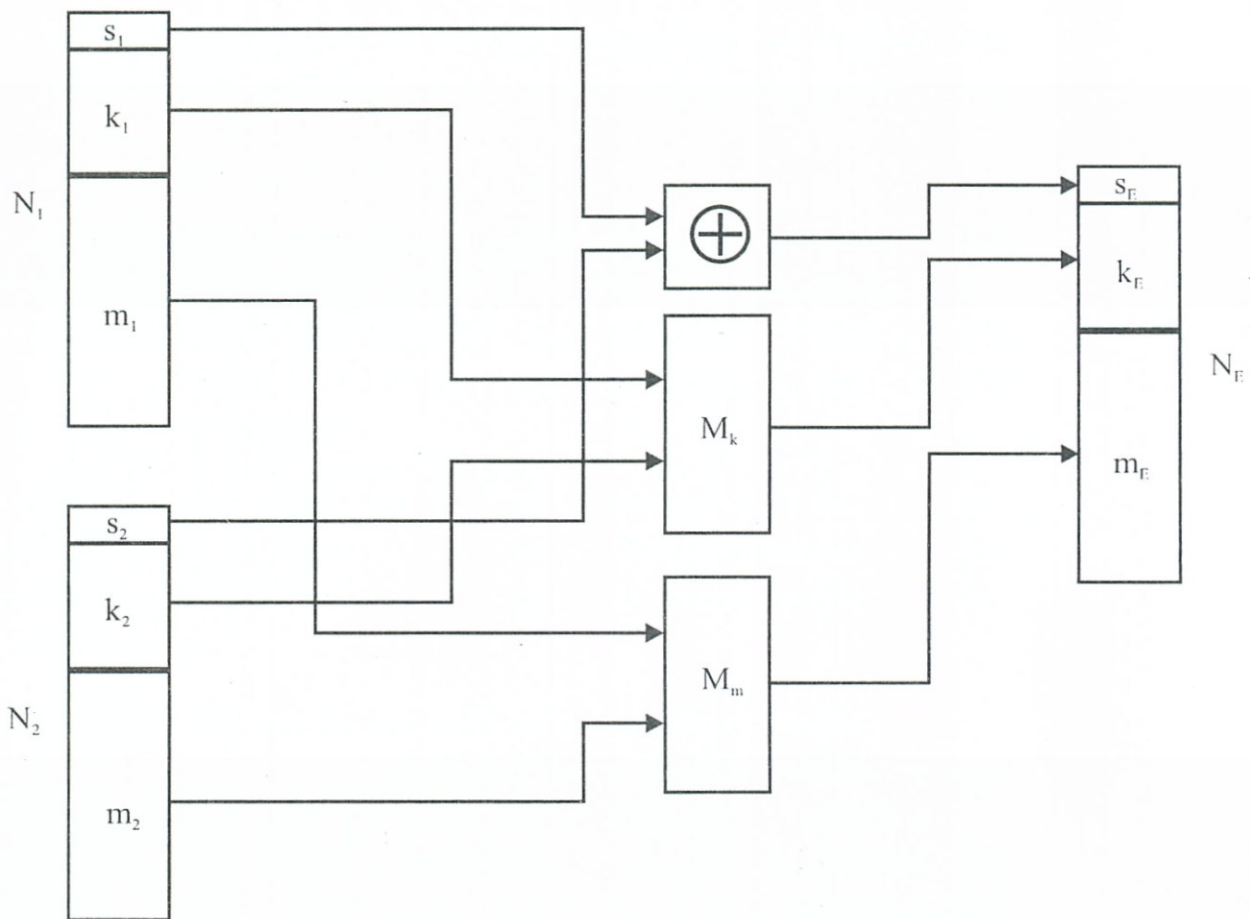
Az előzőkhöz hasonlóan, itt is ügyelni kell a normalizált alak biztosítására.

A szorzással és osztással kapcsolatosan elvégzett fenti megfontolások alapján (felhasználva a párhuzamosságokat) már felrajzolható egy blokkséma, melyből a lebegőpontos szorzás- és osztás elvégzésére alkalmas áramkör működési elve követhető.

A 10-78. ábra blokksémában az  $N_i$  és  $N_j$  operandusok egy-egy regiszterben, normalizált szektor elrendezésben helyezkednek el, és a megfelelő szektor-párok a nekik megfelelő két-operandusos műveletvégzők bemenetére csatlakoznak:

- $s_i, s_j$  mind szorzásnál, mind osztásnál egy antivalencia kapura
- $k_1, k_2$  az  $M_K$  műveletvégzőkre, mely:
  - szorzásnál: aritmetikai *összeadó*
  - osztásnál: aritmetikai *kivonó*
 áramkört képvisel
- $m_1, m_2$  az  $M_m$  műveletvégzőre, mely:
  - szorzásnál: aritmetikai *szorzó*
  - osztásnál: aritmetikai *osztó*
 áramkörnek felel meg.

A három műveletvégző által kiszámított értékek egy kimeneti, a szorzatot normalizált szektorhelyes elrendezésben tartalmazó eredményregiszterbe kerülnek.



$N_E = N_P$  szorzásnál:  $M_k$ : összeadó,  $M_m$ : szorzó,  $s_E = s_P$ ,  $k_E = k_P$ ,  $m_E = m_P$   
 $N_E = N_D$  osztásnál:  $M_k$ : kivonó,  $M_m$ : osztó,  $s_E = s_D$ ,  $k_E = k_D$ ,  $m_E = m_D$

**10- 78. ábra.** Lebegőpontos szorzó, -ill. osztó műveletvégző áramkör blokkvázlata

c) Összeadás- és kivonásnál a helyzet lényegesen bonyolultabbá válik, mivel a

$$N_E = N_i + N_j = (s_i, m_i \cdot 2^{k_i}) + (s_j, m_j \cdot 2^{k_j}) \quad (10.51)$$

összeadás, ill. kivonás csak akkor végezhető el, ha olyan matematikai átalakításokat végzünk, melyekkel a két operandusban azonos kitevőjűekké válnak a hatványfaktorok. Ezek az átalakítások a mantissákra is kihatnak, ezért az áramkörök lényegesen bonyolultabbakká válnak, valamint a normalizált alakok kezelése is több odafigyelést igényel.

További problémát okoz, hogy az eredmény (összeg-, vagy különbség) előjel-megállapításánál *nem szimmetrikus* nagyság-relációt kell alapul venni.

Felírhatók a következők az összevonásra:

$$N_{\text{ÖV}} = N_i \pm N_j = (s_i, m_i \cdot 2^{k_i}) + (s_j, m_j \cdot 2^{k_j})$$

Az eredmény előjele az abszolútértékben nagyobbik operandus előjével fog megegyezni.

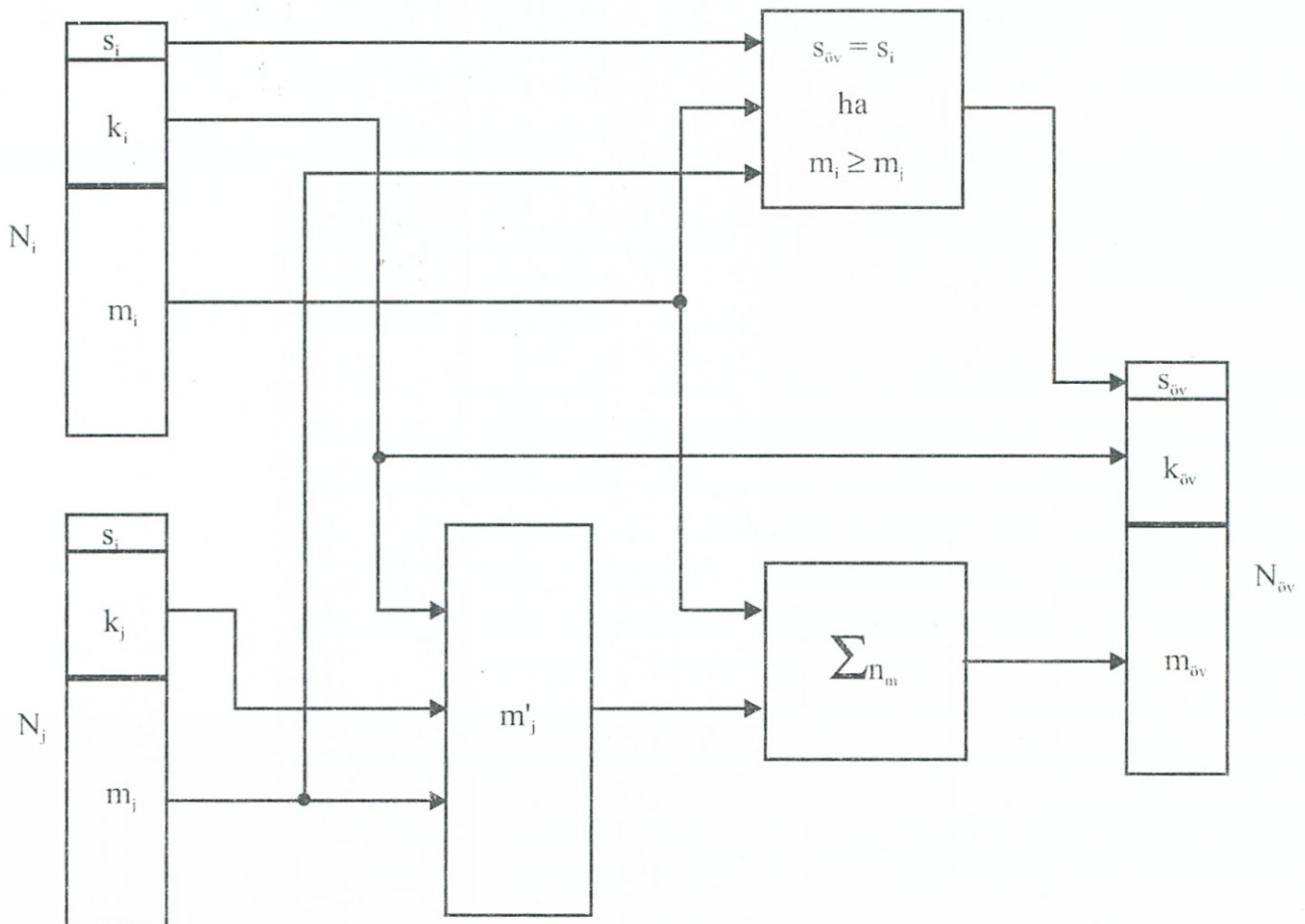
$$s_{\text{öv}} = s_i \quad \text{ha: } |N_i| \geq |N_j| \quad (10.52)$$

Az eredmény abszolútértékének kiszámításánál – mint fent említettük – az összevonást csak akkor lehet közvetlenül elvégezni, ha  $k_i = k_j$ . A  $k_i \neq k_j$  esetben átalakítást kell végezni a hatványfaktorok azonos kitevőjűvé transzformálása érdekében a (10.53) szerint:

$$\left. \begin{aligned} |N_{\text{ö,k}}| &= m_i \cdot 2^{k_i} \pm m_j \cdot 2^{k_j} = (m_i \pm m'_j) \cdot 2^{k_i} \\ \text{ahol: } m'_j \cdot 2^{k_i} &= m_j \cdot 2^{k_j} \\ \text{és: } m'_j &= m_j \cdot 2^{k_j - k_i} \end{aligned} \right\} \quad (10.53)$$

Mint látható, a közös  $k_i$  kitevőbe transzformálás kihatással van az  $m_j$  mantisszára is, mely  $m'_j$ -vé alakult.

Az elvégzett megfontolások alapján a 10-79. ábrán felrajzoltunk egy bloksémát, melyen a lebegőpontos összevonás elve követhető. Az operandusok és az eredmény – hasonlóan a 10-78. ábrához – re-



10 - 79. ábra. Lebegőpontos összevonás elvi sémája

giszterekben helyezkednek el. Itt különös figyelmet kell fordítani az eredmény normalizált alakjának előállítására a (10.53)-beli transzformáció miatt.

## 10.7. Digitális komparátorok, összehasonlító



### 10.7.1. Elvi működés

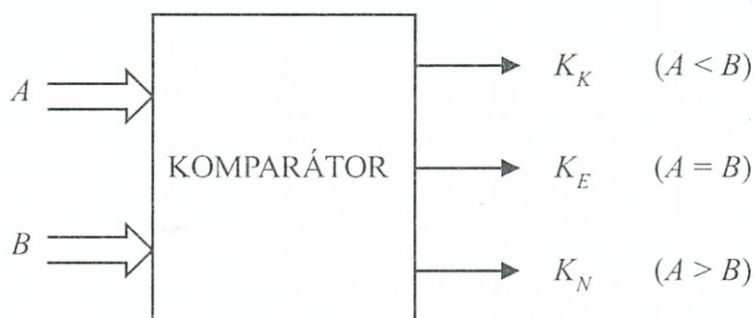
A komparátor elvi működését a 10-80. ábrán követhetjük. A komparátor az „A”, ill. „B” bemenetekre érkező kódszavakat *mennyiségi tartalmuk* szemszögéből összehasonlítja, és az összehasonlítás eredményét az

$$\left. \begin{array}{l} A < B = K_K \\ A = B = K_E \\ A > B = K_N \end{array} \right\} \quad (10.54)$$

relációknak megfelelően a három kimenet valamelyikén jelzi.

Komparálási feladatok megoldása mind digitális, mind analóg elven megvalósítható. Ebben a fejezetben a digitális komparálás kérdéseivel foglalkozunk, az analóg összehasonlítókat már a 4. fejezet 4.2. és 4.3. pontjaiban tanulmányoztuk.

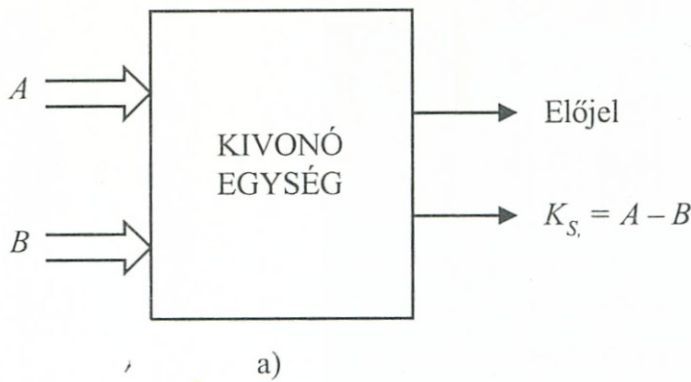
A (10.54) relációk vizsgálatánál kétféle lehetőségünk is adódik:



10-80. ábra Komparátor elvi vázolata

#### a.) Aritmetikai összehasonlítás

Itt az  $A$  és  $B$  közötti mennyiségi viszonylat megállapítására aritmetikai műveleteket alkalmazunk. Például a 10-81a. ábrán látható *kivonó egység* bemenetére adva  $A$ -t és  $B$ -t, a kivonás elvégzése után



$K_s = 0$	Előjel	Reláció
IGEN	Érdektelen	$A = B$
NEM	+ (0)	$A > B$
	- (1)	$A < B$

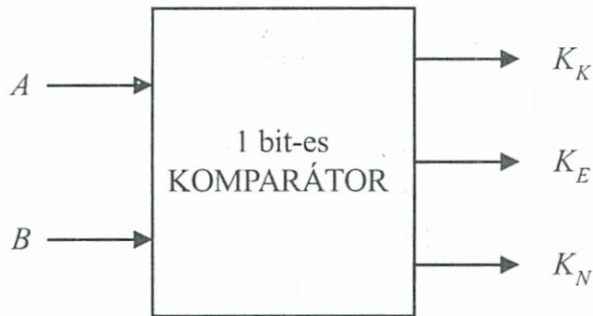
b)

10–81. ábra Összehasonlítás aritmetikai úton

(lásd 10.6. pont) a 10-81b. táblázat szerinti kiértékelést elvégezve tudjuk megállapítani, hogy melyik reláció érvényes.

b.) Logikai összehasonlítás

Itt a relációkkal kapcsolatosan meg kell gondolnunk, hogy amíg a  $K_E$  előállításához elegendő a hagyományos logikai szemlélet, az egyenlőségnek ekvivalencia-függvénnyel történő kifejezésével, addig a  $K_K, K_N$  „kisebb”- „nagyobb” értelmezéséhez további konvenciókra van szükség. Miután a kisebb-nagyobb relációk mennyiségi tar-



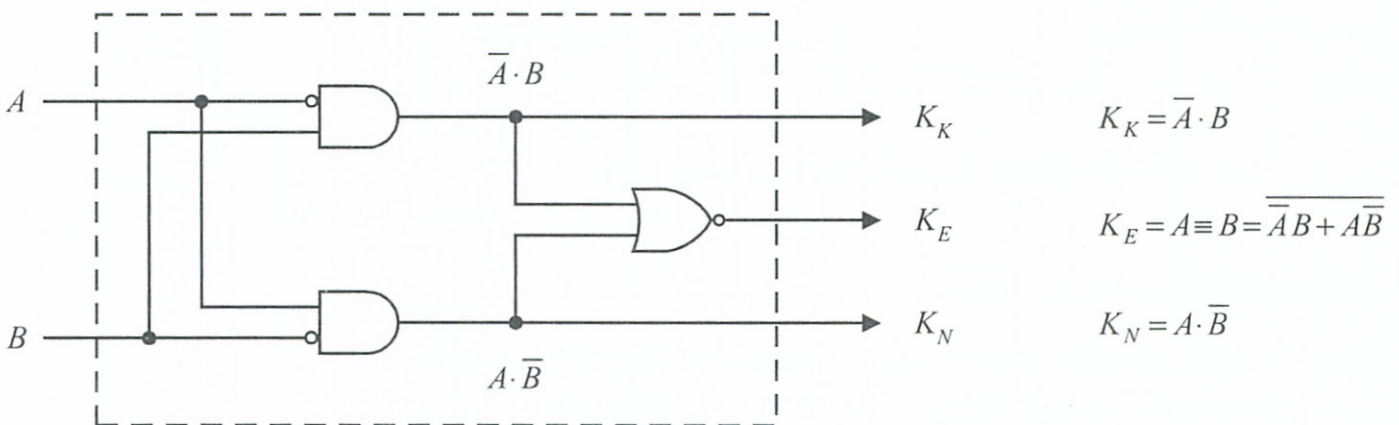
A	B	$K_K$	$K_E$	$K_N$
0	0	0	1	0
0	1	1	0	0
1	0	0	0	1
1	1	0	1	0

a)

b)

d)

c)



10–82. ábra 1 bit-es komparátor

talmúak, ezért ilyen eseteknél mennyiségi megkülönböztetést kell tennünk a hagyományos logikai hálózatoknál eddig ilyen értelemben nem megkülönböztetett 0 és 1 logikai értékek, illetve az ezekből felépülő kódszavak között is.

A 10-82a. ábrán egy *1 bites komparátor* elvi vázlata szerepel, összhangban a 10-80. ábra szerintivel. Itt az A, ill. B kódszavak csupán *1 bit* hosszúságúak. A hálózat logikai vázlatának felrajzolásához meg kell állapodnunk előzetesen a logikai értékekre vonatkozó – már említett – mennyiségi összerendelésben. Ez a gyakorlatban, az esetek túlnyomó részében az alábbi szerint alakul:

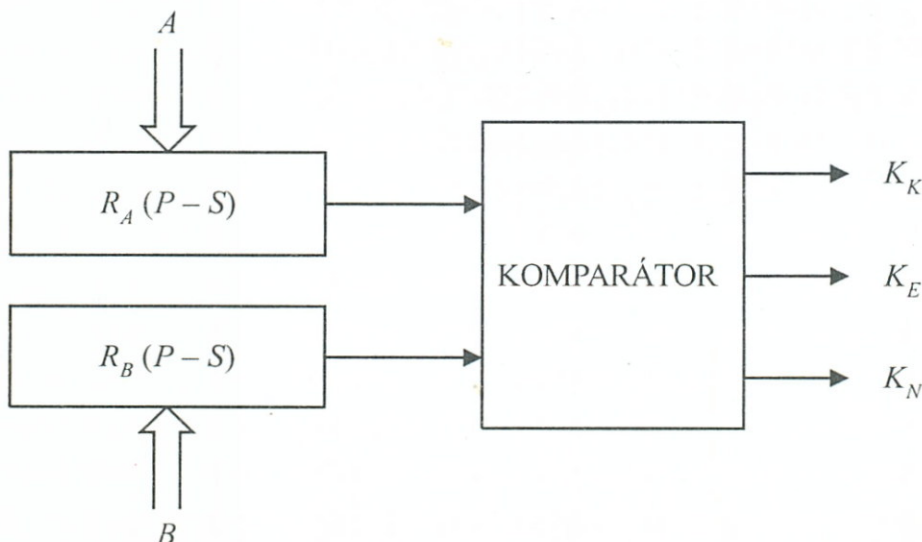
$$1 > 0$$

Konvenciónk alapján kitölthető a 10-82b. ábra szerinti logikai táblázat a háromféle kimeneti függvényre, melyeket a táblázatból algebrailag is felírhatunk a 10-82c. ábra szerinti módon. Végül megadhattuk a realizációs hálózat logikai vázlatát is a 10-82d. ábrának megfelelően.

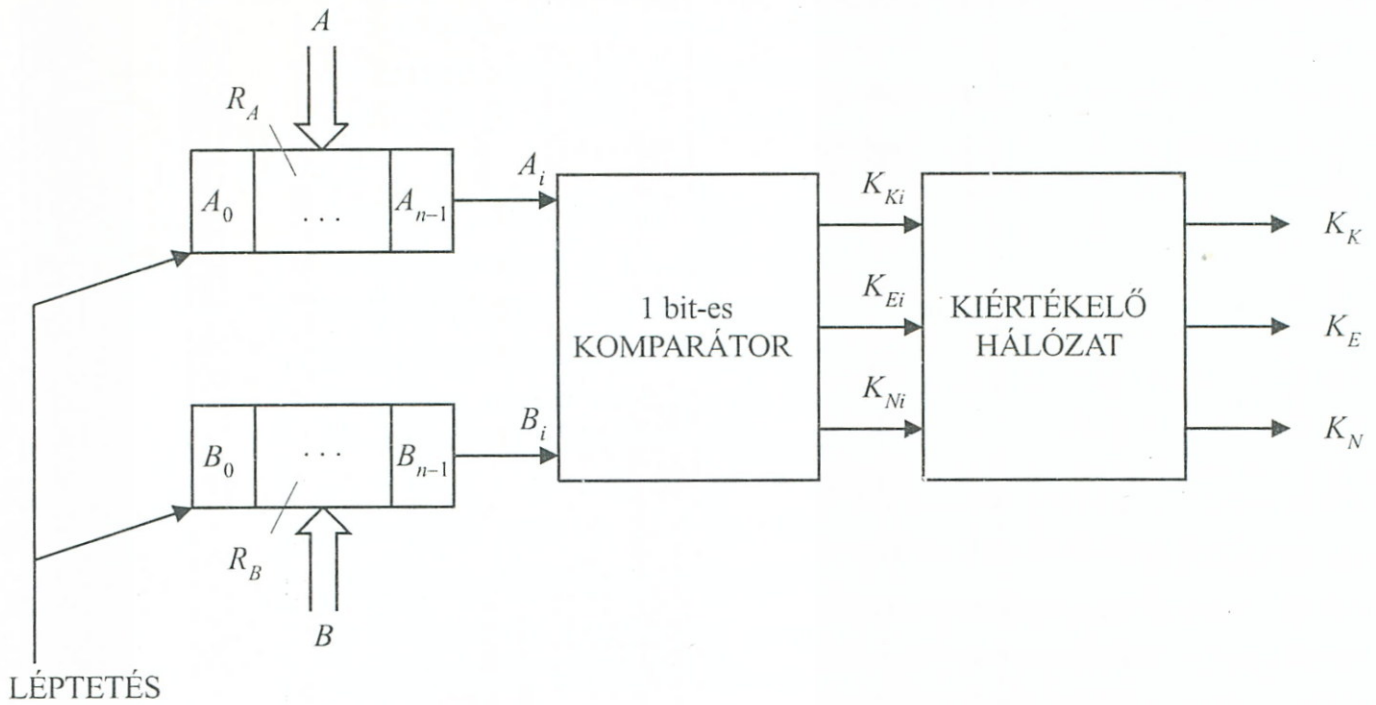
A *több-bites logikai összehasonlítás* megvalósítására *soros* és *párhuzamos* elven működő komparátorok alakultak ki.

### 10.7.2. Soros elven működő komparátorok

A soros elven működő komparátoroknál az összehasonlítás az A és B kódszavak egyes szakaszaira *időben eltolva* történik. (10-83. ábra) Ezáltal *hosszú kódszavak* összehasonlításakor nem szükséges nagykapacitású összehasonlító hálózatot alkalmazni. Természetesen az összehasonlítás így kialakuló többütemű folyamata hosszabb idő-



10-83. ábra Soros elven működő komparátor



10–84 ábra  $n$  bit-es összehasonlítás 1 bit-es komparátorral

tartam alatt fog lezajlani, és a megoldás sorrendi hálózatot igényel. Vizsgáljunk meg egy fentiekre utaló példát.

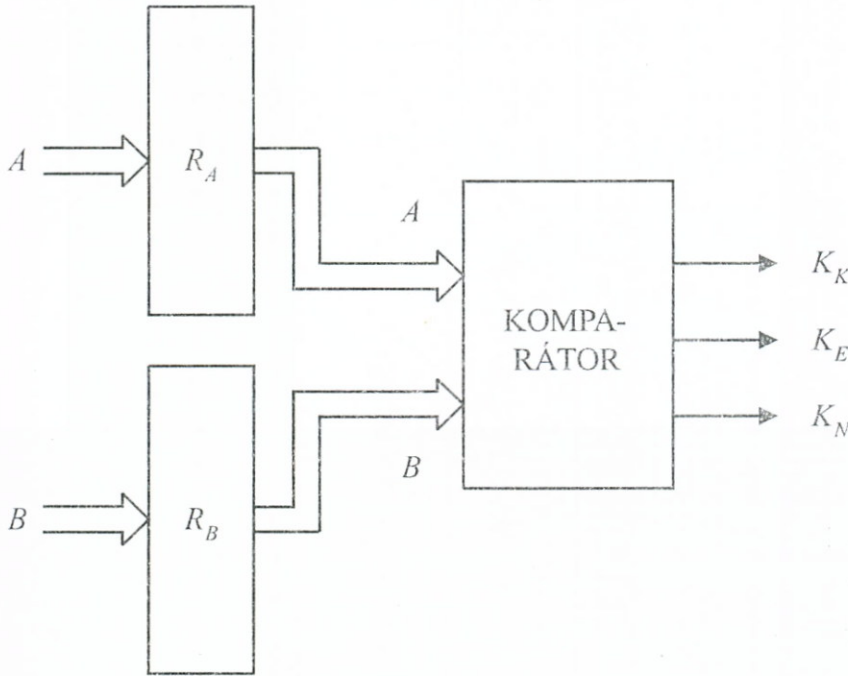
A 10-84. ábrán egy, az előző példában tárgyalt *egy bites* komparátort felhasználó, *n-bites összehasonlító egységet* tanulmányozhatunk. Az összehasonlítandó  $A$  és  $B$  kódszavak az  $R_A$  és  $R_B$  regiszterekben vannak tárolva az összehasonlítást megelőzően, mégpedig olyan elhelyezésben, hogy a *legmagasabb helyiérték* fog először az egy bit-es komparátorba belépni. A  $CK$  órajel engedélyezését követően a jobbra lépő regiszterek léptetése megindul, és *bit-helyiértékenként* megtörténik az összehasonlítás.

A lépésenként csökkenő helyiértékű  $A_i-B_i$  bit-párok összehasonlításakor azonnal eldől az  $A \leq B$  eredmény, amint valamelyik  $i$ -nél  $A_i \leq B_i$  tapasztalunk, mivel a magasabb helyiértékre vonatkozó döntés már megszabja a továbbiak sorsát is a „kisebb”, ill. „nagyobb” vonatkozásában.  $A_i = B_i$  esetén mindig tovább kell lépniünk, és az  $A = B$  relációt csak akkor mondhatjuk ki, ha az utolsó helyiértéket elérve, itt is  $A_0 = B_0$  tapasztaltunk. Ez utóbbi gondolatmenetet realizálandó, a hálózatot még ki kell egészítenünk egy itt nem részletezett „KIÉRTÉKELŐ” hálózattal is, melynek kimenetén a teljes kódszóra vonatkozó eredmény jelenik meg.



### 10.7.3. Párhuzamos elven működő komparátorok

A párhuzamos elven működő komparátoroknál az összehasonlítás az A és B kódszavak valamennyi bit-jére *egyidejűleg* történik (10-85. ábra).

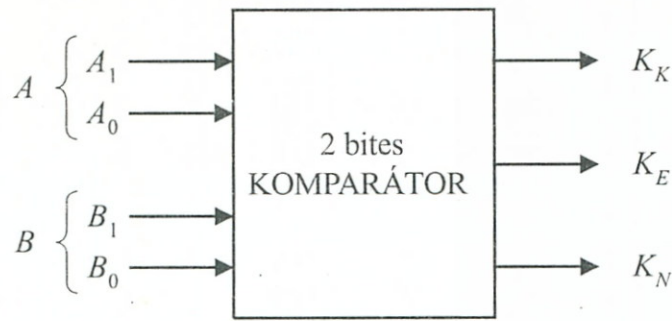


10-85. ábra Párhuzamos elven működő komparátor

A párhuzamosság miatt a műveletvégrehajtás – a soros változathoz képest – gyorsabb lesz, viszont a komparálást végző hálózatrész bonyolultabbá válik. A megváltozott viszonyok szemléltetése céljából vizsgáljuk meg a 10-86a. ábrán látható elvi vázlatot, melyen egy 2 bites párhuzamos komparátor elvi vázlata szerepel, azaz az A, ill. B kódszavak 2-2 bit hosszúságúak. A logikai hálózat működését jellemző függvények felírásánál (a 2 bit miatt) több feltételt is figyelembe kell vennünk a korábbi *egy bites* esethez viszonyítva:

Így előzetesen kimondható, hogy  $A = B$  csak akkor állhat fenn, ha minden egyes bit egyenlőségének ÉS kapcsolata teljesül, továbbá az  $A < B$ , ill.  $A > B$  esetről, helyértékenként felülről indulva, mindig az először megjelenő  $A_i < B_i$  vagy  $A_i > B_i$  egyenlőtlenség határozza meg a kérdéses relációt.

Fenti feltételek alapján a kimeneti függvények 2-bites esetünkre a 10-86b. ábra szerint alakulnak, melyek alapján a 10-86c. hálózat rajzolható fel.



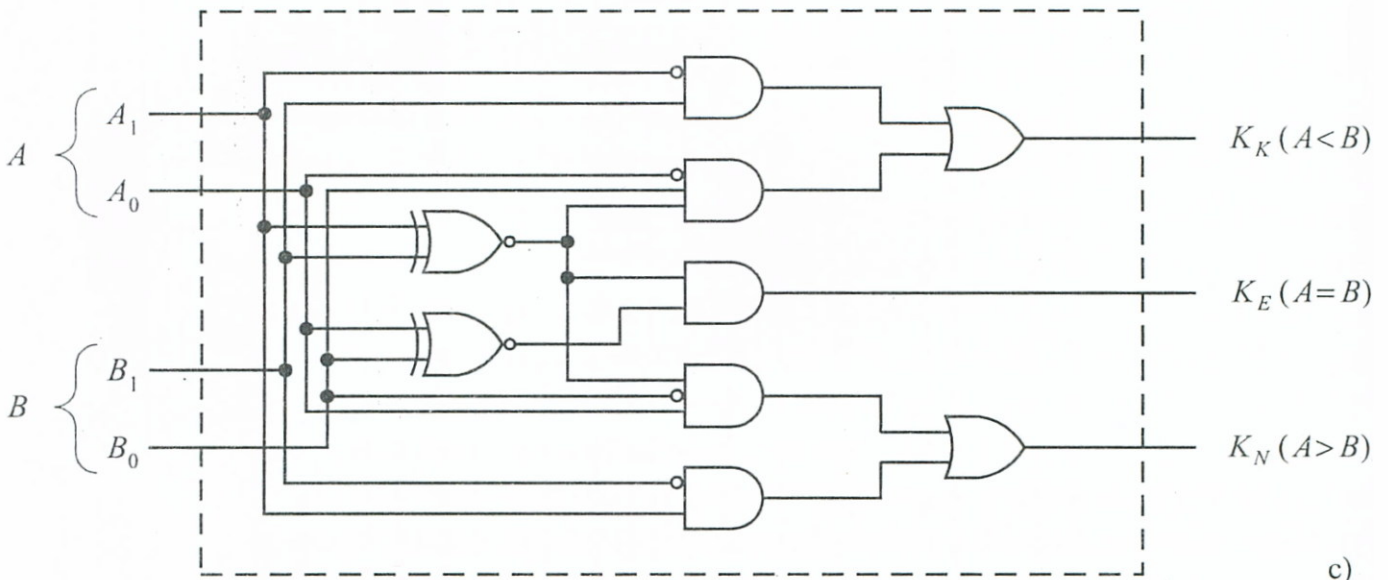
a)

$$K_K = \bar{A}_1 \cdot B_1 + (A_1 \equiv B_1) \cdot \bar{A}_0 \cdot B_0$$

$$K_N = A_1 \cdot \bar{B}_1 + (A_1 \equiv B_1) \cdot A_0 \cdot \bar{B}_0$$

$$K_E = (A_1 \equiv B_1) \cdot (A_0 \equiv B_0)$$

b)



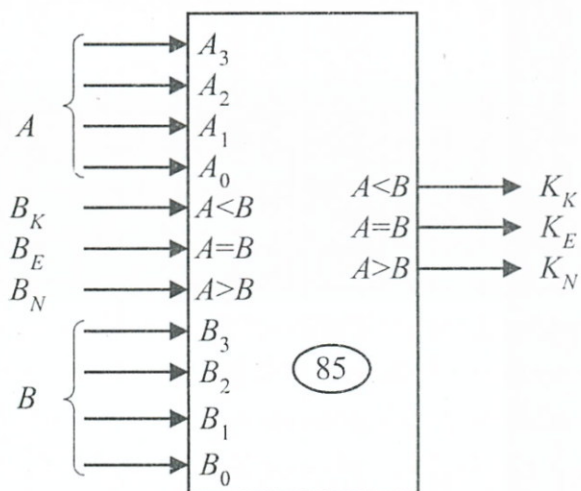
c)

10–86. ábra 2 bit-es párhuzamos komparátor

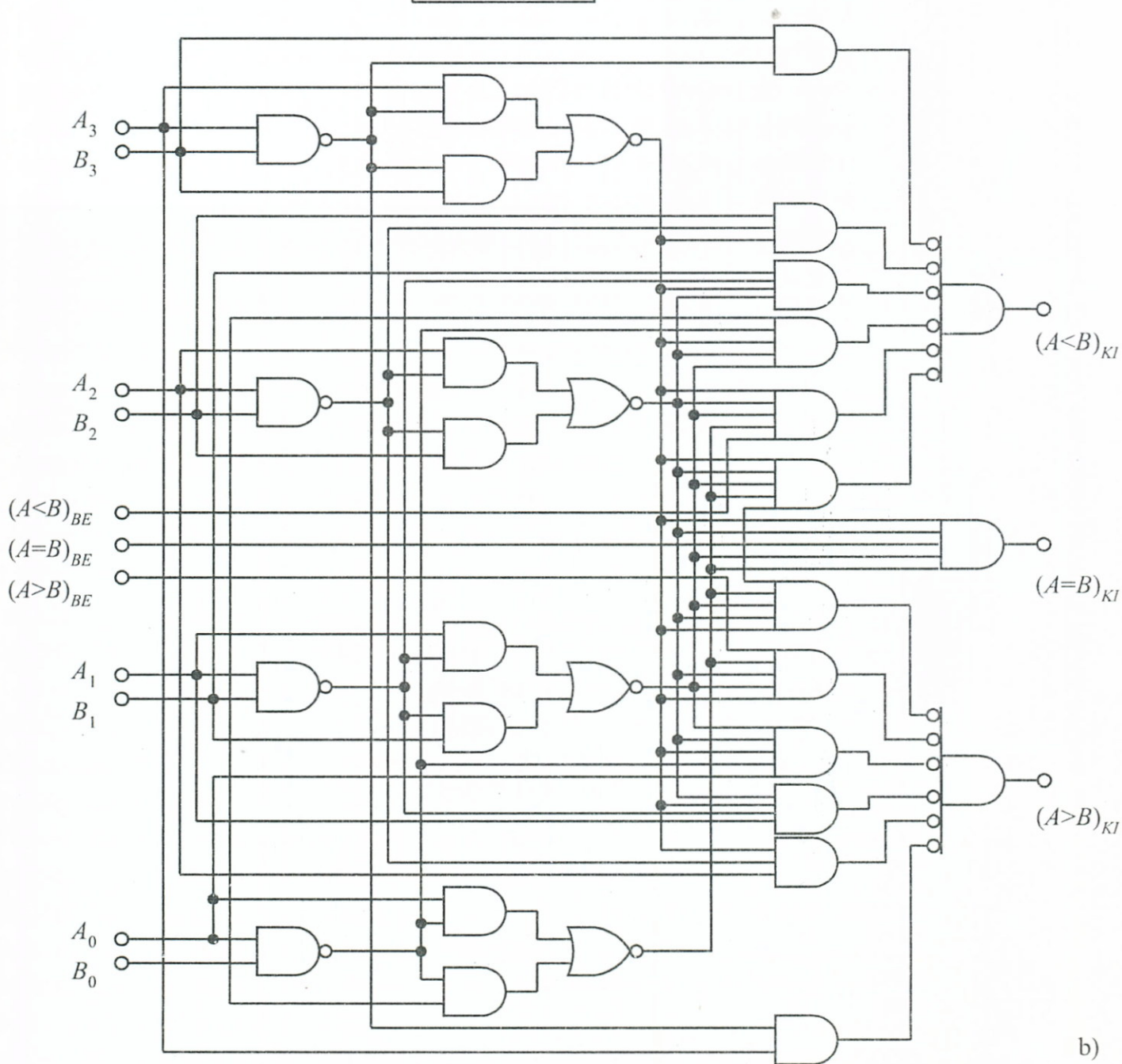
### 10.7.4. Komparátorok összekapcsolása



A gyártó cégek által előállított, egy IC tokba beépített komparátorok kapacitása behatárolt, ezért összetettebb összehasonlítási feladatoknál szükségessé válik a több IC tok szisztematikus összekapcsolásán alapuló bővítés. Ennek érdekében – hasonlóan a más funkcionális egységeknél tapasztaltakhoz – a gyártók további kiegészítő csatlakozásokkal látják el az áramköri egységeket. Vizsgáljunk meg egy ilyen alapon kialakított hálózatot.



a)



b)

10-87. ábra 4 bit-es párhuzamos komparátor

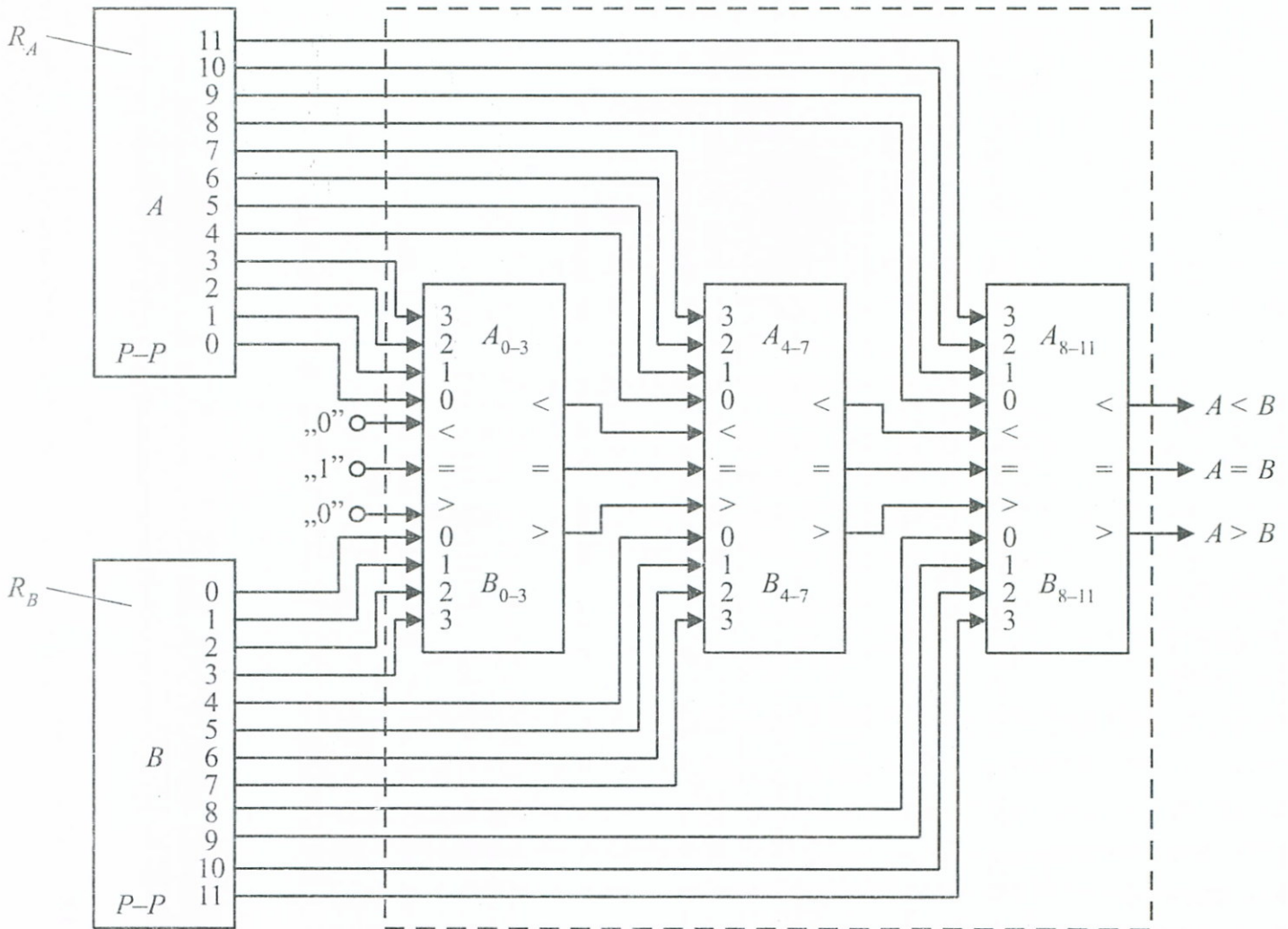
A 10-87a. ábrán egy bővítési feladatok megoldására is alkalmasan kialakított 4 bites komparátor elvi vázlata látható, melyen az

$$A: A_3A_2A_1A_0$$

$$B: B_3B_2B_1B_0$$

összehasonlítandó bemenetek mellett  $(A < B)_{BE}$ ,  $(A = B)_{BE}$ ,  $(A > B)_{BE}$  jelű bővítési célzatú bemeneteket is találunk. Ezek a bemenetek az alacsonyabb helyérték-pozíciókon elvégzett összehasonlítások eredményeit képviselik, és továbbítják „felfelé”.

Ha a  $K_K$ ,  $K_E$ ,  $K_N$  működést jellemző függvényeket itt, a 4 bites esetre is felíránk, közel hasonló jellegű alakokat kapnánk ( $A_3 \dots A_0$ ,  $B_3 \dots B_0$  változókra), mint amilyeneket a 2 bites esetre a 10-86b. ábrán már felírtunk. A különbséget az új  $(A < B)_{BE}$ ,  $(A = B)_{BE}$  és  $(A > B)_{BE}$  bemenetek jelentik, melyeket úgy kell a függvényekben tekintenünk, mint az  $A_0$ ,  $B_0$  biteknél eggyel alacsonyabb helyértéket. A függvények felírását ezúttal nem részletezve a 10-87b. ábrán felrajzoltuk



10-88. ábra 12 bit-es párhuzamos komparátor kialakítása 4 bit-es modulokból

egy gyári kapcsolás teljes logikai vázlatát, melynél a 10-86c. ábrához viszonyítva néhány célszerű algebrai átalakítás is felhasználásra került.

Végezetül szemléltessük az eddig elmondottakat egy bővítést ténylegesen igénylő példán keresztül:

Alakítsunk ki 12 bites párhuzamos elven felépülő komparátort az előzőleg megismert 4 bites modul-elem felhasználásával.

A megoldás (a 12 bemenet miatt) 3 modul-elem összekapcsolását igényli. Tételezzük fel, hogy az összehasonlítandó 12 bites  $A$ ,  $B$  kódokat  $R_A$ ,  $R_B$  P-P típusú regiszterekben tároljuk, és innen küldjük őket a 10-88. ábrán felrajzolt módon bővített komparátorba, melynek eredő kimenetein kapjuk az összehasonlítás eredményét.

## 10.8. Memóriák



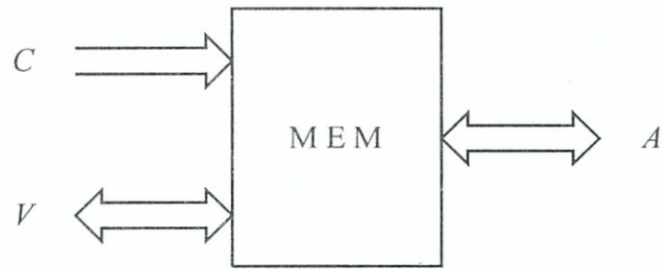
### 10.8.1. Elvi működés, főbb jellemzők, csoportosítás

A memóriák nagyobb mennyiségű információ átmeneti vagy tartós tárolására szolgáló egységek. Néhány bit-, vagy kisebb bitcsoport (ún. „szó”) tárolására alkalmas áramkörökkel (pl. tárolóelemek, regiszterek) az előző fejezetekben már foglalkoztunk. A nagyobb tárolókapacitású memóriák – lényegében – e tárolóelemekből – regiszterekből épülnek fel, de az összetevők nagy száma, a tárolt információ célszerű kezelése az együttműködés magasabb szervezeti formáját és ennek kapcsán különféle kisegítő-vezérlő áramköri egységek alkalmazását vonja maga után.

A memóriák egy jellegzetes csoportját (ROM) a „Kapcsoló-mátrixok” tanulmányozásakor (6-41. ábra) már érintettük, most az ott megismerteket beilleszthetjük a memóriákkal kapcsolatosan itt elmondandók körébe.

A memóriák működését első közelítésben a 10-89. ábra sémáján tanulmányozhatjuk.

A  $C$  CIM bemenetre érkező információval jelöljük ki az  $A$  ADAT csatlakozásra érkező (beírással tárolandó), vagy innen távozó (kiolvasandó) jelek memórián belüli helyét. A  $V$  VEZÉRLÉS csatlakozásokon keresztül adhatunk utasításokat (pl. beírás, kiolvasás stb.) vagy nyerhetünk információkat (pl. foglaltság stb.) a memória működésére vonatkozóan.



10–89. ábra MEMÓRIA elvi vázlat

A memóriák gyors fejlődése elsősorban a számítógépek által felvetett igényeknek a következménye, melyeknek megfelelően rendkívül sokféle változatuk alakult ki. Ezek részletesebb ismertetése a számítástechnika témakörébe nyúlik át, ezért jelen könyvben a memóriákat főként általános digitális rendszertechnikai szemléletmódban tárgyaljuk és csak az elektronikus felépítésű memóriákra szorítkozunk.

A memóriákat sokféle szempont szerint csoportosíthatjuk, foglaljuk össze ezek közül a néhány leglényegesebbet.

- a) *Információtárolás rendszere*
  - a1. Változtatható tartalom
    - gyors
    - lassú
  - a2. Rögzített tartalom
    - gyártáskor
    - felhasználó által
- b) *Tárolás időbeli módja*
  - b1. Statikus
  - b2. Dinamikus
  - b3. Kvázisztatikus
- c) *Címzés alaprendszere*
  - c1. Tetszőleges v. közvetlen eléréssel
  - c2. Asszociatív eléréssel
  - c3. Soros eléréssel
- d) *Gyártástechnológia alapján*
  - d1. Bipoláris
  - d2. MOS
- e) *Adattárolás szervezési változatai*
  - e1. Bit szervezés
  - e2. Szó szervezés

A memóriákkal kapcsolatosan számos elnevezés és fogalom szerepel az irodalomban, melyek közül a gyakoribbakat az alábbiakban foglaljuk össze:

- RWM (Read Write Memory): olvasható és írható (változtatható tartalmú) memória.
- RAM (Random Access Memory): tetszőleges elérésű tároló, többnyire gyors változtatható tartalommal.
- ROM (Read Only Memory): csak kiolvasható memória rögzített tartalommal, mely többnyire ugyancsak tetszőleges elérésű.
- PROM (Programmable Read Only Memory): Programozható (rendszerint egy alkalommal) ROM.
- EPROM (Electrically Programmable Read Only Memory): Elektromosan programozható ROM.
- EEROM (Electrically Erasable ROM): Elektromosan törölhető ROM.
- EAROM (Electrically Alterable ROM): Elektromosan módosítható tartalmú ROM. Felhasználható például lassan változtatható tartalmú memóriaként.
- REEPROM (Reprogrammable ROM): Újra (többször is) programozható ROM.
- CAM (Content Addressable Memory): Tartalom alapján címezhető, más néven, *asszociatív* elérésű memória.
- SAM (Serial Access Memory): Soros elérésű memória, legtöbbször változtatható tartalommal.

A *tárolás időbeli módja*, mint memória jellemző, elsősorban az RWM (olvasható és írható) memóriákkal összefüggésben vetődik fel, és szoros kapcsolatban áll a gyártástechnológiával.

*Bipoláris* felépítés esetén főként a *sztatikus* elv érvényesül, mivel a memóriát felépítő, bistabil tárolóelem-cellák a beírt információt mindaddig megőrzik, míg ezt újabb beírással nem módosítjuk.

*MOS* felépítésnél mind a *sztatikus*, mind a *dinamikus* elv érvényesül. A *sztatikus* elven működő tárolóelem-cellák elvi felépítése hasonló a bipoláris rendszernek használtakhoz, csak MOS tranzisztorokra alkalmazva. A *dinamikus* elven működő tárolóelem-cellák a MOS tranzisztorok saját kapacitásainak töltéstároló-képességét hasznosítják (lásd: 5.3.3. pont: dinamikus- és előtöltéses inverterek: 5-34. és 5-35. ábrák). Mivel ezek a kapacitások csak rövid ideig képesek *dinamikus*an tárolni a „beléjük írt” információt, ezért tartalmuk periódikus felfrissítése szükséges, mielőtt töltésüket elveszítenék. Ez

a magyarázata, hogy a dinamikus memóriák blokkvázlata kiegészül egy ún. frissítő egységgel, mely a fent említett kapacitás-töltés reprodukálásáról gondoskodik.

Az ún. *kvázisztatikus* (pszeudo-sztatikus) memóriáknál a dinamikus és sztatikus elvek előnyös kombinációját alkalmazzák.

A memóriák *specifikálásakor* szereplő jellemzők közül megemlítjük a:

*memória-kapacitást*, mely a memóriában tárolható információ mennyiségét jellemzi. Ezt vagy *bit-kapacitás*ban, azaz a memóriában tárolható bitek számában, vagy *szó-kapacitás*ban, azaz a memóriában tárolható (rendszerint szokványos hosszúságú: 8 bit, 16 bit, 32 bit, 64 bit) összetartozó bit-csoportok, más néven *szó-k* maximális számában adják meg. Ez utóbbi esetben gyakori elnevezések: 1 byte = 8 bit, 1 szó = dupla byte = 16 bit, dupla szó = 32 bit.

A memóriakapacitás kapcsán szereplő további mennyiségek: 1 kbit = 1024 bit ( $2^{10}$ ), 1 kbyte = 1024 byte, 64 kbyte = 65536 byte = 524288 bit, 1 Mbit = 1.048576 bit stb.

Például: egy 4 kbyte-os ROM tárolóról részletesebben a következőket mondhatjuk el:

szó-hossz: 8 bit (ha egy byte alatt 8 bit-es szót értünk)

szókapacitás. 4096 byte (mivel 1 kbyte ~ 1024 byte)

bitkapacitás:  $4096 \times 8 = 32\,768$  bit ~ 32 kbit

A byte-ban, szó-ban, vagy bit-ben kifejezett értékek, az információnak a memóriában történő elhelyezkedésének és elérésének *szervezésére* is utalnak.

*elérési idővel* jellemezzük a memóriák működési sebességét, mely azt az időtartamot jelzi, mely a CIM kiadása és a végleges (stabilizálódott) ADAT íráskor vagy olvasáskor észlelt megérkezése között eltelik.

### 10.8.2. Memória-cellák felépítése és működése

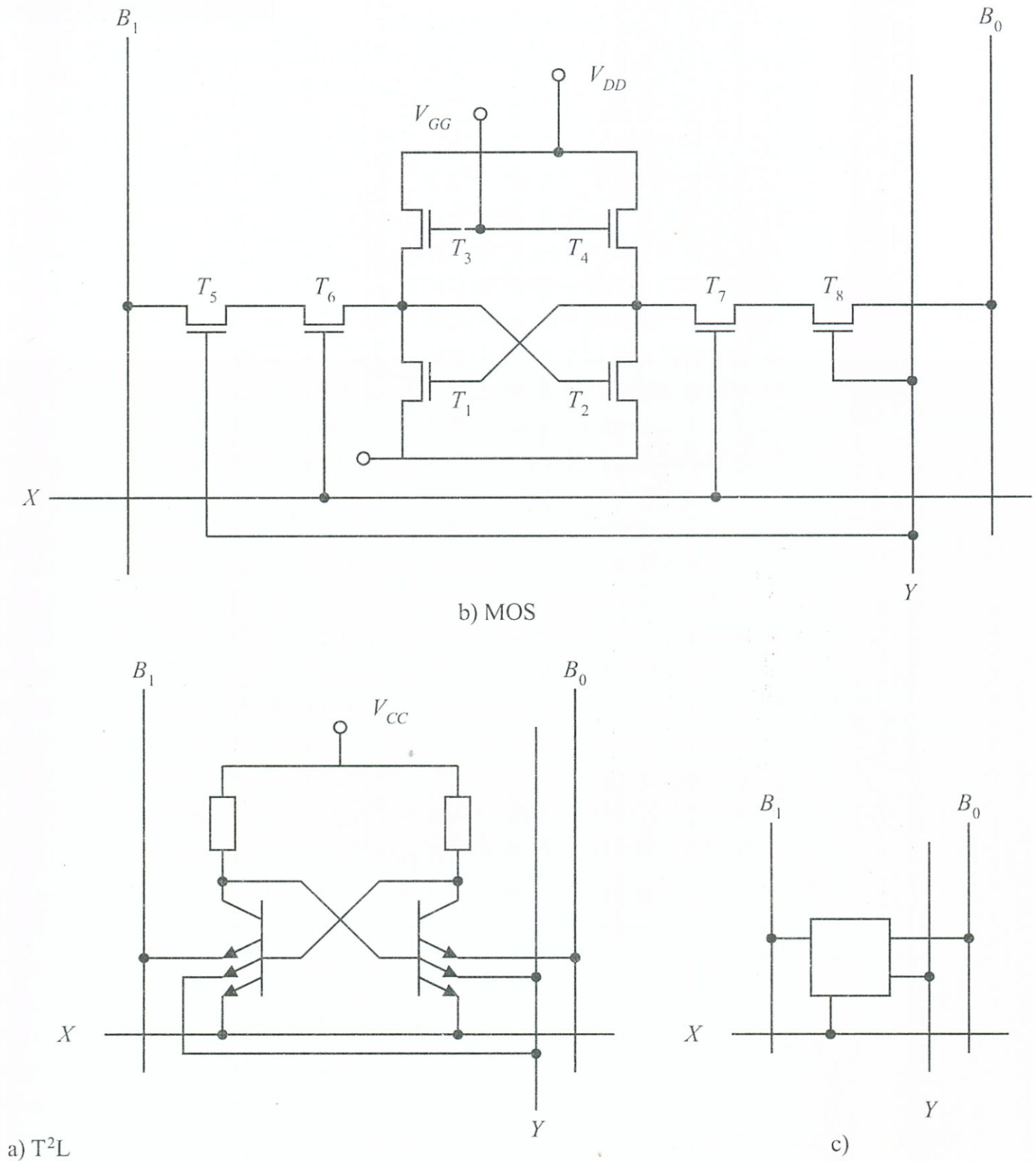


A memória-cellák 1 bit tárolását elvégző tárolóelemek, melyekből a memóriák „emlékező egysége” felépül.

*ROM* jellegű memóriáknál – mint az 6. fejezet 6.4.1. és 6.4.2. pontjában már tárgyaltuk – a kapcsoló-elemek irreverzibilisen vagy reverzibilisen programozva fixre beállított TTL, esetleg MOS, ill. FAMOS áramkörök, melyekből szervezett *kapcsolómátrix* alkotja a memória emlékező-egységét.



*RWM* jellegű memóriáknál, a sztatikus és dinamikus tárolási mód-  
nak megfelelően különbséget kell tennünk sztatikus és dinamikus  
működésű írható és olvasható cellák között.



10–90. ábra Sztatikus memória-cella T<sup>2</sup>L, MOS változatban és elvi jelölése

## a) Sztatikus memória-cellák

Működési elvük az 5. fejezetben bevezetett tárolóelemek működésével rokon, azzal a módosítással, hogy az emlékező-egységbe jól szervezetten (pl. mátrix elrendezésben) beépíthetők legyenek.

– *TTL felépítésű*, sztatikus tároló cellára mutat példát a 10-90a. ábra, mely két keresztbe visszacsatolt 3 emitteres, bipoláris tranzisztorból épül fel. A 3 emitter valójában egy ÉS kapcsolást realizál, mely az *adat-beíró-kiolvasó* vezetékek, valamint az *X* és *Y* mátrixpont *kijelölő cím-vezetékek* között létesít logikai kapcsolatot. *Tárolási* üzemmódban az *X* és *Y* vezetékek alacsony szintűek, ezért a tranzisztorok árama nem a  $B_1-B_0$  irányba folyik. *Olvasási* üzemmódban *X* és *Y* magas szintre kerülnek, így a kiválasztott cellára a  $B_1-B_0$  adatvezetékek aktivizálódnak és logikai állapotuk leolvasható lesz. *Írási* üzemmódban ugyancsak *X-Y* magasra állításával aktivizáljuk a cellát, majd a  $B_1B_0$  vezetékpárra olyan polaritású jelet küldünk, amelyik oldalra a tárolócellát be akarjuk billenteni.

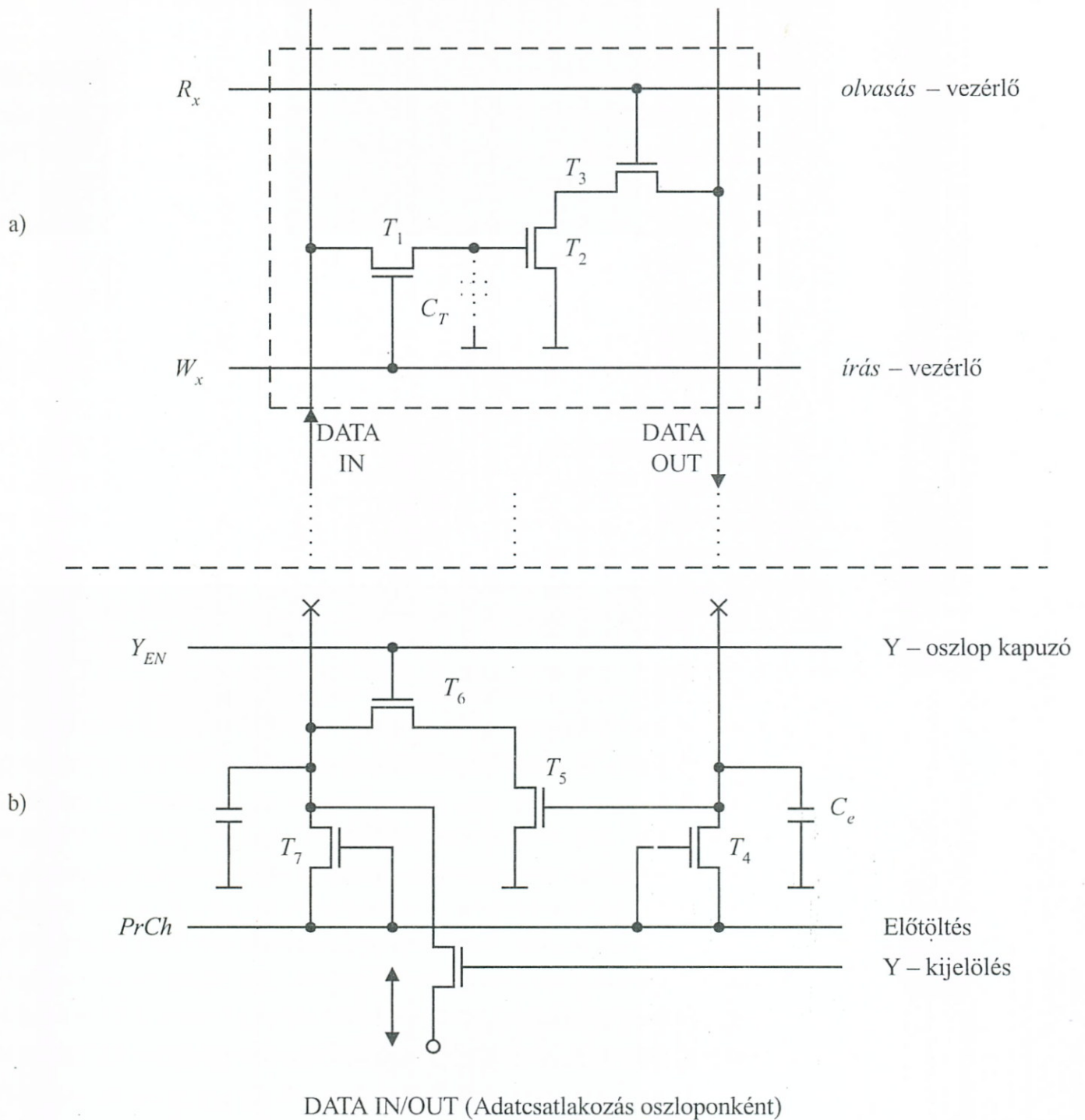
*MOS felépítésű* sztatikus, ún. 8 tranzisztoros cellára láthatunk példát a 10-90b. ábrán. A cella hasonló szervezésű, mint az előző TTL változat. Az emlékező-funkciót a két keresztbe csatolt  $T_1-T_2$  MOS tranzisztor biztosítja passzívált  $T_3-T_4$  „munka-ellenállásaival”, míg a bal, ill. jobb oldali *adat-beíró-kiolvasó* vezetékek és az *X*, ill. *Y cím-vezetékek* logikai kapcsolatát a  $T_5-T_6$ , ill.  $T_7-T_8$  soros ÉS kapcsolók biztosítják.

Mind a két bemutatott változat működése a korábban már megismert S–R tárolóelem működésén alapul, és elvi jelölésüket a 10-90c. ábrán láthatjuk. Természetesen fenti példákon túlmenően a sztatikus cellák számos más realizációs változata is kialakult.

## b) Dinamikus memória-cellák

A dinamikus cellák működése a MOS elemek 5.3.3. pontban tárgyalt dinamikus tulajdonságain alapul (5-34., 5-35. ábrák).

– *3 tranzisztoros* dinamikus cellára mutat példát a 10-91a. ábra, melynél a tárolási funkciót nem az eddig „megszokott” visszacsatolással érjük el, hanem az ún. tároló tranzisztor ( $T_2$ ) saját ( $C_T$ ) kapacitására bízunk. *Beíráskor* az *írás-vezérlő* jelével nyitjuk a  $T_1$  kapuzó tranzisztorot és beírandó 1 esetén feltöltjük a  $C_T$  kapacitást, mely ezt a töltést (bizonyos ideig) tárolja. *Kiolvasáskor* az olvasás-vezérlő jellel nyitjuk a  $T_3$  kapcsolót. Ha  $C_T = 1$ -ben volt, akkor a  $T_2$  rövidzárként viselkedik és a kimeneti pontra kapcsolódó – előzőleg „előtöltéssel” feltöltött –  $C_e$  kapacitást kisüti, így az olvasó adatvezeték 0 értékre



10–91. ábra 3-tranzisztoros dinamikus tárolócella (a), kiegészítő „oszlop-áramkörrel” (b)

kerül. Ha  $C_T = 0$ -ban volt, akkor a  $T_2$  szakadásként viselkedik és  $C_e$  nem tud kisülni, így az olvasó adatvezeték 1-ben marad. Látható, hogy a cella kiolvasáskor invertál, ezért a kiértékeléskor ezt figyelembe kell venni. Megjegyezzük, hogy a MOS-oknál gyakran előforduló negatív feszültségek miatt az áramkör negatív logikában is működhet.

A  $C_T$  kapacitásnak működés során bekövetkező kisülése miatt, ennek töltését automatikusan regenerálni („frissíteni”) kell. Az erre, valamint az előtöltésre, továbbá az Input/Output csatlakoztatásra szolgáló fokozatot a 10-91b. jelű ábrarész tartalmazza. Itt a  $T_5$ – $T_6$  tranzistorok egy inverter kapcsoló részét képezik és a destruktívan kiolvasott jeleket negáltan visszajuttatják az íróoldali adatvezetésekre, így a kiolvasást mindig frissítés követheti. Természetesen frissítésre a nem kiolvasásból eredő lassú töltéskisülés miatt is szükség van, ezt a dinamikus memóriáknál külön *frissítési ciklusok* beiktatásával oldják meg.

A dinamikus működésű cellák áramköri kialakítására az irodalomban nagyszámú megoldás szerepel, így pl. megoldott az *I tranzistoros* dinamikus tárolás is, mely az IC lapkákon további helyfoglalás-csökkentést, közvetve az egy lapkára koncentrálható memória-kapacitás növelését eredményezi. Az áramköri megoldások részletesebb ismertetésével jelen könyvben nem foglalkozunk.

### 10.8.3. Memória-egységek felépítése

A memóriák több részegységből állnak.

– A *cella mező* (vagy cella mátrix) az információ-tárolási feladatokat látja el, és szerkezetileg, egységnyi információt tároló elemi cellák szervezett együtteséből épül fel. A cellák különféle szervezési struktúrákban kapcsolódhatnak egymáshoz, melyekre később még részletesebben kitérünk. A cella-mező és a külvilág kapcsolatát különféle kisegítő áramkörök biztosítják (10-92. ábra).

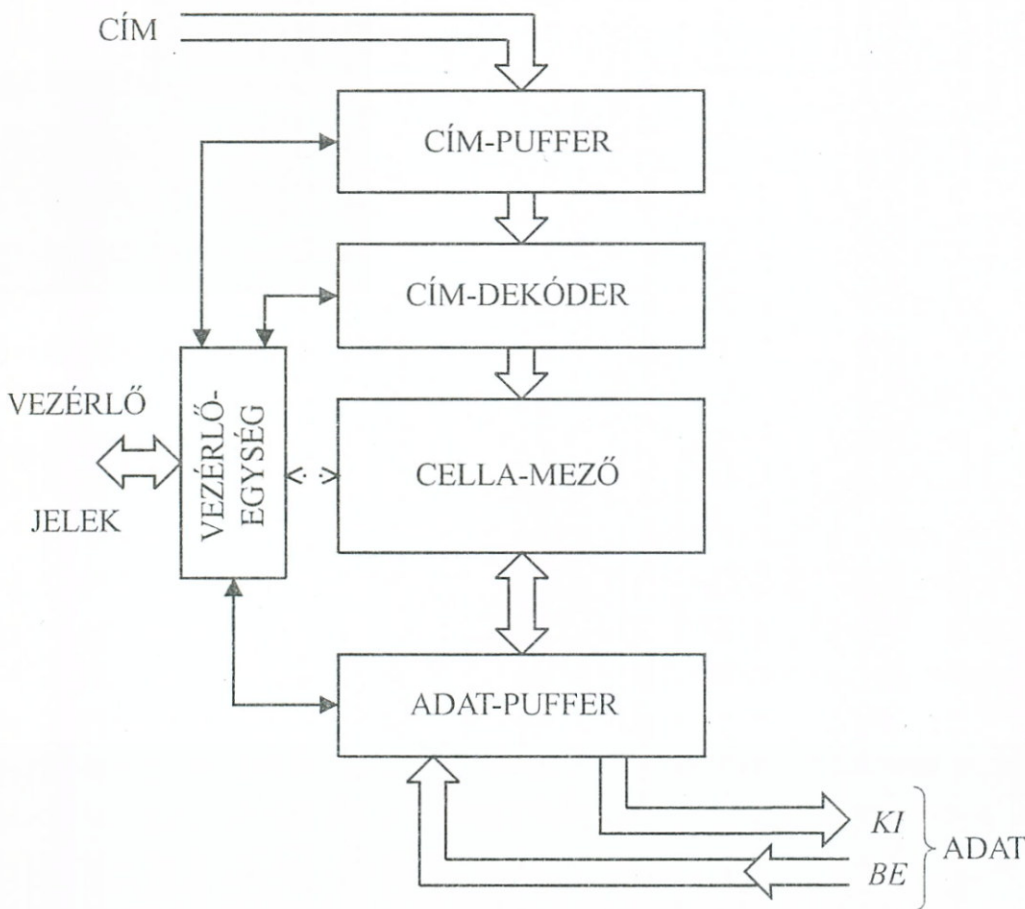
– A *Címzési információk* rendszerint egy *cím-pufferbe* (cím regiszterbe) érkeznek. A cím puffer és a cella-mező címző csatlakozásai között általában egy *cím dekóder* helyezkedik el, mely lehetővé teszi, hogy a cím-bemenetek számát csökkentjük, és „ $n$ ” bemenő vezetékkel  $\leq 2^n$  helyen végezhesünk kijelölést.

– Az *adat információk* gyakran egy *adat pufferen* keresztül kerülnek kapcsolatba a cella-mezővel. Ez a kapcsolat RWM memóriák esetén BE/KI irányú, míg a ROM családnál csak KI-felé irányul.

A BE/KI kapcsolatnál gyakori, hogy külön-külön adatvonalak szolgálnak a BE, ill. KI irányú jelek átvitelére, de előfordul, hogy kétirányú vonalakon áramlik az információ.

– A *vezérlési információk* feldolgozását egy *vezérlő áramkör* látja el. Ez fogadja a memóriához érkező ( $\rightarrow$ ) különféle működtetési információkat, illetve tájékoztatást küld a csatlakozó digitális rendszer felé ( $\leftarrow$ ) a memória állapotáról. Fentiek értelmében kapuzási, enge-





10–92. ábra Memória felépítése egységekből

délezési, sorbaállítási feladatokat lát el, és dinamikus memória esetén részt vesz a frissítési folyamatban is. A digitális rendszerrel fenn tartott kapcsolat vezérlési információból az alábbiakban felsoroltunk néhányat szemléltető cézzal. A felsorolásban zárójelben feltüntetjük a gyakrabban alkalmazott rövidítő jelölést, valamint a memória oldaláról értelmezett irányítottságot is.

- *kiválasztás* (CS), ezzel jelöljük ki az aktivizálandó memória áramkört hordozó IC lapkát (Chip Select)
- *engedélyezés* (ME), ezzel aktivizálhatjuk a memóriát
- *olvasás* (RD), innen tudja meg a memória, hogy adatot akarunk *kiolvasni* belőle
- *írás* (WR), innen tudja meg a memória, hogy adatot akarunk *beírni*
- *érvényes adat* (DA), mely beírásra készen áll a memória részére
- *érvényes cím* (VA), a cím vezetéseken
- *külső frissítés* (RFRSH), dinamikus memóriáknál
- ← *érvényes kiolvasott adat* (DR) van az adatvezetékeken
- ← *foglaltsági jelzés* (BUSY), mely arról tudósít, hogy a memória pillanatnyilag nem alkalmas a külső kommunikációra.

### 10.8.4. Memóriák szervezése



A memóriák emlékezési feladatát ellátó cella-mező kialakítása többféle szervezési változatban képzelhető el.

a) *Bit szervezésű* memóriák címzésekor az egyes tároló-cellák egyedenként (bitenként) kerülnek kijelölésre. Ha az elemi tároló-cellákat egy két-dimenziós mátrix struktúrában elhelyezkedőknek képzeljük, akkor a címzés egy „ $ij$ ” paraméterű mátrix-elem megjelölését jelenti. Egy bit-szervezésű 16 bites R/W memória-mátrix látható a 10-93a. ábrán.

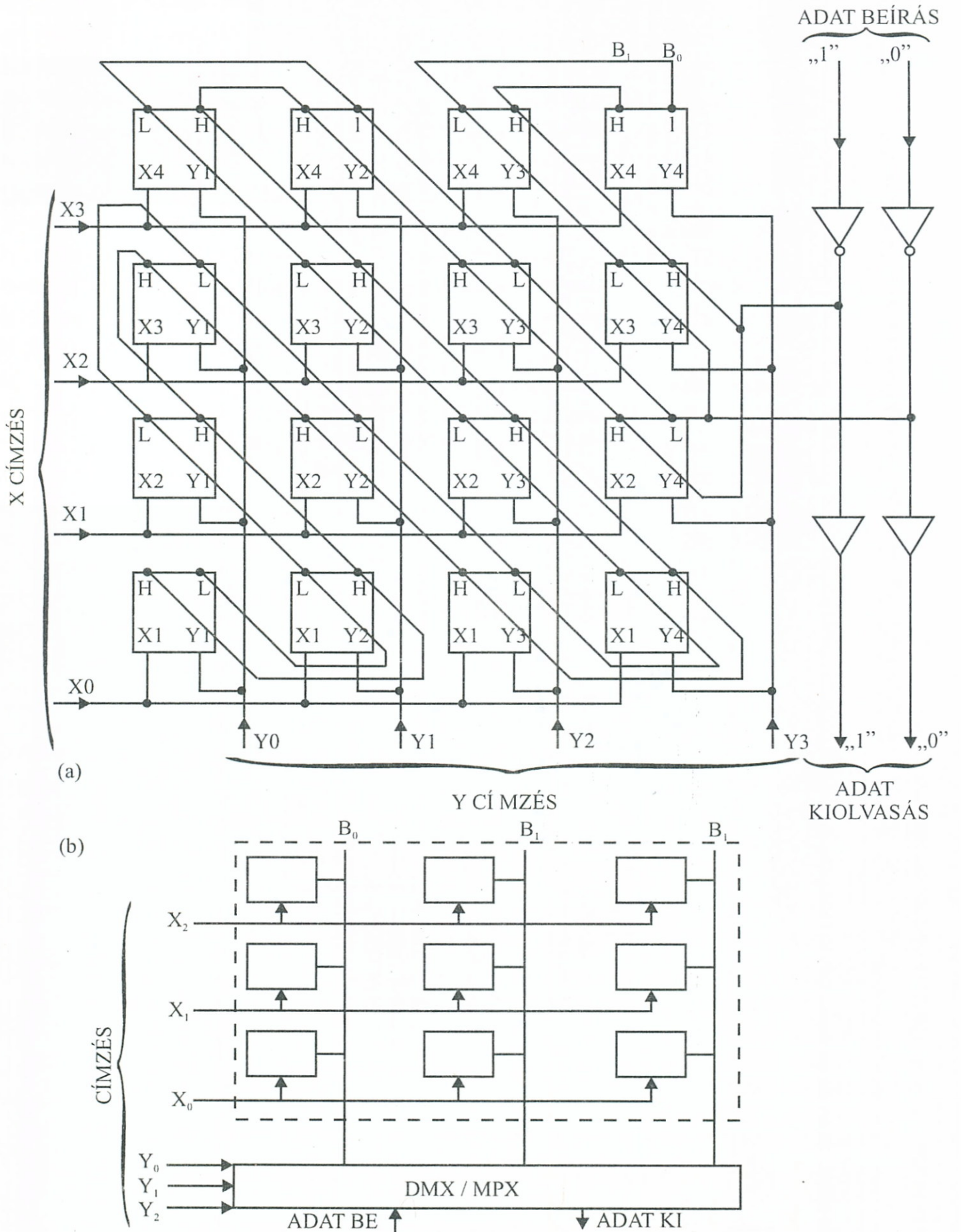
Itt a memória-cellák kapcsolási rajza megegyezik a 10-90a. ábrabeli TTL celláéval, mivel mind  $X$ , mind  $Y$  irányú kijelölésre szükség van. Az  $X_i-Y_j$  cella kijelölésekor csak az  $ij$  keresztpontban teljesül a két emitter ÉS típusú kapcsolata, így kizárólag ez az egy cella aktivizálódik. *Kiolvasáskor* ennek a cellának  $B_0-B_1$  kimeneti jelei jelennek meg a memória *adatkimenetein*. *Beíráskor* pedig a *adattárolókra* adott jelek csak erre az aktivizált cellára lesznek hatásosak, annak ellenére, hogy valamennyi cella rákapcsolódik a be-, ill. kimeneti vezetékekre.

Mint látható, ez a memória típus „meztelen”, azaz sem puffer, sem dekóder áramkörök nincsenek beépítve és vezérlésről is csak olyan mértékben beszélhetünk, hogy külön adatbeíró és külön adatkiolvasó csatlakozásokkal rendelkezik. A kiolvasó erősítő olyan felépítésű, hogy lehetővé teszi a bővítést is.

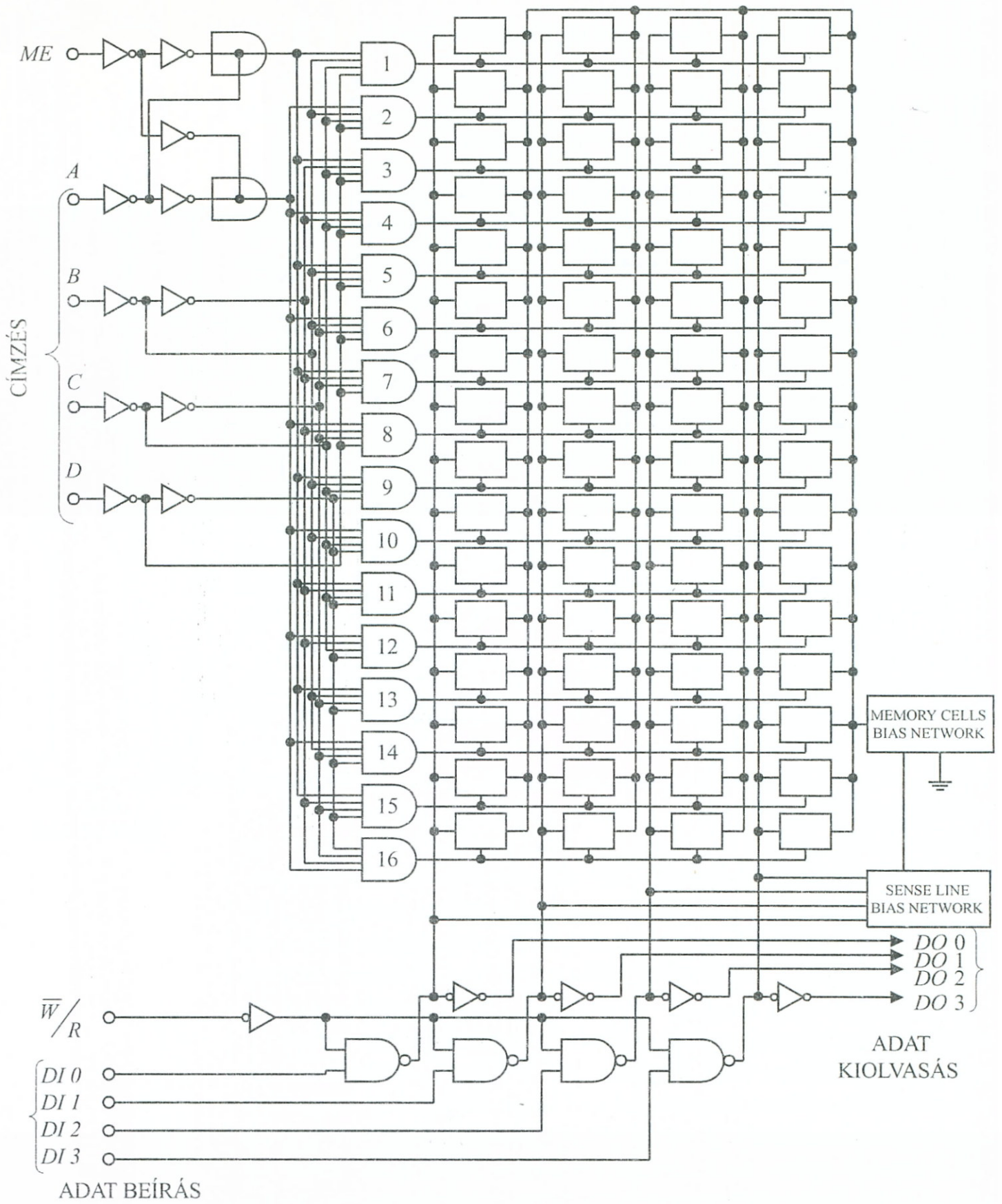
A 10-93a. ábra valójában csak egy „memória sík”-nak tekinthető, egy-egy sík a szavaknak csak egy-egy bitjét tartalmazza, emiatt egy komplett memória annyi „sík”-ból áll, ahány bites szavakat tartalmaz. Valamely szó megcímezése a kívánt  $X_i-Y_j$  kijelölésével történik, melynek hatására *valamennyi* összetartozó síknál *ugyanaz* a keresztpont aktivizálódik. Az így kijelölt keresztpontok bitjei együtt alkotják a megcímezett *szó*-t.

Elsősorban technológiai okokból a bit-szervezés struktúráját célszerű volt módosítani. Egy ilyen, ún. *módosított bit-szervezésű* elrendezés elvét mutatja a 10-93b. ábra. Itt a kiolvasás hasonlít a szó-szervezésű esethez, mivel a sorkijelölés  $X_i$ -vel történik, viszont az oszlopokra elhelyezett MPX/DMX áramkör csak annak az *oszlop-bit*-nek értékét engedi aktualizálódni, melyet az  $Y_j$  kijelöl. Beíráskor a DMX, olvasáskor az MPX működik.

b) *Szó szervezésnél* az elemi tároló-cellákat ugyancsak két-dimenziós mátrix struktúrában elhelyezkedőnek képzelve, *címzéskor* egy-



10 -93. ábra. (a) bit szervezésű memória - sík, (b) módosított bit - szervezés



10-94. ábra SZÓ-szervezésű, 4 bit szóhosszú, 16 szavas R/W memória



szere egy *teljes mátrix sor* kijelölését végezzük el. Egy-egy sor alkot egy *szó*-t, melynek a bitjeit tároló cellasort egyszerre írjuk be RWM tároló esetén, illetve olvassuk ki mind RWM, mind ROM tárolónál.

Szemléltetésül egy szó-szervezésű, 4 bit szóhosszúságú, 16 szókapacitású ( $16 \times 4 = 64$  bit kapacitású), olvasható/írható memóriát rajzoltunk fel a 10-94. ábrán.

A memória RAM típusú és elkülönített ADAT BE, ill. ADAT KI csatlakozásokkal rendelkezik, melyeket a (WRITE/READ) vezérlő bemenettel választunk ki, ahol „0”-írást, „1”-olvasást jelent. A memória külön adat-, ill. címpufferrel nem rendelkezik. A CÍMZÉS bemeneteket a 16 ÉS kapuból álló CÍM-DEKÓDER „sokszorozza” meg, melynek letiltását egy HUZALOZOTT kapcsolással csatlakoztatott ME (MEMORY ENABLE) bemenettel lehet vezérelni. A memória-cellák hasonló felépítésűek, mint a 10-90a. ábrán bemutatott bipoláris cella, azzal a különbséggel, hogy a cella keresztbeacsatolt tranzisztorai itt csak két emitteresek, mivel az Y címzésre – a szó-szervezés miatt – nincs szükség. A dobozzal jelölt „BIAS” nevet hordozó hálózatrészek áramköri-működési feladatokat látnak el. Az adatkimenetek OPEN COLLECTOR-os megoldásúak az esetleges *memória-bővítés* érdekében. (lásd. később)

Az előbbinél nagyobb kapacitású közös adat be/kimenetű, szó-szervezésű R/W memória blokkvázlatát rajzoltuk fel a 10.95a. ábrán.

Az ME aktív nullás vezérlőbemenet itt is az *egész egység* engedélyezését vezérli és több modulból álló összetett memória-egység esetén csak azok a modulok működnek, melyek az adatforgalom szempontjából éppen aktuálisak. Ez a szervezési mód azért is nagyon előnyös, mert a teljes egység energia-fogyasztása és hődisszipációja minimálisra csökkenthető.

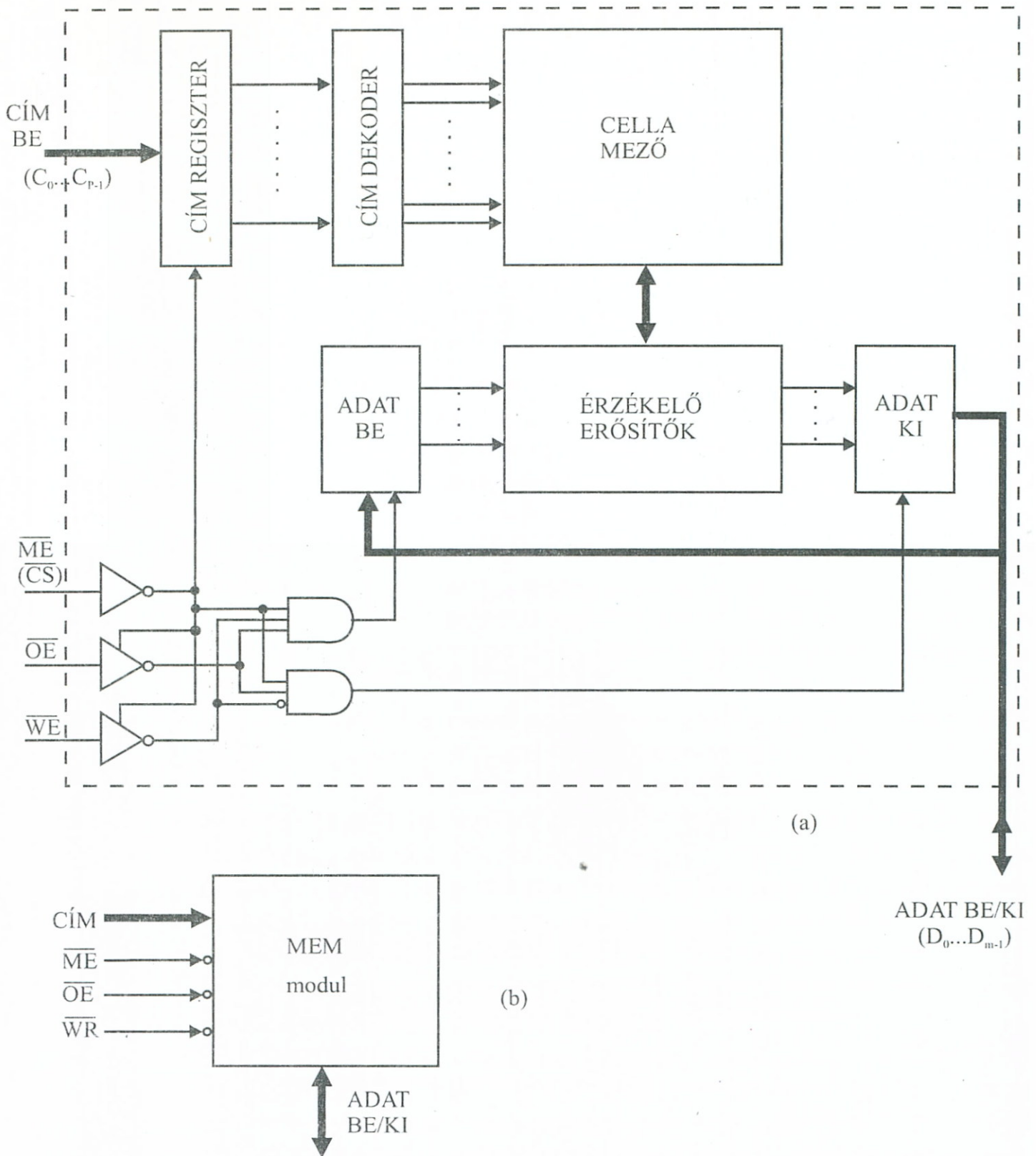
Ennél a változatnál az írás és olvasás vezérlése két elkülönített bemenettel történik.

A  $\overline{WE}$  (=WRITE ENABLE) aktív nullás *beírás-engedélyezés* is csak az aktív  $\overline{ME}$  alatt történhet.

Az  $\overline{OE}$  (OUTPUT ENABLE) ugyancsak aktív nullás *olvasás-engedélyezés* szintén függ az  $\overline{ME}$ -től és olvasás esetén működteti a háromállapotú (THREE STATE) kimeneti meghajtókat, ami különösen előnyös az elterjedt busz-szervezésű digitális rendszereknél.

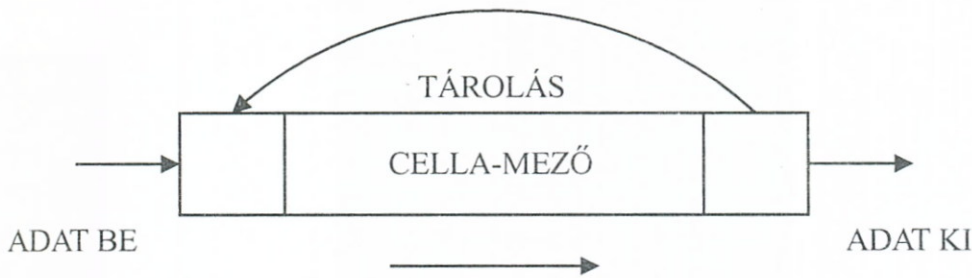
A memória-modul egyszerűsített jelölését 10-95b. ábrán rajzoltuk fel.

c) *Soros-üzemű cella-szervezésnél* (SAM) a cellák relatív elrendeződésének szemléltetésére a mátrix struktúra már nem alkalmas. Itt a 10-96. ábra elvi vázlatából kell kiindulnunk, melynél a tároló-mező



10 - 95. ábra. R/W közös adat ki/be-menetű memória belső blokkvázlata

celláiban tárolt információt egy visszacsatoló-hurok mentén folyamatosan áramlónak képzeljük. Mivel így a tárolt információ állandó mozgásban van, ezért e memória típust *dinamikus memóriának* is nevezik. A cella-mező szervezésénél még megkülönböztethetünk:



10-96. ábra Soros-üzemű cella-szervezés

- szó-soros
- bit-soros

változatokat, ahol az első esetben a szavak bitjei egymással *párhuzamosan*, egyidejűleg küldik át bit-jeiket a következő cellacsoportba, míg a második esetben a szavak bitjei is sorosan, egymás után láncolódnak és így illeszkednek bele az információ folytonos áramlásába.

Fenti tárolási elv nemcsak az elektronikus memóriák területén kerül felhasználásra, ennél általánosabb érvényű. Például, így működnek a forgó mágneses diszkek, vagy a lézer-letapogatású forgólemez memóriák is.

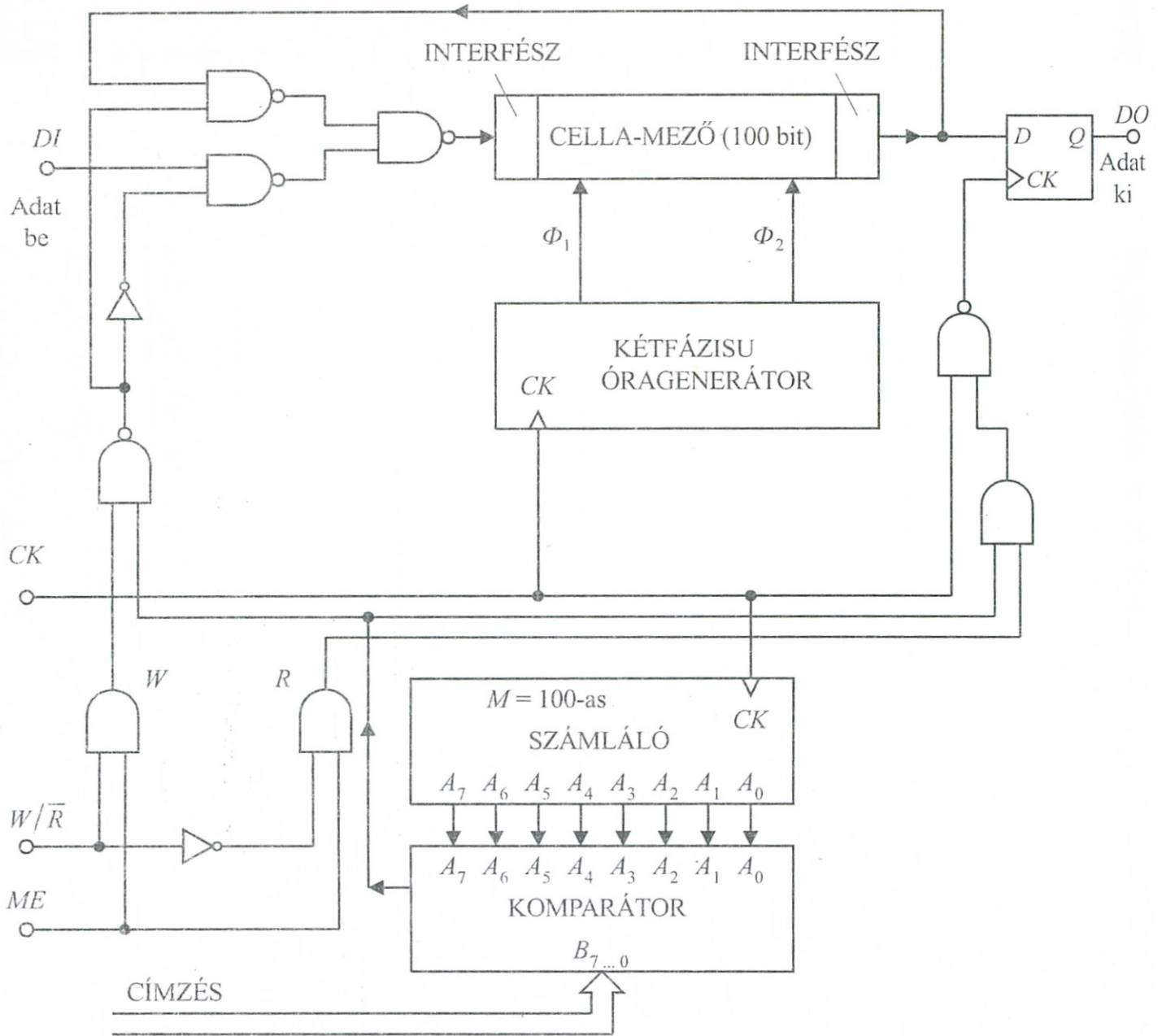
Elektronikus memóriáknál történő felhasználásukkor a cella-mezőt léptető-regiszterek alkotják, túlnyomórészt MOS realizációban.

A soros-üzemű memóriák címzése, adatbeírása, adatkiolvasása, tárolása különféle üzemmód állapotokat igényel és eltér az eddig bemutatott esetektől.

A 10-97. ábrán egy gyárilag előállított MOS és bipoláris elemekből felépülő soros-üzemű memóriát rajzoltunk fel szemléltető céllal.

A memória-cella mezejét egy dinamikus léptető-regiszter képezi, melynek bit-soros kapacitása 100 bit. Ez a regiszter interfész elemeken keresztül csatlakozik a TTL kiszolgáló rendszerhez. A 100 bit megcímzéséhez felhasznált 8 címző bit-et CÍMZÉSKOR egy 8 bit-es komparátor  $B_{0-7}$  bit-jeire adjuk rá. A komparátor  $A_{0-7}$  bit-jei egy 8 kimenetű  $M = 100$  modulusú számlálóra csatlakoznak, mely számláló azonos ütemben lépked a cella-mezőt képviselő kétfázisú ( $\Phi_1 \Phi_2$ ) regiszterrel.

Ha a  $B_{0-7}$  CÍM-kód megegyezik a cella-mező pillanatnyi helyzetét jellemző  $A_{0-7}$  számláló-kóddal, akkor a  $DI$  adatbemenetre adott, illetve a  $DO$  adatkimeneten kiolvasandó információ beíródik, illetve kiolvasódik, attól függően, hogy  $W/\bar{R} = 1$ , illetve  $W/\bar{R} = 0$  parancsot adtunk a memóriának  $ME = 1$  vezérlés esetén.  $ME = 0$ -nál a memória TÁROLÁSI üzemmódban áll be, azaz a benne levő információt keringeti a következő „hózzáfordulási” műveletig.



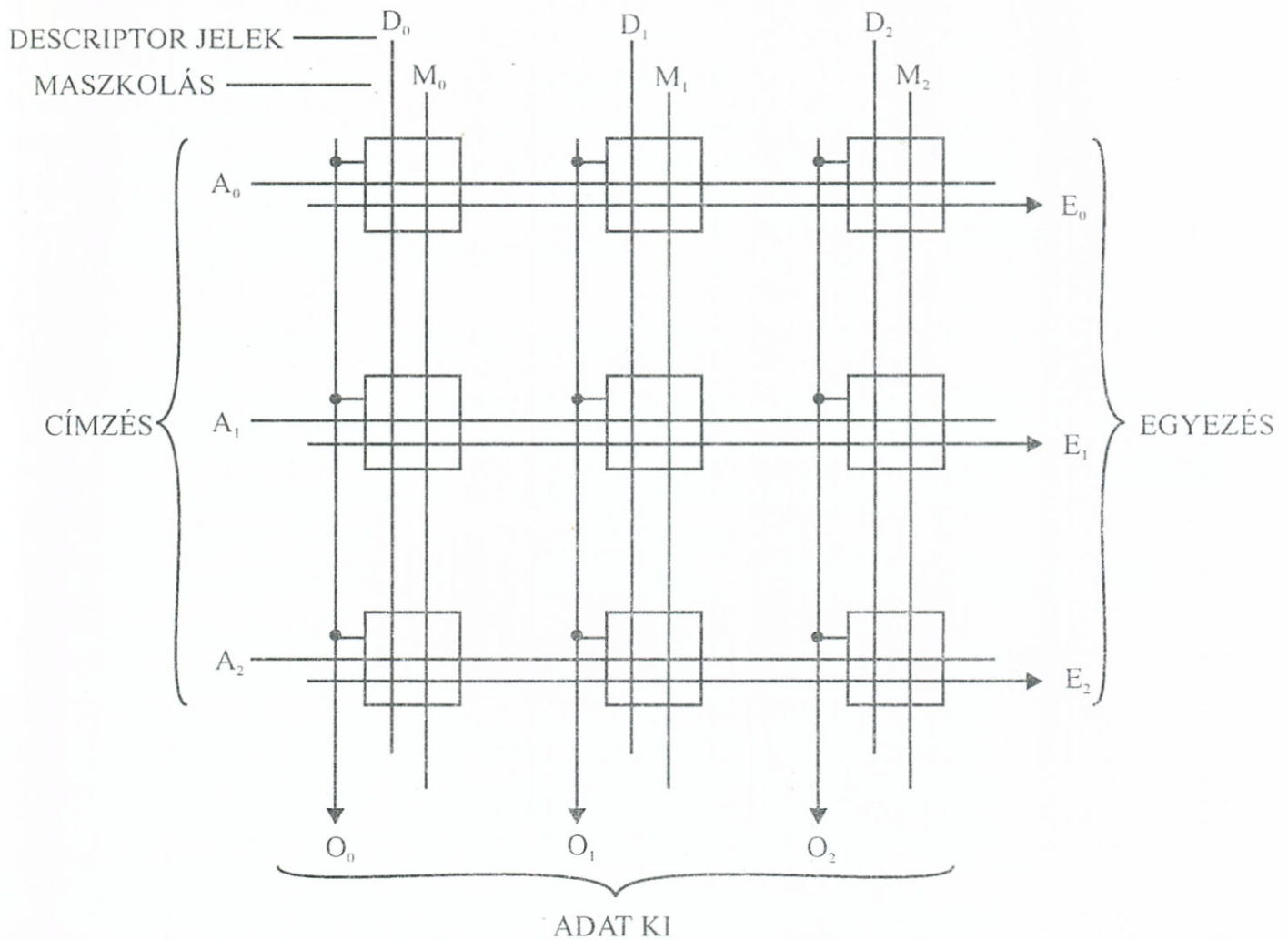
10-97. ábra 100 bit-es szó-soros dinamikus memória

### 10.8.5. Aszociatív memóriák



Aszociatív memóriáknál a tartalom tekinthető körülbelül ismertnek, és az ehhez tartozó címet kell megtalálnunk (CAM). Ilyen feladat adódhat például, amikor egy árukészletből, megadott feltételnek eleget tevő cikket kell kikeresnünk. A keresési folyamat gyorsabb lesz, ha a feltétel paraméterekhez tartozó cikkeket keressük ki, és ezek közül választunk ki egyet.

A „hagyományos” memóriákhoz képest tehát e memóriák még összehasonlító elemeket is tartalmaznak, melyek gyakran már a tároló-cellákba vannak beépítve, így egy ilyen cella többféle csatlakozás-



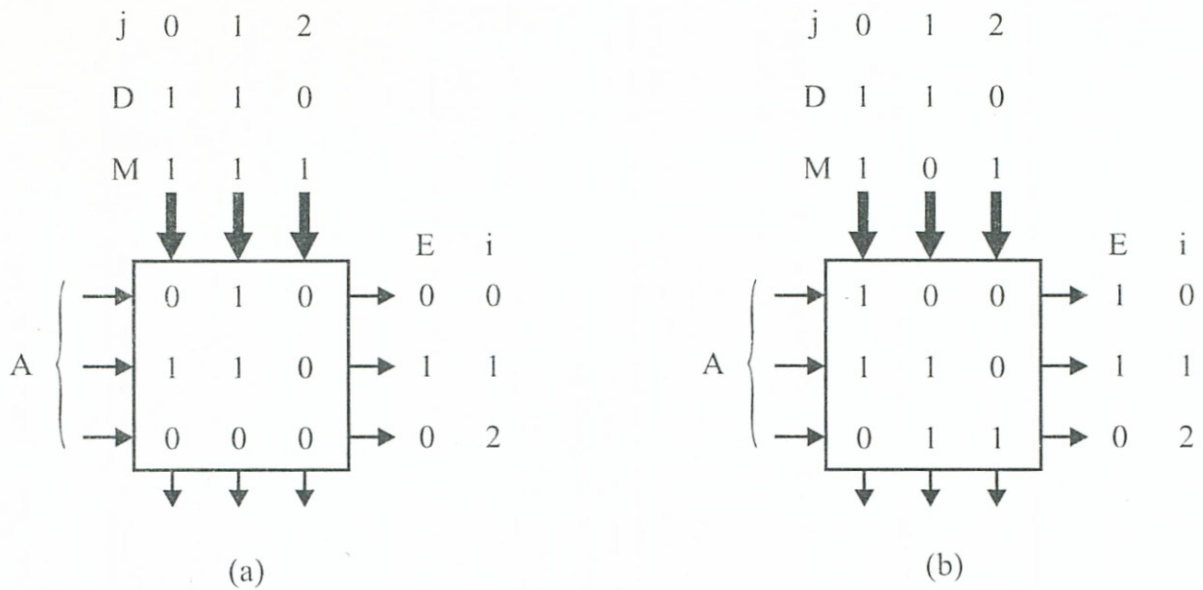
10 - 98. ábra. CAM memória cella - mátrixa

sal is rendelkezhet a 10.98. ábrának megfelelően. Az itt felrajzolt cella-mátrixnál

- „RAM”-üzem módban az „ $A_i$ ” vezetékkel címezzük meg az egyes sorokat és a „ $D_j$ ” vezetékeken beadott jelek kerülnek beírásra, illetve a kiolvasáskor a „ $O_j$ ” kimeneteken jelennek meg.
- „CAM”-üzem módban kissé más a helyzet.

Itt is az „ $A_i$ ” vezetékkel címezzük meg az egyes sorokat, viszont a „ $D_j$ ” (Descriptor) bemenetre érkező jeleket összehasonlítjuk az aktuális cellában tárolt tartalommal. Eredményül azokon az „ $E_i$ ” (Egyezés) vezetékeken fogunk kimenő jeleket kapni, mely esetekben a tárolt információ megegyezik a „ $D$ ”-n beadott értékkel. A memória még rendelkezik „ $M_j$ ” (Maszkoló) bemenetekkel is, melyek a bitenkénti engedélyezés feladatát látják el. Csak azokon a helyeken értékelődik az összehasonlítás, melyeket a maszkolás engedélyez.

Az összehasonlítás és maszkolás működését szemlélteti a 10.99. ábra példája. Az *a)* esetben minden „ $j$ ” bit engedélyezett ( $M_j = 1$ ), és



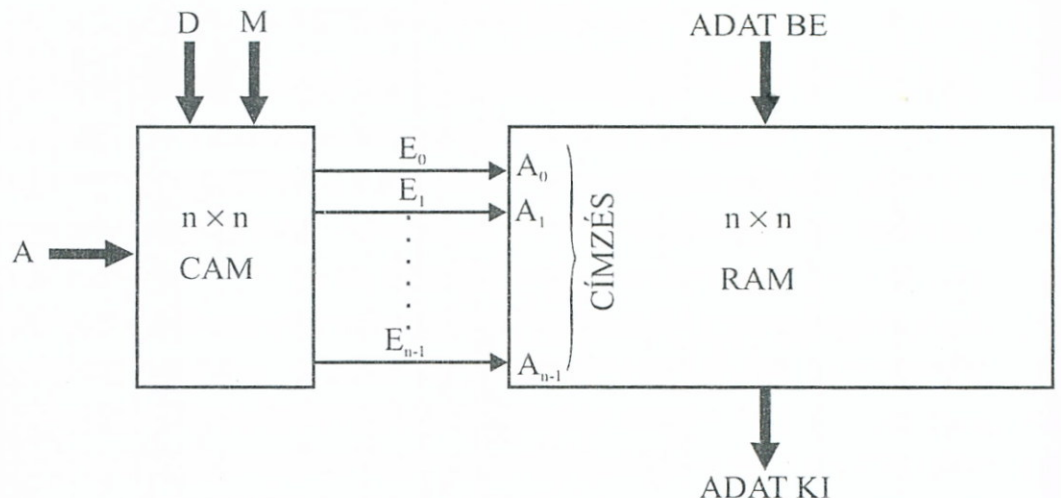
10 - 99. ábra. DESCRIPTOR - MASZKOLÁS - EGYEZÉS kapcsolata

így valamennyinek részt kell vennie az összehasonlításban. Mint látható, ez esetben az  $i = 1$  helyen találtunk teljes egyezést ( $E_1 = 1$ ). A *b) esetben* a  $j = 1$  eset tiltva van ( $M_1 = 0$ ), ezért az összehasonlítást a  $j = 0$  és  $j = 2$  helyeke nézve kell elvégeznünk. Ennek megfelelően az  $i = 0$  és  $i = 1$  helyeken találunk egyezést ( $E_0 = 1, E_1 = 1$ ).

A CAM-okat sokféle feladat megoldásánál alkalmazzák. Egy gyakori alkalmazási területre utal a következő példa.

Vizsgáljuk meg a 10-100. ábrán látható elv szerint működő gyorscímezésű RWM-egység működését.

Mint látható, a tényleges RWM feladatot egy RAM egység látja el, melynek címező vezetékai csatlakoznak egy CAM egyezéstípusú kimeneteihez. Tételezzük fel, hogy a RAM-ban olyan adatokat tárolunk, melyeket valamilyen kiemelt szempontból „kigyújtottunk” egy nagyobb, tárolt adatkészletből. A címezéskor a CAM gyorsan el tudja



10 - 100. ábra. Gyorscímezésű CAM - RAM rendszer elvi vázolata

dönteni, hogy a címzendő adat a RAM-ban van-e, avagy más helyen kell keresnünk, ily módon a keresés meggyorsul. Az elv bővíthető oly módon, hogy például valamely nagykapacitású memóriát több CAM-mal címzett szegmensre tagolunk és az adatkeresést ezekkel végeztetjük. A fenti elven így rendkívül meggyorsíthatjuk egy nagymennyiségű adathalmaz cél-orientált átvizsgálását.

### 10.8.6. Memóriák összekapcsolása

Amennyiben a műszaki feladat által igényelt memória-kapacitás meghaladja a rendelkezésre álló memória-modul jellemzőit, ilyenkor a realizálandó memóriát több összetevő modulból kell összeraknunk, azaz kisebb méretű memóriákat kell összekapcsolnunk.



Az összekapcsolás két alapváltozaton alapul:

- szóhossz bővítésen, és
- kapacitás-bővítésen.

Általános esetben a két alapváltozatot kombináltan kell alkalmazni.

a) *Szóhossz bővítésnél* az összetevő memória-modul szóhossza *rövidebb* a szükségesnél, ezért több modult kell összekapcsolnunk a hosszabb szóhossz érdekében.

Példaként egy ROM-típusú memória szóhossz-bővítését mutatjuk be a 10.101b. ábrán, ahol feltételeztük, hogy a benne szereplő modulok a 10.101a. ábra szerint épülnek fel és az  $Y_j$  adatkimenetek háromállapotúak, továbbá az ME engedélyező bemenettel aktiválhatók.

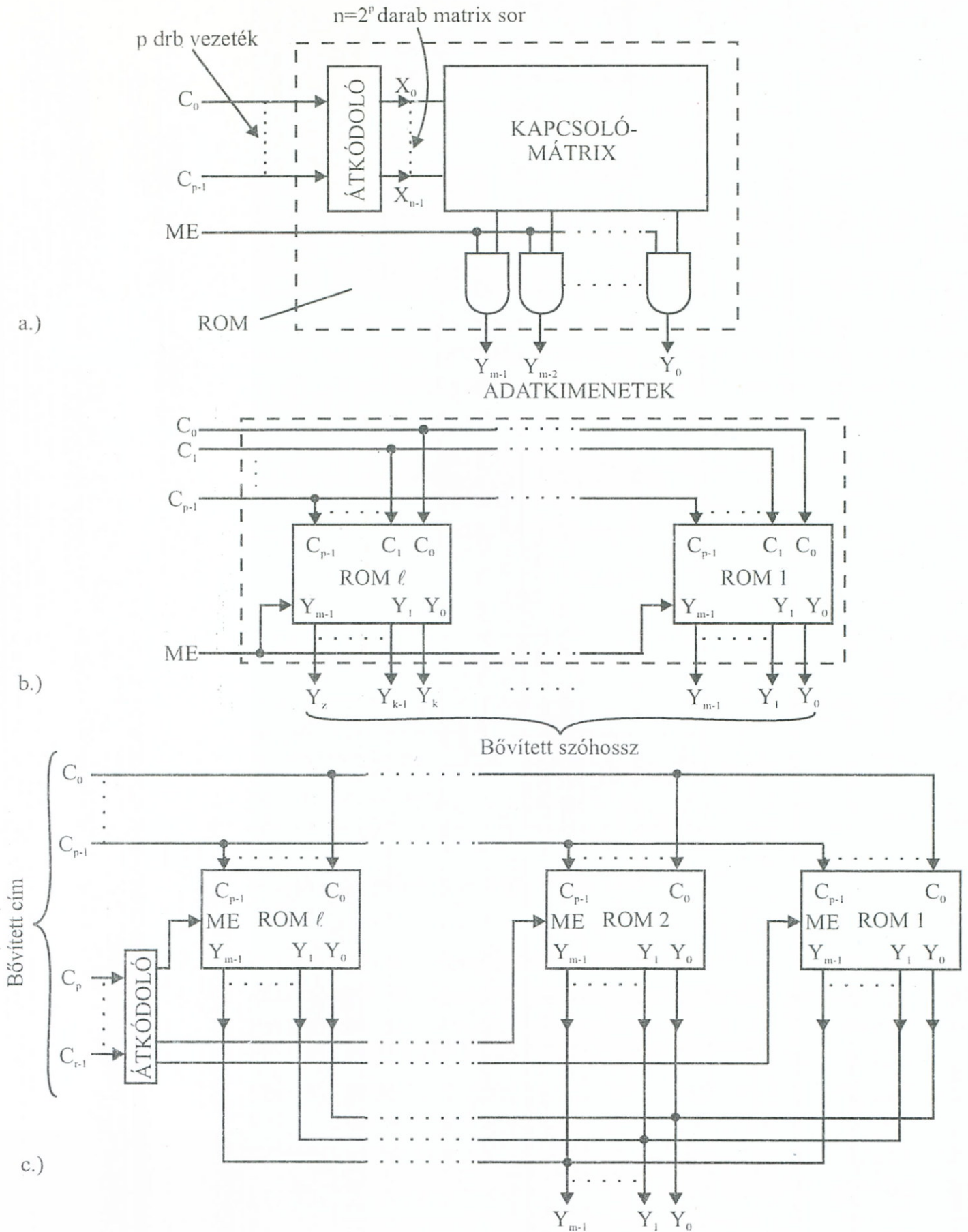
b) *Kapacitás-bővítésnél* az összetevő memória-modulban levő szavak darabszáma *kevesebb* a szükségesnél, és most emiatt kell több modult összekapcsolnunk.

Példaként itt is a 10.101a. ábra modulját vesszük alapul, és ezzel mutatunk be egy kapacitás-bővítési esetet a 10.101c. ábrán. Az egyes modulok szükség szerinti bekapcsolását az ME-pontokon keresztül az  $\overline{AK}$  átkódoló áramkör végzi, melynek bemeneteivel a címtartomány kiegészül.

Természetesen a két bővítés kombináltan is előfordulhat egy adott feladatnál. Ilyenkor célszerű először szóhossz-bővítéssel „közbenső” modulokat képezni, majd a kapacitás-bővítést e közbenső modulokkal végrehajtani.

További memória-bővítési példamegoldásokkal a FELADAT-GYŰJTEMÉNY aktuális részében találkozhatunk.

A bemutatott bővítési elvek, mind ROM, mind RWM memóriák esetén alkalmazhatók.



10 - 101. ábra. Szóhossz-, illetve kapacitásbővítési elv szemléltetése adott ROM - memória modul felhasználásával

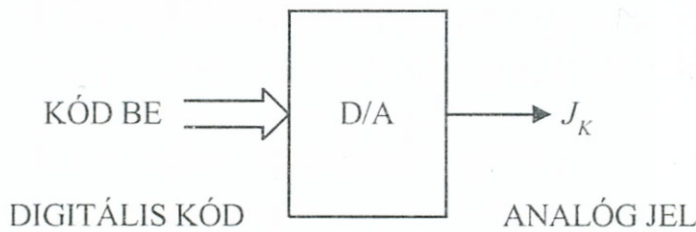


A SAM típusú memóriáknál a kapacitás-bővítés a regiszterhossz növelését jelenti. Szóhossz bővítésnél: *szó-soros* esetben a párhuzamos regiszterek számának növelése, míg *bit-soros* esetben a regiszterhossz szóhosszból eredő növelése szükséges.

CAM-memóriáknál a bővítés az elmondottakhoz hasonlóan történik, de továbbmenőleg kiterjed a kulcs, maszk és egyezés csatlakozásokra is.

## 10.9. Digitál-Analóg átalakítók

A digitál-analóg átalakítók (D/A konverterek) a *digitális* típusú jelek *analóg* típusú alakítására szolgálnak. Ez áramkörileg a kódolt számadatoknak, velük (legtöbbször) arányos elektromos feszültségé (vagy árammá) konvertálását jelenti a gyakorlati esetek többségében (10-102. ábra).



10–102. ábra D/A átalakító elvi vázlat

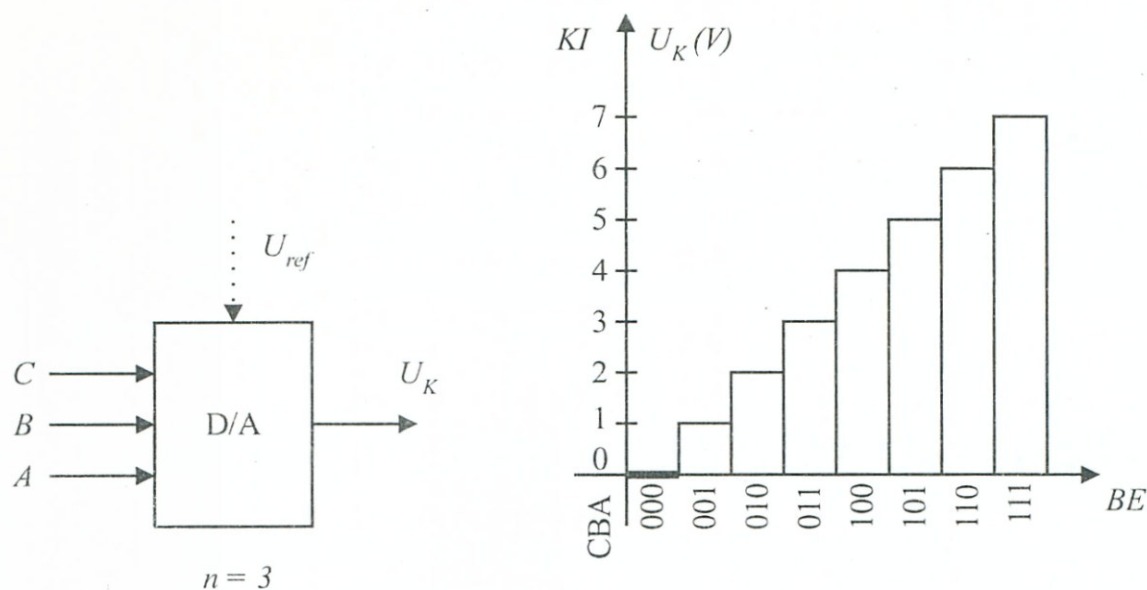
### 10.9.1. Elvi működés, általános blokkvázlat

A D/A átalakító minden lehetséges kódkombinációhoz egy-egy diszkrét  $J_K$  értéket rendel hozzá, melyek száma:  $N$ . A digitális bemenetek szempontjából nem közömbös, hogy az átalakító milyen kódrendszerben működik. Például:

- „N-ből 1” típusú kódnál a szükséges bemenetek száma:  $n = N$
- Bináris kódnál pedig:  $n = \lg N$

Természetesen a kialakításkor más szempontokat is figyelembe vesznek.

Szemléltetésül a 10-103. ábrán felrajzoltuk egy bináris kóddal dolgozó D/A átalakító átviteli karakterisztikáját. Mint látható, az  $U_K$  kimeneti feszültség értékészlete egy  $N$  lépcsős *kvantált* halmaz,



10–103. ábra D/A konverter átviteli karakterisztikája

mely elvileg tetszés szerinti sűrűségűre finomítható a bemeneti kód-elemek  $n$  számának növelésével.

Az ábrán bejelölt  $U_{ref}$  referenciafeszültség a kimenő jelekhez támpontul szolgáló nagy pontosságú és stabilitású egyenfeszültség, ami üzemi jelnek tekinthető.

Az elterjedten használt bináris D/A átalakítók bemeneti bitszámai és a hozzájuk tartozó lépcsők száma az alábbi:

n	N
8	256
10	1024
12	4096
16	65536

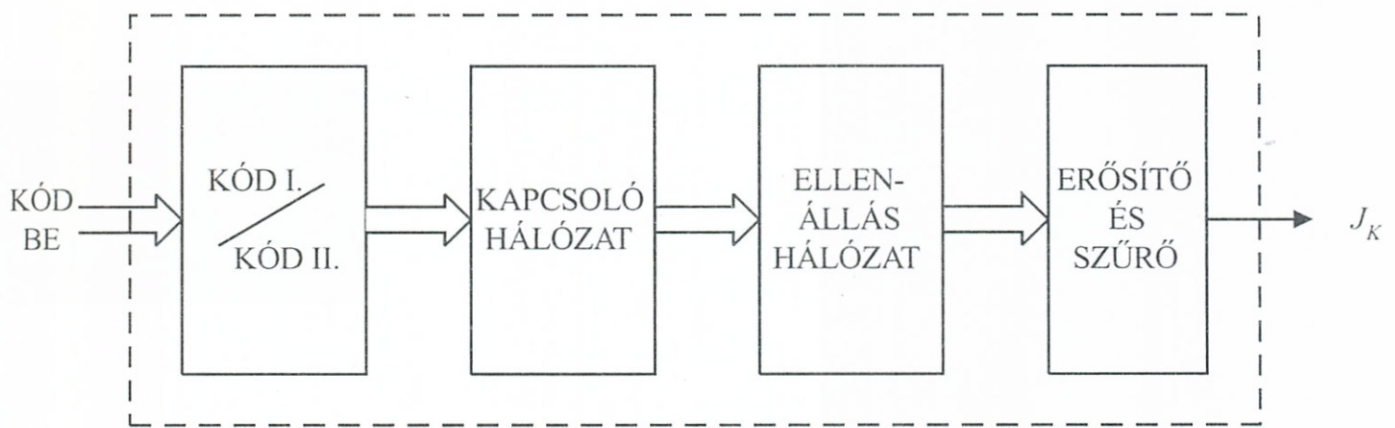
ezek közül a 10 és 12 bites változatok a leggyakoribbak.

Az úgynevezett *beállási idők*, melyek BE—KI relációban értendők  $ns$  és  $\mu s$  értéktartományokba esnek.

A D/A konverterek működése szempontjából – mint láttuk – nem mindegy az analóg jellé alakuló kód típusa, ezért gyakran a bemeneten a megfelelő kódot szolgáltatató *átkódoló*t helyeznek el.

Az egyes kódokhoz tartozó feszültség szintek előállítása aktív vagy passzív *ellenállások osztóláncaival* történik, melyek kívánt kombinációinak beállítását egy *kapcsolóhálózat* végzi el.

Végül a kimeneten általában *erősítő és szűrő* elemek biztosítják a kívánt analóg kimeneti jel megfelelő paramétereit.



10-104. ábra D/A átalakító összetevői

Egy D/A átalakító főbb egységeit összefoglaló blokkvázlat a 10-104. ábrán rajzoltuk fel. Konkrét megoldásoknál egyes egységek elmaradhatnak, vagy egyetlen fokozatban egyesítve realizálódnak.

### 10.9.2. Kapcsoló- és ellenálláshálózatok

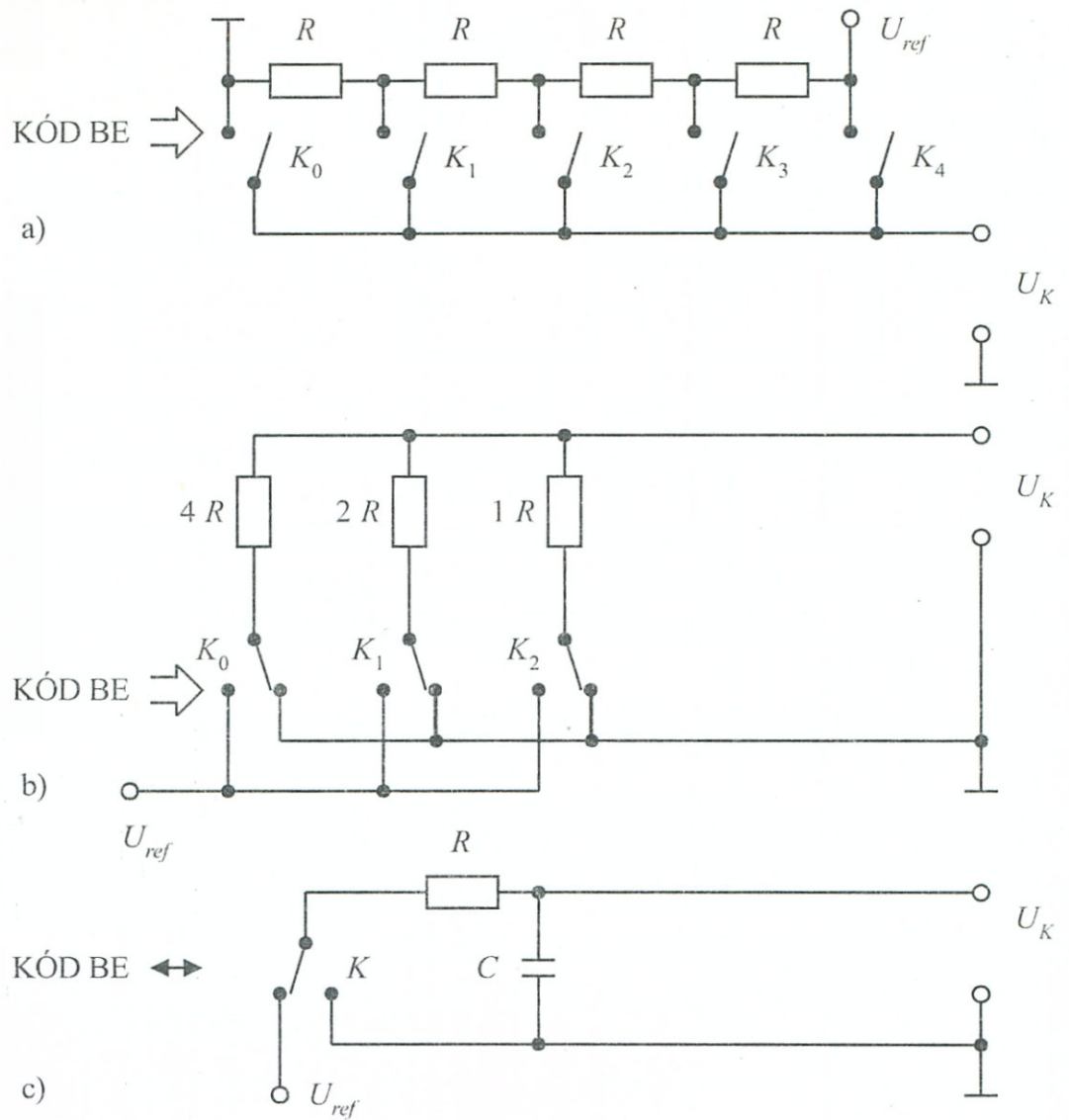
A 10-104. ábra általános blokkvázlatán szereplő KAPCSOLÓ-HÁLÓZAT és ELLENÁLLÁS-HÁLÓZAT együttese valósítja meg a tényleges átalakítási feladatot. Az együttes kialakítására három elvi alaptípus alakult ki, melyeket a 10-105. ábra foglal össze.

A 10-105a. ábrán az ún. *direkt* változat elvi rajza látható. Itt a bemeneti kód a már említett „N-ből 1”-es kód, mellyel az ellenállásosztó azon emeletén levő kapcsolót zárjuk, melynek feszültsége a kívánt  $U_K$  kimeneti analóg feszültségérték.

A 10-105b. ábrán a *súlyozott* változat szerepel. Ennél a hálózatnál az egyes ellenállások leggyakrabban bináris helyérték szerint vannak súlyozva és a kapcsolók száma is megegyezik a helyértékek számával.

A 10-105c. ábrán a *számlánccal vezérelt* változatot rajzoltuk fel. Itt csak egyetlen periodikusan működő kapcsoló található, mely egy  $R-C$  tagra dolgozik. A  $K$  kapcsoló BE/KI kapcsolt állapotainak arányát jellemző időkitöltési tényezőt az  $SZ$  számlálóval lehet beállítani, mégpedig úgy, hogy a  $C$  kapacitás sarkain mérhető kimeneti feszültség számtani középértéke a kívánt  $U_K$  értéknek feleljen meg.

A felsoroltak közül leggyakrabban alkalmazott alaptípus a *súlyozott* változat, mivel a direkt változat sok kapcsolót és sokelemes ellenállásosztót igényel, az egyszerűsége miatt kedvezőnek látszó számlánccal változat pedig az  $RC$  tag időállandója miatt lassú beállási időjellel rendelkezik.



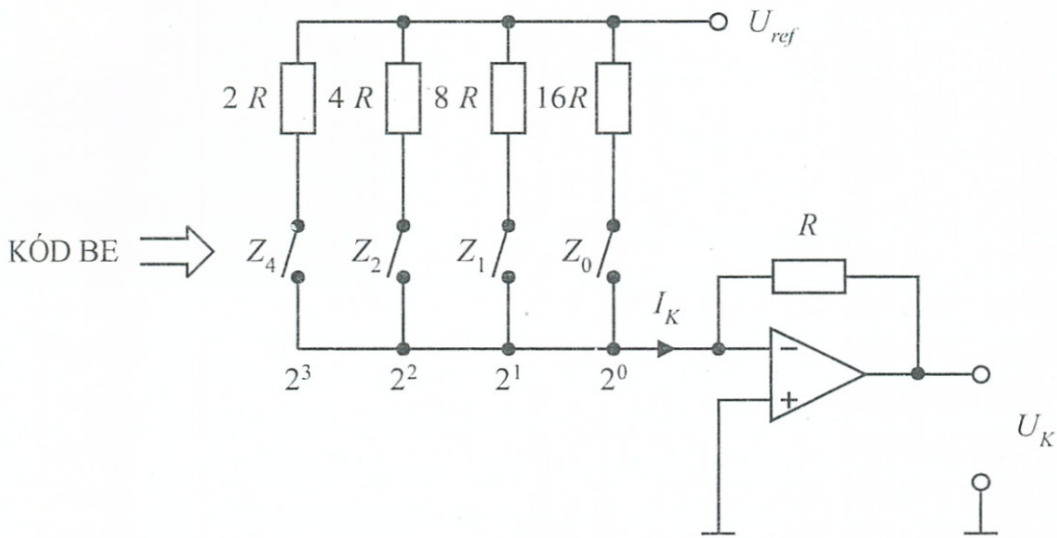
10-105. ábra D/A kapcsoló- és ellenálláshálózatok

### 10.9.3. Jellegzetes megvalósítási esetek

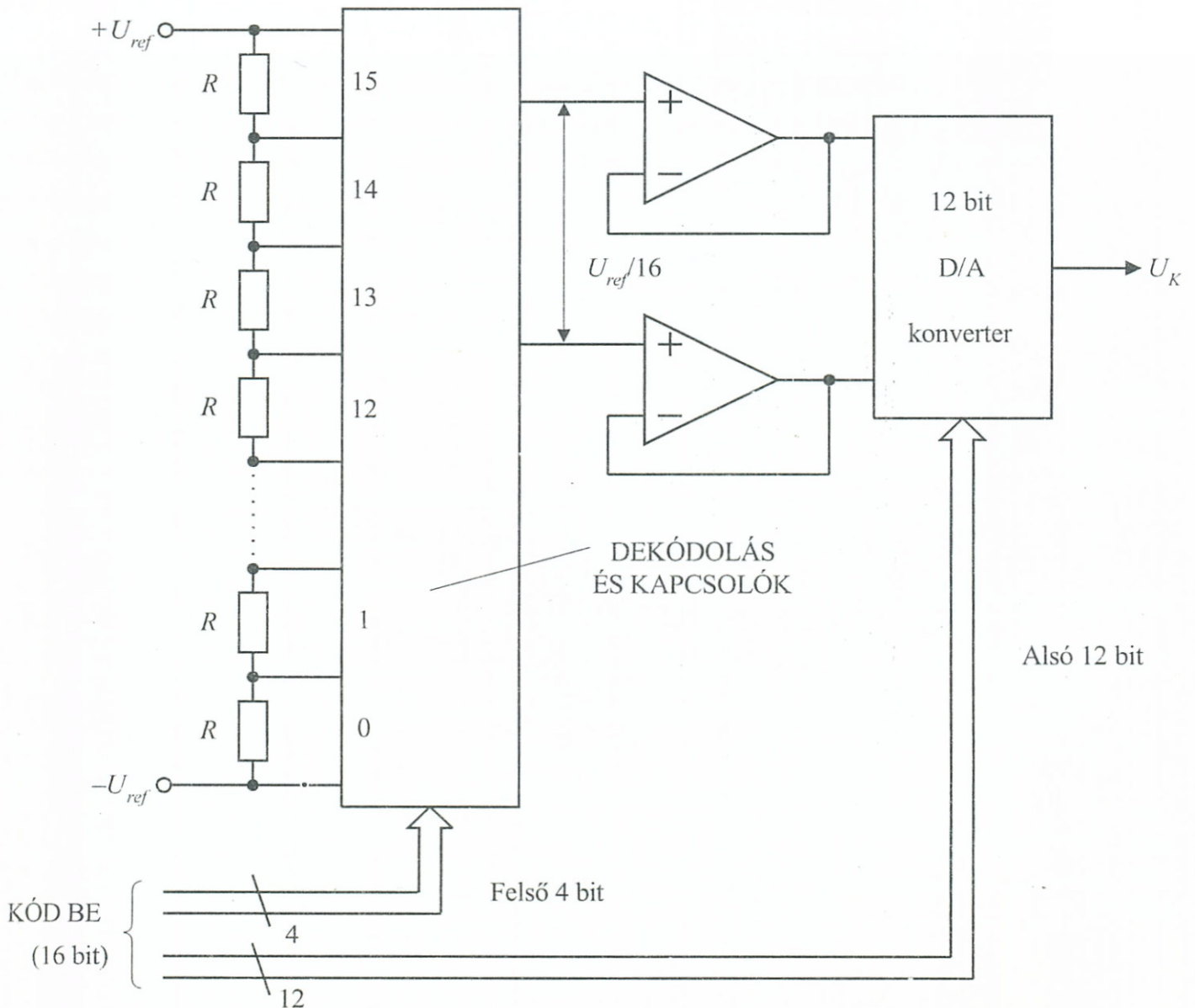


a) Áramok súlyozott összeadásán alapul a 10-106. ábrán felrajzolt 4-bites D/A átalakító. Az egyes „ $i$ ” helyértékek ágain zárt  $Z_i$  kapcsolóállásnál folyó  $I_i$  áram értéke a helyérték bináris súlytényezőjének megfelelő értékre van beállítva az  $R_i$  ellenállással. A  $Z_i$  kapcsolók akkor záródnak, amikor a bemenet  $i$  helyű kód-bitje 1 értékű. Mivel a műveleti erősítő  $R$  értékű visszacsatoló ellenállása miatt az összegezőponton mindig 0 feszültség lesz, az egyes részáramok egymást nem fogják befolyásolni. Ezért a kimeneti analóg  $U_K$  feszültségre felírható:

$$U_K = -U_{ref} \frac{Z}{Z_{max} + 1} \quad (10.55)$$



10-106. ábra D/A konverter súlyozott áramokkal

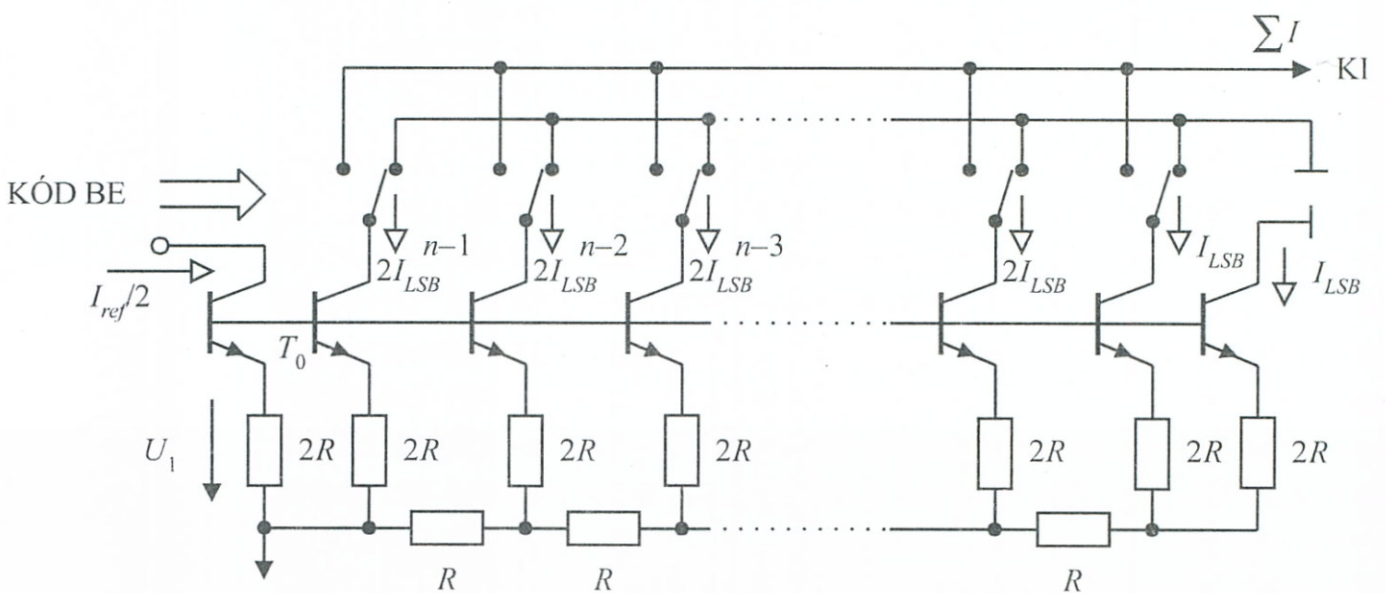


10-107. ábra Szegmentált D/A konverter

$Z_{max}$ -nál minden kapcsoló zárva van és az eredő súlyozás ekkor: 15,  $Z$  a pillanatnyi bekapcsolt súlyozásokból számítható.

b) Egy nagy pontosságú, ún. *szegmentált 16 bites D/A konverter* látható a 10-107. ábrán. Itt a konvertálás két lépcsőben valósul meg. A bemeneti 16 bites kód felső 4 bitje az *első fokozatra* kerül, ahol a „16-ból 1”-es kódban felépített direkt változatú ellenállásosztó aktuális emeletét választja ki, ezáltal előállítja az  $U_{ref}$ -nek azt az  $1/16$ -od részét kitevő tartományt, amelyen belül az előállítandó analóg szint van. Ennek a szegmensnek alsó és felső határa fogja képezni a *második fokozat* 12 bites D/A konverterének  $U_{ref}$  tartományát. Az így előállított 16-bites D/A konverter igen jó paraméterekkel rendelkezik.

c) *Kapcsolt áramgenerátoros D/A konverter* látható a 10-108. ábrán. Itt az  $I_K$  kimenő áram (a 4. fejezet 4.1. és 4.3. pontjaiban már megismert) állandó áramú bipoláris áramgenerátorok áramának eredőjeként alakul ki. Az összetevők helyértékenkénti súlyozásuk és a bemeneti bináris kódtól függően aktivizálódnak. A működés során a referencia  $I_{ref}/2$  értékű áram a  $T_0$  tranzisztor  $2R$  emitter ellenállásán  $U_1 = RI_{ref}$  referenciafeszültséget hoz létre.  $T_0$  bázispontja össze van kötve az egyes ágak tranzisztorainak bázisával, és ha feltételezzük, hogy mindegyik tranzisztornál az  $U_{BE}$  bázis-emitterfeszültség egyenlő, akkor az  $R-2R$  létrahálózat  $2R$  ágaiban folyó emitteráramok egy binárisan súlyozott sorozatot képeznek. Az analóg kimenőjelet képviselő  $I_K$  áram a kollektorkörbe beiktatott kapcsolóhálózat kódjainak függvényében állítódik elő.

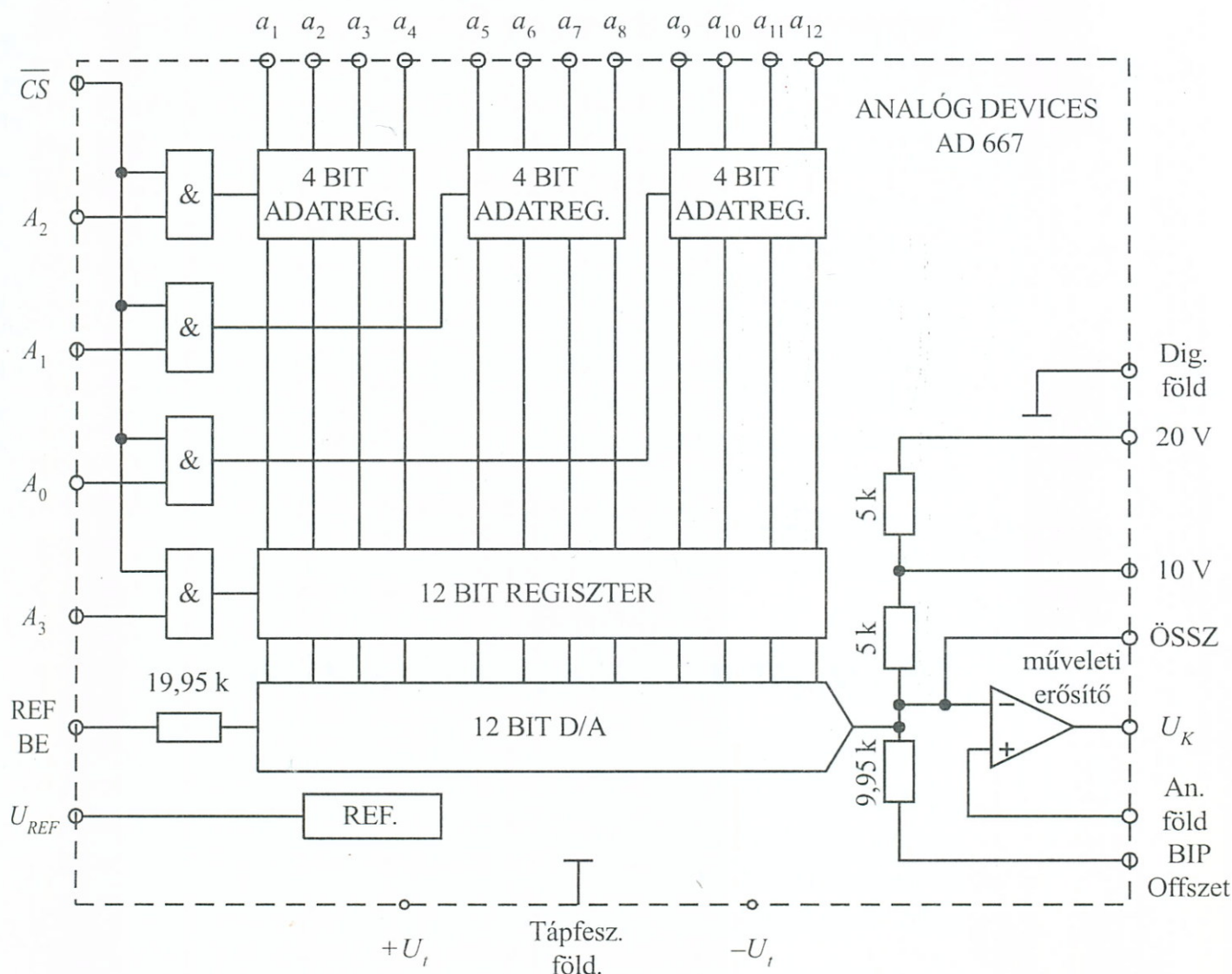


10-108. ábra Kapcsolt áramgenerátoros D/A konverter

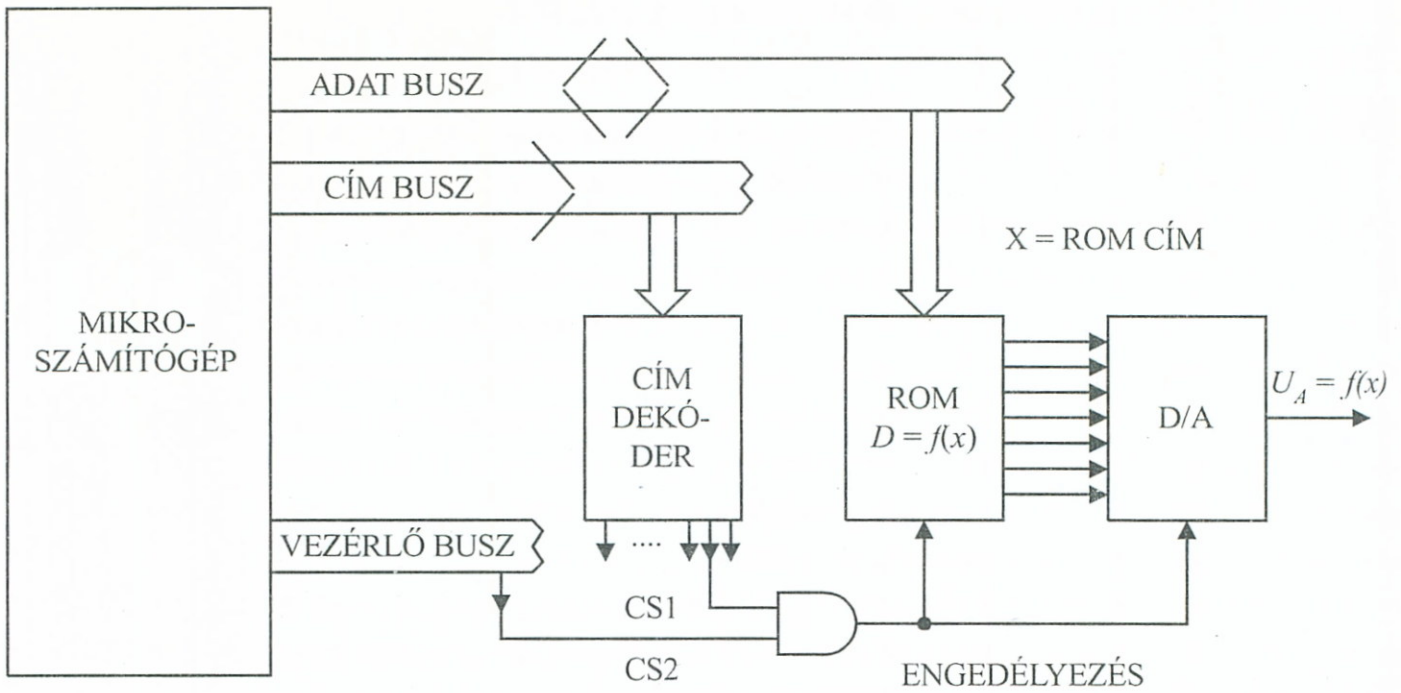
Az ábrán a  $I_{LSB}$  a legalacsonyabb súlyozású kódelemhez tartozó áram értéke (LSB = Least Significant Bit).

### 10.9.4. Alkalmazások

a) A 10-108. ábrán bemutatott kapcsolt áramgenerátoros D/A átalakító, egy ANALÓG DEVICES integrált áramkörbe beépített 12 bites változatát szemlélteti a 10-109. ábra. A chipbe beépítették az  $U_{ref}$  forrást, a 12 bites D/A konvertert és a kimeneti műveleti erősítőt, valamint a különféle beállításokhoz és az ofszeteléshez szükséges ellenállásokat. A chipbe beépítettek továbbá egy digitális jelek átmeneti tárolására felhasználható regiszter-tömböt is, melynél az egyes regiszterek kiválasztására a chip-select ( $\overline{CS}$ ) jellel kapuzott  $A_0 \dots A_3$  választó bemenetek szolgálnak.



10-109. ábra D/A átalakító IC kiegészítő áramkörökkel



10–110. ábra  $U = f(x)$  függvény előállítása D/A konverterrel

b) Szemléltető alkalmazási feladatként a 10-110. ábrán felrajzoltuk egy számítógéphez csatlakozó D/A átalakítót tartalmazó hálózat elvi vázlatát, mely tetszés szerinti

$$y = f(x)$$

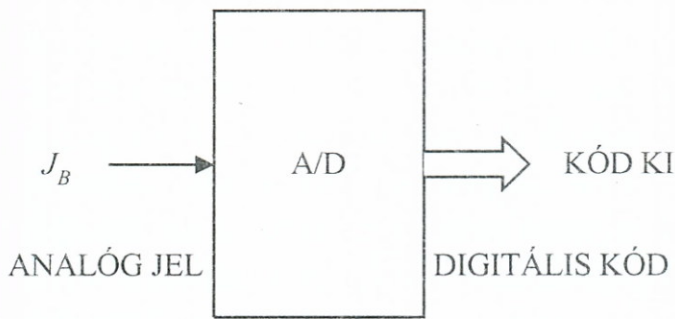
függvény kiválasztott értékeinek előállítására szolgál. A hálózat aktiválása a rendszer-CÍM-BUSZ-ra csatlakozó CÍMDEKÓDER és VEZÉRLŐBUSZ csatlakozásokkal kapuzott CS1, CS2 CHIP-SELECT jelekkel történik. Az  $f(x)$  függvény (pl. logaritmus-függvény értéktáblázatát) a ROM memória tartalmazza, melynek megcímzését a rendszer ADAT-BUSZ-on keresztül végezhetjük. A ROM adatkimeneti vezetékei a D/A konvertert vezérlik, melynek kimenetén az  $U_K = f(x)$  analóg feszültség formájában megjelenik.

## 10.10. Analóg-Digitál átalakítók



Az analóg-digitál átalakítók (A/D konverterek) az analóg típusú jelek digitális típusúvá alakítására szolgálnak. Ez áramkörileg a gyakorlati esetek többségében az elektromos feszültség (vagy áram) értékeknek velük (legtöbbször arányosan) összefüggő kódolt számadatokká való átalakítását jelenti (10-111. ábra).



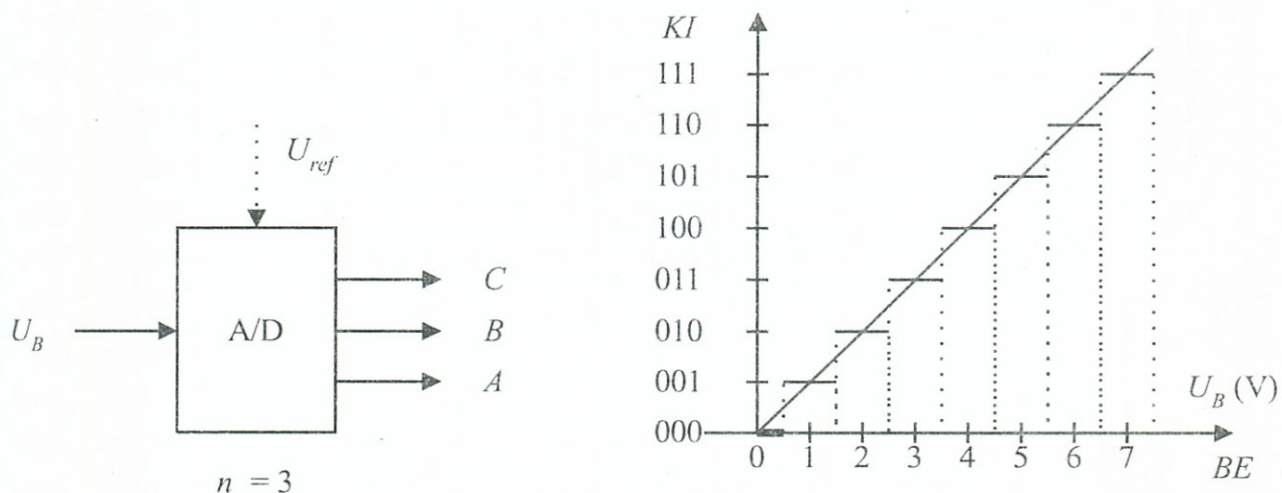


10–111. ábra A/D átalakító elvi vázlata

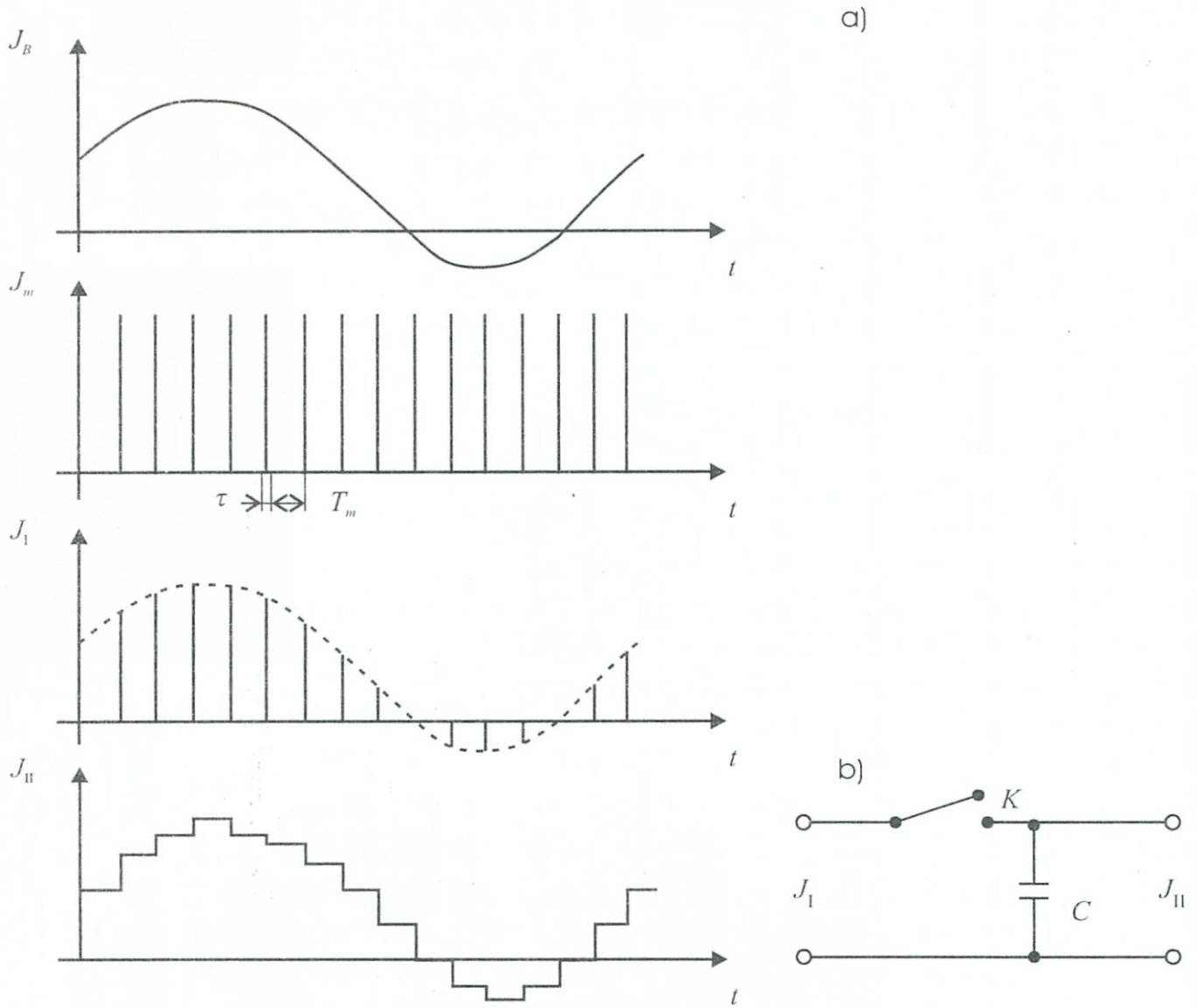
### 10.10.1. Elvi működés, mintavételezés

A 10-112. ábrán felrajzoltuk egy A/D átalakító átviteli karakterisztikáját, melynél a példaként választott  $n = 3$  érték miatt, a bemenő analóg jel (itt feszültség) tartományát 8 részre kellett osztani. Itt a 0-7 V tartományba eső, beérkező analóg jelet az 1 V szélességű szakaszon belül az átalakító ugyanazzal a kóddal adja meg, ami azt jelenti, hogy pl. 101 kimenetet észlelve, a bemenetre 4,5 és 5,5 V között bármilyen feszültség érkezhett. Ez legkedvezőtlenebb esetben itt  $\pm 0,5$  V átviteli hibát jelenthet.

Az A/D átalakító bemenetére érkező  $J_B$  jel „digitalizálásához” több feladatot kell az átalakítónak megoldania: a  $J_B = J_B(t)$  időfüggő jelet bizonyos időpontokban meg kell mérni, a mérés eredményét a diszkrét értékkála adataival össze kell hasonlítani, majd valamelyik (rendszerint a legközelebbi) fokozathoz be kell sorolni, végül a karakterisztika szerinti digitális kódot ki kell küldeni.



10–112. ábra A/D konverter átviteli karakterisztikája



10-113. ábra Mintavételezés és tartás

A periodikusan ismétlődő teendők első lépése a mintavételezési eljárás, melynek folyamata a 10-113a. ábrán követhető. Az első ábra a  $J_B = J_B(t)$  analóg bemeneti időfüggvényt mutatja. A periódikus vizsgálat a  $T_m$  mintavételezési periódusokkal jellemzett  $\tau$  szélességű mintavételező impulzus-sorozattal, a  $J_m$  mintavételező jel közreműködésével történik, melynek révén előállítódik a  $J_I$  mintavételezett jel. Ez utóbbi is egy impulzus-sorozat, de – ellentétben az állandó amplitúdójú impulzusokból álló mintavételező jellel – itt az impulzusok amplitúdója megegyezik a  $J_B$  függvény adott időpontban mért amplitúdójával. A mintavételezett amplitúdók már összehasonlíthatók az A/D konverter-karakterisztika diszkrét értékskála adataival és az adott időpontban érvényes digitális kód kiküldése lehetővé válik.

A mintavételezés technikája mélyebb matematikai háttérrel rendelkezik, mellyel itt nem foglalkozunk. Röviden, annyit szükséges

megemlíteni, hogy a mintavételezés jóságára a mintavételező impulzusok szélessége és szaporasága is befolyással van. Ideális körülményeket feltételezve, az A/D átalakító Be-, és Kimeneti oldalain levő információknak azonosaknak kellene lenniük. Ez az azonosság úgy lenne megállapítható, ha a kimeneti oldalon levő jelet eredeti formájába „visszaállítva” (például egy *ideális* aluláteresztő szűrőn keresztül) a bemeneti függvénnyel való azonosságot tapasztalnánk. A valóságban a jelvisszaállítást az ún. *tartó kapcsolások* végzik. Ezek egyik legegyszerűbb változata az ún. *nulladrendű tartó*, melyet a 10-113b. ábrán is felrajzoltunk. A tartó bemenetére ráadott  $J_I$  mintavételezett függvény „visszaállítottja” megjelenik a kimeneten, esetünkben a  $J_{II}$  időfüggvény formájában.

A  $J_I$  és  $J_{II}$  függvények amplitúdói közötti eltérés főként abból adódik, hogy a  $J_{II}$  függvény amplitúdó értékeinek megállapításakor figyelembe kellett venni az A/D konverter rögzített  $N$  diszkrét lépcsőből álló, az egyes kódszavakhoz rendelt (10-112. ábra) skálájához történő „kerekítéseket” is. Emiatt torzítás jelentkezik, amit *kvantálási zaj*nak neveznek. Értéke a 10-113a. ábra jelöléseivel

$$\Delta J = J_{II} - J_I \quad (10.56)$$

A kvantálási zaj miatt az eredeti analóg jelet már nem tudjuk torzításmentesen visszaállítani.

### 10.10.2. A/D átalakítók alaptípusai

Az A/D konvertereket három, jól elkülöníthető alaptípus köré lehet csoportosítani.

a) *Direkt* változat esetén a bemeneti analóg feszültséget az  $N$  fokozatnak megfelelő  $N$  darab referenciaértékkel hasonlítjuk össze és megállapítjuk, hogy milyen intervallumba esik. A kapott fokozathoz így „direkt” eljutunk. A változat fő hátránya, hogy fokozatonként egy-egy, összesen  $N$  (vagy  $N-1$ ) komparátort igényel. A módszert *word at time* módszernek is nevezi az irodalom.

b) *Fokozatos megközelítéses* változatnál az átalakítást „fokozatosan” végezzük el. Először a legnagyobb helyérték referenciafeszültségével hasonlítjuk össze a beérkezett feszültséget, majd a maradékot összehasonlítjuk a következő helyértékkel, és ezt folytatjuk ciklikusan a végéig.

A szükséges összehasonlítások, és a referenciafeszültségek száma megegyezik a helyérték számával, azaz  $n = \lg N$ . A módszert *digit at*



*time* vagy *szukcesszív aproximációs módszernek* is nevezi az irodalom.

c) *Számlálós* változatnál, azt kell megszámolni, hogy hány alkalommal kell a legkisebb helyértékű referenciafeszültséget összeadni ahhoz, hogy a bemeneti feszültség kiadódjon. A módszert *level at time* módszerként is nevezik.

A módszer rendkívül egyszerű áramköröket igényel, de a sok összeadási lépés miatt viszonylag időigényes.

### 10.10.3. Jellegzetes megvalósítási esetek



a) *Direkt változat prioritásos dekódolóval*

A 10-114. ábrán egy  $N = 8$  fokozatú értékskálával rendelkező, direkt A/D kapcsolás látható. A 7 darab referencia-értéket egy ellenálláslánc állítja elő az ábrán feltüntetett értékarányokkal.

Az ábrán az  $U_{LSB}$  a *legalacsonyabb súlyozású* kódelemhez tartozó feszültségérték.

Ha a beérkező feszültség értékére fennáll:

$$U_{refi} \leq U_B < U_{refi+1}$$

akkor a komparátor-kimenetekre felírható:

$$k \leq i = 1$$

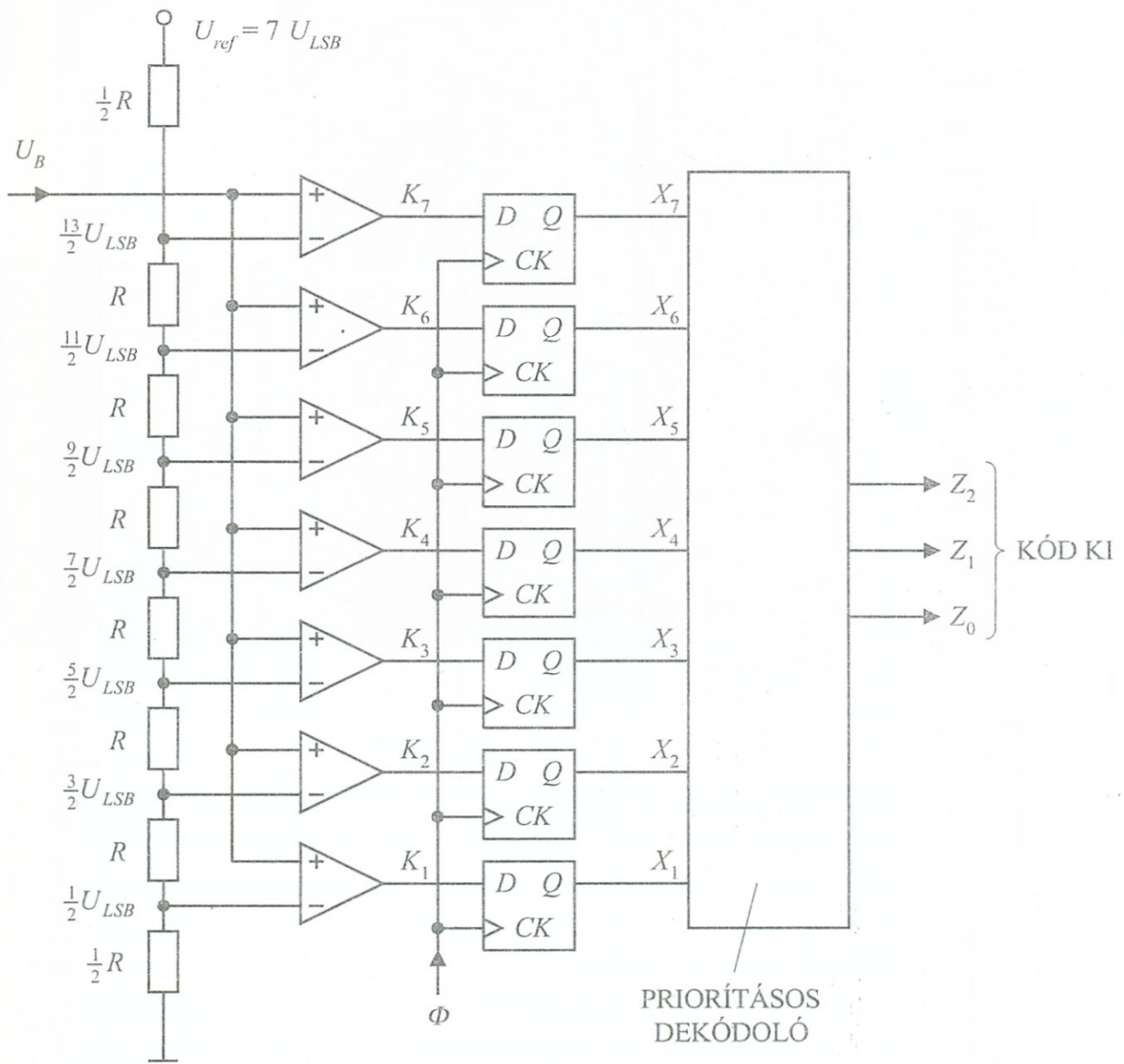
$$k > i = 0$$

A  $k_1 \dots k_7$  értékekből képzett kódszavakat végül is egy prioritásos kódolóra vezetve (lásd. 10. fejezet 10-13. ábra), megkapjuk az  $i$ -edik „feszültség-emelet” bináris kimenő kódját.

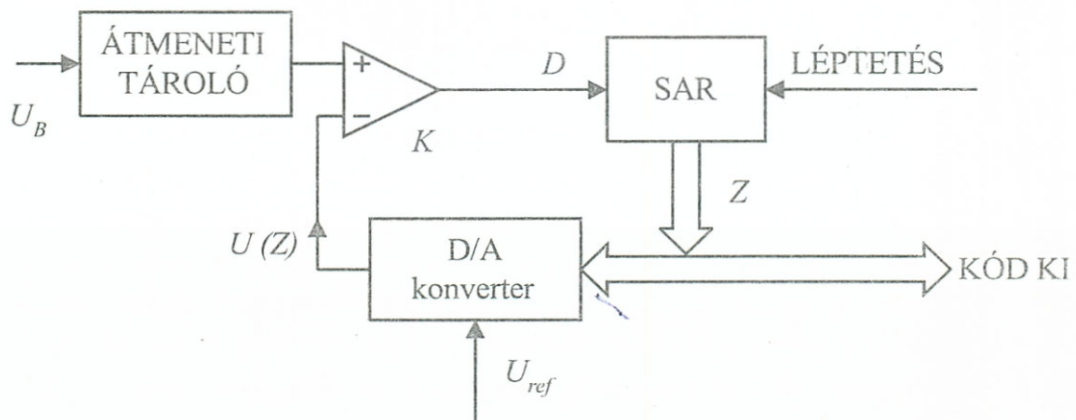
A kapcsolás bemeneti tranzienseinek kivédése céljából a  $k_i$  értékeket rendszerint egy szinkron D-tárolós P-P regiszterbe vezetik, melynek bemenetét a  $\Phi$  ciklikusan érkező kapuzó-jel csak akkor nyitja ki, ha a bemenet már stabilizálódott és a kód a Prioritásos kódolóra már ráengedhető. Ezt a megoldást mutatja a 10-114. ábra is.

b) *Fokozatos megközelítéses* megoldás elvi vázlata látható a 10-115. ábrán.

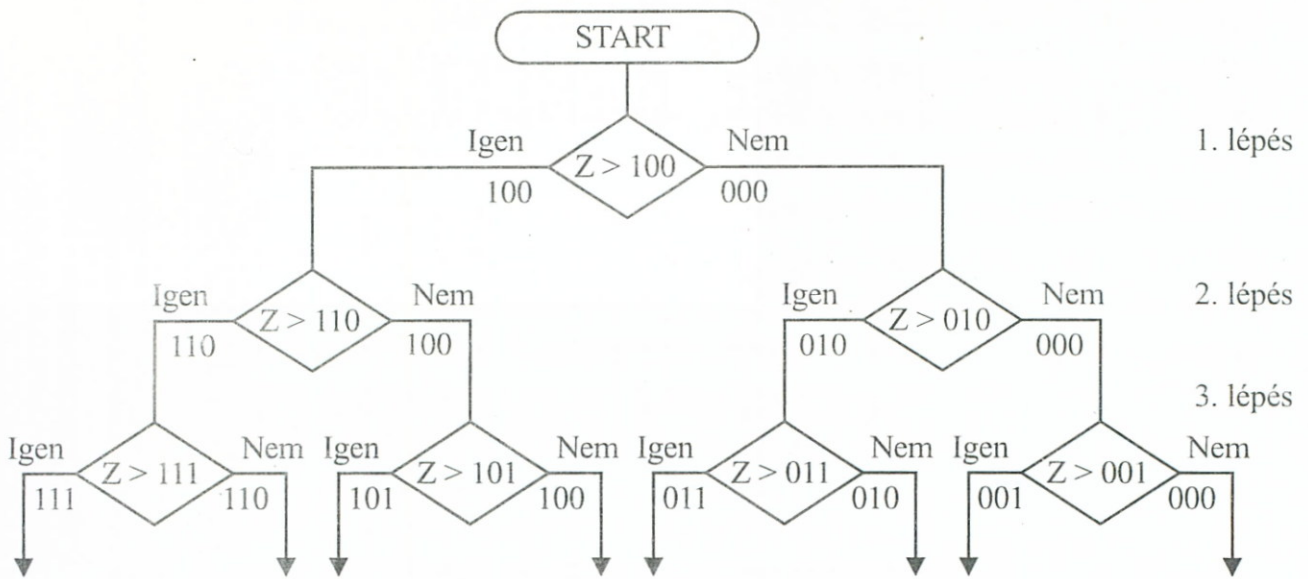
A bemeneti  $U_B$  feszültség egy ÁTMENETI TÁROLÓ-ba kerül, így az A/D átalakítás ideje alatt, mint állandó adat áll rendelkezésre. A hálózat tartalmaz egy D/A átalakítót is, melynek feszültségével kerül az  $U_B$  összehasonlításra. A D/A konverter bemenetére érkező Z súlyozási kód induláskor nullázódik, majd ezután a legnagyobb súly-



10-114. ábra Direkt A/D konverter prioritásos dekódolóval



10-115. ábra Fokozatos megközelítéses elvű A/D konverter



10-116. ábra

értékű kódelem, az MSB (MSB = Most Significant Bit) 1-be áll be, és a  $K$  komparátor elvégzi az

$$U_B > U(Z)$$

összehasonlítást. „Igaz” esetén az 1-es megmarad, ellenkező esetben átáll 0-ára. Hasonló összehasonlítás történik ciklikusan az összes kódelemre, fogyó súlyú irányban, LSB-ig bezárólag. Az összehasonlítás döntési folyamatát 3 helyértékig a 10-116. ábra fa-struktúrája mutatja és magyarázza.

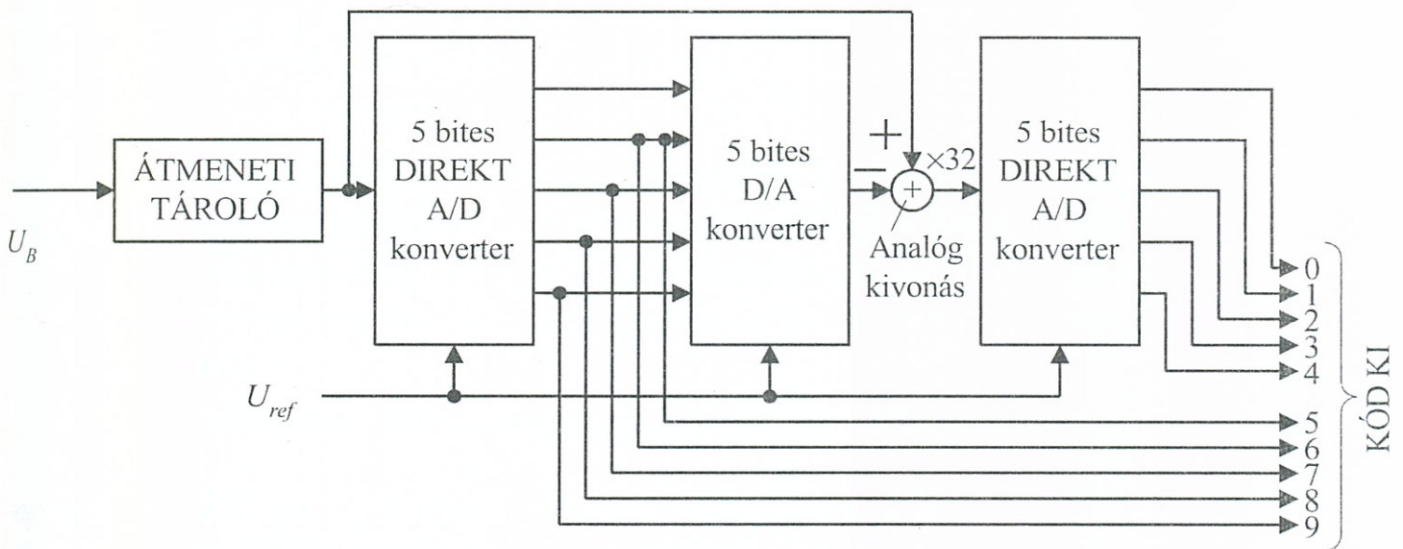
A 10-115. ábrán szereplő SAR (Successive Approximation Register) az ismertetett összehasonlítási ciklussorozat alatt shiftelődve tárolja az összehasonlítások eredményeit és LSB értékének meghatározását követően:

$$Z = (Z_{\max} + 1) \frac{U_B}{U_{ref}} \quad (10.57)$$

információval rendelkeznek.

A SAR lényegét tekintve egy S–P típusú regiszter (lásd 10. fejezet 10.1. pont), de több kiegészítő áramköri részt is tartalmaz az ismertetett működés kiszolgálása érdekében. A SAR elemeket IC tokozott állapotban is forgalmazzák.

c) A kaszkád megoldású A/D átalakítókat a direkt- és fokozatos megközelítésű változatok kombinációjának is tekinthetjük. Ez a megoldás kompromisszumosan egyesíti az előnyöket. Elvi vázolata a 10-117. ábrán látható.



10–117. ábra Kaszkád megoldású A/D konverter

Az ábrán látható 10 bit-es A/D átalakítónál a biteket két 5-ös csoportba ( $Z_9 \dots Z_5$ ), ( $Z_4 \dots Z_0$ ) soroljuk. Az első fokozatban egy 5-bites direkt A/D átalakítóval előállítjuk a felső 5 bitet, ami az  $U_B$  egy durva lépcsőzésű kvantált értékét adja meg. A részeredményt egy 5-bites D/A átalakítóval visszakonvertáljuk újra analóggá, és analóg kivonással kivonjuk az  $U_B$ -ből. Végül az analóg módban levő maradékot egy második 5-bites direkt A/D-vel digitalizáljuk. A kapott eredmény:

$$Z = Z_{\max} \frac{U_B}{U_{ref}} \quad (10.58)$$

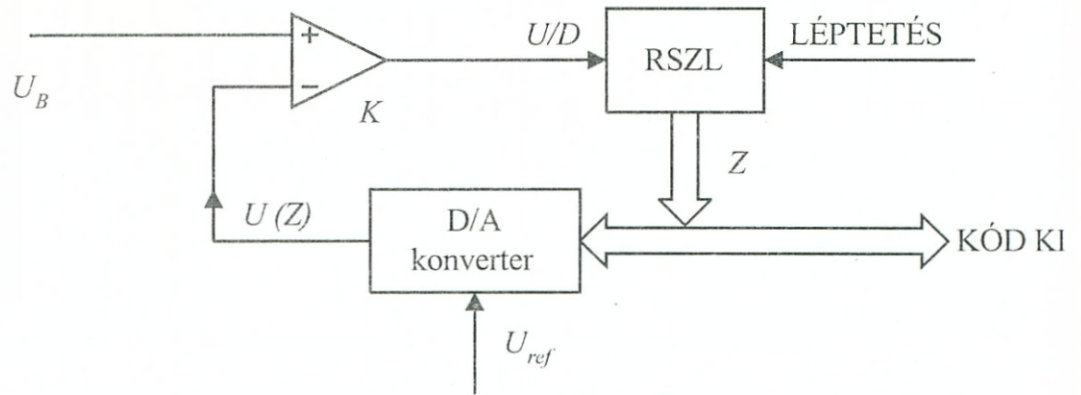
10 bit esetén

$$Z = 1023 \frac{U_B}{U_{ref}}$$

#### d) Számlálós megoldások

Nem igényes feladatokra alkalmazzák őket, mivel olcsó megoldásnak tekinthetők. Az átalakítás időállandója viszont elérheti a másodperces nagyságrendet is. Több változatuk terjedt el, ezek közül kettőt mutatunk be:

d1) *Kompenzációs változat* elvi vázлата a 10-118. ábrán látható, mely bizonyos mértékig hasonlít a 10-118. ábra „Fokozatos megközelítéses” megoldásához, csak itt egy egyszerű reverzibilis számláló (RSZL) helyettesíti a SAR-t.



10–118. ábra Kompenzációs A/D konverter

A  $K$  komparátor összehasonlítja  $U_B$ -t az  $U(Z)$  feszültséggel, és ha a különbség pozitív, ekkor RSZL-t ELŐRE, különben pedig HÁTRA lépteti.

Emiatt az  $U(Z)$  feszültség előbb-utóbb közel egyenlő lesz az  $U_B$ -vel és e körül ingadozik, így a  $Z$  kimeneten:

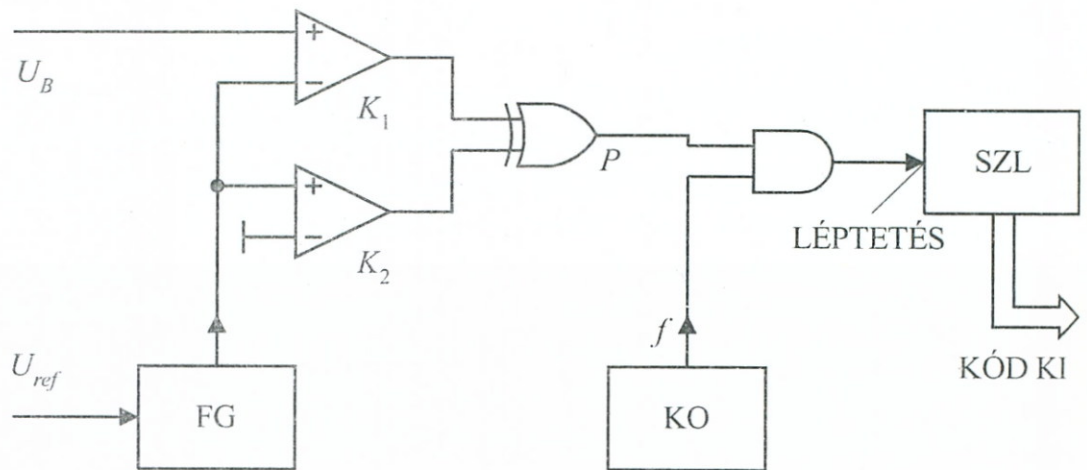
$$Z = (Z_{\max} + 1) \frac{U_B}{U_{ref}} \quad (10.59)$$

kód jelenik meg.

Szükség szerint külön leállító áramkört is csatlakoztatnak, melyet egy ablakkomparátor vezérel, enélkül az áramkör ugyanis állandóan működik.

Az áramkört TRACKING A/D konverternek is szokták nevezni.

d2. Fűrészfogjeles A/D átalakító elvi vázlatát látható a 10-119. ábrán. Az FG fűrészfoggenerátor pozitív iránytangensű lineáris feszültségfüggvényt állít elő:



10–119. ábra Fűrészjellel működő A/D átalakító



$$U = \frac{U_{ref}}{\tau_0} t - U_0$$

A kapcsolásban szereplő antivalencia kapuból és  $K_1$ ,  $K_2$  komparátorokból kialakított ablakkomparátor jóvoltából a  $P$  ponton addig van 1-es, míg a fűrészfeszültség 0 és  $U_B$  között van. Az előző összefüggésből ez az időtartam kifejezhető:

$$\Delta t = \frac{\tau}{U_{ref}} U_B$$

A  $\Delta t$  idő nagyságát a  $K0$  kvarcoszcillátor jeleinek megszámlálásával állapítjuk meg az  $SZL$  számláló segítségével, amely mindig a kezdeti 0 értékről indulva, beérkezett impulzusainak számával jellemzi az eltelt időt, és ezt kódolt formában fejezi ki a  $KI$  kimeneten. Ez az érték

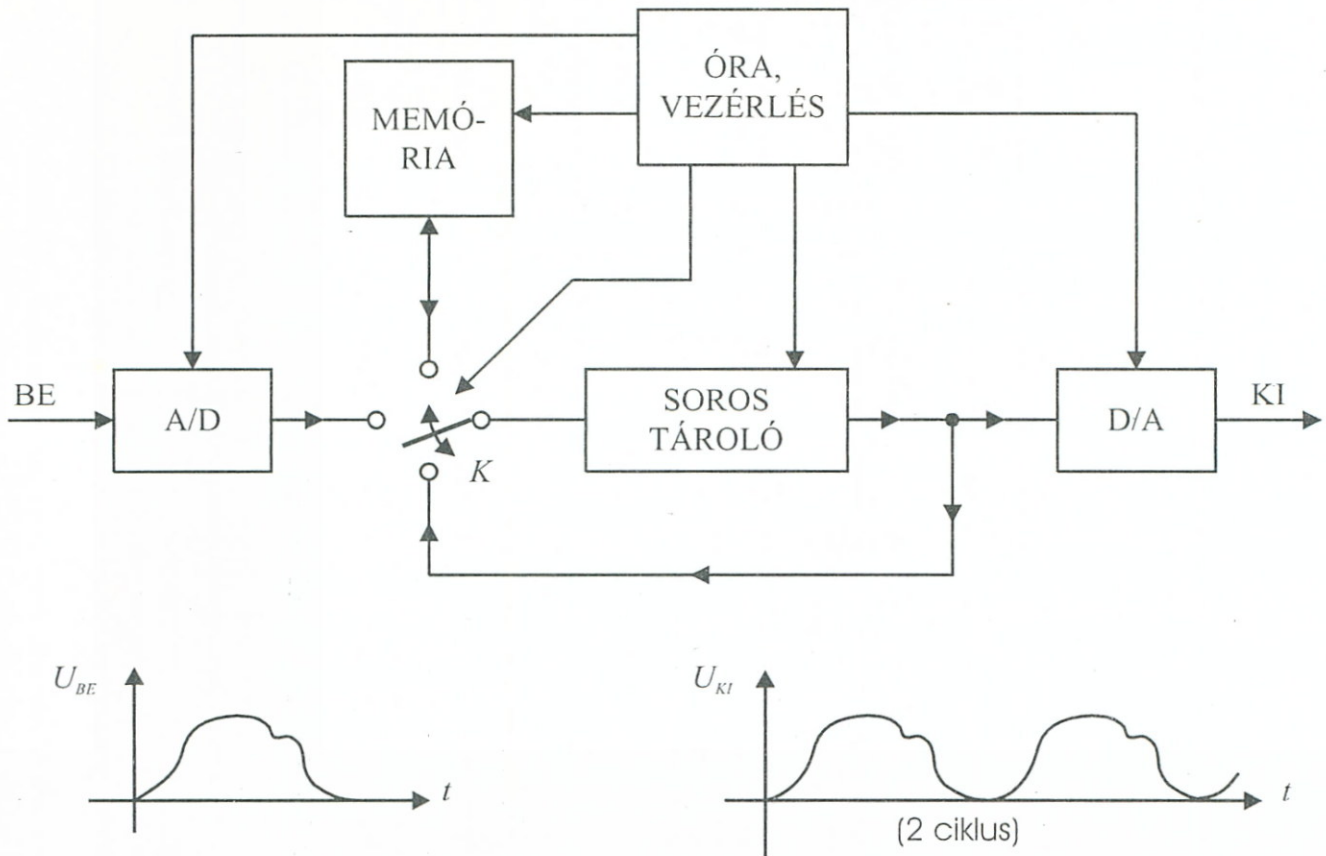
$$Z = \frac{\Delta t}{T} = \frac{\tau f}{U_{ref}} U_B \quad (10.60)$$

#### 10.10.4. Egy összetett alkalmazási példa

A/D és D/A átalakítók egy összetett alkalmazását mutatja a 10-120. ábra, melynél az a feladat, hogy egy bejövő analóg jelmintát tároljanak, illetve a jelmintából periódikusan többszörözött analóg jelcsoportot állítsanak elő.

Az ún. feltöltési szakaszban az  $U_{BE}$  jelet A/D digitalizálás után a SOROS TÁROLÓ-ba töltik, majd a  $K$  kapcsoló átkapcsolásával itt cirkuláltatják a visszacsatoló hurokban. Egyidejűleg a SOROS TÁROLÓ kimeneti pontjáról, a D/A-n keresztüljutva a  $K_i$  kimeneten megjelenik a betárolt jelminta, mégpedig annyiszor periódikusan ismétlődve, ahányszor a visszacsatoló-hurokban a körforgás megismétlődik. A  $K$  kapcsoló felső állásában a SOROS TÁROLÓBÓL a jelminta egy MEMÓRIÁ-ba elmenthető, ily módon ott különféle jel-típusokból egy könyvtár hozható létre, melyből az alkalmilag szükséges jelminta lehívható.





10-120. ábra Jelminták tárolása és többszörözése



## 10.E. Ellenőrző kérdések és feladatok

- E.10.1. Mi a funkcionális egység?
- E.10.2. Mit nevezünk regiszternek, milyen alapváltozatok léteznek?
- E.10.3. Rajzoljon fel egy P-P és egy S-S-regisztert.
- E.10.4. Írja fel a léptetőregiszter állapotegyenletét.
- E.10.5. Mitől függ valamely üzenet információtartalma?
- E.10.6. Mi az információ egysége?
- E.10.7. Miként írható fel az *entropia*?
- E.10.8. Mekkora az entropia, ha valamelyik szimbólum bekövetkezése teljesen biztos?
- E.10.9. Miként írható fel a *redundancia*?
- E.10.10. Mi a Markov-forrás?
- E.10.11. Mi a kód?
- E.10.12. Mi a kódolás és dekódolás?
- E.10.13. Mit tud a *hiba-felfedő* kódolásról?
- E.10.14. Mi a Hamming-távolság?
- E.10.15. Mit tud a *hibajavító* kódolásról?
- E.10.16. Soroljon fel néhány fontosabb kódrendszert.

- E.10.17. Mutassa be a BIN–GRAY kódátalakítást.
- E.10.18. Mit tud a *paritás bit*-tel kiegészített kódokról?
- E.10.19. Hogy működnek a paritásképzők?
- E.10.20. Hogy működik a Hamming hibajavító kódolás?
- E.10.21. Mi a DEMULTIPLEXER? Nevezze meg két fontos felhasználási területét.
- E.10.22. Mi a MULTIPLEXER, és mire használható?
- E.10.23. Hogy lehet MULTIPLEXER-rel logikai függvényt realizálni?
- E.10.24. Hogy lehet DEMULTIPLEXER-t, ill. MULTIPLEXER-t bővíteni?
- E.10.25. Mi a számláló definíciója, milyen alapon csoportosíthatók a számlálók?
- E.10.26. Ismertessen egy aszinkron előre-számlálót.
- E.10.27. Milyen elvi vázlattal jellemezhető egy szinkron előre-számláló?
- E.10.28. Mutasson be egy aszinkron hátra-számlálót.
- E.10.29. Miben tér el egy szinkron hátra-számláló elvi vázlata az E.10.27.-ben szereplőtől?
- E.10.30. Ismertessen egy reverzibilis számlálót.
- E.10.31. Mi a *ciklusrövidítés* és a *ciklusbővítés* számlálók esetén?
- E.10.32. Hogy lehet digitális *frekvencia-osztót* csinálni?
- E.10.33. Foglalja össze, miként lehet számlálót kialakítani SSI összetevőkből.
- E.10.34. Mi jellemző az *aritmetikai* műveletvégzőkre?
- E.10.35. Mi a *fix-pontos* számábrázolás?
- E.10.36. Milyen a bináris előjel-abszolútértékes számábrázolás?
- E.10.37. Milyen a bináris *komplementes* számábrázolás?
- E.10.38. Hogyan vezethető vissza a kivonás összeadásra?
- E.10.39. Mi a túlcordulás?
- E.10.40. Végezze el különböző előjelű bináris számok összeadását.
- E.10.41. Mi a *lebegőpontos* számábrázolás?
- E.10.42. Mi a *normalizált* alak?
- E.10.43. Mi az *implicit* bit?
- E.10.44. Rajzoljon fel egy 1-bites bináris összeadó modult.
- E.10.45. Mi a különbség az *egész-összeadó* és a *fél-összeadó* között?
- E.10.46. Mutasson be egy *soros* bináris összeadót „n” bit-re.
- E.10.47. Mutasson be egy *párhuzamos* bináris összeadót „n” bit-re.

- E.10.48. Hogy működnek a LOOK–AHEAD–CARRY elvű összeadók, miben térnek el a RIPPLE–CARRY-elvű összeadóktól?
- E.10.49. Rajzoljon fel egy *párhuzamos* bináris kivonót „n” bit-re.
- E.10.50. Rajzoljon fel egy *soros* bináris kivonót „n” bit-re.
- E.10.51. Miként bővíthetők az összeadó vagy kivonó modulok?
- E.10.52. Mit tud a BCD számaábrázolásról és összeadásról?
- E.10.53. Mutasson be egy 6-os korrekcióval működő BCD-összeadó dekádöt.
- E.10.54. Milyen a legegyszerűbb bináris szorzás?
- E.10.55. Milyen az „iskolás” szorzás?
- E.10.56. Mutasson be egy párhuzamos szorzót  $2 \times 2$  bites esetre.
- E.10.57. Hány bitből áll a szorzat a tényezőkhöz viszonyítottan?
- E.10.58. Mi lesz a szorzat *előjele* előjel-abszolútértékes ábrázolásánál?
- E.10.59. Milyen az *1-bit figyelésű* szorzó algoritmus? Ismertesse működését egy blokkséma kíséretében.
- E.10.60. Oldjon meg egy számpéldát az 1-bit figyelésű szorzással.
- E.10.61. Milyen a *2-bit figyelésű* szorzó algoritmus? Ismertesse működését egy blokkséma keretében.
- E.10.62. Oldjon meg egy számpéldát a 2-bit figyelésű szorzással.
- E.10.63. Mutasson be egy realizációt a *Booth-féle* szorzásra.
- E.10.64. Milyen formulákon alapul a *duplázó-felező* szorzás?
- E.10.65. Mutasson be egy BCD szorzóberendezést.
- E.10.66. Visszavezethető-e az osztás kivonásra? Mutassa be egy számpéldán keresztül.
- E.10.67. Oldjon meg egy bináris osztási számpéldát ismételt kivonásos módszerrel.
- E.10.68. Mutasson be egy P-P-osztót.
- E.10.69. Mutasson be egy P-S-osztót.
- E.10.70. Mutasson be egy S-P-osztót.
- E.10.71. Mi a *tört-hányados*, és mi az *egész-hányados*?
- E.10.72. Milyen elven működik egy *tört-hányadost* előállító osztóberendezés?
- E.10.73. Oldjon meg egy számpéldát tört-hányadosú bináris osztásra.
- E.10.74. Milyen elven működik egy *lebegőpontos* bináris szorzóberendezés?
- E.10.75. Milyen elven működik egy *lebegőpontos* bináris osztóberendezés?
- E.10.76. Milyen elven működik egy *lebegőpontos* bináris összeadó/kivonó berendezés?

- E.10.77. Mi a *komparátor*, milyen elveken építhető fel?
- E.10.78. Milyen az *aritmetikai* összehasonlítás?
- E.10.79. Milyen a *logikai* összehasonlítás?
- E.10.80. Mutasson be egy soros bináris komparátort.
- E.10.81. Mutasson be egy 2-bites bináris komparátort.
- E.10.82. Mit tud a komparátorok modulokból történő összekapcsolásáról?
- E.10.83. Rajzolja fel egy memória elvi vázlatát.
- E.10.84. Milyen szempontok szerint csoportosíthatók a memóriák?
- E.10.85. Mit jelentenek a következők: RWM, RAM, SAM, CAM, ROM, EPROM?
- E.10.86. Milyenek a sztatikus- és a dinamikus memóriák, és milyen cellákból épülnek fel?
- E.10.87. Milyen egységekből áll egy memória?
- E.10.88. Mit jelent a *bit*-szervezés és a *szó*-szervezés?
- E.10.89. Rajzolja fel egy R/W *szószervezésű* memória blokkvázlatát.
- E.10.90. Mit tud a *soros üzemű* cella-szervezésű memóriákról?
- E.10.91. Mire használhatók az *aszociatív* memóriák?
- E.10.92. Rajzoljon fel egy aszociatív memóriákra jellemző blokkvázlatot.
- E.10.93. Milyen elveken bővíthetők a modulokból felépített memóriák?
- E.10.94. Milyen eltérésekkel találkozunk a ROM és RWM memóriák bővítésekor?
- E.10.95. Mi a *Digital-Analóg* konverter, és milyen az átviteli karakterisztikája?
- E.10.96. Milyen összetevőkből épül fel egy D/A konverter?
- E.10.97. Milyen kapcsoló- és ellenálláshálózat alapváltozatokat alkalmaznak D/A átalakítóknál?
- E.10.98. Ismertessen egy jellegzetes D/A átalakító-megoldást!
- E.10.99. Mi az *Analóg-Digitál* konverter, és milyen az átviteli karakterisztikája?
- E.10.100. Ismertesse az A/D átalakítással kapcsolatos jeltípusokat!
- E.10.101. Mi az a *mintavételezés* és a *kvantálási zaj*?
- E.10.102. Milyen alaptípusok alapján csoportosíthatók az A/D átalakítók?
- E.10.103. Ismertessen egy jellegzetes A/D átalakító-megoldást!
- E.10.104. Mi az a *szukcesszív approximáció*, A/D esetén?

# 11. SZOFTVER ÉS HARDVER VEGYES ALKALMAZÁSÁN ALAPULÓ DIGITÁLIS RENDSZEREK

## 11.1. Általános megfontolások

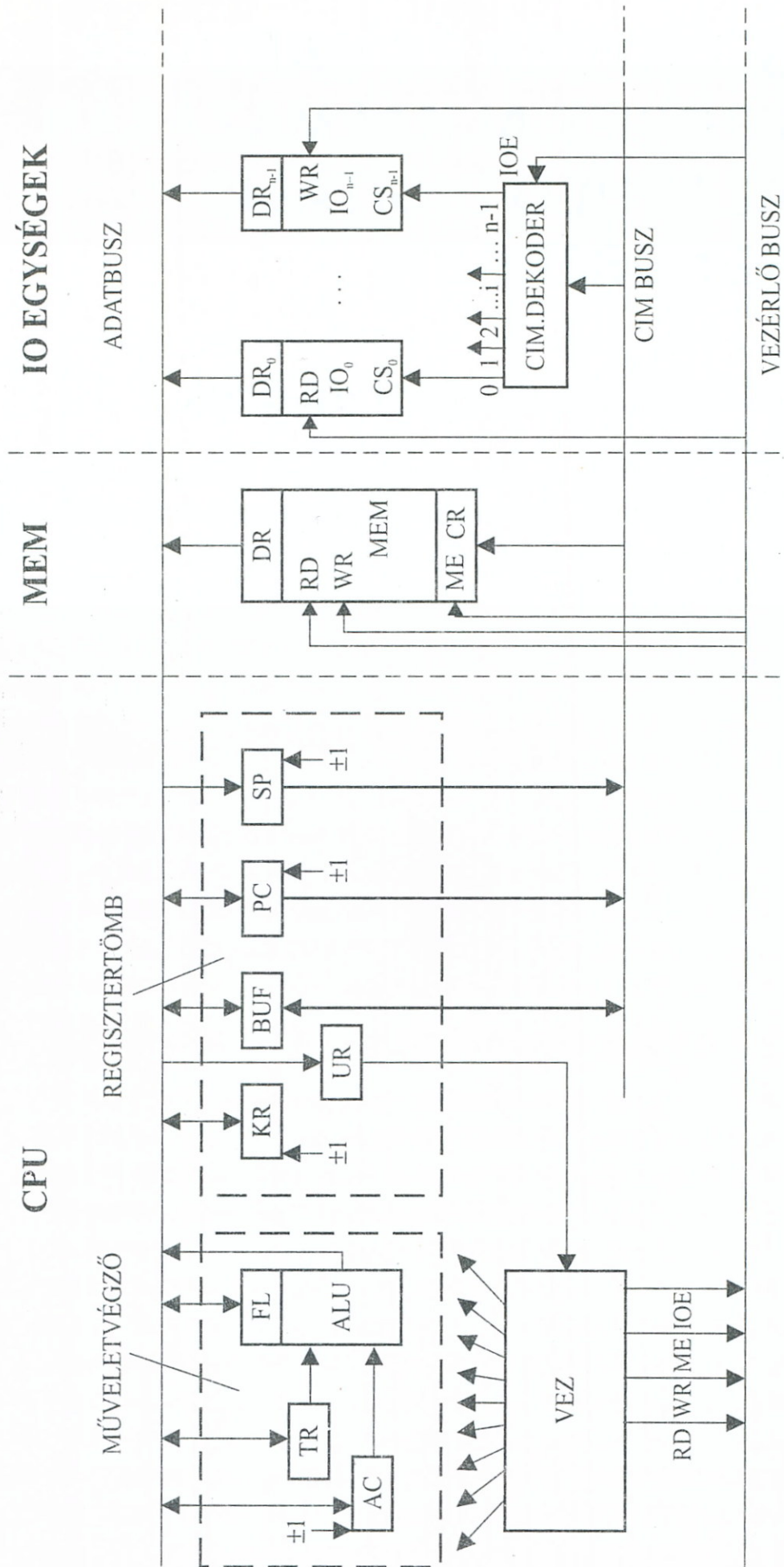
A korszerű digitális rendszerekben szoftver- és hardver összetevők együttesen kerülnek alkalmazásra. Az ilyen rendszerek működése a 2–2b. ábra elvi vázlatán alapul, ahol a működés módját meghatározó *szoftver*-információk és a *hardver*-eszközök hatékony együttműködését a rendszerben szereplő *vezérlőegység* biztosítja. A vezérlőegység működését *program* irányítja, mely érkezik külső információforrásból, vagy elhelyezkedhet a rendszer memória egységének egy elkülönített részében.



A klasszikus berendezésekben a „működtetési programot” közvetlen *emberi irányítás* szolgáltatta, például a kezelői kiképzéskor megtanult és saját memóriájában tárolt ismeretek révén, vagy egy „kezelési utasítás”-ban tároltak alkalomszerű közvetítésével. Később, a működési programokat már *külső adathordozókra* rögzítették (pl. lyukszalag, mágneses stb. tárolóeszközök) és ezek beolvasásával jutottak az aktuális feladat megoldásához szükséges program információhoz.

A korszerű digitális berendezéseknél (pl. digitális, univerzális számítógépekben, mikroprocesszorokban) az ún. NEUMANN-elv értelmében, a program-információkat a berendezés memória egységének egy erre a célra elkülönített részében (a programmezőben) helyezik el, miáltal a rendszer számára magasabb automatizálási szintet, jobb flexibilitást és a nagyobb működési sebességet lehet biztosítani.

A feladatonkénti más-más program követelményeihez feladatonként átszervezhető *univerzális hardver* elrendezésre van szükség, melyet busz-szervezésű (5–5c. ábra) struktúrákkal lehet biztosítani. Az egyes hardver egységek alkalomszerű buszra, vagy egymáshoz történő csatlakoztatását a *vezérlőegység* végzi el, összhangban a *szoftver-program* lépéseivel. Az előző fejezetek tapasztalatai azt mutatták, hogy a digitális berendezések főként: logikai, aritmetikai,



11-1. ábra Egy szoftver-hardver vegyes alkalmazásán alapuló busz-szervezésű univerzális digitális rendszer blokkvázlata

adatmozgatási, adatátalakítási műveletek keretében oldják meg feladataikat. Ennek megfelelően egy univerzális hardver egységnek elsősorban ilyen funkcionális egységekből kell felépülnie.

Egy ilyen univerzális, digitális hardver elrendezést rajzoltunk fel a 11–1. ábrán. A berendezés – mint látható – buszos szervezésű és a 8., ill. 10. fejezetekben megismert vezérlő, regiszter, műveletvégző, memória stb. funkcionális egységekből épül fel. A funkcionális egységeket, itt betöltött feladataik alapján:

- A) CPU (CENTRAL PROCESSING UNIT)
- B) MEMORIA (MEM)
- C) INPUT–OUTPUT EGYSÉGEK (IO)

csoportokba sorolhatjuk. Az egyes egységek közötti összeköttetést *feladatok szerint* elkülönített, háromféle busz biztosítja. A buszok, a hozzájuk csatlakozó egységek alkalomszerű fel/le-kapcsolhatóságának érdekében általában *három állapotú* (5.1.2. pont) csatlakozásokkal rendelkeznek.

Az ADATBUSZ, a MEMORIA, illetve az INPUT–OUTPUT egységek kiolvasott vagy beírandó információit továbbítja a CPU–MEM–IO egységek között.

A CIMBUSZ, a MEM adott rekeszéhez, vagy az aktuálisan kiválasztandó IO<sub>i</sub> megcímzéséhez szükséges információkat továbbítja.

A VEZÉRLŐ BUSZ a rendszer működéséhez nélkülözhetetlen vezérlő információkat hordozza. [Például RD-kiolvasás (READ), WR-beírás (WRITE), ME-memóriára vonatkozó, IO–Input–Output-ra vonatkozó stb.] Ezek az információk a VEZÉRLŐ egységből érkeznek.

## 11.2. A rendszer hardver összetevői

Vizsgáljuk meg a következőkben a 11–1. ábra hardver összetevőinek feladatkörét és működését.

### 11.2.1. CPU–Central Processing Unit (Központi feladatmegoldó egység)

több összetevő alegységből épül fel, melyek eltérő funkciókkal rendelkeznek.

A.1. A VEZ-jelű VEZÉRLŐ egység a 11–1. ábrán látható valamennyi funkcionális egységgel összeköttetésben áll. (Az egyes egy-





ségekhez tartó vezetékeket részleteiben nem ábrázoltuk.) Ennek az „idegrendszernek” a segítségével az egyes blokkokat, a memóriában elhelyezkedő program egyes *utasításainak* megfelelően (mely utasítások az UR–*utasításregiszteren* keresztül jutnak a vezérlőbe), adott időpontban, a kívánt üzemmódban működteti, ill. a buszokra rákapcsolja vagy kiiktatja őket. A vezérlő egységekkel a 8. fejezet 8.4. pontjában részletesen foglalkoztunk és már ott láttuk, hogy ezek *mikroprogram-tár* egységében egy adott feladatvégrehajtás állapotgráfjának információi tárolhatók. Ez egy adott CPU esetében azt jelenti, hogy vezérlőegységében előre tárolva vannak a CPU által végrehajtható összes utasítás algoritmusai, és bármelyik utasítás aktuálissá válásakor elegendő a vezérlőegységgel az adott utasításra jellemző, ún. *műveleti kódot* (MK, vagy OC–Operation Code) közölni, aminek hatására a vezérlő egység automatikusan elvégzezteti a kijelölt művelet végrehajtását. (Pl. kiolvassa az adatot a memóriából és összeadhatja az AC-regiszter tartalmával stb.)

A.2. A MŰVELETVÉGZŐ EGYSÉG több alegységből tevődik össze:

a.2.1. Az *ALU Aritmetikai, logikai műveletvégző* egyesíti magában a 10. fejezetben bemutatott műveletvégzők képességeit és itt általában *két-operandusos* műveletvégző változatban kerül megvalósításra. Nevének megfelelően alkalmas például: összeadási-, kivonási- (esetleg: szorzási-, osztási-, ill. bonyolultabb) *aritmetikai műveletek*, továbbá rendszerint *ÉS-, VAGY-, ANTIVALENCIA-, NEGÁCIÓ logikai műveletek* végrehajtására, de képes lehet még például *komparátor* funkciók ellátására is. Amennyiben a műveleteknél *járvulékos* információk (pl. átvitel [CY], előjel [S], paritásbit [P], túlcscordulás [OVF], hiba [ERR], zéró eredmény [Z] stb.) ún. *FLAG-bitek* is megjelennek, akkor ezek az ALU-hoz kapcsolódó *FLAG-regiszterben* kerülnek tárolásra.

Egy FLAG-regiszter bit-elrendezését mutatja a 11–2. ábra:



11–2. ábra *FLAG-regiszter bitjei*

a.2.2. Az *AC Akkumulátor-regiszter* egy univerzális képességű regiszter, mely rendszerint P–P, S–S, S–P és P–S üzemmódban is tud működni, így (szükség esetén) *shiftelési* feladatok ellátására is alkalmas. Funkcionálisan legfontosabb szerepe az ALU egyik operandu-

sának a művelet előtti átmeneti tárolása és egyszerűbb CPU-kban (mint az ábrán is látható) a művelet utáni eredmény átmeneti tárolása. Az AC-regiszter – mint látni fogjuk – számos szoftver utasítással is elérhető.

Az AC akkumulátor és az FL flag-regiszter együttesét gyakran PROGRAM ÁLLAPOT SZÓ (PSW–PROGRAM STATUS WORD)-nak is nevezik, mely a műveletsorozat adott pillanatbeli legfontosabb információit tárolja.

a.2.3. A *TR Operandus-regiszter* az ALU másik operandusának átmeneti tárolására szolgál.

### A.3. REGISZTER TÖMB összetevői a következők:

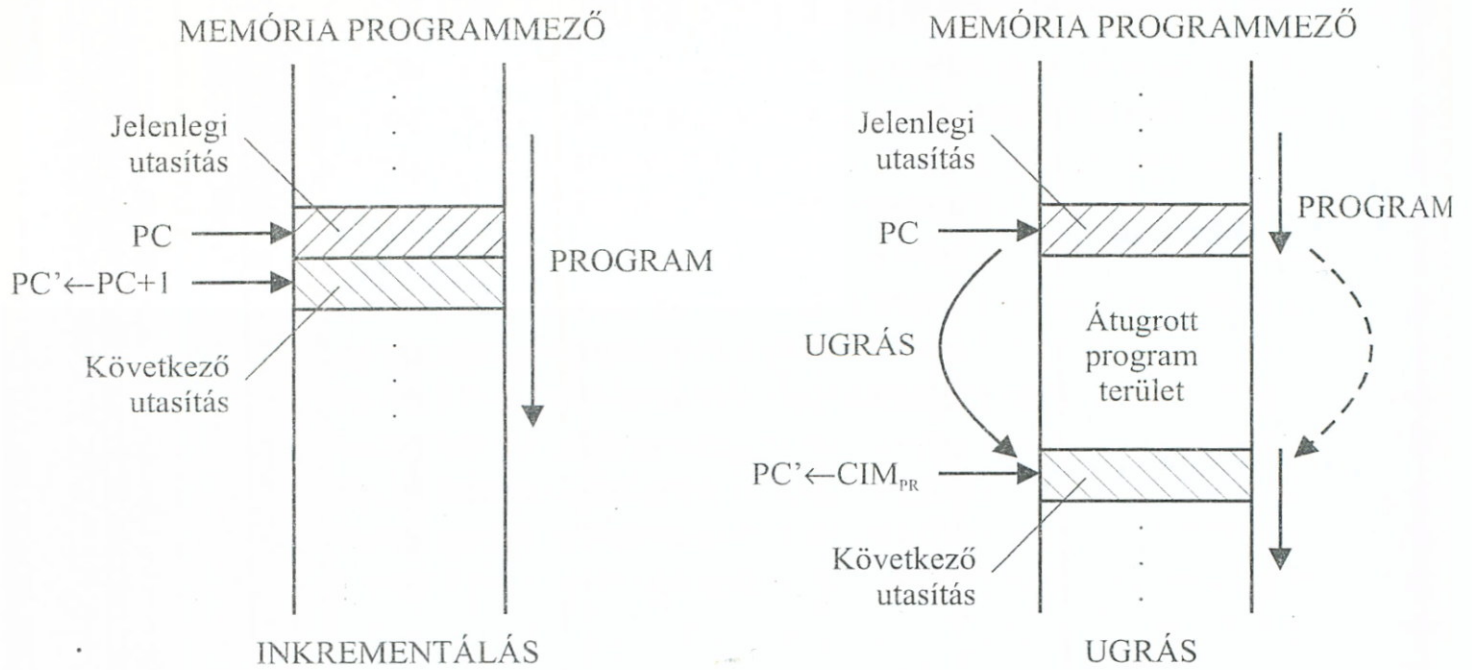
a.3.1. Az *UR Utasítás-regiszter*ben kerül átmeneti tárolásra az *M–Memória* programmezejéből kiolvasott aktuális utasítás, melynek MK műveleti kódját kell az UR-ből a VEZ vezérlőbe küldenünk, hogy a soron következő feladatot a VEZ felismerje, majd ezt követően a rendszerrel végre tudja hajtani.

a.3.2. A *KR Kiegészítő regiszter* az utasításvégrehajtás címzési feladataiban kap szerepet, továbbá átmeneti tárolási feladatokat lát el, és tartalma általában inkrementálható, ill. dekrementálható.

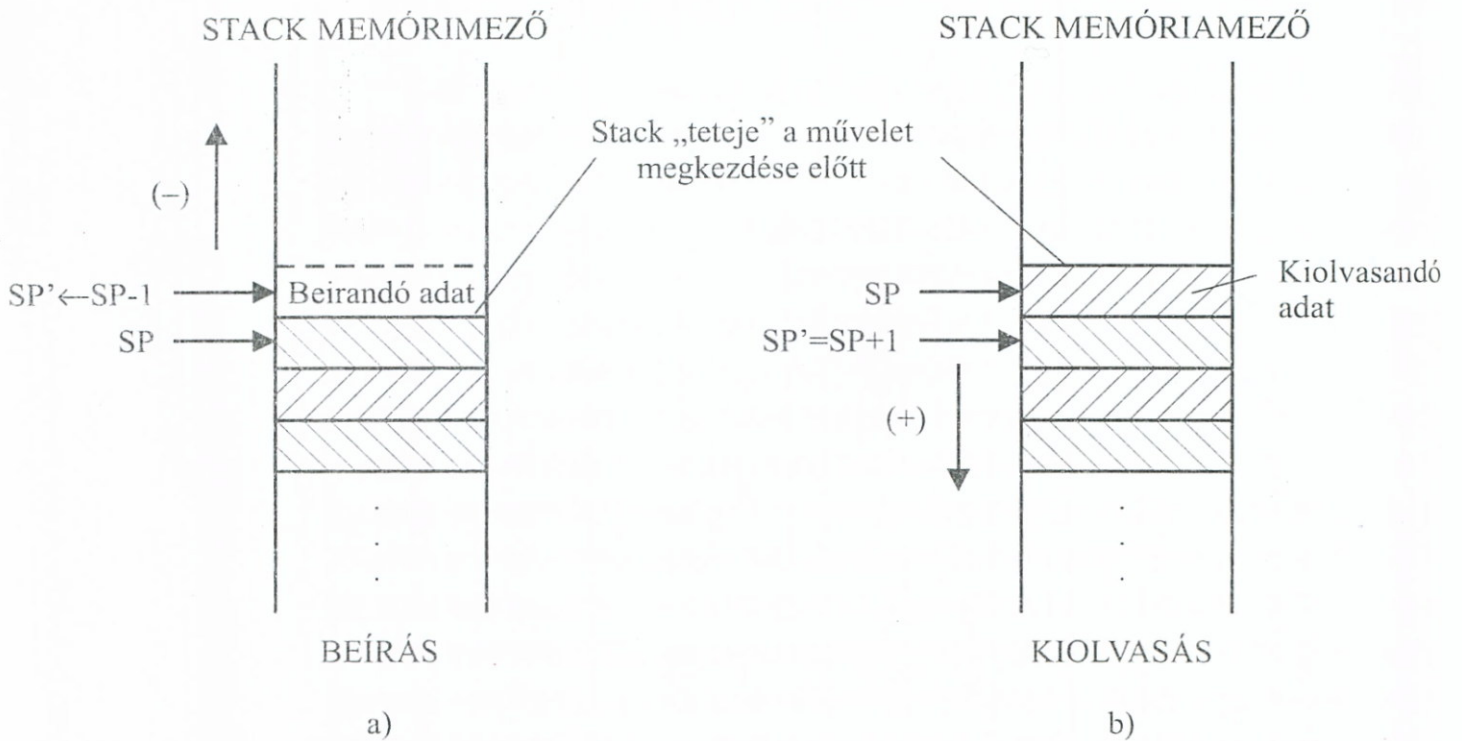
a.3.3. A *BUF Átmeneti tároló* (BUFFER) regiszter az egyes utasítások végrehajtási folyamatában kap szerepet, és jelen CPU példában átviteli hidat képez az ADAT- és CÍM-buszok között is.

a.3.4. A *PC Programszámláló* (Program Counter, egyes cégek leírásaiban IP–Instruction Pointer) valójában egy párhuzamosan preszetelhető és inkrementálható számláló, melynek mindenkor állása mindig annak a programmező-beli utasításnak memóriacímét tartalmazza, amelyet a következő lépésben meg kell majd kezdenünk. Ha a PC-t inkrementáljuk, akkor a programban a sorrendben következő utasítás kerül végrehajtásra. Ha a PC tartalmát párhuzamosan preszetelve „kívülről” átírjuk CIMPR-re, akkor a programban „ugrás” történik és a *preszeteléssel* (CIMPR-rel) megcímezett utasítás kerül végrehajtásra, így a program innen folytatódik tovább. Az átugrott programterület ilyenkor nem kerül felhasználásra. Az elmondottak a 11–3. ábrán követhetők.

a.3.5. Az *SP Stack Pointer* működési elve hasonló a PC-hez, annyiban, hogy szintén egy elkülönített memória-terület megcímezésére szolgál. Ezt az elkülönített memória-területet STACK MEMORIA-nak nevezzük. A stack memóriát különféle információk (címek, adatok) nem túl hosszú időtartamra történő tárolására használjuk. A tárolás meghatározott sorrendben történik, mintha egy függőleges „ve-



11-3. ábra A következő utasítás megcímzése



11-4. ábra STACK beírási és kiolvasási művelet

rem"-be (stack = verem) egymás fölé helyeznénk el a tárolandó adatokat. A 11-4. ábráról leolvasható a működési elv: *Beírás*kor az SP-t dekrementáljuk és erre az új című STACK-helyre (az eddigi adatok fölé) tároljuk az új információt. *Kiolvasás*kor először kiolvassuk a legfelső adatot, majd az SP-t inkrementálva állítjuk be az újonnan „legfelsővé” vált adat címét.

### 11.2.2. MEMORIA-egység

A memóriák, mint funkcionális egységek felépítésével és működésével a 10. fejezet 10.8. pontjában részletesen foglalkoztunk. A 11-1. ábrán látható szoftver- és hardver összetevőket egyaránt alkalmazó digitális berendezésnél egy *szó-szervezésű* memória szerepel, mely általános esetben mind RAM, mind ROM cellamezőket tartalmaz. A memória elméleti szókapacitása:



$$N = 2^n \text{ szó} \quad (11.1)$$

ahol:  $n$  – a CR címregiszter bitben számított hossza.

A memória számos, felhasználási szempontból elkülönített tárolóterületet foglal magában. Ezekre utal a 11-5. ábra, mely az eddigiekben megemlített memóriamezőket szemlélteti.

MEMORIA
⋮
ADAT mező
⋮
PROGRAM mező
⋮
STACK mező
⋮

**11-5. ábra** *Különféle feladatok céljaira elkülönített memória-területek*

A memóriának a teljes rendszerhez történő csatlakoztatása jól követhető a 11-1. ábrán. A kiszemelt memóriarekesz címe a CÍM Busz-on keresztül érkezik a CR CÍMREGISZTER-re, mely aktiválja a megcímzett helyet. Attól függően, hogy a VEZÉRLŐ-egységről *RD olvasási*, vagy *WR írási* utasítás érkezik a DR ADATREGISZTER (DATAREGISZTER) kifelé-, vagy befelé irányban kapcsolódik az ADAT BUSZ-ra.

A memória címregisztere csak akkor aktivizálódik, ha a VEZÉRLŐ egységről ME (MEMORY ENABLE) engedélyező jel érkezik. Ily módon a CÍM BUSZ memóriára, illetve IO EGYSÉG-ekre vonatkozó cím információit a vezérlőegység szét tudja választani.

### 11.2.3. IO – INPUT–OUTPUT egységek



Az ebbe a csoportba tartozó egységek többirányú feladatokat láthatnak el. Ezek közül kiemelhetők a következők:

- A CPU–MEM együttes „külvilággal” való kapcsolatainak szervezése. Például: külső jeladó áramkörök (pl. nyomógomb) és kijelzők (pl. egy lámpa) csatlakoztatása, S–P, P–S, A/D, D/A átalakítási feladatok, jel-átviteli időzítések, szabványos jel-átviteli rendszerekhez történő illesztés, aszinkron/szinkron működési feltételek biztosítása stb.
- A CPU működési adottságainak szélesítése. Például: a CPU alapkiépítésben korlátozott műveletkészletének kibővítése, átterés más számábrázolásban történő számolásra stb.
- A MEM alapegység kapacitásának növelése, *háttértárak* képzése. Ezekkel kapcsolatos további feladatot jelenthet a MEM és IO-egységek közvetlen kapcsolatának megszervezése (a CPU közreműködésének kihagyásával), mely gyorsabb információ-átvitelt tesz lehetővé. Az ily módon létrehozott *közvetlen memóriaelérést* DMA-nak (Direct Memory Access) is nevezik.
- INTERFÉSZ (INTERFACE) feladatok ellátása, melyek keretében a különféle paraméter-jellemzőkkel leíró PERIFÉRIÁLIS EGYSÉGEKnek a CPU jellemzőkhöz való illeszkedését biztosítják.

A 11–1. ábrán szemléltettük az IO-egységeknek a teljes rendszerhez történő csatlakoztatását. Az egyes  $IO_i$  egységek CS (CHIP SELECT) lábaira adott jelekkel aktivizálható valamely kiválasztott IO-egység. A kiválasztás a CÍM BUSZ-on keresztül történik egy CÍMDEKÓDER áramkör segítségével (mely pl. egy 10. fejezetben bevezetett DMX-hez hasonló felépítésű lehet). A megcímzett  $IO_i$  egységnek még rendszerint kell kapnia egy *RD-olvasás-engedélyezési*, vagy egy *WR-írás-engedélyezési* parancsot is, mely után a  $DR_i$  (DATA REGISZTER) az ADATBUSZ-szal megfelelő irányítottsággal kapcsolatba kerül. A rajzon példaként felrajzolt  $IO_0$ -ból *olvasni*, az  $IO_{n-1}$ -be pedig *írni* lehet, természetesen léteznek írható és olvasható típusú IO-egységek is, melyeknél mind RD, mind WR-vezérlőjel előfordul. A CÍMDEKÓDER még el van látva egy IOE-input/output engedélyezési kapuzójellel, mely biztosítja a memória címzési jelek és az IO címzési jelek szétválasztását a VEZÉRLŐ-egység révén.

## 11.3. A rendszer szoftver összetevői

Mint a bevezetőben említettük, a rendszer szoftver összetevői a PROGRAM-hoz kötődnek, mely a memória PROGRAMMEZŐ-ben van tárolva a működés folyamán. Előfordulhat, hogy a program állandóan a memóriában van, de olyan megoldás is alkalmazható, hogy csak felhasználás előtt olvassuk be valamely „háttér”-tárolóból, mivel ez esetben a memória ún. OPERATÍV MEMÓRIA részét gazdaságosabban ki lehet használni.



### 11.3.1. Program és utasítások

A PROGRAM-ot UTASÍTÁS-ok egymásutáni sorozatából építjük fel, egy-egy utasítás valamely *műveletet* végeztet el a berendezéssel a VEZÉRLŐ-egység közreműködésével. A műveleteket:



- adatátviteli,
- aritmetikai,
- logikai,
- összehasonlítási,
- ugrási,
- léptetési,
- vezérlési

típuscsoportokba sorolhatjuk. A művelet elvégzéséhez kialakítandó utasítás szerkezete (formátuma) többféle lehet. Például egy *két-operandusos* műveletnél elméletileg megadható a 11–6. ábra szerinti, ún. *négycímes utasítás formátum*, mely a programbeli adott művelettel kapcsolatos összes információt tartalmazza.

A 11–6. ábrabeli utasítás öt szektorból áll. Az első szektor MK (műveleti kód) vagy OC (Operation Code) *kódolt* formában megadja az elvégzendő művelet típusát, amit az OP1 és OP2 *operandusok* között el kell végezni. A második és harmadik szektor megadja azoknak a helyeknek a *címét* (CÍM 1, CÍM 2), ahol az operandusok megtalálhatók. Ezek a helyek lehetnek a *memóriában*, de lehetnek például va-

1.	2.	3.	4.	5.
MŰVELET TÍPUSA OC, MK	1. OPERANDUS CÍME CÍM 1	2. OPERANDUS CÍME CÍM 2	EREDMÉNY CÍME CÍM R	A KÖVETKEZŐ UTASÍTÁS CÍME A PROGRAMBAN CÍM KU

11–6. ábra *Négycímes utasítás-formátum*

lamilyik regiszterben (pl. AC-akkumulátor) előre „odakészítve” is. A negyedik szektor a művelet után kapott *eredmény* elhelyezési címét (CÍM R) tartalmazza (R-Result), mely utalhat ismét memóriára, de pl. lehet ismét egy regisztercím is. Az ötödik szektorbeli információ a memória *programmező* egy címe (CÍM KU), konkrétan az ezután megoldandó feladathoz tartozó utasításé. Ha ez a cím számszerint a most megoldott utasítás címe után következik, akkor *inkrementálásról*, ha egy távolabbi címről van szó, akkor *ugrásról* beszélünk, mint ezt már korábban a 11–3. ábrában bemutattuk.

A négycímes utasítás a gyakorlatban nehezen kezelhető lenne, ezért egyszerűbb utasítás-formátumokat alkalmaznak. Elterjedt (különösen mikroprocesszoros realizációknál) az ún. *egycímes* utasítás-formátum, melyet a 11–7. ábrán szemléltetünk. Mint látható, ez csak két szektort tartalmaz. A változatlan MK műveleti kód mellett a második szektorban egy *többcélú* mennyiséget az ún. DISPLACEMENT-et vezetünk be, melybe *különféle típusú* információk (pl. Operandus címe, maga az operandus, programmező-beli cím stb.) helyettesíthetők be. Ily módon egy lényegesen rövidebb és rendkívül rugalmasan alkalmazható utasítás-formátumhoz jutottunk. A dolognak – természetesen – „ára van”, mivel azt a feladatot, amit a négycímes utasítással egyetlen lépéssel meg tudunk oldani, az egycímes utasítás típusal csak több lépésben érhetjük el. Ennek ellenére a korszerű univerzális, digitális berendezésekben az egycímes utasítások rendkívül elterjedtek.

1.	2.
MŰVELET TÍPUSA MK	DISPLACEMENT  D

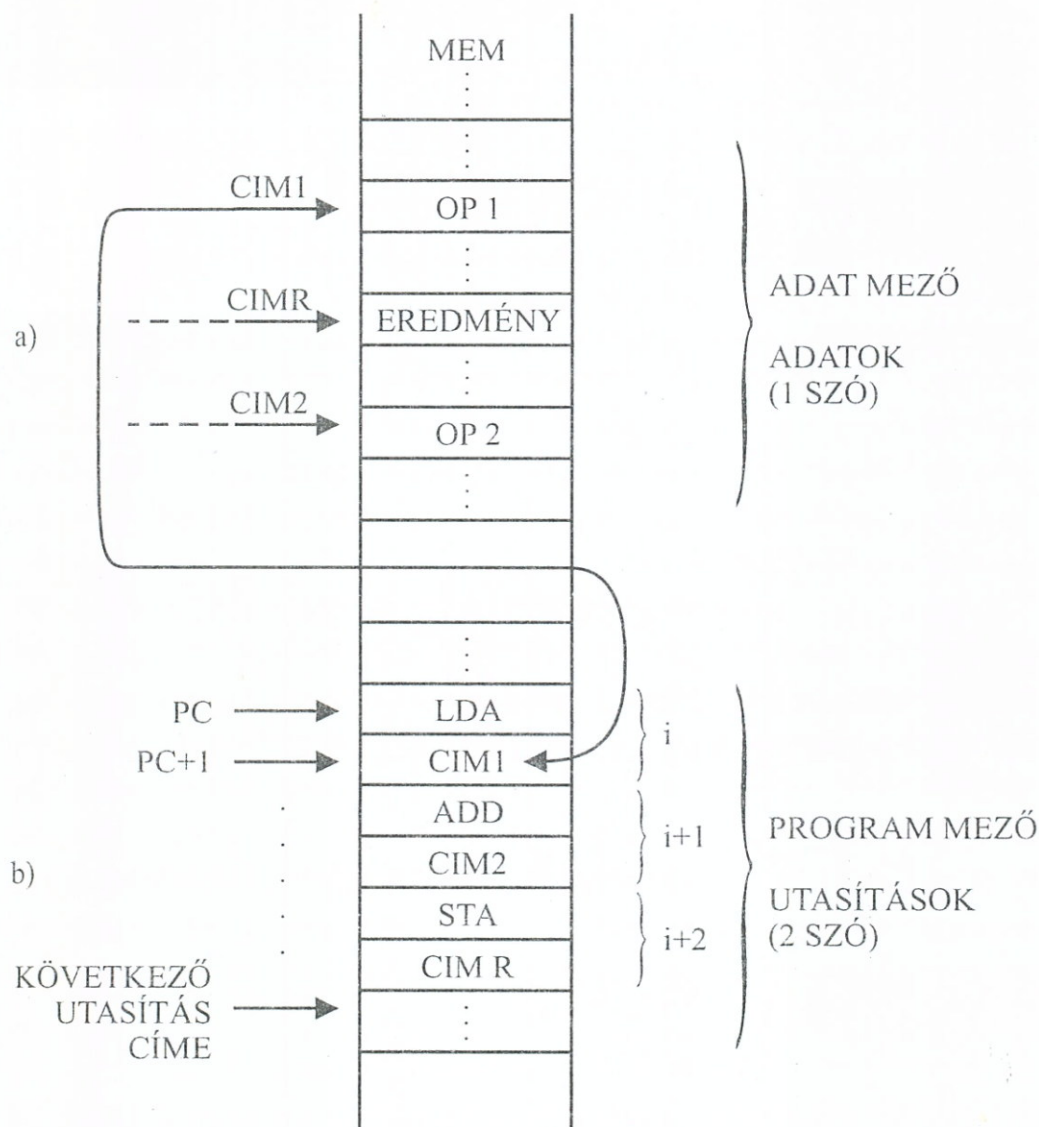
11–7. ábra Egycímes utasításformátum

### 11.3.2. Az utasításvégrehajtás hardver lépései és az utasításkészlet



A következőkben vizsgáljuk meg, hogy milyen lépések történnek a hardverben egy-egy szoftver utasítás végrehajtása során.

A konkrétabb tárgyalhatóság érdekében, tételezzük fel, hogy a 11–1. ábra univerzális, digitális berendezésében 16-bites szóhosszúságú: valamennyi regiszter, a memória, az IO-egységek, az ADAT BUSZ és a CÍM-BUSZ, továbbá 16-bites operandusokkal dolgozik



11-8. ábra Adatok és utasítások a memóriában

az ALU is. Az utasításformátum legyen *egycímes*, oly módon, hogy mind az MK rész, mind a D rész külön-külön 16-bites méretű. Miután a programot a MEM *program* mezőjében kell elhelyezni – és mint előbb rögzítettük – egy memória szó hossza 16-bites, ezért az MK+D = 32 bit hosszú utasítást csak a 11–8b. ábra szerinti módon tudjuk a MEM *programmezőben* „összegyűrve” tárolni.

Az adatok csak 16-bitesek, ezért ezek egy-egy memória szóban tárolhatók a MEM *adatmezőben*, a 11–8a. ábrarész szerinti módon.

Az utasítások műveleti kódjának megnevezésére célszerű bevezetni egy egyszerű, *ember által* is jól „követhető” szimbolikus nemzetközi nyelvet (ASSEMBLY-nyelv), mely az elvégzendő műveletek angol szavainak rövidített változataiból lett összeállítva.

Például a 11–8b. ábra *i*-jelű utasításánál az a feladat, hogy a CÍM 1-gyel megcímezett OP 1 adatot vigyük át az AC akkumulátorba. Itt az MK műveleti kód ASSEMBLY nyelven lehet például a következő:



## LDA (LoaD to Accumulator)

Természetesen a mi digitális berendezésünk ezt egy *bináris kód* formájában találja az MK helyén. Az

LDA  $\leftrightarrow$  bináris kód

összerendelést pedig eredetileg a berendezés *tervezésekor* állapították meg, amikor a gép utasításkészletét összeállították. Az utasítások műveleti kódjaira vonatkozó bináris táblázatot *gépi kódtáblázatnak* nevezik és az univerzális, digitális berendezés (például egy számítógép) műszaki specifikációjában megadják rendszerint HEXA formában. Például a 11–1. ábra példabeli gépére vonatkozóan (16 bit) az LDA kódja legyen:

$$\begin{array}{ccccccc} \text{LDA} : & 0010 & 1101 & 1110 & 1111 & \text{BIN} & = & 2DEF & \text{HEXA} \\ & 2 & D & E & F & & & & \end{array}$$

Az ASSEMBLY-program klasszikus módon történő papír–ceruza írásakor (az OP1 címének az ugyancsak HEXA-ban kifejezett, pl. CÍM 1 = 43B8<sub>HEXA</sub> feltételezésével), ahol a D-displacement helyére most a CÍM 1 kerül, így a kérdéses teljes utasítás a következőt takarja:

LDA CÍM 1 : 2DEF, 43B8<sub>HEXA</sub>

Ezt, a VEZÉRLŐ-egység logikai áramkörei egy HEXA/BINÁRIS átkódolás után, például komparátor (lásd: 10. fejezet 10.7. pont) közreműködésével már azonosítani tudják.

A program felhasználó által történő írása során természetesen az ASSEMBLY nyelvet használhatjuk, és az ASSEMBLY utasításokat manapság egy FORDÍTÓ-program konvertálja a gép számára is érthető bináris kódokká. Napjainkban néha már az ASSEMBLY-ben való programírás is túl részletezettnek bizonyulhat, ezért kidolgozták a magasabb szintű nyelvekben megírt programoknak ASSEMBLY, ill. közvetlen GÉPI KÓDBA történő konvertálását.

Térjünk vissza ezután a 11–8. ábrán szereplő feladathoz, ahol egy ASSEMBLY-ben megírt programrészletet találunk ( $i, i+1, i+2$  utasítások) a velük kapcsolatos memória ADATMEZŐ-részlettel. Az ASSEMBLY programot olvasva a következők derülnek ki:

- i*) lépés: LDA CÍM1 (LoaD to Accumulator, CÍM1).  
Vigyük át a CÍM1-gyel megcímezett adatot (OP1) az AC-akkumulátorba.

$i+1$ ) lépés: ADD CÍM2 (ADDITION, CÍM2).

*Adjuk hozzá* az AC pillanatnyi tartalmához (OP1) a CÍM2-vel megcímezett adatot (OP2), és az eredményt írjuk be AC-be.

$i+2$ ) lépés: STA CÍMR (STore Accumulator, CÍMR).

*Tároljuk* be a memória adatmezejében a CÍMR címre az akkumulátor pillanatnyi tartalmát.

A példát összehasonlítva egy olyan esettel, ahol *négycímes* utasítást használhattunk volna, megállapítható, hogy ott egyetlen utasítás magában foglalta volna mindazokat a tevékenységeket, melyeket itt három *egycímes* utasítással oldottunk meg. Látható az is, hogy az egycímes esetben esetenkénti *átmeneti* tárolásokra volt szükség az AC felhasználásával, és ennek során az AC-ben az eredménnyel néha korábbi adatokat is felülírtunk. A másik fontos megjegyezni való az, hogy a „négycímes” CÍM KU (*következő* utasítás címe) meghatározását itt egy külön HW-elem a PC végzi, oly módon, hogy a műveletek során újra és újra inkrementálódva mindig a *következő* utasítást címezi meg.

Vizsgáljuk meg ezután, hogy a 11–1. ábrán látható univerzális, digitális berendezés egyes HW-összetevői miként vesznek részt a különféle utasítások végrehajtásában.

a) *LDA CÍM1* utasítás – mint láttuk – az OP1 adatot viszi át az AC-be. Ezt a továbbiakban az alábbi módon jelöljük:

$$AC \leftarrow OP1$$

Ezt az adatátviteli műveletet a 11–1. ábra hardverje több elemi lépésben hajtja végre. Elsőként ki kell olvasni a programmezőből (11–8. ábra) az MK műveleti kódot (amiről most induláskor még nem tudjuk, hogy mi a jelentése), és az UR-en keresztül eljuttatva a VEZ-be, ott *komparálással* fel kell ismernünk, hogy MK = LDA. Ezután ki kell olvasni CÍM1-et, majd ezzel a CR címregiszteren keresztül a MEM-et megcímezve, onnan ki kell olvasni az OP1-et, mely végül a DR-en keresztül az AC-be kerülhet.

Az eddig elmondottakat egzaktul az ún. HARDVER LEÍRÓ NYELV-ek segítségével lehet követni, olyan részletességgel, hogy a GÉP működésének minden mozzanatát szemléltetni tudjuk. Hardver leíró nyelveket használnak például a számítógépek tervezési folyamatában szigorú matematikai algoritmizált feltételek között. Számunkra most ez nem szükséges, ezért csak néhány „műveletet” veze-

CIKLUS	ELEMI HARDVER MŰVELET	MAGYARÁZAT
1. (FETCH)	$CR \leftarrow PC$ $INR PC$ $DR \leftarrow (CR)$ $UR \leftarrow DR$ $VEZ \leftarrow UR$	– Az MK programmező-beli címét átírjuk CR-be – A PC-t INKREMENTÁLÁSSal előkészítjük a következő rekeszbeli CÍM1 kiolvasásához ( $INR PC = PC + 1$ ) – Kiolvassuk MK-t a programmezőből – Átvisszük MK-t az UR-be – Betöltjük MK-t a VEZ-be, ahol a vezérlő <i>komparálással</i> felismeri, hogy $MK = LDA$ , ezután a gép <i>már tudja</i> , hogy milyen típusú utasítást hajt végre. Az eddig lezajlottakat UTASÍTÁS-LEHÍVÁSI CIKLUSnak, más néven: FETCH-nek nevezzük. Minden a FETCH-csel kezdődik.
2.	$CR \leftarrow PC$ $INR PC$ $DR \leftarrow (CR)$ $BUF \leftarrow DR$ $CR \leftarrow BUF$	– CÍM1-et tartalmazó rekesz címét átírjuk CR-be – PC-t előkészítjük a soron következő utasítás MK-jának kiolvasásához – Kiolvassuk CÍM1-et a programmezőből, mivel CÍM1 mutatja meg OP1 helyét az adatmezőben, ezért: – DR-t a BUF-regiszter segítségével áttöltjük CR-be, így előkészítettük az OP1 kiolvasását
3.	$DR \leftarrow (CR)$ $AC \leftarrow DR$	– OP1 kiolvasása az adatmezőből – OP1 áttöltése AC-be és ezzel az $AC \leftarrow OP1$ művelet befejeződött

11–9. ábra Az LDA CÍM1 utasítás végrehajtásának részletezett mozzanatai a HW-egységeknél

CIKLUS	ELEMI HW MŰVELET	MAGYARÁZAT
1. (FETCH)	FETCH	– Mindig egyforma
2.	:	– A 2. ciklus is megegyezik, csak itt CÍM2 szerepel
3.	$DR \leftarrow (CR)$ $TR \leftarrow DR$ $AC \leftarrow AC + TR$	– OP2 kiolvasása az adatmezőből – OP2 áttöltése TR-be – $AC \leftarrow OP1 + OP2$ összeadás elvégzése, az összeg tárolva marad AC-ben

11–10. ábra Az ADD CÍM2 utasítás végrehajtásának részletezése

tünk be az alábbiakban, amikkel az információáramlást a berendezés egységei között szemléltetni tudjuk. Ezek a következők:

Átvitel:	$X$ -ből $Y$ -ba	: $Y \leftarrow X$
Kiolvasás:	$X$ címről a MEM-ből és a kiolvasott információ átvitele $Y$ -ba	: $Y \leftarrow (X)$
Beírás:	$Y$ -ról érkező információ beírása MEM-be az $X$ címre	: $(X) \leftarrow Y$

Alkalmazva a bevezetett műveleteket a LDA CÍM1 utasításnak a 11-1. ábra berendezésén történő végrehajtásának követésére a 11-9. ábrát adhatjuk meg, mely a részműveletek mellett párhuzamosan tartalmazza a magyarázatokat is.

b) *ADD CÍM2*. Itt a feladat:

$$AC \leftarrow OP1 + OP2$$

A megoldás során ügyelni kell arra, hogy az előző utasításban  $OP1$ -et már betöltöttük az  $AC$ -be, ezért az  $OP2$ -t csak a  $TR$ -be vihetjük át. A kapott eredményt az  $AC$ -ben fogjuk tárolni, így az eredetileg abban található  $OP1$  itt felülíródik. A részműveleteket a 11-10. ábra mutatja.

c) *STA CÍM R*. Itt a feladat:

$$\text{EREDMÉNY} \leftarrow AC,$$

azaz a  $OP1 + OP2$  összeg betárolása a MEM-beli EREDMÉNY-nek kijelölt helyre. A részletezett lépések a 11-11. ábrán láthatók

CIKLUS	ELEMI HW MŰVELET	MAGYARÁZAT
1. (FETCH)	FETCH	– Mindig egyforma
2.	:	– A 2. ciklus is megegyezik, csak itt CÍM R szerepel, mellyel az összeg betárolását készítjük elő
3.	$DR \leftarrow AC$ (CR) $\leftarrow DR$	– A korábbi $OP1 + OP2$ összeg áttöltése $DR$ -be – Az összeg beírása a MEM CÍM R-rel címzett EREDMÉNY rekeszébe

**11-11. ábra** Az *STA CÍM R* utasítás végrehajtásának részletezése

Vizsgáljunk meg ezután néhány további utasításvégrehajtást, néhány további fogalom bevezetésével kapcsolatosan.

d) *MOV B, A*. A feladat: regiszteradat-mozgatás (MOVE):

$$\text{BUF} \leftarrow \text{AC}$$

Ez az utasítás egy *regiszter-regiszter* átvitelre vonatkozik, és nincs kapcsolatban a MEM adatmezővel, sőt memóriaprogram-mezejében is csak egy memória szót foglal el, mivel valójában csak az MK-ból áll. Itt a részműveletek a 11–12. ábrán láthatók.

CIKLUS	ELEMI HW MŰVELET	MAGYARÁZAT
1. (FETCH)	FETCH	– Mindig egyforma
2.	$\text{BUF} \leftarrow \text{AC}$	– AC áttöltése BUF-ba

11–12. ábra *A MOV B, A utasítás végrehajtásának részletezése*

e) *MVI B, DATA*. A feladat: egy számszerű adat (DATA) betöltése (MOVE) a kijelölt regiszterbe (BUF):

$$\text{BUF} \leftarrow \text{DATA}$$

Az ilyen jellegű műveleteket IMMEDIATE műveletnek nevezzük, erre utal az MK-ban szereplő betű is (MoVe Immediate). Ez az utasítás kétszavas, mivel MK mellett, meg kell adni a kívánt ADAT-ot is. A műveletek a 11–13. ábrán láthatók.

CIKLUS	ELEMI HW MŰVELET	MAGYARÁZAT
1. (FETCH)	FETCH	– Mindig egyforma
2.	$\text{CR} \leftarrow \text{PC}$ INR PC $\text{DR} \leftarrow (\text{CR})$ $\text{BUF} \leftarrow \text{DR}$	– A DATA adatot tartalmazó rekesz címét átírjuk CR-be – PC-t előkészítjük a soron következő utasítás MK-jának kiolvasásához – Kiolvassuk az utasításban megadott DATA-t a programmezőből – DATA-t áttöltjük BUF-ba

11–13. ábra *Az MVI B, DATA utasítás végrehajtásának részletezése*

f) *JMP CÍM U* Itt a feladat: elugrás a programmező egy kijelölt című helyére (CÍM U) és a program ezután innen folytatódik. Ezzel

már foglalkoztunk a 11–3. ábrában, az ott szerepelt CÍM PR meg-  
egyezik a mostani CÍM U-val, tehát a teendő:

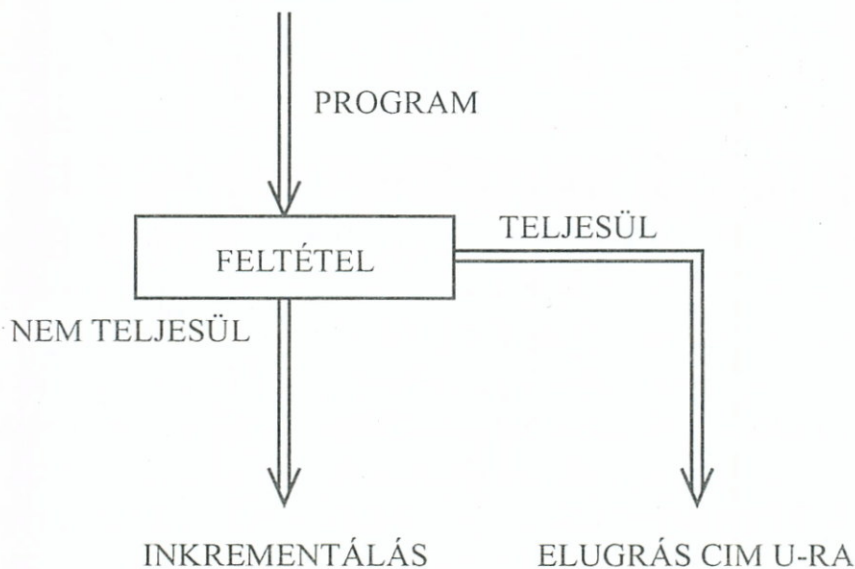
$$PC \leftarrow CÍM U$$

A részletezett műveletek a 11–14. ábrán láthatók. Ez az utasítás is  
kétszavas méretű.

CIKLUS	ELEMI HW MŰVELET	MAGYARÁZAT
1. (FETCH)	FETCH	– Mindig egyforma
2.	CR $\leftarrow$ PC INR PC DR $\leftarrow$ (CR) PC $\leftarrow$ DR	– A programozó-beli CÍM U-nak <i>címét</i> átírjuk CR-be – PC-t előkészítjük a soron következő utasítás MK-jának ki- olvasásához – Kiolvassuk az utasításbeli CÍM U-t a programmezőből – A PC $\leftarrow$ CÍM U átállítással végrehajtjuk az ugrást

11–14. ábra A JMP CÍM U utasítás végrehajtásának részletezése

g) JC CÍM U. Ez egy ún. *feltételes ugrás*, amelynél csak akkor va-  
lósulhat meg az ugrás, ha egy adott feltétel teljesül, ha nem teljesül,  
akkor a program inkrementálással halad tovább a 11–15. ábrának  
megfelelően:



11-15. ábra A feltételes ugrás elve

A FELTÉTEL jelei érkezhettek közvetve a külső HARDVER-egy-  
ségektől, de a feltételes ugró utasításokba rendszerint az FL FLAG  
REGISZTER (11–2. ábra) FLAG-BITjeit szokták beleépíteni. Jelen

példánkban a feltétel az átvitel CARRY–CY, melyet a JC műveleti kódban a C betű (Jump Carry) érzékeltet. Esetünkben tehát a feladat:

ha : CY = 1      UGRÁS CÍM U-ra  
 ha : CY = 0      NINCS UGRÁS, *inkrementálással* jöhet a következő utasítás végrehajtása

A részletek a 11–16. ábrán követhetők.

CIKLUS	ELEMI HW MŰVELET	MAGYARÁZAT
1. (FETCH)	FETCH	– Ugyanaz, mint a 11–9. ábra FETCH-ciklusa, csak itt a VEZ még megvizsgálja a CY = ? értéket is
2a.	CY = 0 esetén	– Mivel nincs ugrás, a <i>következő utasítás</i> kezdődik inkrementálás révén
2b.	CY = 1 esetén	– Ugyanaz történik, mint a JMP <i>feltétel nélküli</i> ugrás 2. ciklusában (11–14. ábra)

**11–16. ábra** A JC CÍM U utasítás végrehajtásának részletei

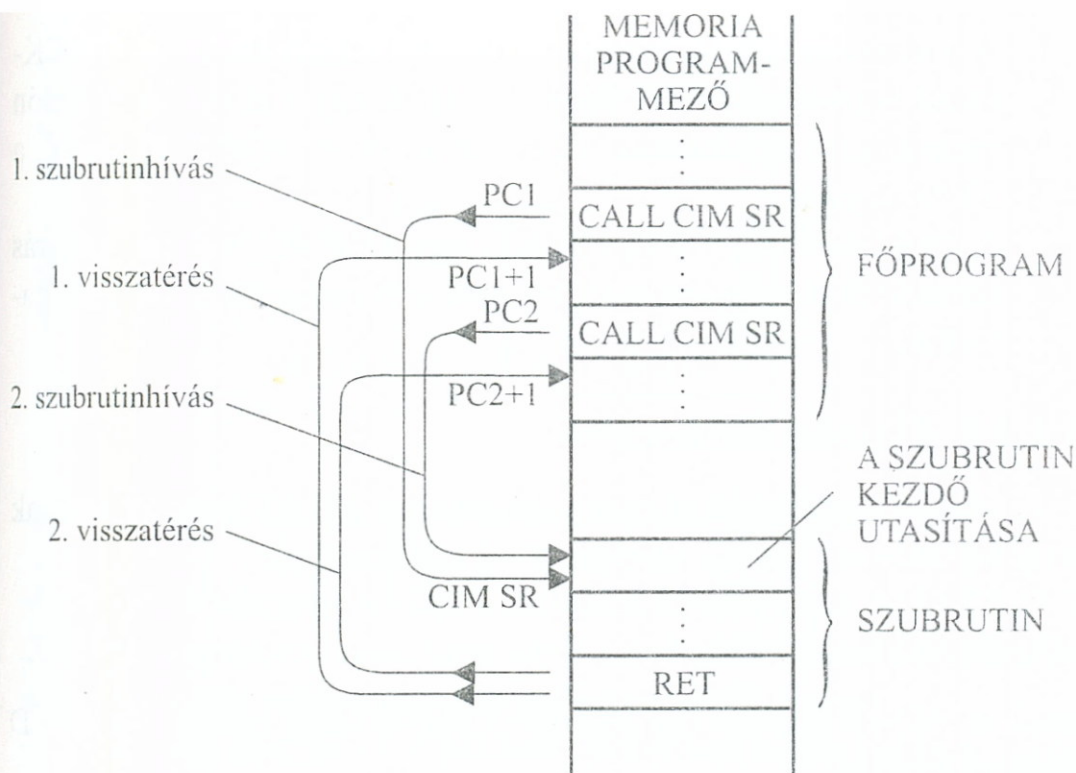
Az eddig bemutatott példák jól szemléltetik a szoftver- és hardver találkozását és együttműködését az univerzális, digitális berendezéseknél. Egy ilyen berendezés – a tárgyaltakon túlmenően – általában még igen nagyszámú és sokféle utasítással rendelkezik, melyek lefedik a 11.3.1. pontban felsorolt műveletek feladatkörét. Valamely univerzális, digitális berendezés utasításainak összességét UTASÍTÁSKÉSZLET-nek nevezzük. Vizsgáljunk meg néhány további utasítást.

### 11.3.2.1. A szubrutin és szubrutinhívás



Az univerzális, digitális berendezések programjaiban gyakran adódnak olyan azonos *rutin* feladatok, melyek többször is ismétlődnek. Például a gyökvonási rutin feladatokat (melyek lépései minden alkalommal *ugyanazok*, és csupán a behelyettesítési értékeikben térnek el egymástól) előre meg lehet írni, a memória programmezejében tároltan el lehet helyezni és mikor szükségessé válnak, onnan előhívhatók. Az ilyen rutin feladatokat megoldó programokat „szubrutin”-nak nevezik. A szubrutin használatára utal a 11–17. ábra.

Az ábrát tanulmányozva, első gondolatként felmerülhet, hogy a főprogramból egy JMP CÍM SR utasítással *ugorjunk* ki a szubrutinhoz. Ez a módszer a szubrutin lefutásának befejeződésekor szükségessé váló visszaugráskor jelentene problémát. Egyrészt amiatt, hogy a



11-17. ábra Többszörös szubrutinhívás

JMP kiugrási művelet alkalmával ( $PC \leftarrow \text{CÍM SR}$  miatt) szükségszerűen felülíródna az elugrás helye, ezáltal a gép „elfelejtené” a  $PC + 1$  visszatérési címet. Másrészt *ismételt* szubrutinhíváskor a szubrutin végén levő visszaugrási utasításnál, mindig más- és más visszatérési címet kellene behelyettesíteni. Fentiek kiküszöbölésére két újabb utasítás bevezetése vált szükségessé, melyek formátumai:

CALL CÍM SR      (CALL – hívás)  
RET                (RETURN – visszatérés)

A CALL utasítás két lépésből áll:

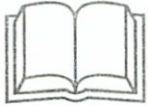
1. A visszatérési hely címének ( $PC_i + 1$ ) *tárolása* rendszerint a STACK-memória mezőben. Ezt a lépést az utasításkészletekben önálló STACK *beírási* műveletként is értelmezik, ilyenkor a neve PUSH-művelet. („Belenyomás” a STACK-be.) E művelet részletes lépéseit már a 14-4a. ábrán végiggondoltuk. Itt a beírandó adat a  $PC_i + 1$  cím értéke.
2. Elugrás a szubrutin kezdőcímére, egy automatikusan végrehajtott JMP CÍM SR-rel, ahonnan a szubrutin végrehajtása megindul.

A szubrutin futásának befejeződésekor elérjük a szubrutin utolsó utasításaként található RET-utasítást, mely szintén két lépésből áll:



1. A visszatérési hely címének ( $PC_i + 1$ ) kiolvasása a STACK-mező legfelső helyéről (lásd: 14–4b. ábra). Ezt is szokás külön utasításként értelmezni, ilyenkor a neve: POP („Kilövés” a STACK-ból).
2. A kiolvasott  $PC_i + 1$  birtokában egy  $JMP PC_i + 1$  visszaugrás automatikus végrehajtása, miáltal a főprogram futása folytatható.

### 11.3.2.2. Címzési módozatok



Az eddigi utasításokkal kapcsolatosan az ADAT megtalálásának (megcímezésének) kétféle módozatával találkoztunk:

a) *Direkt (közvetlen) címzés:*

Ennél az ADAT címe (CÍM-effektív) közvetlenül megtalálható a D displacementben:

$$C_{\text{eff}} = D \quad (11.2)$$

b) *IMMEDIATE eset:*

Ilyennel az e) alpontbeli MVI B, DATA típusú utasításnál találkoztunk, ahol maga az adat (DATA) benne volt a D displacementben, így valójában nem is kellett címezni:

$$\text{ADAT} = D \quad (11.3)$$

Fentiekén túlmenően az ADAT megcímezésének további módozatai is elképzelhetők. Ezek közül két további esetet tárgyalunk az alábbiakban.

c) *RELATÍV ÉS INDEXELT címzés*

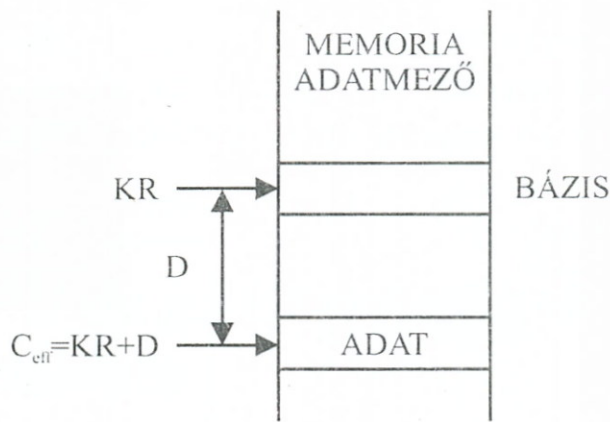
Ennél az esetnél a 11–1. példabeli berendezés KR kiegészítő regiszterét hívhatjuk segítségül és a *relatív címet* az alábbi formulával számítjuk ki:

$$C_{\text{eff}} = D + KR \quad (11.4)$$

A relatív címzés memóriabeli viszonyait szemlélteti a 11–18. ábra, melynél látható, hogy a KR-rel megadott „BÁZIS”-hoz viszonyítottan a D displacementtel tudunk egy  $KR + D$  címet meghatározni.

Ha a KR-regiszter inkrementálhatóságát, ill. dekrementálhatóságát is hasznosítjuk, akkor az ún. *indexelt címzés*hez jutunk, itt írható:

$$C_{\text{eff}} = D + KR \pm 1 \quad (11.5)$$



11-18. ábra Relatív címzés egy esete

Az *indexelt* címzés például előnyösen használható ADATTÁBLÁZATOK soronkénti megcímzésénél, ahol a következő sor megcímzéséhez csak egy inkrementálási műveletet kell végezni.

A *relatív* címzés elve például előnyösen használható a STACK MEMÓRIA olyan rekeszeinek megcímzésénél, melyek valahol a verem „mélyén” vannak. Ilyenkor a címzés relatív bázisa a STACK POINTER, és KR megadja, hogy a tetőhöz képest milyen mélyen van a címzett rekesz:

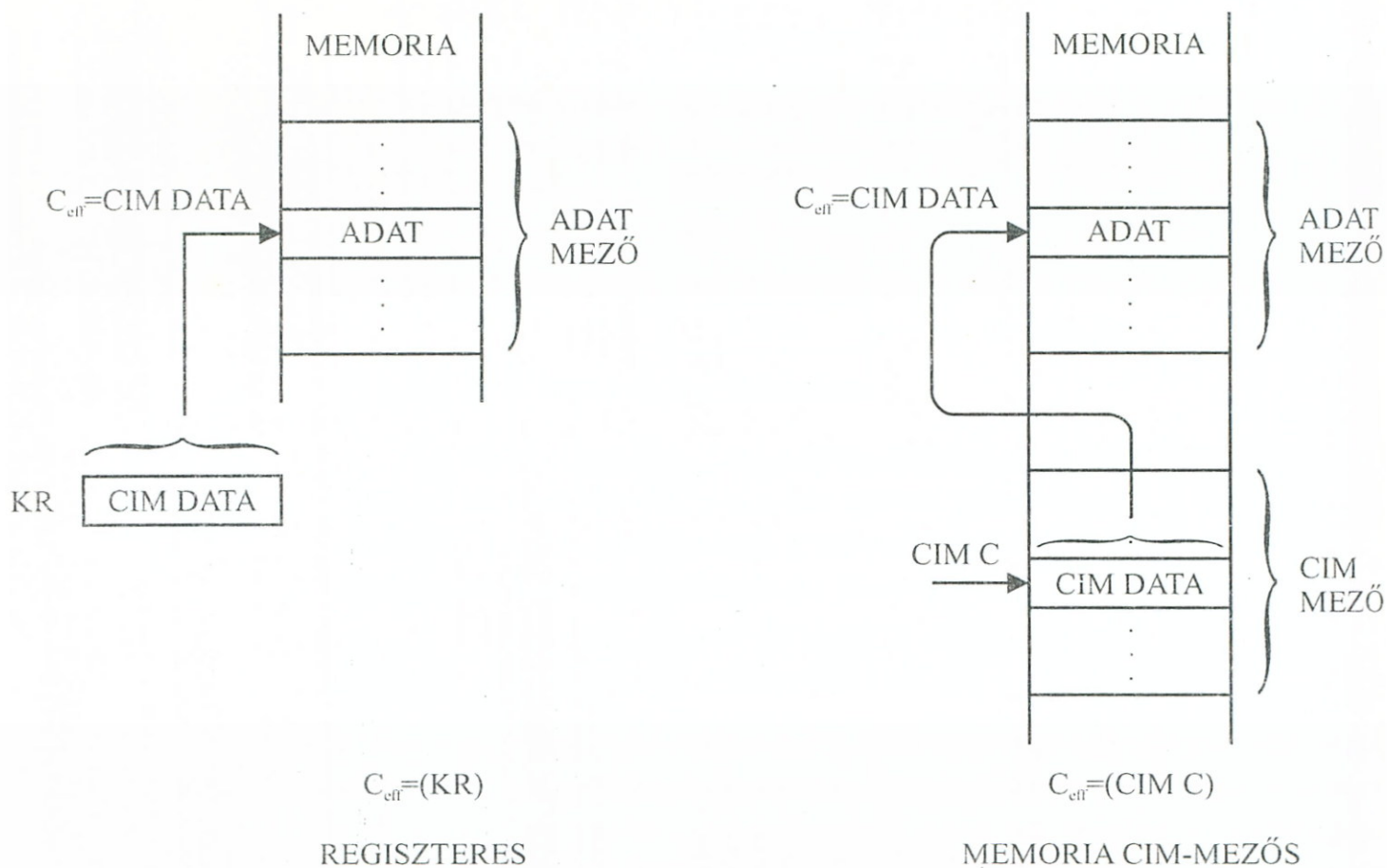
$$C_{\text{eff}} = SP + KR$$

d) *Indirekt (közvetett) címzés:*

A közvetett címzés azzal a történettel érzékeltethető, melyben valaki úgy adta meg a lakáscímét, hogy megnevezte azt az odvas fát, melynek odvában egy papírra a kérdéses lakáscím fel van írva. Az odvas fa esetünkben lehet például a KR kiegészítő-regiszter, de lehet a memória egy erre a célra elkülönített CÍM-MEZŐ-je, melynek CÍM C helyén levő rekeszében a CÍM DATA adatcím megtalálható. Indirekt címzésekre mutat példákat a 11-19. ábra.

Természetesen a használat előtt az „odvas fádba” (KR, CÍM-MEZŐ) előzetesen be kell írni a tényleges CÍM DATA értékeket. A közvetett címzéssel az utasításkészlet választéka bővíthető. Például a már bemutatott: LDA CÍM 1 ( $AC \leftarrow MEM$ ) utasítás helyett választhatjuk a következőket (KR-t K-val jelölve):

```
MVI  K, CÍM DATA      (KR ← CÍM DATA)
  ⋮
MOV  A, M              (AC ← (KR)),
```



11-19. ábra Indirekt címzési változatok

ahol: az első utasítás ugyanolyan, mint a 11.3.2. pontban bemutatott IMMEDIATE e.) utasítás. A második utasítás részletezett végrehajtását pedig a 11-20. ábra mutatja:

CIKLUS	ELEMI HW MŰVELET	MAGYARÁZAT
1. (FETCH)	FETCH	– Megegyezik a korábbiakkal és itt a VEZ még azt is felismeri, hogy INDIREKT címzés van és CÍM DATA a KR-ben van tárolva
2.	BUF ← KR CR ← BUF DR ← (CR) AC ← DR	– CÍM DATA kiolvasása KR-ből és BUF-on keresztül áttöltése a CR-be – ADAT kiolvasása a MEM-ből – ADAT átvitele AC-be, és ezzel a művelet befejeződött

11-20. ábra Az INDIREKT címzésű MOV A, M utasítás részletezése

Mivel itt két utasítást használtunk az LDA helyett, látszólag ez a változat előnytelenebb. Viszont olyan esetekben, amikor a CÍM DATA helyről több ízben kell az adatot kiolvasni, az utóbbi változat lesz

gazdaságosabb, azáltal, hogy a MOV A, M csak egysoros utasítás. Ha még figyelembe vesszük azt is, hogy KR inkrementálható is, akkor egy nagyobb memória adatmező kiolvasásakor ez a gazdaságosság még növekszik.

## 11.4. A CPU és az IO-egységek kapcsolata



### 11.4.1. IO-egységek címzése

A CPU és az IO-egységek kapcsolata kétféle *címzési* elven is szervezhető.

- Az első változatnál az IO-egységek címzését teljesen azonos módon értelmezzük, mint a MEM-rekeszek címzését, ilyenkor az IO-egységek címei „alalmaz”-át képezik a memória teljes (N) címkapacitásának. Az ilyen címzést MEMORY MAPPED (memóriában ágyazott) címzésnek nevezik.
- Elképzelhető egy olyan változat is, melynél az IO-egységek címmezeje függetlenített a memóriáétól. Ez esetben különösen fontossá válnak a 11–1. ábrán látható univerzális, digitális berendezés VEZ-egységének ME, IOE csatlakozásai, melyek révén ez a szétválasztás megvalósíthatóvá válik.

A CPU és IO-egységek adatforgalmában általában szerepel egy kitüntetett CPU-regiszter, mely az IO-egységek  $DR_i$  adatbuszaival tartja a kapcsolatot. Ez gyakran egy erre a feladatra elkülönített *IO-regiszter*, de – különösen kisebb gépeknél – gyakran ezt a feladatot is az univerzális AC akkumulátor-regiszter végzi el.

Tételezzük fel, hogy példaként bevezetett 11–1. ábrabeli univerzális, digitális berendezésünknel is ez a helyzet, és ekkor bevezethetünk további két (rendkívül egyszerű felépítésű) IO-utasítást:

*IN CÍM IO<sub>i</sub>*: Ennek az utasításnak feladata az IO címtartományba eső: CÍM IO<sub>i</sub> című IO<sub>i</sub> egység  $DR_i$  adatregiszterében lévő információnak az AC akkumulátor-regiszterbe történő beolvasása:

$$AC \leftarrow DR_i$$

Az IO művelet okozta – korábbiakhoz viszonyított – eltéréseket a részletezett, 11–21. ábrabeli utasítás-végrehajtáson tanulmányozhatjuk. Az utasítás két szót foglal el a programmezőben.

CIKLUS	ELEMI HW MŰVELET	MAGYARÁZAT
1. (FETCH)	FETCH	– Ugyanaz, mint a 11–9. ábrabeli FETCH, csak itt a VEZ-egység a RD és IOE vezérlő kimeneteit aktivizálja a VEZÉRLŐ BUSZ-on. A RD (olvasás) az AC (befeelé: IN) irányába kapcsolja az ADATBUSZT, IO pedig a CÍMDEKÓDERT aktivizálja.
2.	$CR \leftarrow PC$ $INR PC$  $DR \leftarrow (CR)$  $BUF \leftarrow DR$ $CÍMDEK \leftarrow BUF$  $AC \leftarrow DR_i$	– CÍM $IO_i$ -t tartalmazó rekesz címét átírjuk CR-be – PC-t előkészítjük a soron következő utasítás MK-jának kiolvasásához – Kiolvassuk CÍM $IO_i$ -t a programmezóból, és mivel ez mutatja meg az IO egységek közül az aktualizálandót, ezért: – DR-t a BUF-regiszter segítségével áttöltjük a CÍMDEKÓDER-be, így előkészítettük a $DR_i$ adatregiszter tartalmának kiolvasását – $DR_i$ tartalmának áttöltése AC-be. Ezzel a $AC \leftarrow DR_i$ művelet befejeződött

11–21. ábra Az IN CÍM  $IO_i$  utasítás végrehajtásának részletezése

j) *OUT CÍM  $IO_i$* . Ez az utasítás az előzőekben bemutatottnak fordítottja. Feladata:

$$DR_i \leftarrow AC$$

művelet végrehajtása. A megoldási részletek a RD–WR és az adatátviteli irány felcserélésével teljesen hasonlóak a 11–21. ábrán bemutatottakhoz.

### 11.4.2. Az INTERRUPT. Program-megszakítás



Az univerzális, digitális berendezések folyamatos üzemelésekor előadódhatnak váratlan időpontban bekövetkező események (pl. egy STOP vagy ALARM gomb megnyomása), melyek miatt a program futását le kell állítanunk, a váratlan esemény ügyében intézkedni kell, majd ennek befejezését követően a programot újra-indítva, folytathatjuk a megszakított üzemelést. Az ilyen eseménysorozatot nevezük MEGSZAKÍTÁS-nak, vagy INTERRUPT-nak, rövidebben: IT-nek.

A fent elmondottakkal kapcsolatosan némi hasonlóságot fedezhetünk fel a szubrutinnal foglalkozó 11.3.2.1. ponttal. Ott is megállítottuk

a főprogram futását, elugrottunk (egy részfeladat megoldása érdekében) a szubrutinra, majd ennek befejezésekor visszatérve a főprogramba, folytatjuk az előzőleg abbahagyott tevékenységet.

A szubrutinhívás és -megszakítás között mégis lényeges különbség van. A szubrutinhívást előre beterveztük, a kívánt helyen előre elhelyeztünk egy CALL utasítást, amely tartalmazta a szubrutin ugráscímét is. A megszakítás bekövetkezése váratlan történés, és ha az ezzel kapcsolatos eseményeket egy szubrutin keretében kívánnánk megoldani, akkor nem állna rendelkezésre a megszakítási rutin kezdőcíme sem.

Mint már sejthető, fentiek érdekében a 11–1. ábrabeli példaberendezésünk képességeit ki kell terjesztenünk, hogy az interrupt feladatok ellátására is képes legyen, továbbá az interrupt rendszerbe illeszkedő IO-egységeket is alkalmassá kell tennünk arra, hogy az új feltételeknek megfeleljenek.

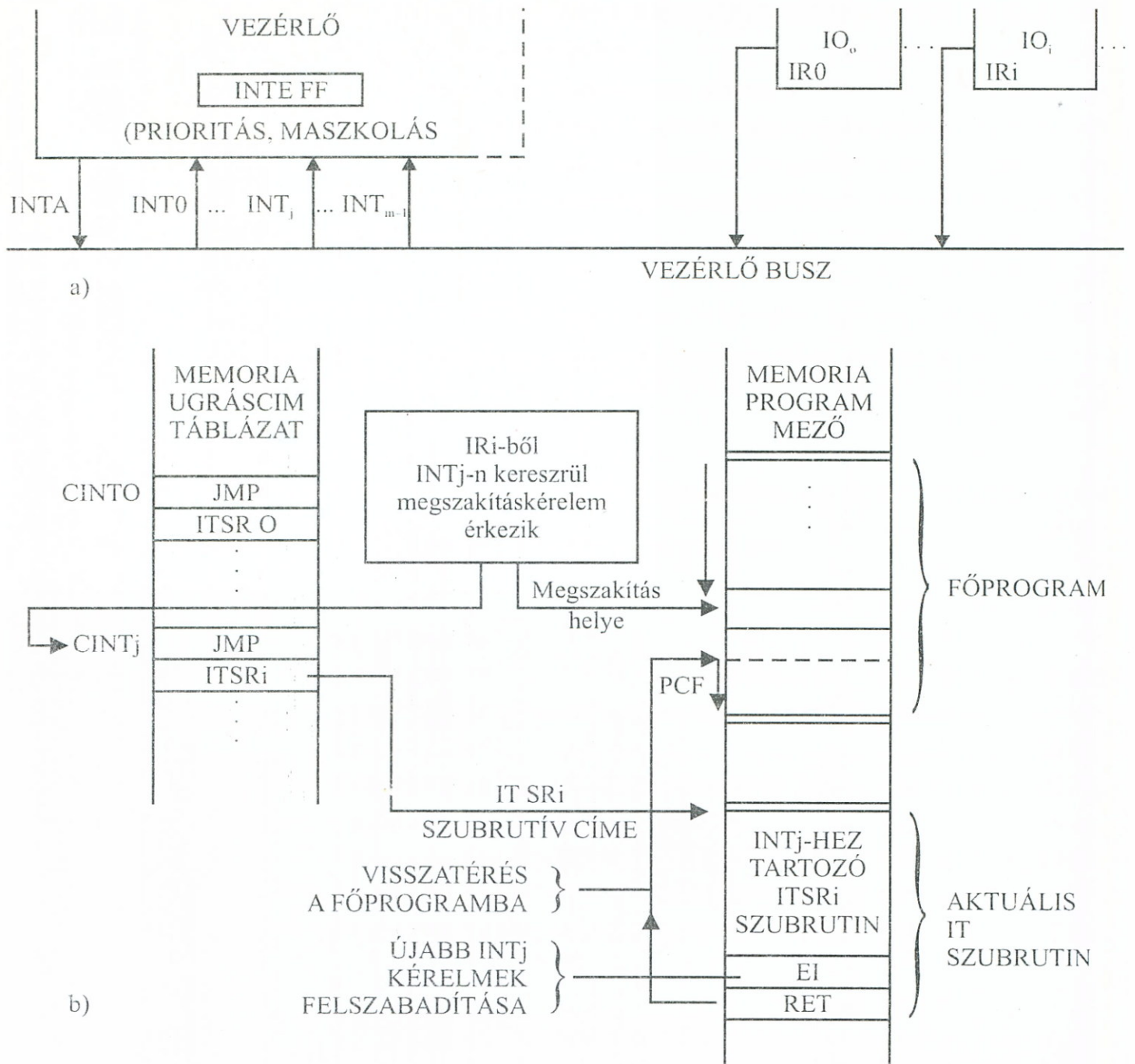
A 11–22. ábrán felrajzoltuk azokat a részleteket, melyekkel az eredeti 11–1. ábrát ki kell bővítenünk. Mint a 11–22a. ábrából látható, a VEZ vezérlőegység  $INT_0 \dots INT_j \dots INT_{m-1}$  (Interrupt Request) interrupt „kérelmező” bemenetekkel együtt, melyek a VEZÉRLŐ BUSZ-on keresztül az IO egységeken kialakított  $IR_0 \dots IR_i \dots IR_{n-1}$  interrupt kezdeményező csatlakozásokkal vannak kapcsolatban.

A megszakítási folyamat érdekében a MEM egységben elkülönítettünk egy UGRÁSCÍM TÁBLÁZAT-ot (lásd: 11-22b. ábra), melyben minden egyes  $INT_j$  vezérlő bemenethez hozzárendelünk  $CINT_j$  jelű címmel néhány írható–olvasható táblázati memóriarekeszt. E rekeszek helye a memóriában fixen rögzített, és ha például az  $INT_j$  INTERRUPT KÉRŐ BEMENETRE „váratlanul” hardver jel érkezik, akkor a gép automatikusan:

$$PC \leftarrow CINT_j$$

típusú szoftver ugrást hajt végre, miközben (legtöbbször) elmenti a STACK-be a PC korábbi értékét – a későbbi visszatérés érdekében.

Az ugráscím táblázat üres rovataiba – mintha a programmező egy része lenne – általában egy ugró-utasítás keretében beírják annak a PROGRAMMEZŐ-beli helynek a címét ( $JMP\ ITR_i$ ), mely  $ITSR_i$  címen a kérelmező  $IO_i$  egységéhez tartozó INTERRUPT SZUBRUTIN kezdődik. Az UGRÁSCÍM TÁBLÁZAT-ból tehát, azonnal továbbgoroghatunk a programmező most már tetszés szerinti helyére megírható INTERRUPT SZUBRUTIN-ra. Mint az elmondottakból látható, a berendezés meglehetősen bonyolult módon tudja csak elő-



11-22. ábra Az INTERRUPT folyamat szervezése univerzális digitális berendezésnél

állítani az  $INT_j$  hardver-bemenet áramkörbeli pozíciója alapján a  $ITSR_i$  hardver szubrutin szoftver címét.

A VEZ vezérlőegység  $INT_j$  interrupt-kérő bemeneteinek hardver környezetében egy INTE FF (INTERRUPT ENABLE FLIP-FLOP) helyezkedik el. Ez alapállásban „0” logikai állapotban van, és ilyenkor az  $INT_j$  bemenetek bármelyikére érkező interrupt kérelmet a VEZ egység elfogadja. Meg kell jegyezni, hogy az  $INT_j$  bemenetek között egymáshoz képest PRIORITÁSI SORREND is előfordulhat, így, ha egyidejűleg több kérelem érkezik, ezek közül a magasabb prioritású lesz a nyerő. Ugyancsak megjegyzendő, hogy az egyes  $INT_j$  bemene-

teket *előválasztással* le is lehet tiltani, mely műveletet MASZKOLÁS-nak nevezzük. Így például egy alkalmilag LEMASZKOLT (letiltott) magasabb prioritású bemenet már nem lesz „nyerő” a nem letiltott alacsonyabb prioritású bemenettel szemben.

Visszatérve az INTE flip-flopra, ez – mint említettük –  $\text{INTE} = 0$  logikai állapotban van alapállásban, amikor IT folyamat nem zajlik. Egy  $\text{INT}_j$  kérelem beérkezése és elfogadása esetén az  $\text{INTE} = 1$  logikai állapot következik be, melynek révén az elfogadott  $\text{INT}_j$  bemenet kivételével a többi, hardver úton inhibitálódik. Ez a letiltás mindaddig fennáll, amíg az INTE flip-flopot vissza nem billentjük. Az INTE FF *szoftver úton történő billentésére* két utasítást szoktak bevezetni:

engedélyezés: EI (ENABLE INTERRUPT) ( $\text{INTE} \leftarrow \emptyset$ )  
 letiltás: DI (DISABLE INTERRUPT) ( $\text{INTE} \leftarrow 1$ ).

A CPU-val együtt-dolgozó rendszer számára fontos információ, hogy a megszakítási kérelem elfogadásra került-e vagy sem. Emiatt a VEZ-egység az interrupt kérelem elfogadását követően egy INTA–INTERRUPT ACKNOWLEDGE (INTERRUPT NYUGTÁZVA) jelet küld vissza a digitális rendszerbe.

Az elmondottak alapján pontokba foglalhatjuk és a 11–22. ábrán követhetjük egy INPUT–OUTPUT-egység interrupt kérésének és végrehajtásának vegyes HW–SW folyamatát:

1. FŐPROGRAM fut, és egy „váratlan” pillanatban:
2.  $\text{IR}_i$  – HW interrupt kérés érkezik az  $\text{IO}_i$  egységtől
3. Ez a VEZÉRLŐ BUSZ-on keresztül az  $\text{INT}_j$  interrupt kérési VEZ-bemenetre továbbítódik
4. A VEZ vezérlő egység *maszkolási és prioritási szempontból* megvizsgálja a kérelmet, továbbá megvizsgálja, hogy:  $\text{INTE} = 0$  állapot fennáll-e. Ha igen, akkor elfogadja a kérelmet:  $\text{INTE} = 1$  állapotot állít be, és INTA jelet küld a VEZÉRLŐ BUSZ-on keresztül a rendszer felé.
5. A FŐPROGRAM futása megszakad és a pillanatnyi PCF érték (a szubrutinhívásnál látottakhoz hasonlóan) a STACK-ba elmentődik.
6. Elugrás az UGRÁSCÍM TÁBLÁZAT-ba ( $\text{PC} \leftarrow \text{CINT}_j$ ), majd innen tovább az  $\text{IO}_i$ -hez már korábban megírt INTERRUPT SZUBRUTIN  $\text{ITSR}_i$  kezdőcímére.
7. Megkezdődik az INTERRUPT SZUBRUTIN végrehajtása.
8. Az IT SZUBRUTIN érdemi részének végrehajtása után, vissza kell állítani az  $\text{INTE} = 0$  alapállapotot, ezért a rutinból történő



visszatérés előtt ki kell adni az EI SW törlő (INTE ← 0) utasítást.

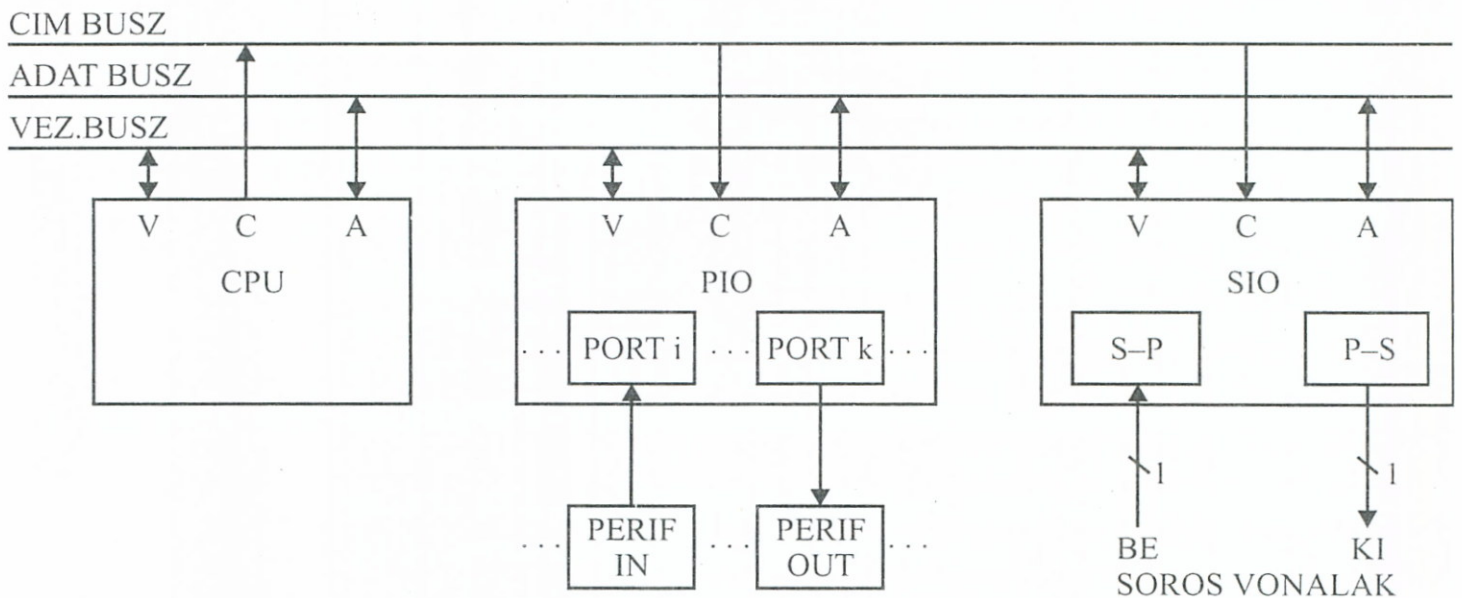
9. RET utasítással az IT szubrutin befejeződik, és a STACK-ből kiolvassuk a főprogram megszakításkor elmentett PCF értékét, majd:
10. A főprogram folytatja megszakított futását.

### 11.4.3. IO INTERFÉSZ feladatok



Az IO-egységek többsége a „külső” feladatokat megoldó (PERIFÉRIÁLIS) egységek felé INTERFÉSZ feladatokat lát el, melyek során a perifériák működési paramétereit *illeszti* a CPU paramétereire, továbbá az *adatátvitel* különféle változataihoz nyújt támogatást. Az adatátvitel *párhuzamos* vagy *soros* változatokban szervezhető és az INTERFÉSZ feladatok már bizonyos mértékben alkalmazkodnak az adatátvitel *szabványosított* módozataihoz és berendezéseihez (pl. MODEM-ek) is.

A párhuzamos IO feladatokat megoldó berendezéseket PIO egységeknek, míg a Soros IO feladatokat megoldókat SIO egységeknek fogjuk a továbbiakban nevezni. A CPU–IO rendszerben elfoglalt helyzetüket a 11–23. ábrán vázoltuk fel.



11-23. ábra IO INTERFÉSZ-ek elhelyezkedése a rendszerben

#### 11.4.3.1. PIO egységek

Egy PIO egység blokkvázlatát a 11–24. ábrán tanulmányozhatjuk. Mint látható, egy PIO-ra gyakran több PERIFÉRIA is rákapcsolható, ilyenkor a PIO-ban perifériánként egy-egy ún. PORT áramköri egy-

séget építenek be. A PIO tartalmaz egy PIOVEZ vezérlőegységet, mely az egyes  $PORT_i$ -ket irányítja.

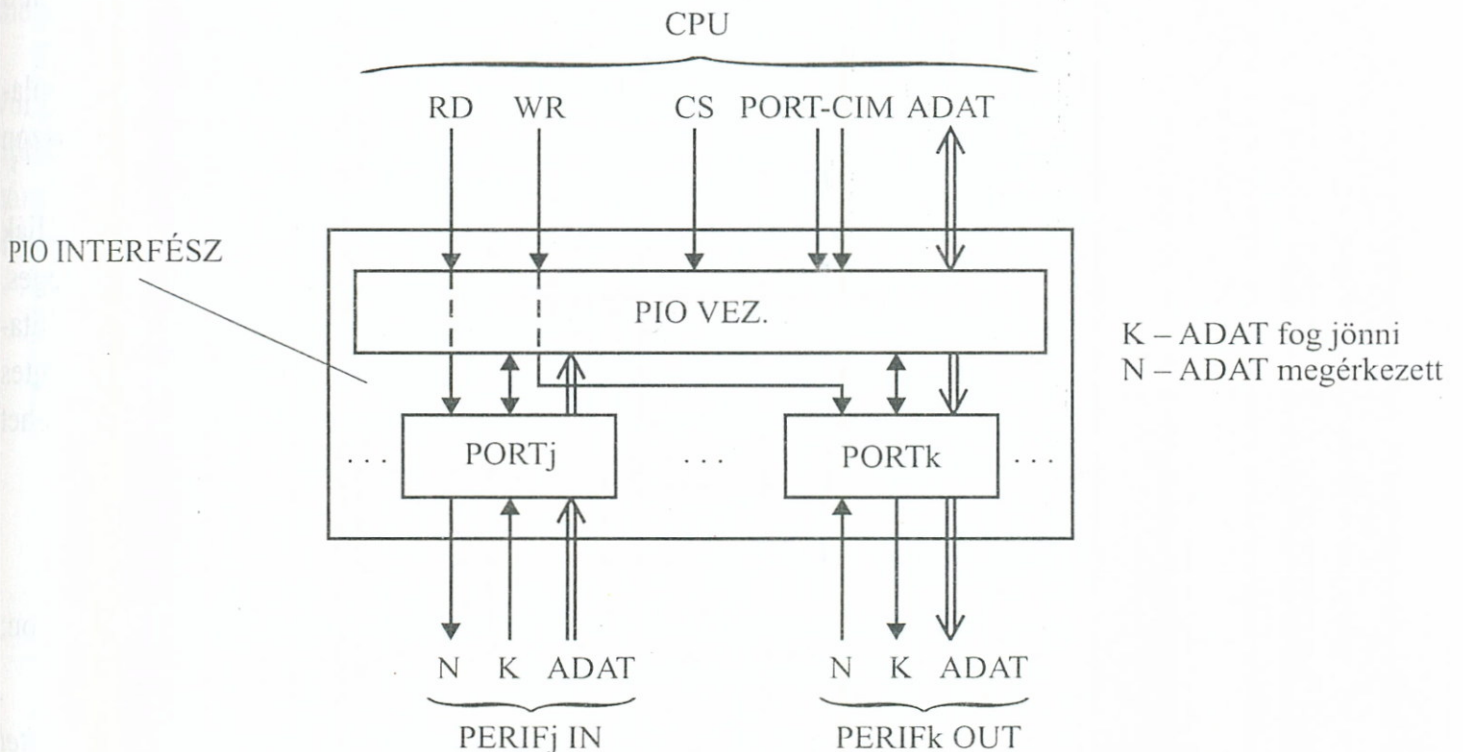
A PIOVEZ a CPU-val áll közvetlen kapcsolatban és onnan

- ADATBUSZ-ról: – ADAT-jeleket kap (OUT) vagy oda küld (IN)
- CÍMBUSZ-ról: – PIO kiválasztó jelet (CS–CHIP SELECT)  
–  $PORT_i$  kiválasztó jelet ( $PORT_i$  vagy PIO VEZ címe)
- VEZÉRLŐ BUSZ-ról: – WR (Kimenő ADAT)  
– RD (Bejövő ADAT)

jeleket kap.

Tartalmaz továbbá  $PORT_i$  egységeket, melyek az egyes  $PERIF_i$  perifériákat szolgálják ki. Az átvitel megbízhatóságának növelésére gyakran alkalmazzák az ún. HAND SHAKING átvitelt, mely a következő sorrend szerinti lépésekben dolgozik:

1. lépés: KEZDŐ jel (K) az *adatforrás felől*: „ADATOT fogok küldeni”
2. lépés: Párhuzamos ADAT-SZÓ (A) átvitele az ADATBUSZ-on
3. lépés: NYUGTÁZÓ jel (N) a *célállomástól*: „Megjött az ADAT”



11-24. ábra PIO INTERFÉSZ és csatlakozásai

A 11–24. ábra PIO egységénél a „j”-edik  $PERIF_j$  IN egy *adatforrás*. Ez küldi először a (K)-t, majd az INPUT (A)-t, végül a  $PORT_j$  vissza  $PERIF_j$ -nek (N)-et.

Ugyanennél a PIO-nál a „k”-edik  $PERIF_k$  OUT egy *adatvevő*. Ide először  $PORT_k$  küldi a (K)-t, majd szintén ő küldi az OUTPUT (A)-t, végül a  $PERIF_k$  vevő-állomás vissza az (N)-et.

### 11.4.3.2. SIO egységek

Egy SIO egység blokkvázlata a 11–25. ábrán látható. Általában egy SIO-ban egy SOROS ADÓ-t és egy SOROS VEVŐ-t építenek be. A SIO tartalmaz egy SIO VEZ vezérlőegységet, amely vezérli az ADÓ-t, a VEVŐ-t és közvetve (az ugyancsak SIO-ba beépített MODEM-VEZ egységet is. A MODEM (a MODULÁTOR-DEMODULÁTOR szavak összevonásából keletkezett) az aktuális aszinkron, vagy szinkron adatátvitelhez alkalmazkodva, a nemzetközi adatátviteli előírásoknak megfelelően módosítja (kódolja, rendezi) az átviteli paramétereket.

a) A *SIO VEZ* a CPU felől kapja a *vezérlő* jeleket.

A CÍM-BUSZ-ról:

- CS (Chip Select) jel a SIO-t aktualizálja
- C/D (Control/Data) jel az ADATBUSZ-on áramló információ *fajtáját* választja meg, és leggyakrabban a legalacsonyabb helyértékű címvezetékre ( $A_0$ ) csatlakoztatják.

Ha  $A_0 = 0$ , akkor az adatbuszon a *tényleges ADAT*-ok áramlanak be-, vagy ki irányban. Ha  $A_0 = 1$ , akkor az adatbuszon VEZÉRLÉSI információk áramlanak.

Fontos észrevenni, hogy az ADATBUSZ-t itt felhasználják VEZÉRLÉSI információk szállítására is. Ez úgy lehetséges, hogy *páros-CÍM* ( $A_0 = 0$ ) esetén az adatbuszon mást szállítanak, mint *páratlan-CÍM* ( $A_0 = 1$ ) esetén. Ily módon a 8-bites adatbuszon (elvben)  $2^8 = 256$ -féle vezérlési információt lehet közölni.

A VEZÉRLŐ-BUSZ-ról:

- *WR* aktív esetén *kifelé* halad az információ az ADATBUSZ-on;
- *RD* aktív esetén *befelé* halad.

$\alpha$ ) Amennyiben:  $A_0 = 0$  KI-, ill. BE irányban *tényleges adatátvitel* történik.

$\beta$ ) Amennyiben:  $A_0 = 1$

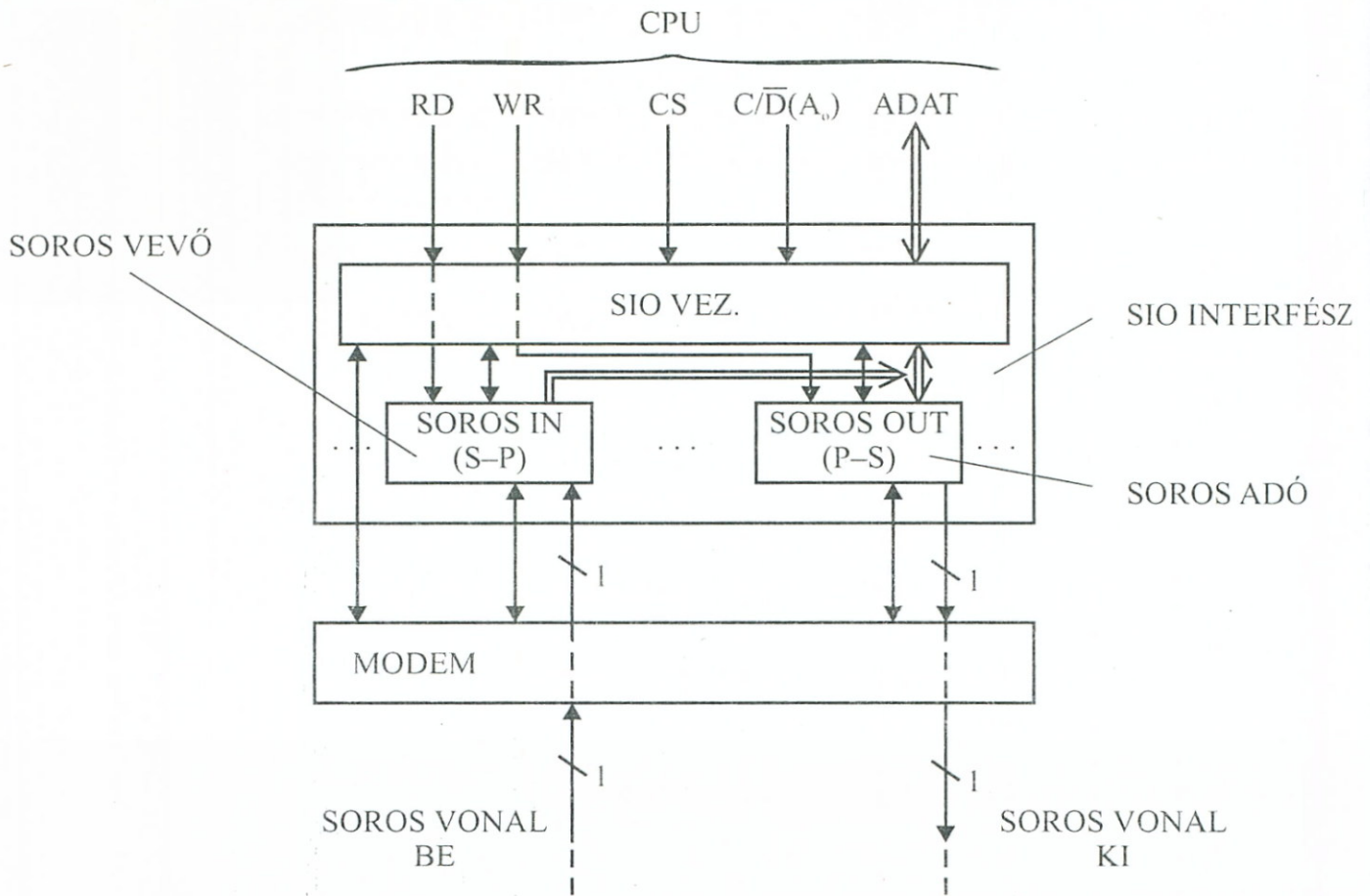
- *WR* aktív esetén különféle utasítás információkat küldhetünk a SIO-nak, ilyenek például:
  - MÓD-utasítások:*
    - szinkron/aszinkron üzemmód
    - adatátvitel sebessége
    - átvindó soros karakterek hossza bitben
    - legyen-e paritás ellenőrző bit stb.
  - Parancs-utasítások:*
    - adás/vétel engedélyezése, letiltása
    - törlési utasítások stb.
- *RD* aktív esetén lekérdezhethetjük a SIO-t, hogy milyen állapotban (státuszban) van. Ilyen *státusz* információk például a következők:
  - ADÓ-, ill. VEVŐ-egységek készenléti állapota
  - MODEM egység működési állapota
  - Paritás-, túlsordulás-, adatformátum hibák stb.

b) A *SOROS OUT* (ADÓ) egység – lényegében PÁRHUZAMOS jelekből csinál időben sorbaállított soros kimenő jelsorozatot. Legfontosabb eleme a P–S kimeneti regiszter.

c) A *SOROS IN* (VEVŐ) egység *SOROS*-an beérkező jelekből, egy S–P bemeneti regiszterrel csinál egy PÁRHUZAMOS adat-szót, mely végül a CPU felé menő ADATBUSZ-ra kerül.

d) A *MODEM* egység maga nem része a SIO-nak, mivel a rendkívül sokféle adatátviteli variációhoz alkalmazkodva, nagyon sokféle típust gyártanak az erre szakosodott cégek. A SIO VEZ egység néhány uniformizált összeköttetéssel áll kapcsolatban a MODEM-mel, ilyenek pl.:

- MODEM állapotellenőrzés
- Adattovábbítás engedélyezése
- Adáskérés stb.



11-25. ábra SIO INTERFÉSZ és csatlakozásai

## 11.5. A MEMORIA és az IO-egységek kapcsolata



A MEMORIA és az IO-egységek közötti információ-átvitel két alapvető módszerét az alábbiakban foglalhatjuk össze.

### 11.5.1. Kapcsolat a CPU közreműködésével

Ennél az információ-átviteli változatnál az adatok mindig útba-ejtik a CPU-t mindkét irányú átvitelnél:

$$\text{MEM} \leftrightarrow \text{CPU} \leftrightarrow \text{IO}$$

azaz a MEM  $\leftrightarrow$  IO közvetlen kapcsolat itt nem létezik. A 11-1. ábrán látható példabeli berendezésnél a CPU-beli AC Akkumulátor-regiszter látja el az átviteli közbenső állomás szerepét.

Például: a MEM  $\leftarrow$  IO irányú átvitel egy változata a következő program szerint zajlik:

- IO MEM IN CIM  $IO_i$  – A CIM  $IO_i$  című  $IO_i$  INPUT EGYSÉG  $DR_i$  adatregiszterének tartalmát átvisz-  
szük a CPU AC-be:  
 $AC \leftarrow DR_i$
- STA CIM  $CIM_k$  – Az AC tartalmának beírása a MEM  
CIM  $CIM_k$  című rekeszébe:  
 $(CIM_k) \leftarrow AC$

Fordított irányban: IO  $\leftarrow$  MEM átvitel egy változata:

- MEM IO LDA CIM  $CIM_k$  – A CIM  $CIM_k$  című MEM-rekeszt kiolvas-  
suk a CPU AC-be:  
 $AC \leftarrow (CIM_k)$
- OUT CIM  $IO_i$  – Az AC tartalmát átvisszük az  $IO_i$  OUT-  
PUT EGYSÉG  $DR_i$  adatregiszterébe:  
 $DR_i \leftarrow AC$

Ez a tisztán szoftver utasításokon alapuló módszer – különösen nagyszámú elemet tartalmazó adatblokkok átvitelekor – „vontatott-  
nak” bizonyulhat, ezért HW–SW kombináción alapuló gyorsabb át-  
viteli módszereket alakítottak ki.

### 11.5.2. Közvetlen MEM–IO-kapcsolat

A közvetlen MEM–IO-kapcsolat (Direct Memory Acces [DMA]) kialakításánál első feladat a CPU semlegesítése a rendszerben. Emiatt a 11–1. ábrán szereplő, és a 11–22a. ábrán már módosított VEZ-egy-  
ségünket tovább kell tökéletesítenünk. A „tökéletesítést” itt a HOLD (tartás), és HLDA (HOLD nyugtázása) nevű csatlakozások bevezeté-  
se jelenti, mely jelek a CPU rendszerbuszokról történő *leválasztásá-  
val* kapcsolatosak.

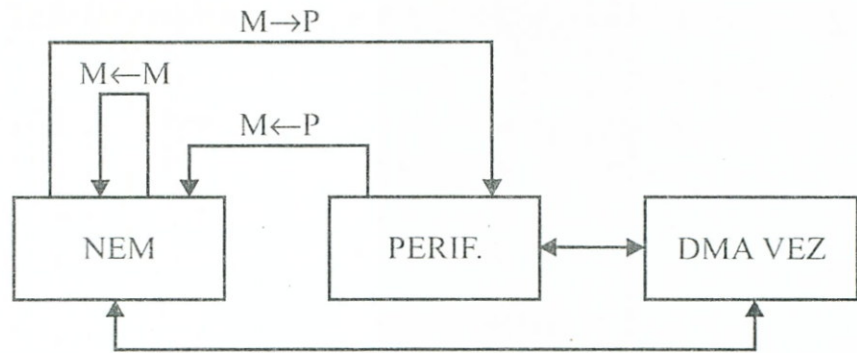
*HOLD = 1* jel CPU-ba küldése esetén (némi belső késleltetéssel) a CPU ADAT, CIM és számos VEZÉRLŐ BUSZ csatlakozása *nagy-  
impedanciájú* (harmadik állapotba) kapcsolja át magát, majd erről a rendszert:

*HLDA = 1* kimeneti jellel értesíti. Mindaddig, amíg a *HOLD = 1* bemeneti jel fennáll, a CPU ilyen nagy-impedanciájú állapotban ma-  
rad, és csak *HOLD = 0* bekövetkezésekor kapcsolódik vissza a rend-  
szerhez.

A CPU HOLD-dal történő kiiktatása csak első lépése a MEM–IO közvetlen kapcsolat létrehozásának.

A semlegessé vált CPU helyett célszerű bevezetni egy olyan *cél-hardver* egységet, mely a direkt MEM–IO-kapcsolat működteté-





11-26. ábra Közvetlen adatátviteli változatok DMA-val

séhez szükséges vezérlési teendőket magára vállalja. Ezt a cél-hardver egységet DMA VEZÉRLŐ EGYSÉG-nek (DMA CONTROLLER) nevezzük.

A CPU kiiktatása után fennmaradó:

MEM – PER – DMVEZ

rendszer a 11–26. elvi ábra szerinti közvetlen adatátviteli változatokat tudja megvalósítani.

A DMA folyamatban résztvevő egységes részletezettebb kapcsolatait és magát a DMA folyamat lebonyolódását a 11–27. ábrára támaszkodva tanulmányozhatjuk.

Egy korszerű DMA VEZ egységhez több PERIF egység is csatlakoztatható, és az egyes perifériák csatlakozódási pontjai között PRIORITÁSI sorrend állítható be. Legtöbbször e csatlakozódási pontok SW úton *leaszkolhatók*.

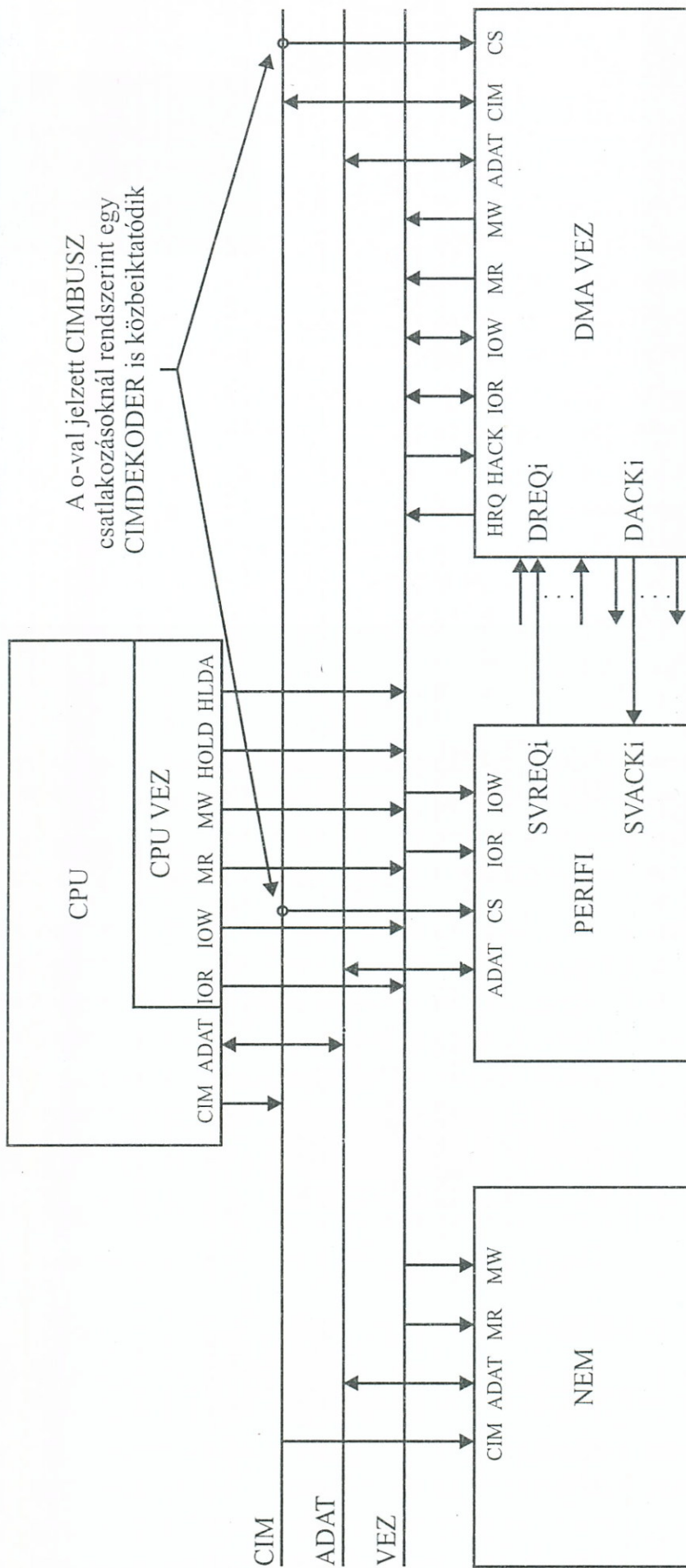
A DMA átvitel beindítása előtt a DMA VEZ egység *regisztereiben* be kell állítani a következő információkat:

- MEM-ba vagy MEM-ből áramló adatblokk kezdő címe
- átvendő karakterek száma
- DMA átvitel típusa (1-szavas, blokkos, periféria-vezérelt stb.)
- periféria bemenetek prioritási sorrendje.

Fenti *inicializálás* után a DMA *figyelő* állapotba kerül. Ezután – szemléltetésül – vizsgáljunk meg egyet részletesen a 11–26. ábra DMA változatai közül. A jelölések a 11–27. részletezett ábrán követhetők:

P → M átvitel.

- A DMA VEZ-re csatlakozó perifériális egységek közül PERIF<sub>i</sub> DMA átvitelt kezdeményez SVREQ (SERVICE REQUEST)–DREQ<sub>i</sub> (DMA REQUEST) jelkapcsolattal. Ezt a DMA VEZ



11-27. ábra DMA VEZÉRLŐ-vel támogatott PER-MEM adatátviteli rendszer



*prioritási és maszkolási szempontból megvizsgálja, és ha minden rendben:*

- HRQ (HOLD Request) – HOLD jelet küld a CPU-nak, felkérve azt, hogy menjen *nagy-impedanciájú* állapotba.
- CPU lekapcsolódik a rendszerről és HLDA (HOLD ACKNOWLEDGE) – HACK úton erről informálja a DMA VEZ egységet.
- DMA VEZ megüzeni PERIF<sub>i</sub>-nek, hogy kérését elfogadták: DACK – SVACK (SERVICE ACKNOWLEDGE).
- DMA VEZ átveszi a teljes rendszer irányítását és az előzetesen felprogramozott MEM-adatblokk *kezdőcímét* kiküldi a memóriának (tehát mostantól ő címezi a MEM-et).
- DMA VEZ ezután kiküldi az IOR (PERIFÉRIA OLVASÁSA) és a MW (MEM ÍRÁSA) vezérlőjeleket, majd az ADATBUSZ-on keresztül az *adatátvitel* megindul.
- Minden karakter átvitele után a DMA VEZ *dekrementálja* saját *karakter-számlálóját*, mikor ez eléri a nulla értéket, azaz a teljes blokk átvitelre került, az adatátvitel leáll.
- Ezután DMA VEZ megszünteti az eddig fennálló HRQ–HOLD-jelet, minek következtében CPU *visszatér* normál állapotba és megszünteti a HLDA–HACK jeleket, majd folytatja korábbi működését.
- DMA VEZ megszünteti DACK–SVACK-ot, így a PERIF<sub>i</sub> is megtudja, hogy a folyamat befejeződött.

Az  $M \rightarrow P$  átvitelnél fentiekhez hasonlóan zajlik minden, csak az adatáramlás lesz ellentétes irányú.  $M \rightarrow M$  átvitelnél SW úton indítjuk a folyamatot és az  $M_1 \rightarrow M_2$  memória-helyek közötti átvitelnél nélkülözhetetlen *átmeneti tárolás* feladatát a DMA VEZ ún. AR (átmeneti regisztere) látja el:  $M_1 \rightarrow AR \rightarrow M_2$  adatátviteli úttal. Természetesen itt foglalkozni kell az  $M_1$  forrás és az  $M_2$  célállomási helyek megcímzésével is.

### 11.6. Egy professzionális, univerzális, digitális berendezés szemléltető bemutatása



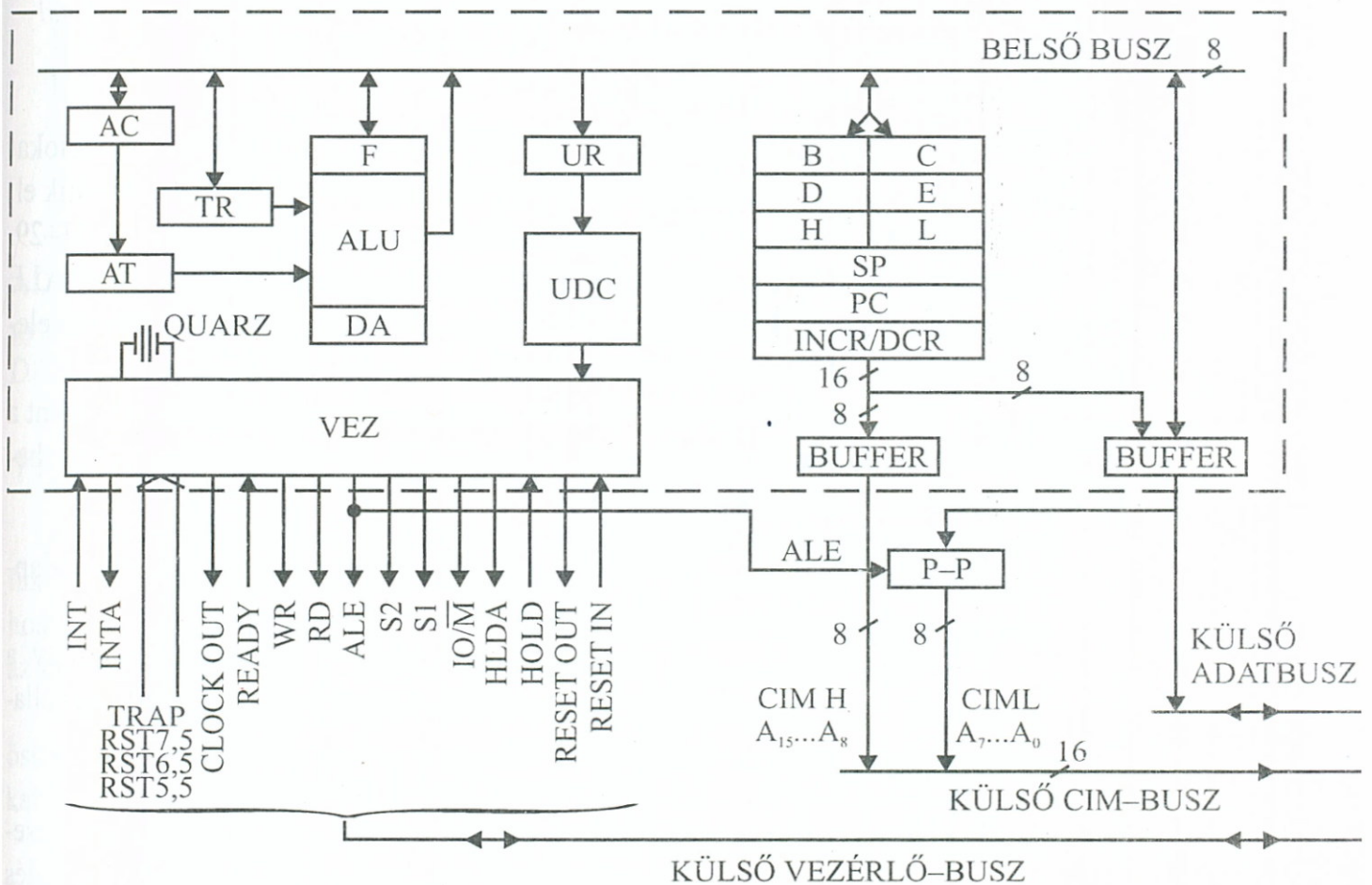
A fejezetben eddig elmondottak alkalmazásának szemléltetésére a következőkben alkalmazási példák keretében röviden bemutatjuk az INTEL cég egy *8 bit-bázisú* univerzális, digitális berendezését (mikroprocesszor), melynél a katalógus-változathoz képest néhány (didaktikai szempontból célszerű) kisebb egyszerűsítést végeztünk.

### 11.6.1. A HW felépítése

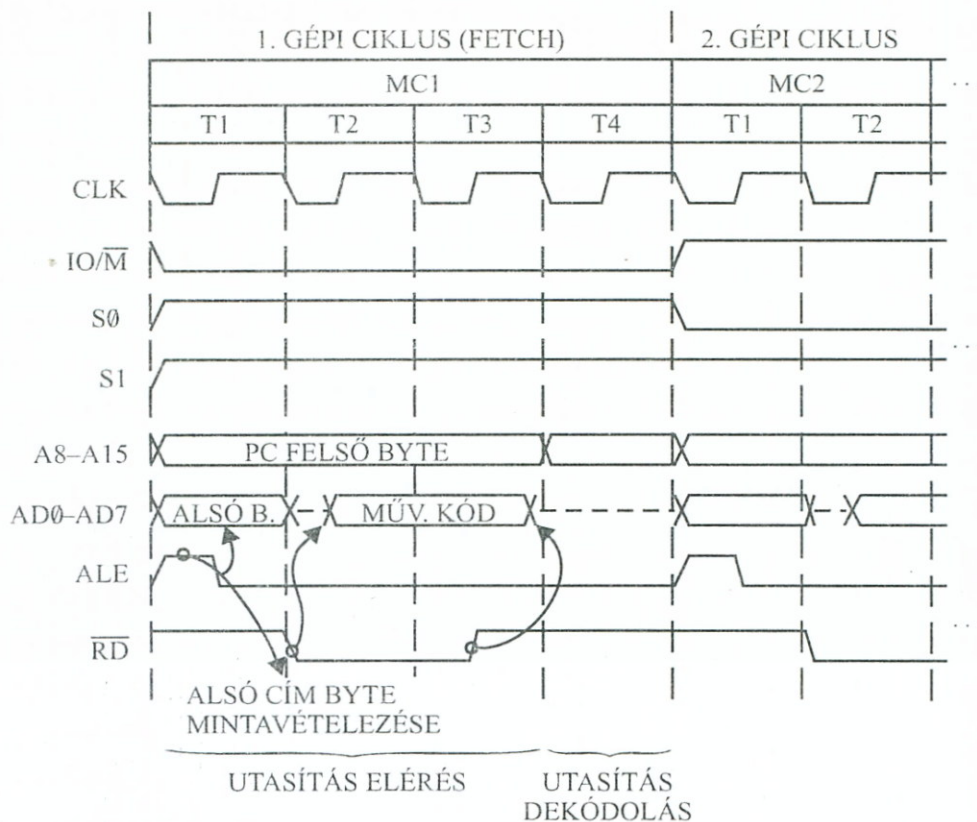
A HW-rendszer felépítése rokonságban áll a 11-1. ábrán bemutatott, elvi alapokat szemléltető rendszerrel. Lényeges különbség az, hogy az *adatbusz* és a MEMORIA szóhossza csupán 8 bit (1 Byte) hosszúságú, míg a *címbusz* 16 bites, így elvileg közvetlen címezéssel  $2^{16} = 64$  kByte memóriahely érhető el. Ez – mint az utasításkészlet tanulmányozásánál majd tapasztalni fogjuk – kihat az utasításkészlet felépítésére is.

A CPU felépítése (11-28. ábra) is tükrözi a cím- és adatbusz-hosszak eltérését. Célszerűségi szempontok alapján a *regisztertömb*-ben több munkaregisztert helyeztek el. Ezek egyedileg 8 bit hosszúságúak, de párokba is csoportosíthatók, melyek 16 bit hosszúságúak.

A CPU IC tok PIN lábainak korlátozott száma miatt a CÍM-busz 16 bitjéből az alsó nyolcat CÍM<sub>L</sub> (LOW): A<sub>7</sub>, ..., A<sub>1</sub>, A<sub>0</sub> közös kimeneti lábra kötötték az ADAT-busz DATA: D<sub>7</sub>, ..., D<sub>1</sub>, D<sub>0</sub> nyolc vezetékeivel. Emiatt ezeken a csatlakozásokon egy bizonyos időtartamig CÍM-információk, majd később ADAT-információk jelennek meg. A CÍM-információk időszakáról a VEZÉRLŐ-egység ALE (Address



11-28. ábra INTEL-alapú CPU felépítése és csatlakozásai



11-29. ábra *FETCH-CIKLUS* idődiagramja a 11-28 ábra-beli CPU-nál

Latch Enable) csatlakozása ad jelzést. Ilyenkor a CÍM-információkat (a 11-28. ábrán látható módon) egy külső P-P-regiszterbe mentik el, így a CÍML  $A_7 \dots A_0$  alsó byte később is rendelkezésre áll. A 11-29. ábrán felrajzoltuk a *FETCH* ciklus idődiagramját is, melyről az ALE időzítésviszonyok, továbbá a kiolvasás alatt álló utasítás MK műveleti kódjának időfázisa is kiolvasható.

A VEZ vezérlőegység itt több csatlakozással rendelkezik, mint a korábbi általános modellnél (11-1., 11-22. és 11-27. ábrák) már bevezetettek. Ezek a következők:

- RESET IN: Kívülről érkező HW-jel, mely a CPU-t alap helyzetbe állítja.
- RESET OUT: A RESET IN-t követő kimenő jel, mely a CPU-hoz csatlakozó teljes rendszert alapállapotba hozza.
- HOLD, HLDA: A már ismert DMA jelek.
- IO/M: IO-input-output esetén = 1, M – memória esetén = 0 értékű jel, mely az IO vagy M kijelölés előválasztására szolgál.

$S_0, S_1$ :	STATUSZ jelek, melyek az IO/M-mel együtt kódolva jelzik a CPU pillanatnyi gépi ciklusát. (Például a FETCH kódja: IO/M- $S_1$ - $S_0$ = 011)
ALE:	A 11–29. ábra idődiagramján szereplő kapuzó jel, mely a CÍM-ADAT kimenetek szétválasztására szolgál (11–28. ábra).
RD, WR:	OLVASÁS, ÍRÁS vezérlő-jelek. IO/M-mel kombinálva: IOR, IOW (INPUT/OUTPUT RD/WR), illetve MR, MW (MEM RD/WR), azaz <i>perifériára</i> , ill. <i>memóriára</i> aktualizálhatók.
READY:	Kívülről érkező HW jel, mely jelzi, hogy a rendszer együttműködésre kész állapotban van.
CLK OUT:	A rendszert ütemező órajel.
TRAP; RST 7,5; RST 6,5; RST 5,5:	INTERRUPT-kérő bejövő jelek, melyek a 11–22. ábrán vázoltak szerint működnek, és prioritási sorrendjükben a TRAP a legmagasabb. Az egyes IT-kérő bemenetekhez rendelt ugrási táblázat-címeket és prioritást a 11–32. ábrán foglaltuk össze.
INTA:	INTERRUPT kérést jóváhagyó, nyugtázó jel.
INT:	INTERRUPT-kérő bejövő jel, melyre egy sokféle IT fogadására alkalmas speciális IT-vezérlőegység csatlakoztatható.

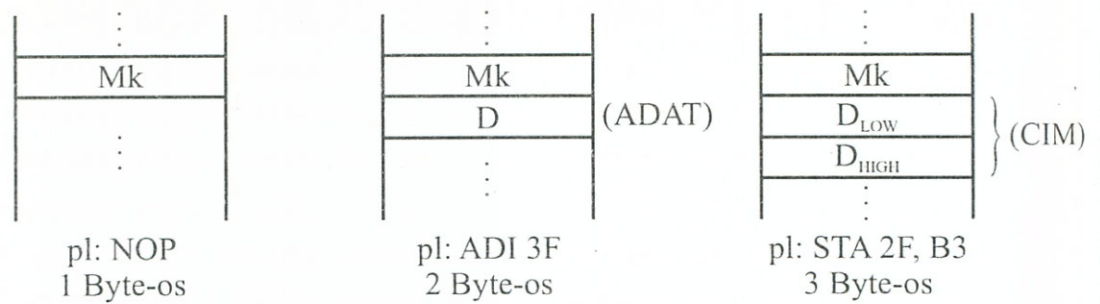
Végül megemlítjük, hogy a CPU el van látva egy DA (DECIMAL ADJUST) egységgel is, amely a (10. fejezet 10.6.3. pontjában tárgyalt) BCD 6-os korrekciót végzi el az utasításkészletben található DAA szoftver-parancs hatására.

### 11.6.2. Az utasításkészlet

A 8-bites adatok és a 16-bites cím információk – mint már említettük – befolyásolják az utasításkészletet is. A memória 8-bites szóhossza miatt háromféle (1, 2 és 3 Byte-os) utasítások szerepelhetnek az utasításkészletben a 11–30. ábra szerinti formátumokban.

A teljes utasításkészletet a 11–31a. ábra táblázataiban foglaltuk össze, a 11–31b. ábra pedig magyarázó megjegyzéseket és direktívákat tartalmaz.

Az utasítás-táblázat első oszlopa az *assembly* utasítást, a második oszlop az utasításnak hardver-leírónyelven leírt hatását mutatja, míg

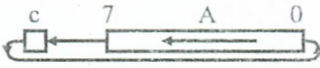


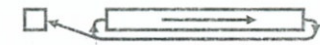


**11-30. ábra** Utasításváltozatok a tanulmányozott berendezésnél

a harmadik oszlop a FLAG regiszter azon flag-jeit sorolja fel, melyekre az adott utasítás hatást gyakorolt.

- Jellegzetesség, hogy ha valamelyik *utasítás-memória*-ban az X betű szerepel, akkor az utasítás *regiszter-párral* kapcsolatos. Ez alól kivételt a logikai XOR utasítások képeznek.
- Mint látható, a táblázatokból a *regiszter-párok* között a H,L ki-tüntetett szerepet is kap, hasonlóan a 11–1. ábrán szereplő KR-regiszterhez, amely az *indirekt címzésnél* az operandus cí-mének tárolását végzi.
- A *STACK-műveleteknél* a SP Stack-pointer kétszer inkremen-tálódik/dekrementálódik a 16-bites CÍM információknak a 8-bites szélességű STACK-ban szükséges „kétemeletesre össze-gyúrt” helyfoglalása miatt.
- Az *összehasonlító COMPARE* utasítások *aritmetikai* úton (ki- vonással) kerülnek végrehajtásra, ezért „egyenlőség” esetén a *Z–Zero flag* aktivizálódik.
- A *PC-be* közvetlenül a H,L-en keresztül lehet valamit beírni.
- Az *aritmetikai* utasítások között átvitelt is figyelembevevő, ill. anélküli összeadások (kivonások) is szerepelnek.
- A *logikai* utasítások jellegzetessége, hogy az *átviteli flag*-okat „0”-ba állítják.
- A ROTATE (forgató) utasítások valójában SHIFT-elést vé- geznek az *accumulátornál*, de a kilépő bitet mindig visszacsat- olják a belépő oldalra: vagy közvetlenül, vagy a CY átvitel-bi- ten keresztül.
- A CONTROL utasítások között kerültek felsorolásra az IO és az INTERRUPT flip-flopot billentő utasítások (EI, DI).
- Ugyancsak a CONTROL utasítások közt található az ún. *RST d3 utasítások*, melyek a CALL utasításokkal és az IT-vel áll- nak rokonságban. Ugyanis első lépésben a PC-t a STACK-be mentik, viszont az elugrás itt már egy UGRÁSCÍM TÁBLÁ- ZAT-ba történik, és innen a folyamat hasonlóan zajlik, mint a

## 11.6. Egy professzionális, univerzális, digitális berendezés szemléltető bemutatása

SOURCE FORM	EFFECT	FLAGS AFFECTED	SOURCE FORM	EFFECT	FLAGS AFFECTED
<i>Data transfer</i>			<i>Arithmetic</i>		
MOV	r <sub>1</sub> ,r <sub>2</sub>	r <sub>1</sub> ← r <sub>2</sub>	ADD	r	A ← A + r szapc
MOV	r,M	r ← (HL)	ADD	M	A ← A + (HL) szapc
MOV	M,r	(HL) ← r	ADC	r	A ← A + r + c szapc
MVI	r,d8	r ← d8	ADC	M	A ← A + (HL) + c szapc
MVI	M,d8	(HL) ← d8	ADI	d8	A ← A + d8 szapc
LXI	rp,d16	rp ← d16	ACI	d8	A ← A + d8 + c szapc
LXI	SP,d16	SP ← d16	DAD	rp	HL ← HL + rp c
LDA	addr	A ← (addr)	DAD	SP	HL ← HL + SP c
LHLD	addr	HL ← (addr)	SUB	r	A ← A - r szapc
LDAX	B	A ← (BC)	SUB	M	A ← A - (HL) szapc
LDAX	D	A ← (DE)	SBB	r	A ← A - r - c szapc
STA	addr	(addr) ← A	SBB	M	A ← A - (HL) - c szapc
SHLD	addr	(addr) ← HL	SUI	d8	A ← A - d8 szapc
STAX	B	(BC) ← A	SBI	d8	A ← A - d8 - c szapc
STAX	D	(DE) ← A	DAA		if A <sub>3,6} &gt; 9 or a then A ← A + 6 if A<sub>7,4} &gt; 9 or c then A ← A + 60H szapc</sub></sub>
XCHG		HL ↔ DE	<i>Logic</i>		
<i>Stack</i>			ANA	r	A ← A AND r sz0p0
PUSH	rp	SP ← SP - 2; (SP) ← rp	ANA	M	A ← A AND (HL) sz0p0
PUSH	PSW	SP ← SP - 2; (SP) ← A,F	ANI	d8	A ← A AND d8 sz0p0
POP	rp	rp ← (SP); SP ← SP + 2	ORA	r	A ← A OR r sz0p0
POP	PSW	A,F ← (SP); SP ← SP + 2	ORA	M	A ← A OR (HL) sz0p0
SPhL		SP ← HL	ORI	d8	A ← A OR d8 sz0p0
XTHL		HL ↔ (SP)	XRA	r	A ← A XOR r sz0p0
<i>Compare unsigned</i>			XRA	M	A ← A XOR (HL) sz0p0
CMP	r	A - r	XRI	d8	A ← A XOR d8 sz0p0
CMP	M	A - (HL)	CMA		A ← $\bar{A}$
CPI	d8	A - d8	STC		c ← $\frac{1}{2}$ l
<i>Jump</i>			CMC		c ← c c
JMP	addr	PC ← addr	<i>Increment</i>		
JZ	addr	if $\underline{z}$ then PC ← addr	INR	r	r ← r + 1 szap
JNZ	addr	if $\bar{z}$ then PC ← addr	INR	M	(HL) ← (HL) + 1 szap
JC	addr	if $\underline{c}$ then PC ← addr	INX	rp	rp ← rp + 1
JNC	addr	if $\bar{c}$ then PC ← addr	INX	SP	SP ← SP + 1
JPE	addr	if $\underline{p}$ then PC ← addr	<i>Decrement</i>		
JPO	addr	if $\bar{p}$ then PC ← addr	DCR	r	r ← r - 1 szap
JM	addr	if $\underline{s}$ then PC ← addr	DCR	M	(HL) ← (HL) - 1 szap
JP	addr	if $\bar{s}$ then PC ← addr	DCX	rp	rp ← rp - 1
PCHL		PC ← HL	DCX	SP	SP ← SP - 1
<i>Call</i>			<i>Rotate</i>		
CALL	addr	SP ← SP - 2; (SP) ← PC; PC ← addr	RAL		 c
CZ	addr	if $\underline{z}$ then CALL	RAR		 c
CNZ	addr	if $\bar{z}$ then CALL	RLC		 c
CC	addr	if $\underline{c}$ then CALL	RRC		 c
CNC	addr	if $\bar{c}$ then CALL	<i>Control</i>		
CPE	addr	if $\underline{p}$ then CALL	IN	d8	A ← portd8
CPO	addr	if $\bar{p}$ then CALL	OUT	d8	portd8 ← A
CM	addr	if $\underline{s}$ then CALL	EI		INTE ← 1
CP	addr	if $\bar{s}$ then CALL	DI		INTE ← 0
<i>Return</i>			RST	d8	(SP - 2) ← PC; SP ← SP - 2; PC ← d3 × 8
RET		PC ← (SP); SP ← SP + 2	NOP		no operation
RZ		if $\underline{z}$ then RET	HLT		halt until interrupt
RNZ		if $\bar{z}$ then RET			
RC		if $\underline{c}$ then RET			
RNC		if $\bar{c}$ then RET			
RPE		if $\underline{p}$ then RET			
RPO		if $\bar{p}$ then RET			
RM		if $\underline{s}$ then RET			
RP		if $\bar{s}$ then RET			

11-31a. ábra Egy INTEL-alapú 8-bites mikroprocesszor utasításkészlete

NOTATION		DIRECTIVES	
r	:Any 8 bit register: A B C D E H L	ORG	d16 :Location Counter ← d16
rp	:Any 16 bit register pair Write B for BC D for DE H for HL	END	[start addr] :end assembly
PC	:Program Counter	name EQU	d16 :define name of value d16
SP	:Stack Pointer	name SET	d16 :assign value d16 to name
M	:Memory byte referenced by HL	[name] DS	d16 :define storage of length d16
F	:Flag bites: s z 0 a 0 p 1 c <div style="margin-left: 20px;"> <span style="display: inline-block; width: 10px; border-left: 1px solid black; margin-right: 5px;"></span> carry bit  <span style="display: inline-block; width: 10px; border-left: 1px solid black; margin-right: 5px;"></span> parity bit  <span style="display: inline-block; width: 10px; border-left: 1px solid black; margin-right: 5px;"></span> auxiliary carry bit  <span style="display: inline-block; width: 10px; border-left: 1px solid black; margin-right: 5px;"></span> zero bit  <span style="display: inline-block; width: 10px; border-left: 1px solid black; margin-right: 5px;"></span> sign bit                 </div>	[name] DB	d8[,d8]... :define byte(s) with initial value(s) given with expression(s) or string(s)
INTE	:Interrupt Enable flag	[name] DW	d16[,d16]... :define word(s) with initial value(s) given with expression(s)
PSW	:Program Status Word: A,F		
addr	:memory address, 16 bits		
d3	:3 bits of data		} or expression evaluated to the given length
d8	:8 bits of data		
d16	:16 bits of data		
(item)	:memory area referenced by „item”		
port	:Input/Output port		
\$	:present value of location counter		
[ ]	:optional fird, may be omitted		

11-31b. ábra. Kiegészítések az a) ábrabeli utasításkészlethez

11–22b. ábra esetében. Az ugráscím-táblázat kezdetét ennél a processzornál a MEMORIA 00,00 címére helyezték. Valamely RST<sub>i</sub> utasításhoz rendelt ugráscím-táblázathely kezdőcíme az alábbi formulával számítható ki:

$$\text{CÍM UT}_{\text{KEZDŐ}} = d3 \times 8 \quad (11.6)$$

Például az RST 5 utasítás először elmenti a pillanatnyi PC-értéket, majd elugrik a  $5 \times 8 = 40 \rightarrow 00,40$  címre.

A részletezett ugrási táblázatot a 11–32. ábrán rajzoltuk fel. Ebbe belerajzoltuk az *SW:RST d3 utasítások* mellett, a CPU INTERRUPT csatlakozási pontjai közül az (RST<sub>i</sub>-khez rokon) ún. *HW:RST bemenetek*hez rendelt fix ugrási táblázatcímeket is (melyekre már a 11–22. ábrán utaltunk).

- Megemlítendő még, hogy a program futása az ún. HLT (HALT) utasítással leállítható, de a folytatás ilyenkor csak HW *interrupt* úton valósítható meg.
- A NOTATION táblázatban a FLAG-bitek közt található „a”-AUXILIARY CARRY-bit az egy Byte-ban *tetradosan* ábrázolt két BCD szám közötti *átvitelt* jelenti.
- A DIRECTIVES táblázatban szereplő

ORG d16

RST <sub>i</sub>	MEM CÍM	IT PRIORITÁS
RST 0	00,00	
RST 1	00,08	
RST 2	00,16	
RST 3	00,24	
RST 4	00,32	
TRAP	00,36	1 (legmagasabb)
RST 5	00,40	
RST 5,5	00,44	4
RST 6	00,48	
RST 6,5	00,52	3
RST 7	00,56	
RST 7,5	00,60	2

11–32. ábra RST<sub>i</sub> ugrási táblázat a 11–28. ábrabeli mikroprocesszorhoz

utasítás az utána következő *assembly* program programmezőbeli kezdőcímét jelöli ki.

- Az END [start addr] utasítás az ORG-gal kezdett program végét határozza meg.

### 11.6.3. Szemléltető feladatok

11.1. példa: Vizsgáljuk meg az AC akkumulátor tartalmát az alábbi programrészlet lefutása végén:



```

:
MVI    B, 05 H
MOV    A, B
MVI    C, 12 H
INR    A
ANA    C
HLT

```

A 11–31a. ábra utasításkészlete alapján a következők írhatók fel.



assembly	hatás	bináris tartalom
MVI B, Ø 5 H	$B \leftarrow \text{Ø } 5 \text{ H}$	B: 00000101 <sub>2</sub>
MOV A, B	$A \leftarrow B$	A: 00000101 <sub>2</sub>
MVI C, 12 H	$C \leftarrow 12 \text{ H}$	C: 00010010 <sub>2</sub>
INR A	$A \leftarrow A + 1$	A: 00000110 <sub>2</sub>
ANA C	$A \leftarrow A \text{ és } C$	A: 00000010 <sub>2</sub>

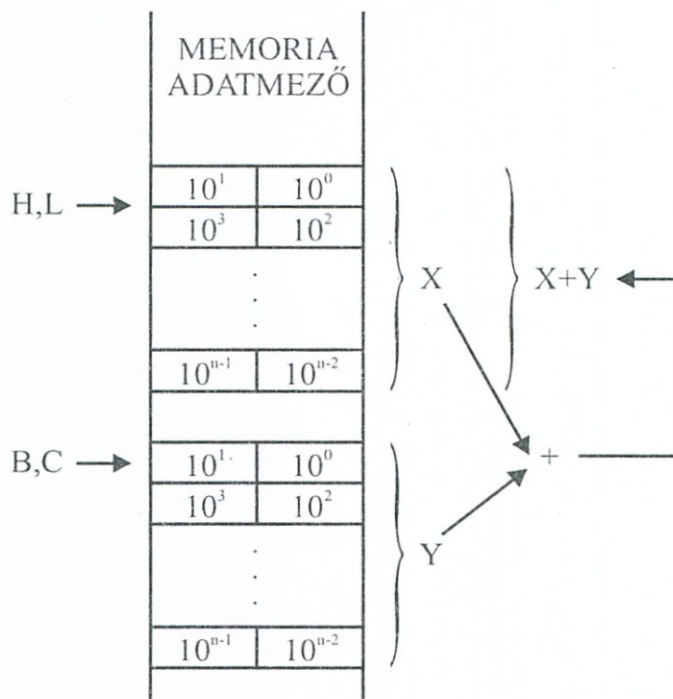
Az AC tartalma: AC = Ø2H

11.2. példa: Legyenek adottak az X, Y decimális számok, melyek n számjegyből állnak, és a memóriában a 11–33. ábra szerint BCD-ben vannak ábrázolva.

Írjunk assembly szubrutint, mely elvégzi az X + Y összeadást, és az eredményt az X helyén (azt felülírva) tárolja.

Mint látható, az X, ill. Y számjegyei helyérték szerint alulról kezdődően rendszerezve találhatóak H, L, ill. B, C regiszterpárokkal címezve az adatmezőben. A megírandó programhoz be kell vezetnünk egy POINTERT, mely az egyes Byte-onként elvégzett rész-összeadásokat majd számolni fogja. Válasszuk e számláló pointernek a még le nem foglalt D-regisztert, mely maximum n = 256 Byte-ig (2<sup>8</sup>) képes számolni. Az összeadható számjegyek száma (N) ennek kétszerese lesz

$$N = 2n,$$



11-33. ábra BCD összeadás a 11.2 Példa szerint

## 11.6. Egy professzionális, univerzális, digitális berendezés szemléltető bemutatása

mivel egy Byte-ban két számjegy van tárolva.

Szemléltessük a program felépítésének lépéseit egy folyamatábrán, mely mellett egyidejűleg párhuzamosan feltüntetjük az assembly utasításokat, továbbá kommentáltuk az egyes lépéseket is (11–34. ábra).

A 11–34. ábrához még célszerű néhány kiegészítő megjegyzést tenni.

PROGRAM-MEZŐ CIMEK	ASSEMBLY PROGRAM	FOLYAMATÁBRA	MAGYARÁZATOK
	ORG 2FO0H		– Program elhelyezése a programmezőben
2F 00 H 2F 01	BCDÖ MVI D,n ANA A		– BCDÖ: Rutin elnevezése
2F 02	CIKL LDAX B		– Y első Byte lehozása AC-be
2F 03	ADC M		– Y+X+CY összeadás
2F 04	DAA		– BCD 6-os korrekció
2F 05	MOV M,A		– Összeg aktuális Byte-jának tárolása
2F 06 2F 07	INX H INX B		– Következő Byte-ok megcímzése
2F 08	DCR D		– POINTER tartalmának csökkenése
2F 09	JNZ CIKL		– Utolsó Byte volt?
2FOC	RET		
	END 2F00		– Itt a program vége a memóriában

11-34. ábra BCD összeadás assemblyprogramja és folyamatábrája

- A BCDÖ a szubrutin hivatkozási neve az assembly programban *kezdőcímkéként* szerepel. A címke egyben konkrét programbeli címet is képviselhet, melynek értéke esetünkben:  $BCDÖ = 2F00H$ .
- A CY nullázása (mivel közvetlen ilyen utasítás nincs) lehetett volna:
 
$$STC\ CY \leftarrow 1$$

$$CMC\ CY \leftarrow CY$$

módon is, de ez két utasítást igényelt volna, ezért hasznos volt kihasználni a logikai utasítások CY-t nullázó tulajdonságát.

- A CIKL ugráshelyi címke itt a  $2F02H$  címet képviseli.
- A „carry-s” összeadásnál az első bytok összeadási ciklusában a CY még nulla a kezdeti nullázás miatt. Később az előző összeadás átvitelét adja hozzá az aktuális  $X_i + Y_i$ -hez.
- A JN7 CIKL valójában egy 3 Byte-os utasítás:

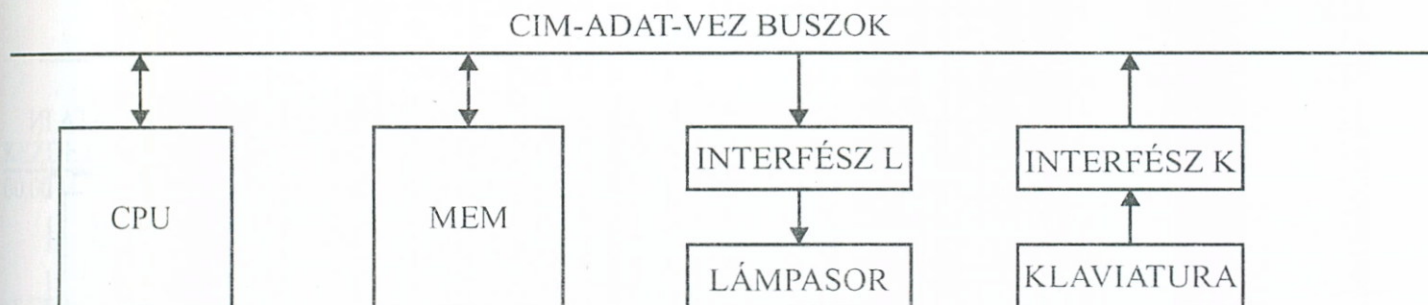
$$\begin{array}{l} MK : \quad JNZ \\ \left. \begin{array}{l} CIM_L \\ CIM_H \end{array} \right\} \quad CIKL \end{array}$$

miatt, ezért az utána következő utasításcím 3-mal több. Előzőleg minden utasítás 1 Byte-os volt, ezért ott a címek csak 1-gyel növekedtek.

*11.3. példa:* Legyen adva egy maximum 255 db billentyűt tartalmazó klaviatúra és egy 8 lámpát tartalmazó kijelző lámpasor. Valamely billentyűt megnyomva egy (a billentyűre jellemző) 8-elemes bináris kód jelenik meg a billentyű csatlakozási pontjain. Alakítsunk ki egy olyan berendezést, melynél egy billentyű megnyomása esetén a lámpasoron az a bináris kód jelenik meg, amely a megnyomott billentyűre jellemző, továbbá a billentyű kódja feljegyzésre kerüljön a memória egy inkrementálódva címzett adat-táblázatában.

A feladatot korábbi „klasszikus digit” ismereteinkkel is meg lehetne oldani. Ennek ellenére, most oldjuk meg egy SW–HW kombinációs elem működő, univerzális, digitális berendezés felhasználásával. Válasszuk a 11–28. ábrán látható mikroprocesszort.

A feladat jellegéből látható, hogy itt tisztán párhuzamos adatátvitelt célszerű alkalmazni. A billentyűzet és a lámpasor közvetlenül nem, hanem csak *INTERFÉSZ egységen* keresztül illeszthető a mikroprocesszoros rendszerhez. Erre felhasználhatnánk a 11–24. ábrán megismert, kereskedelmi forgalomban beszerezhető PIO egységet is,



11-35. ábra CPU-MEM-LÁMPA-KLAVIATURA rendszer

de részben a feladat egyszerűsége, részben didaktikai szempontból most az INTERFÉSZ-eket is magunk fogjuk kialakítani.

A feladat első közelítésű blokkvázlata a 11-35. ábrán látható:

#### a) A berendezés hardverje

A működés algoritmusának első lépése a klaviatúra valamelyik  $K_i$  gombjának megnyomása. Ez a gomb egy 8-bites (rá jellemző) KÓD<sub>i</sub> karaktert fog az INTERFÉSZ K-n keresztül az *adatbuszra* küldeni, melyről előzetesen a CPU-t informálni kell. Ennek érdekében (miután a gombnyomás váratlan jelenség) célszerű *interrupt*-os üzemmódot választani, tehát feltételezzük, hogy bármelyik nyomógomb megnyomásakor egy IRQ (INTERRUPT REQUEST) IT-kérő jel jelenik meg a klaviatúra erre a célra kialakított HW-kimenetén. Ezt csatlakoztatnunk kell a CPU valamelyik IT-kérő bemenetéhez. Válasszuk példánkban a TRAP bemenetet erre a célra.

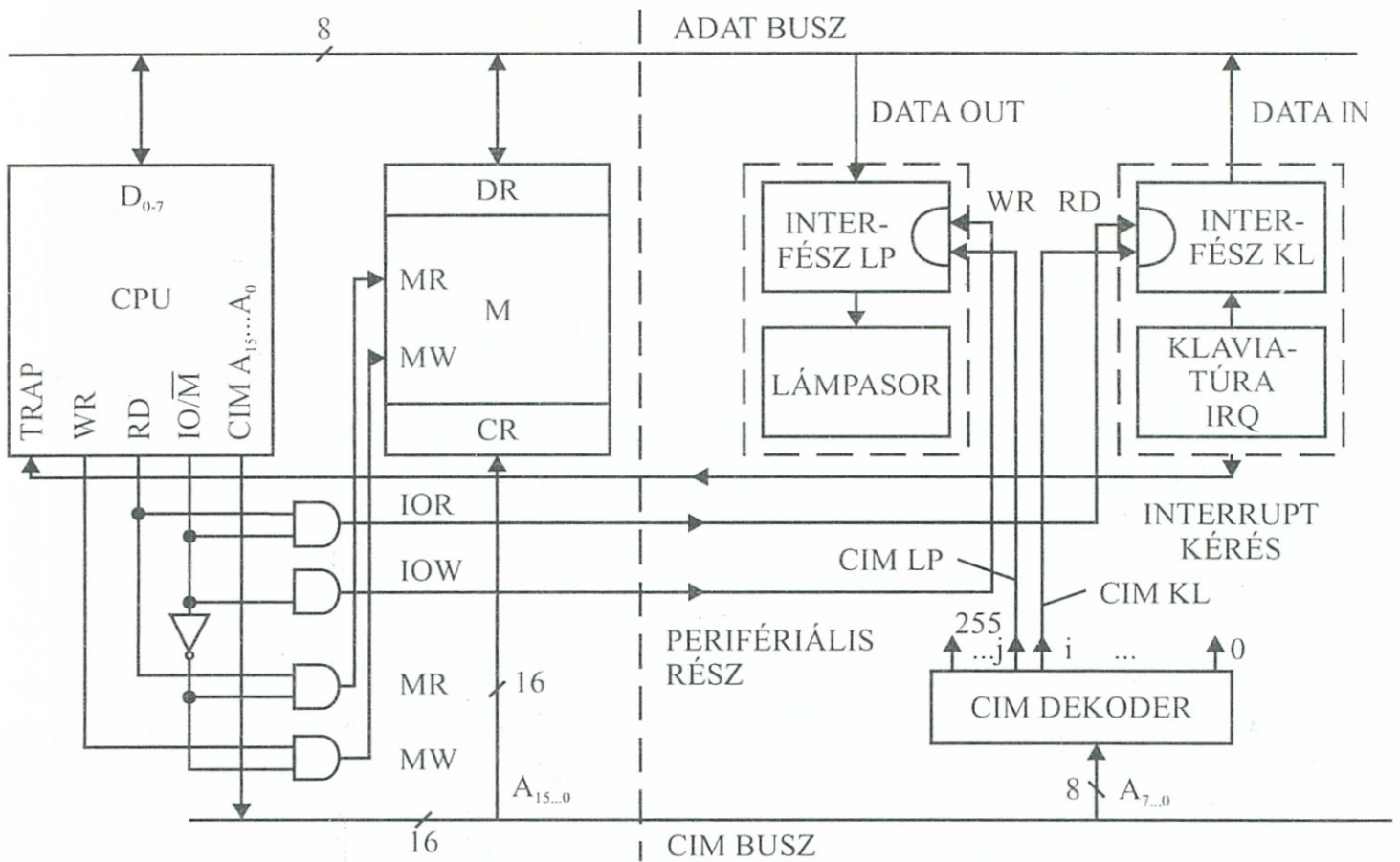
A klaviatúra INTERFÉSZ K-ja kialakítható egy kapuzott P–P regiszterből, melybe a gomb kódja megnyomásakor *közvetlenül* átíródik, és az *adatbusz* felé eső háromállapotú kimenete akkor fog aktivizálódni, amikor az IT-kezelő szubrutin majd parancsot ad.

A lámpasor INTERFÉSZ L-jével hasonló a helyzet, az *adatbusz* felől érkező adatbeírásra engedélyt az IT szubrutin fog adni, és az INTERFÉSZ L P–P-regiszter flip-flopjai „közvetlenül” gyűjtják ki a kijelző lámpákat.

Mindkét interfész megcímezése egy CÍMDEKÓDER-en keresztül történik.

A címezéseknél különbséget kell tennünk a MEM és IO-címzések között, ezek szétválogatását a CPU IO/ $\overline{M}$ , RD, WR csatlakozásaival vezérelt kapukkal oldottuk meg a 11-36. ábrán. A *memória*-címek 16-bitesek, az IO-címek ennél a mikroprocesszornál (lásd: utasítás-készlet) 8-bitesek.

A rendszer-hardver részletezett vázlatát a 11-36. ábrán rajzoltuk fel.



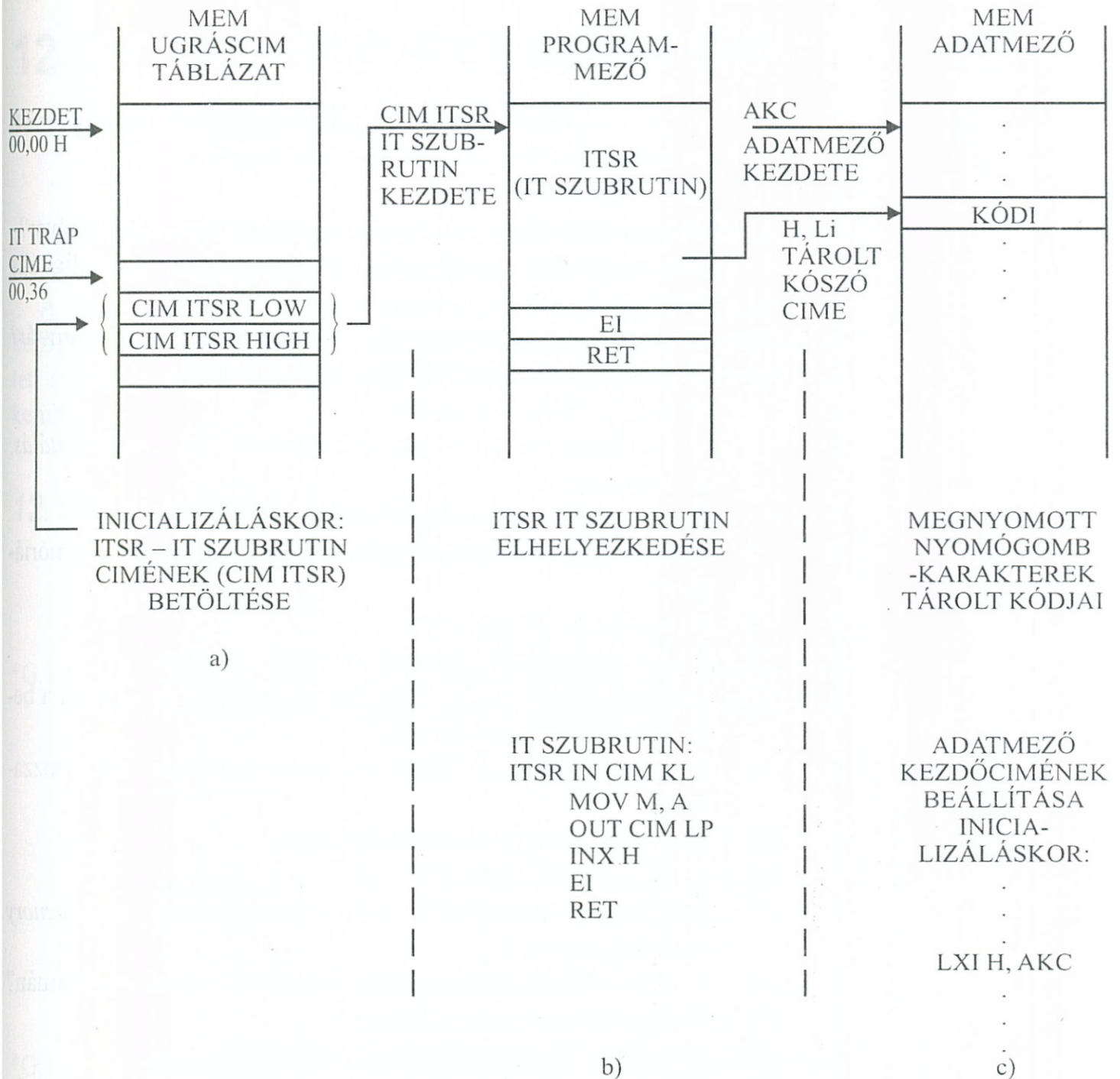
11-36. ábra KLAVIATÚRA-LÁMPASOR-MEM-CPU rendszer részletezett hardverje

b) A berendezés szoftverje

Miután a szoftver interruptot kezel, szubrutint működtet és IO, ill. MEM-kezelési feladatokat is ellát, ezért a jobb áttekintés érdekében az információ-viszonyokat a 11-37. ábrán részletesen szemléltettük.

Az IRQ IT-kérést a HW összeállításakor a TRAP IT-bemenetre vezettük, ezért az IT-jel ideérkezésekor a CPU elugrik a (11-22b. és 11-2. ábráknál elmondottak értelmében) memória MEM UGRÁS-CÍM-TÁBLÁZAT-ának TRAP-hoz tartozó címére, mely a 11-32. ábrából kiolvashatóan: 00, 36H értékű. Ide – az üzemelés megkezdése előtt (INICIALIZÁLÁSKOR) – be kellett töltenünk azt a CÍM ITSR *IT-szubrutincímet*, melytől kezdve a MEM-PROGRAMMEZŐ-ben az ITSR interrupt szubrutin elhelyezkedik (11-37a. ábra).

A szubrutinban szerepelni fog a kimeneti INTERFÉSZ L periféria címén (CÍM LP) kívül a MEM H, Li címe is, melyhez tartozó MEM-rekeszbe a megnyomott gomb kódját (KÓDi) – a feladat értelmében – majd betároljuk. A MEM címzését célszerű indirekt módon a H, L utasítással végezni, mivel a táblázatos címzésnél ilyenkor elegendő H, L inkrementálást alkalmazni az ismételten beérkező KÓDi karakterek esetén.



11-37. ábra A 11-36. ábrabeli HW-hez tartozó SW tevékenységek és programok

A 11-37c. ábra alsó felén látható, hogy inicializáláskor miként lehet beállítani az adatmező kezdő címét (H, L ← AKC).

A 11-37b. ábra alsó felén található az assemblyben megírt ITR szubrutin. Mint említettük, ennek a végén szerepelnie kell az EI (INTE ← 1) utasításnak, hogy a CPU IT letiltása megszűnjön és a RET után fogadni tudja az újabb IT-hívásokat.

## 11.E. Ellenőrző kérdések



- E.11.1. Milyen elvi vázlaton alapulnak a szoftver- és hardver *együttes alkalmazásán* alapuló digitális rendszerek?
- E.11.2. Mi a NEUMANN-elv?
- E.11.3. Milyen szervezési elvet igényel egy *univerzális* hardver?
- E.11.4. Milyen *összetevőkből* épül fel egy univerzális, digitális rendszer?
- E.11.5. Mit tud a *vezérlőegységről*, mit tárol a mikroprogram-tár?
- E.11.6. Milyen műveleteket old meg egy ALU?
- E.11.7. Mire jó a FLAG-regiszter?
- E.11.8. Mit eredményez a programszámlálónál az *inkrementálás*, ill. *preszetelés*?
- E.11.9. Hogy történik a kiolvasási művelet a STACK-nel?
- E.11.10. Milyen fontosabb szektorokat (mezőket) ismer a memóriában?
- E.11.11. Mire jók az IO-egységek?
- E.11.12. Mi a *displacement*, milyen funkciói lehetnek?
- E.11.13. Mutassa be egy LDA CÍM típusú utasítás lefolyását a be rendezés HW összetevőin.
- E.11.14. Ismertesse a CALL CIMS utasítás végrehajtásának mozzanatait.
- E.11.15. Mutasson be egy *indexelt* címzést.
- E.11.16. Mi az az IMMEDIATE?
- E.11.17. Milyen elven címezhetőek az IO-egységek, és mi az a *memory mapped* címzés?
- E.11.18. Milyen lépések történnek az IN CIM IO utasítás folyamán?
- E.11.19. Mire jó az *ugráscím-táblázat*?
- E.11.20. Mire jó az EI utasítás és a DI utasítás?
- E.11.21. Milyen feladatokat old meg egy párhuzamos IO-egység?
- E.11.22. Milyen feladatokat old meg egy soros IO-egység?
- E.11.23. Mi a különbség a *parancs* és a *státusz* között?
- E.11.24. Milyen közvetlen kapcsolat szervezhető a memória és az IO-egységek között?
- E.11.25. Mi az a HOLD és a HLDA?
- E.11.26. Milyen lépésekből áll egy direkt PER → MEM átvitel?
- E.11.27. Mi az a TRAP egy CPU-nál?
- E.11.28. Milyen egy ROTATE utasítás?
- E.11.29. Milyen *prioritás-viszonyokat* ismer RST<sub>i</sub> utasításoknál?

# 12. GYAKORLÓ FELADATOK ÉS MEGOLDÁSAIK

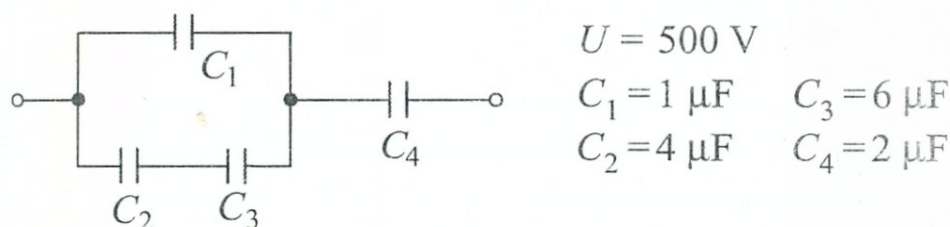


Az itt szereplő feladatok az egyes fejezetek tematikáihoz alkalmazkodó csoportosításban és sorrendben lettek összeállítva.

A \*-gal jelölt \*G. i. j. számozású feladatok megoldásai a rákövetkező pont F. i. j. jelű helyén található. Néhány egyszerűbbnek tekintett esettől eltekintve, valamennyi feladat megoldása kidolgozásra került.

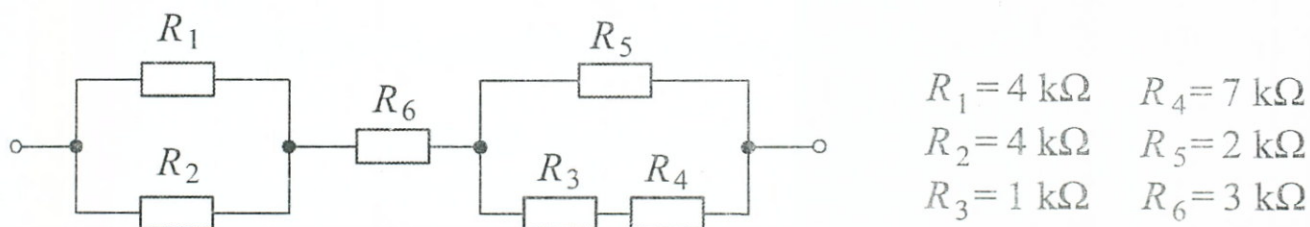
## 12.1.1. Gyakorló feladatok az 1. „Villamosság-tani alapok” c. fejezethez

- \*G.1.1. Határozzuk meg a 12-1. ábra kapacitás-együttesének eredőjét, valamint az egyes kapacitások feszültségeit és töltéseit:



12-1. ábra Kapacitív hálózat

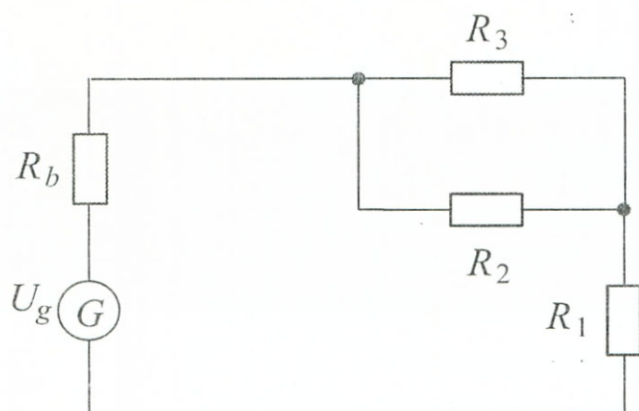
- \*G.1.2. Mekkora ellenállással helyettesíthető a 12-2. ábra-beli kapcsolás?



12-2. ábra Ellenállás hálózattal

- \*G.1.3. Határozzuk meg a 12-3. ábra hálózatában az  $R_3$  ellenálláson átfolyó áram nagyságát.

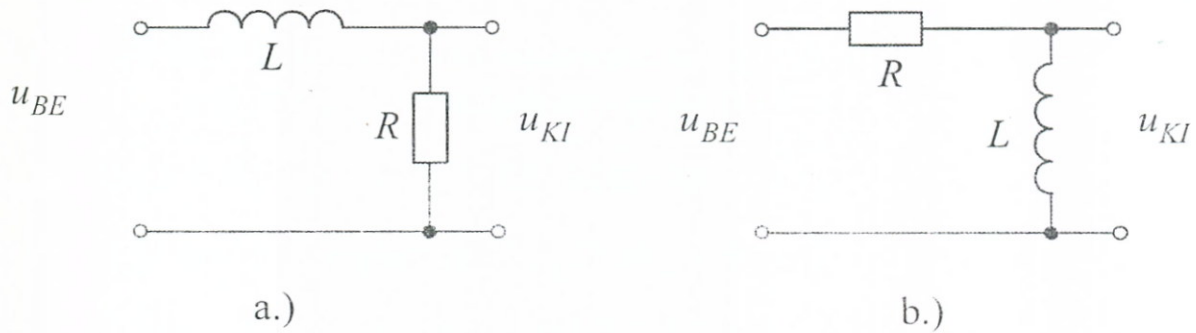




$$\begin{aligned}
 U_g &= 120 \text{ V} & R_1 &= 12 \Omega \\
 R_b &= 0,5 \Omega & R_2 &= 20 \Omega \\
 & & R_3 &= 40 \Omega
 \end{aligned}$$

12–3. ábra Ellenállásos áramkör

- \*G.1.4. Írjuk fel a G.1.3. példa hálózatának teljesítményviszonyait.
- \*G.1.5. Mekkora a tárolt energia egy  $10 \mu\text{F}$ -os kondenzátorban, ha  $6 \text{ kV}$  feszültséggel töltjük?
- \*G.1.6. Mekkora a tárolt energia egy  $0,6 \text{ H}$  induktivitású tekercsben, ha a rajta átfolyó áram  $800 \text{ mA}$ ?
- \*G.1.7. Mekkora az átfolyó áram és az egyes elemeken eső feszültség egy soros  $RC$  kapcsolásnál, ha  $R = 12 \text{ k}\Omega$ ,  $C = 0,2 \mu\text{F}$ , és a tápfeszültség  $U = 110 \text{ V}$ ,  $f = 50 \text{ Hz}$ ?
- \*G.1.8. Milyenek a teljesítményviszonyok egy soros  $RL$  áramkörnél, ha  $220 \text{ V}$ -os  $50 \text{ Hz}$ -es hálózatra kapcsoljuk?  $R = 50 \Omega$ , az induktív reaktancia:  $X_L = 100 \Omega$ . Állapítsuk meg  $L$  értékét, és végül írjuk fel a komplex impedanciát is.
- \*G.1.9. Rajzoljuk fel a vektorábrákat.
  - a) soros  $RL$
  - b) soros  $RC$
 kétpólusok esetén, szinuszos jellel feltételezve.
- \*G.1.10. Miként alakul az  $U_2$  feszültség az 1-54a. ábra négypólusánál, ha bekapcsoláskor a bemenetre  $U_1$  nagyságú ugrásfüggvény érkezik?
- \*G.1.11. Vizsgáljuk meg a 12-4. ábra négypólusait abból a szempontból, hogy melyikük használható alul, ill. felüláteresztőként, periódikus jelek esetén. Adjuk meg a frekvencia jelleggörbéket.

12-4. ábra  $LR, RL$  négyfókusok

\*G.1.12. Miként viselkednek a 12-4. ábra négyfókusai, ha a bemenetükre  $U_0$  nagyságú ugrásfüggvényt adunk?

## 12.1.2. Feladatmegoldások az 1. fejezethez

F.1.1. a) Az eredő kapacitás

Az 1-7a., és 1-7b. ábrákon összefoglalt soros- és párhuzamos eredőket jellemző formulák alapján írható  $C_2$  és  $C_3$  soros eredőjére:

$$\frac{1}{C_{2,3}} = \frac{1}{C_2} + \frac{1}{C_3}$$

ezt rendezve és behelyettesítve:

$$C_{2,3} = \frac{C_2 \cdot C_3}{C_2 + C_3} = \frac{4 \cdot 6}{4 + 6} = 2,4 \mu\text{F}$$

$C_1$  és  $C_{2,3}$  párhuzamos eredője:

$$C_{1,2,3} = C_1 + C_{2,3} = 1 + 2,4 = 3,4 \mu\text{F}$$

végül a teljes eredő kapacitásra felírva:

$$\frac{1}{C} = \frac{1}{C_{1,2,3}} + \frac{1}{C_4}$$

$$C = \frac{C_{1,2,3} \cdot C_4}{C_{1,2,3} + C_4} = \frac{3,4 \cdot 2}{3,4 + 2} = 1,26 \mu\text{F} = 1,26 \cdot 10^{-6} \text{ F}$$

- b) Az egyes kapacitásokon ébredő feszültséghez először kiszámítjuk az eredő töltést (1.8) alapján:

$$Q = C \cdot U = 1,26 \cdot 10^{-6} \cdot 500 = 6,3 \cdot 10^{-4} \text{ Coulomb}$$

Ezután  $C_4$  és  $C_{1,2,3}$  feszültségei:

$$U_4 = \frac{Q}{C} = \frac{6,3 \cdot 10^{-4}}{2 \cdot 10^{-6}} = 315 \text{ V}$$

$$U_{1,2,3} = 500 - 315 = 185 \text{ V}$$

Ez a feszültség lép fel az ábra bal oldali párhuzamos tagjának sarkain. Ezért

$$Q_1 = C_1 \cdot U_{1,2,3} = 1 \cdot 10^{-6} \cdot 185 = 185 \cdot 10^{-6} \text{ Coulomb}$$

$$Q_{2,3} = C_{2,3} \cdot U_{1,2,3} = 2,4 \cdot 10^{-6} \cdot 185 = 445 \cdot 10^{-6} \text{ Coulomb}$$

Végül  $C_2$  és  $C_3$ -ra felírva:

$$U_2 = \frac{Q_{2,3}}{C_2} = \frac{445 \cdot 10^{-6}}{4 \cdot 10^{-6}} = 111 \text{ V}$$

$$U_3 = U_{1,2,3} - U_2 = 185 - 111 = 74 \text{ V}$$

- F.1.2. Az eredő kiszámításához az 1-9. ábra formuláit használhatjuk fel.  $R_{1,2}$ -nél:

$$\frac{1}{R_{1,2}} = \frac{1}{R_1} + \frac{1}{R_2}$$

Rendezve és behelyettesítve kapjuk.

$$R_{1,2} = \frac{R_1 \cdot R_2}{R_1 + R_2} = \frac{4 \cdot 10^3 \cdot 4 \cdot 10^3}{4 \cdot 10^3 + 4 \cdot 10^3} = \frac{16 \cdot 10^6}{8 \cdot 10^3} = 2 \cdot 10^3 \Omega = 2 \text{ k}\Omega$$

Továbbá  $R_{3,4}$ -nél:

$$R_{3,4} = R_3 + R_4 = 1 \cdot 10^3 + 7 \cdot 10^3 = 8 \cdot 10^3 \Omega = 8 \text{ k}\Omega$$

$R_{3,4,5}$ -nél:

$$\frac{1}{R_{3,4,5}} = \frac{1}{R_{3,4}} + \frac{1}{R_5}$$

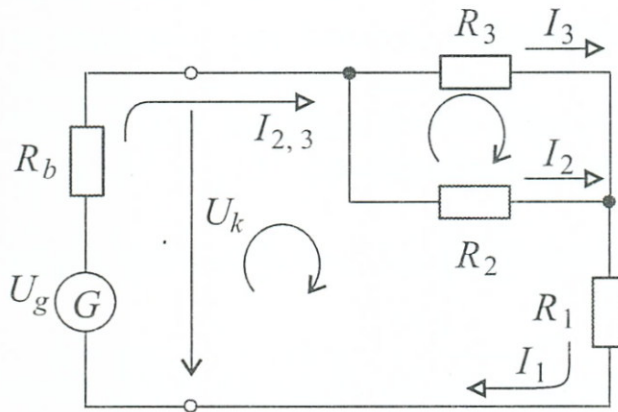
A rendezés után:

$$R_{3,4,5} = \frac{R_{3,4} \cdot R_5}{R_{3,4} + R_5} = \frac{8 \cdot 10^3 \cdot 2 \cdot 10^3}{8 \cdot 10^3 + 2 \cdot 10^3} = \frac{16 \cdot 10^6}{10 \cdot 10^3} = 1,6 \text{ k}\Omega$$

Végül az eredő:

$$R = R_{1,2} + R_6 + R_{3,4,5} = 2 + 3 + 1,6 = 6,6 \text{ kW}$$

F.1.3. a) A megoldás első lépéseként fel kell venni az áramok és feszültségek mérőirányait, ez a 12-5. ábrán látható:



12-5. ábra Méréirányok

b) Az  $I_1$ ,  $I_2$ ,  $I_3$  ismeretlenek száma három, megoldásukhoz a 1-12., és 1-13. ábrák csomóponti és hurok-törvényeit használhatjuk fel. (Kirchhoff-törvények) A felvett mérőirányok alapján felírható a következő egyenletrendszer:

$$I_2 + I_3 + I_1 = 0 \quad (I_1 = I_{2,3})$$

$$I_3 \cdot R_3 - I_2 R_2 = 0 \quad (I_2 \text{ szembe folyik a felvett hurokiránnyal})$$

$$-U_g + I_1 \cdot R_b + I_2 \cdot R_2 + I_1 \cdot R_1 = 0 \quad (I_{2,3} = I_1)$$

c) Mivel a feladat  $I_3$  értékének kiszámítása erre, mint ismeretlenre megoldjuk az egyenletrendszert és kifejezzük belőle  $I_3$ -at. Áramkörünk esetében (a részletezett lépéseket mellőzve) és a behelyettesítéseket elvégezve adódik:

$$I_3 = \frac{R_2 \cdot U_g}{(R_1 + R_b)(R_2 + R_3) + R_2 \cdot R_3} = \frac{20 \cdot 120}{(12 + 0,5)(20 + 40) + 20 \cdot 40} = 1,55 \text{ A}$$

Természetesen ugyanez az eredmény adódott volna, ha az egyes eredő ellenállásokkal és az Ohm-törvénnyel számolunk.

- F.1.4. A teljesítményviszonyok jellemzéséhez az (1.34) formulát használhatjuk fel. Például az  $R_3$  ellenálláson leadott teljesítmény:

$$P_3 = I_3^2 \cdot R_3 = 1,55^2 \cdot 40 = 96,1 \text{ W}$$

A többi ellenálláshoz tartozó teljesítmények hasonló módon számíthatók.

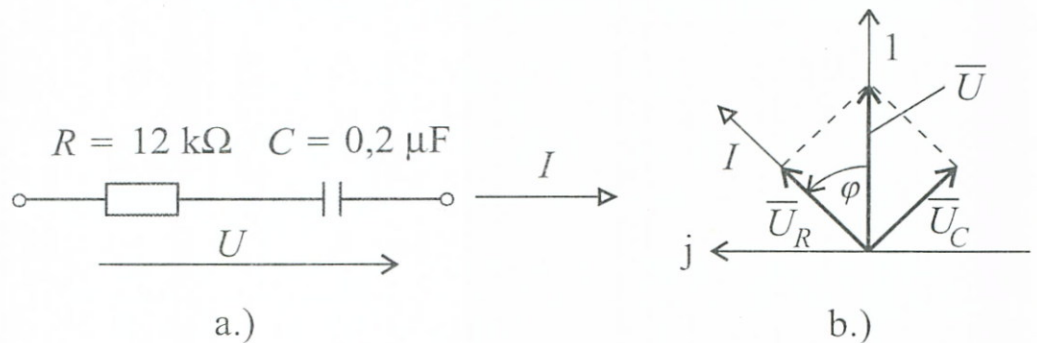
- F.1.5. A kondenzátor tárolt energiája az (1.13) összefüggésekkel számolható. Esetünkben:

$$W = \frac{1}{2} C U^2 = \frac{1}{2} 10 \cdot 10^{-6} \cdot (6 \cdot 10^3)^2 = 180 \text{ Ws}$$

- F.1.6. A tekercsben tárolt energia az (1.64) összefüggéssel számolható. Esetünkben:

$$W = \frac{1}{2} L I^2 = \frac{1}{2} \cdot 0,6 (800 \cdot 10^{-3})^2 = 0,192 \text{ Ws}$$

- F.1.7. A soros  $R$ - $C$  kapcsolást felrajzoltuk a 12-6a. ábrán:



12-6. ábra  $RC$  kapcsolat

A kapcsoláson mérhető feltételezeten szinuszos feszültséggel kapcsolatos összefüggéseket az (1.104) és (1.105) kifejezésekből olvashatjuk ki. Ezekből az eredő impedancia ( $\omega = 2\pi f$  helyettesítéssel):

$$\bar{Z} = R + \frac{1}{j\omega C} = 12 \cdot 10^3 + \frac{1}{j2\pi \cdot 50 \cdot 0,2 \cdot 10^{-6}} \Omega$$

A komplex számokra összefoglalt 1.4.4. fejezet-beli összefüggések felhasználásával, továbbá a második tagban a számlálót és nevezőt  $-j$ -vel megszorozva, a számolások elvégzése után kapjuk az eredő impedancia komplex vektorát kanonikus alakban:

$$\bar{Z} = a + jb = R + jX_c = 12 \cdot 10^3 - j15,9 \cdot 10^3 \Omega$$

És mint ismeretes, egy komplex vektor abszolút értéke az 1-33. ábra formuláiból kiolvashatóan:

$$Z = |\bar{Z}| = \sqrt{a^2 + b^2} = \sqrt{12^2 + (-15,9)^2} \cdot 10^3 = 20 \cdot 10^3 \Omega$$

A fázisszög ugyancsak az 1-33. ábra segítségével:

$$\varphi = \arctg \frac{b}{a} = \arctg \frac{-15,9}{12} = -55^\circ$$

Ennyivel „siet” az áramerősség a feszültséghez képest. Az áramerősség effektív értéke (1.105) figyelembevételével:

$$I = \frac{U}{Z} = \frac{110}{20 \cdot 10^3} = 5,5 \cdot 10^{-3} \text{ A} = 5,5 \text{ mA}$$

Az  $R$  ellenálláson fellépő feszültség:

$$U_R = RI = 12 \cdot 10^3 \cdot 5,5 \cdot 10^{-3} = 66 \text{ V}$$

Ez az árammal fázisban van és az  $U$  kapocsfeszültséghez képest ez is „siet”  $55^\circ$ -kal.

A  $C$  kondenzátoron fellépő feszültség:

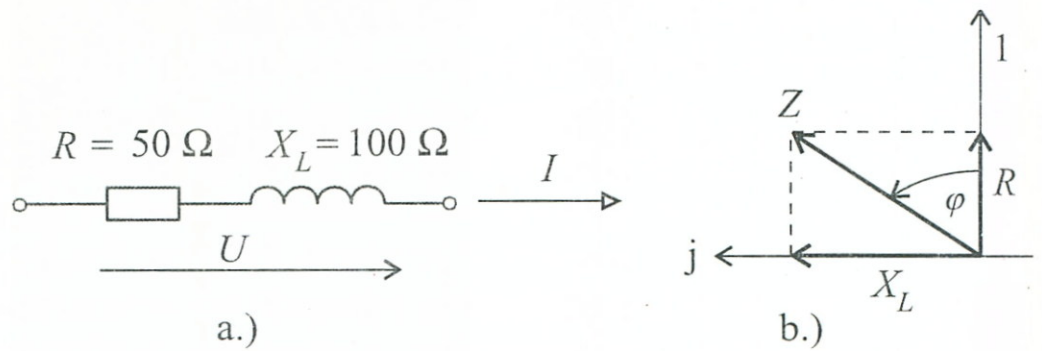
$$U_C = X_C \cdot I = 15,9 \cdot 10^3 \cdot 5,5 \cdot 10^{-3} = 87,5 \text{ V}$$

Ez az áramhoz képest  $90^\circ$ -kal „késik”, így a kapocsfeszültséghez képest  $90^\circ - 55^\circ = 35^\circ$ -kal „késik”.

Az elmondottak jobb szemléltetésére a 12-6b. ábrán (nem léptékhelyesen) felrajzoltuk a hálózat vektordiagramját is.

F.1.8. A soros  $R$ - $L$  kapcsolást felrajzoltuk a 12-7a. ábrán:

A teljesítményviszonyokra az (1.110), (1.113), (1.114) formulák az irányadók szinuszos jelek esetén.



12-7. ábra *RL* kapcsolás

Először kiszámítjuk az eredő impedanciát:

$$\bar{Z} = R + jX_L = 50 + j100 \Omega$$

Az abszolútérték:

$$Z = \sqrt{R^2 + X_L^2} = \sqrt{50^2 + 100^2} \approx 112 \Omega$$

Az áram:

$$I = \frac{U}{Z} = \frac{220}{112} = 1,97 \text{ A}$$

A  $\cos \varphi$  értéke:

$$\cos \varphi = \frac{R}{Z} = \frac{50}{112} \approx 0,447 \quad (\varphi = 63^\circ 30')$$

$$\sin \varphi = \frac{X_L}{Z} \approx 0,894$$

Ezekből az egyes teljesítmények:

Látszólagos:

$$S = U \cdot I = 220 \cdot 1,97 = 433 \text{ VA}$$

Hatásos:

$$P = U \cdot I \cdot \cos \varphi = S \cdot \cos \varphi = 433 \cdot 0,447 = 194 \text{ W}$$

Meddő:

$$Q = U \cdot I \cdot \sin \varphi = S \cdot \sin \varphi = 433 \cdot 0,89 = 387 \text{ W}$$

Végezetül számítsuk ki az  $L$  értékét.

$$\text{Mivel: } X_L = \omega L = 2\pi fL$$

$$L = \frac{X_L}{2\pi f} = \frac{100}{2\pi \cdot 50} = \frac{1}{\pi} \text{ H}$$

Az impedancia-vektorok a 12-7b. ábrán tanulmányozhatók.

F.1.9. a) Soros  $R$ - $L$  hálózatoknál az impedancia:

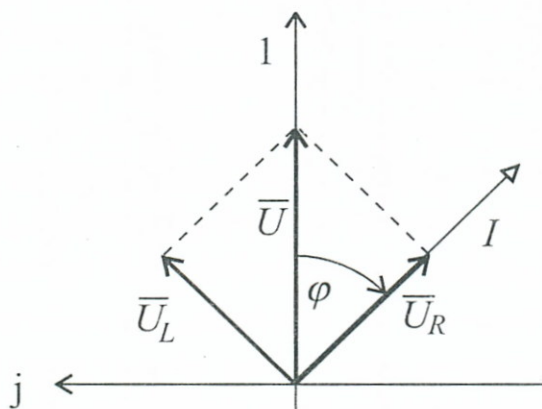
$$\bar{Z} = R + jX_L = R + j\omega L$$

a feszültségek:

$$\bar{U} = \bar{Z} \cdot \bar{I} = R\bar{I} + j\omega L \cdot \bar{I} = \bar{U}_R + \bar{U}_L$$

Itt  $\bar{U}_R$  fázisban van az árammal, vektora egybeesik az áram irányával.  $\bar{U}_L$  az áramhoz képest  $90^\circ$ -kal siet (az áram a feszültséghez képest késik).  $\bar{U}_R$  és  $\bar{U}_L$  eredője  $\bar{U}$   $90^\circ$ -nál kisebb szöggel siet az áramhoz képest.

Az elmondottaknak megfelelő vektor ábrát a 12-8. ábra mutatja.



12-8. ábra Vektorábra

b) A soros  $RC$  viszonyait a 12-6b. ábrán már felrajzoltuk.

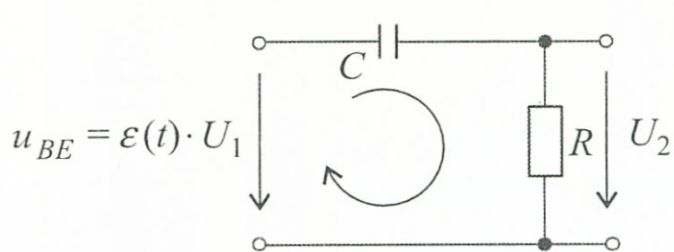
F.1.10. A példában vizsgálandó négy-pólust a 12-9a. ábrán rajzoltuk fel, feltüntetve a bemeneti ugrásfüggvényt is:

Az (1.79), (1.82) összefüggések felhasználásával felírható egy hurokegyenlet:

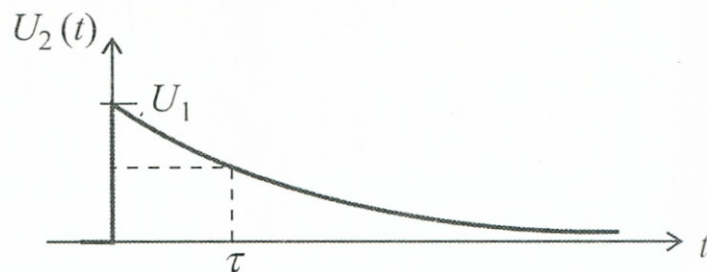
$$\frac{1}{C} \int_0^t i(v) dv + Ri - \varepsilon(t)U_1 = 0$$

(A felírásnál töltetlen kondenzátort tételeztünk fel,  $Q_0 = 0$ )





a.)



b.)

## 12–9. ábra CR tag

A kapott integro-differenciálegyenletet klasszikus úton megoldva megkaphatjuk az áram időbeli változását leíró függvényt.

Ennek érdekében mindkét oldalt differenciálva, az integráljel eltűnésével egyidejűleg kapjuk:

$$\frac{1}{C}i + R \frac{di}{dt} = 0$$

A változók szétválasztása után, ezt átrendezve,  $RC = \tau$  helyettesítéssel:

$$\frac{di}{i} = -\frac{1}{\tau} dt$$

Mindkét oldalt integrálva és figyelembevéve a matematikából ismert, itt felmerülő alapintegrálokat, felírható:

$$\int \frac{1}{i} di = -\frac{1}{\tau} \int 1 \cdot dt$$

$$\ln i = -\frac{1}{\tau} t + k$$

azaz:

$$i(t) = e^{-\frac{1}{\tau}t+k} = e^k \cdot e^{-\frac{1}{\tau}t}$$

A határozatlan integrálból eredő  $k$  konstans meghatározására felhasználhatjuk az alábbi kezdeti feltételt,  $t = +0$  pillanatra,  $t = 0$  behelyettesítésével:

$$I_o = \frac{U_1}{R} = i(+0) = e^k \cdot e^{-\frac{1}{\tau} \cdot 0} = e^k \cdot 1 = e^k$$

ezt visszahelyettesítve az  $i(t)$  függvénybe:

$$i(t) = \frac{U_1}{R} \cdot e^{-\frac{t}{\tau}}$$

A példában kért  $U_2$  kimeneti feszültség az  $R$  ellenállás sarkain mérhető:

$$U_2 = u_R = R \cdot i(t)$$

Ide behelyettesítve az áramot a kérdéses kimeneti feszültség:

$$u_{ki}(t) = U_2 = u_R = R \cdot \frac{U_1}{R} \cdot e^{-\frac{t}{\tau}} = U_1 \cdot e^{-\frac{t}{\tau}}$$

A kimeneti feszültség időbeli alakulását a 12-9b. ábrán rajzoltuk fel.

A matematikai úton nyert eredményt egyszerű megfontolásokkal ellenőrizhetjük: A  $t = +0$  pillanatban a töltetlen kondenzátorba akadálytalanul áramolhatnak a töltések, a kondenzátor „rövidzárként” viselkedik, így az  $R$  ellenállás sarkain a teljes bemenő feszültség megjelenik. A töltődés során a kondenzátor egyre jobban „ellenáll” a töltésáramlásnak, nő a rajta eső feszültség, miközben az  $R$  ellenállás sarkain folyamatosan csökken a 12-9b. ábrán ellenőrizhető módon.

A feladat rokonságban áll az 1.16. példával.

- F.1.11. A feladatok megoldása azonos lépésekben történik, mint az 1.22. Példa, ill. az 1.23. Példa történései, így a további részletektől eltekintünk. A lényeges különbség, hogy az induktív reaktancia:

$$X_L = \omega L$$

növekvő frekvencia esetén növekvő-, csökkenő frekvencia esetén csökkenő, egyenáramnál pedig nulla-ellenállásként viselkedik.

Emiatt az  $RL$  tag felüláteresztő, az  $LR$  tag aluláteresztő jellegű.

F.1.12. A feladatmegoldásnál támpontul szolgálhatnak az 1.24. Példa, ill. 1.25. Példa lépései, ezért itt nem bocsátkozunk részletekbe. A lényeges különbség az operátoros impedanciánál van, mivel itt induktivitás szerepel a kapacitás helyett, ezért:

$$Z(s) = R + sL$$

továbbá:  $\tau = \frac{L}{R}$  az időállandó

E változások alapján számolva, végül kiadódik, hogy az

$RL$  differenciáló  $(\tau < 1)$

$LR$  integráló  $(\tau > 1)$

négypólusként viselkedik.

## 12.2.1. Gyakorló feladatok

## a 2. „Logikai rendszerleírás alapjai” c. fejezethez

\*G.2.1. Rajzoljunk fel példákat analóg jelekre.

\*G.2.2. Rajzoljunk fel példákat digitális jelekre.

\*G.2.3. Adva a következő igazságtáblázat:

a) Írjuk fel az függvényt

– diszjunktív és

– konjunktív

kanonikus alakban.

b) Ábrázoljuk a diszjunktív alakot VENN diagramon és V–K táblán.

c) Adjuk meg a konjunktív alak duálját.

d) Írjuk fel az függvényt a két kanonikus alakban.

e) Számítsuk ki a függvény K sorszámát.

$C$	$B$	$A$	$Y$
0	0	0	0
0	0	1	1
0	1	0	1
0	1	1	0
1	0	0	1
1	0	1	1
1	1	0	0
1	1	1	1

\*G.2.4. Bizonyítsuk be, hogy az:

## ANTIVALENCIA - ÉS

függvénycsoport funkcionálisan teljes. A bizonyításnál felhasználhatjuk, hogy a NEM-ÉS-VAGY rendszer bizonyítottan funkcionálisan teljes.

G.2.5. Igazoljuk a tanult módszerek bármelyikével, hogy fennállnak a következő algebrai összefüggések:

a)  $X \oplus 0 = X$

b)  $X \oplus 1 = \bar{X}$

c)  $X \oplus X = 0$

d)  $X \oplus \bar{X} = 1$

e)  $X \oplus Y = \overline{X \cdot Y}$

f)  $(X \oplus Y) \oplus Z = X \oplus (Y \oplus Z) = X \oplus Y \oplus Z$

g)  $\overline{X \cdot (Y \oplus Z)} = \overline{X \cdot Y \oplus X \cdot Z}$

h)  $\overline{X \oplus Y} = \overline{X \oplus \bar{Y}} = \bar{X} \oplus Y = X \cdot Y + \bar{X} \cdot \bar{Y}$

i)  $X \oplus Y = X \cdot \bar{Y} + \bar{X} \cdot Y$

$$j) X \equiv Y = (X + \bar{Y}) \cdot (\bar{X} + Y)$$

$$k) X \oplus Y = (X + Y) \cdot (\bar{X} + \bar{Y})$$

$$l) X \oplus Y = (X|\bar{Y})|(\bar{X}|Y)$$

$$m) X \oplus Y = (X||Y)||(\bar{X}||\bar{Y})$$

$$n) X \equiv Y = (X|Y)|(X|\bar{Y})$$

$$o) X \equiv Y = (X||\bar{Y})||(\bar{X}||Y)$$

\*G.2.6. Igazoljuk a következő BOOLE algebrai azonosság helyességét:

a) - táblázatosan

b) VENN diagrammal

$$XY + \bar{X}Z + YZ = XY + \bar{X}Z$$

\*G.2.7. Keressük meg az alábbi függvény

$$Y = ABC + DEF$$

SHEFFER (NAND) szimbólumokkal megadható logikai vázlatát.

\*G.2.8. Adva a következő ÉS–VAGY struktúrájú függvény:

$$Y = (A + B) \cdot (\bar{A} + C)$$

a) Adjuk meg logikai vázlatát.

b) Alakítsuk át VAGY–ÉS struktúrájúvá és adjuk meg ennek az alaknak is a logikai vázlatát.

c) Állítsuk elő az igazságtáblázatot.

G.2.9. Az előző példabeli függvényénél:

a) Adjuk meg a logikai vázlatot kizárólag NAND elemek segítségével.

b) Adjuk meg a logikai vázlatot kizárólag NOR elemek segítségével.

G.2.10. Adva a következő logikai függvény:

$$Y = \sum^4 (1,4,5,8,9,12,13)$$

a) Keressük meg a diszjunktív minimál alakot.

b) Állítsuk elő a konjunktív minimál alakot.

\*G.2.11. Adva a következő logikai függvény:

$$Y = \prod (2^h, 4^h, 5, 6, 7, 9, 11, 12, 15)$$

- Írjuk fel a minimál alakokat.
- Soroljuk fel a konjunktív minimál alaknál felhasznált implikánsokat.

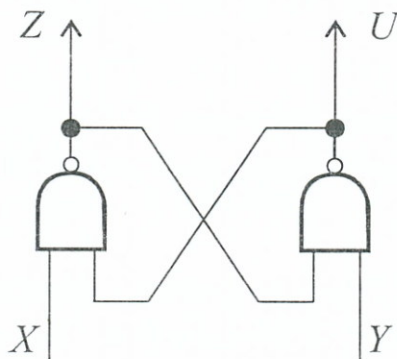
\*G.2.12. Határozzuk meg a következő két függvény ekvivalenciájá-ként előállított eredő függvényt:

$$Y_1 = F_I^4(D, C, B, A) = \sum (1, 3, 5, 7, 9, 11, 12, 14)$$

$$Y_2 = F_{II}^4(D, C, B, A) = \sum (2, 3, 4, 5, 8, 9, 12, 13)$$

majd írjuk fel a legegyszerűbb algebrai alakban.

\*G.2.13. Vizsgáljuk meg, hogy realizálható-e egy inverz SR tároló-elem a 12-10. ábra-beli hálózattal:



**12–10. ábra** Keresztbecsatolt NAND hálózatok

\*G.2.14. Vizsgáljuk meg, miként lehetne  $J$ – $K$  tárolóból:

- $D$  - típusú
  - $T$  - típusú
  - $S$ – $R$  - típusú
- tárolóelemet előállítani.

## 12.2.2. Feladatmegoldások a 2. fejezethez

F.2.1. Hasonló ábrák láthatók a 2-1a. ábrán.

F.2.2. Hasonló ábrák láthatók a 2-1b. ábrán.

F.2.3. ad. a.) A (2.7) megállapításból kiindulva az  $Y = 1$ -es sorokat ÉS term-ként értelmezve, ezek összege adja a diszjunktív alakot:

$$\begin{aligned} Y &= \bar{C} \cdot \bar{B} \cdot A + \bar{C} \cdot B \cdot \bar{A} + C \cdot \bar{B} \cdot \bar{A} + C \cdot \bar{B} \cdot A + C \cdot B \cdot A = \\ &= E_1^3 + E_2^3 + E_4^3 + E_5^3 + E_7^3 = \\ &= \sum^3 (1,2,4,5,7) \end{aligned}$$

A konjunktív alakot a táblázatból közvetlenül a (2.8) megállapítás alapján írhatjuk fel, az  $Y = 0$ -ás soroknál a „0”-ákkal értelmezett VAGY term-ek szorzataként.

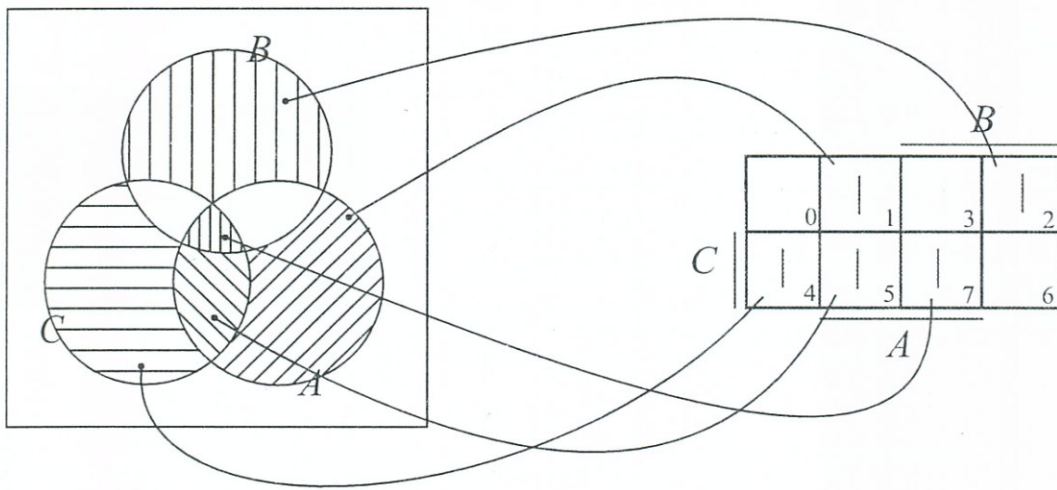
$$\begin{aligned} Y &= (C + B + A)(C + \bar{B} + \bar{A})(\bar{C} + \bar{B} + A) = \\ &= V_7^3 \cdot V_4^3 \cdot V_1^3 = \prod^3 (1,4,7) \end{aligned}$$

ad. b) A VENN, ill. V–K táblákat a 12-11a., ill. 12-11b. ábrák mutatják.

Az előzőleg felírt konjunktív alakot a maxterm táblából (12-11c. ábra) ellenőrizhetjük, ezt a (2.11) megállapítás alapján rajzoltuk fel.

ad. c) A konjunktív alak *duál*-ját a (2.6) összefüggés alapján írjuk fel:

$$\begin{aligned} F_K^D &= [(C + B + A) \cdot (C + \bar{B} + \bar{A}) \cdot (\bar{C} + \bar{B} + A)]^D = \\ &= \overline{(C + B + A) \cdot (C + \bar{B} + \bar{A}) \cdot (\bar{C} + \bar{B} + A)} = \\ &= \bar{C} \cdot \bar{B} \cdot \bar{A} + C \cdot B \cdot A \end{aligned}$$



a.)

b.) *minterm*c.) *maxterm*

	<i>B</i>			
	0	1	3	2
<i>C</i>	4	5	7	6
	<i>A</i>		<i>A</i>	

**12–11. ábra** VENN és V–K ábrázolás

ad. d) A két kanonikus alak negáltját mind az igazságtáblázatból, mind a V–K táblák 0-ás term-jeinek eredőjeként felírhatjuk.

$$\bar{Y}_{DISZJ.} = \sum^3(0,3,6)$$

$$\bar{Y}_{KONJ.} = \prod^3(0,2,3,5,6)$$

ad. e) A függvény index-számát a 2.5. Példa tapasztalatai alapján számíthatjuk ki az igazságtáblázat  $Y$  értékeiből képzett bináris számból:

$$\begin{aligned} K &= 10110110_2 = 1 \cdot 2^7 + 1 \cdot 2^5 + 1 \cdot 2^4 + 1 \cdot 2^2 + 1 \cdot 2^1 = \\ &= 128 + 32 + 16 + 4 + 2 = \\ &= 182_{10} \end{aligned}$$

$$Y = F_{182}^3(C, B, A)$$



F.2.4. A bizonyításnál feltételezzük, hogy a NEM-ÉS-VAGY rendszer funkcionálisan teljes. Ezután, ha ki tudjuk fejezni a fentieket ANTIVALENCIA-ÉS rendszerben, akkor ezt a rendszert is funkcionálisan teljesnek tekinthetjük.

- ÉS művelet: már eleve adva van az új rendszerben
- NEM művelet: Ez az ANTIVALENCIA-val kifejezhető, de csak akkor, ha még hozzávesszük az  $F_3^1$  (2-8. ábra) „1” forrásfüggvényt:  $F_3^1 = 1$ , ekkor:

$$\bar{X} = 1 \oplus X$$

- VAGY művelet: Ezt részletezni már nem is szükséges, mivel a VAGY a DE MORGAN azonosság (2-12a. ábra 9. formula) segítségével kifejezhető az ÉS, ill. NEM műveletekkel.

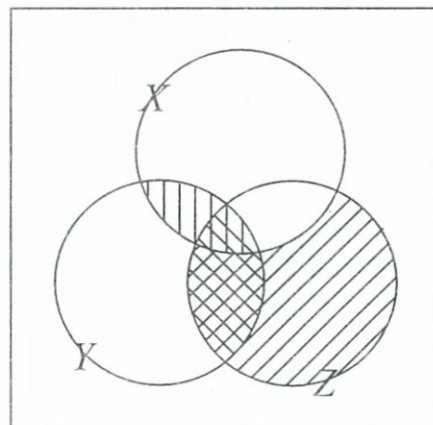
A végső konklúzió: funkcionálisan teljes az:

ANTIVALENCIA-ÉS-”1”

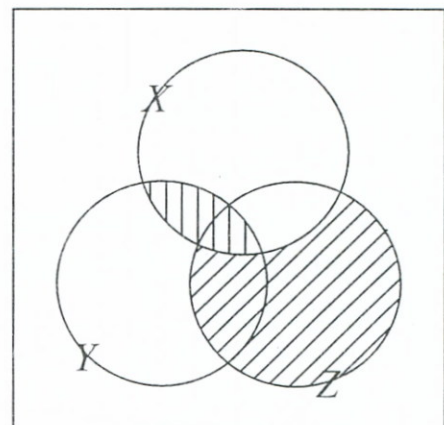
rendszer.

$X$	$Y$	$Z$	$\bar{X}$	$XY$	$\bar{X}Z$	$YZ$	Bal oldal	Jobb oldal
0	0	0	1	0	0	0	0	0
0	0	1	1	0	1	0	1	1
0	1	0	1	0	0	0	0	0
0	1	1	1	0	1	1	1	1
1	0	0	0	0	0	0	0	0
1	0	1	0	0	0	0	0	0
1	1	0	0	1	0	0	1	1
1	1	1	0	1	0	1	1	1

a.)



Bal oldal



Jobb oldal

b.)

$$XY + \bar{X}Z + YZ = XY + \bar{X}Z \text{ igazolása}$$

12-12. ábra

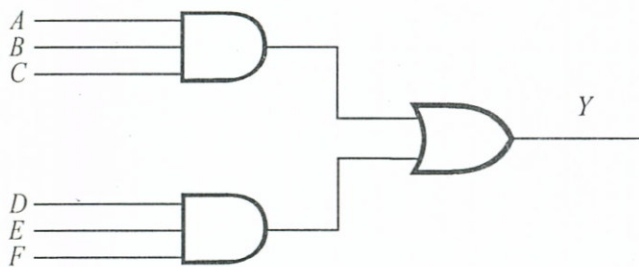
F.2.6. A táblázatos, ill. grafikus igazolást lépésenként a 12-12a., ill. 12-12b. ábrán követhetjük, külön elvégezve a műveleteket az azonosság bal, ill. jobb oldalán.

A VENN diagramból jól látható, hogy a baloldalon az  $X \cdot Y \cdot Z$  jelű középső mező és a mellette lévő  $X \cdot Y \cdot Z$  mező *kettőzötten túlfedett*, melyet az  $Y \cdot Z$  szorzat okoz, így az elhagyható. A szabályt fenti tulajdonság miatt *abszorpciós szabálynak* is nevezik.

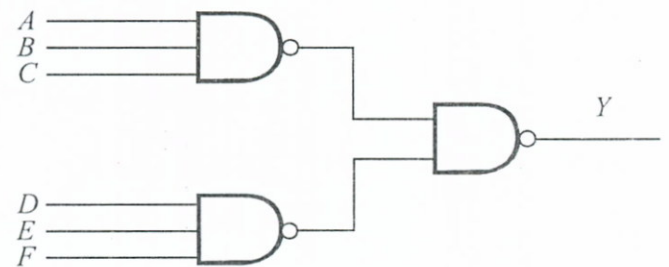
F.2.7. Felírva és alkalmazva a 2-12b. ábra 24a. formuláját:

$$X \cdot Y \cdot Z + U \cdot V \cdot W = (X|Y|Z)|(U|V|W)$$

közvetlenül felrajzolható a 12-13a. ábrával jellegében hasonló struktúrát mutató 12-13b. ábra szerinti megoldás



a.)



b.)

**12–13. ábra** ÉS - VAGY és NAND - NAND rokonság

F.2.8. Alkalmazva a 2-12a. ábra 12. formuláját, felírható:

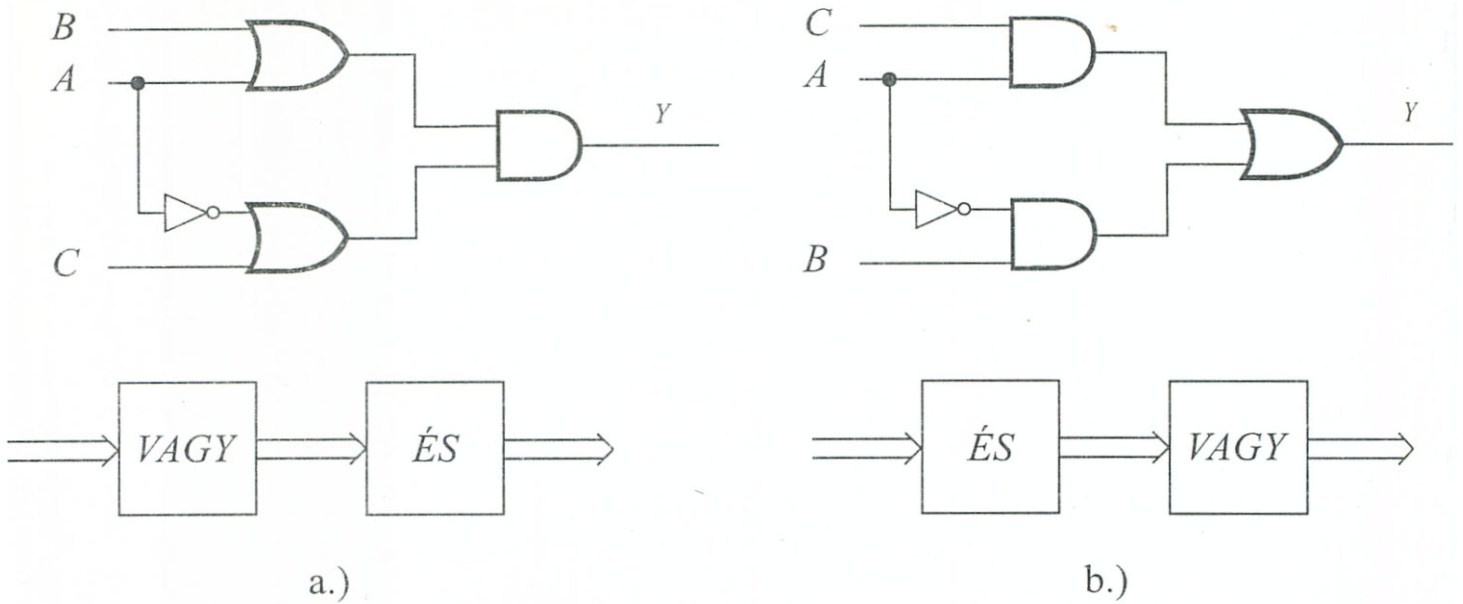
$$(A + B)(\bar{A} + C) = A \cdot C + \bar{A} \cdot B$$

itt a baloldal ÉS-VAGY struktúrájú, a jobboldal VAGY-ÉS struktúrájú. A logikai vázlatok a 12-14. ábrán láthatók.

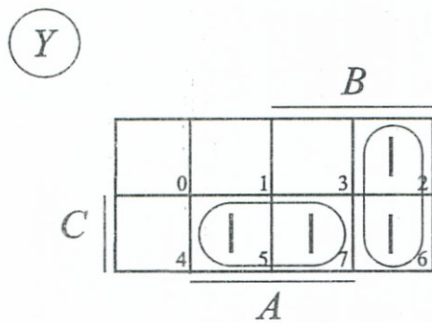
Az igazságtáblázatot a diszjunktívva alakított formula tömbjeinek minterm táblába történő berajzolása után oldhatjuk meg. A minterm táblát a 12-15a. ábrán, a belőle kiolvasható logikai táblázatot a 12-15b. ábrán rajzoltuk fel:

F.2.11. Felrajzolva a máxterm táblát a kiinduló konjunktív alak segítségével, majd a 2.2.4. pont felhasználásával a minterm táblát, ezekből - tömbösítés után - leolvashatók a minimál

12. Gyakorló feladatok és megoldásaik



12–14. ábra Struktúraváltás



$m_i$	C	B	A	Y
0	0	0	0	0
1	0	0	1	0
2	0	1	0	1
3	0	1	1	0
4	1	0	0	0
5	1	0	1	1
6	1	1	0	1
7	1	1	1	1

a.)

b.)

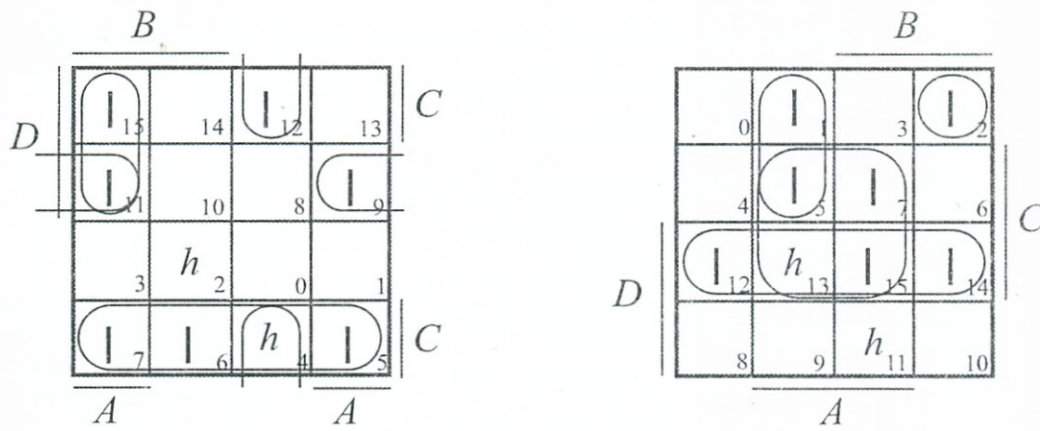
12–15. ábra V–K tábla és igazságtáblázat

alakok, melyek összetevői egyben a kérdéses implikánsok. (12-16. ábra)

F.2.12. A megoldást négyváltozós V–K táblákkal kell elvégezni, a 2. fejezet 2.7. Példa e.) változatával megegyező módon.

F.2.13. Írjuk fel például a Z kimenetet algebrai alakban az ábra alapján:

$$Z' = X|U = X|(Y|Z) = X \cdot \overline{\overline{Y \cdot Z}}$$



Konjunktív

Diszjunktív

$$Y_{KONJ.} = (\bar{D} + C) \cdot (D + B + A) \cdot (C + \bar{B} + \bar{A}) \quad (D + \bar{C} + A)$$

$$Y_{DISZJ.} = D \cdot C + C \cdot A + \bar{D} \cdot \bar{B} \cdot A + \bar{D} \cdot \bar{C} \cdot B \cdot \bar{A}$$

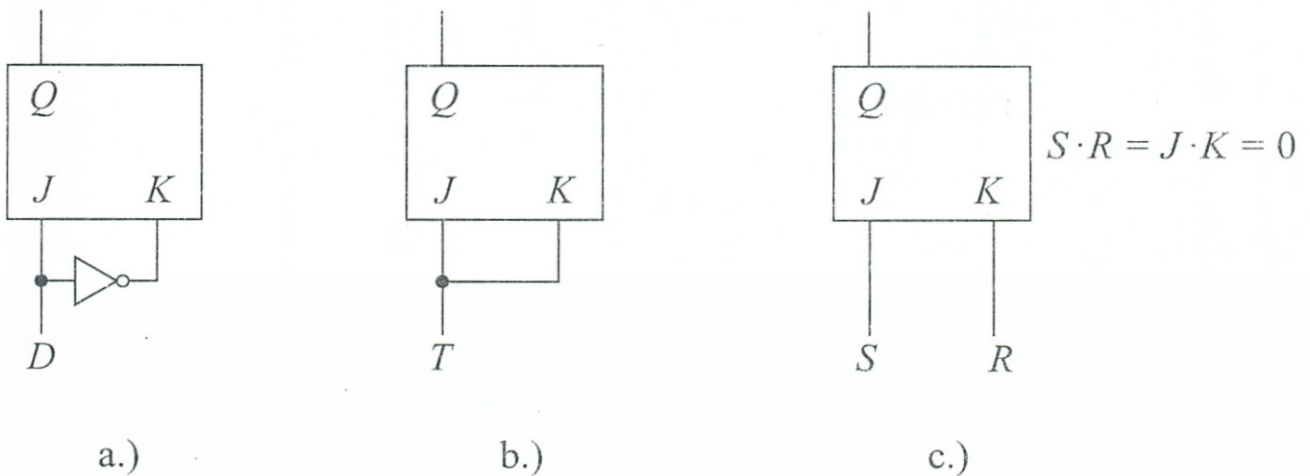
12-16. ábra Minimál alakok

$$Z' = \bar{X} + Y \cdot Z$$

Ez összhangban van a 2-26. ábrával, tehát az inverz S-R egy realizációs esetének tekinthető.

F.2.14. Összehasonlítva a 2-25. ábrán látható J-K definíciós táblázatot:

a) esetben a D tárolóéval, észrevehető, hogy:  $J = \bar{K} = D$  megvalósításával a J-K táblázat 2. és 3. sorát állítottuk be, ami egyeznek a D táblázattal.



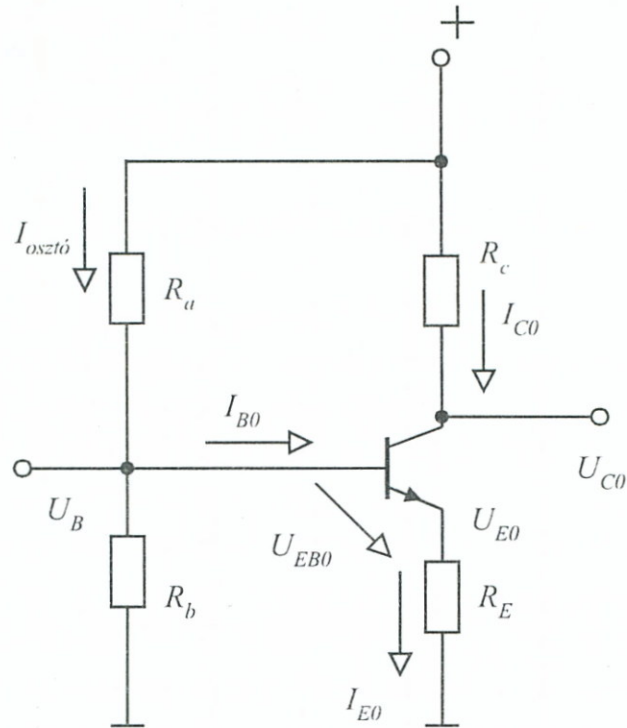
12-17. ábra D, T, S-R leszármaztatása J-K-ból

- b) esetben a  $T$  tárolóéval, észrevehető, hogy:  $J = K = T$  megvalósításával a  $J-K$  táblázat 1. és 4. sorát állítottuk be, ami egyezik a  $T$  táblázattal.
- c) esetben az  $S-R$  tárolóéval, észrevehető, hogy csak le kell tiltani az  $S = R = 1$  esetet és akkor a  $J-K$ ,  $S-R$ -ré válik.

Az elmondottakat áramkörileg a 12-17. ábra szemlélteti

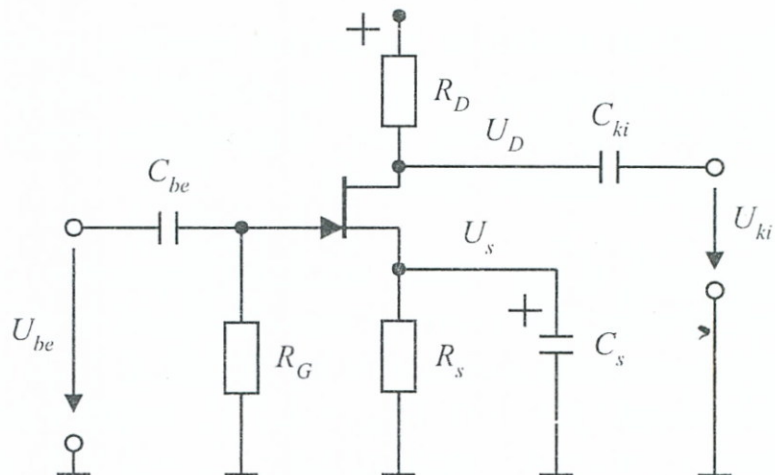
### 12.3.1. Gyakorló feladatok a 3. „Elektronikus áramkörök építőelemei” c. fejezethez

- \*G.3.1. Egy  $D = 10$  mm átmérőjű porcelán hengerre, nem bifilárisan  $l = 40$  mm hosszon,  $N = 100$  menetnyi ellenálláshuzal van feltekercselve. Az ellenálláshuzal átmérője  $d = 0,25$  mm, fajlagos ellenállása  $\rho = 0,5$  ohm mm<sup>2</sup>/m. Vizsgáljuk meg, hogy mekkora az ellenállás ennél a *huzalellenállásnál* egyenáram, ill. 50 Hz-es váltóáram esetén.
- \*G.3.2. Egy ohmos ellenállásnál felismerhetetlenné vált a külső gyűrűs jelölés. Bemérés után  $R = 187,3$  k $\Omega$  ellenállás-érték adódott. Mi lehetett az eredeti színkódos jelölés?
- \*G.3.3. Adva egy  $C_{max} = 300$  pF-es forgókondenzátor, mely 1:10 arányban változtatható. Milyen  $\nu$  kapacitásviszony állítható be, ha vele  $C_F = 300$  pF-es fix kondenzátort kapcsolunk:  
 a) párhuzamosan  
 b) sorosan
- \*G.3.4. Alakítsunk ki olyan diódás hálózati egyenirányítót, amely a 3-33. ábra egyenirányítójánál annyival jobb, hogy mindkét szinusz félhullámot hasznosítja.
- \*G.3.5. A Zener-diódákkal foglalkozó fejezet (3.20) összefüggésével kapcsolatosan láttuk, hogy  $|U_{ZJ}| = 5,7$  V feszültség alatt a hőfoktényező negatív, felette pozitív viselkedésű. Vizsgáljuk meg, hasznosítható-e ez a tény hőstabilizálásra.
- \*G.3.6. Egy földelt emitteres kapcsolású bipoláris tranzisztor kollektor ellenállásaként egy  $L$  induktivitású tekercs van beiktatva, vizsgáljuk meg, hogy kapcsolóüzem mód esetén, itt milyen problémák lépnek fel.
- \*G.3.7. Végezzük el egy földelt emitteres kapcsolású bázisosztóval, és emitterkörüli soros visszacsatolással rendelkező bipoláris tranzisztor munkapont-beállítását. (12-18. ábra) Kiinduló adatok:  $\beta = 100$ ,  $U_{EBO} = 0,5$  V, beállítandó kollektor áram  $I_{co} \approx 1$  mA, tápfeszültség:  $U_+ = 12$  V és az emitterpont feszültsége  $U_{EO} = 1$  V körül legyen. A bázisosztó áramát  $I_o \geq 10I_{Bo}$ -ra állítsuk be.



12–18. ábra Munkapontbeállítás bipoláris kapcsolásnál

- \*G.3.8. Számítsuk ki egy földelt kollektoros fokozat bemenő- és ki-  
menő ellenállását, ha  $\beta = 300$ ,  $R_E = 3 \text{ k}\Omega$  a meghajtó gene-  
rátor ellenállása:  $R_g = 40 \text{ k}\Omega$  és  $I_C = 2 \text{ mA}$ .
- \*G.3.9. Végezzük el a 12-19. ábra-beli kapcsolás munkapont-beál-  
lítását  $I_D = 3 \text{ mA}$  áramra, ha feltételezzük, hogy az adott  
FET-nél  $U_p = -3 \text{ V}$ ,  $I_{DS} = 10 \text{ mA}$ .



12–19. ábra Munkapontbeállítás FET-nél

\*G.3.10. A tirisztorok fázis-levágásos elvű üzemeltetése (lásd pl. a 3.10. példát) radikális jeltorzulásokkal jár együtt, melyek (lásd 1. fejezet Fourier közelítés) sok felharmonikust okozva zavarjeleket hoznak létre. Minél nagyobb a vezérelt teljesítmény, annál nagyobb zavarás éri a környezetet. Keresünk megoldást, mellyel a zavarokat csökkenteni lehet.

### 12.3.2. Feladatmegoldások a 3. fejezethez

F.3.1. Az ellenálláshuzal *nem bifilárisan* van tekercselve, ezért *nem egyenáramú esetben* légmagos tekercsnek is tekinthető. Emiatt az eredő impedanciát soros  $R$ – $L$  kapcsolásként kell kezelnünk, és hasonlóan kell számolnunk, mint az 1. fejezet G.1.8. példája esetében. Egyenáramu esetben csak az ohmos összetevővel kell számolnunk. Az *ohmos ellenállású*  $R$  összetevőt az 1. fejezet (1.21) formulájával írhatjuk fel:

$$R = \rho_H \cdot \frac{l_H}{A_H}$$

ahol a  $H$  indexek a huzal adataira utalnak:

$$A_H = \frac{d^2 \pi}{4}$$

a huzal hosszát az egy tekercsmenet hosszának és a menet-számnak szorzata adja:

$$l_H \approx D \cdot \pi \cdot N$$

Az *önindukciós tényezőt* az 1. fejezet (1.59) formulájából kiindulva számíthatjuk ki:

$$L = \mu \cdot \frac{A_T}{l_T} \cdot N^2$$

ahol a  $T$  indexek a tekercs adataira utalnak:

$$A_T = \frac{D^2 \pi}{4}$$

$$l_T = 40 \text{ mm adva van.}$$



$\mu =$  légmagos esetre kell behelyettesíteni.

A reaktáns összetevő:

$$X_L = \omega L = 2\pi f \cdot L$$

ahol  $f = 50$  Hz adva van a kiinduló adatok között.

F.3.2. A megoldásnál a tűréstartományra is gondolni kell:  $R = 187,3 \text{ k}\Omega = (187 \cdot 10^3 + 0,3 \cdot 10^3) \text{ ohm}$

A lehetséges színek:

1	8	7	$10^3$	2%-ba belefér
barna	szürke	ibolya	narancs	vörös

F.3.3. Az a) párhuzamos esetben a kapacitások összeadódnak

$$\text{az alsó határ: } C_{\min} + C_F = 330 \text{ pF}$$

$$\text{a felső határ: } C_{\max} + C_F = 600 \text{ pF}$$

A kapacitásviszony:

$$V_P = \frac{600}{330} = 1,82$$

A b) soros esetben a reciprokok adódnak össze

$$\text{az alsó határ: } C_{\min} \times C_F = \frac{30 \cdot 300}{30 + 300} = 27,8 \text{ pF}$$

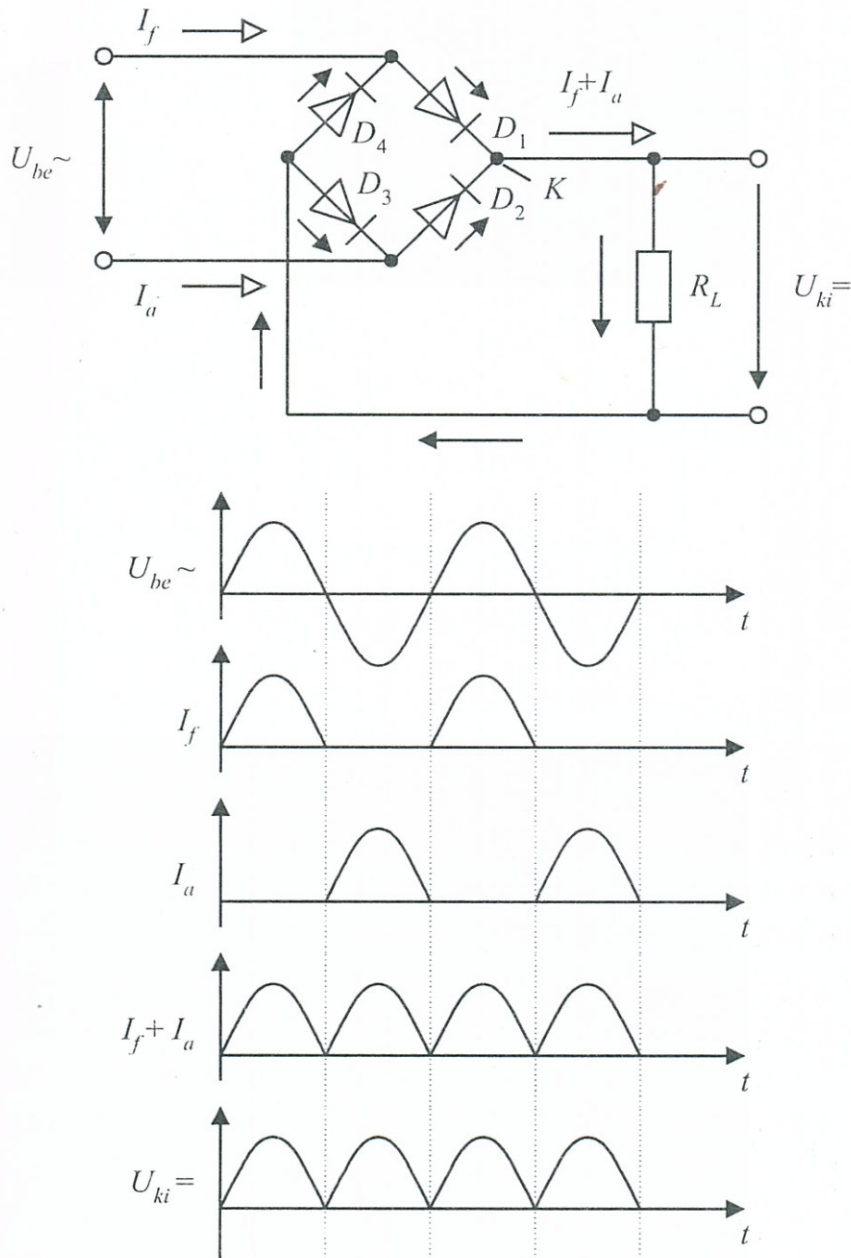
$$\text{a felső határ: } C_{\max} \times C_F = \frac{300 \cdot 300}{300 + 300} = 150 \text{ pF}$$

a kapacitásviszony:

$$V_s = \frac{150}{27,8} = 5,5$$

F.3.4. Egy lehetséges megoldás az ún. *Graetz-kapcsolás* révén adódhat, melyet a 12-20. ábrán rajzoltunk fel a be- és kimeneti jelalakok feltüntetésével. A hídba kapcsolt négy dióda mind a pozitív, mind a negatív szinuszfélhullámot a *K* kimeneti pontra tereli, így ezek az idődiagram szerint egyetlen lüktető félhullám-sorba rendeződnek.

F.3.5. A megoldás egyszerűen adódik. Például  $U_Z = 14$  V-os Zenerfeszültség-igény esetén az egyetlen  $U_{ZJ} = 14$  V-os



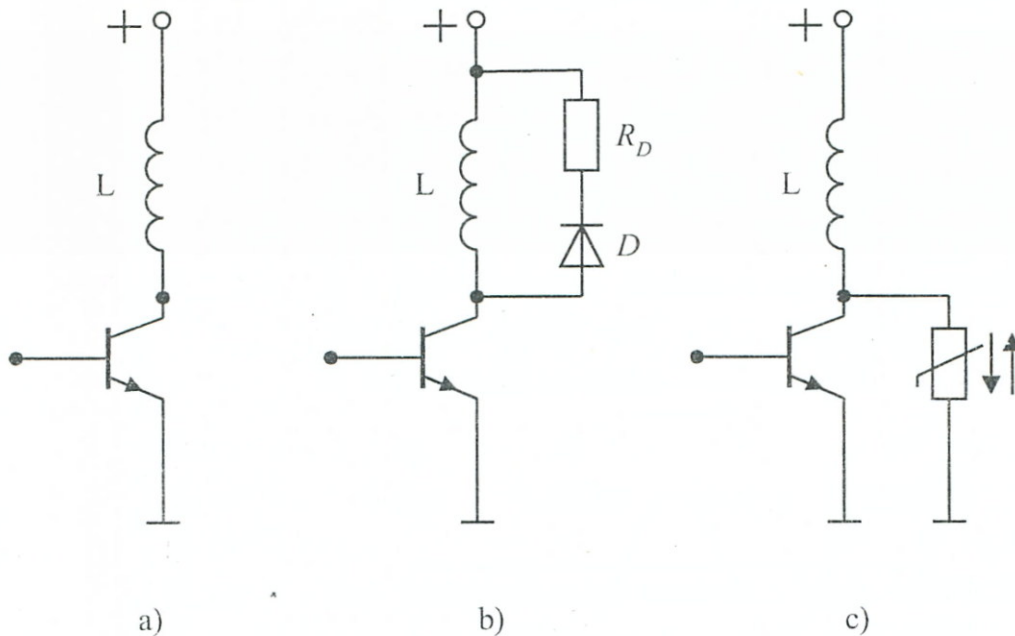
12–20. ábra Graetz-kapcsolás és a jel-viszonyok

Z-dióda helyett a hőstabilizálás érdekében célszerűbb beépíteni egy  $Z_a$ – $Z_b$  diódákból sorosan kapcsolt együttest:

$$U_{ZJ} = U_{ZJa} + U_{ZJb} = 10 + 4 = 14 \text{ Volt}$$

ahol  $U_{ZJa}$  ( $U_{ZJa} > 5,7V$ ) pozitív,  $U_{ZJb}$  negatív ( $U_{ZJb} < 5,7V$ ) hőmérsékleti tényezői egymást kompenzálják.

- F.3.6. A 12-21a. ábrán látható, kollektorkörében tekercset tartalmazó tranzisztor záró irányba történő kapcsolásakor a rendkívül meredek változás miatt nagy feszültség indukálódik, mely meghaladhatja a tranzisztor megengedett legnagyobb



12–21. ábra Túlvezetés védelem induktív terhelésnél

feszültségét és így a tranzisztor tönkremehet. Az indukált feszültség ellenkező irányítottágú a Lenz-törvény értelmében, ezért ezt figyelembe kell venni a védőáramkör kialakításakor.

A 12-21b. ábrán látható megoldásnál egy  $D$ -diódát kapcsolunk a tekercsel párhuzamosan. Normál működéskor a dióda zárva van, így nem sok zavar. Az áram megszakításakor indukálódó feszültség (mivel az előzőhöz képest fordított polaritású) nyitja a diódát, mely kis ellenállású szakaszán a tekercs sarkait „rövidre zárván” a kollektor ponti feszültséget nem engedi veszélyesen magasra nőni. Az  $R_D$  ellenállás úgy választja meg, hogy - ha szükséges - korlátozza a dióda tranziens áramát és így védje a diódát, de a kollektor ponti feszültséget se engedje magasra nőni. Gyakran  $R_D$  el is maradhat.

A 12-21c. ábrán egy  $VDR$  ellenállás van a kapcsoló tranzisztorral párhuzamosan kapcsolva. A  $VDR$  ellenállás a növekvő feszültséggel egyidőben csökkenti ellenállását, így korlátozza a kollektor ponton megengedettnél nagyobb feszültség kialakulását.

F.3.7. A kiinduló feltételeket figyelembevéve, meg kell határozunk a 12-18. ábrán feltüntetett jellemzők értékeit. A meg-

oldás során felhasználjuk a 3.6.3.1. pontban elmondottakat is. Az  $R_E$  emitterkörü visszacsatoló ellenállás a megadott  $U_{Eo} \approx 1\text{V}$ ,  $I_{co} \approx 1\text{mA}$   $\beta = 100$  értékekkel, mivel:

$$I_{Bo} = \frac{I_{co}}{\beta} = \frac{1}{100} = 0,01\text{mA} = 10\ \mu\text{A}$$

$$\text{és: } I_{Eo} = I_{co} + I_{Bo} \approx I_{co} = 1\text{mA}$$

$$\text{innen: } R_E = \frac{U_{EO}}{I_{co}} = \frac{1}{1 \cdot 10^{-3}} = 1000\ \Omega = 1\text{k}\Omega$$

A szükséges  $U_B$  osztóponti feszültség:

$$U_B = U_{EBO} + U_{EO} = 0,5 + 1 = 1,5\text{V}$$

A bázisosztó árama a feladatban előírt 10-es szorzóval:

$$I_o \geq 10 \cdot I_{Bo} \approx 10 \cdot 10 = 100\ \mu\text{A}$$

Az  $R_a$  felső osztóellenállás: a 12-18. ábrából felírva:

$$R_a = \frac{U_+ - U_B}{I_o} = \frac{12 - 1,5}{100 \cdot 10^{-6}} = 10,5 \cdot 10^4 = 105\text{k}\Omega$$

Az  $R_b$  alsó osztóellenállás, ha az osztó alsó ágának árama az ábrából felírva  $I_o - I_{Bo}$ , akkor:

$$R_b = \frac{U_B}{I_o - I_{Bo}} = \frac{1,5}{(100 - 10) \cdot 10^{-6}} = 16,5 \cdot 10^3 = 16,5\text{k}\Omega$$

A kollektorellenállás meghatározásánál jó lenne ismerni a meghajtott fokozat bemeneti terhelését. Mivel ez nincs megadva, ezért csak a kivezérési szempontokat vesszük figyelembe, ennek alapján előnyös, ha

$$U_{co} = \frac{U_+}{2} = \frac{12}{2} = 6\text{V}$$

Ezt felhasználva, és az ábrából felírva az  $R_c$  kollektor-ellenállás:

$$R_c = \frac{U_t - U_o}{I_{co}} = \frac{12 - 6}{1 \cdot 10^{-3}} = 6 \cdot 10^3 = 6\text{k}\Omega$$

A kapcsolatos alkatrész paramétereiket ezzel mind felírtuk. Következhetne a kapott ellenállásértékek kerekítése a legközelebbi szabványos táblázat-beli értékre.

Végezetül megadjuk a kollektor munkaponti feszültségének *drift*-jét, melyet, mint tudjuk, az  $R_E$  visszacsatoló-ellenállás befolyásol:

$$\frac{\Delta U}{\Delta T} = \left( -2 \frac{\text{mV}}{^\circ\text{K}} \right) \cdot \frac{R_c}{R_E} = -2 \cdot \frac{6}{1} = -12 \frac{\text{mV}}{^\circ\text{K}}$$

F.3.8. A példa megadott adataival és a 3.6.3.3. pontban bevezetett összefüggésekkel:

A *bemenőellenállás*:

$$r_{Be} \approx \beta \cdot R_E = 300 \cdot 3 \cdot 10^3 = 900 \text{ k}\Omega$$

A *kimenőellenállás*:

$$r_{ki} = \left( \frac{1}{S} + \frac{R_g}{\beta} \right) \times R_E$$

mivel 3.26 értelmében:

$$S = \frac{I_c}{U_T} = \frac{2 \text{ mA}}{26 \text{ mV}}$$

Ezért:

$$r_{ki} = \left( \frac{26 \cdot 10^{-3}}{2 \cdot 10^{-3}} + \frac{40 \cdot 10^3}{300} \right) \times 3 \cdot 10^3 = 140 \Omega$$

F.3.9. A példában megadott kiinduló adatok mellé vegyük még fel a *drain áramot*  $I_D = 3 \text{ mA}$ -re.

A (3.48) összefüggést tegyük explicitté  $U_{GS}$ -re:

$$U_{GS} = U_P \left( 1 - \sqrt{\frac{I_D}{I_{DS}}} \right)$$

Ide behelyettesítve az eddigieket kapjuk:

$$U_{GS} = -3 \left( 1 - \sqrt{\frac{3 \cdot 10^{-3}}{10 \cdot 10^{-3}}} \right) = -1,36 \text{ V}$$

Ez teljesíti a 3.7.6.1. pontbeli feltételt, miszerint:

$$0 < |U_{GS}| < |U_p|$$

Innen az  $R_S$  source ellenállás az ábra alapján:

$$R_S = \frac{U_{GS}}{I_D} = \frac{1,36}{3 \cdot 10^{-3}} = 450 \Omega$$

A munkaponti  $U_{D0}$  drainfeszültséget úgy kell felvenni, hogy a maximális  $\Delta U_{Dmax}$  kivezérélnél se kerüljön  $U_{DS}$  az  $U_k$  küszöbfeszültség alá, ezt felírva:

$$U_{D0} > U_S + |\Delta U_{Dmax}| + U_k$$

Felvéve:  $\Delta U_{Dmax} = \pm 2$  V-ot; a 3.7.3. pont alapján:  $U_K = U_{GS} - U_p$  továbbá kb. 2 V ráhagyást véve biztonsági tartalékként, adódik:

$$U_{D0} \approx 7 \text{ V}$$

Az ábrából felírható az  $R_D$  drain ellenállás a választott  $U_+ = +15$  V tápfeszültség, a munkaponti drain feszültség és a drain áram behelyettesítésével:

$$R_D = \frac{U_+ - U_{D0}}{I_D} = \frac{15 - 7}{3 \cdot 10^{-3}} = 2,7 \text{ k}\Omega$$

A munkaponti meredekség (3.50) szerint:

$$S = \frac{2}{U_p} \sqrt{I_{DS} \cdot I_D} = \frac{2}{3} \sqrt{(10 \cdot 10^{-3}) \cdot (3 \cdot 10^{-3})} = 3,7 \text{ mA / V}$$

A közelítő feszültségerősítés  $r_{DS} > R_D$  feltételezésével, az alsó határfrekvencia környezetében:

$$A \approx -S \cdot R_D = (-3,7) \cdot 2,7 \approx -10$$

A 12-19. ábra-beli kapcsolásnál a három kapacitás három felüláteresztő szűrőt képez, hasonlóan a 3.6.3.1. pontbeli kapcsoláshoz.

Esetünkben szűrőnként  $f_u = 20$  Hz-es alsó eredő határfrekvenciát feltételezve, az egyes szűrők faji határfrekvenciája ( $n = 3$  esetén):

$$f_{ai} = \frac{f_a}{\sqrt{n}} = \frac{20}{\sqrt{3}} \approx 10 \text{ Hz}$$

Ezzel az értékkel kiszámíthatjuk például a drain körbeli  $C_s$  kapacitás értékét, mely a váltakozó komponensekre nézve rövidre zárja az  $R_s$  ellenállást (lásd 3-55. ábrával kapcsolatos formulák):

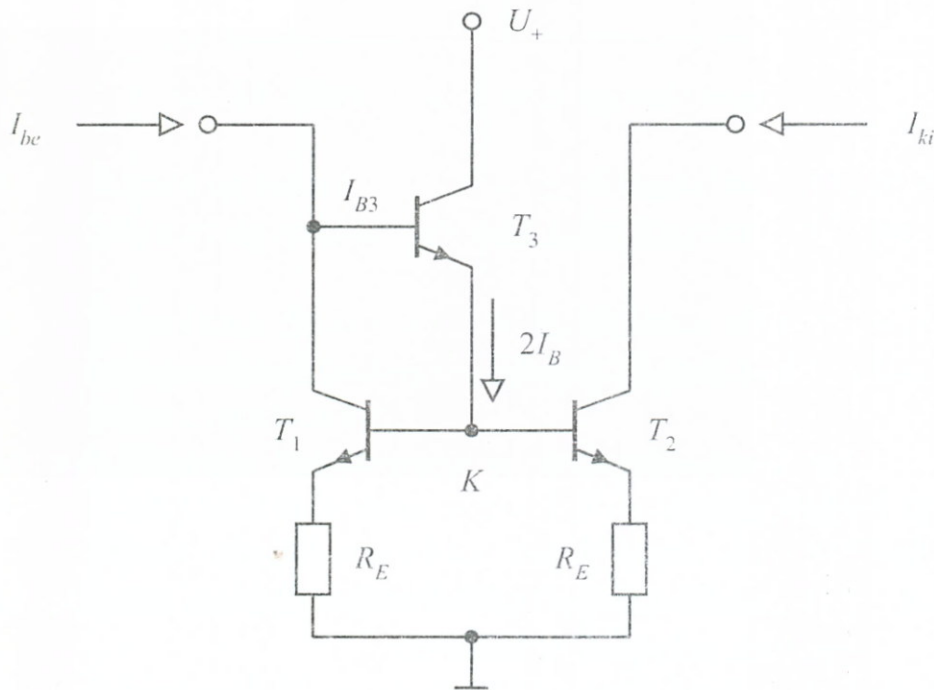
$$C_s = \frac{S}{2\pi f_{ai}} = \frac{3,7}{2\pi \cdot 10} \approx 51 \mu\text{F}$$

- F.3.10. Mint a feladat is említi, a zavarjelek kialakulásában fő bűnös a jeltorzulás, mely a szinusz-jelek „felszabdalásából” keletkezik.

A helyzet lényegesen javul, ha épen hagyjuk a félhullámokat, de nem gyűjtjük őket be minden egyes periódusban, hanem csak meghatározott kihagyásonként. Ilyenkor a szűrő-integráló tagokon átvezetett jelek területének adott időtartamra eső összegéből képzett kimenő jel ugyancsak arányos lesz a  $\varphi$  szöggel, de az összetevők mindegyike - igaz kihagyásokkal - egy-egy szabályos félhullám. Ez az ún. *félhullámvezérlés* sokkal kevesebb felharmonikust tartalmaz, így lényegesen kisebb a zavarösszetevő mértéke.

### 12.4.1. Gyakorló feladatok a 4. „Jellegzetes elektronikus áramkörök” c. fejezethez

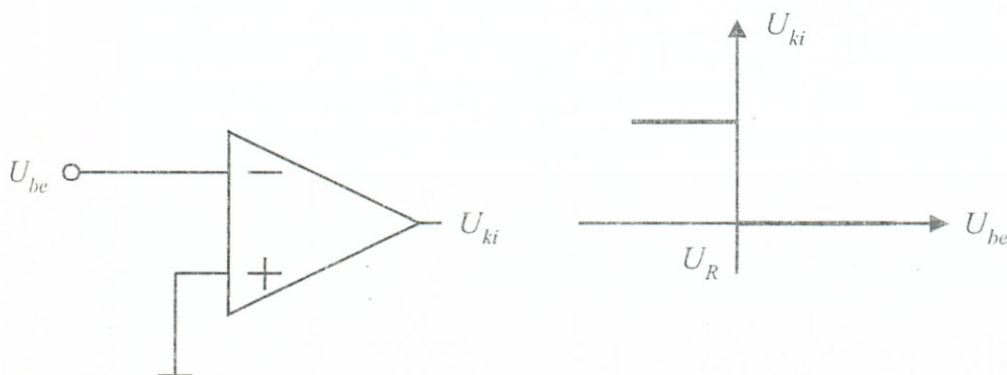
\*G.4.1. Vizsgáljuk meg a 12-22. ábrán látható kapcsolás működését.



12-22. ábra Vizsgált kapcsolás

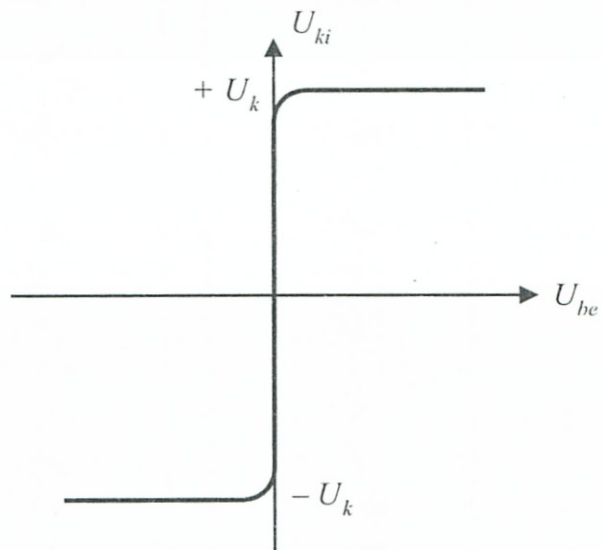
\*G.4.2. Vizsgáljuk meg, hogy a 4-14. ábra ofszet-feszültségkiegyenlítési módozatain túlmenően kínálkozik-e egyéb lehetőség is.

\*G.4.3. Miként módosítható a 12-23. ábrán látható *analóg komparátor* az eredetileg 0-értékű komparálási szint. A transz-



12-23. ábra Analóg komparátor

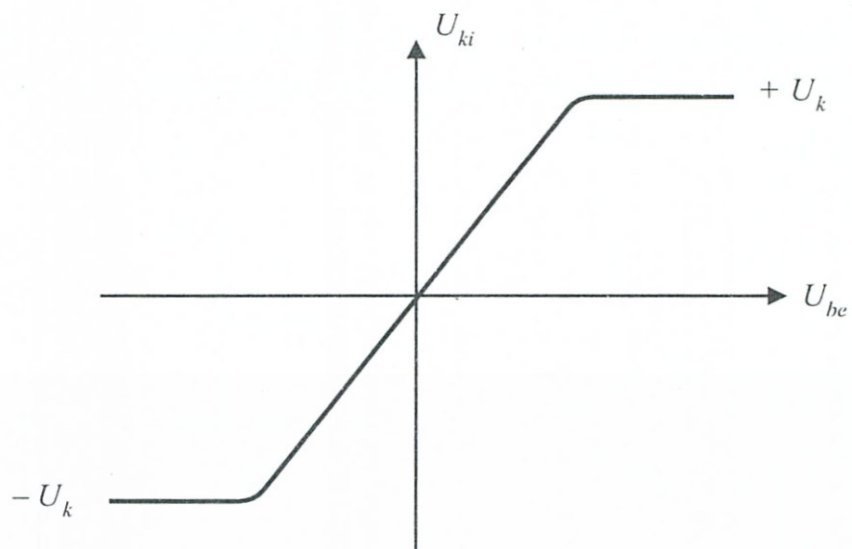




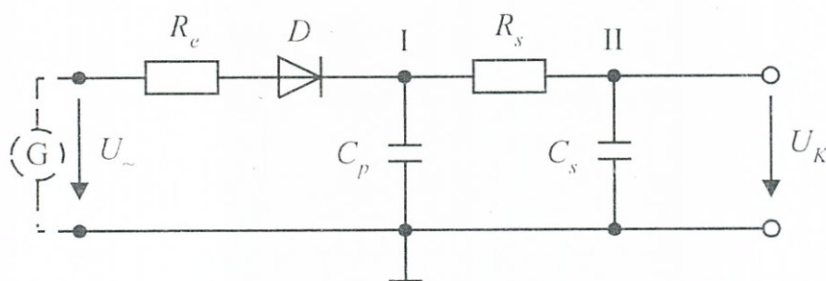
**12–24. ábra** Ugrási transzfer karakterisztika

fer karakterisztikát jó közelítéssel ugrásfüggvénynek tekinthetjük.

- \*G.4.4. Miként állítható elő a 12-24. ábra szerinti transzfer karakterisztika műveleti erősítővel?
- \*G.4.5. Állítsunk elő műveleti erősítővel a 12-25. ábra szerinti transzfer karakterisztikát.
- \*G.4.6. Állítsunk elő műveleti erősítővel logaritmikus transzfer karakterisztikát.

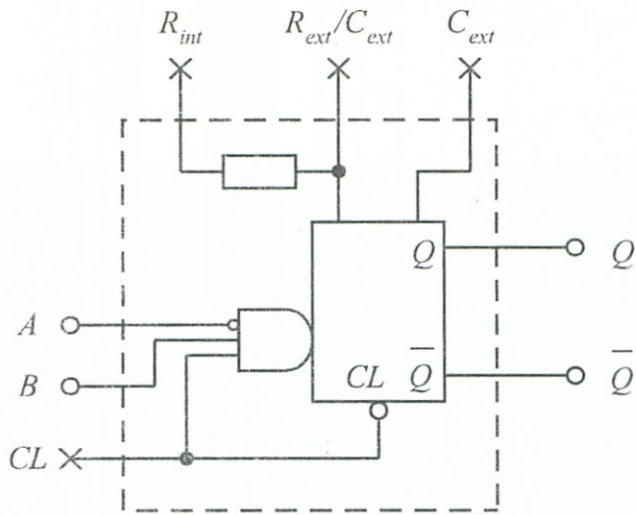


**12–25. ábra** Ferde átmeneti transzfer karakterisztika



12–26. ábra Szűrőtagos egyenirányító

- \*G.4.7. Rajzoljuk fel a 12-26. ábra szűrőtaggal kiegészített egyutas, hálózati egyenirányítójának jelalakjait az I. és II. pontokon.
- \*G.4.8. Rajzoljunk fel áramköri megoldásokat olyan esetekre, amikor mechanikus kontaktusok jelét kell elektronikus áramkörre csatlakoztatni.
- \*G.4.9. Alakítsunk ki normál kapukból és alkatrészekből egy beálítható küszöbszintekkel rendelkező, engedélyező bemenettel rendelkező Schmitt triggerrel.
- \*G.4.10. Alakítsunk ki olyan impulzus adót Schmitt trigger segítségével, mely átkapcsolhatóan az egyik üzemmódban *lefutó* jelhomlokra „1” impulzust, a másik üzemmódban *felfutó* jelhomlokra „0” impulzust állít elő.
- \*G.4.11. Vizsgáljuk meg a 12-27. ábrán látható 123 típusú monostabil multivibrátor működését.
- \*G.4.12. Alakítsunk ki NOR kapukkal monostabil multivibrátort.
- \*G.4.13. A 12-28. ábrán egy 121 típusú hangolható monostabil multivibrátor katalógusrajza látható. Vizsgáljuk meg, miként működtethető az áramkör, melynek, mint látható, két negatív és egy pozitív élre indító bemenete is van. A bemenetek Schmitt trigger közbeiktatásával fejtik ki hatásukat.
- \*G.4.14. Adva a 12-29. ábrán látható Schmitt triggerrel kombinált NAND kapus IC. Alakítsunk ki segítségével RC oszcillátort.
- \*G.4.15. Alakítsunk ki IC inverterekkel kvarcvezérlésű RC oszcillátort.



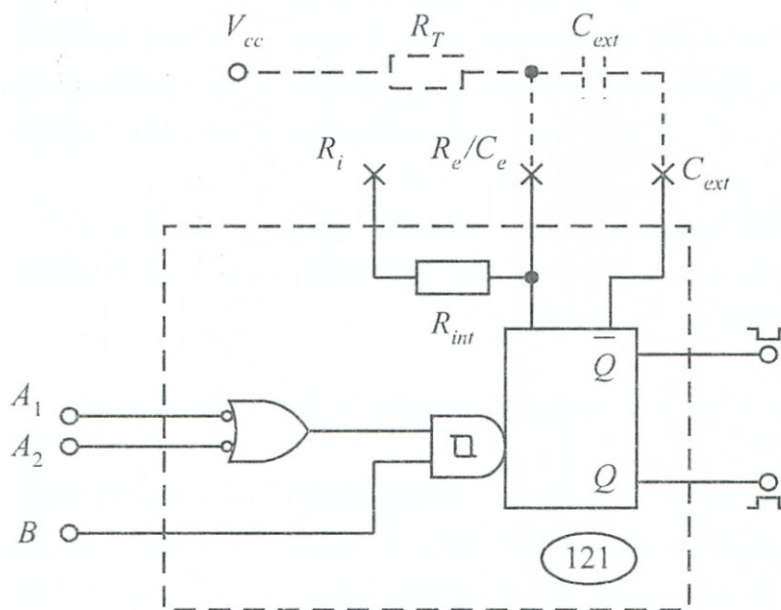
CL	A	B	Q	$\bar{Q}$
L	X	X	L	H
X	H	X	L	H
X	X	L	L	H
H	L	↑	⌊	⌋
H	↓	H	⌊	⌋
↑	L	H	⌊	⌋

↑ = felugrás  
 ↓ = leugrás  
 X = közömbös

a)

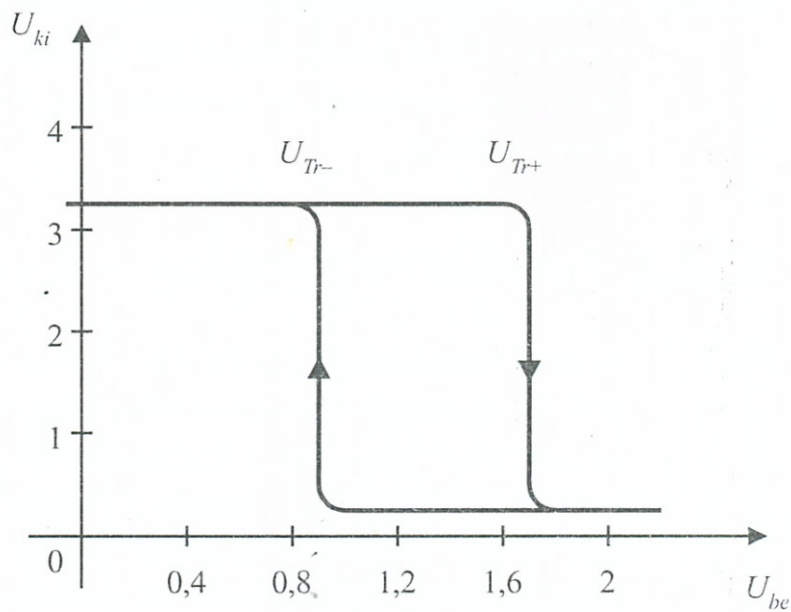
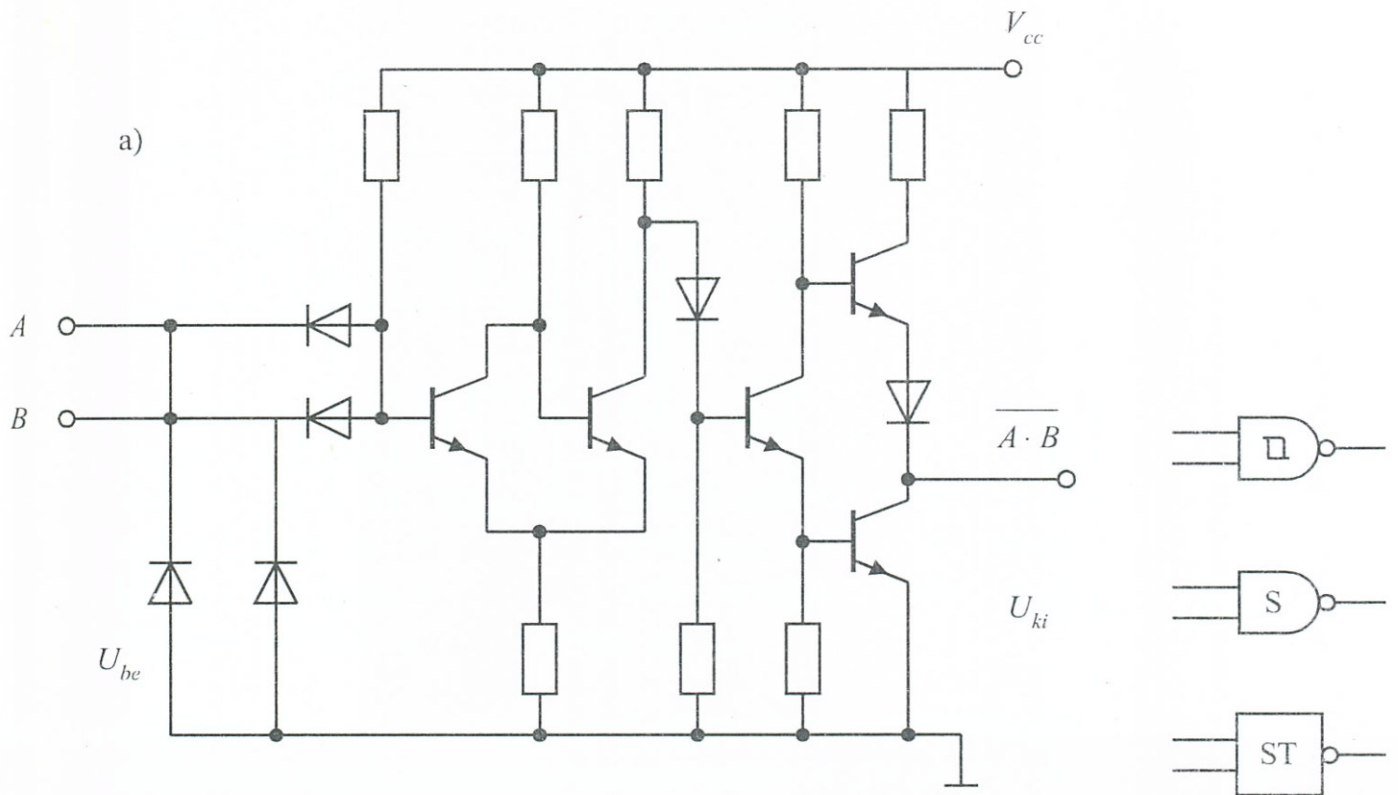
b)

12-27. ábra Monostabil IC



12-28. ábra Schmitt triggeres monostabil multivibrátor

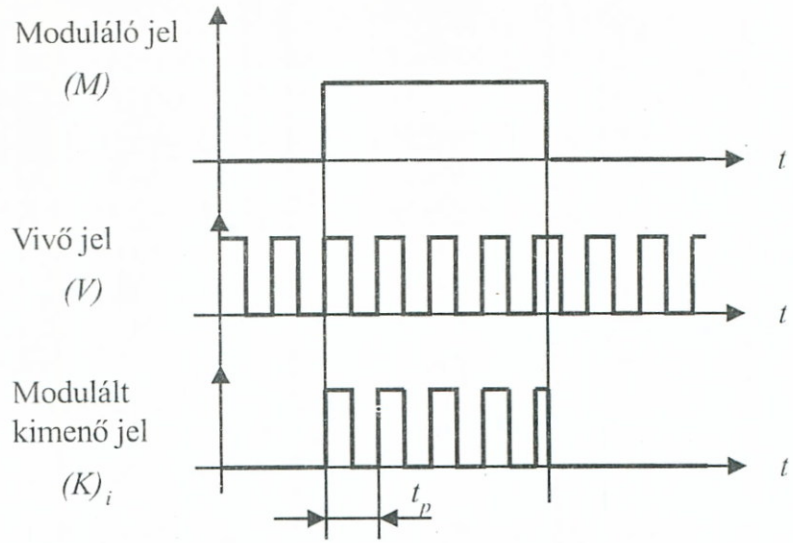
\*G.4.16. Alakítsunk ki CMOS inverterekkel felépített RC oszcillátort, melynek frekvenciája kapcsolókkal lépcsőkben hangolható.



12-29. ábra NAND kapu Schmitt triggerrel

\*G.4.17. Állítsunk össze impulzus-sorozat frekvenciát megkettőző kapcsolást, mely 0, illetve impulzusokra átkapcsolható.

\*G.4.18. Az előző példa kapcsolásából rakjunk össze frekvenciasorzozót.



12–30. ábra Modulált jelek

- \*G.4.19. Kíséreljük meg egy modulátor kapcsolás kialakítását, mely a 12-30. ábra szerinti idő-feltételekkel működik.
- \*G.4.20. Tételezzük fel, hogy az előző példa modulátora egy átvivő vonalra küldi jeleit, és a VEVŐ oldalon szükségessé válik az eredeti moduláló jel leválasztása. Alakítsunk ki egy ilyen demodulátort.

### 12.4.2. Feladatmegoldások a 4. fejezethez

- F.4.1. A megvizsgálandó 12-22. ábra erősen hasonlít a 4. fejezet 4-8. ábrán megismert áramtükörhöz. A lényeges különbség az, hogy a  $T_1$  tranzisztor kollektorpontja itt nem közvetlenül csatlakozik a  $T_1 - T_2$  közös  $K$  bázisponthoz, hanem a  $T_3$  tranzisztor emitterkörén keresztül. Ez azonban az  $I_{be}$  áram számára lényegesen kisebb elágazó áramot jelent a  $K$  közös pont irányában.

A 4-8. ábra-beli áramtükörnél ez az áram:

$$I_{elágazó} = 2I_B$$

és, mint láttuk a kimenőáram:

$$I_{ki} = \frac{I_{be}}{1 + \frac{2}{\beta}}$$

Példánknál a  $T_3$  áramerősítése miatt:

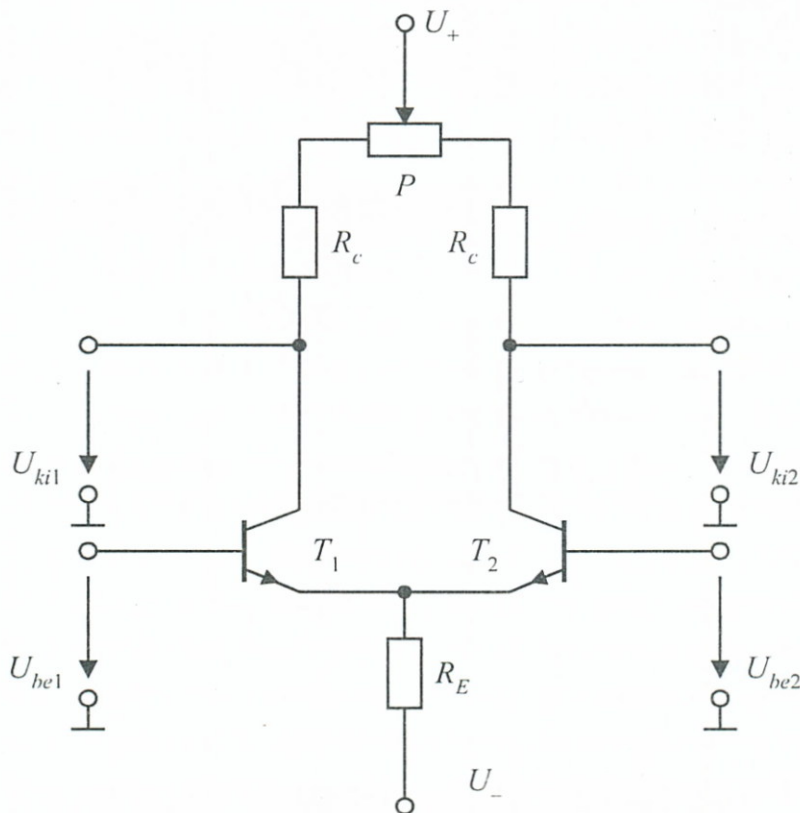
$$I_{elágazó} = \frac{2 \cdot I_B}{1 + \beta}$$

ezzel viszont a kimenőáram:

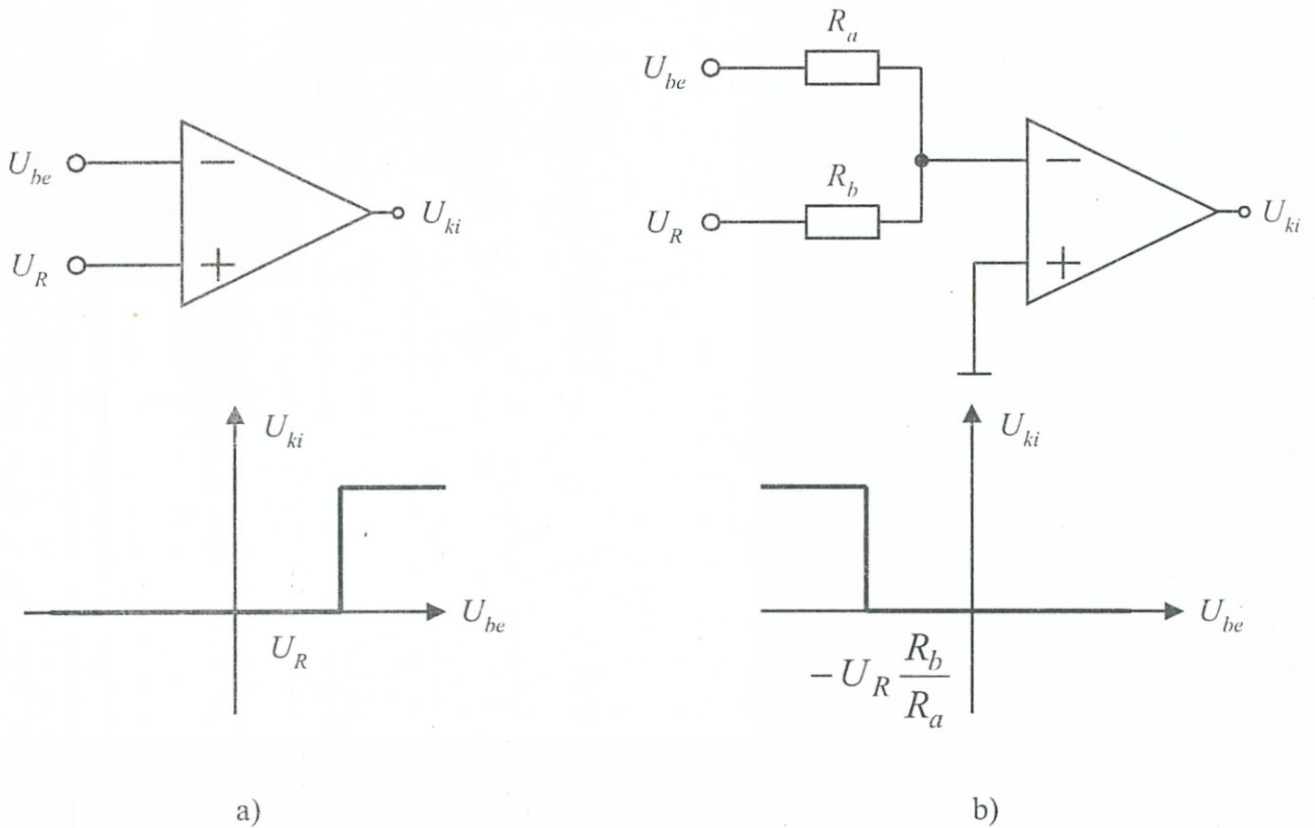
$$I_{ki} = \frac{I_{be}}{1 + \frac{2}{\beta(1 + \beta)}}$$

Vagyis  $I_{ki}$  és  $I_{be}$  eltérése sokkal kisebb, ami azt jelenti, hogy kapcsolásunk sokkal „jobb” áramtükrő, mint a 4-8. ábrabeli. Az  $R_E$  ellenállások pedig tovább javítják a hőstabilitási paramétereket is.

F.4.2. A 4-14. ábra a., b. kapcsolásai részben az emitterkörbe, részben az egyik bemeneti körbe avatkoztak be. A 12-31. ábrán most felrajzolt kapcsolásunk a kollektor ellenállások értékének egymáshoz képesti eltolásával végzi el a korrekciót a  $P$  potenciométer segítségével.



12–31. ábra Ofszetfeszültség korrekciós kapcsolás



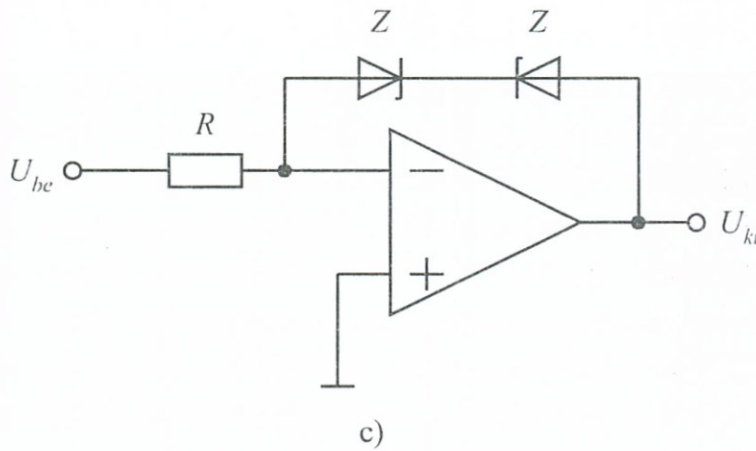
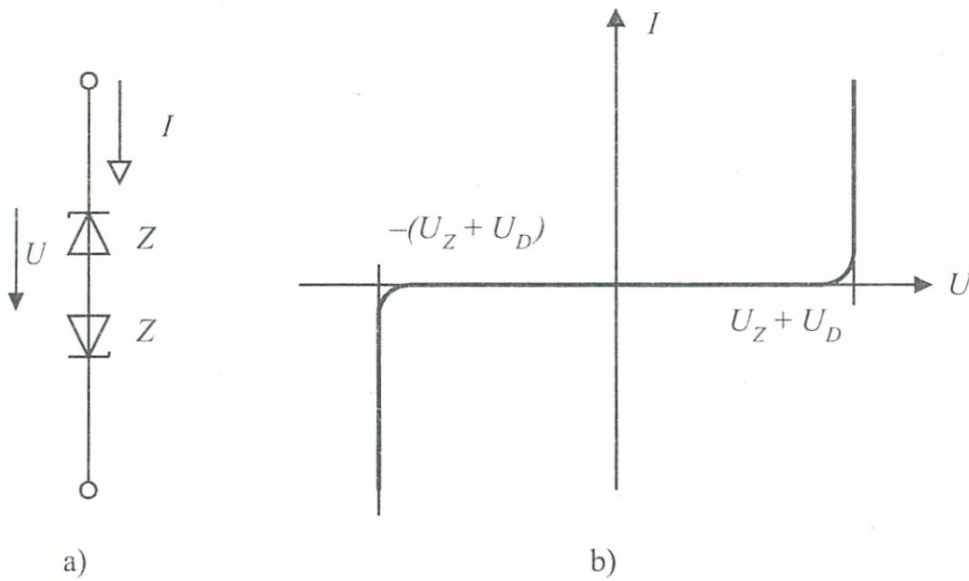
12–32. ábra Komparálási szint eltolása

F.4.3. A komparálási szintet, a műveleti erősítő mindkét bemenetét igénybevéve, az  $U_R$  referenciasfeszültség beiktatásával módosíthatjuk.

- a) Pozitív irányban a 12-32a. ábra szerinti kapcsolással
- b) Negatív irányban a 12-32b. ábra szerinti ellenállásosztó beiktatásával.

F.4.4. A 12-24. ábrán látható transzfer karakterisztika egyik lehetséges megvalósítása a 12-33a. ábrán látható Zener-diódás osztón alapul. Itt az egyik dióda Zener üzemben dolgozik, a másik ugyanakkor nyitó irányban van, így az osztó karakterisztikája a 12-33b. ábra szerinti lesz, az  $U_Z$  letörési feszültséghez mindig hozzáadódik a nyitott dióda  $U_D$  feszültségeje is.

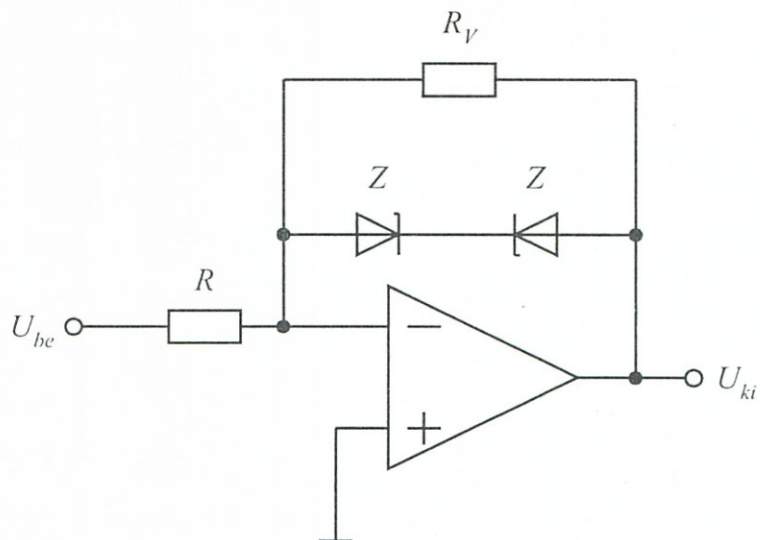
Amennyiben a Zeneres osztót egy műveleti erősítő visszacsatoló hurkába iktatjuk a 12-33c. ábra szerinti módon, akkor a kapcsolás kimenő karakterisztikája megegyezik az előállítani kívánt 12-24. ábrán megadott karakterisztikához.



12-33. ábra *Visszacsatolás Zener osztóval*

- F.4.5. A 12-25. ábra karakterisztikája az előző példában kialakított kapcsolás továbbfejlesztésével megvalósítható. Ha a visszacsatoló hurokban a Zeneres osztót egy  $R_V$  ellenállással áthidaljuk a 12-34. ábra szerinti módon, akkor az új kapcsolás a kívánt karakterisztika szerint működik.
- F.4.6. Már a 4. fejezet 4-24. ábráján felrajzoltunk egy exponenciális függvényt generáló kapcsolást. Hasonló úton haladva, a 12-35a. ábrán felrajzoltunk egy kapcsolást, mely a visszacsatoló ágban levő dióda exponenciális jellegű karakterisztikájának lényegében az inverzét képezi. Mivel a korábbiak alapján (3.18) ismert, hogy:





a)

12–34. ábra *Visszacsatolás áthidalt Zener osztóval*

$$I_D = I_S \cdot \exp \frac{U_D}{U_T} = I_S e^{\frac{U_D}{U_T}}$$

és a  $P$  pont virtuális föld, írható:

$$I = \frac{U_{be}}{R}$$

Az ideális műveleti erősítőre elmondottak alapján kimondható:

$$I = I_D$$

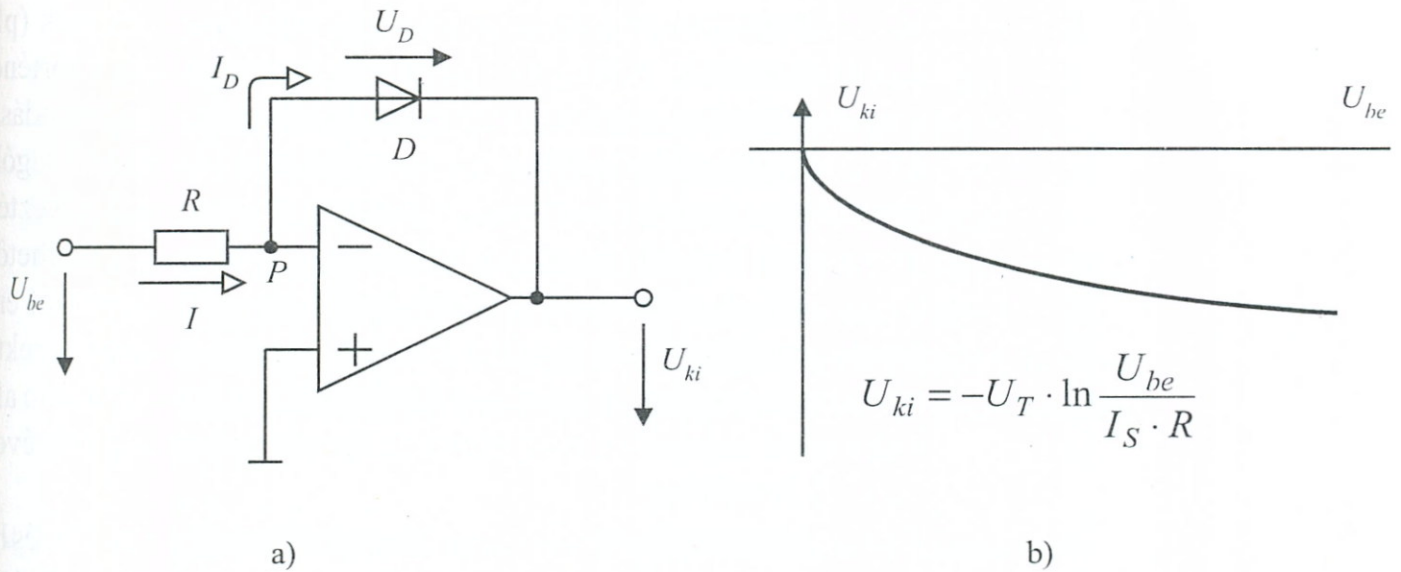
azaz írható, mivel  $U_D = -U_{ki}$ :

$$\frac{U_{be}}{R} = I_S \cdot e^{\frac{-U_{ki}}{U_T}}$$

innen  $U_{ki}$ -t explicitté téve kapjuk a logaritmusos kifejezést:

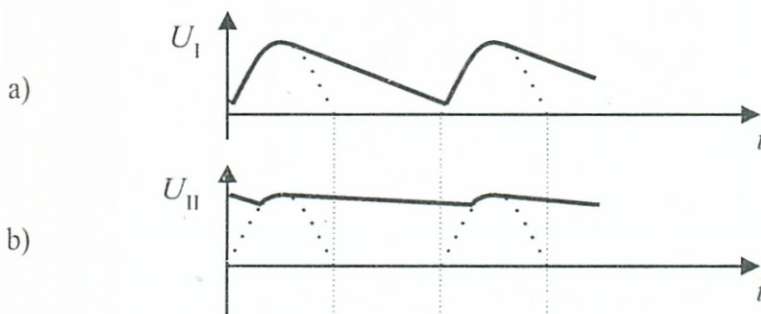
$$U_{ki} = -U_T \ln \frac{U_{be}}{R \cdot I_S}$$

A logaritmikus karakterisztikát a 12-35b. ábrán rajzoltuk fel.



12–35. ábra Logaritmikus függvénygenerátorRV

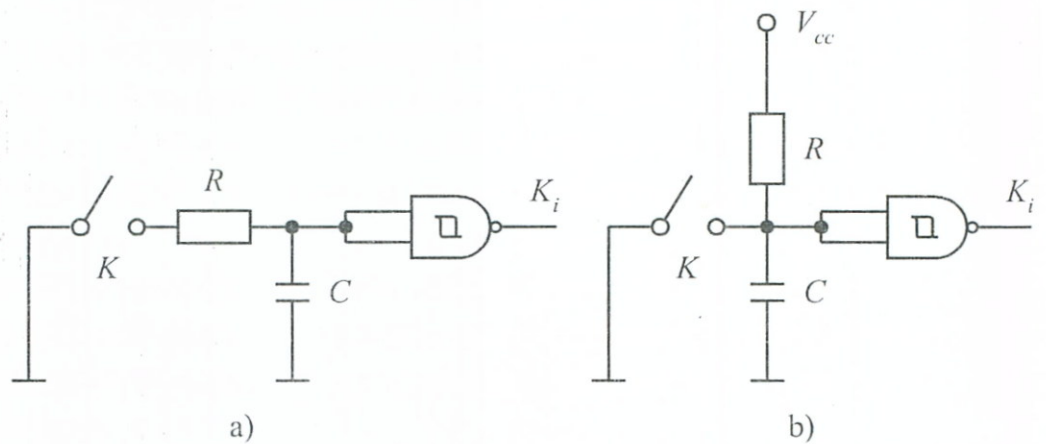
F.4.7. Az  $R_S - C_S$  nélküli kapcsolás működési viszonyait a 4. fejezet 4.32. és 4-33. ábrái kapcsán már megvizsgáltuk. A 4-33. ábra  $U(t)$  jelalakja megfelel az I. pont feszültségének. Az  $R_S - C_S$  beiktatása valójában az I. pont és a földpont között egy váltóáramú feszültség-osztót eredményez, ahol a  $C_S$  sarkain mért II. kimeneti feszültség váltófeszültségű összetevője számára az  $X_{CS}$  reaktancia nagyon kis ellenállást jelent, ezért  $U_{II\sim}$  lesöntölődik. Az egyenáramú összetevőre a leosztás nincs hatással, mivel számára a kondenzátor végtelen nagy ellenállásként mutatkozik. A kimenő jelalakra a 12-26. ábrán nem szereplő külső terhelés ( $R_T$ ) van még hatással, ha  $R_T$  kisebb a szűrt jel hullámossága növekszik. A 12-36a. ábrán a kissé eltúlzott hullámosságú  $U_I$ -et, a b. ábrán a szűrt kimeneti  $U_{II} = U_k$  jelet rajzoltuk fel. A  $C_P - R_S - C_S$  együttes nélkül az I. ponton szinusz pozitív félhullámok lennének mérhetőek.



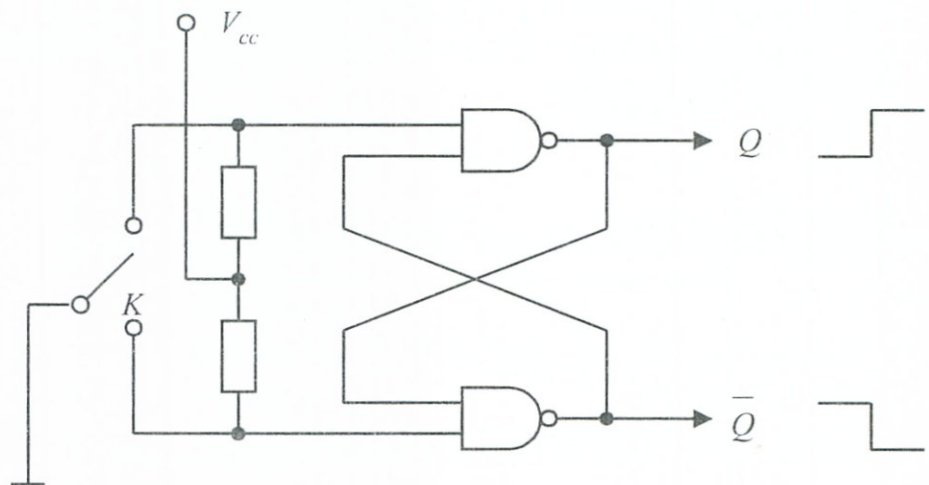
12–36. ábra Szűrés hatása egyenirányításnál

F.4.8. Az elektromechanikus kapcsolókat tartalmazó elemek (pl. nyomógombok, relék) elektronikus rendszerekhez történő csatlakozásakor zavart okozhat az érintkezők összezáródása folyamán egymásról többször visszapattanó érintkező rugók okozta, ún. pergési jelenség. A pergési jelenség következtében a várt feszültség-ugrás helyett egy nehezen kezelhető, rossz jelalak-jellemzőkkel bíró rövid impulzus-sorozat érkezne az elektromechanikus kapcsolóhoz csatlakozó elektronikus hálózatra. A jelenség kiküszöbölésének gyakran alkalmazott módja a zavarjeleknek kondenzátor segítségével történő kiszűrése.

*RC aluláteresztő-szűrős* megoldást mutatnak a 12-37a. és b. ábrák kapcsolásai, melyeknél a  $C$  kapacitás jel „elkenő” hatását ellensúlyozandó egy Schmitt triggerrel alakíthatjuk megfelelő meredekségűvé a kimenő jelet.



12-37. ábra Pergés-védelem Schmitt triggerrel

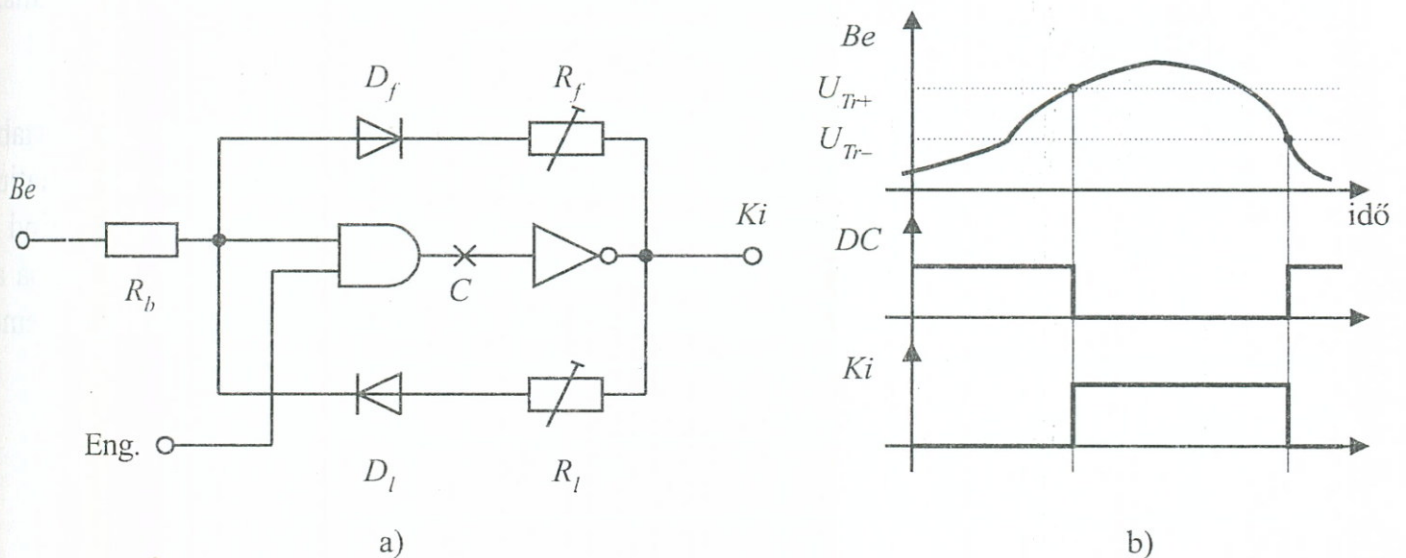


12-38. ábra Pergés-védelem S-R tárolóval

*S-R tárolós* megoldás látható a 12-38. ábrán, melyet *morze érintkező* esetén alkalmazhatuk. Átkapcsoláskor az első érintkezési impulzus a tárolóelemet a megfelelő oldalra átbillenti és a következő pergési jelsorozat már nem változtatja meg a tároló állapotát, így a tárolóelem átbillenési kimenő jele képviseli a mechanikus átváltást. Ellenkező irányú átkapcsoláskor a folyamat ellenkező értelemben zajlik le. Miután ennél a megoldásnál nincs kondenzátor töltési/kisülési időállandó, ezért a működési sebesség is kedvezőbb lesz.

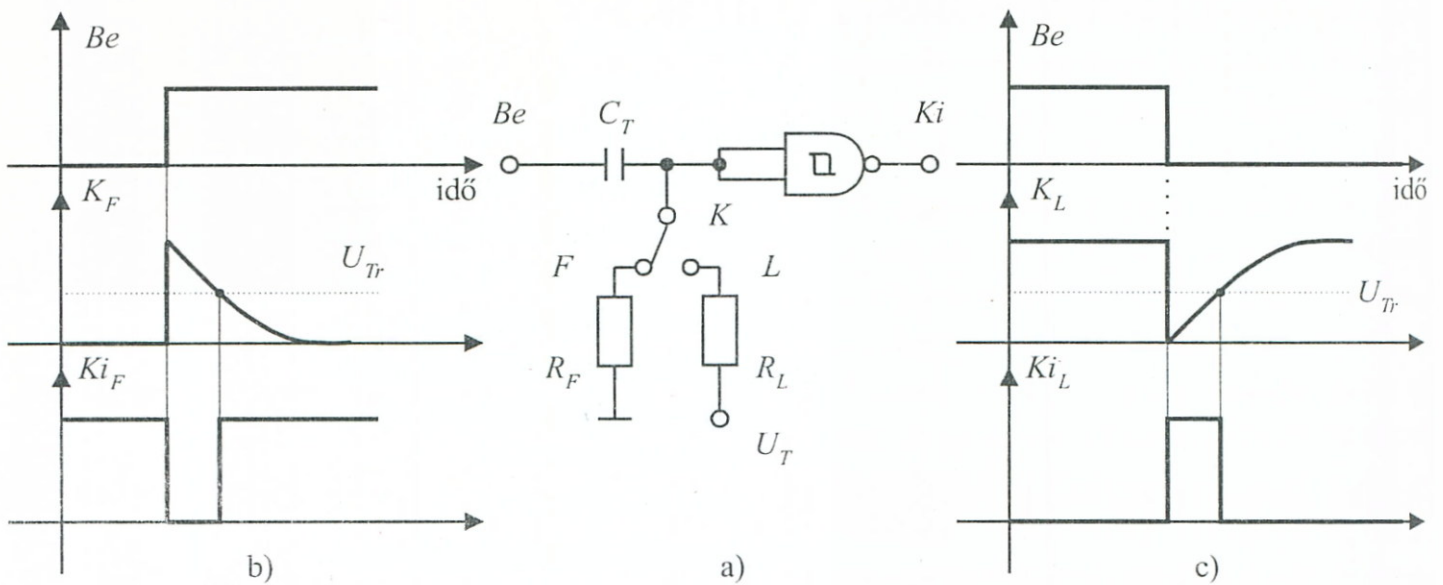
F.4.9. A G.4.9. feladatnak megfelelő kapcsolás és a hozzá tartozó idődiagramok a 12-39. ábrán láthatók. Az engedélyezést az első fokozat NAND kapujának második bemenete teszi lehetővé. (Eng.) A pozitív visszacsatolás itt nem emitterkörü, hanem az  $R$ - $D$  ellenállás-dióda ágak valamelyikén keresztül valósul meg, attól függően, hogy a  $D_f$  ill.  $D_l$  diódák közül, melyik kerül vezető állapotba.

Ki pont feszültség szintjének hatására. Az  $R_f$  ellenállással a felfutási  $U_{Tr+}$ , az  $R_l$  ellenállással a lefutási  $U_{Tr-}$  küszöbszintek állíthatók be.



12-39. ábra Állítható küszöbű Schmitt trigger

F.4.10. A feladat egy lehetséges megoldását egy  $R$ - $C$  differenciáló tag és egy Schmitt trigger kombinációja szolgáltathatja a 12-40. ábra szerinti összekapcsolásban. Ha a 12-40a. ábrán a  $K$  kapcsolót  $F$  állásba tesszük, akkor a  $Be$  jel *felfutó* jelhomlokára a differenciáló tag  $K$  oldali kimenetén a  $K_F$  vá-



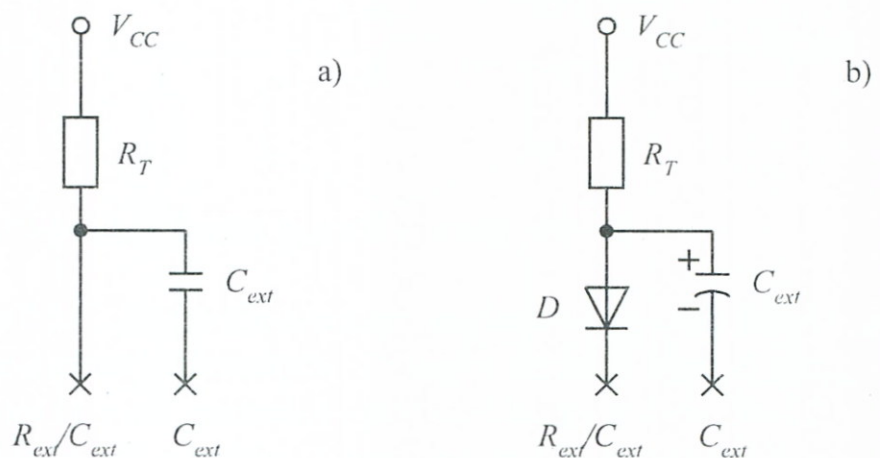
12-40. ábra Felfutásra és lefutásra kapcsolható impulzus adó

laszjel keletkezik. Ez a Schmitt trigger  $U_{Tr}$  küszöbszint-értékét kétszer is átlépi, minek következtében a kimeneten a  $Ki_F = 0$  impulzus jelenik meg. (12-40b. ábra)

A  $K$  kapcsoló  $L$  helyzetében az  $R_L$  ellenállásra  $U_T$  feszültség kapcsolódik, és a  $Be$  jel *lefutó* jelhomlokának hatására a 12-40c. ábra szerinti diagramok rajzolhatók fel.

A  $Ki_F$  és  $Ki_L$  impulzusok szélessége az  $R_F$ , ill.  $R_L$  ellenállásokkal állítható.

F.4.11. A 12-27a. ábrán látható kiinduló 123 típusú monostabil multivibrátor működését a 12-27b. táblázatból olvashatjuk le. Mint látható, a tervezők jóvoltából mind  $L$  ( $A$ ), mind  $H$  szintű ( $B$ ) bemenetek is rendelkezésre állnak, továbbá az áramkör rendelkezik egy  $CL$  (CLEAR) visszaállító beme-



12-41. ábra Időzítőelemek csatlakoztatása a 7-27a áramkörhöz

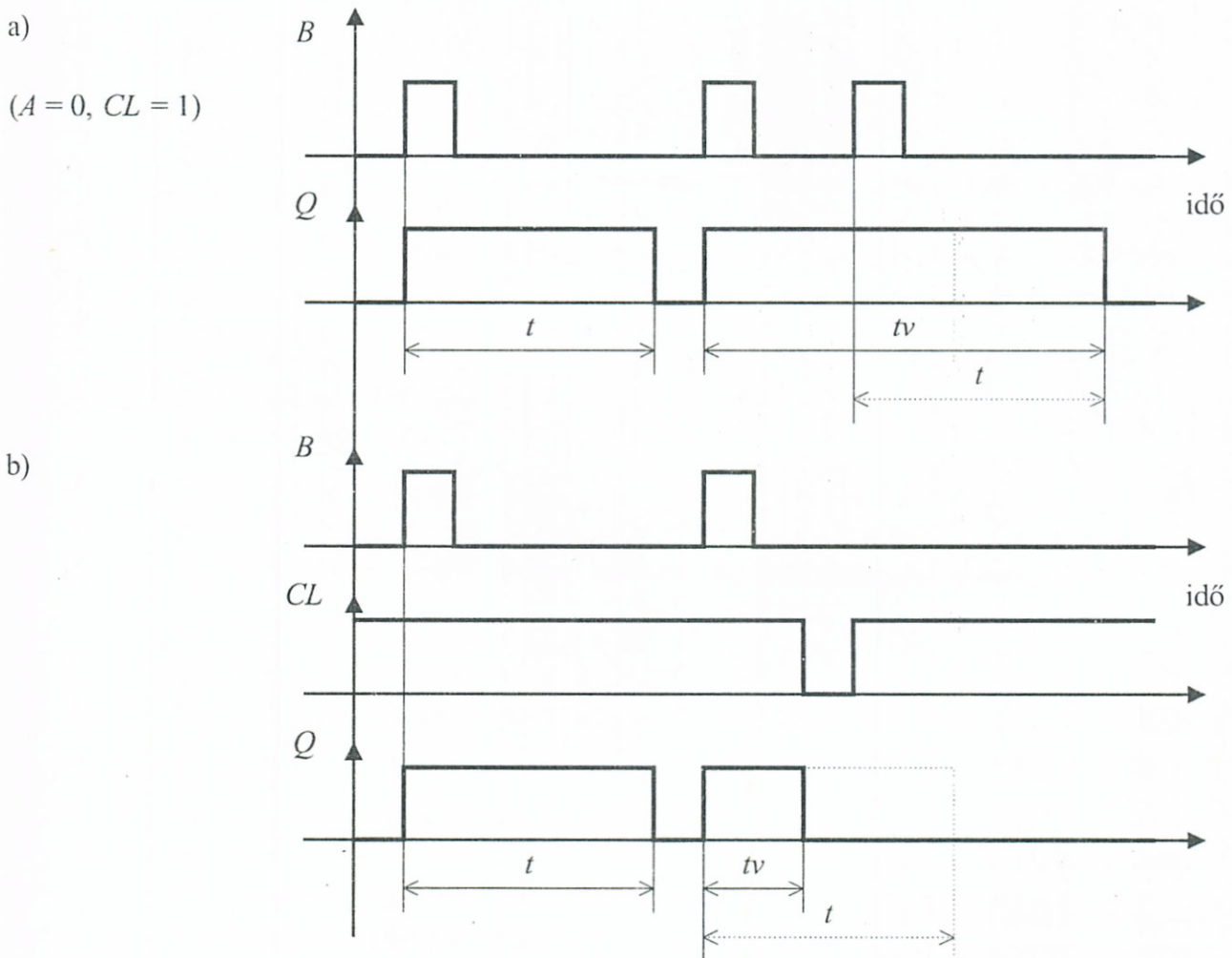
nettel, mellyel a pillanatnyilag futó kimeneti impulzus megszakíthatóvá válik. A  $CL$  bemenet aktivizálódásakor az A és B hatása letiltódik.

A kimeneti impulzusok ( $Q$ ,  $\overline{Q}$ ) szélességét a 12-41. ábra kapcsolásai segítségével lehet beállítani. Az a.) változat a szokványos esetekben, míg a b.) változat olyan esetekben kerül alkalmazásra, amikor  $C_{ext}$  elektrolit kondenzátor, ill. ha  $C_{ext} \geq 1 \text{ nF}$  és a  $CL$  bemenet is felhasználásra kerül. Ha  $CL$ -t nem használjuk, akkor  $CL = 1$  állandó állapotba kell állítani a többi bemenetek zavartalan működtethetősége érdekében.

A kimeneti impulzus szélességét a két esetre, a következő formulákkal számíthatjuk:

$$t_a = 0,32C_e (R_t + 700 \text{ ohm})$$

$$t_b = 0,28C_e (R_t + 700 \text{ ohm})$$

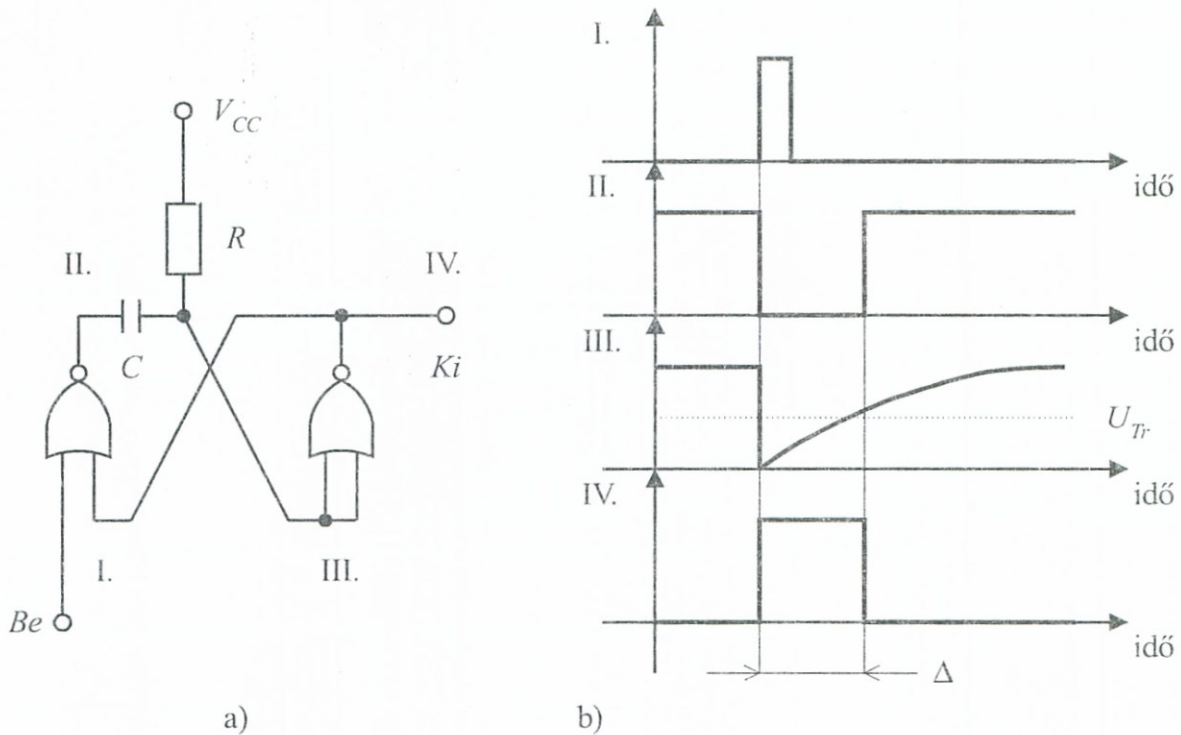


12-42. ábra Időviszonyok különféle vezérlésnél egy 123 típusú monostabil multivibrátornál

A monostabil multivibrátor működésének időviszonyait mérleghetjük a 12-42. ábra alapján, ahol az első indító impulzus hatására mind az a.), mind a b.) ábra eseteiben a jel-futás zavartalan. A második indító impulzus után az:

a) esetenél  $CL$  inaktív és futó impulzus közben érkezett egy újabb indítás. A b.) esetenél futó impulzus közben egy *aktív*  $CL$  impulzus érkezik. Mint az ábrákból látható, a kimeneti impulzus időtartama mindkét esetben befolyásolódik.

F.4.12. A 12-43a. ábrán látható két NOR kapuból álló hálózaton az I. bemeneti pontra egy „rövid” impulzust adva, ennek *felfutó* élére a 12-43b. I. idődiagramjának megfelelően a II., III., IV. pontokon észlelhető jelek a további megfelelő jelű idődiagramokon követhetők. Mint megállapítható, a kimeneti (IV.) impulzus szélessége az  $R-C$  elemek időállandójának és a kimeneti NOR kapu bemeneti komparációs szintjének ( $U_{Tr}$ ) a függvénye.



12-43. ábra Monostabil multivibrátor működése

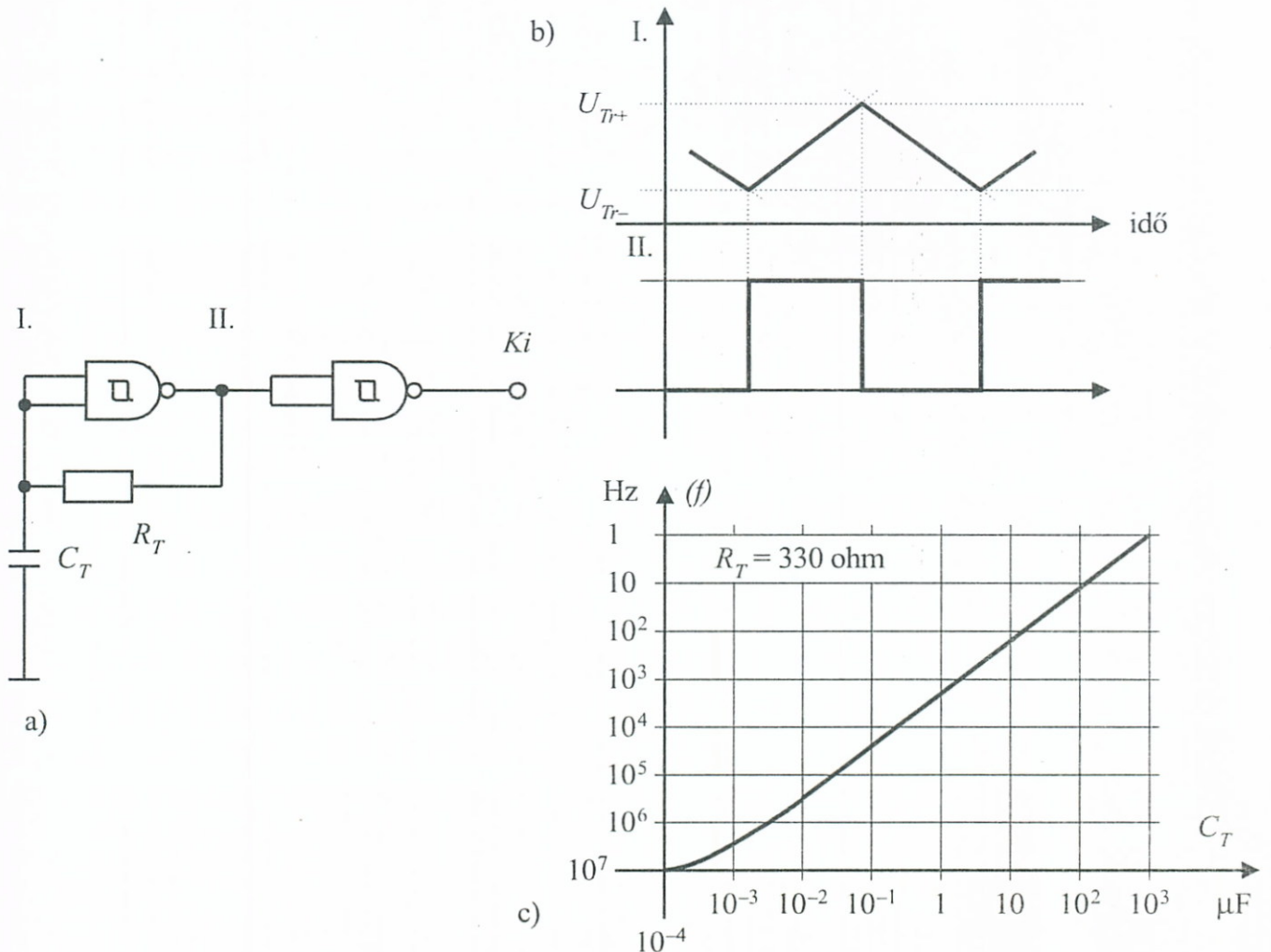
F.4.13. A 12-28. ábra monostabil multivibrátoránál, mind a  $Q$ , mind a  $\bar{Q}$  kimenetek hasznosíthatók. A kimeneti impulzusok szélességének beállítására külső hangoló-elemek ( $R_T, C_{ext}$ ) csatlakoztathatók, melyekkel a szélességi időértékek:  $t_W = 40$  nsec-től 28 sec-ig terjedő széles értéksávban beállíthatók.

Az áramkör egy  $R_{int}$  beépített ellenállással is rendelkezik, melyet ( $R_i$  csatlakozásának a  $V_{cc}$ -re kötésével) aktivizálva, 35 ns impulzus-szélesség jelenik meg a kimeneteken. A kívánt impulzus-szélességhez tartozó  $R_T - C_{ext}$  értékek megválasztására a katalógusok nomogramokat közölnek. A szélső értékek:  $C_{ext}$ -nél 10 pF-tól 10 uF-ig, ill.  $R_T$ -nél 2 kohm-tól 40 kohm-ig terjednek. Az impulzus-szélesség hozzávetőleges meghatározására a katalógus a következő formulát ajánlja:

$$t_w = C_{ext} \cdot R_T \cdot 0,7$$

F.4.14. A 12-29. ábra áramkörének felhasználásával a 12-44a. ábra szerinti RC oszcillátor állítható össze:

A periódikus jelsorozatot valójában az első fokozat már előállítja az  $R_T$  visszacsatoló ellenállás és az időzítést beállító  $C_T$  kapacitás révén a 12-44b. ábra idődiagramjának megfelelően. Ebből látható, hogy a II. pontbeli jel 1 állapot-



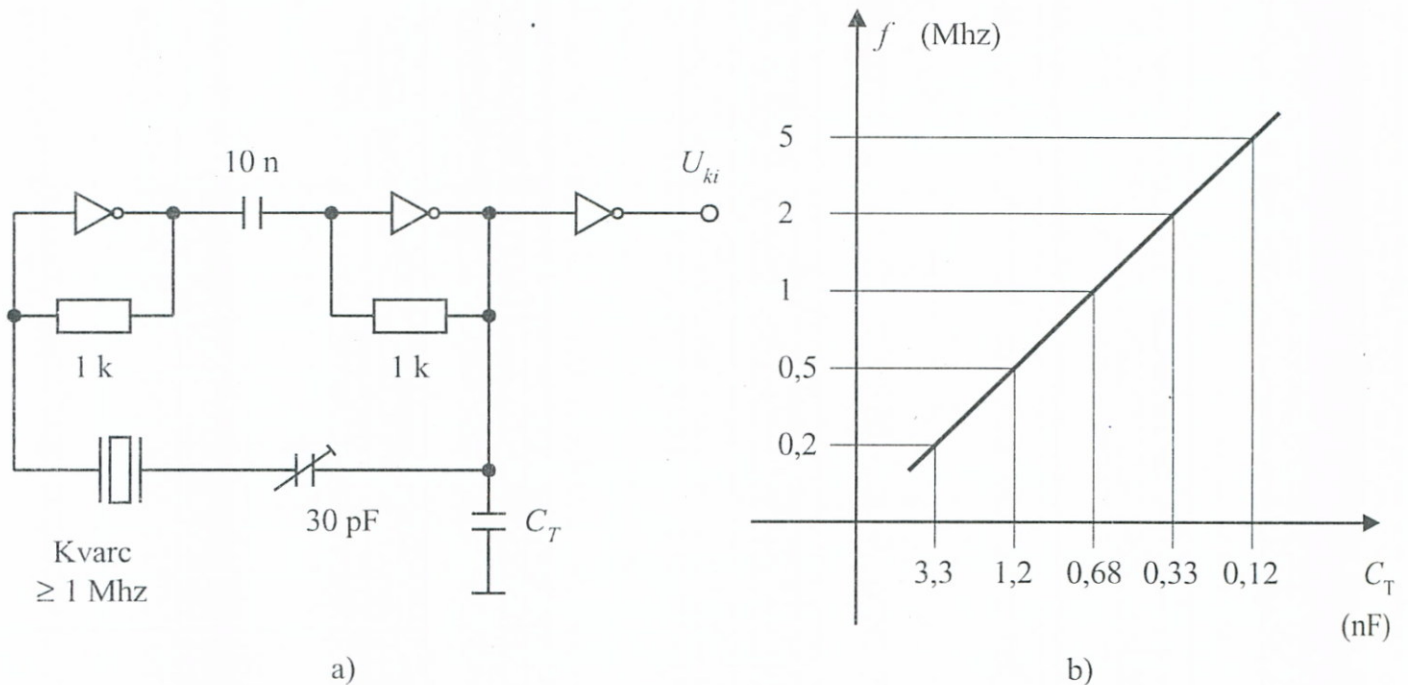
12-44. ábra RC oszcillátor visszacsatolt Schmitt triggerrel



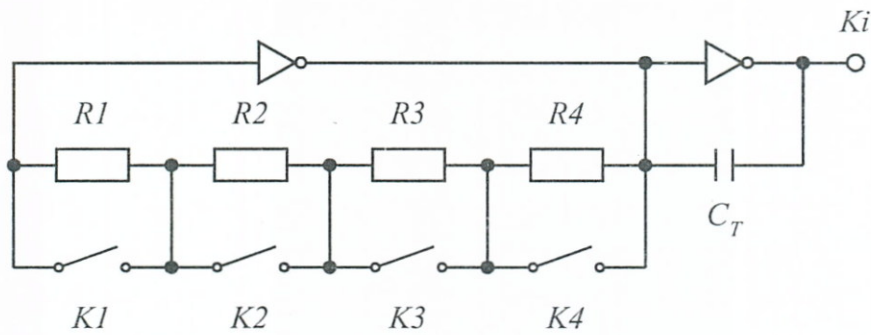
ba kerülését követően a  $C_T$  ondenzátor lassan feltöltődik és midőn ezáltal az I. pont feszültsége eléri a Schmitt trigger  $U_{Tr+}$  küszöbfeszültségét, az átbillen és a kimenet 0 állapotba kerül. Ezt követően a  $C_T$  kondenzátor kisülése indul meg, melynek hatására az I. pont feszültsége a Schmitt trigger  $U_{Tr-}$  küszöbfeszültsége felé csökken, majd ezt elérve, újabb átbillenés következik, és a folyamat ciklikusan folytatódik. A II. pontra csatlakozó második Schmitt triggeres NAND kapu valójában csak kimeneti jelformálásra és leválasztásra szolgál. A 12-44c. ábrán látható nomogramból a kívánt működési frekvenciához beforrasztandó  $C_T$  értékek olvashatók le.

F.4.15. A 12-45a. ábrán egy  $T^2L$  inverterekből felépített kvarc-vezérlésű oszcillátort láthatunk, melynél a kvarckristállyal sorosan elhelyezkedő kondenzátor hangoló trimmer szerepet lát el. A  $C_T$  kondenzátorral állítható kimeneti frekvencia alakulását a 12-45b. ábrán követhetjük.

F.4.16. A G.4.16. feladatnak megfelelően a 12-46. ábrán rajzoltunk fel egy visszacsatolt, CMOS invertereket tartalmazó RC oszcillátort. Itt a frekvenciát a  $C_T$  kondenzátorból és az  $R_1...R_4$  ellenálláslánc megfelelő részéből álló  $R_T$  ellenállás időállandója határozza meg. Az ellenálláslánc egy adott  $R_i$



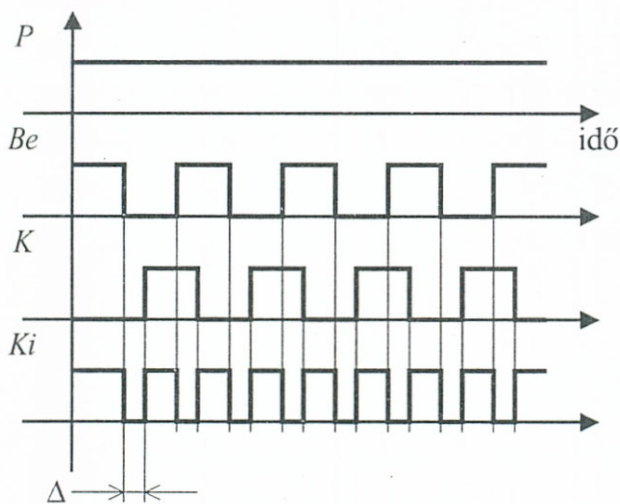
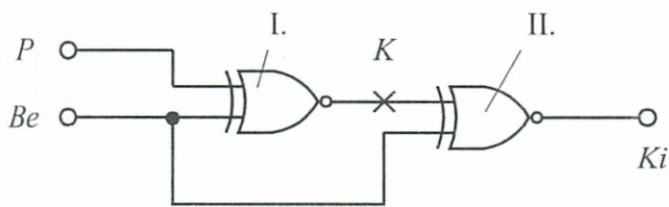
12-45. ábra Kvarcvezérelt RC oszcillátor inverterrel



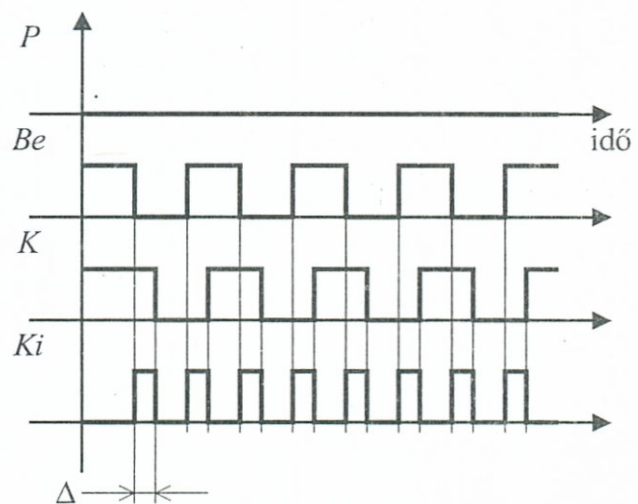
12-46. ábra Programozható CMOS oszcillátor

elemének kiiktatása a  $K_i$  kapcsoló révén történhet, mely kapcsolók is lehetnek MOS elemek. A  $K_i$  kapcsolók kombinálása esetén a különféle frekvencia-féleségek felső határa 16.

- F.4.17. A 12-47a. ábrán antivalencia kapukból felépített kapcsolás látható. Az I. kapu  $P$  impulzus-polaritás vezérlő bemenetével lehet a kimeneti impulzus-sorozat polaritását befolyásolni, oly módon, hogy  $P = 0$  esetén az I. kapu ISMÉTELŐ-ként,  $P = 1$  esetén INVERTER-ként viselkedik a  $Be$  jelű pont je-



b)



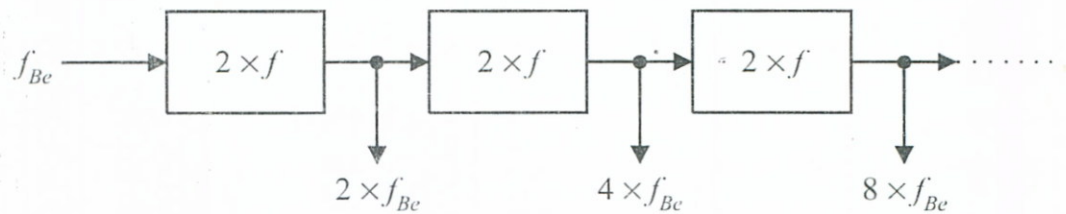
c)

12-47. ábra Polaritásvezérelt frekvenciakétszerező hálózat

lei számára. Az áramköri rajz  $K$  pontjára érkező jelek az I. ANTIVALENCIA kapu késleltetésével eltolva jelennek meg és a II. ANTIVALENCIA kapunál találkoznak a  $Be$  jelű pont impulzusaival. Az eredő kimeneti jelek a II. kimenetén jelentkeznek.

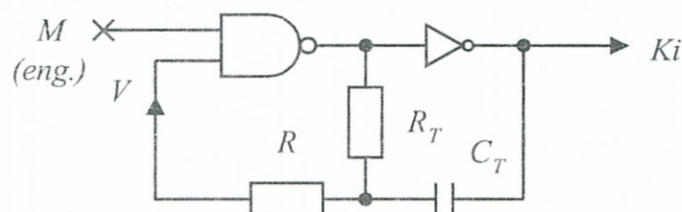
A 12-47b. és c. ábrákon felrajzolt idődiagramok jól szemléltetik a  $P = 1$ , ill.  $P = 0$  esetekre a  $Ki$  ponton megjelenő megkettőzött frekvenciájú impulzus-sorozat kialakulását.

- F.4.18. A frekvencia sokszorozó kapcsolások kialakításának egyik egyszerű módja a kisebb szorzófaktorú egységek kaszkádosítása. Ilyen esetre utaló hálózatot rajzoltunk fel a 12-48. ábrán, ahol modulként pl. az előző példában bemutatott kétszerező kapcsolás is felhasználható. A kérdéses négyszerezés, ill. nyolcszorzás a megfelelő leágazások kivezetésével érhető el, de nincs akadálya további  $2^n$  típusú többszörözésnek a láncolat bővítése révén.



12–48. ábra Frekvencia többszörözés kétszerezők kaszkádosításával

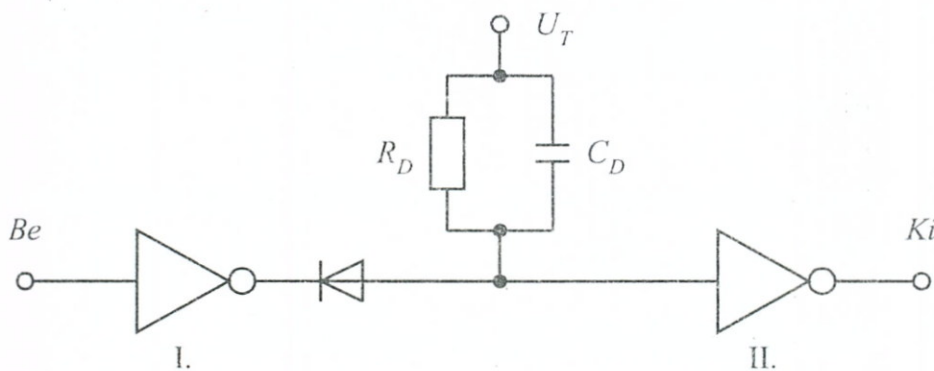
- F.4.19. A 12-30. ábrán kiindulásként megadott  $t_p$  periódusidejű modulált jelsorozat előállítását (többek között) megoldhatjuk egy indított oszcillátor segítségével. A 12-49. ábrán, egy engedélyező bemenettel ellátott  $R_T C_T$  elemekkel hangolható oszcillátort rajzoltunk fel, melynél az áramkör megfelelő pontjain fellépő jeleket a kiinduló 12-30. ábra jeleivel azonos módon jelöltük. Mint látható, az „ $M$ ” moduláló je-



12–49. ábra Modulált R-C oszcillátor

let az  $RC$  oszcillátor engedélyező pontjára vezetjük, mely ÉS bemenetként működik.

- F.4.20. A kérdéses *demodulátor áramkör*-re rajzoltunk fel egy példát a 12-50. ábrán az irodalom alapján. Itt a bemenetre érkező jelsorozat „rövid” impulzusait az I. invertert követő  $R_D C_D$  tag elnyeli, viszonylag nagy időállandója jóvoltából. Ha az eredeti  $M$  moduláló jelnél jelszünet ( $M = 0$ ) jelentkezik, akkor - mivel ez mindig hosszabb ideig tart - az  $R_D C_D$  tag időállandója ki tudja fejteni hatását, és elérvén a kimeneti II. inverter küszöbértékét, azt át tudja kapcsolni. Ily módon a  $K_i$  kimeneti ponton újra kialakulhat az eredeti  $M$  moduláló jel. A berendezés akkor működik használhatóan, ha az  $R_D \cdot C_D > t_p$  feltétel teljesül. Itt  $t_p$  a 12-30. kiinduló-ábrán szereplő periódusidő.



12-50. ábra Demodulátor

### 12.5.1. Gyakorló feladatok az 5. „Digitális áramkörök” c. fejezethez

- \*G.5.1. Jellemezzük a feszültség és áramlogikák közötti összefüggést.
- \*G.5.2. Rajzoljunk fel egy antivalencia áramkört kapcsolókkal.
- \*G.5.3. Rajzoljuk fel az alábbi függvényt realizáló áramlogikás és feszültséglogikás kapcsolóhálózatot.

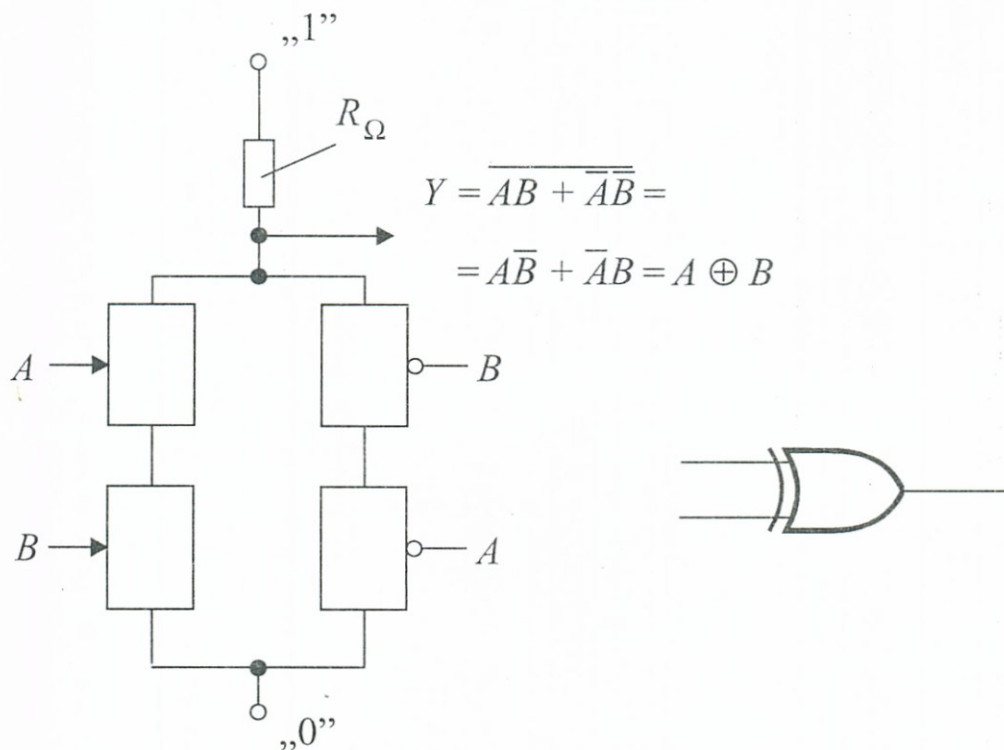
$$Y = A \cdot \bar{B} + (\bar{C} + D) \cdot \bar{A}$$

- \*G.5.4. Rajzoljunk fel egy Schottky-diódás VAGY-kaput és vizsgáljuk meg működését.
- \*G.5.5. Feltételezve, hogy a G.5.3. példabeli hálózat pozitív logikában működik, adjuk meg, hogy negatív logikában mit valósít meg.
- \*G.5.6. Rajzoljunk fel egy MOS-TRANSFER kaput tartalmazó áramkört.
- \*G.5.7. Rajzoljunk fel egy CMOS kapcsolást az
$$Y = \bar{A}(B + \bar{C})$$
függvény realizálására.
- \*G.5.8. Valósítsuk meg a G.5.3.-beli függvényt  $T^2L$  HUZALOZOTT (wired) kapcsolással.
- \*G.5.9. Rajzoljunk fel egy háromállapotú kimenettel rendelkező invertert, ahol a kimeneti állapot beállítása *nem soros* kapcsolóval történik.
- \*G.5.10. Rajzoljunk fel egy ECL kapcsolást és ismertessük működését.
- \*G.5.11. Rajzoljunk fel *dinamikus* MOS invertert és ismertessük működését.

- \*G.5.12. Rajzoljunk fel egy *előtöltéses* MOS invertert és ismertessük működését.
- \*G.5.13. Rajzoljuk fel egy szinkron-inverz *S–R* tárolóelem logikai vázlatát.
- \*G.5.14. Rajzoljuk fel egy *élvezérelt D*-tárolóelem logikai vázlatát.
- \*G.5.15. Rajzoljunk fel DATA LOCK OUT típusú élvezérelt Master–Slave *D*-tárolóelem logikai vázlatát.

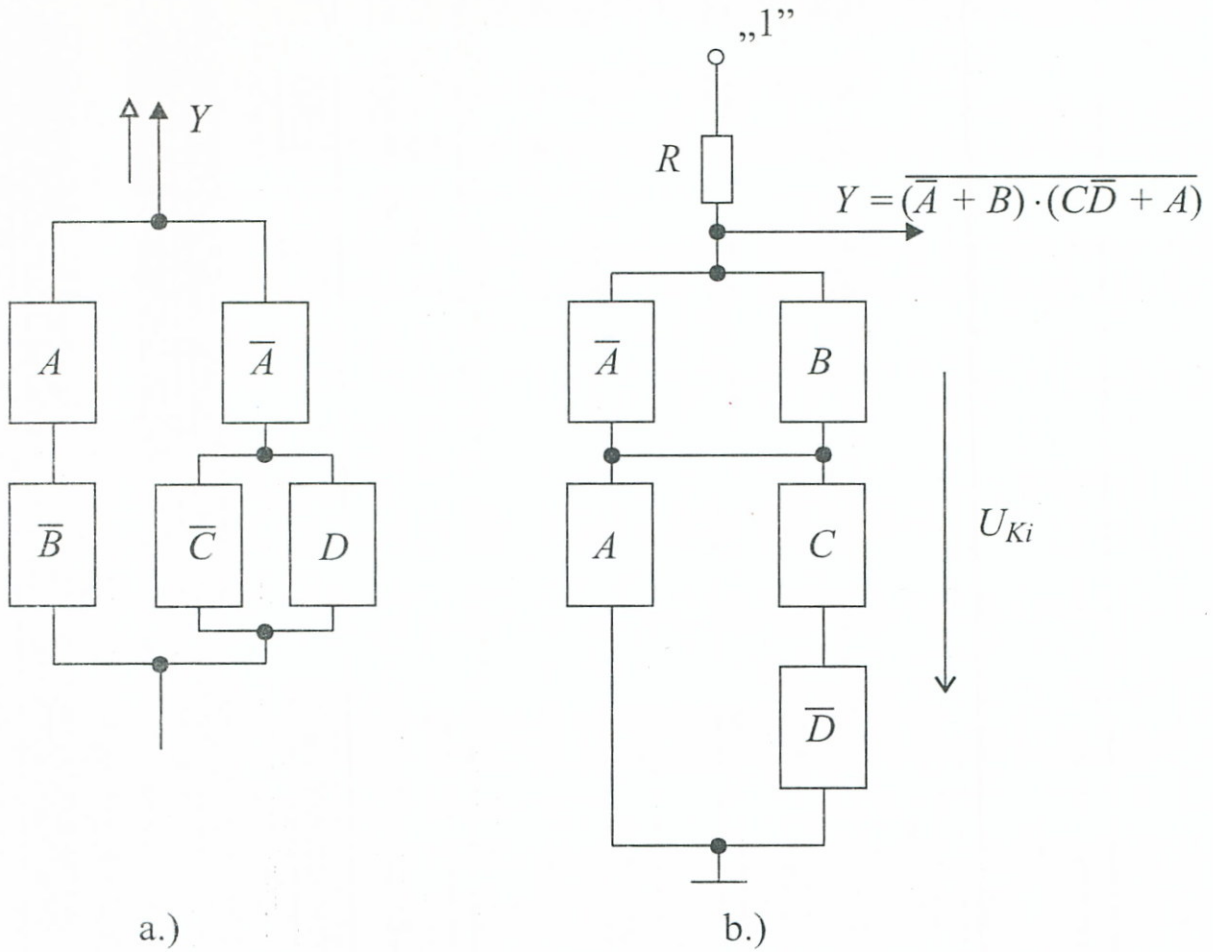
## 12.5.2. Feladatmegoldások az 5. fejezethez

- F.5.1. Az összefüggéseket az 5. fejezet (5.1) formulák és az 5–9. ábra adja meg.
- F.5.2. A megoldás a 12–51. ábrán látható.



**12–51. ábra** Antivalencia kapu kapcsolókkal realizálva

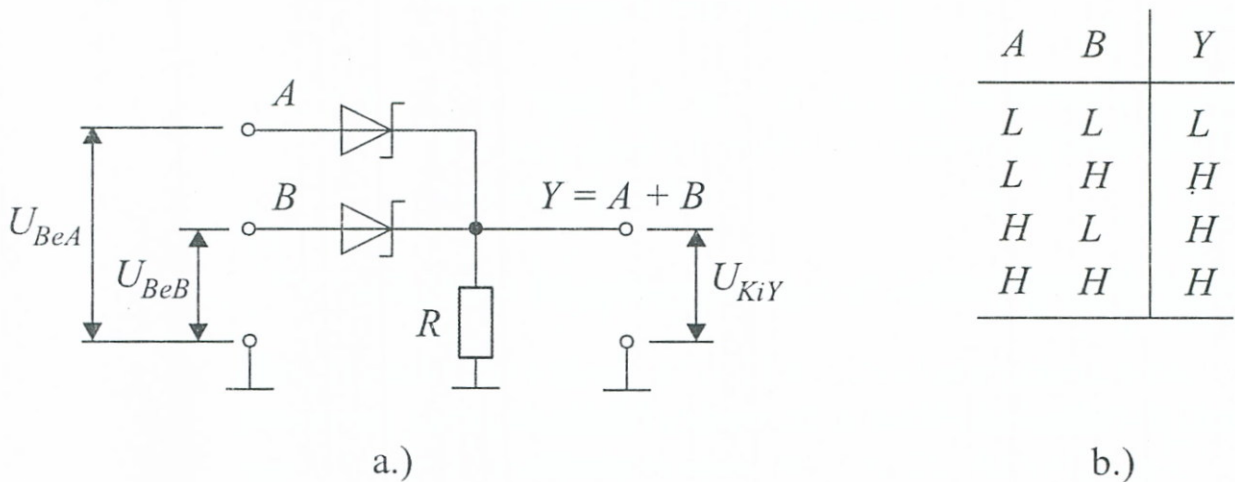
- F.5.3. Az áramlogikás hálózat a 12–52a. ábrán a feszültséglogikás 12–52b. ábrán látható. Ez utóbbi felrajzolásához először az  $\overline{Y}$ -at állítottuk elő az 5–9b. ábra értelmében. A negált függvény:



12–52. ábra  $Y = A\bar{B} + (\bar{C} + D)\bar{A}$  realizációi

$$\bar{Y} = (\bar{A} + B) \cdot (C \cdot \bar{D} + A)$$

F.5.4. Pozitív logikás megoldást rajzoltunk fel a 12–53a. ábrán. Itt bármelyik bemenetre H szint érkezik az illető dióda vezetni



12–53. ábra VAGY kapcsolat Schottky diódákkal

kezd, így a kimeneten is  $H$  szint jelenik meg a 12–53b. táblázatnak megfelelően.

F.5.5. Mint láttuk az 5–12b. ábránál, itt a duálfüggvényt kell felírunk. Ez a (2.6) összefüggés segítségével a következő lesz:

$$Y^D = [A\bar{B} + (\bar{C} + D)\bar{A}]^D = \overline{\bar{A} \cdot B + (C + \bar{D}) \cdot A} = (A + \bar{B}) \cdot (\bar{C} \cdot D + \bar{A})$$

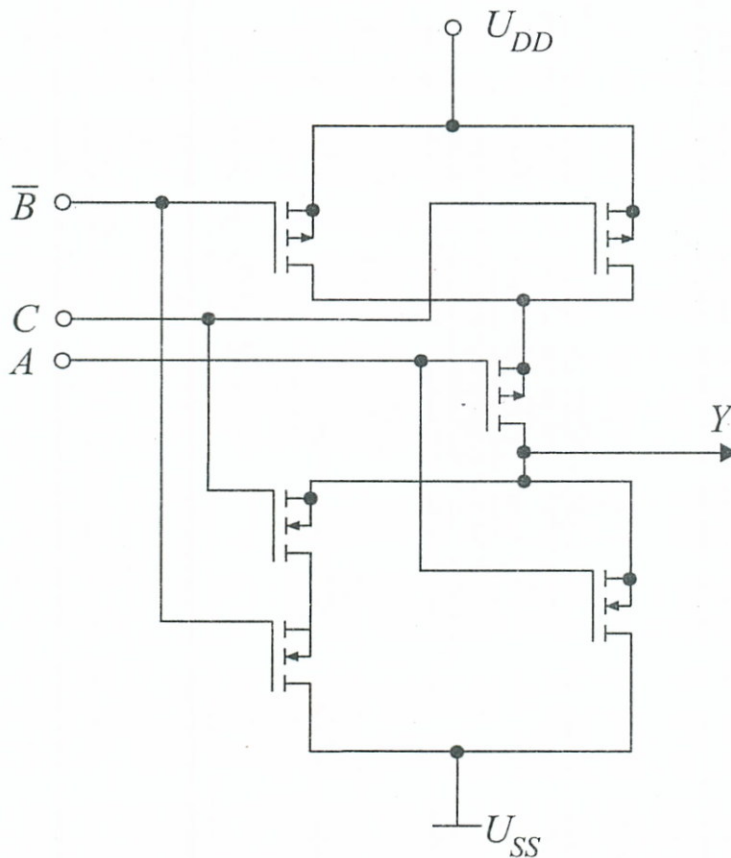
F.5.6. Ilyen megoldás látható az 5–29. ábrán.

F.5.7. A hálózat felrajzolásához az 5–31a. ábra szolgálhat kiindulásul. Eszerint képeznünk kell az  $Y$  kiindulófüggvény negáltját ( $H_A$ ) és ennek duálját az n- és p-típusú hálózatrészekhez, mivel:

$$Y = Y_{Ki} = \bar{H}_A(Be)$$

$$H_A = \bar{Y} = \overline{\bar{A}(B + \bar{C})} = A + \bar{B} \cdot C$$

$$H_A^{DUAL} = \overline{\bar{A} + B \cdot \bar{C}} = A \cdot (\bar{B} + C)$$



12–54. ábra CMOS realizálási példa



A végleges hálózat a 12–54. ábrán látható, általánosított MOS jelölésekkel.

- F.5.8. A *huzalozott* (WIRED) kapcsolások elvét az 5–21. ábra hálózata mutatja, melynek ún. *szabadkollektoros* (OPEN COLLECTOR) NAND elemét az 5–20c. ábrán tanulmányozhatjuk.

A megoldáshoz a kérdéses függvényt *negált diszjunktív* jellegű alakra kell hozni első lépésben, majd ez ennek megfelelő, 5–21. ábrához hasonló kapcsolást kell felrajzolni.

a) *Megoldási változat:*

A kiindulófüggvényt az alábbi módon átalakítjuk:

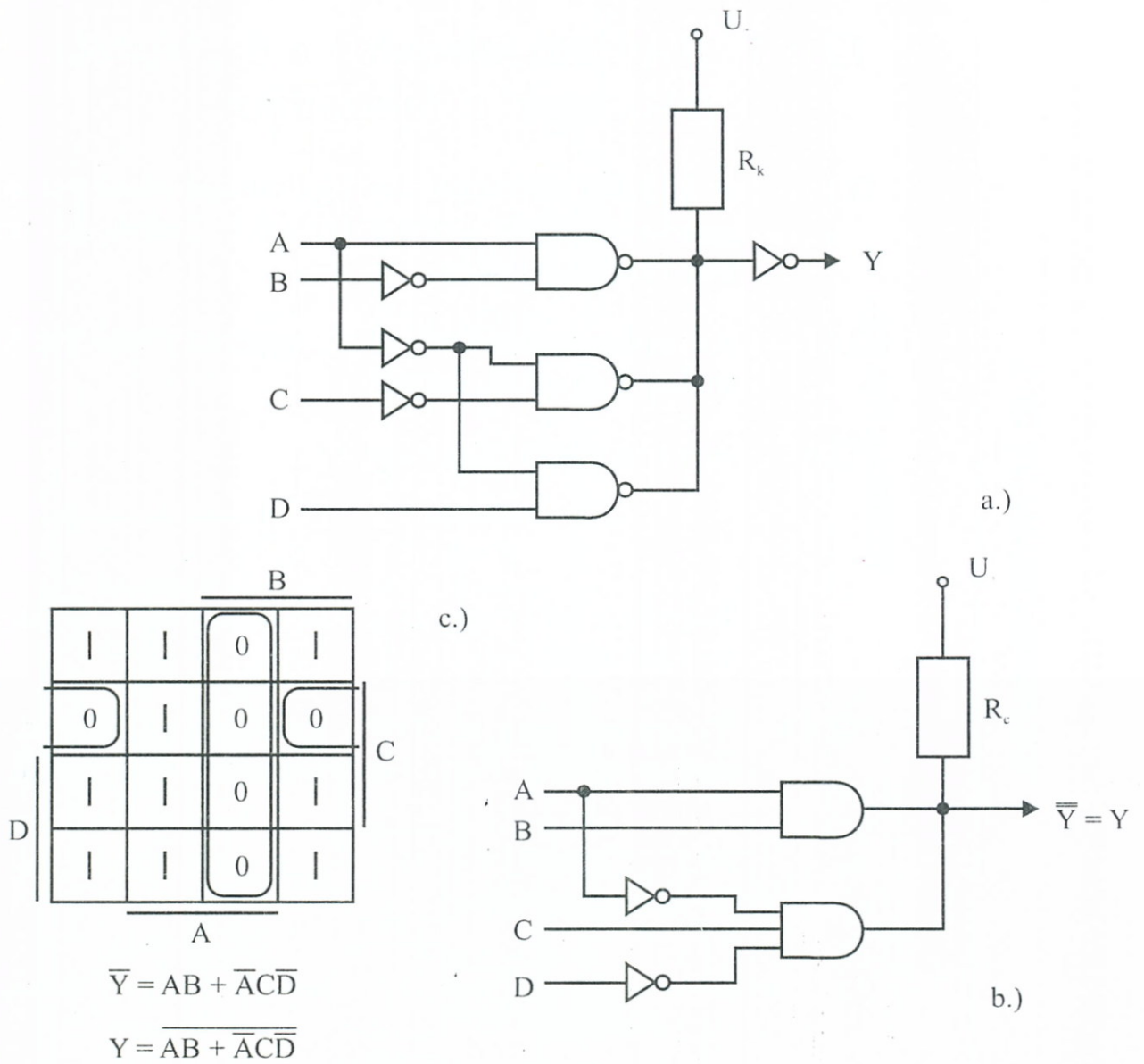
$$Y = A \cdot \bar{B} + (\bar{C} + D) \cdot \bar{A} = A\bar{B} + \bar{C}\bar{A} + D\bar{A} = \overline{\overline{A\bar{B} + \bar{C}\bar{A} + D\bar{A}}}$$

Az a) változat realizációját a 12–55a. ábra mutatja:

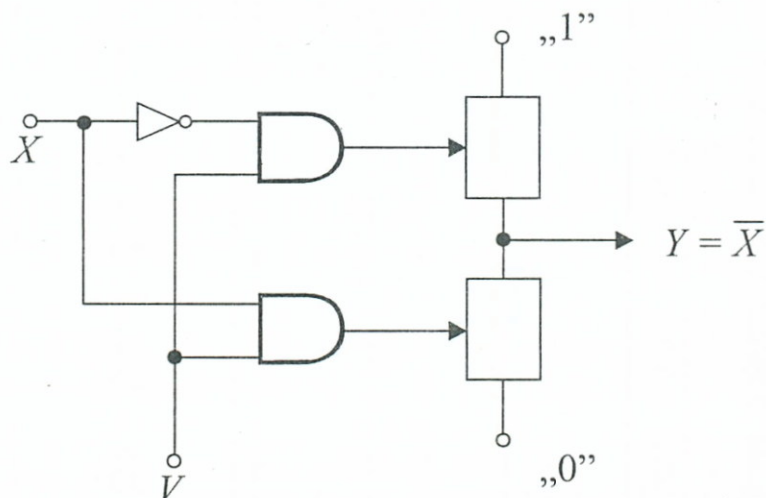
b) *Megoldási változat:*

Előállítjuk a kiinduló függvény *negáltját* minimál diszjunktív alakban és erre közvetlenül alkalmazzuk az *eleve negált típusú* alakot megvalósító 5–21. ábrabeli kapcsolást. A negálást a 12–55c. ábrán végeztük el a „0”-ás term-ek tömbösítésével, a végleges hálózatot itt a 12–55b. ábra mutatja. Mint látható, ez esetben a második változat az egyszerűbb.

- F.5.9. A megoldásnál az 5–7b. ábra támpontul szolgál, de most az ÉS-funkciót előre hoztuk a kapcsolók elé (12–56. ábra).
- F.5.10. A megoldásnál támpontul szolgálhatnak az 5–25. ábrán látható kapcsolások.
- F.5.11. A megoldás az 5–34. ábrán látható.
- F.5.12. A megoldás az 5–35. ábrán látható.
- F.5.13. A megoldásnál támpontul szolgálnak az 5–37. ábrán látható kapcsolások.
- F.5.14. Egy lehetséges megoldás az 5–42. ábrán látható.
- F.5.15. Egy megoldási változat az 5–43. ábrán látható.



12-55. ábra A G.5.7. feladat realizációs változatai



12-56. ábra Háromállapotú inverter

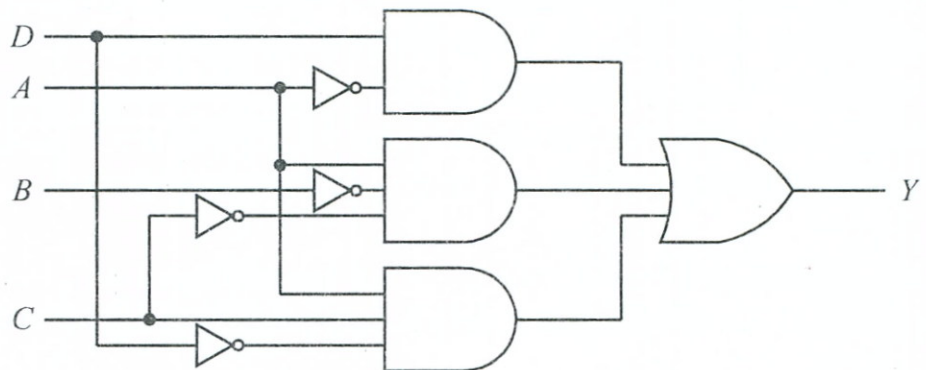
### 12.6.1. Gyakorló feladatok a 6. „Digitális hálózatok” c. fejezethez

- G.6.1. A digitális hálózatok alapfogalmainak elmélyítése céljából gondoljuk végig mégegyszer a 6.1. Definíciók című pontban összefoglaltakat.
- G.6.2. Az automataelméleti jellemzés elmélyítése érdekében ismételjük át a 6.1. Példát.
- \*G.6.3. Adva az alábbi függvény:

$$Y = \prod_{i \in \{0, 1, 2, 6, 7\}}^3$$

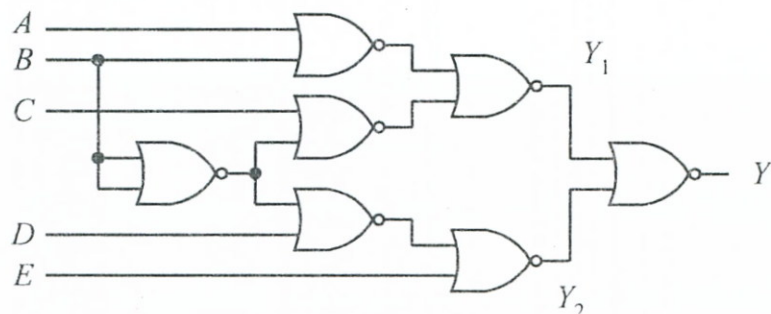
Rajzoljuk fel a megvalósítható legegyszerűbb, hazardmentes hálózatot.

- \*G.6.4. Vizsgáljuk meg a 12–57. ábra szerinti hálózatot hazard szempontjából. Ha találunk hazardot, küszöböljük ki:

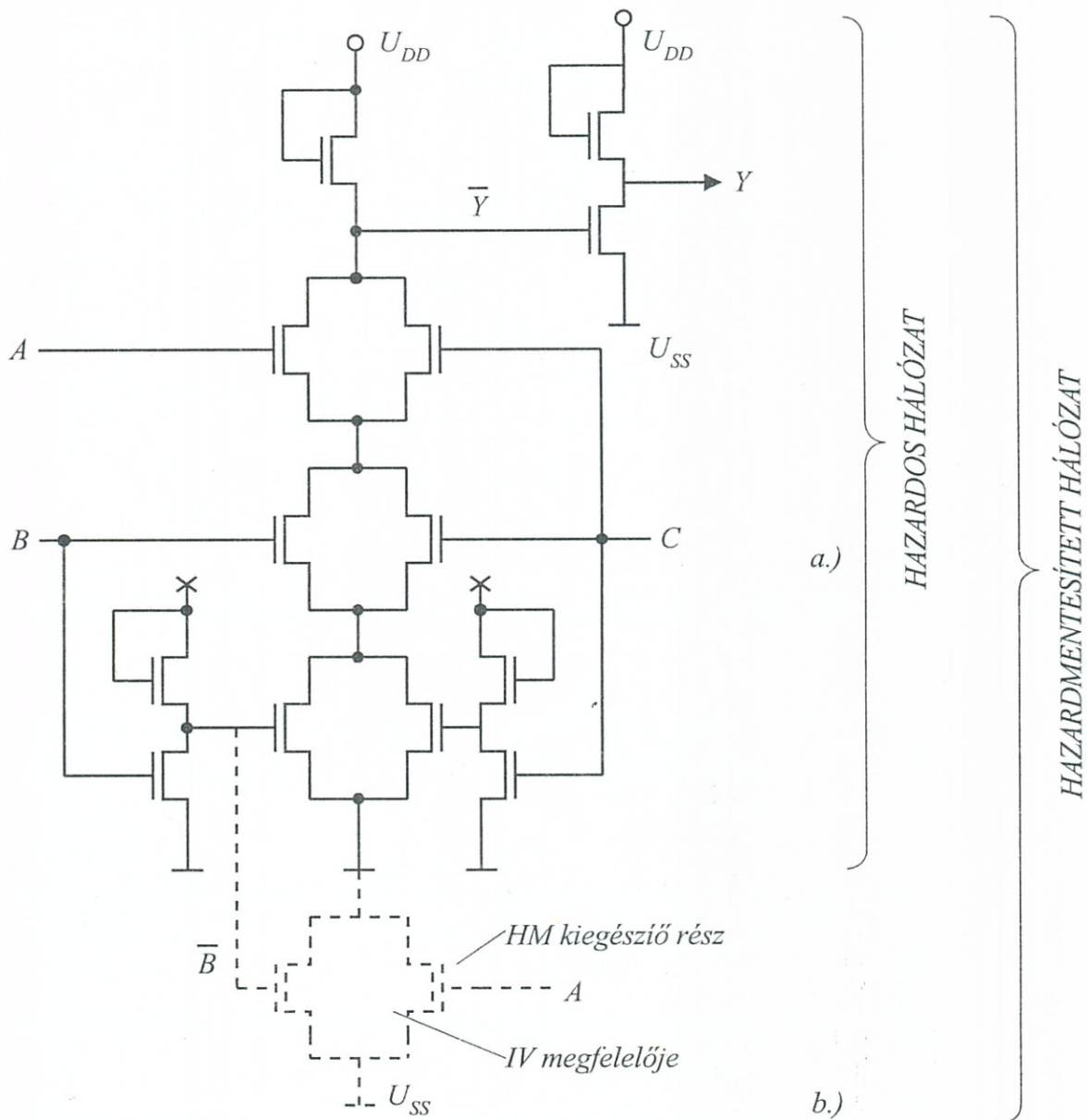


12-57. ábra Kindulás a G.6.4. példához

- \*G.6.5. Fellephet-e dinamikus hazard a 12–58. ábra hálózatánál? Ha igen, adjuk meg, hogy milyen bemeneti vezérlési feltétel esetén.



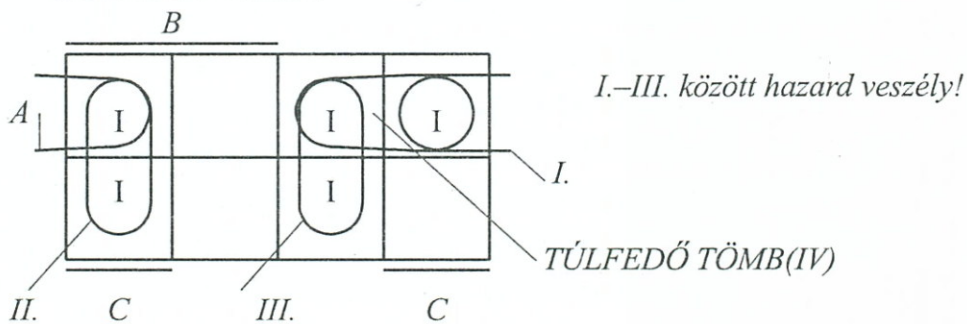
12-58. ábra Kindulás a G.6.5. példához



KIMETI FÜGGVÉNY:  $Y = \overline{\overline{Y}} = (A+C)(B+C)(\overline{B}+\overline{C})$

I. II. III.

MAXTERM TÁBLA:

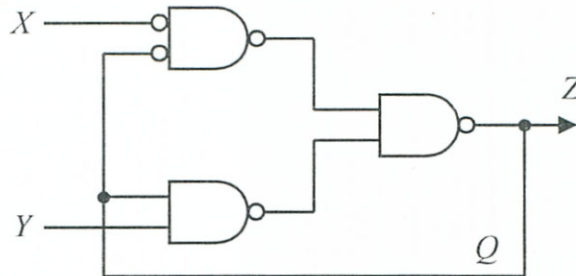


HAZARDMENTESÍTETT FÜGGVÉNY:  $Y = (A+C)(B+C)(\overline{B}+\overline{C})(A+B)$

I. II. III. IV.

12-59. ábra Hazardmentesítés MOS hálózatnál a G.6.6. példával kapcsolatban

- \*G.6.6. Vizsgáljuk meg a 12–59a. ábrán látható MOS áramkört HAZARD szempontjából.
- \*G.6.7. Van-e gerjedési veszély, és hol a 12–60. ábrabeli visszacsatolt hálózatban, és lehet-e versenyfutás?

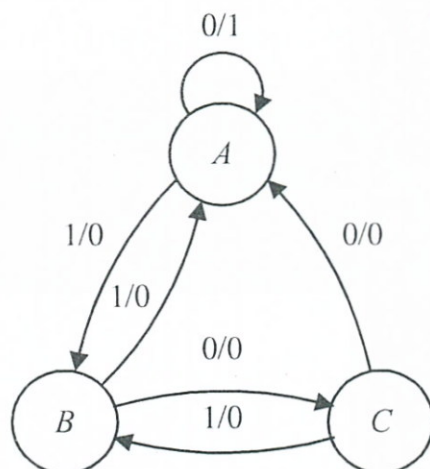


12-60. ábra *Visszacsatolt kombinációs hálózat a G.6.7. példához*

- \*G.6.8. Állapítsuk meg, milyen az a hálózat a 6–23a. ábra üres blokkjában, amely a 6–23d., e., f. tranziens-viselkedést mutatja?
- \*G.6.9. Vizsgáljuk meg a 2–24. ábra viselkedését a belső késleltetések figyelembevételével.
- \*G.6.10. Rajzoljunk fel állapotgráfokat a következő esetek szemléltetésére:
  - iniciálisan összefüggő
  - abszorbens
  - izolált.
- \*G.6.11. Legyen adva két összetevő automata ( $SH_I$  és  $SH_{II}$ ) a 12–61a, c. ábrán látható Huffman-táblákkal, és a 12–61b, d. állapotgráfokkal jellemezve. Az ábrán egyszerűsített jelöléseket vezetünk be, hogy az indexekkel történő bajlódást megtakarítsuk. Határozzuk meg a két összetevő *parallel kapcsolásának* eredőjét. Az eredő kimenetét előállító *KH $\varphi$  kombinációs automata  $\varphi$  leképező-függvénye* jellemezzen egy egyszerű diszjunkciót. Legyen mindkét összetevőnk *iniciális* automata, és a kezdeti állapotok legyenek:  $SH_I$ -nél: „A”,  $SH_{II}$ -nél: „D”.

		x	
		0	1
q	A	A/1	B/0
	B	C/0	A/0
	C	A/0	B/0

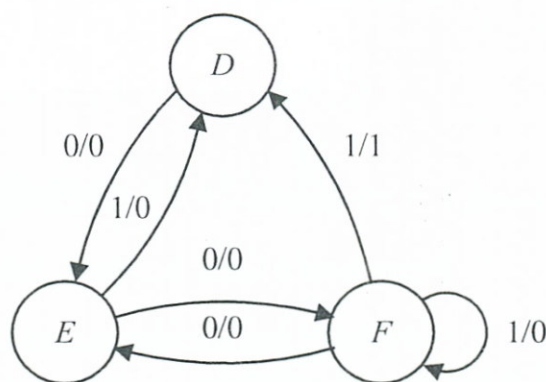
a.)



b.)

		x	
		0	1
q	D	E/0	F/1
	E	F/0	D/0
	F	E/0	F/0

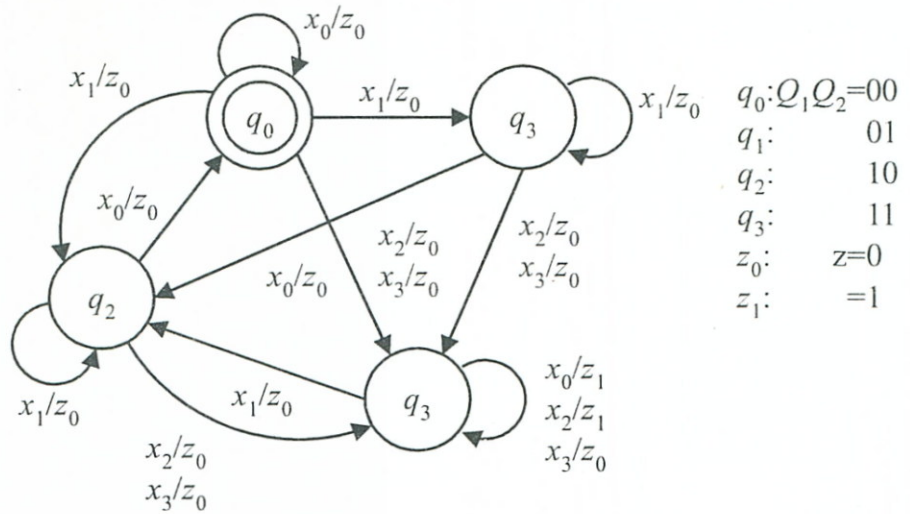
c.)



d.)

12-61. ábra *Komponens automaták a G.6.11. példához*

- \*G.6.12. Határozzuk meg a G.6.11. példabeli komponensek *soros* (kaszád) összekapcsolásából származó eredő automatát. Legyenek itt is iniciális állapotok kijelölve, így  $SH_I$ -nél „A”,  $SH_{II}$ -nél pedig „E”-ből történjék a kiindulás.
- \*G.6.13. Tekintsük a  $T$  flip-flop-ot egy komponens automatának. Kapcsoljunk kaszádba a  $T$  flip-flopokból kettőt, és vizsgáljuk meg az eredő automata működését.
- \*G.6.14. Adva a 12-62. ábrán látható állapotgráf. Vizsgáljuk meg ütemdiagramok segítségével a gráffal jellemzett sorrendi hálózat működését a  $q_0 : Q_1 Q_2 = 00$  állapotból indulva



12-62. ábra Kiinduló állapotgráf a G.6.14. példához

$$s_x^7 = x_0 - x_1 - x_3 - x_2 - x_0 - x_1 - x_0 =$$

$$AB$$

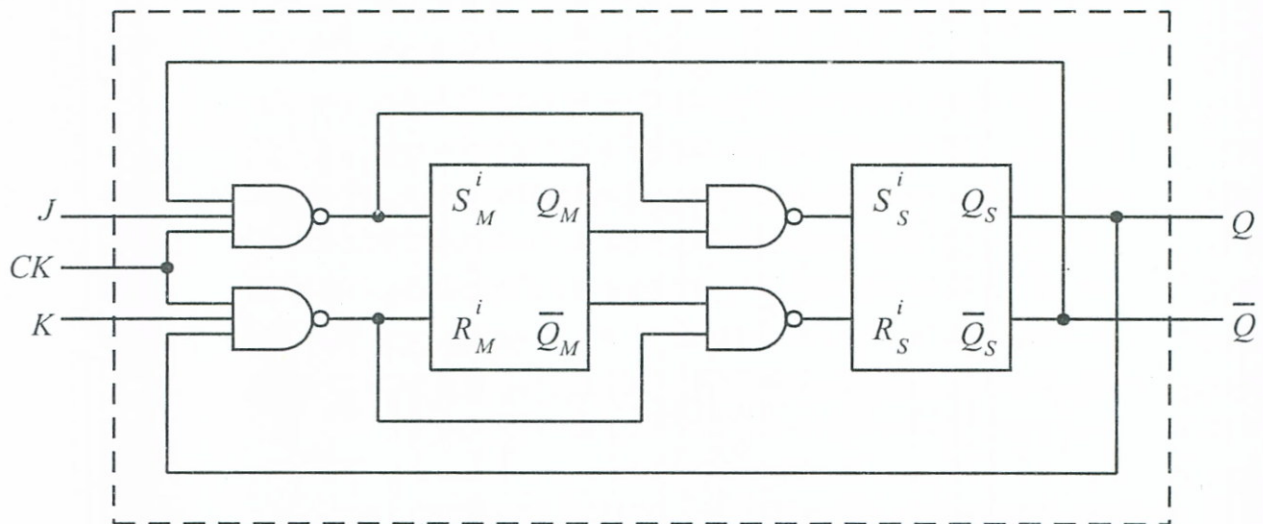
$$= 00 - 01 - 11 - 10 - 00 - 01 - 00$$

bemeneti állapotsorozat hatására:

- először aszinkron,
- majd szinkron

működést feltételezve.

\*G.6.15. Vizsgáljuk meg a 12-63. ábrán látható közbenső tárolós kapcsolás viselkedését a CK órajel egyes fázisaiban.



12-63. ábra Kiinduló ábra a G.6.15. példához

- \*G.6.16. Alakítsunk ki  $J$ - $K$  tárolóelemet  $D$ -típusú elemből kiindulva.
- \*G.6.17. Alakítsunk ki az alábbi függvényegyüttesből kombinációs hálózatot a) ROM, b) PLA, c) PAL realizációs változatokban.

$$Y_1 = \overline{C}B + B\overline{A}$$

$$Y_2 = CA + \overline{C}B\overline{A}$$

$$Y_3 = C \cdot (A+B) + \overline{C} \cdot \overline{B} \cdot \overline{A}$$

$$Y_4 = \overline{C} \cdot \overline{B} \cdot \overline{A}$$

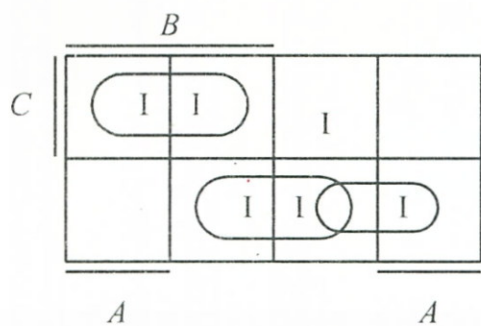
- \*G.6.18. Programozzuk fel egy MAX-LAB egységet a következő felhasználásra:
- tárolóelem
  - egyedi órajel
- \*G.6.19. Programozzuk fel egy XILINX-CLB egységet a következő felhasználásba:
- aktív tárolóelem
  - tároló kimenete visszacsatolva
  - a tárolóelem visszacsatoló ága kapuzottan egy 4-bemenetű KH-ra csatlakozzon.

## 12.6.2. Feladatmegoldások a 6. fejezethez

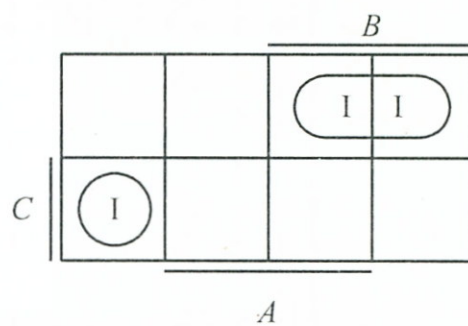
- F.6.3. Felrajzolva a kiinduló konjunktív alakhoz tartozó *maxterm*-táblát a 12-64a. ábrán látható, hogy az élszomszédos tömbök miatt hazardveszély áll fenn, melyet a  $(B+A)$  lefedő implikánssal lehet közömbösíteni (12-64c. ábra). Lényegesen egyszerűbb eredményhez jutunk, ha a *minterm*-táblára térünk át (12-64b. ábra). Itt nincsenek élszomszédos tömbök és a kapuk száma is csökkenthető, mint ez a 12-64d. ábrából látható.
- F.6.4. A megoldáshoz fel kell írni a kimenetet:

$$Y = \underbrace{D \cdot \overline{A}}_a + \underbrace{\overline{C} \cdot \overline{B} \cdot A}_b + \underbrace{CDA}_c$$

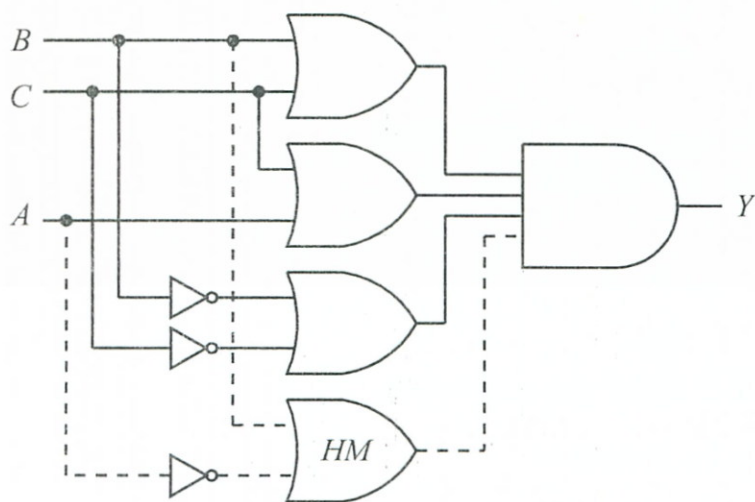




a.)

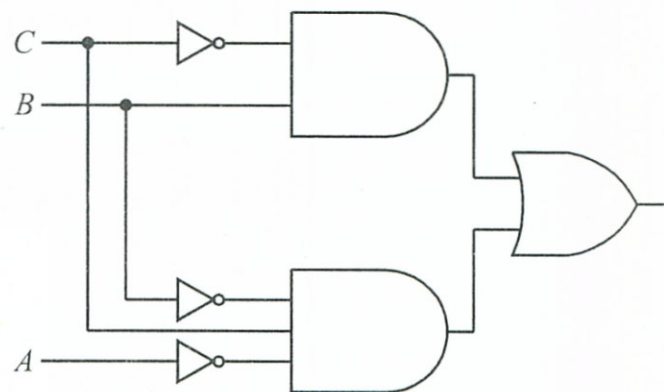


b.)



$$Y_{HM} = (C+B) \cdot (C+A) \cdot \overline{(C+B)} \cdot \overline{(B+A)} \quad \overbrace{HM}$$

c.)



$$Y = \bar{C} \cdot B + C \cdot \bar{B} \cdot \bar{A}$$

d.)

12-64. ábra Hazardmentesítés a G.6.3. példához

A megoldást itt először a 6.2.1.1. pontban megfogalmazott hazard keletkezési feltételek alapján végezzük el, mely szerint *diszjunktív alak esetén a hazard feltétele* a következő:

– legyen legalább két alábbi típusú implikáns:

$$\left. \begin{aligned} I'_D &= X_i \cdot E' \\ I''_D &= \bar{X}_i \cdot E'' \end{aligned} \right\} \text{ ahol: } E', E'' \text{ az ÉS-típusú implikánsok } X_i, \bar{X}_i \text{ nélküli részei}$$

– és fennáll:

$$E' \cdot E'' \neq 0$$

– továbbá:

$E', E''$  nem szerepel a diszjunktív alakban.

A példához már felírt  $Y$  függvényénél  $a, b, c$ -vel megjelöltük a szereplő implikánsokat és a fenti hazardfeltétel alapján páronként megvizsgáljuk őket:

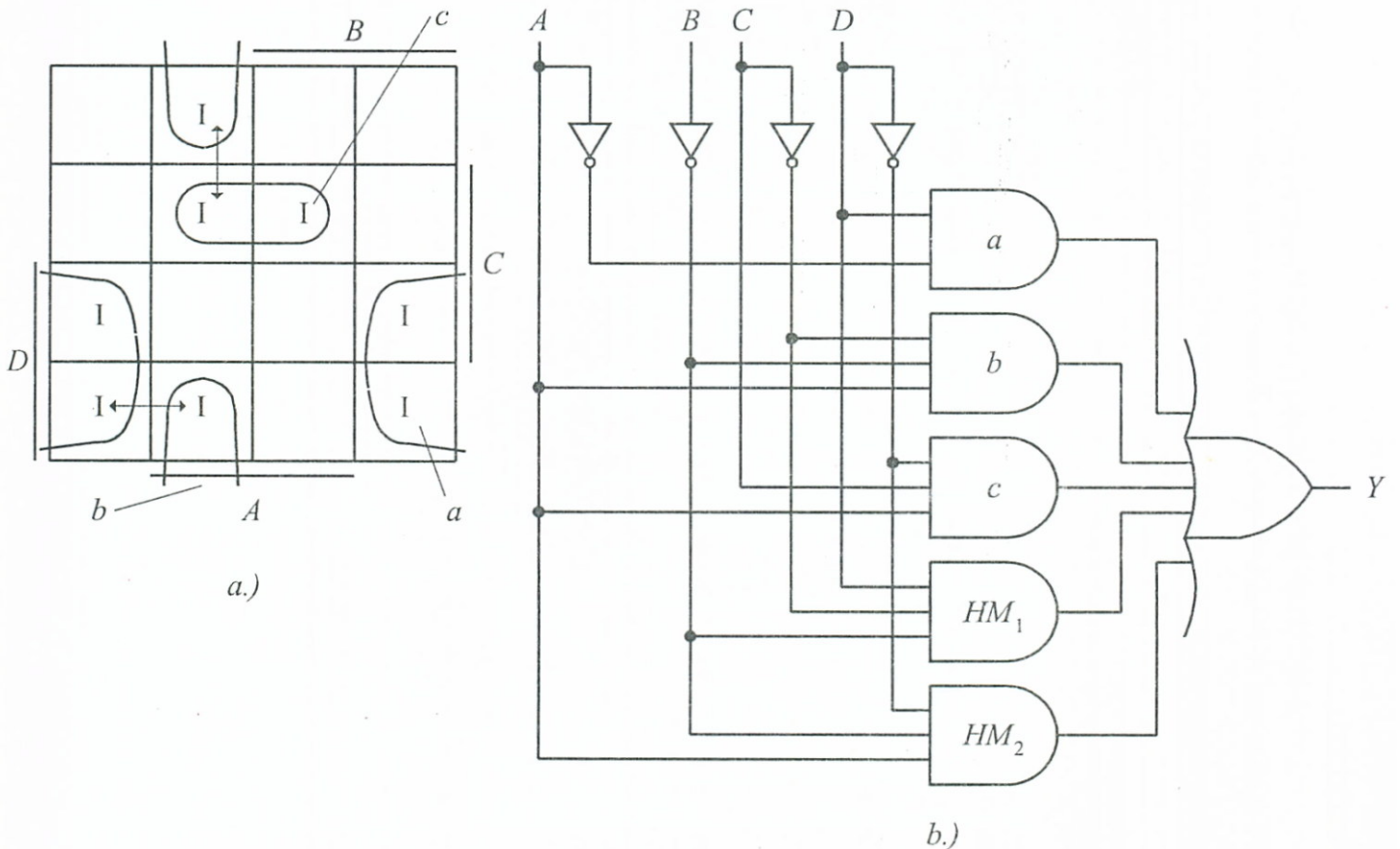
$$a-b: \underbrace{D \cdot \bar{A} \quad \bar{C} \cdot \bar{B} \cdot A}_{X_i} \text{ és } D \cdot \bar{C} \cdot \bar{B} \neq 0 \text{ hazard lehet}$$

$$a-c: \underbrace{D \bar{A} \quad \bar{D} C A}_{X_i} \text{ de } D \cdot \bar{D} C = 0 \text{ hazard nem lehet}$$

$$b-c: \underbrace{\bar{C} \bar{B} A \quad \bar{D} C A}_{X_i} \text{ és } \bar{D} \cdot \bar{B} \cdot A \neq 0 \text{ hazard lehet}$$

A vizsgálat azt mutatja, hogy két esetben keletkezhet 1-es típusú sztatikus hazard. Azért 1-es típusú, mert a diszjunktív alak prim-implikánsai közötti átmenetkor keletkezhet, azaz  $Y = 1$  kimeneti érték közben.

Ha a  $D \bar{C} \bar{B}$  és a  $\bar{D} \bar{B} A$  prim-implikánsokat is hozzáadjuk a függvényhez, akkor megszüntetjük a hazard keletkezésének lehetőségét. Ugyanis pl. az  $a$  és  $b$  prim-implikánsokat realizáló kapuk közötti vezérlés-átadás közben a  $D \bar{C} \bar{B}$ -t megvalósító hazard-mentesítő kapu biztosítja az  $Y = 1$  érté-



12-65. ábra Szatikus – hazardoktól mentesített hálózat

ket. Hasonlóan, a  $b-c$  esetben a  $\overline{D}\overline{B}A$  kapu lesz a hazard-mentesítő.

Az elmondottakat grafikusan is követhetjük a 12-65a. ábra élszomszédos tömbjeinek keresésével.

Végül a hazard-mentesített hálózatot a 12-65b. ábrán rajzoltuk fel.

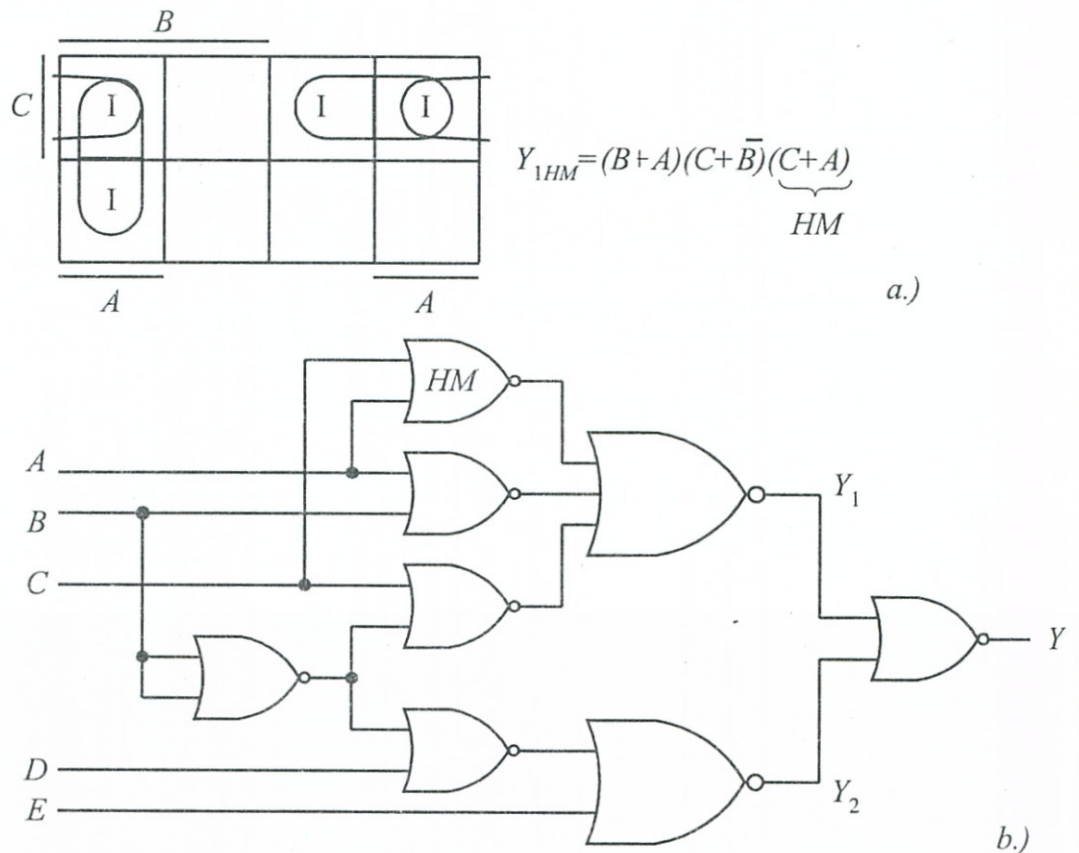
- F.6.5. Dinamikus hazard mindig csak olyankor jelentkezhethet, ha sztatikus hazard is keletkezett. Felírva az áramkör jellegzetes pontjainak függvényeit a NOR-NOR  $\rightarrow$  NEM-ÉS-VAGY transzformációt nem részletezve (lásd: 2. fejezet 2-12b. ábra):

$$Y = \overline{Y_1} \cdot \overline{Y_2}$$

$$Y_1 = (B + A) \cdot (C + \overline{B}) \text{ és } C + A \neq 1 \text{ hazard lehet (,0"-típusú hazard)}$$

$$Y_2 = (D + \overline{B}) \cdot \overline{E}$$

ahol a hazard-vizsgálatot most a 6.2.1.1. pontbeli *konjunktív alakra* megfogalmazott hazard-feltételek szerint végeztük. Végül a 12-66a. ábra  $Y_1$  V-K tábláján is bejelöltük a



12-66. ábra Dinamikus hazardtól mentesített hálózas

hazard-veszélyes részt, melyet a 12–66b. logikai vázlaton berajzolt HM-jelű kapuval közömbösítünk.

F.6.6. Az újdonságot ennél a feladatnál a MOS kapcsoló-elemekből felépülő *áramlogikás* hálózat jelenti. A 12–59. ábrán felírtuk az a kiinduló a) ábrarészből leolvasott konjunktív függvényt, melyet maxterm táblán ábrázolva felismerhető a hazard-veszély. A szükséges *túlfedő* tömböt képviselő hálózatrészt a b) ábrarésznél csatlakoztattuk a kiinduló hálózathoz.

F.6.7. A jellemző függvények közül csak a belső állapotfüggvényt kell felírni, és mivel a  $Q = Z$ , így a kimeneti tábla is azonos lesz a gerjesztési táblával. A hálózatból felírható a *gerjesztési függvény*, esetünkre alkalmazva a NAND–NAND–ÉS–VAGY transzformációs formulát is (2–12. ábra, 24a. képlet):

$$Z = Q' = (\bar{X}|\bar{Q}) | (Y|Q) = \bar{X} \cdot \bar{Q} + Y \cdot Q$$

Ezzel felrajzolható a 12–67a. ábra szerinti gerjesztési tábla. A gerjesztési tábláról a  $Q' = Q$  stabil,  $Q' \neq Q$  instabil feltételek segítségével átjelölhetjük a 12–67b. átmeneti táblára az instabil és a bekarikázott stabil helyeket, továbbá az instabil állapotokból kiinduló belső átmeneteket. Mint látha-

XY	00	01	11	10
Q	0	I	I	
1		I	I	

a.) Gerjesztési tábla

XY	00	01	11	10
Q	0	↻	↓	↻
1		↓	○	↑

b.) Átmeneti tábla

XY	00	01	11	10
Q	0		○ a	○ b
1		○ c	○ d	

c.) Állapot tábla

12-67. ábra Jellemző táblák

tó, az  $XY = 00$  vezérlésnél gerjedés lép fel. Teljesség kedvéért a 12-67c. ábrán megadtuk az állapottáblát is.

F.6.8. A dobozban egy visszacsatolt rendszerbe illeszkedő KH van, mely három bemenettel ( $X, Q_1, Q_2$ ) és két kimenettel ( $Q'_1, Q'_2$ ) rendelkezik.  $Q'_1$  és  $Q'_2$  felírhatók a 6-23b. gerjesztési táblából, ha azt  $Q'_1-Q'_2$  V-K táblákra szétválasztjuk a 12-68. ábra szerint. Innen a minimalizált függvények a 12-68b. és 12-68c. ábrákból:

$$Q'_1 = X \cdot \bar{Q}_2 + \bar{X} \cdot Q_1 \cdot Q_2$$

$$Q'_2 = \bar{Q}_1$$

A kérdéses KH a 12-68d. ábrán látható.

$Q_1 Q_2 \backslash x$	0	1
00	01	11
01	01	01
11	10	00
10	00	10

$Q_1 Q_2 \backslash x$	0	1
00	0	1
01	0	0
11	1	0
10	0	1

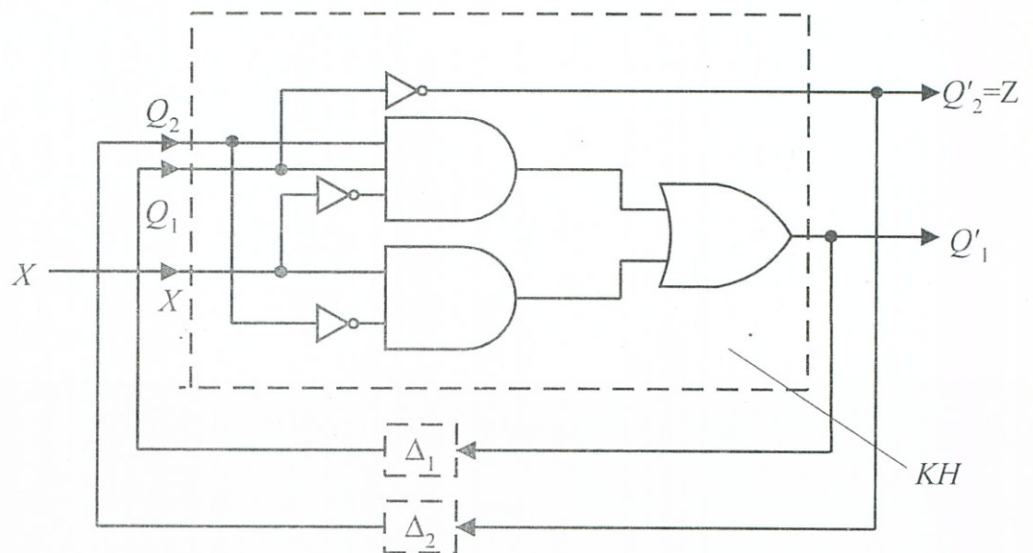
$Q_1 Q_2 \backslash x$	0	1
00	1	1
01	1	1
11	0	0
10	0	0

Gerjesztési tábla

a.)

b.)

c.)

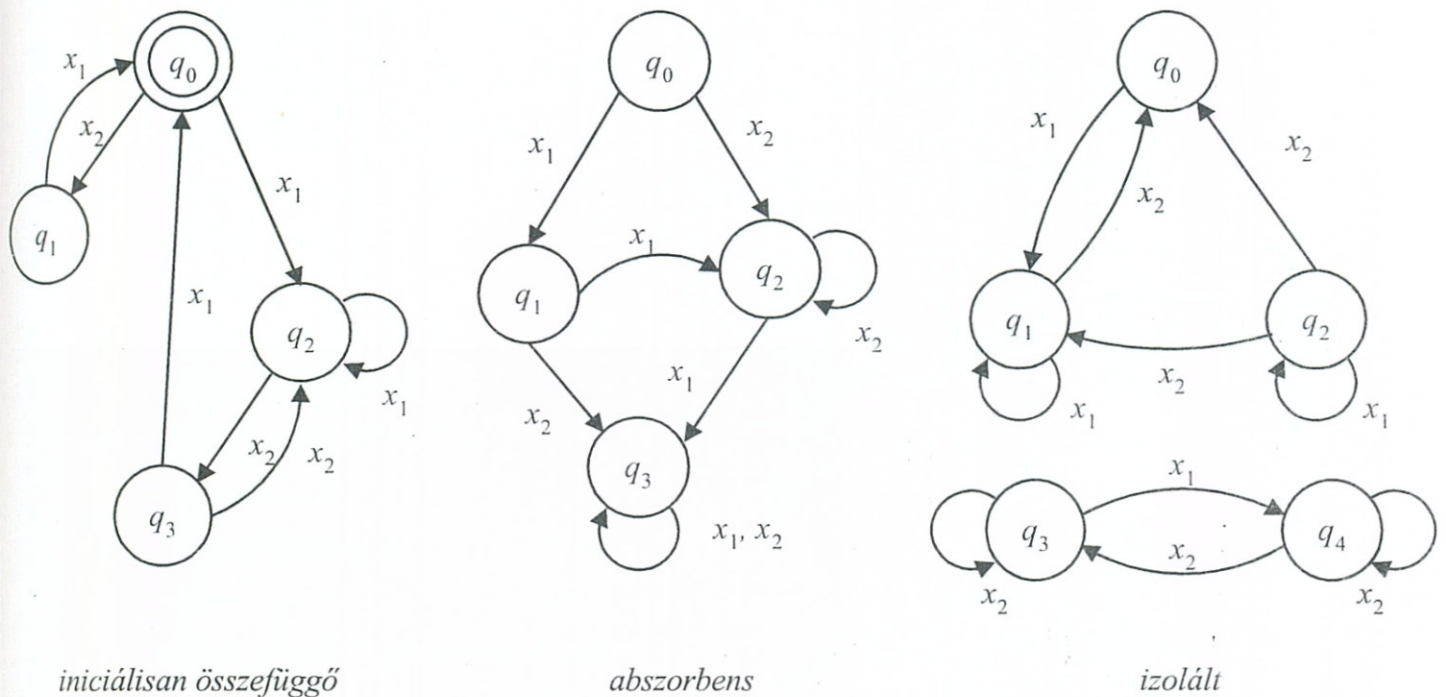


d.)

12-68. ábra Tranziens viselkedésű visszacsatolt KH G.6.8. példához

F.6.9. A feladatmegoldás menete teljesen hasonló a 6.8. példánál követetthez. Kiinduláskor a kiinduló 2–24. ábrát át kell rajzolni a 6–24b. ábra szerinti elrendezéssé, majd ennek figyelembevételével kell kitölteni a gerjesztési–átmeneti és állapottáblát – hasonlóan a 6–24c, d, e. ábrákhoz.

F.6.10. A 12–69. ábrán felrajzolt gráfok megfelelnek a feladatban felsoroltaknak.

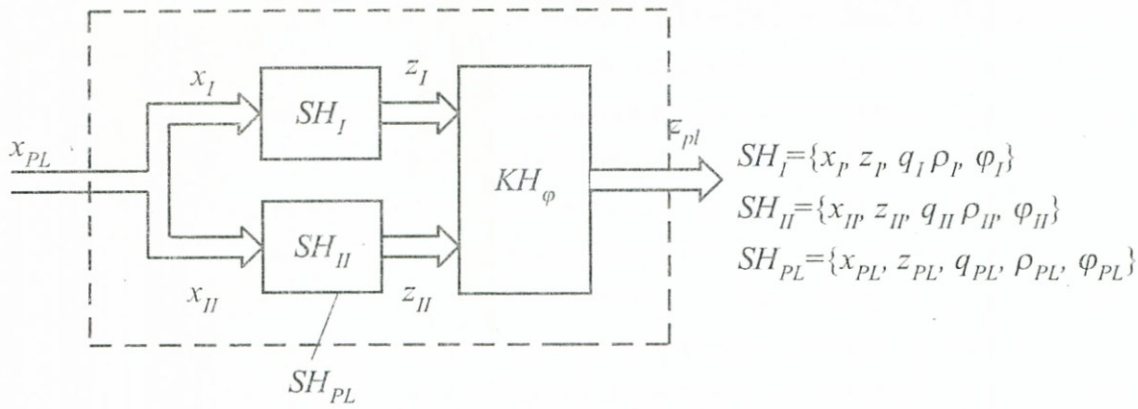


12-69. ábra Gráfok a G.6.10. példához

F.6.11. Mielőtt a példamegoldáshoz hozzáfogunk, célszerű az automaták összekapcsolásához néhány megfontolást fűznünk.

Több automatának, mint komponenseknek összekapcsolása újabb automatát eredményez, melynél az összetevők többféle struktúra szerint lehetnek összekapcsolva. Vizsgáljunk meg a lehetőségek közül a példabeli eseteket.

a) *Párhuzamos* összekapcsolás két komponenst tartalmazó változata látható a 12–70a. ábrán. Az ábráról leolvasható az eredő automata jellemzőinek adott esetben Mealy-modell szerinti előállítására is. Mint látható, a bemeneti állapothalmaz a komponensekre és az eredőre ugyanaz. Az eredő belső állapothalmazát az összetevők belső állapothalmazainak Descartes szorzata adja meg. Az eredő kimenetét a két komponens egy  $\text{KH}\varphi$  kombinációs automata révén állítja



$$SH_I = \{x_I, z_I, q_I, \rho_I, \varphi_I\}$$

$$SH_{II} = \{x_{II}, z_{II}, q_{II}, \rho_{II}, \varphi_{II}\}$$

$$SH_{PL} = \{x_{PL}, z_{PL}, q_{PL}, \rho_{PL}, \varphi_{PL}\}$$



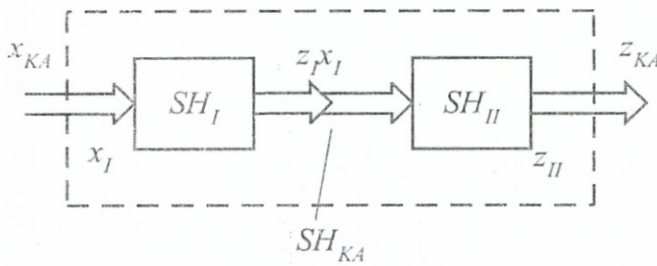
a.) Párhuzamos

$$x_{PL} = x_I = x_{II} \quad q_{PL} = q_I \times q_{II}$$

$$q'_{PL} = \rho_{PL}(x_{PL}, q_{PL}) = \rho_{PL}(x_{PL}, q_I \times q_{II})$$

$$z_{PL} = \psi_{PL}(x_{PL}, q_{PL}) = \psi_{PL}(x_{PL}, q_I \times q_{II})$$

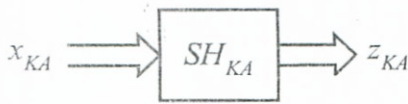
$$z_{PL} = \varphi(z_I, z_{II})$$



$$SH_I = \{x_I, z_I, q_I, \rho_I, \psi_I\}$$

$$SH_{II} = \{x_{II}, z_{II}, q_{II}, \rho_{II}, \psi_{II}\}$$

$$SH_{KA} = \{x_{KA}, z_{KA}, q_{KA}, \rho_{KA}, \psi_{KA}\}$$



b.) Soros (Kaszád)

$$x_{KA} = x_I \quad q_{KA} = q_I \times q_{II}$$

$$z_I = x_{II}$$

$$q'_{KA} = \rho_{KA}(x_{KA}, q_{KA}) = \rho_{KA}(x_I, q_I \times q_{II})$$

$$z_{KA} = z_{II}$$

$$z_{KA} = \rho_{KA}(x_{KA}, q_{KA}) = \rho_{KA}(x_I, q_I \times q_{II})$$

12-70. ábra Autmatak párhuzamos és soros eredője

elő. Ennek  $\varphi$  leképező függvénye mindig az adott konkrét feladat előírásai szerint alakul. (Pl.: egyszerű ÉS-kapcsolat stb.)

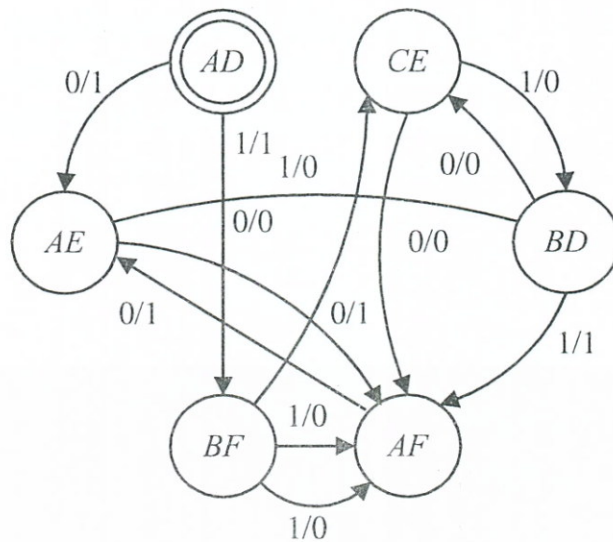
b) Soros (kaszád) összekapcsolás két komponenst tartalmazó változata látható a 12-70b. ábrán. Az automatát itt is Mealy-modell-lel jellemezve, felírtuk az eredő és a komponensek közti kapcsolatokat. Az ábráról közvetlenül leolvasható, hogy az eredő bemenete megegyezik az  $SH_I$  komponens bemenetével, kimenete pedig az  $SH_{II}$  kimenetével stb.

Ezek után a G.6.11. példára visszatérve, mivel a két összetevő automata iniciális, azaz kijelölt kezdő működési álla-

$$\begin{aligned}
 x_1 = x_{I1} = x_{II1} = x_{PL1} = 0 & & q_{I1} = A, & & q_{I2} = B, & & q_{I3} = C \\
 x_2 = x_{I2} = x_{II2} = x_{PL2} = 0 & & q_{II1} = D, & & q_{II2} = E, & & q_{II3} = F
 \end{aligned}$$

$$\begin{aligned}
 z_{I1} = 0, & & z_{I2} = 1, & & z_{PL1} = 0 & & \\
 z_{II1} = 0, & & z_{II2} = 1, & & z_{PL2} = 1 & & z_{PL} = z_{I1} + z_{II1}
 \end{aligned}$$

$q$	$x$	
	0	1
AD	AE/1	BF/1
AE	AF/1	BD/0
BF	CE/0	AF/0
AF	AE/1	BF/0
BD	CE/0	AF/1
CE	AF/0	BD/0



a.)

b.)

12-71. ábra Két komponens automata párhuzamos eredője

pottal rendelkezik, ennek megfelelően az *eredő* is egy iniciális automata, melynek kezdeti állapota „AD” lesz. Az *eredő* automata Huffman táblájának és állapotgráfjának előállítására céljából haladjunk végig a működésen. Például a kezdő állapotból kiindulva adjunk a bemenetre:  $x_{PL1} = x_{I1} = x_{II1} = x_1 = 0$  állapotot. Ekkor  $SH_I$  új állapota ismét „A”,  $SH_{II}$ -é pedig a tábla alapján „E” lesz. Az *eredő* ennek megfelelően  $x_1 = 0$  hatására „AE” állapotot fog felvenni. A kimeneti állapotnál  $x_1 = 0$  hatására  $SH_I$  változatlanul „1”,  $SH_{II}$  változatlanul „0” lesz, és a kettő „ $\varphi$ ” szerinti diszjunkciója „1”, ami az *eredő*  $SH_{PL}$ -nek  $x_1 = 0$  hatására bekövetkező új állapotát adja meg. Hasonló próbálgatásokkal lépésről lépésre felépíthető az *eredő* automata 12-71a. és b. ábra szerinti Huffman-táblája és állapotgráfja. Mivel a kezdő álla-



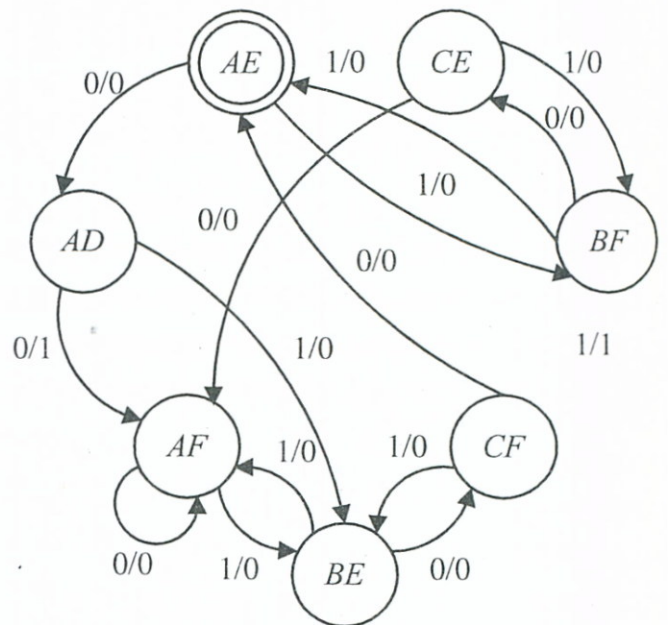
potokat kikötöttük, jelen példabeli automata nem fogja a Descartes szorzat minden lehetséges párosítását felvenni, így a 12-71. ábra sem tartalmaz minden elvileg elképzelhető cellát, csomópontot és átmenetet. Ha a kezdő állapot nem lenne kötött, akkor az ábra bővíthetne.

F.6.12. A kiinduló komponensek itt is iniciálisak ( $SH_I: A, SH_{II}: E$ ), az eredő kiinduló állapota tehát: „ $AE$ ”. Adjunk a bemenetre  $x_{KA1} = x_{I1} = 0$  állapotot. Ekkor  $SH_I$  „ $A$ ”-ban marad, és kimenete:  $z_{I1} = 0$  lesz. Az  $SH_{II}$  bemenetét  $z_{I1} = 0 = x_{II1}$  képezi ennek hatására a második komponens „ $E$ ”-ből „ $D$ ”-be megy, és kimenete  $z_{II1} = 0$  lesz. Ily módon az eredő  $SH_{KA}$  automata az „ $AD$ ” állapotot veszi fel, és  $z_{II} = z_{KA}$  egyenlőség miatt, ak-

$$\begin{aligned} x_{KA1} = x_{I1} = 0 & & z_{II1} = x_{KA1} = 0 \\ x_{KA2} = x_{I2} = 1 & & x_{II2} = x_{KA2} = 1 \\ x_{III} = z_{I1} = 0 & & \\ x_{II2} = z_{I2} = 1 & & \end{aligned}$$

$q$	$x$	0	1
$AE$		$AD/0$	$BF/0$
$AD$		$AF/1$	$BE/0$
$AF$		$AF/0$	$BE/0$
$BE$		$CF/0$	$AF/0$
$CF$		$AE/0$	$BE/0$
$BF$		$CE/0$	$AE/0$
$CE$		$AF/0$	$BF/0$

a.)

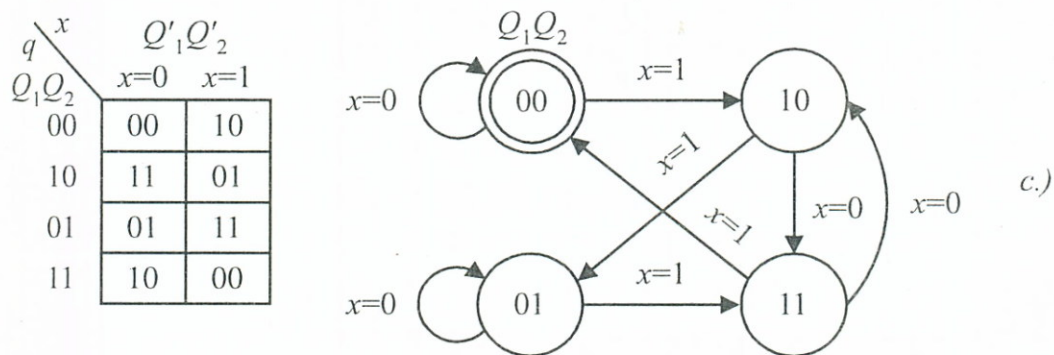
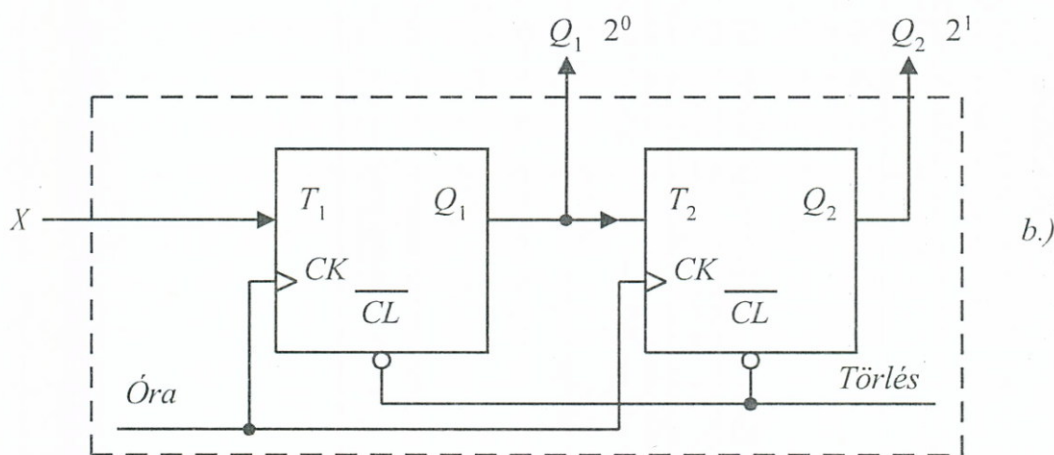
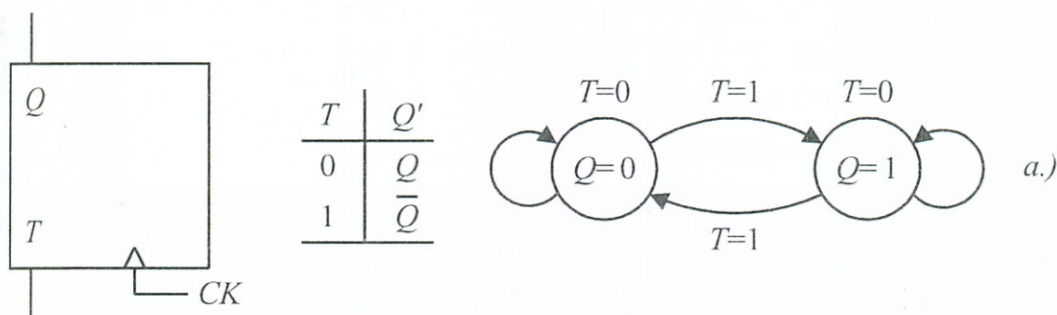


b.)

12-72. ábra Két komponens automata soros eredője

tuális kimenete:  $z_{KA1} = x_{II1} = 0$  lesz. Hasonló további lépésekkel a teljes Huffman-tábla és állapotgráf felépíthető (12-72. ábra). Az iniciális jelleg miatt itt sem lesz minden eset meghatározott.

F.6.13. Ez a feladat az előző feladatnak egy konkrétabb, gyakorlati változata. Tételezzük fel, hogy szinkron T flip-flopjaink vannak, melyekre mint komponens automatákra felrajzolható a 12-73a. ábra állapottáblája és állapotgráfja a 2-25. ábránál már bevezetetteknek értelmében. A kaszkád kapcsolás elrendezését a 12-73b. ábrán rajzoltuk fel.



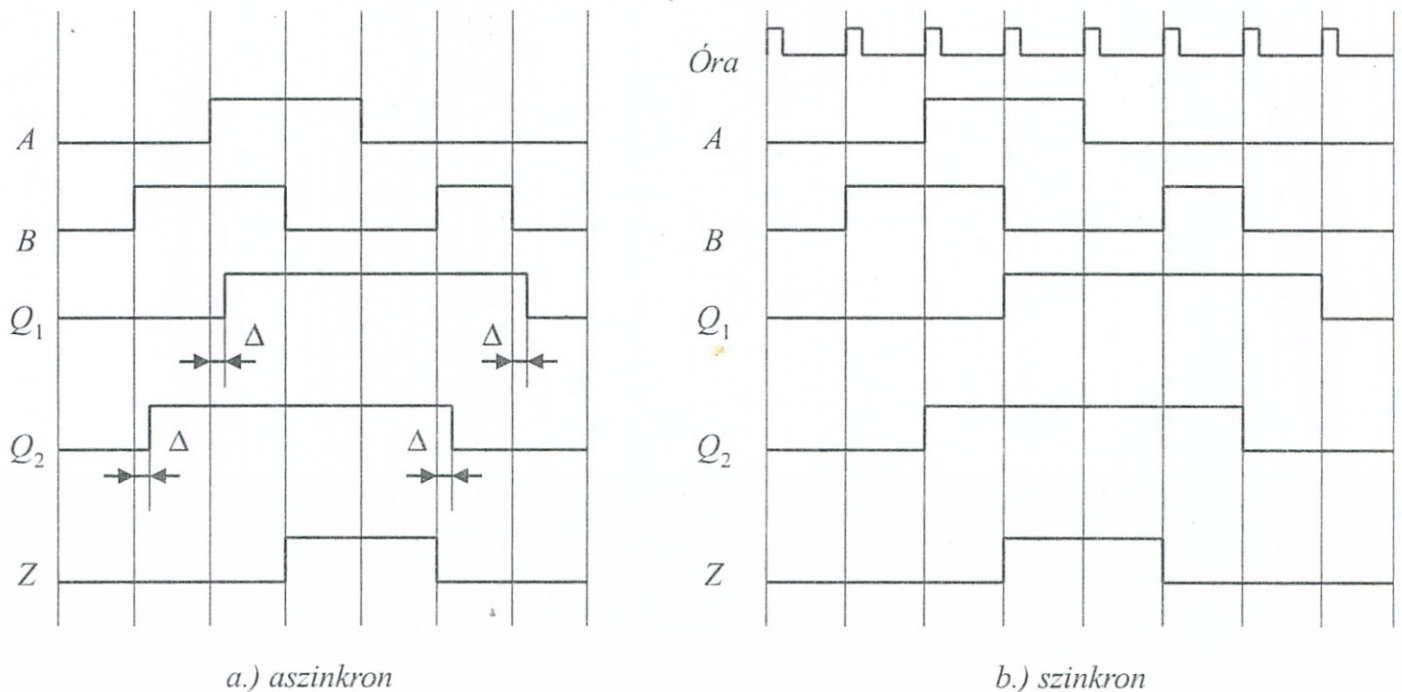
12-73. ábra Két T tároló soros eredő hálózata

Tételezzük fel, hogy  $Q_1Q_2=00$  iniciális állapotból indítjuk a vizsgálatot, pl. a  $CL=0$  törlés után. Az összetevő T-tárolók közül az fog állapotot változtatni, amelyiknek bemenetére a CK órajel előtt  $T_i=1$  érkezett. A  $T_i=0$  esetet követő órajelre a tároló marad korábbi állapotában. E megfontolásokkal kitölthető a 12-73c. ábrán látható eredő állapototábla és állapotgráf. Az így kapott automata például állandó  $X=1$  esetén. Úgy működik, mint a 10. fejezetben megismert *soros binér számlánc* szinkron változata, amely a CK órajelket számlálja, ha a  $Q_1Q_2$  kimenetek bináris súlyozása meg-  
egyezik a 12-73b. ábrán látható bejelöléssel.

F.6.14. Az *aszinkron* esetenél a  $Q_1, Q_2$  szekunder (belső) változók csak  $\Delta$  áramkörü késleltetéssel követik a bemeneti A, B változók változásait (12-74a. ábra).

*Szinkron* esetben minden változás a szinkron jel fellépésekor jelentkezik (példánknaál feltételezetten felfutáskor) a 12-74b. ábrának megfelelően.

F.6.15. A vizsgálathoz a *gerjesztési* és az *átmeneti* táblát kell előállítanunk, melynél a CK órajel is bemeneti változónak tekintjük. Az átmeneti táblát megelőző *gerjesztési* tábla felrajzolásához az inverz S-R tárolóelemre vonatkozó működési függvények felhasználásával esetünkre felírhatók a következők:



12-74. ábra Aszinkron és szinkron működés összehasonlítása

$$\begin{aligned}
 Q = Q'_s &= \overline{S'_s} + R'_s \cdot Q_s = \\
 &= \overline{(J \cdot CK \cdot \overline{Q_s})} \cdot Q_M + \overline{\overline{Q_M} \cdot (K \cdot CK \cdot Q_s)} \cdot Q_s = \\
 &= \overline{J} \cdot Q_M + \overline{CK} \cdot Q_M + Q_s \cdot Q_M + K \cdot CK \cdot Q_s \\
 Q'_M &= (J \cdot CK \cdot \overline{Q_s}) + \overline{\overline{Q_M} \cdot (K \cdot CK \cdot Q_s)} \cdot Q_M = \\
 &= J \cdot CK \cdot \overline{Q_s} + \overline{K} \cdot Q_M + \overline{CK} \cdot Q_M + \overline{Q_s} \cdot Q_M
 \end{aligned}$$

A gerjesztési tábla ezután a 12-75a. ábra szerint felrajzolható, ebből pedig már adódik az átmeneti tábla a 12-75b. ábrának megfelelően.

Az átmeneti táblát kiértékelve megállapíthatjuk, hogy amíg az órajel:  $CK = 0$ , addig  $J$  és  $K$ -nak nincs hatása  $Q_M$  és  $Q_s$ -re. Az órajel *felfutásakor* ( $CK = 0 \rightarrow 1$ )  $Q_M$  a  $J, K$  szerint változik, míg  $Q_s$  független tőlük. Állandó magas órajel:  $CK = 1$  idején  $J, K$  minaképpen befolyásolják  $Q_s$  értékét, míg lefutásakor ( $CK = 1 \rightarrow 0$ )  $Q_s$  felveszi  $Q_M$  értékét.

A tapasztalt működés megfelel az 5-38. ábrával kapcsolatosan bevezetett Master-Slave típusú működésnek. Példabeli hálózatunknál ügyelni kell arra, hogy  $CK = 1$  állapotban  $J, K$  közül egyik sem változzon, mert ez megzavarhatja a Master-Slave üzemet.

$Q_M \backslash Q_s$		$CK, J, K$							
		000	001	011	010	100	101	111	110
00	00	00	00	00	00	00	10	10	
01	00	00	00	00	00	01	01	00	
11	11	11	11	11	11	01	01	11	
10	11	11	11	11	11	11	10	10	

a.)

$Q_M \backslash Q_s$		$CK=0$				$CK=1$			
		00	↑	↑	↑	↑	○	○	○
01	↑	↑	↑	↑	↑	↑	↑	↑	
11	↑	↑	↑	↑	↑	↑	↑	↑	
10	↑	↑	↑	↑	↑	↑	↑	↑	

b.)

12-75. ábra Gerjesztési- és átmeneti táblák

F.6.16. A feladatmegoldás menete teljesen megegyezik a 6.12. Példában tapasztaltakkal, csak itt a kiindulás a D-tárolóelemből történik és az eredményül kapott hálózatnak a J–K tároló definíciós táblázata szerint kell működnie.

F.6.17. Vizsgáljuk meg sorban a felsorolt eseteket:

a) ROM-realizáció:

A 6–43. ábra értelmében a PLD *ÉS-mátrixa* ROM realizációnál *fix* (előregyártott) és tartalmazza az összes *minterm*-et, melyek esetünkben 3-változósak. Az *ÉS-mátrix* tehát példánkban az  $m_0^3, \dots, m_7^3$  minterm-eknek megfelelően 8 kiemenetű.

Első feladatunk, hogy a megadott kiinduló függvényekről megállapítsuk, hogy a teljes diszjunktív alakjuk, melyik

				B
				-----
	0	1	3	2
	4	5	7	6
	A			

$$Y_1 = C\bar{B} + B\bar{A} = \sum^3(2,4,5,6)$$

				B
				-----
	0	1	3	2
	4	5	7	6
	A			

$$Y_2 = CA + \bar{C}\bar{B}\bar{A} = \sum^3(2,5,7)$$

				B
				-----
	0	1	3	2
	4	5	7	6
	A			

$$Y_3 = C(A+B) + \bar{C}\bar{B}\bar{A} = CA + CB + \bar{C}\bar{B}\bar{A} = \sum^3(0,5,6,7)$$

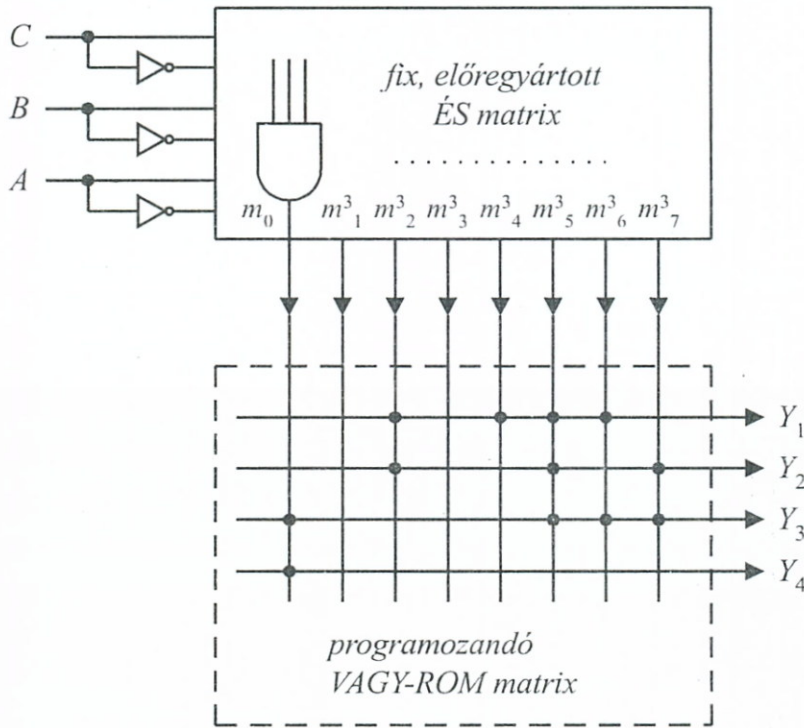
				B
				-----
	0	1	3	2
	4	5	7	6
	A			

$$Y_4 = \bar{C}\bar{B}\bar{A} = \sum^3(0)$$

12-76. ábra Átalakítások a G.6.17. feladat megoldásához

minterm-ekből épül fel. A grafikus utat választva, a 12–76. ábrán megadtuk mind a négy függvény V–K tábláit, melyekről a benne foglalt minterm-ek index-száma leolvasható lesz.

Ezután már felrajzolható az esetünkre alkalmazott kapcsolómátrix-struktúra, melynél a *VAGY-mátrixot* kellett programoznunk és ROM-ba beégetnünk a 12–77. ábra szerint.

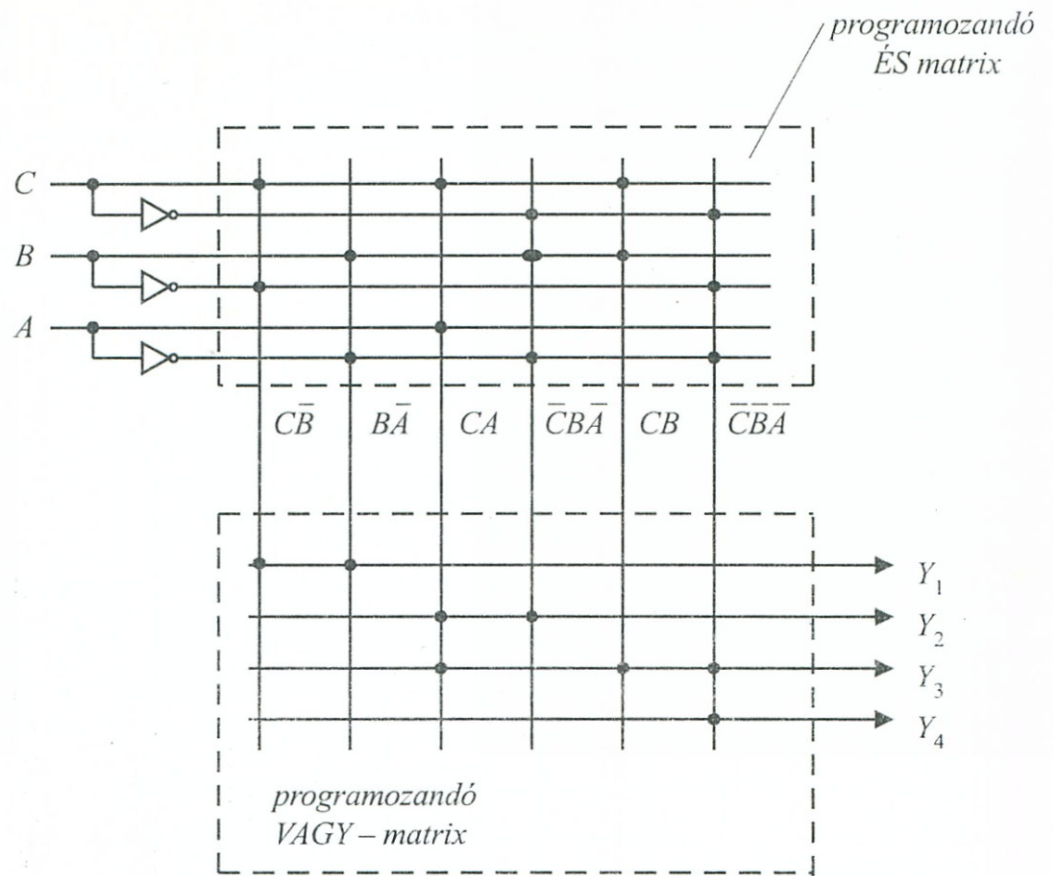


12-77. ábra A G.6.17. feladat ROM realizációja

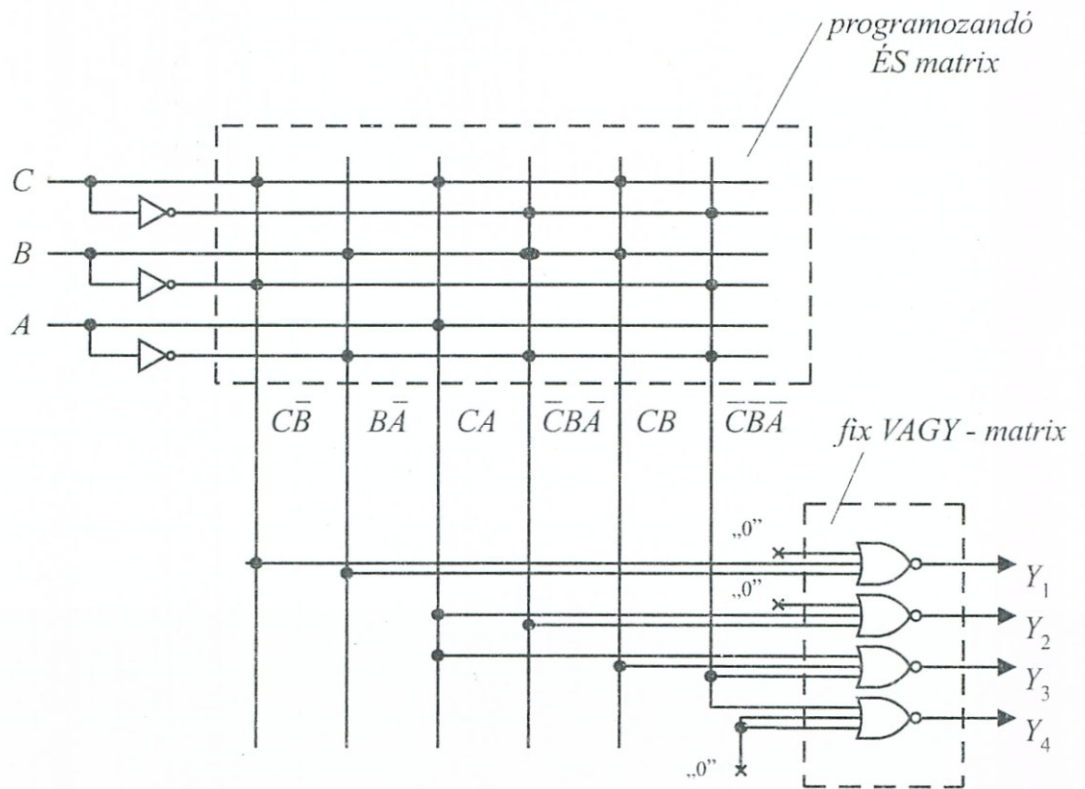
b) *PLA realizáció:*

Ugyancsak a 6–43. ábrából kiindulva megállapíthatjuk, hogy itt a PLD mindkét mátrixa programozható. Ennek megfelelően előtérbe kerülhet a függvények minimál-alakjainak előállítás: legkevesebb számú és legrövidebb *implikánsok* előállítása. Az előző változatnál szereplő 12–76. ábra tábláiról már leolvasható, hogy a kiinduló alakok eleve minimál alakok voltak, így külön minimalizálásra nincs szükség. Ily módon a PLA realizációt ábrázoló 12–78. ábrabeli hálózat *ÉS-mátrixa* az ÉS-kapcsolatokat hordozó, összes előforduló implikánst, míg a *VAGY-mátrix* az egyes függvényekben szereplő aktuális implikánsok kapcsolatait fejezi ki.

A 12–78. ábrából látható, hogy az ÉS-mátrix oszlopainak száma csökkent a ROM realizációhoz viszonyítottan.



12-78. ábra A G.6.17. feladat PLA realizációja



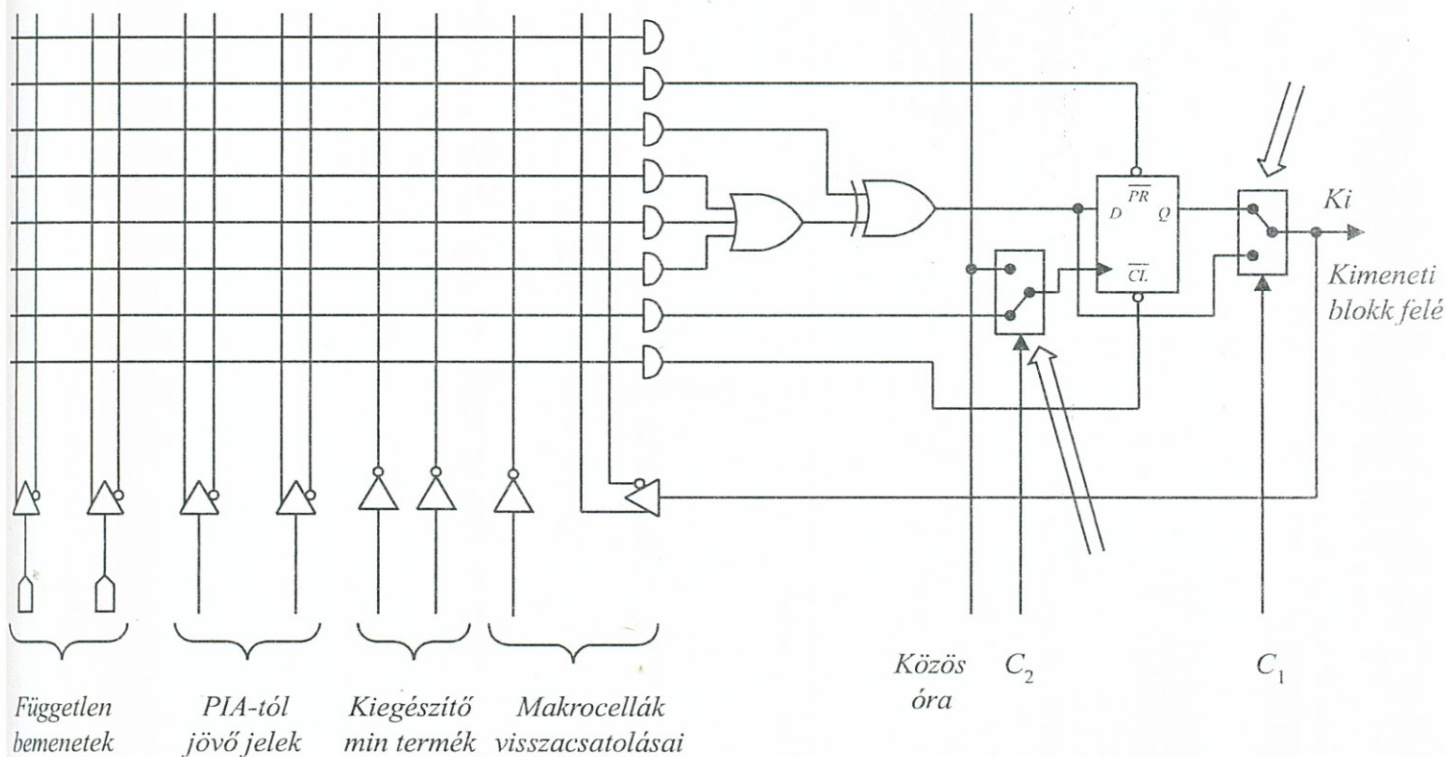
12-79. ábra A G.6.17. feladat PAL realizációja

## c) PAL realizáció:

Ismét a 6-43. ábrából kiindulva látható, hogy itt a PLD VAGY-mátrixa a fix és az ÉS-mátrixot kell programozni. Az ÉS-mátrixban szerepelhetnek az a) változat mintermjei, vagy a b) változat implikánsai, attól függően, hogy melyik eredményez egyszerűbb megoldást. A PAL típusú PLD-áramkörök típuskálája rendkívül sokoldalú, így a katalógusokból számos kombináció kiválasztható. A 12-79. ábrán egy 3-bemenetű VAGY-okból álló PAL-ra alapozott megoldást rajzoltunk fel az implikánsos ÉS-mátrixból kiindulva:

F.6.18. A feladatmegoldást a 6-45a. ábrán látható MAX-LAB Makrocella  $C_1$ ,  $C_2$  programozó kapcsolóinak megfelelő beállításával kell elvégezni. A 12-80. ábrán még egyszer felrajzoltuk a Makrocellát:

Mint látható, a  $C_1$  kapcsoló felső állásba állítása után a tárolóelem kimenete közvetlenül a kimenetre csatlakozik, azaz a tárolóelem aktivizálódik, ugyanakkor a tárolót rövidzárral kiiktatni képes vezeték ág megszakad.

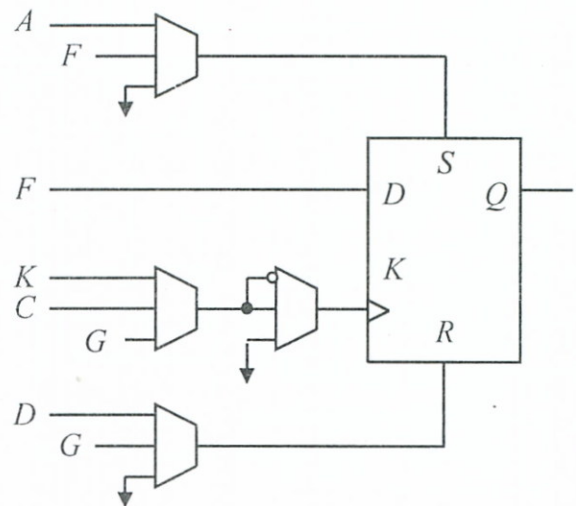
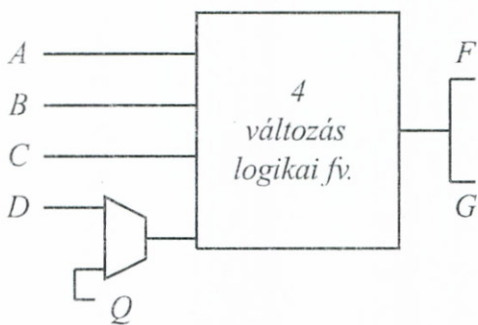
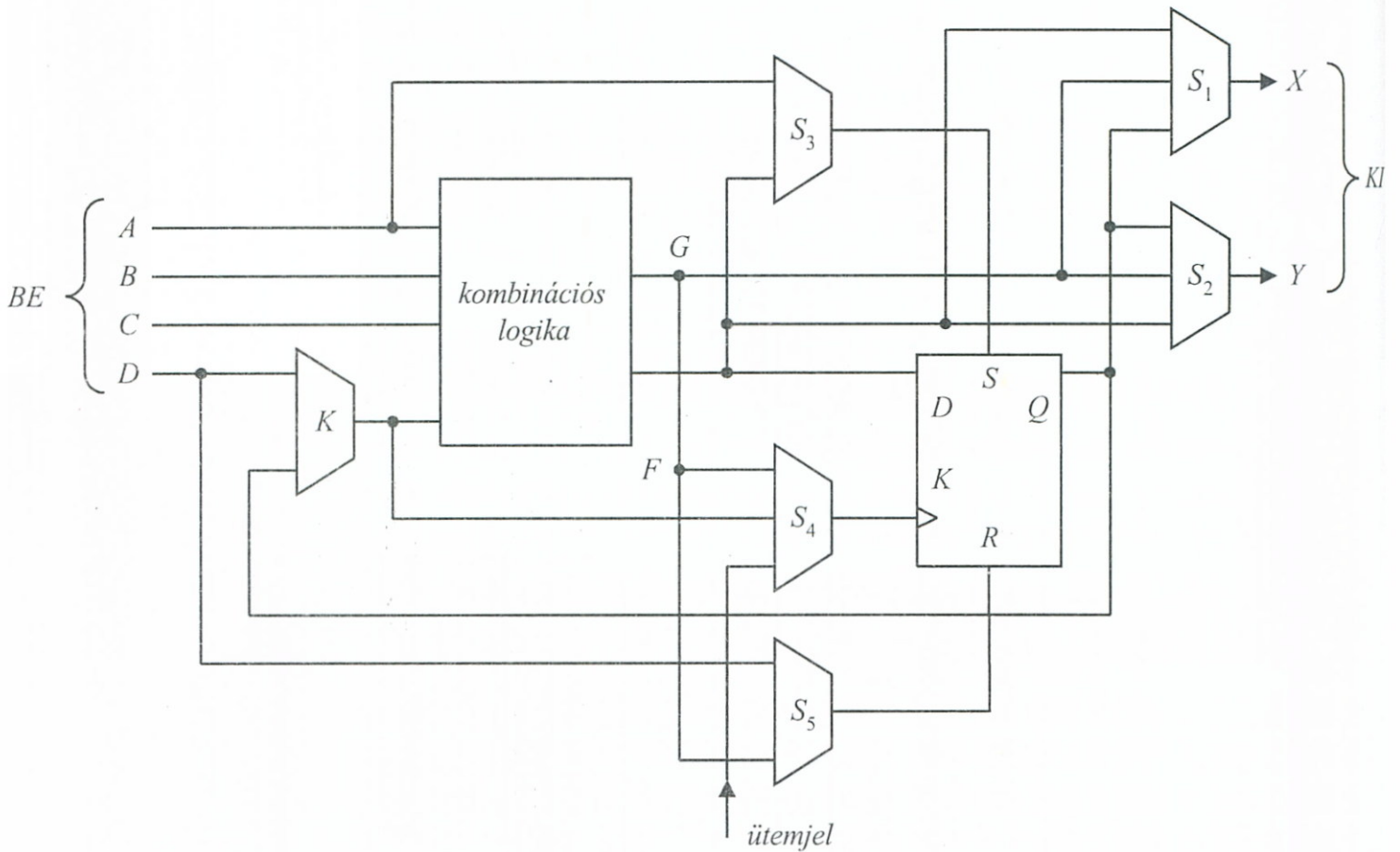


12-80. ábra MAX-LAB makrocella programozása a G.6.18. felelet által előírt üzemmódra



Az egyedi órajelet a  $C_2$  kapcsoló alsó állásba állításával aktivizálhatjuk, ilyenkor a Makrocella a közös órajelről leválasztódik.

F.6.19. A feladatmegoldást a 6–48. ábrán bemutatott XILINX CLB eszköznek a kijelölt működési módra történő felprogramo-



12-81. ábra XILINX-CLB beállítása a G.6.19. feladathoz

zásával végezhetjük el az  $S_i$  és  $K$  kapcsolók értelemszerű beállításával. A 12–81. ábrán mégegyszer felrajzoltuk a CLB-t a példához aktuális részek kiemelésével.

Mint látható, a D-tároló kimenetre kapcsolását az  $S_1$ ,  $S_2$  kapcsolók biztosítják. Az  $S_4$  az órajelre,  $S_3$ ,  $S_5$  a SET, ill. RESET beállításra vannak befolyással. A  $K$  kapcsoló teszi lehetővé a visszacsatoló ág kívánt aktivizálását.

### 12.7.1. Gyakorló feladatok a 7. „Kombinációs hálózatok kialakítási kérdései” c. fejezethez

- \*G.7.1. Minimalizáljuk a következő, részben meghatározott függvénnyel jellemzett kombinációs hálózatot grafikusán.

$$Y_K^6 = \sum^6 (0, 1^h, 4, 5^h, 25^h, 36, 37, 38, 39, 44, 45, 46, 47^h, 48)$$

(a  $p^h$ -term-ek határozatlanok).

- \*G.7.2. Minimalizáljuk a G.7.1. példabeli hálózatot QUINE–McCLUSKEY táblázatos módszerrel.

- \*G.7.3. Tervezzünk grafikus úton közös részhálózatos kombinációs hálózatot a megadott kimeneti függvényekkel:

$$Y_1 = \sum^4 (0^h, 2, 8, 10^h, 12^h, 14)$$

$$Y_2 = \sum^4 (7^h, 8^h, 10, 12, 14, 15)$$

$$Y_3 = \sum^4 (0, 2^h, 7, 12, 14^h, 15^h)$$

- \*G.7.4. NOR-kapus hálózattal alakítsuk ki – lehetőleg közös részhálózatos megoldásban – az alábbi függvényrendszerrel jellemzett kombinációs hálózatot:

$$Y_\alpha^4 = \prod^4 (3, 4, 7, 12, 14)$$

$$Y_\beta^4 = \prod^4 (1, 2, 3, 4, 12, 13, 15)$$

$$Y_\gamma^4 = \prod^4 (2, 3, 4, 11, 12, 13)$$

- \*G.7.5. Kíséreljük meg diszjunkt dekompozíciós hálózattal realizálni az alábbi függvénnyel jellemzett kombinációs hálózatot:

$$Y = \sum^5 (3, 4, 5, 7, 9, 10^h, 13^h, 14^h, 15, 17, 18^h, 21, 22, 23^h, 27^h, 28, 29, 30^h, 31^h)$$

- \*G.7.6. Tervezzük meg a következő függvénnyel megadott kombinációs hálózatot – ha lehet – dekompozíció alkalmazásával.

$$Y = \sum^4 (0, 2, 5, 7, 9, 10, 12, 15)$$

- \*G.7.7. Hasonlítsuk össze a G.7.6. példa eredményét a kétszintes ÉS–VAGY realizációban kialakított hálózattal.
- \*G.7.8. Vizsgáljuk meg a 7–15. ábra SSI realizációs változatait olyan szempontból, hogy melyik igényel legkevesebb IC tokot a megvalósításhoz. Tételezzük fel, hogy az SSI IC tokokba beépíthető kapuáramkörök száma a 12–82. ábra táblázatával van jellemezve.

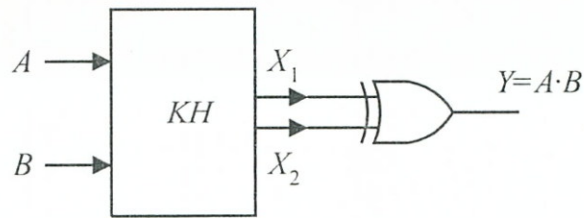
Kapubemenet száma	Beépített elemek száma
1 – INVERTER	6
2 } ÉS, VAGY,	4
3 } NAND, NOR,	3
4 } ANTIVALENCIA,	2
5 } EKVIVALENCIA	1

12-82. ábra SSI IC tokokban szereplő kapuk száma

- \*G.7.9. Mit kell a 12–83. ábrán látható KH-nak tartalmaznia ahhoz, hogy az  $Y$ -kimenet teljesüljön?
- \*G.7.10. Oldjuk meg a következő logikai egyenlőtlenség rendszert:

$$\overline{B}(\overline{X} + A) \geq \overline{X}A + \overline{B} \overline{A}$$

$$\overline{A} \leq \overline{B} \overline{A} + X$$



12-83. ábra Előtét KH áramkör tervezése

- \*G.7.11. Egy betöréssel kapcsolatosan nyomozás folyik. Kinn járt már egy nyomozó és volt helyszíni szemle is. A begyűjtött információkat rendezve próbáljuk kideríteni mi az igazság. A *nyomozó* a következő tényállást rögzítette:
- Ha a tettes férfi, akkor kistermetű.
  - Ha kistermetű, az ablakon mászott be.
  - Férfi a tettes, vagy legalábbis férfi ruhát hordott.
  - Ha férfi ruhát hordott, akkor feltéve, hogy hiteles a „szemtanú” vallomása, az ablakon mászott be.
- A *helyszíni szemle* utólag kiderítette, hogy:
- Nem az ablakon mászott be.

### 12.7.2. Feladatmegoldások a 7. fejezethez

- F.7.1. A grafikus minimalizáláshoz fel kellene rajzolnunk egy 6-változós minterm-táblát 64 mezejével. Ez a 2–16. ábrák további kiterjesztésével történhetne. További problémákkal kerülnénk szembe a legnagyobb tömbök kialakítása során, mivel a logikailag szomszédos tömbrészek grafikusán (látványosan) nem mindig lennének szomszédosak, így kezelésük rendkívül nehézkesé, és bizonyos mértékig „szubjektívá” válna a nehezebb áttekinthetőség miatt. Ezért ilyen esetekben – mint a 7.1. pontban már említettük – a táblázatos módszerekhez fordulunk. Ezért a probléma megoldása érdekében oldjuk meg a G.7.2. feladatot, melynek kiindulása ugyanaz a függvény, mint amit a G.7.1.-ben felírtunk.
- F.7.2. A feladatmegoldásnál – mivel a kiindulás határozatlan termeket is tartalmaz – a 7.1.2. pontban összefoglaltakat is figyelembe kell venni. Továbbá, ha a változók száma nagy, a terjedős értéktáblázatok kezelése nehézkesé válik. Ez esetben célszerű a QUINE–Mc CLUSKEY módszer, ún.



I. lépés: Összehasonlító táblázat első rovata.

Az összehasonlító táblázat első rovata hasonlóan épül fel, mint a 7.1.1. pont 7.1. példájánál, de itt, mivel don't care függvényről van szó, a határozatlan term-eket is felsoroljuk (12–84. ábra ①-es rovat).

II. lépés: Prim-implikánsok keresése.

Az index-szamos változat e lépésnél annyiban tér el az eredetitől, hogy az összehasonlítást nem a 0, 1 értékkel kifejezett term-ekkel, hanem közvetlenül a term-ek decimális index-számainak felhasználásával végezzük el. Itt is érvényes az az előző példában alkalmazott szabály, hogy két olyan term vonatható be az egyszerűsítésbe, melyek egymástól  $D = 1$  Hamming-távolságban különböznek, azaz „összehasonlíthatók”. Az index-szamos módszernél az összehasonlíthatóság a következő szabállyal fogalmazható meg:

Két, egymástól egy súlyértékkel eltérő term akkor összehasonlítható, ha a term-ek decimális index-számainak különbsége kettőnek egész számú hatványa, és a nagyobb indexű egyben nagyobb súlyú is.

Ha a termék változóihoz hátulról növekvő sorrendben a kettes számrendszer helyértékeit rendeljük, akkor az előző index-szám különbség ugyancsak kettő hatványaként felírva, kijelöli azt a változót is, melyet az összehasonlítás eredményeképpen eliminálhattunk. Például az ① rovat 3-as súlyú „37” term-jét összehasonlítva, a 2-es súlyú „5” term-mel a következőket olvashatjuk le:

Súly	Index	$2^5$	$2^4$	$2^3$	$2^2$	$2^1$	$2^0$
		F	E	D	C	B	A
2	5	0	0	0	1	0	1
3	37	1	0	0	1	0	1

– 37 nagyobb „súlyú” eggyel, mint 5

– A különbség:  $37 - 5 = 32 = 2^5$

– Az eredmény:

	F	E	D	C	B	A
(37,5)	–	0	0	1	0	1

Tehát „F”-et (a  $2^5$  helyértékű változót) elimináltuk.

Hasonló módon végezve és megjelölve a 12–84. ábra ① rovatában a lehetséges összehasonlításokat a ② rovatot nyerjük. Példánknál az ① rovatban nem lelt párra a „48”-as és „25<sup>h</sup>”-ös term. Ezek közül a „25<sup>h</sup>”-ös határozatlan, viszont a „48”-as határozott, ezért prim-implikánsnak tekintjük, és „a” betűvel meg is jelöljük.

A ② rovat első oszlopában az összehasonlított term-párok vesszővel elválasztott index-számai szerepelnek súlyaik szerinti csoportokban, utánuk zárójelben a különbség.

Itt is folytatni kell az összehasonlításokat. Csak azokat a sorokat hasonlítjuk össze, ahol egyrészt a korábbi index-szám különbség ugyanakkora (ugyanis ezeknél ugyanazt a változót elimináltuk), másrészt ha mindkét sornál az első szám (legkisebb index) különbsége kettő egész számú hatványa és a kisebb indexű sor van a kisebb súlyú csoportban.

Az így nyert ③ rovatnál konzekvensen alkalmazva az elmondottakat, nyerhetjük a ④-es és esetleg magasabb számú rovatokat. Jelen példánál a ④ rovat minden sora prim-implikáns, így ez az utolsó rovat.

*III. lépés:* Prim-implikáns táblázat.

A betűkkel megjelölt prim-implikánsokat egy táblázatba rendezzük, melynek oszlop-fejrovataiban csak a határozott értékű term-eket soroljuk fel. A term-ek és implikánsok kapcsolatát \*-gal jelöljük. Példánknál a 12–85a. ábra képezi a prim-implikáns táblázatot.

*IV. lépés:* Irredundáns megoldások kiválasztása.

A szelekciós függvény igen leegyszerűsödik, miután a tényezők ismétlődnek. Az egyetlen lényeges prim-implikáns „a”, mivel ennek kihagyása nem lényegesen egyszerűsíti a számítást, bennhagyjuk a szelekciós függvényben, mely a  $b = c, d = e, f = g = h = i = j = k$  egyenlőségek felismerése után az alábbi lesz:

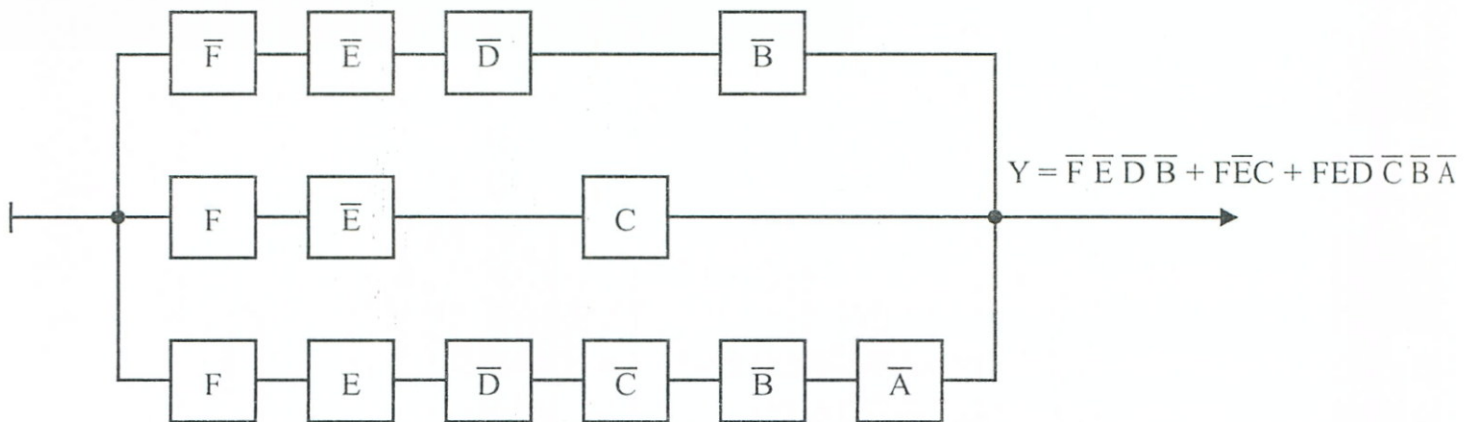
$$b \cdot (b+d) \cdot (d+f)^2 \cdot f^5 \cdot a = b \cdot f \cdot a$$



12. Gyakorló feladatok és megoldásaik

PRIM IMPLIKÁNSOK			0	4	36	37	38	39	44	45	46	48
48		a										*
0, 1, 4, 5	(1, 4)	b	*	*								
0, 4, 1, 5	(4, 1)	c	*	*								
4, 5, 36, 37	(1, 32)	d			*	*						
4, 36, 5, 37	(32, 1)	e			*	*	*					
36, 37, 38, 39, 44, 45, 46, 47	(1, 2, 8)	f			*	*	*	*	*	*	*	*
36, 37, 44, 45, 38, 39, 46, 47	(1, 8, 2)	g			*	*	*	*	*	*	*	*
36, 38, 37, 39, 44, 46, 45, 47	(2, 1, 8)	h			*	*	*	*	*	*	*	*
36, 38, 44, 46, 37, 39, 45, 47	(2, 8, 1)	i			*	*	*	*	*	*	*	*
36, 44, 37, 45, 38, 46, 39, 47	(8, 1, 2)	j			*	*	*	*	*	*	*	*
36, 44, 38, 46, 37, 45, 39, 47	(8, 2, 1)	k			*	*	*	*	*	*	*	*

a)



b)

12-85. ábra DON'T CARE eseteket tartalmazó példa G.7.1. példa primimplikáns táblázata és áramlogikás realizációja

A megmaradt „b f a” visszatranszformálása a következők szerint történik:

Írjuk fel a prim-implikánsban szereplő legkisebb index-számú term-et, majd hagyjuk el belőle azokat a változókat, melyek helyértékét a term-nél zárójelben feltüntetett maradék számok kijelölik.

Példánknál:

		$2^5$	$2^4$	$2^3$	$2^2$	$2^1$	$2^0$	
		32	16	8	4	2	1	
$b$	$E_0^6$	$\bar{F}$	$\bar{E}$	$\bar{D}$	$\bar{C}$	$\bar{B}$	$\bar{A}$	(1,4)
$f$	$E_{36}^6$	$F$	$\bar{E}$	$\bar{D}$	$C$	$\bar{B}$	$A$	(1,2,8)
$a$	$E_{48}^6$	$F$	$E$	$\bar{D}$	$\bar{C}$	$\bar{B}$	$\bar{A}$	semmi

A minimál alak:

$$Y_{K \min} = \bar{F} \bar{E} \bar{D} \bar{B} + F \bar{E} C + F E \bar{D} \bar{C} \bar{B} \bar{A}$$

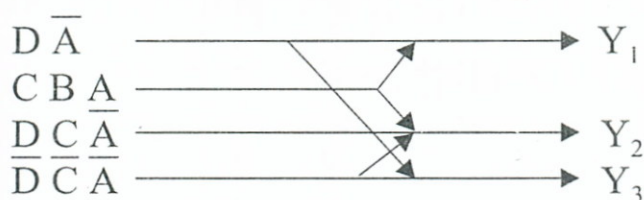
V. lépés: Kombinációs hálózat felrajzolása. Realizációs áramkörnek egy áramlogikás kapcsolóhálózatot választottunk, mely a 12–85b. ábrán látható.

F.7.3. Hasonló feladatot már a 7.2. példa kapcsán megoldottunk, de a jelenlegi annál kissé bonyolultabb, mivel itt 3 kimenetű a hálózat.

A függvények és a közösített V–K-táblák a 12–86a. ábrán láthatók. A táblákról leolvasott prim-implikánsokat a 12–86b. táblázatban foglaltuk össze. A szelekciós függvény megoldása után (csak a legrövidebb tagokat felírva) a következőket kapjuk:

$$S = \dots n_{ijg} + n_{ijl} + n_{ijk} + n_{ijo} + \dots$$

és mivel a táblázatból látható:  $g = l = k = o$ , írhatjuk:

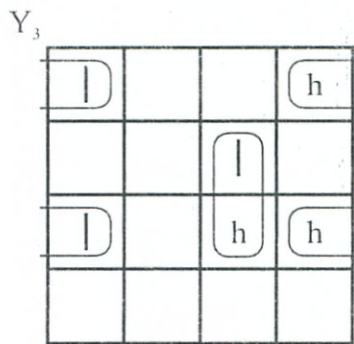
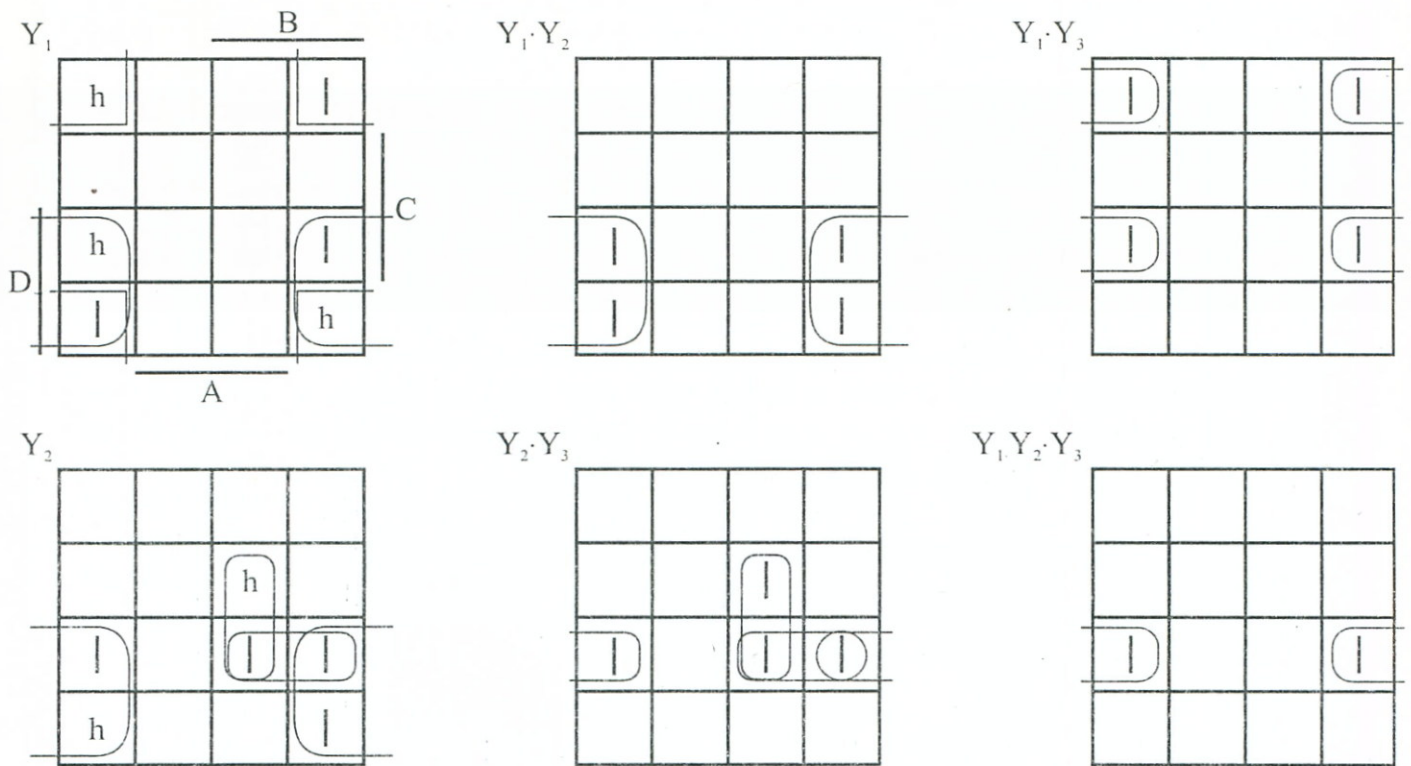


Ennek alapján már a logikai vázlat felrajzolható lenne, ha felhasználnánk az említett 7.2. példa tapasztalatait.

F.7.4. A táblázatos módszer példánkra történő alkalmazása előtt célszerű néhány további megfontolást tennünk:

Az 5.2. pontban és az előző példánál grafikus módszerrel már tárgyaltuk ezt a problémát. A cél itt is hasonló: többszörösen kihasználható részhálózatok képzése közös implikánsok fellelése révén, melyekkel a végleges hálózat – esetleg – egyszerűbbé tehető.

12. Gyakorló feladatok és megoldásaik



a)

			Y <sub>1</sub>	Y <sub>2</sub>	Y <sub>3</sub>
			2 8 14	10 12 14 15	0 7 12
Y <sub>1</sub>	$\overline{D}\overline{A}$	a	x x		
	$\overline{C}A$	b	x x		
Y <sub>2</sub>	$\overline{D}\overline{A}$	c		x x x	
	$D\overline{C}A$	d		x x	
	$DCA$	e		x	
Y <sub>3</sub>	$\overline{D}\overline{C}\overline{A}$	f			x
	$D\overline{C}\overline{A}$	g			x
	$CBA$	h			x
Y <sub>1</sub> ·Y <sub>2</sub>	$\overline{D}\overline{A}$	i	x x	x x x	
Y <sub>1</sub> ·Y <sub>3</sub>	$\overline{D}\overline{C}\overline{A}$	j	x		x
	$D\overline{C}A$	k	x		x
Y <sub>2</sub> ·Y <sub>3</sub>	$D\overline{C}\overline{A}$	l		x x	x
	$D\overline{C}B$	m		x x	
	$CBA$	n		x	x
Y <sub>1</sub> Y <sub>2</sub> Y <sub>3</sub>	$D\overline{C}\overline{A}$	o	x	x x	x

b)

12-86. ábra Közös részhálózat előállítás 3 kimenetnél

A QUINE–Mc CLUSKEY módszert, néhány további előírás beiktatásával, alkalmassá tehetjük közös implikánsok keresésére. Az így módosított eljárás a következőképpen alakul.

*I. lépés:* Összehasonlító táblázat első rovata.

Az ① rovatban *valamennyi kimenethez tartozó* logikai függvény term-jeit felsoroljuk „súlyuk” és index-számuk szerinti csoportosításban. A term-ek mellett feltüntetjük annak a kimeneti függvénynek betűjelét is, melyben szerepel.

*II. lépés:* Prim-implikánsok keresése.

Az egyes term-ek összehasonlítási szabályai itt a következők:

- Az egyes rovatokban *azonos* csoportokban szereplő sorok akkor hasonlíthatók össze, ha index-számaik és a zárójeles különbségek megegyeznek, de *különböző* kimeneti függvényekhez tartoznak. Ezek az összevonások adják a közös implikánsokat.
- Az egyes rovatok két *szomszédos* „súlycsoportjában” előforduló sorok akkor hasonlíthatók össze, ha *ugyanahhoz* a kimeneti függvényhez tartoznak, a legkisebb indexeik különbsége kettő egész számú hatványa, és a nagyobbik index nagyobb súlycsoportban van, továbbá zárójeles különbségeik megegyeznek.

*III. lépés:* Prim-implikáns táblázat.

Ez hasonló felépítésű mint az előző táblázatok, az eltérés az, hogy a term-eket a kimeneti függvények szerint csoportosítjuk.

*IV. lépés:* Irredundáns megoldások kiválasztása.

Ezeket vagy közvetlenül kiolvassuk a prim-implikáns táblázatból, vagy a szelekciós függvény segítségével kaphatjuk meg a prim-implikánsoknak szimultán függvényenként, ill. függvénycsoportonként történő *szétválogatása* után.

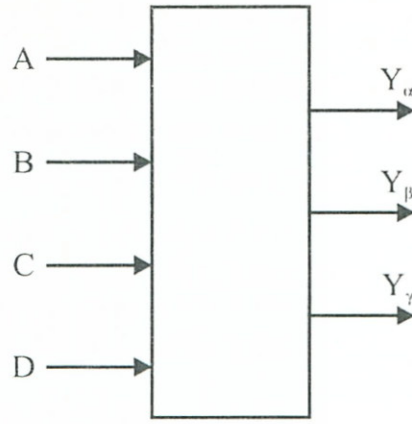
*V. lépés:* Realizált hálózat felrajzolása.

Ezután már réterhetünk a G.7.4. példa konkrét megoldására:

*I. lépés:* Összehasonlító táblázat első rovata.

A függvény VAGY-term-ekkel, konjunktív kanonikus alakban van megadva, de ez a módszerben semmi változást nem

12. Gyakorló feladatok és megoldásaik



a)

	DCBA																						
1	0 0 0 1	1	$\beta$	✓	1	2	0	$\beta, \gamma$	✓	1	4	0	$\alpha, \beta, \gamma$	✓	1	4, 12	8	$\alpha, \beta, \gamma$	✓	④			
	0 0 1 0	2	$\beta$	✓		4	0	$\alpha, \beta$	✓		2, 3	1	$\beta, \gamma$	f									
	0 0 1 0	2	$\gamma$	✓		4	0	$\alpha, \gamma$	✓		4, 12	8	$\alpha, \beta, \gamma$	✓									
	0 1 0 0	4	$\alpha$	✓		4	0	$\beta, \gamma$	✓		4, 12	8	$\alpha, \beta$	✓									
	0 1 0 0	4	$\beta$	✓		1, 3	2	$\beta$	a		4, 12	8	$\alpha, \gamma$	✓									
	0 1 0 0	4	$\gamma$	✓		2, 3	1	$\beta$	✓		4, 12	8	$\beta, \gamma$	✓									
2	0 0 1 1	3	$\alpha$	✓	2	2, 3	1	$\gamma$	✓	2	3	0	$\alpha, \beta, \gamma$	g	③	12, 13	1	$\alpha, \beta, \gamma$	✓	h			
	0 0 1 1	3	$\beta$	✓		4, 12	8	$\alpha$	✓		12	0	$\alpha, \beta, \gamma$	✓									
	0 0 1 1	3	$\gamma$	✓		4, 12	8	$\beta$	✓		12, 13	1	$\beta, \gamma$	✓									
	1 1 0 0	12	$\alpha$	✓		4, 12	8	$\gamma$	✓														
	1 1 0 0	12	$\beta$	✓																			
3	0 1 1 1	7	$\alpha$	✓	2	3	0	$\alpha, \beta$	✓	2	3	0	$\alpha, \gamma$	✓	2	3	0	$\beta, \gamma$	✓	12	0	$\alpha, \beta$	✓
	1 0 1 1	11	$\gamma$	✓		3	0	$\alpha, \beta$	✓		12	0	$\alpha, \gamma$	✓									
	1 1 0 1	13	$\beta$	✓		12	0	$\alpha, \gamma$	✓		12	0	$\beta, \gamma$	✓									
	1 1 0 1	13	$\gamma$	✓		12	0	$\beta, \gamma$	✓		3, 7	4	$\alpha$	b									
	1 1 1 0	14	$\alpha$	✓		3, 11	8	$\gamma$	c														
4	1 1 1 1	15	$\beta$	✓	2	3, 11	8	$\gamma$	c	2	12, 14	2	$\alpha$	d	2	12, 13	1	$\beta$	✓	12, 13	1	$\gamma$	✓
						12, 13	1	$\beta$	✓														
						12, 13	1	$\gamma$	✓														
						13	0	$\beta, \gamma$	✓														
				13, 15	2	$\beta$	e																

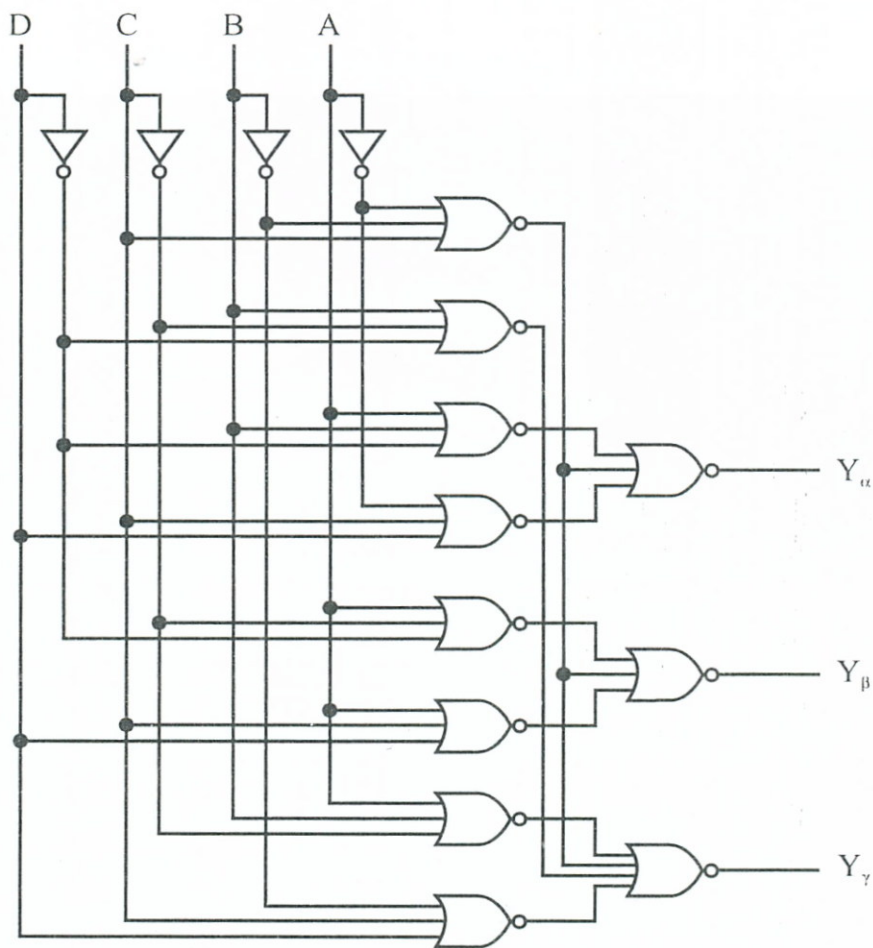
②

b)

12-87. ábra Közös részhálózatok keresése

				$Y_\alpha$					$Y_\beta$					$Y_\gamma$					
				3	4	7	12	14	1	2	3	4	12	13	15	2	3	4	11
1, 3	2	$\beta$	a						*		*								
3, 7	4	$\alpha$	b	*		*													
3, 11	8	$\gamma$	c												*		*		
12, 14	2	$\alpha$	d				*	*											
13, 15	2	$\beta$	e									*	*						
2, 3	1	$\beta, \gamma$	f						*	*				*	*				
3	0	$\alpha, \beta, \gamma$	g	*						*						*			
12, 13	1	$\beta, \gamma$	h									*	*					*	*
4, 12	8	$\alpha, \beta, \gamma$	i		*		*					*	*				*		*

a)



b)

12-88. ábra Implikáns táblázat és realizáció a G.7.4. példához

okoz. Az ① rovat, az előzők értelmében a 12–87b. ábra szerint alakul.

*II. lépés:* Prim-implikánsok keresése.

Az előzőleg összefoglalt szabályoknak megfelelő összehasonlítások eredményei a 12–87b. ábra ②, ③, ④ oszlopokban szerepelnek.

*III. lépés:* Prim-implikáns táblázat.

Ez a 12–88a. ábrán látható.

*IV. lépés:* Irredundáns megoldások kiválasztása.

A 12–88a. táblázatban „g” kivételével minden prim-implikáns lényeges és lefedik az összes term-oszlopot, ezért „g” elhagyható:

A minimalizált függvények a következők:

$$F_{\alpha}^4: b, d, i \quad Y_{\alpha} = (\bar{A} + C + D) \cdot (A + B + \bar{D}) \cdot (B + \bar{C} + \bar{D})$$

$$F_{\beta}^4: a, e, f, i \quad Y_{\beta} = (\bar{A} + \bar{B} + D) \cdot (A + B + D) \cdot (\bar{A} + \bar{B} + C) \cdot (A + \bar{C} + \bar{D})$$

$$F_{\gamma}^4: c, f, h, i \quad Y_{\gamma} = (\bar{B} + C + D) \cdot (\bar{A} + \bar{B} + C) \cdot (A + B + \bar{C}) \cdot (B + \bar{C} + \bar{D})$$

*V. lépés:* Logikai vázlat.

A kívánt NOR-kapus realizáláshoz  $Y_{\alpha}$ ,  $Y_{\beta}$ ,  $Y_{\gamma}$  függvényeket a SHEFFER–PEIRCE algebra 24b. azonosságának felhasználásával homogén Peirce műveleti rendszerbe transzformálhatjuk és így kapjuk a 12–88b. ábrán látható logikai vázlatot.

F.7.5. A megoldást a következő lépésekbe foglalhatjuk:

*I. lépés:* A 7–11a. és b. ábrán látható ötváltozós dekompozíciós táblákból kiindulva, a határozatlan term-eket vízszintes áthúzással megkülönböztetve és gondolatban minden táblára elvégezve a bekarikázásokat is, végül a 12–89a. ábra szerinti tábla-változaton találtunk dekompozíciós lehetőséget.

*II. lépés:* Az egzisztencia-vizsgálat valójában már megtörtént, a határozatlan term-ek 12–89a. táblán szereplő (dekompozíció elősegítésének megfelelő) kijelölésénél. Mint

látjuk  $v = 2$ , azaz csak kétféle oszlop létezik. A partíciók:  
 $P_\alpha = \{A, B, D\}, P_\beta = \{C, E\}$

III. lépés: Jelen példánál nem érdekes.

IV. lépés:  $F_S$  szubfüggvény meghatározása. A 12-89a. táblán az első sor  $F_1^3 = 0$ , a harmadik  $F_{III}^3 = 1$  függvényfaktort jelöl  $\{C, E\}$  változó kombinációk mellett,  $F_S$ -nek választható vagy a 2. vagy a 4. sorhoz tartozó, egymásnak komplementensét képező valamelyik  $F_j^3(A, B, D)$ . Választva  $F_{II}^3$ -at (nyíllal megjelölt sor) kapjuk:

$$S = F_{II}^3(A, B, D) = \bar{A}\bar{B}D + \bar{A}B\bar{D} + AB\bar{D} + A\bar{B}\bar{D}$$

Ez algebrailag átírható a következő alakba:

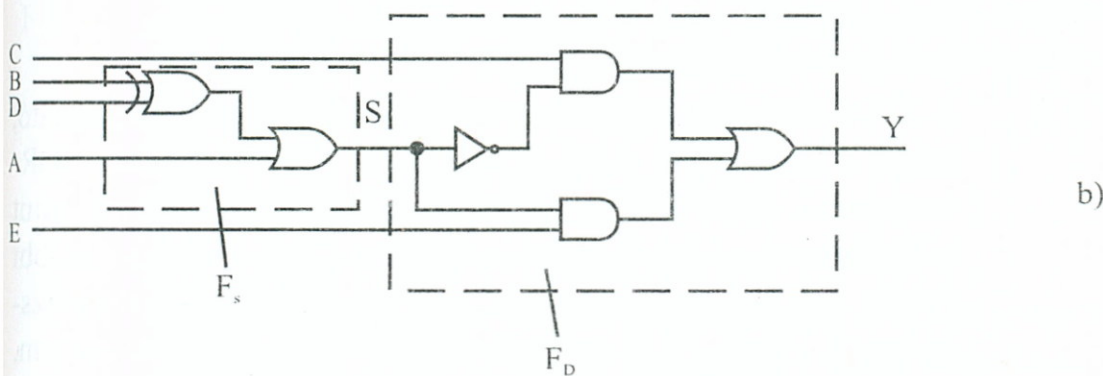
$$S = A \oplus (B \oplus D)$$

V. lépés: A dekompozíciós alak:

$$Y = F_D(S, C, E) = S \cdot \bar{C} \cdot E + C \cdot E + \bar{S} \cdot C \cdot \bar{E} = \bar{S} \cdot C + S \cdot E$$

		$X_4 = B$		$X_3 = A$					
		$X_2 = D$		$X_2 = D$					
		0	2	10	8	24	26	18	16
$X_2 = C$	$X_1 = E$	1	3	11	9	25	27	19	17
		5	7	15	13	29	31	23	21
		4	6	14	12	28	30	22	20

a) ←



12-89. ábra Ötváltozós dekompozíciós hálózat

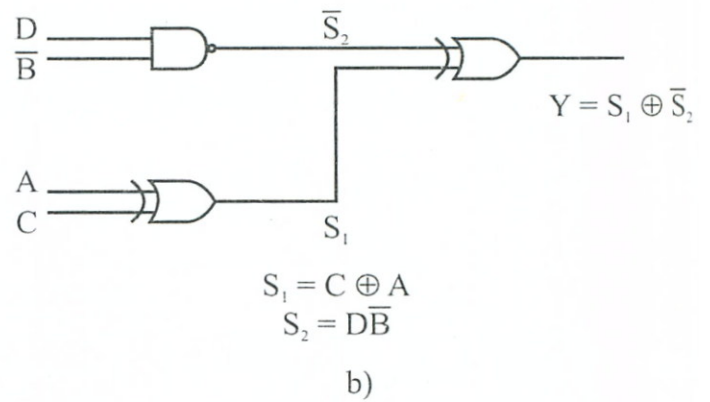
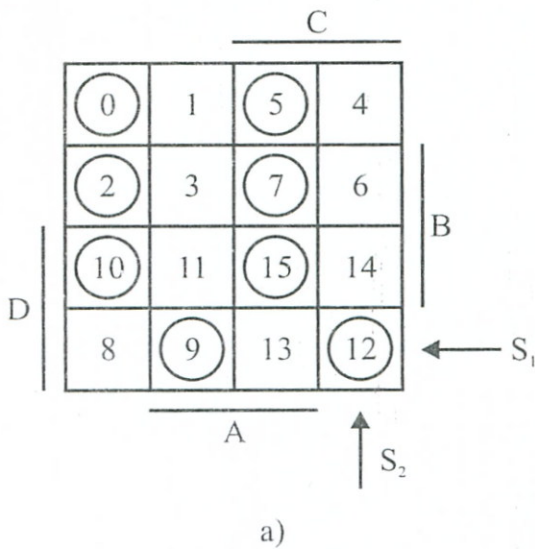


vagy S-be behelyettesítve:

$$Y = \overline{[A \oplus (B \oplus D)]}C + [A \oplus (B \oplus D)]E$$

Mint látható, itt rendkívül tömör alakot kaptunk, a dekompozíció nagyon hatékony volt. A realizációs logikai vázlat a 12–89b. ábrán látható.

- F.7.6. A 4-változós dekompozíciós táblák kitöltése után a 12–90a. ábra tábláján két irányból is képezhetünk szubfüggvényt. A kapott rendkívül egyszerű hálózat a 12–90b. ábrán látható. Érdekes összehasonlításként még felrajzolni a normál tömbösítéssel kapott megoldást is.



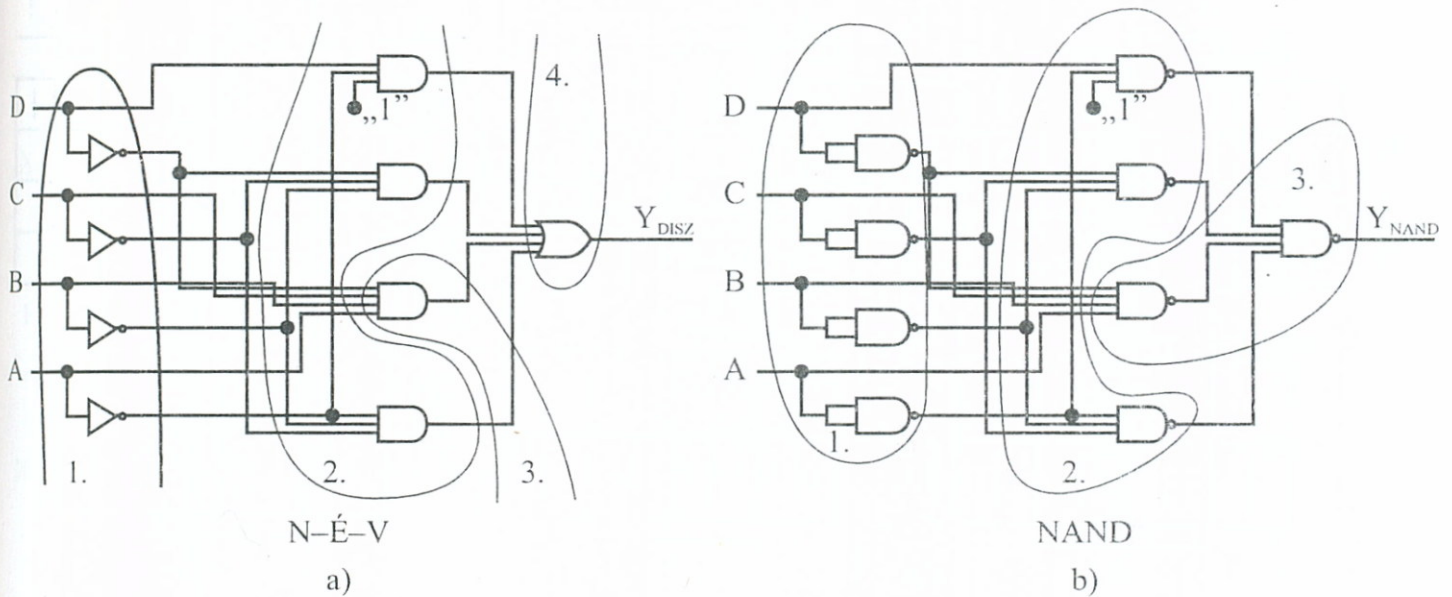
**12-90. ábra Összetett diszjunkt dekompozíció**

- F.7.7. Az összehasonlításhoz képezzük a 12–90a. minterm-tábla legnagyobb tömbös minimál alakját:

$$Y = \bar{D} \bar{C} \bar{A} + B \bar{C} \bar{A} + D C A + B C A + D \bar{C} \bar{B} A + D C \bar{B} A$$

Mint látható, ez lényegesen bonyolultabb megoldáshoz vezet, mint a 10–90b. ábra dekompozíciós változata.

- F.7.8. A 7–15. ábra SSI realizációs változatait megvizsgálva látható, hogy a konjunktív alakból származó N–V–É, NOR–NOR-változatok ennél az esetről lényegesebben terjedősek, mint a diszjunktív alakból származó esetek. Ezért csak az utóbbi kettőt kell a legkevesebb IC-tok szempontjából megvizsgálunk. Az N–É–V alaknál eleve többféle kapu-típus van, melyek kihasználtsági mértéküktől függetlenül más-más IC-tokat igényelnek. A 12–91. ábrán újra felrajzoltuk a kér-



12-91. ábra Az egy IC tokba gyűjthető kapu-csoportok

déses változatokat és (a 12-82. ábra „katalógusát” figyelembevételével) elhatároztuk az ún. „amőba-vázlattal” az egy-egy IC-tokba gyűjthető kapu-csoportokat.

A 12-91a. ábrabeli esetről – mint látható – 4 db IC-t kellett használni és kihasználatlan maradt az

- 1.-nél: 2 inverter
- 3.-nál: 1 4-bemenetű ÉS-kapu
- 4.-nél: 1 4-bemenetű VAGY-kapu.

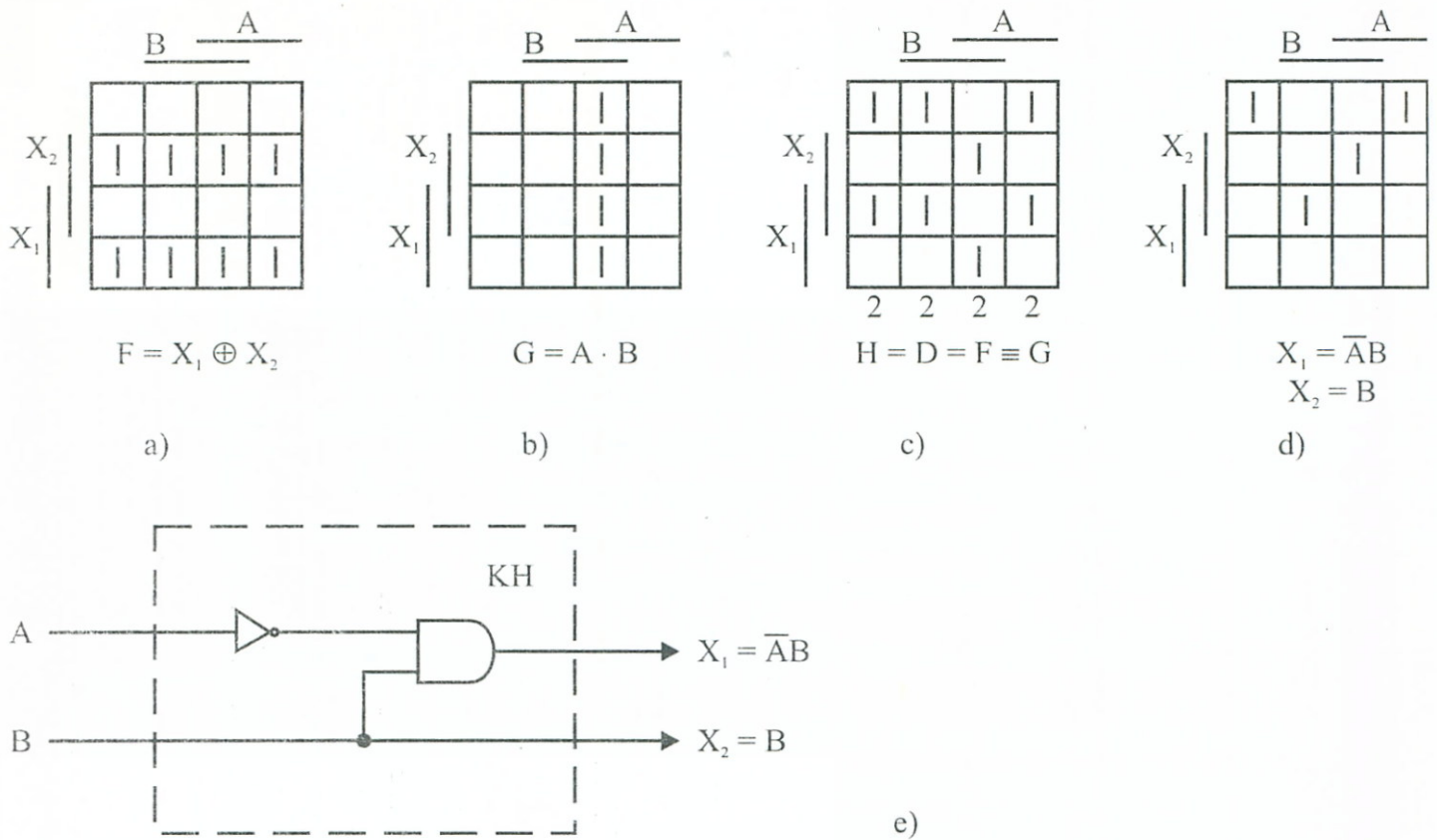
Természetesen egy összetettebb áramkör esetén ezek a „feleslegek” – esetleg más részeknél – még felhasználhatók lehetnek, viszont a távolabbi összeköttetések kiépítése a hordozó nyomtatott áramkört bonyolítja.

A 12-91b. ábrabeli eset csak 3 db IC-t igényel és ezek mindegyike 100%-os kihasználtságú.

- F.7.9. Az előtét KH tervezése – mint a 7. fejezet 7.5. pontjában már tapasztaltuk – egyenletmegoldásra vezethető vissza. Felírható a 12-83. ábra alapján:

$$\underbrace{X_1 \oplus X_2}_F = \underbrace{A \cdot B}_G = Y$$

Grafikus megoldást választva és követve a 7.12. példa tapasztalatait, a 10-92. ábrán foglalhatók össze a lépések.



12-92. ábra Előtét-hálózat tervezése egyenletmegoldással

Az a) és b) ábrákon az egyenlet bal- ( $F$ ), ill. jobb oldalát ( $G$ ) ábrázoltuk. A (7.10) összefüggés alapján képzett diszkrimináns a c) ábrán látható. Innen megállapítható, hogy összesen  $2 \times 2 \times 2 \times 2 = 16$ -féle megoldása van az egyenletnek. Ezek közül „találomra” kiválasztva a d) tábla szerinti esetet, a megoldások leolvashatók. Az előtét-hálózat egyik lehetséges realizációját az e) ábra mutatja.

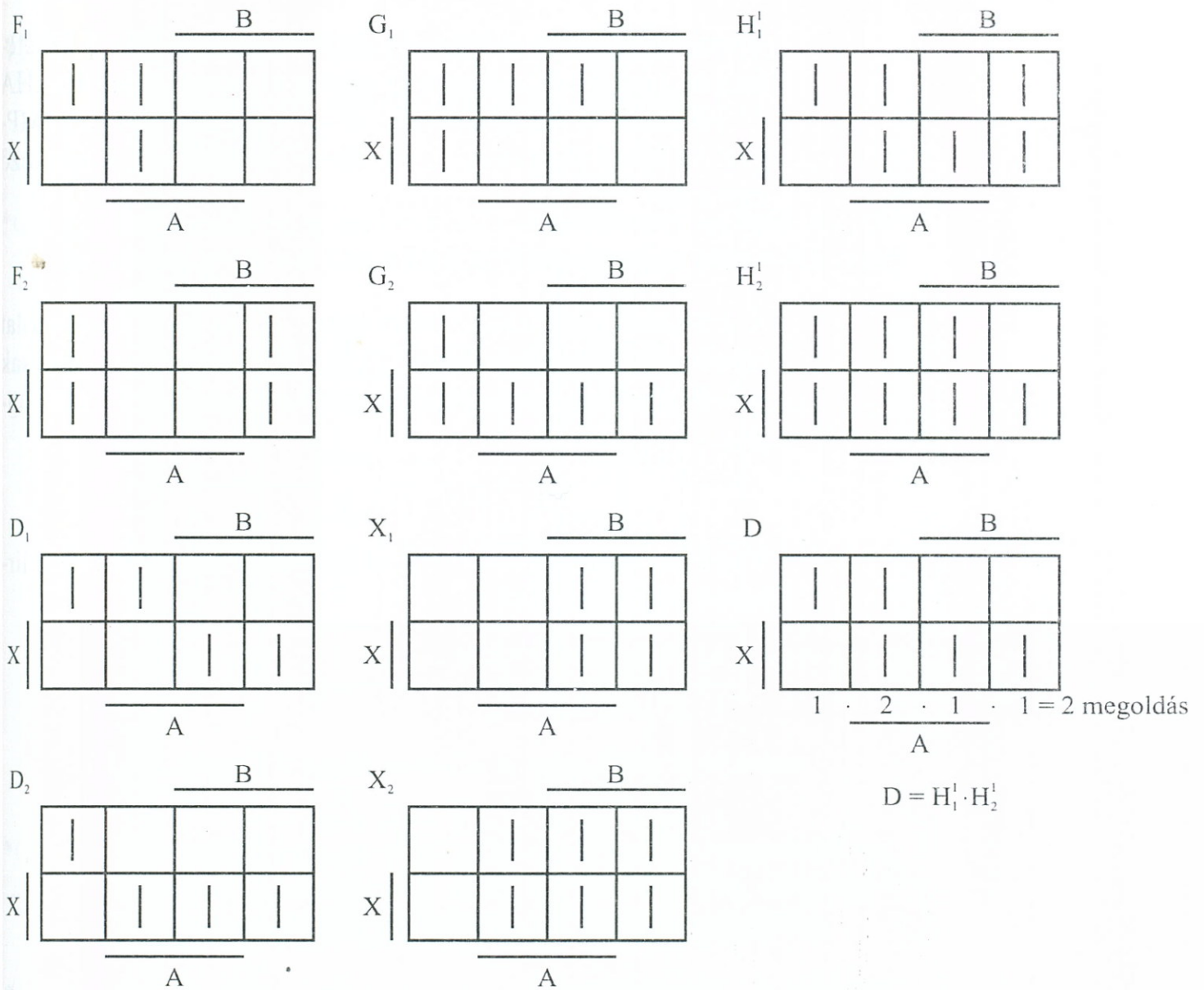
F.7.10. Az egyenlőtlenség megoldását a (7.11) összefüggések alapján mindig egyenletmegoldásra vezetjük vissza.

Első lépésben a 7.5.1. pont összefüggései alapján írhatjuk:

$$\begin{aligned} F_1 &= \overline{B}(\overline{X} + \overline{A}) & F_2 &= \overline{A} \\ G_1 &= \overline{X}A + \overline{B} \overline{A} & G_2 &= \overline{B} \overline{A} + X \\ H_1^1 &= F_1 + \overline{G}_1 & H_2^1 &= \overline{F}_2 + G_2 \end{aligned}$$

A grafikus megoldás lépései a 12-93. ábrán követhetők, az előzőkben összefoglalt algoritmus-lépések alapján.

A diszkrimináns:  $D = H_1^1 \cdot H_2^1$ , mint látható, két megoldást is kaptunk. Ezek:



12-93. ábra Egyenlőtlenség-rendszer grafikus megoldása

$$X_1 = B \quad X_2 = B + A$$

F.7.11. A példa hasonlít a 7.5.5.3. pont 7.14. példájához. A G.7.11. kiindulás ítéleteinek és következtetéseinek alapján kiszűrve a „változókat”, célszerű ezekre a következő jelöléseket bevezetni:

- 1) F – férfi a tettes
- 2) K – kistermetű a tettes
- 3) A – az ablakon mászott be
- 4) R – férfi ruhát hordott
- 5) H – hiteles a szemtanú vallomása

Ezután a kiinduló ítéletekről és következtetésekről feltételezzük, hogy külön-külön és együtt is igazak, majd a „HA  $U$ , AKKOR  $V$ ” kifejezéseket:  $U \rightarrow V$ -vel jelölve (lásd IMPLIKÁCIÓ-s függvény: 2–9. ábra) felírható a következő egyenlet:

$$(F \rightarrow K) \cdot (K \rightarrow A) \cdot (F + R) \cdot [R \rightarrow (H \rightarrow A)] \cdot \bar{A} = \text{igaz}$$

A kifejezés csak akkor lehet igaz (1), ha az ÉS-kapcsolat minden összetevője is igaz (1). Az implikációra ugyancsak a 2–9. ábra táblázata alapján felírható az alábbi összefüggés:

$$U \rightarrow V = \bar{U} + V$$

Végül az előbbi hosszú ÉS-es kifejezés összetevőire felírhatók a következők:

- 1)  $F \rightarrow K = \bar{F} + K = 1$
- 2)  $K \rightarrow A = \bar{K} + A = 1$
- 3)  $F \vee R = F + R = 1$
- 4)  $R \rightarrow (H \rightarrow A) = \bar{R} + (\bar{H} + A) = 1$
- 5)  $\bar{A} = 1$

Fentiek alapján „kiszámíthatók” a következők:

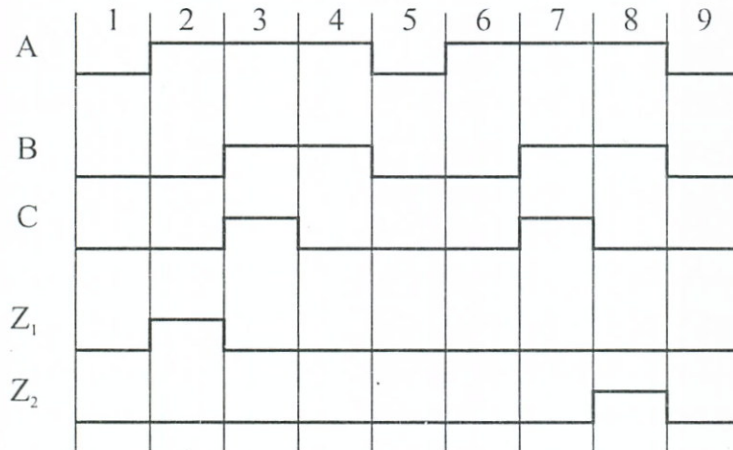
- 5)-ből:  $A = 0$
- 2)-ből:  $\bar{K} + 0 = 1 \Rightarrow K = 0$
- 1)-ből:  $\bar{F} + 0 = 1 \Rightarrow F = 0$
- 3)-ből:  $0 + R = 1 \Rightarrow R = 1$
- 4)-ből:  $\bar{1} + (\bar{H} + 0) = 1 \Rightarrow 0 + \bar{H} = 1 \Rightarrow H = 0$

A számszerű eredményeket „emberi nyelvre” visszafordítva a következő megállapításokat tehetjük:

- $F = 0$  nem férfi a tettes
- $K = 0$  nem kistermetű
- $R = 1$  férfi ruhát hordott
- $H = 0$  nem hiteles a szemtanú vallomása

### 12.8.1. Gyakorló feladatok a 8. „Sorrendi hálózatok kialakítási kérdései” c. fejezethez

- \*G.8.1. Tervezzük meg legkevesebb tárolóelemet igénylő megoldással a 12-94. ábrán látható ütemdiagram szerint működő hálózatot.



12-94. ábra Kiinduló ütemdiagram a G.8.1. példához

- \*G.8.2. Kövessük végig az előző példa S–R tárolós megoldási változatának ütemdiagram szerinti működését az állapotgráfon, megjelölve az ütemszoamokat az átmeneti éleken.
- \*G.8.3. Tervezzük meg S–R tárolós realizálással a következő táblázattal megadott szekvenciális hálózatot.

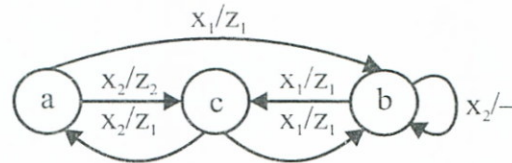
<i>A</i>	<i>B</i>	<i>C</i>	<i>T</i> időszak	<i>Z</i>
0	0	0	1	0
0	0	1	2	0
0	0	0	3	1
0	1	0	4	0
0	1	1	5	0
0	1	0	6	1
1	1	0	7	0
1	0	0	8	0
1	0	1	9	0
1	0	0	10	1
0	0	0	11	0

- \*G.8.4. Ellenőrizzük le „Lépcsős táblázatos” módszerrel, hogy a 8.6. Példában „csoportokra bontással” egyszerűsített állapotábra valóban a legegyszerűbb-e?
- \*G.8.5. Adva a 12-95. ábra előzőleg egyszerűsített állapotábrája. Keressünk hozzá állapotkódolást „szomszédossági elv”-ből kiindulva.

$q_i \backslash x$	$q_{i+1}$		$z$	
	$x=0$	$x=1$	$x=0$	$x=1$
a	b	b	0	0
b	d	e	0	0
d	h	i	0	0
e	i	i	0	0
h	a	a	0	0
i	a	a	0	1

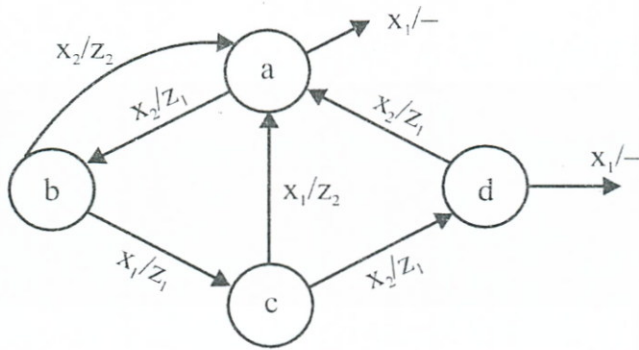
12-95. ábra Kiindulás a G.8.5. példához

- \*G.8.6. Alakítsunk ki *bináris sorozatdetektort* olyan esetre, ahol  $Z = 1$ , ha a beérkező utolsó 4 bit: 1001.
- \*G.8.7. Tegyük kísérletet a 12-96. ábrán látható automatagráf egyszerűsítésére



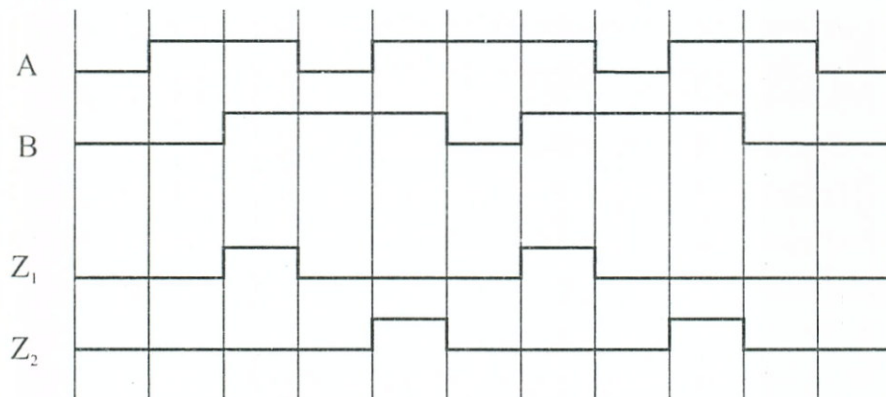
12-96. ábra Kiindulás a G.8.7. példához

- \*G.8.8. Vizsgáljuk meg a 8.20a. ábrán megadott állapotábrát olyan szempontból, hogy a 8.11. példa keretében felderített:  $P_1$ ,  $P_2$ ,  $P_3$  helyettesítési tulajdonságú partíciók mellett találunk-e még további esetet.



12-97. ábra Kiindulás a G.8.9. példához

- \*G.8.9. Vizsgáljuk meg a 12-97. ábra gráfjával megadott automatát helyettesítési tulajdonságú partíciók szempontjából, és értékeljük, miként kaphatjuk a legegyszerűbb hálózatot.
- \*G.8.10. Tervezzük meg és ROM-mal realizáljuk a 8-14f. ábra állapottáblával kiindulásként megadott sorrendi hálózatot.
- \*G.8.11. Tervezzük meg a 12-98. ábra idődiagramjával jellemzett aszinkron sorrendi hálózatot S-R tárolótípussal.



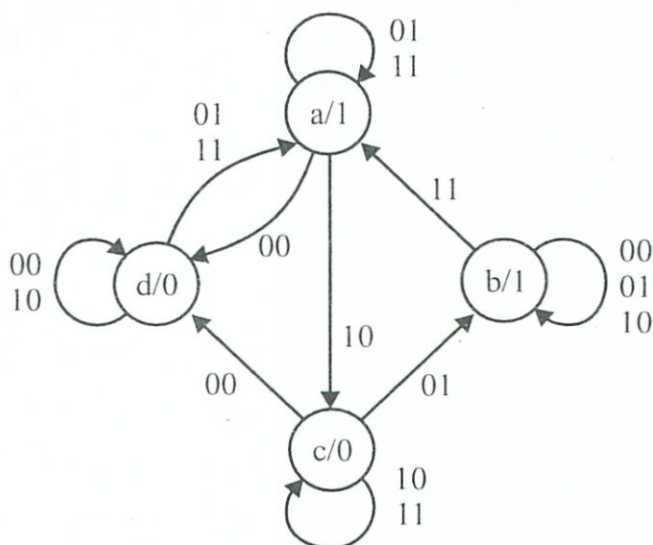
12-98. ábra Kiinduló idődiagram a G.8.11. feladathoz

- \*G.8.12. Folytassuk a 12-99. ábrán megadott egyszerűsített állapot-táblából kiindulva a sorrendi hálózat tervezését.

		AB			
		00	01	11	10
q	I	(a)	b	c	(a)
	II	c	(b)	(b)	(b)
	III	(c)	(c)	(c)	a

12-99. ábra Kiinduló állapottábla a G.8.12. feladathoz





12-100. ábra Kiinduló állapotgráf a G.8.13. feladathoz

- \*G.8.13. Tervezzük tovább a 12-100. ábrán látható gráffal jellemzett aszinkron sorrendi hálózatot.
- \*G.8.14. Állítsunk elő kritikus versenyhelyzetmentes állapotkódolást a 12-101. ábra állapottáblájával jellemzett aszinkron sorrendi hálózatnál.

		AB			
		00	01	11	10
q	a	b / 0	- / -	c / -	ⓐ / 0
	b	ⓑ / 0	ⓑ / 0	ⓑ / 0	a / 0
	c	- / -	b / -	ⓒ / 1	d / 1
	d	b / -	- / -	b / -	ⓓ / 1

12-101. ábra Kiinduló állapottábla a G.8.14. feladathoz

- \*G.8.15. Tervezzük meg a 10-62. ábrán bemutatott szorzóberendezés  $V$  vezérlőegységét *fázisregiszteres* felépítéssel.
- \*G.8.16. Tervezzük meg a 10-76. ábrán bemutatott osztóberendezés  $V$  vezérlőegységét *mikroprogramozott* elvű felépítéssel.
- G.8.17. Állítsuk elő a G.8.15. feladatot realizáló hálózat logikai vázlatát.
- G.8.18. Állítsuk elő a G.8.16. feladatot realizáló hálózatot.

## 12.8.2. Feladatmegoldások a 8. fejezethez

F.8.1. A megoldást az intuitív módszerrel végezzük el. Az algoritmus lépései:

*I. lépés:* Ütemdiagram adva van.

*II. lépés:* A megkülönböztetendő ütemek (12–102a. ábra).

$$\downarrow - \textcircled{2} - \textcircled{6}$$

$$\textcircled{X} - \textcircled{4} - \textcircled{8}$$

*III. lépés:* Elvi felépítésként válasszunk tárolós változatot.

*IV. lépés:* A tárolóelem típusát előre nem tudjuk, sőt éppen olyan típust keresünk, mely egyszerűbb megoldást ad.

Próbálkozzunk *először S–R-tárolóval*. Az első, amit fel kell ismernünk az, hogy ennél a típusnál az idővonal indítása után nem kell annak fenntartásáról gondoskodni, mivel a tároló bebillent állapotában stabilan megmarad mindaddig, míg vissza nem billentjük. Ez akkor szükséges éppen, amikor az idővonalat meg kívánjuk szakítani.

*V. lépés:* Az idővonal berajzolása során, többszöri kísérletezés után megállapíthatjuk, hogy a kimenetek szempontjából szükséges megkülönböztetést elvégzi ugyan egyetlen szekunder-változóhoz rendelt idővonal (például  $Q_1$ ), de ennek indításához, ill. megszakításához további megkülönböztetésekre van szükség, ami miatt egy második (például  $Q_2$ ) szekunder-változót is fel kell vennünk (12–102a. ábra). Erre az esetre szemléltetésül felrajzoltuk az *állapotábrát* is (12–102b. ábra).

*VI. lépés:* A tárolók működtető függvényeit közvetlenül a diagramból írjuk fel egyszerűsítetten:

$$1. \text{ tároló: } S_1 = C \cdot \overline{Q_2}$$

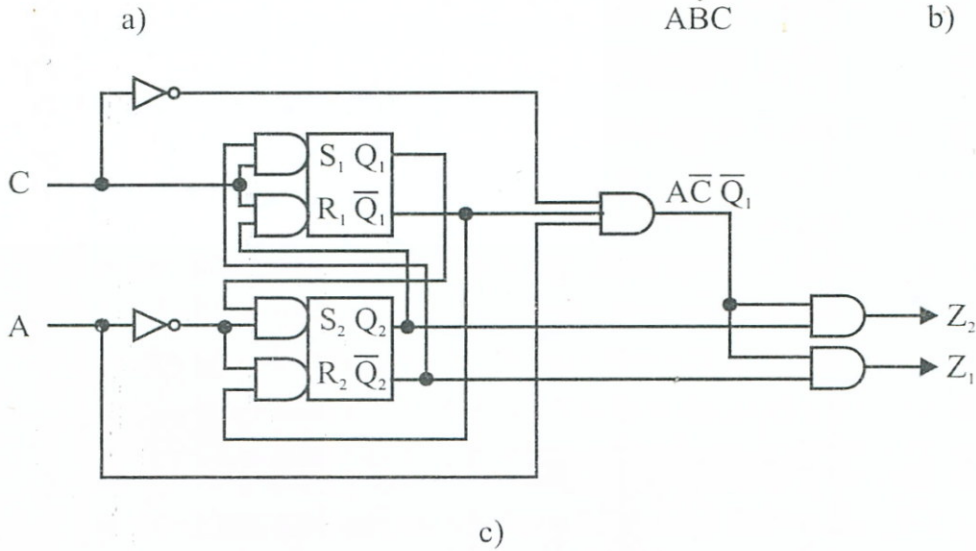
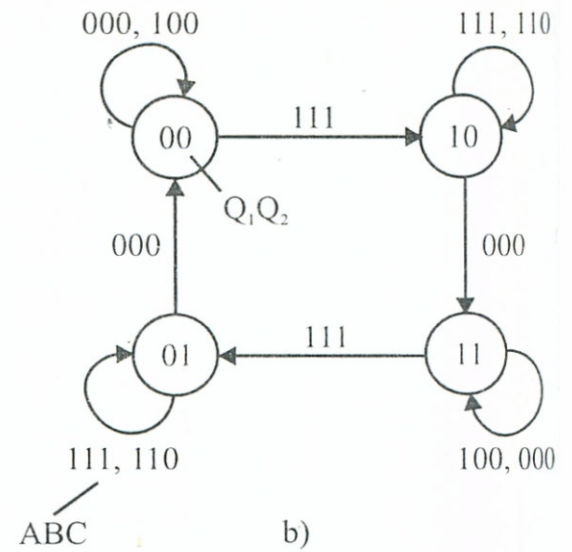
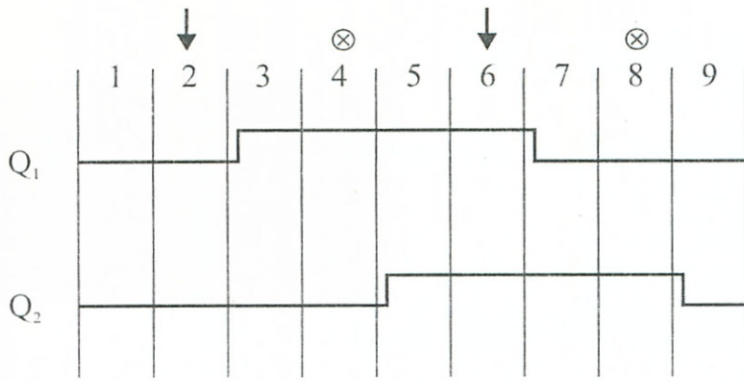
$$R_1 = C \cdot Q_2$$

$$2. \text{ tároló: } S_2 = \overline{A} \cdot Q_1$$

$$R_2 = \overline{A} \cdot \overline{Q_1}$$

Az S–R tárolókra teljesülni kell az alábbi feltételnek is:

$$S \cdot R = 0$$



12-102. ábra Megoldás S-R tárolóval

Ezt mindig ellenőriznünk kell a példamegoldások során. Jelenleg:

$$S_1 \cdot R_1 = (C \cdot \bar{Q}_2) \cdot (C \cdot Q_2) = 0$$

$$S_2 \cdot R_2 = (\bar{A} \cdot Q_1) \cdot (\bar{A} \cdot \bar{Q}_1) = 0$$

mindkét esetben teljesül. Megjegyezzük, előfordulhat, hogy az eredmény nem „0”, hanem egy *határozatlan kombinációt* eredményez. A feltételt ilyenkor is teljesültnek tekinthetjük, mivel a határozatlan kombinációknak tetszés szerint tulajdoníthatunk „0”, vagy „1” értéket.

VII. lépés: A kimeneti függvények egyszerűsített alakban:

$$Z_1 = A \cdot \bar{C} \cdot \bar{Q}_1 \cdot \bar{Q}_2$$

$$Z_2 = A \cdot \bar{C} \cdot \bar{Q}_1 \cdot Q_2$$

Más alakot is felírhattunk volna, de ezek nem tartalmaznak „B”-t ugyanúgy, mint a VI. lépés „S” és „R” függvényei, így módon a „B” független-változót eliminálhattuk.

VIII. lépés: A logikai vázlatot a 12–102c. ábrán rajzoltuk fel.

IV/A. lépés: Próbálkozzunk ezután „T” tárolós megoldással. Ez azt jelenti, hogy az eljárást a IV. lépéstől kezdve újra le kell folytatnunk.

V/A. lépés: Elegendő egy idővonal felvétele, mivel „C”-vel felváltva be-, ill. kibillenthetjük a tárolót (12–103a. ábra).

VI/A. lépés: A működtető függvény rendkívül egyszerű:

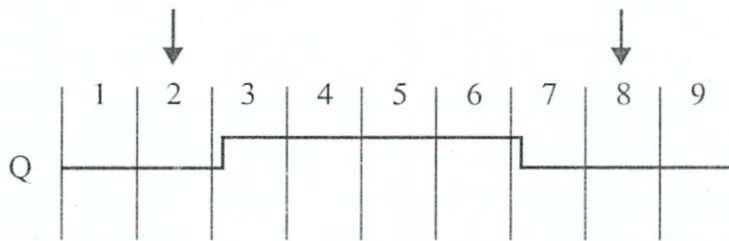
$$T = C$$

VIII/A. lépés: A kimeneti függvények a következők lesznek:

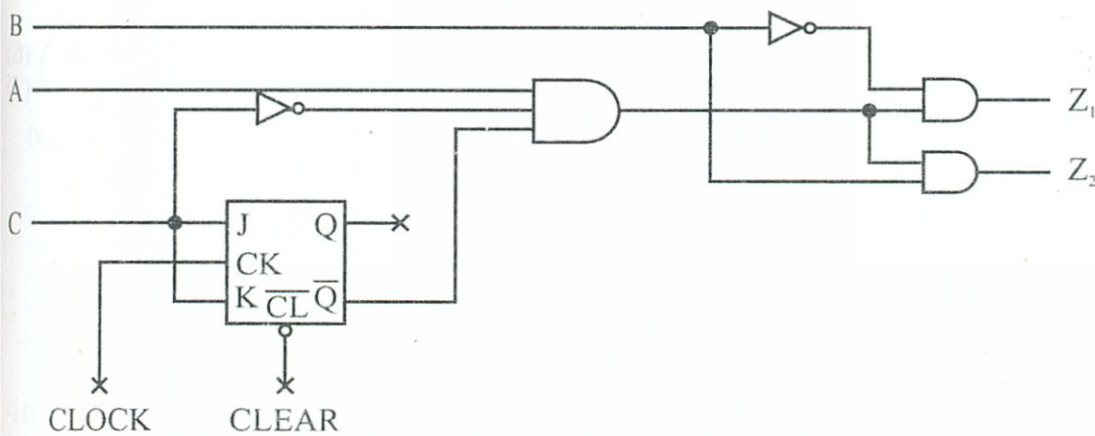
$$Z_1 = A \cdot \overline{B} \cdot \overline{C} \cdot \overline{Q}$$

$$Z_2 = A \cdot B \cdot \overline{C} \cdot \overline{Q}$$

Megjegyezzük, hogy például  $Z_1$ -ből  $B$ -et elhagyva, a 2-es ütem elején „Q” megjelenésének kezdetéig,  $\Delta$  hosszúságú



a)



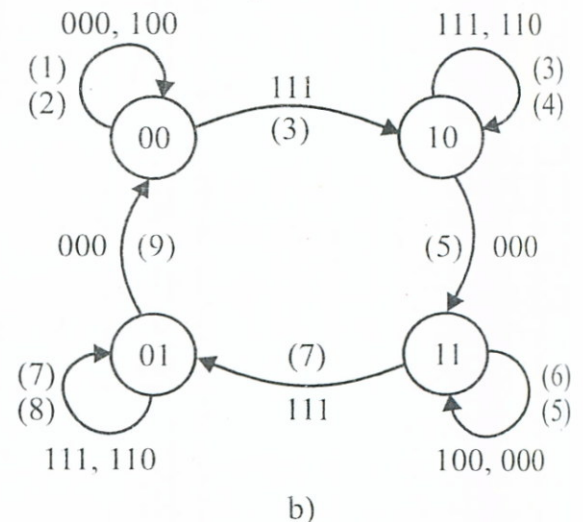
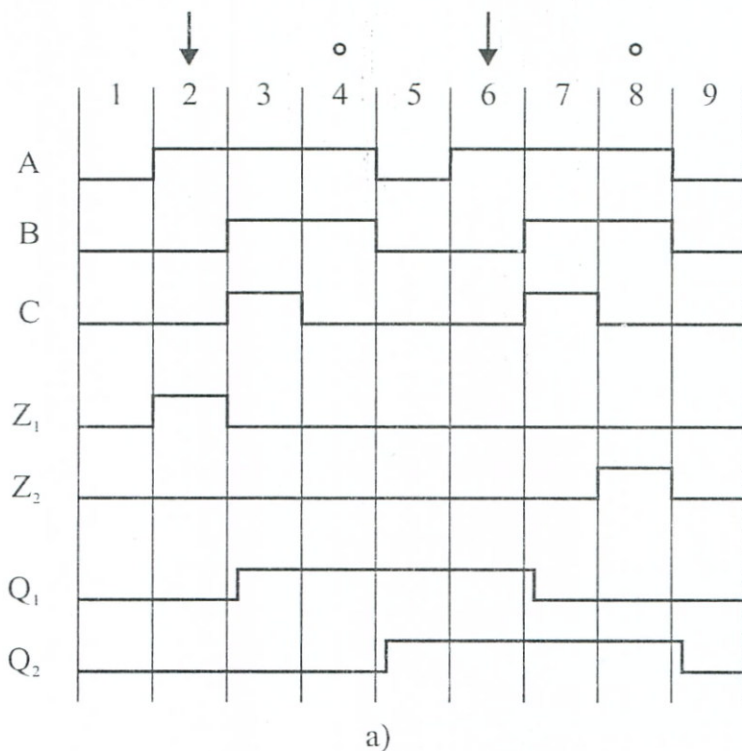
b)

12-103. ábra Megoldás T tárolóval

tranzienst keletkezik. Néha ez megengedhető, ekkor az egyszerűsítés ily módon is tovább vihető.

*VIII/A. lépés:* A hálózat a 12–103b. ábrán látható, a T-tárolót, az integrált áramköröknél gyakrabban előforduló J-K tároló két bemenetének összekötésével alakítottuk ki. A T-tárolót a működési ciklus előtt törölni kell a  $\overline{CL}$ -CLEAR bemenetnél. A berendezés, elvileg mind szinkron, mind aszinkron üzemmódban működőképes, ha a tárolóelemet a megfelelő változatban építjük be.

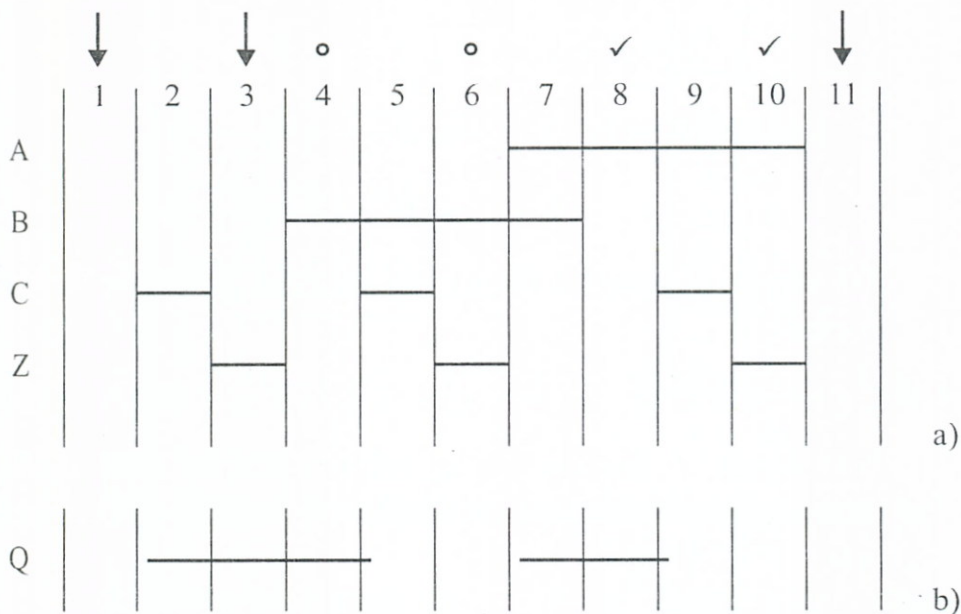
F.8.2. A 12–104a. ábrán az S–R tárolós megoldáshoz tartozó két szekunder-változós teljes ütemdiagramot rajzoltuk fel. A 12–104b. ábra állapotgráfján zárójelozett számokkal tüntettük fel a megfelelő ütemek sorszámait. A  $Z_1, Z_2$  kimeneteket a jobb áttekinthetőség miatt nem jelöltük. Az állapotgráfról a két részre esett időütemekhez tartozó instabil állapotok is leolvashatók.



12-104. ábra Az ütemdiagram és az állapotgráf kapcsolata

F.8.3. A megoldást a 8.1.1. pont algoritmus szerint végezzük:

*I. lépés:* Az ütemdiagramot a 12–105a. ábra szerint rajzolhatjuk fel a kiinduló táblázatból.



12-105. ábra Ütemdiagram a G.8.3. példához

II. lépés: A megkülönböztetendő ütemek:

↓ ①, ⑪ — ③

○ ④ — ⑥

✓ ⑧ — ⑩

III. lépés: Az elvi felépítést a feladatmegadás meghatározza.

IV–V. lépés: A szekunder-változó kijelölési művelet nagy figyelmet igényel. Miután több kombinációpárt kell megkülönböztetni, első látásra úgy érezzük, hogy több szekunder-változó bevezetésére is szükség lesz. Figyelmes vizsgálat után azonban belátható, hogy eredményre jutunk egyetlen szekunder-változó többszöri felhasználása révén is, ha az idővonalat a 12–105b. ábra szerint vesszük fel, és az ábrán (a gyakran alkalmazott ábrázolásmód szerint) csak a *magas szintű* változó állapotokat tüntettük fel.

VI. lépés: A kétszeres indítás a tároló bemeneti függvényeinek felírásánál két összetevőt eredményez, ezeket szemlélet alapján a diagramból mindjárt egyszerűsítjük is, ha lehetséges:

$$\text{Indítás: 2. ütem: } S' = \overline{A} \cdot \overline{B} \cdot C$$

$$7. \text{ ütem: } S'' = ABC \rightarrow AB$$

$$S = S' + S'' = \overline{A} \cdot \overline{B} \cdot C + A \cdot B$$

Visszabillentés: 5. ütem:  $R' = \overline{A}BC \rightarrow BC$

9. ütem:  $R'' = \overline{A}BC \rightarrow AC$

VII. lépés: Kimeneti függvény felírása közvetlenül a diagramból:

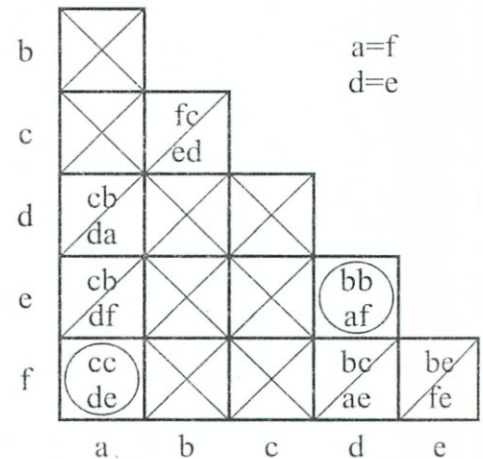
$$Z = \overline{A} \overline{B} \overline{C} Q + \overline{A} B \overline{C} \overline{Q} + A \overline{B} \overline{C} \overline{Q} = \overline{C} [\overline{A} (\overline{B} Q + B \overline{Q})] + A \overline{B} \overline{Q}$$

VIII. lépés: A logikai vázlat felrajzolásától ezúttal eltekinthünk, mivel az előző példa alapján ez már nem okoz problémát.

F.8.4. A 12–106. ábrán egymás mellett felrajzoltuk a kiinduló 8–15a. ábrát és a lépcsős táblázatot, melyen elvégeztük az algoritmus szerinti egyszerűsítést. Mint látható, itt a korábbi ekvivalencia adódott.

$q_i \backslash q_{i+1}$	x=0		x=1		z	
	x=0	x=1	x=0	x=1	x=0	x=1
a	c	d	1	1		
b	f	e	0	0		
c	c	d	0	0		
d	b	a	1	1		
e	b	f	1	1		
f	c	e	1	1		

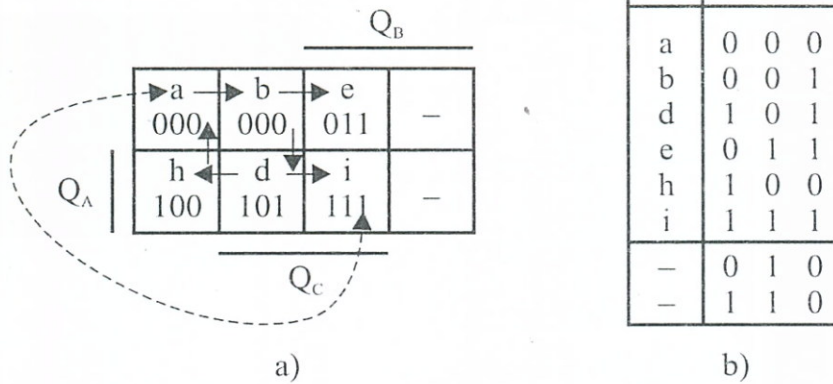
a)



b)

12-106. ábra Állapotösszevonás lépcsős táblázattal

F.8.5. A feladatmegoldásnál a 8–10. példában tárgyalt elveket hasznosítjuk. Miután a kiinduló, kódolandó tábla 6 belső állapotot tartalmaz, ezek kódolásához 3 db szekunder-változó ( $Q_A, Q_B, Q_C$ ) elegendő. A szomszédos ( $H_e = 1$  Hamming-távolságú)  $Q_A, Q_B, Q_C$  kombinációkat a 12–107a. ábra V–K táblájáról lehet „összeszedni.” például az ott bejelölt  $a, b, c, \dots, f$  állapot-elhelyezésekkel. Természetesen itt is adódnak nem át-



12-107. ábra Állapotkódolás szomszédossági kódokkal

hidálható helyzetek (pl. „i” és „a” között), de a többiek jól teljesítik a szomszédossági feltételt.

Az állapotkódolási táblázat a 107b. ábrán látható.

- F.8.6. A kérdéses sorozatdetektor tervezéséhez támpontul szolgál a korábbi 8.13. Példa. Jelen példánknál a kiindulási feltétel alapján felrajzolható a 12-108. ábrán látható *állapotgráf* és *állapottábla*, melyek egyszerűsítését *csoportokra bontással* elvégezve, a 12-109a. ábra szerinti egyszerűsített állapottáblát rajzolhatjuk fel. Itt az ekvivalens csoportok:

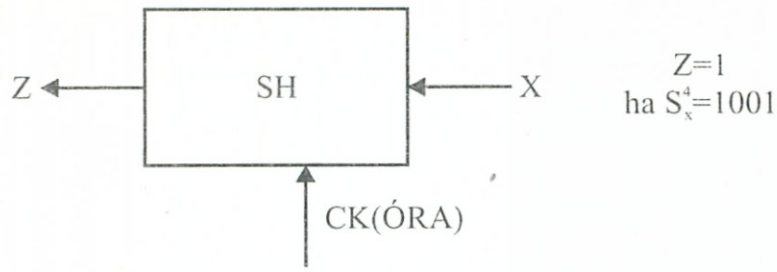
$$\begin{array}{ccccccc} a & b=d=f=h & c=g & e \\ \alpha & \beta & \gamma & \delta \end{array}$$

Mint látható, az egyszerűsítés nagyon hatékony volt, így a realizáláshoz 2 tárolóelem elegendő lesz ( $Q_1Q_2$ ).

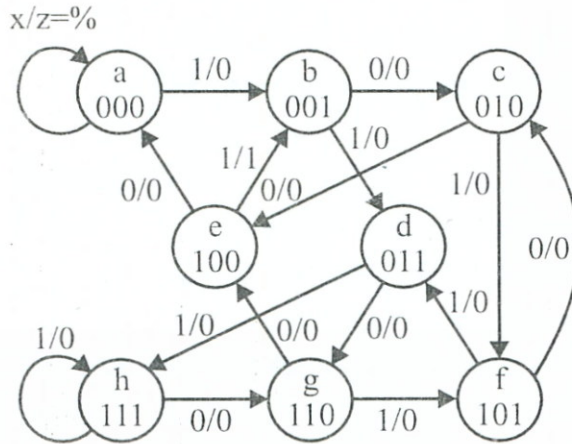
Az itt is választott szomszédossági kódolás folyamata a 12-109b. ábrán követhető. A kódolt állapottábla a 12-109c. és e. ábrákon, a minimalizált függvények az f. ábrán, a realizációs hálózat a g) ábrán látható. A realizációnál szinkron S-R-t használtunk, melynek vezérlési tábláját ugyancsak felrajzoltuk a 12-109d. ábrán a számítások megkönnyítése céljából.

- F.8.7. A részben határozott automatát leíró gráf alapján felrajzolható állapottábla a 12-110a., a kompatibilitási osztályok zárt halmazának meghatározása céljából felrajzolt lépcsős tábla a 12-110b., az egyszerűsített állapottábla a 12-110c. ábrán, míg a kérdéses gráf a 12-110d. ábrán látható.





a)



b) állapot gráf

$q_i$	$q_{i+1}/z_i$	
	$x=0$	$x=1$
a	a/0	b/0
b	c/0	d/0
c	e/0	f/0
d	g/0	h/0
e	a/0	b/1
f	c/0	d/0
g	e/0	f/0
h	g/0	h/0

c) állapottábla

Egyszerűsítés csoportokra bontással:  
A kimenet alapján indulva:

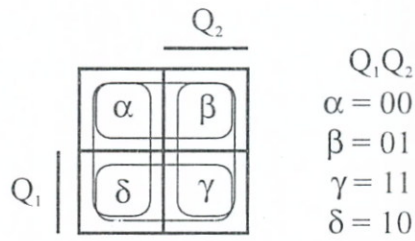
	1				2			
I.	e	a	b	c	d	f	g	h
	22	22	22	12	22	22	12	22
	1		2			3		
II.	e	c	g		a	b	d	f
	33	13	13		33	23	23	23
	1		2		3		4	
III.	e	c	g	a		b	d	f
	34	14	14	34		24	24	24

**12-108. ábra** Sorozatdetektor állapot-egyszerűsítése

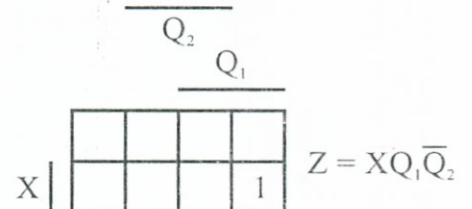
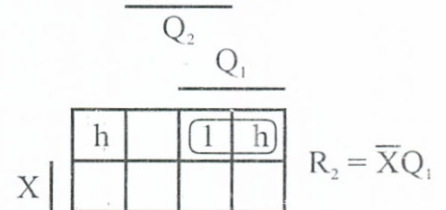
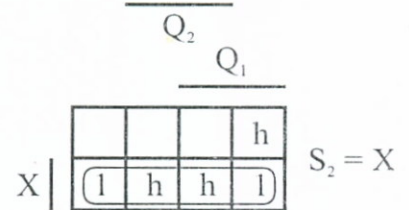
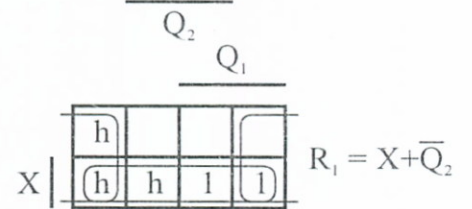
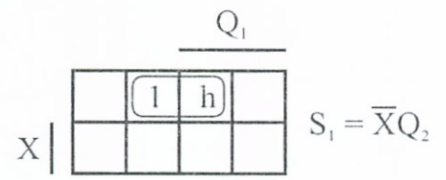
F.8.8. Megvizsgálva újra a 8–20b. lépcsős táblát, próbáljuk meg a vizsgálatot az (af)-ből indítva lefolytatni. A lépéseket a 8.11. Példa szerinti módon elvégezve, karikázással rájelöltük a lépéssorozatot a lépcsős táblára a 12–111a. ábra szerint, majd ezt követően elvégezzük a helyettesítési tulajdonságú partíció-keresést a 12–111b. ábrán (hasonlóan a 8–21. ábra lépéseihez). Mint látható, végül is a

$q_i$	$q_{i+1}$	
	$x=0$	$x=1$
$\alpha$	$\alpha/0$	$\beta/0$
$\beta$	$\gamma/0$	$\beta/0$
$\gamma$	$\delta/0$	$\beta/0$
$\delta$	$\alpha/0$	$\beta/1$

a)



b) szomszédos állapotkódolás



f)

	$t$ $Q_1 Q_2$	$t+t$ $Q_1 Q_2$		$z$	
		$x=0$	$x=1$	$x=0$	$x=1$
$\alpha$	00	00	01	0	0
$\beta$	01	11	01	0	0
$\gamma$	11	10	01	0	0
$\delta$	10	00	01	0	1

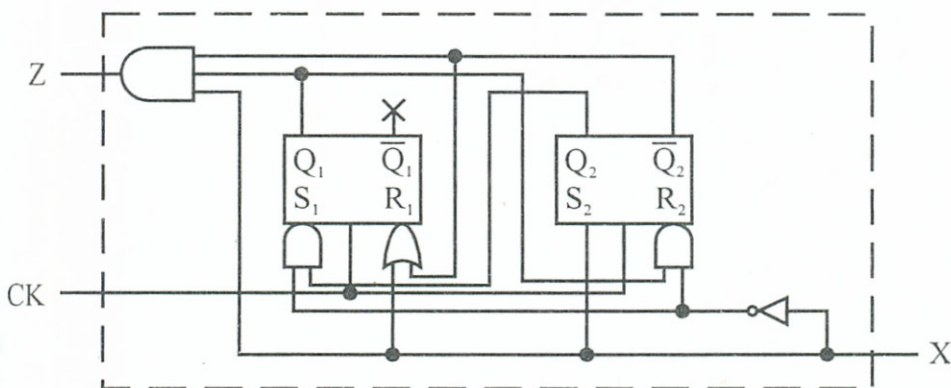
c)

$Q_i \rightarrow Q_{i+1}$	SR
0 0	0h
0 1	10
1 0	01
1 1	h0

d)

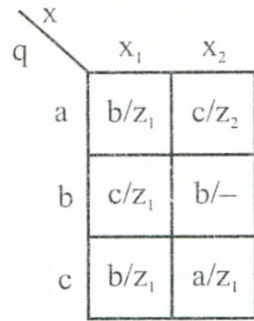
$t$	$t+1$		$S_1 R_1$		$S_2 R_2$		$Z$
	$X Q_1 Q_2$	$Q_1 Q_2$	$S_1$	$R_1$	$S_2$	$R_2$	
0	0	0	0	h	0	h	0
0	0	1	1	0	h	0	0
0	1	0	0	1	0	h	0
0	1	1	1	0	0	1	0
1	0	0	0	h	1	0	0
1	0	1	0	h	h	0	0
1	1	0	0	1	1	0	1
1	1	1	0	1	h	0	0

e)

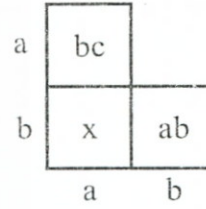


g)

12-109. ábra Sorozatdetektor  $S_x^4 = 1001$ -re

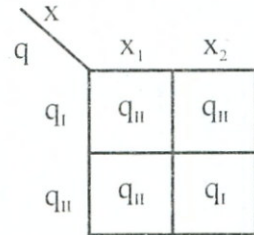


a)

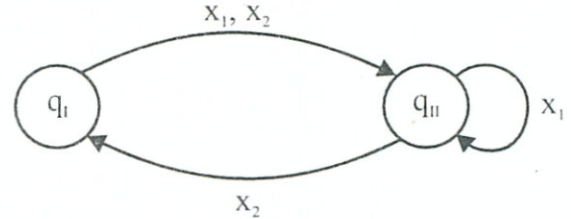


b)

$q_{II}$   $q_{II}$   
( $ab$ ) ( $bc$ )

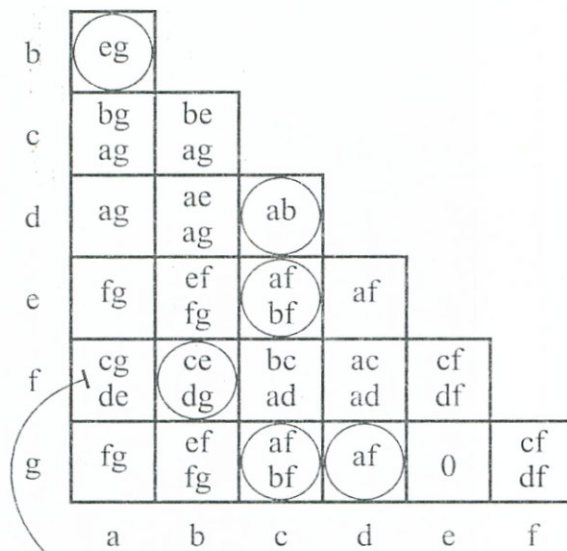


c)



d)

12-110. ábra Állapotösszevonás az F.8.7. példánál



a)

( $abcdefg$ )  
 ( $bcdefg$ )( $abf$ )  
 ( $cdefg$ )( $bf$ )( $abf$ )  
 ( $defg$ )( $cdeg$ )( $abf$ )  
 ( $efg$ )( $cdg$ )( $ceg$ )( $cdg$ )( $abf$ )  
 ( $fg$ )( $ceg$ )( $ceg$ )( $cdg$ )( $abf$ )  
 ( $f$ )( $g$ )( $ceg$ )( $cdg$ )( $cdg$ )( $abf$ )  
 ( $cdeg$ ) egyesítés

b)

12-111. ábra Helyettesítési tulajdonságú partíció keresése ( $af$ )-ből kiindulva

$$P_4 = \{(abf) (cdeg)\}$$

újabb, előnyös partícióhoz jutottunk, melyet a 8–22. ábra szerinti összehasonlításhoz hasonlóan kiértékelve:  $m = 3$

( $m_1 = 1, m_2 = 2$ ) a szükséges szekunder-változók száma, ami egyenértékű a korábban legelőnyösebbnek minősített  $P_3$ -mal.

F.8.9. A 12-97. ábra állapotgráfja alapján felrajzolhatjuk a 12-112a. ábra szerinti állapottáblát, majd a 12-112b. ábra szerinti lépcsős táblát. Ebből közvetlenül leolvasható a következő helyettesítési tulajdonságú partíció:

$$P_1 = \{(a) (c) (bd)\}$$

Tovább keresve és (bd)-ből továbblépve a lépcsős táblázat segítségével adódik (ac) partíció is, így egy újabb lehetőség:

$$P_2 = \{(ac) (bd)\}$$

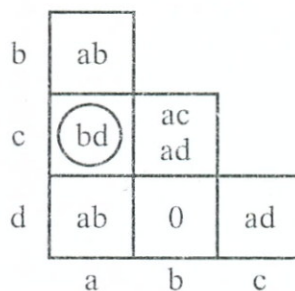
A szekunder-változók szükséges számának felmérése után (12-112c. ábra), azt állapíthatjuk meg, hogy  $P_1$ -hez:  $m = 3$ ,  $P_2$ -höz:  $m = 2$  szekunder-változó szükséges.

Folytassuk tovább a feladatmegoldást, és mindkét esetre írjuk fel a vezérlő és kimeneti függvényeket. Mindkettőhöz válasszuk a következő összerendelést:

$$x = \{x_1, x_2\} = \{0, 1\} \quad z = \{z_1, z_2\} = \{0, 1\}$$

	$x_1$	$x_2$
a	-/-	b/ $z_1$
b	c/ $z_1$	a/ $z_2$
c	a/ $z_2$	d/ $z_1$
d	-/-	a/ $z_1$

a)



b)

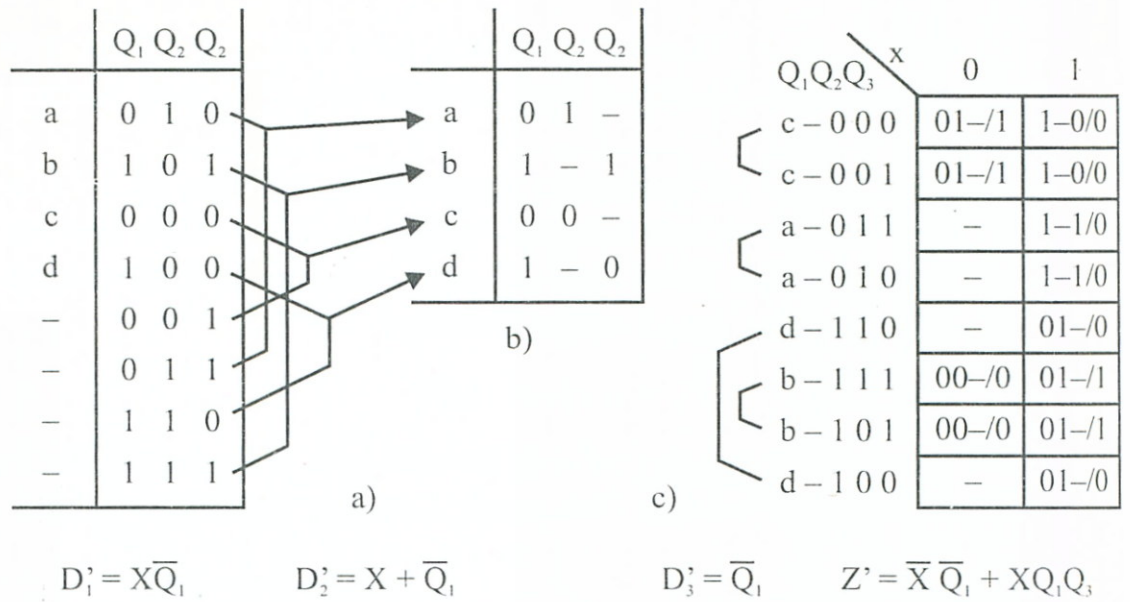
$$P_1 = \{(a)(c)(bd)\}$$

$$P_2 = \{(ac)(bd)\}$$

$p_i$	$c_i$	$p_i$	$m_{1i}$	$m_{2i}$	$m$
$p_1$	3	2	2	1	3
$p_2$	2	2	1	1	2

c)

12-112. ábra Helyettesítési tulajdonságú partíciók F.8.9.-nél

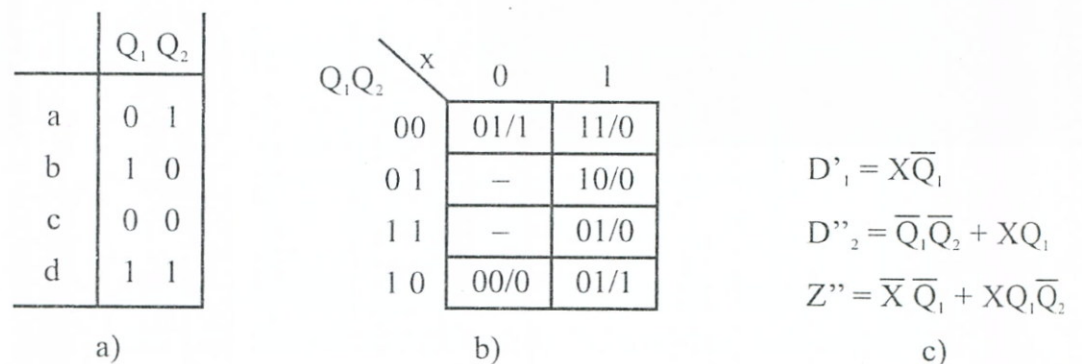


12-113. ábra Az F.8.9. feladatmegoldás I. változata

A  $P_1$  esetre a szekunder-változókat kódoljuk a 12-113a. ábra szerint, ahol  $Q_1Q_2$  a csoportok megkülönböztetését,  $Q_3$  a csoportokon belüli állapotok megkülönböztetését végzi. Itt a fel nem használt esetek jóvoltából a 12-113b. ábra szerinti összevonást végezhetjük el, végül a 12-113c. kódolt állapottábla alapján felírhatók a  $D_1'$ ,  $D_2'$ ,  $D_3'$ , és  $Z'$  függvények.

A  $P_2$  esetre a szekunder-változó kódolást a 12-114a. ábra szerint elvégezve ( $Q_1$  csoport,  $Q_2$  állapot megkülönböztetés) a 12-114b. kódolt állapottáblából felírhatók a  $D_1''$ ,  $D_2''$ ,  $Z''$  függvények.

A  $P_1$  alapján kapott I. változatot a  $P_2$  alapján kapott II-kal összehasonlítva azt találjuk, hogy a kombinációs hálózat-rész kapubemeneteinek száma  $P_1$  esetén: 11, míg  $P_2$  esetén: 15, azaz a II. változat bonyolultabb.



12-114. ábra Az F.8.9. feladatmegoldás II. változata

Összefoglalva a két változat tapasztalatait adott példára, megállapíthatjuk:

- $P_1$  megoldásánál a kombinációs hálózatrész egyszerűbb,
- $P_2$  megoldáshoz kevesebb számú tárolóelem szükséges.

A példa felhívja a figyelmet arra, hogy a különféle egyszerűsítések elvégzése után, olyan egymás ellen dolgozó eredmények is keletkezhetnek, melyek miatt a végleges realizációhoz további mérlegeléseket is kell tennünk. Esetünkben például, ha PLA realizáció mellett döntenénk, akkor a kevesebb szekunder-változót jelentő  $P_2$  megoldás lenne a kedvezőbb, mivel – mint már utaltunk rá – PLA-nál a kombinációs hálózatrész egyszerűsödésének nincs lényeges szerepe.

F.8.10. Kiindulva az újra felrajzolt 12–115a. ábrából, szomszédosági alapon választjuk a 12–115b. szerinti párosítást, majd kitölthetjük a 12–115c. kódolt állapotábrát. J–K tárolóelemet választva, a 12–115c. alapján 12–115d. ábra szerinti vezérlési és kimeneti függvények írhatók fel, végül a realizációs hálózatot a 12–115e. ábra mutatja. A vezérlési és kimeneti függvények a ROM-ba vannak beégetve a 6–41. ábra és a 8–26. ábra elveinek megfelelően.

F.8.11. A feladatmegoldás hasonló lépésekben történik, mint a 8.15. példánál.

*I–II. lépés:* Induláskor megbetűzzük a kiinduló idődiagram ütemeit, melyeket stabil állapotoknak tekintünk, majd felrajzolhatjuk a 12–116a. ábrán látható primitív állapotábrát.

*III/A. lépés:* Primitív állapotábránkat a kompatibilitási feltételek alapján megvizsgálva a 12–116b. ábra következtetéseire juthatunk, melyeket a primitív állapotábrára rávezetve, majd az állapot-összevonásokat elvégezve a 12–116c. ábra egyszerűsödött táblázatát kapjuk.

*III/B. lépés:* A felrajzolható 12–116d. egyesítési gráf értelmében viszont a sorok egyesítésével még további egyszerűsítési lehetőségek is kínálkoznak, így végül is a kétsoros 12–116e. ábra szerinti állapotábra lesz az eredmény.

12. Gyakorló feladatok és megoldásaik

$q_i$	$q_{i+1}$		$Z$	
	$x_0=0$	$x_1=1$	$x_0=0$	$x_1=1$
a	a	b	0	0
b	c	b	0	0
c	e	b	0	0
e	a	b	0	1

a)

$t+1$	$t$
a	a, e
b	a, b, c, e
c	b
d	c

b)

a: 00  
e: 01  
b: 10  
c: 11

$q_i$	$t$	$t+1$	
	$Q_1 Q_2$	0	1
a	00	00/0	10/0
e	01	00/0	10/1
c	11	01/0	10/0
b	10	11/0	10/0

c)

$$J_1 = X$$

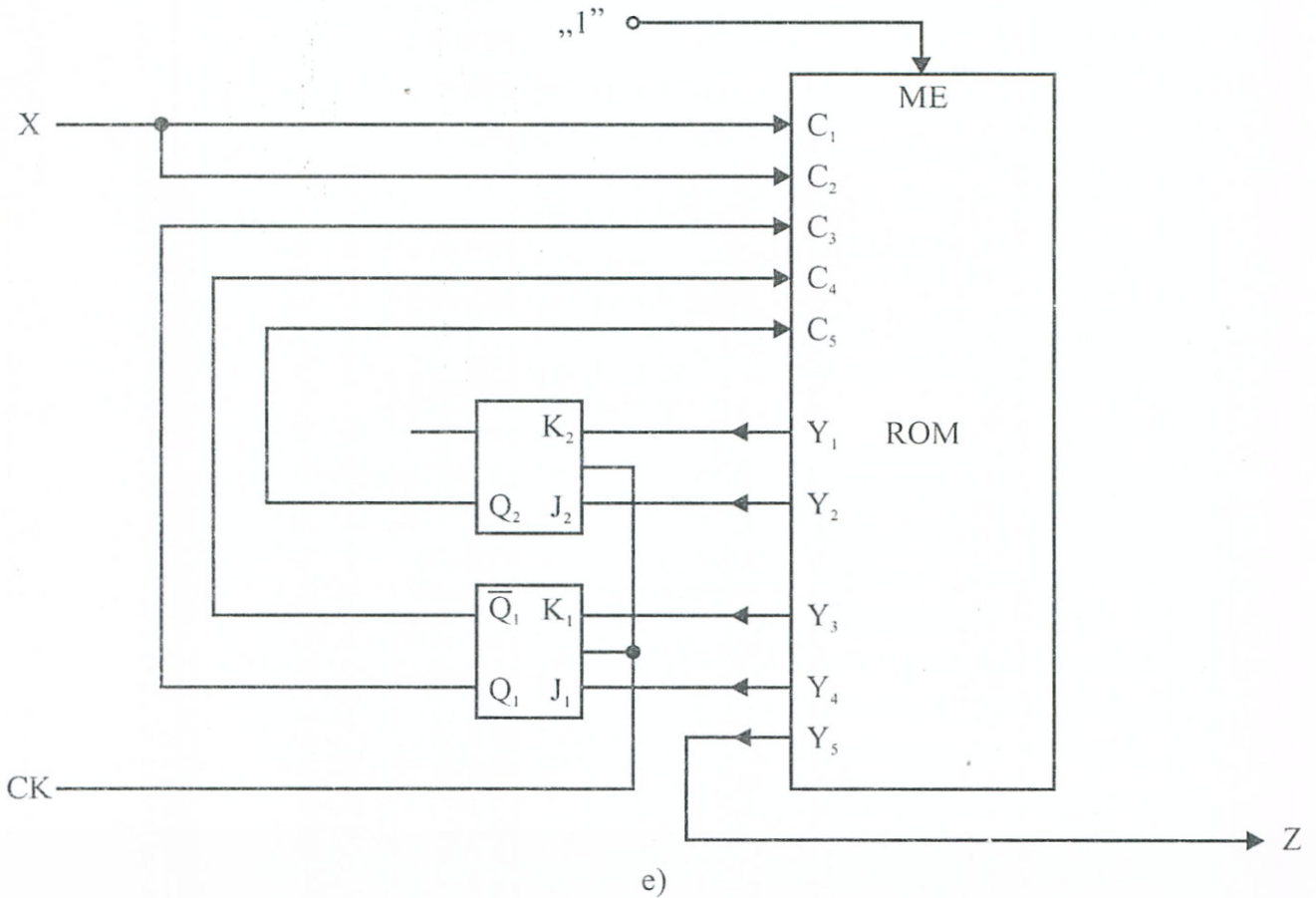
$$K_1 = \bar{X}Q_2$$

$$J_2 = \bar{X}Q_1$$

$$K_2 = X + \bar{Q}_1$$

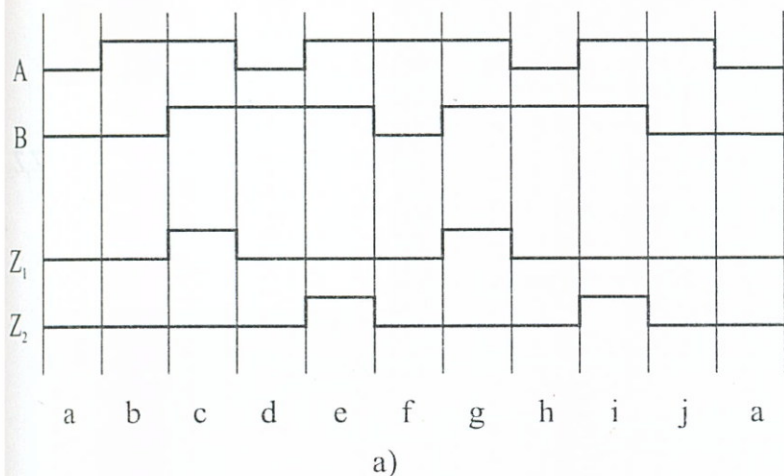
$$Z = X\bar{Q}_1Q_2$$

d)



e)

12-115. ábra Az F.8.10. példa megoldása



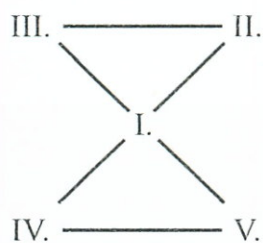
AB q		00	01	11	10	Z <sub>1</sub>	Z <sub>2</sub>
		I	(a)	-	-	b	0
II	-	-	c	(b)	0	0	
III	-	d	(c)	-	1	0	
IV	-	(d)	e	-	0	0	
V	-	-	(e)	f	0	1	
VI	-	-	g	(f)	0	0	
VII	-	h	(g)	-	1	0	
VIII	-	(h)	i	-	0	0	
IX	-	-	(i)	j	0	1	
X	a	-	-	(j)	0	0	

- b~f ha: c~g II.-VI.
- c~g ha: d~h III.-VII.
- d~h ha: e~i IV.-VIII.
- e~i ha: f~j V.-IX.
- f~j feltétel nélkül VI.-X.

b)

AB q		00	01	11	10	Z <sub>1</sub>	Z <sub>2</sub>
		I	(a)	-	-	b	0
II	-	-	c	(b)	0	0	
III	-	d	(c)	-	1	0	
IV	-	(d)	e	-	0	0	
V	-	-	(e)	b	0	1	

c)



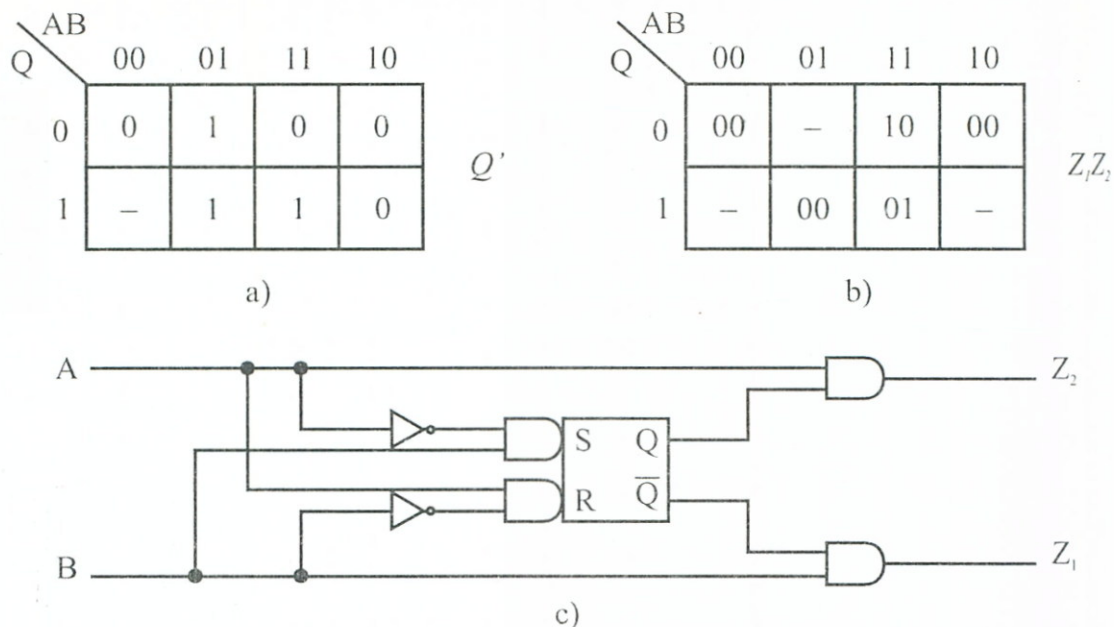
d)

AB q		00	01	11	10	
		I.-II.-III.	(a)/00	d	(c)/10	(b)/00
IV.-V.	-	(d)/00	(e)/01	b	Q = 1	

e)

12-116. ábra Az F.8.11. feladatmegoldás lépései





12-117. ábra Az F. 8.11. feladat realizációja

IV. lépés: Az állapotkódolást problémamentesen végrehajtva a kódolt belső állapotábra és a kimeneti tábla a 12-117a. és b. ábrák szerint alakul.

V. lépés: A feladat S-R-tárolós megoldást ír elő. Az  $S = f_S(A, B, Q)$  és  $R = f_R(A, B, Q)$  működtető függvényeket – a korábbiakban már alkalmazott módszerrel – a 6-34. ábra működési táblázatának segítségével írhatjuk fel és végül kapjuk:

$$S = \overline{A}B$$

$$R = A\overline{B}$$

VI. lépés: A kimeneti függvényeket a kimeneti táblából felírva:

$$Z_1 = B \cdot \overline{Q}$$

$$Z_2 = A \cdot Q$$

VII. lépés: Az S-R tárolóelemes realizációs hálózatot végül a 12-117c. ábrán rajzoltuk fel.

F.8.12. A kiinduló 12-59. ábra alapján felrajzolható az átmeneti gráf a 12-118a. ábra szerint. A három belső állapot kódolásához legalább két szekunder-változó szükséges. Az így keletkező négy soros V-K-táblán nem tudjuk úgy elhelyezni a gráfon látható (mindegyik mindegyikkel kapcsolatban álló)

három állapotot, hogy mindenütt közvetlen *szomszédos* átmenet keletkezzen. Pl. a 12–118b. ábrán látható elhelyezésnél a kódok:

$AB : 10 \rightarrow 11$  változásnál :

$q : \textcircled{a} \rightarrow c \rightarrow \textcircled{c}$

$Q_1Q_2 : \textcircled{00} \rightarrow 00 \rightarrow \textcircled{11}$

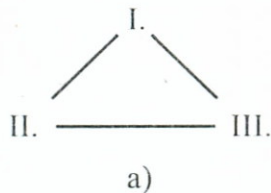
$AB : 11 \rightarrow 10$  változásnál :

$q : \textcircled{c} \rightarrow a \rightarrow \textcircled{a}$

$Q_1Q_2 : \textcircled{11} \rightarrow 11 \rightarrow \textcircled{00}$

tehát ezekben az esetekben a szomszédosság nem teljesül.

Amennyiben a határozatlan eseteket tartalmazó:  $Q_1Q_2:01$  sorban az  $AB:11$ , ill.  $10$  oszlopnál „c”, ill. „a” instabil állapotokat, a „00”, ill. „11” sorban pedig értelemszerűen „IV” instabil állapotokat iktatunk be, az előbbi átmenet-sorozat



$Q_1Q_2 \backslash AB$		$q$			
		00	01	11	10
0 0	I.	$\textcircled{a}$	b	c	$\textcircled{a}$
0 1	IV.	-	-	-	-
1 1	III.	$\textcircled{c}$	$\textcircled{c}$	$\textcircled{c}$	a
1 0	II.	c	$\textcircled{b}$	$\textcircled{b}$	$\textcircled{b}$

b)

$Q_1Q_2 \backslash AB$	00	01	11	10
00	00	10	01	00
01	-	-	01	00
11	11	11	11	01
10	11	10	10	10

d)

$Q_1Q_2 \backslash AB$		$q$			
		00	01	11	10
0 0	I.	$\textcircled{a}$	b	IV	$\textcircled{a}$
0 1	IV.	-	-	c	a
1 1	III.	$\textcircled{c}$	$\textcircled{c}$	$\textcircled{c}$	IV
1 0	II.	c	$\textcircled{b}$	$\textcircled{b}$	$\textcircled{b}$

c)

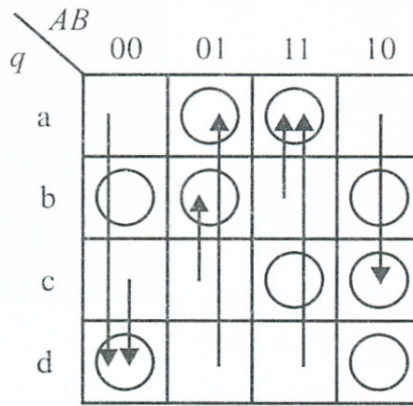
12-118. ábra Állapotkódolás az instabil állapotok módosításával

ugyan közvetetté válik és a hálózat elveszti a normál típusú jellegét, viszont a kérdéses helyeken a kritikus versenyfutás veszélye megszűnik. A módosított állapotábrát a 12–118c. ábrán, a végleges kódolt állapotábrát a 12–118d. ábrán rajzoltuk fel.

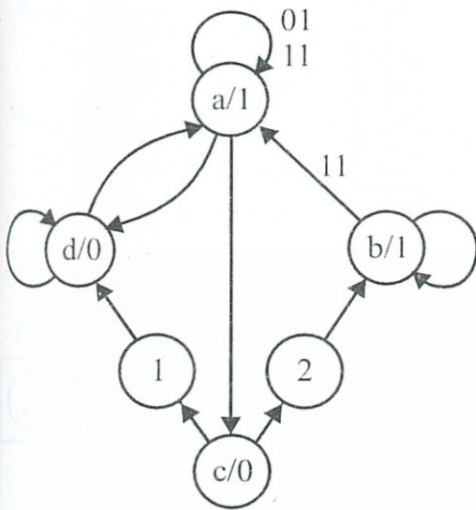
- F.8.13. A 12–100. ábrából látható, hogy egy MOORE-modell kínálkozik közvetlen leírásként, mivel a kimenetek a belső állapotokhoz vannak rendelve a bemeneti állapotoktól függetlenül. A gráfnak megfelelő állapotábrát, illetve átmeneti táblát a 12–119a., illetve a 12–119b. ábrán rajzoltuk fel. Mind a kiindulógráf, mind a kapott táblák tanulmányozása során hamarosan kiderül, hogy szomszédos kódolást ilyen formában nem tudunk megvalósítani. Amennyiben viszont bevezetjük az „1” és „2” jelű közbenső állapotokat a 12–119c. ábra szerint módosított állapotgráfnak és a 12–119d. ábra szerinti állapotkódolásnak megfelelően, akkor a kritikus versenyfutás veszélye megszűnik, mivel a szomszédosság így már teljesül. Az új viszonyoknak megfelelő átmeneti tábla-módosulást a 12–119e. ábrán tüntettük fel. Itt a kihangsúlyozás érdekében a 12–119b. ábrához viszonyítva változatlan átmeneteket nem tüntettünk fel. Az aktuálisan kitöltött kódolt állapotábrát a 12–119f. ábra mutatja. A ki nem használt esetek kitöltésénél ügyelni kell a korábban már említett esetleges tranziensek elkerülésére.
- F.8.14. A kiinduló 12–101. ábrán látható állapotábra alapján felrajzoltuk a 12–120a. ábra szerinti állapotgráfot, melynek tanulmányozása nyomán kiderül, hogy a közvetlen kapcsolatban álló:  $a-b-c$  és  $b-c-d$  gráfrészeket eleve lehetetlenné tesz a szomszédossági feltételek teljesítését, így kritikus versenyfutás veszélyét rejtik magukban. A szomszédosság biztosítására választhatnánk például az előző feladatban alkalmazott közbenső instabil állapotok beiktatásának módszerét is, de jelen példánál megtakarítható új állapotok bevezetése, ha a 12–120b. ábra szerinti kódolás feltételezésével a 12–120a. ábra állapotgráján a közvetlen  $\textcircled{c} \rightarrow \textcircled{b}$  átmenetet megszüntetjük és a  $\textcircled{c} \rightarrow d \rightarrow \textcircled{b}$  közvetett átmeneten keresztül biztosítjuk a kapcsolatot (12–120c. ábra). Ez a változás a 12–120d. és e. ábrák eredeti, ill. a módosításokat mutató átmeneti tábláinak összehasonlításakor szem-

$AB$	00	01	11	10	$Z$
$q$					
a	d	a	a	c	1
b	b	b	a	b	1
c	d	b	c	c	0
d	d	a	a	d	0

a)



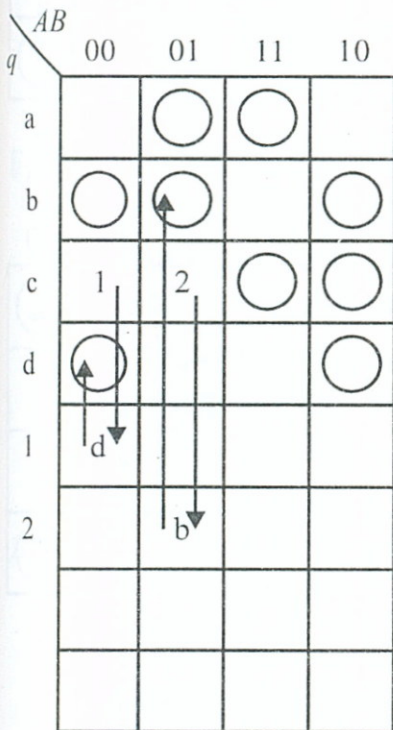
b)



c)

	$Q_1$	$Q_2$	$Q_2$
a	0	1	0
b	1	1	0
c	0	0	0
d	0	1	1
1	0	0	1
2	1	0	0

d)

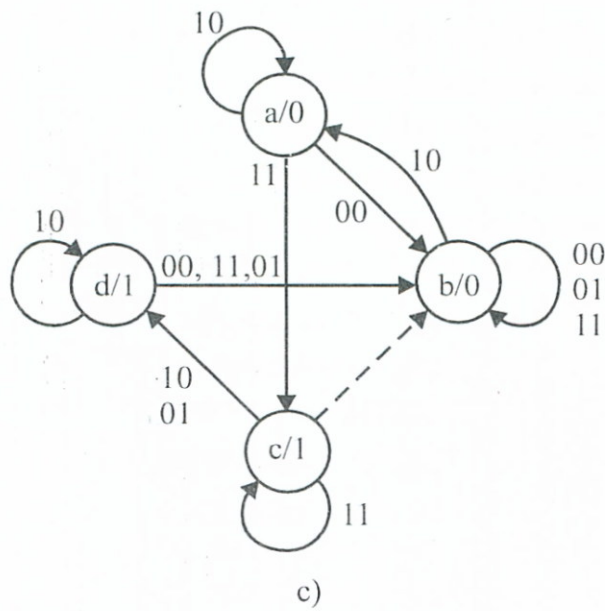
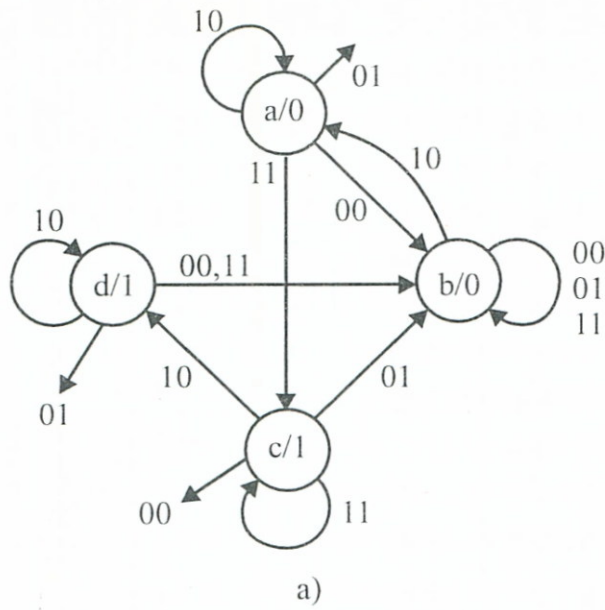


e)

$Q_1 Q_2 Q_3$	$AB$	00	01	11	10	$Z$
0 1 0		011	010	010	000	1
1 1 0		110	110	010	110	1
0 0 0		001	101	000	000	0
0 1 1		011	010	010	011	0
0 0 1		011	-	-	-	0
1 0 0		-	110	-	-	-
1 0 1		-	-	-	-	-
1 1 1		-	-	-	-	-

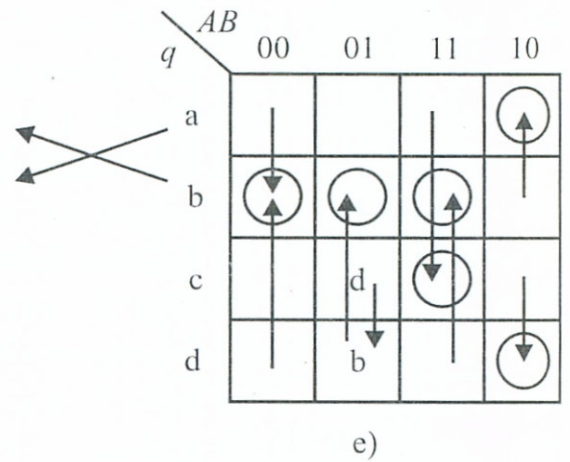
f)

12-119. ábra Közbeső állapotok felvétele az F.8.13. feladatnál



f) Truth table for the next state function q:

Q <sub>1</sub> Q <sub>2</sub> \ AB	00	01	11	10	Z
b 00	00	00	00	01	0
a 01	00	-	11	01	0
c 11	-	10	11	10	1
d 10	00	00	00	10	1



12-120. ábra Állapotkódolás instabil esetek módosításával

betűnő. A végleges, kritikus versenymentes kódolt állapot-tábla a 12–120f. ábrán látható. Itt ügyeljünk arra, hogy a V–K tábla kötött kód-elrendezése miatt az első két sornál „a” és „b” állapotok helye felcserélődött.

F.8.15. A feladatmegoldásnál felhasználjuk a 8.20. Példa tapasztalatait.

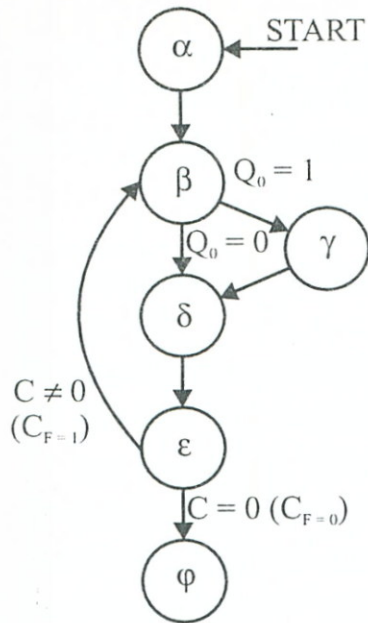
A 12–121a. ábrán felrajzoltuk a kiinduló-állapotgráfot, ebből a 12–121b. előzetes állapot-tábla előállítható. Itt a 10–62. ábrabeli  $C$  számláló *üres*, ill. *még nem üres* állapotait egy  $C_F$  flag  $C_F = 0$ ,  $C_F = 1$  állapotaival jelképeztük. Az egyszerűség kedvéért most nem törekedve szisztematikus állapotkodolásra, bevezetjük a c. ábra  $q_t$  rovatában ábrázolt egyszerű bináris kódot, mellyel kitöltjük a c. teljes kódolt állapot-táblát, ahol a választott J–K tárolók vezérlő bemenetei is szerepelnek. A kérdéses  $J_i$ ,  $K_i$  értékeket a d. ábrában újra-felrajzolt J–K-ra vonatkozó vezérlési táblázat segítségével számítottuk ki, figyelembevéve a feltételes átmeneteknél szereplő  $Q_0$ ,  $C_F$  feltételek szerepét is. Végül az e. ábrarészen felírtuk a kiszámított  $J_i$  és  $K_i$  értékeket, melyekkel a 8–61. ábrán szereplő hálózathoz hasonló, vezérlő egységünk már felrajzolható. A jelenlegi példa és a 8–61. ábra realizációs vázlatai között eltérés csupán a 8–61. ábra KOMBINÁCIÓS HÁLÓZAT nevű egységénél jelentkezik az e. ábrán kiszámított függvényeknek megfelelően.

F.8.16. A feladatmegoldásnál felhasználjuk a 8.19. Példa tapasztalatait. A 12–122a. ábrán felrajzoltuk a kiinduló állapotgráfot. Ennek alapján a ROM-ba beégetendő és az aktuális feladathoz illeszkedő mikroprogram már összeállítható. Az esetünkre alkalmazott mikroprogramot a 12–122b. ábrán rajzoltuk fel. A feltételes ugrásoknál az alábbi értelmezést használtuk:

$$J C_x = \begin{cases} INC \text{ ha: } X = 0 \text{ (INKREMENTÁLÁS)} \\ JMP \text{ ha: } X = 1 \text{ (UGRÁS A MEGADOTT ROM-CÍMRE)} \end{cases}$$

A feladat további lépéseit már az említett 8.19. Példa alapján követhetjük. Az ott felrajzolt 8–59. ábra realizációs hálózata teljesen hasonló a jelen példa itt fel nem rajzolt realizációjához. Eltérés két helyen van:

12. Gyakorló feladatok és megoldásaik



a)

$q_i$	Felt. nélk.	$q_{i+1}$			
		$Q_0=0$	$Q_0=1$	$C_F=0$	$C_F=1$
$\alpha$	$\beta$	-	-	-	-
$\beta$	-	$\delta$	$\gamma$	-	-
$\gamma$	$\delta$	-	-	-	-
$\delta$	$\epsilon$	-	-	-	-
$\epsilon$	-	-	-	$\varphi$	$\beta$
$\varphi$	-	-	-	-	-

c)

$q_i$	$Q_1 Q_2 Q_3$	Felt. nélk.	$q_{i+1} (Q_1 Q_2 Q_3)_{i+1}$				Flip-flop vezérlések		
			$Q_0=0$	$Q_0=1$	$C_F=0$	$C_F=1$	$J_1 K_1$	$J_2 K_2$	$J_3 K_3$
$\alpha$	0 0 0	0 0 1	-	-	-	-	0 h	0 h	0 h
$\beta$	0 0 1	-	0 1 1	0 1 0	-	-	0 h	1 h	$\left. \begin{matrix} h & 0 \\ h & 1 \end{matrix} \right\} Q_0$
$\gamma$	0 1 0	0 1 1	-	-	-	-	0 h	h 0	1 h
$\delta$	0 1 1	1 0 0	-	-	-	-	1 h	h 1	h 1
$\epsilon$	1 0 0	-	-	-	1 0 1	0 0 1	$\left. \begin{matrix} h & 0 \\ h & 1 \end{matrix} \right\} C_F$	0 h	1 h
$\varphi$	1 0 1	-	-	-	-	-	h h	h h	h h

c)

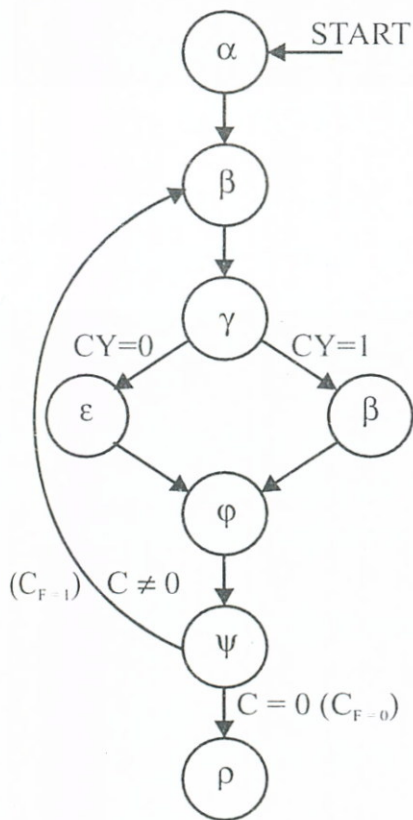
$Q_i \rightarrow Q_{i+1}$	JK
0 0	0 h
0 1	1 h
1 0	h 1
1 1	h 0

d)

$$\begin{aligned}
 J_1 &= \delta \\
 K_1 &= \epsilon \cdot C_F \\
 J_2 &= \beta \\
 K_2 &= \delta \\
 J_3 &= 1 \\
 K_3 &= \delta + \beta \cdot Q_0
 \end{aligned}$$

e)

12-121. ábra Fázisregiszteres vezérlés tervezése szorzóberendezésekhez



a)

RELATIV ROM CIM	ÁL- LA- POT	CIM- ZÉSI MÓD	VEZÉR- LŐ KI- MENET $V_i$	ROM UGRÁS CIM
0	$\alpha$	INC	$V_\alpha$	–
1	$\beta$	INC	$V_\beta$	–
2	$\gamma$	$JC_{CY}$	$V_\gamma$	CIM $\delta(7)$
3	$\epsilon$	INC	$V_\epsilon$	–
4	$\phi$	INC	$V_\phi$	–
5	$\psi$	JC	$V_\psi$	CIM $\beta(1)$
6	$\rho$	–	$V_\rho$	–
7	$\delta$	JMP	$V_\delta$	CIM $\phi(4)$

b)

12-122. ábra Mikroprogramozott vezérlés tervezése  
osztóberendezéshez

- 1) A ROM-ba beégetendő kódolt mikroprogramnál, mely esetünkben a 12–122b. ábra szerint írható fel.
- 2) Az ún. DÖNTÉSI LOGIKÁ-nál, melyben a kombinációs hálózatot mindig a mikroprogramban előforduló ugrások alapján kell megtervezni.



### 12.9.1. Gyakorló feladatok a 9. „Különleges digitális hálózatok” c. fejezethez

- \*G.9.1. Tervezzük meg MOS reiteratív kapcsolóhálózattal azt a négy nyomógombos berendezést, amely lámpát gyújt ki azokban az esetekben, ha egy vagy kettő, vagy három-nyomógombot nyomunk meg egyidejűleg.
- \*G.9.2. Alakítsunk ki olyan 6-nyomógombos hálózatot, melynek kimenetén P piros lámpa világít, ha páratlan számú, Z zöld lámpa világít, ha páros számú nyomógombot nyomunk.
- \*G.9.3. Adottak a következő szimmetrikus függvények:

$$Y_1 = F_{(0)(4)(5)}^5$$

$$Y_2 = F_{(1)(2)(3)(5)}^5$$

$$Y_3 = F_{(2)(3)}^5$$

- a) Milyen eredő függvények keletkeznek az alábbi esetekben?

$$Y_\alpha = Y_1 + Y_2$$

$$Y_\beta = Y_1 + Y_3$$

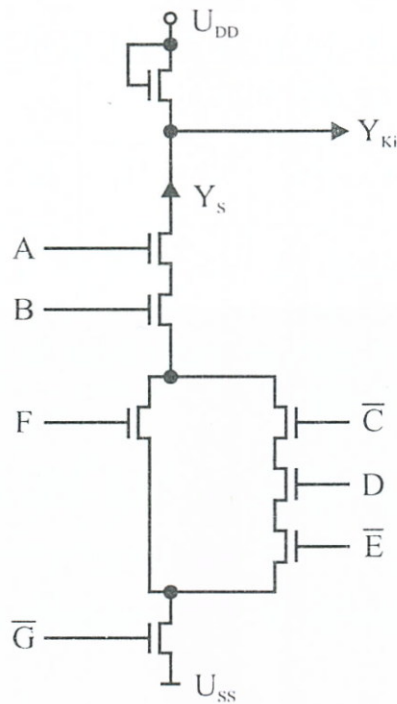
$$Y_\gamma = Y_1 \cdot Y_2$$

$$Y_\delta = Y_1 \cdot Y_3$$

- b) Miként fejezhető ki kevesebb skalár jellemzős alakban az  $Y_2$ ?
- c) Miként írható fel negált változókkal az  $Y_3$ ?
- d) Miként írható fel negált alakban az  $Y_3$ ?
- \*G.9.4. Próbáljuk MOS–TRANSFER GATE-t felhasználó HÍD-típusú hálózattal realizálni az alábbi függvényt:

$$Z = \bar{Y} = \overline{\bar{E} \cdot (\bar{D} \cdot C \cdot \bar{B} \cdot A + D \cdot \bar{C} \cdot B \cdot A)}$$

- \*G.9.5. A 12–123. ábrán látható MOS-hálózat hibája, hogy sok sorbakapcsolt tranzisztort tartalmaz, ez pedig a vezérlő feszültségek szempontjából kedvezőtlen. Alakítsuk át úgy a



12-123. ábra Kiindulás a G.9.5. feladathoz

kapcsolást – ha lehet – úgy, hogy a sorbakapcsolt tranzisztorok száma ne haladja meg a hármat.

- \*G.9.6. Keressünk a felsorolt egyszerű Boole-függvényekhez küszöblogikás realizációkat:

$$\begin{array}{ll} Y_\alpha = A \cdot B & Y_\delta = A + B \\ Y_\beta = A \cdot \bar{B} & Y_\epsilon = \overline{A + B} \\ Y_\gamma = \bar{A} & Y_\varphi = A \oplus B \end{array}$$

- \*G.9.7. Milyen küszöb-hálózattal realizálható a következő Boole-függvény?

$$Y = A \cdot \bar{B} \cdot C + AB$$

- \*G.9.8. Állítsuk elő a 9–26. ábra logikai táblázatával megadott 3-értékű logikás, kétváltozós függvény komplementjét.
- \*G.9.9. Állítsuk elő és ábrázoljuk a 9–34. ábrán szereplő „ALACSONY” ( $A$ ) fuzzy halmaz komplementjét.
- \*G.9.10. Írjuk fel az előző feladat  $A^c$ -re a következőket: core, sup, height,  $\alpha = 0,6$  vágat, kardinalitás.

\*G.9.11. Állítsuk elő a 9–34. ábra ALACSONY ( $A$ ) és MAGAS ( $M$ ) halmazoknál az alábbiakat.

$$A \cup M, \quad A \cap M, \quad M^c$$

\*G.9.12. Készítsünk példát az általánosított GMP-re.

\*G.9.13. Milyen összefüggések írhatók fel az  $R$  fuzzy reláció és ennek inverze között?

\*G.9.14. Ábrázoljuk egységkockán a következőket:

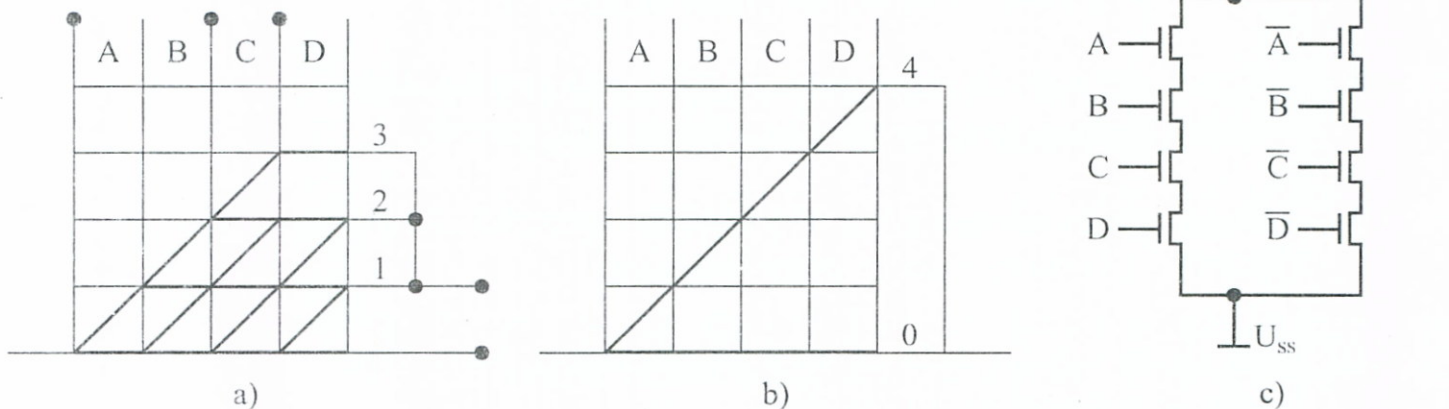
a.)  $A(0,7(x_1))$                       valamint:  $A^c$

b.)  $B(0,9(x_1), 0,2(x_2))$             valamint:  $B^c$

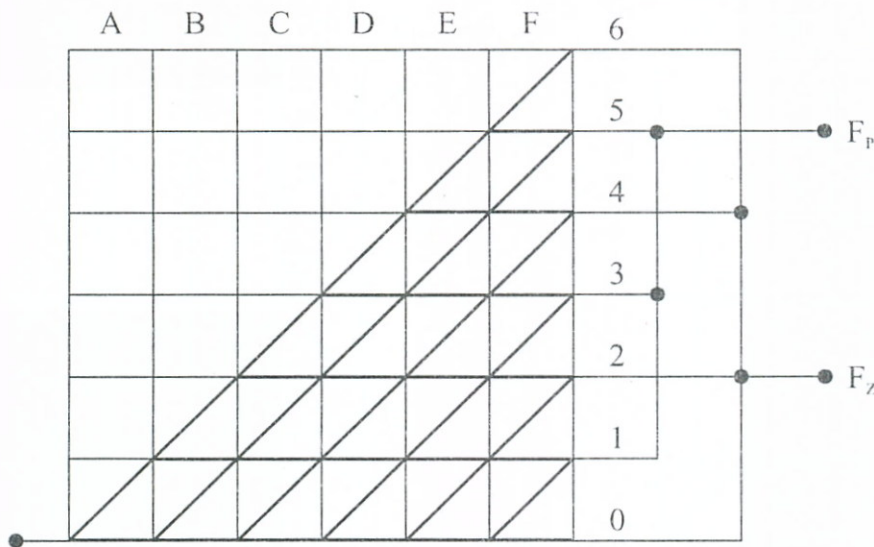
### 12.9.2. Feladatmegoldások a 9. fejezethez

F.9.1. Szimmetrikus hálózatról van szó, melynek példa szöveg alapján felrajzolt gráfja a 12–124a. ábrán látható. Mivel a MOS realizáció miatt úgy is a negált kimenet szükséges, célszerű a negált gráfot képezni (12–124b. ábra), melynek alapján a realizációs áramkör a 12–124c. szerint alakul.

F.9.2. Ez a feladat egy tipikus reiteratív hálózatra való eset, és szimmetrikus függvényekkel jól leírható. A szöveg alapján felírhatjuk, ha a „0” db gomb megnyomását is *páros* esetnek tekintjük:



12-124. ábra MOS szimmetrikus hálózat a G.9.1. feladathoz



12-125. ábra Kiindulás az F.9.2. feladatmegoldáshoz

$$Y_P = F_{(1)(3)(5)}^6 = F_P^6(A, B, C, D, E, F)$$

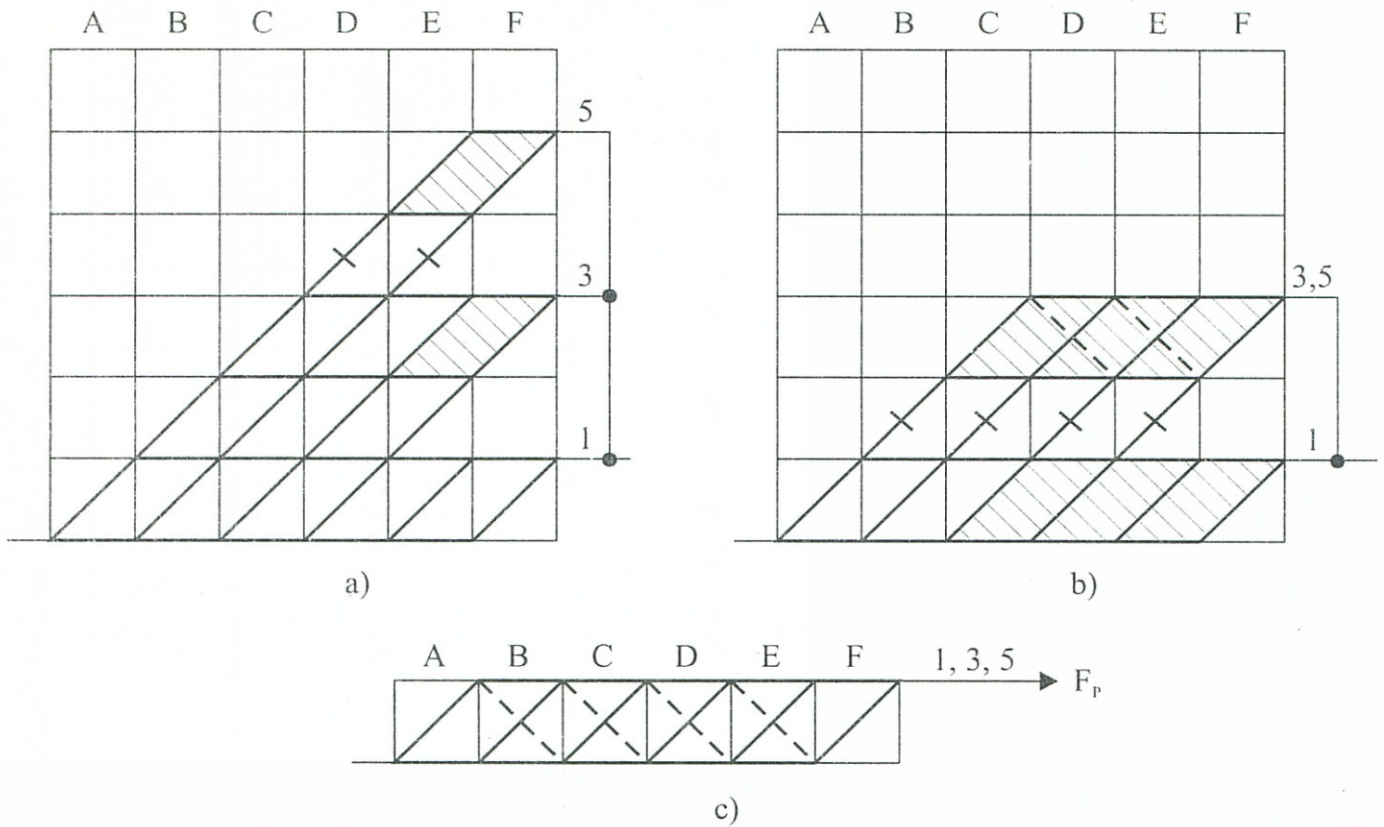
$$Y_Z = F_{(0)(2)(4)(6)}^6 = F_Z^6(A, B, C, D, E, F)$$

A tervezést a 8.1.2. pontban bemutatottak alapján végezhetjük. Kiinduláskor a két függvényt egymástól függetlennek is tekinthetjük, de a 6-változós szimbólikus gráf felrajzolása után már látható, hogy a két realizációs hálózatnak lesznek közös részhálózatai (12–125. ábra). Különválasztva az  $F_P$  és  $F_Z$  megoldást, mindkét esetben alkalmazhatjuk a 9.1. Példában megismert „lecsúsztatási” és „forgatási” műveleteket.

$F_P$ -nél a 12–126a. ábrán a sraffozott területeket egymásba csúsztathattuk, ezáltal az „5” és „3” kimenetek túlfedésbe kerültek. A 12–126b. ábrán az előző eredményt tovább alakíthattuk az itteni sraffozott területek újabb egymásba csúsztatásával, így végül a 12–126c. ábrabeli, a kiindulónál lényegesen egyszerűbb gráfhoz jutottunk, melynél a rácsrudak száma sokkal kevesebb, mint a kiindulógráfnál, azaz a kapcsolóhálózat kevesebb elemmel megépíthetővé vált.

$F_Z$ -nél a 12–127a., b. ábrákon csúsztatás, míg a c.) d.) ábrákon egy forgatás tette lehetővé az egyszerűsítést.

A 12–126c. és 12–127d. ábrák összehasonlításából látható, hogy az F kimeneti fokozat kivételével egybevágóak, így végül a 12–127e. ábra szerint egyesíthetők.



12-126. ábra Az  $F_p$  függvény egyszerűsítése szimbolikus gráf segítségével

A hálózat realizációja történhet MOS vagy érintkező hálózattal. A hálózattá transzformálásnál – mint korábban láttuk – a gráf ferde vonalai *záró*-, a vízszintes vonalak pedig *bonító* kapcsolót jelképeznek.

F.9.3. A feladatok megoldásánál a 9. fejezetben levezetett (9.3) összefüggéscsoportot használjuk fel.

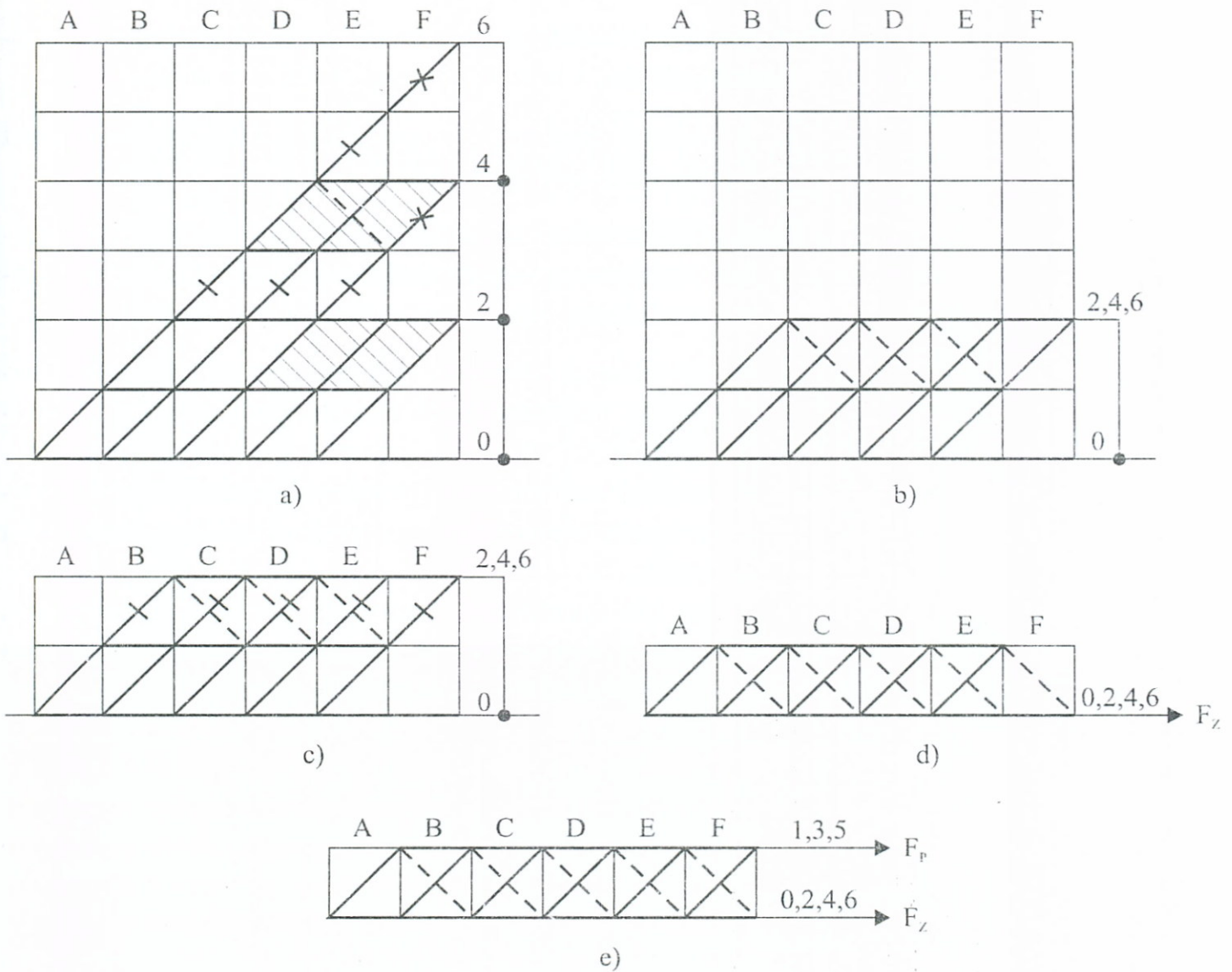
$$\begin{aligned} \text{a) } Y_\alpha &= Y_1 + Y_2 = F_{(0)(4)(5)}^5 + F_{(1)(2)(3)(5)}^5 = \\ &= F_{(0)(1)(2)(3)(4)(5)}^5 = 1 \end{aligned}$$

$$\begin{aligned} Y_\beta &= Y_1 + Y_3 = F_{(0)(4)(5)}^5 + F_{(2)(3)}^5 = \\ &= F_{(0)(2)(3)(4)(5)}^5 = \overline{F_{(1)}^5} \end{aligned}$$

$$Y_\gamma = Y_1 \cdot Y_2 = F_{(0)(4)(5)}^5 \cdot F_{(1)(2)(3)(5)}^5 = F_{(5)}^5$$

$$Y_\delta = Y_1 \cdot Y_3 = F_{(0)(4)(5)}^5 \cdot F_{(2)(3)}^5 = 0$$

$$\text{b) } Y_2 = F_{(1)(2)(3)(5)}^5 = \overline{F_{(0)(4)}^5}$$



12-127. ábra Az  $F_z$  függvény egyszerűsítése szimbolikus gráf segítségével

$$\begin{aligned} \text{c) } Y_3 &= F_{(2)(3)}^5(X_1, X_2, X_3, X_4, X_5) = \\ &= F_{(0)(1)(4)(5)}^5(\bar{X}_1, \bar{X}_2, \bar{X}_3, \bar{X}_4, \bar{X}_5) \end{aligned}$$

$$\text{d) } \bar{Y}_3 = \overline{F_{(2)(3)}^5} = F_{(0)(1)(4)(5)}^5$$

F.9.4. A feladatmegoldásnál a 9.1.3a. pontban elmondottakból indulunk ki, de előzetesen célszerű néhány további megfontolást is tennünk.

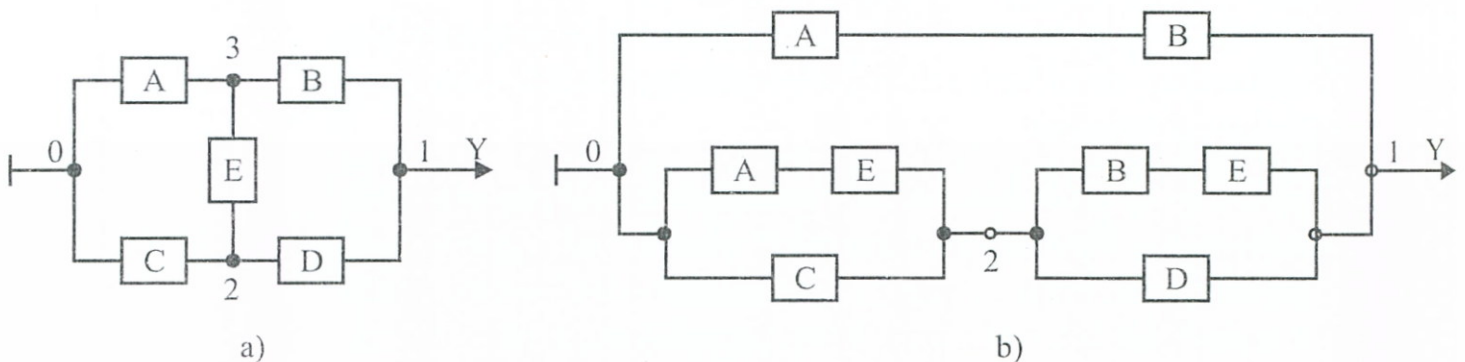
A híd és a soros–párhuzamos struktúra topológiai eltérését a szokásos algebrai módszerekkel nem tudjuk egyértelműen kifejezni, ezért célszerű olyan leírásmódot keresni, mely a topológiát is tartalmazza. Ilyen adottságokkal rendelkezik – mint a 9.1.3. pontban már utaltunk rá – az ún. *közvetlen*

összeköttetési táblázat, melyet a következő kritériumok alapján képezünk:

- a) A hálózat minden csomópontjához a táblázaton egy sort és egy oszlopot rendelünk.
- b) A táblázat minden eleméhez egy, a sorához, ill. oszlopához tartozó csomópontok összeköttetéseit jellemző adatot rendelünk, így:
  - rövidzárral csatlakozó két csomópont táblázatbeli sor-oszlop találkozásainál elhelyezkedő elembe „1”-et írunk;
  - tetszés szerinti K-kapcsolóval összekötött két csomópont táblázatbeli sor-oszlop találkozásaihoz K-t írunk;
  - ha két csomópont közt csak további csomóponton vagy csomópontokon keresztül lehet összeköttetést létesíteni, akkor a megfelelő táblázatelembe „0” kerül.
- c) A táblázat tükrös a főátlóra, ha a hálózat kapcsoló elemei bilaterálisok (pl. MOS-tranzisztor) és nem tükrös, ha az elemek közt *unilaterálisok* (pl. dióda) is szerepelnek.

Az elmondottak figyelembevételével például a 12–128a. ábra hálózatát logikailag és topológiailag is jellemző közvetlen összeköttetési táblázat a 12–129a. ábra szerinti lesz.

Az összeköttetési táblázat tulajdonságainak további tanulmányozása céljából „szüntessük meg” a 12–128a. ábrán a 3-as csomópontot, természetesen olyan kikötéssel, hogy az így keletkező hálózat tulajdonságai „kívülről nézve” a logi-



12-128. ábra Csomópont megszüntetési lépés

kai működés szempontjából változatlanok maradjanak. Ez akkor lesz lehetséges, ha azokat a „kerülő utakat”, melyek a 0-csomópontból kiindulva 3-on keresztül 1-be vezetnek, és melyek 3-as kiiktatásával megszűnnek, új, közvetlen összeköttetéssel pótoljuk. Ily módon a 12–128b. hálózat keletkezik, melyhez tartozó újabb összeköttetési táblázat a csomópont-szám csökkenése miatt egy rendszámmal alacsonyabb lesz és a 12–129b. ábra szerint alakul.

	0	1	2	3
0	1	0	$C$	$A$
1	0	1	$D$	$B$
2	$C$	$D$	1	$E$
3	$A$	$B$	$E$	1

a.)

	0	1	2
0	1	$0 + AB$	$C + AE$
1	$0 + AB$	1	$D + BE$
2	$C + AE$	$D + BE$	1

b.)

### 12–129. ábra Összeköttetési táblázat

Az új táblázat elemeit szándékosan írtuk  $u + v \cdot w$  alakban, ugyanis így az ábrák és a hozzájuk tartozó összeköttetési táblázatok között felismerhető az alábbi általános törvényszerűség:

Valamely „ $i$ ” csomópont megszüntetésekor a hálózat logikai funkciója akkor nem változik meg, ha a megszűnő ágakat egyidejűleg új, közvetlen összeköttetéssel pótoljuk. Ez az összeköttetési táblázatban úgy jut kifejezésre, hogy:

- a megszünt csomópontnak megfelelő „ $i$ ” sort és oszlopot az új táblázatban már elhagyjuk;
- a megszűnő elemek sor-oszlop találkozásában a régi összeköttetési táblázat  $f_{jk}''$  elemét a következőképpen „bővítjük” az új táblázat  $f_{jk}'$  elemévé:

$$f_{jk}' = f_{jk}'' + f_{ji}'' \cdot f_{ik}''$$

Az összefüggésben  $f_{jk}''$  a „ $j$ ” és „ $k$ ” csomópontok közt már korábban is fennálló összeköttetést jelképezi, míg  $(f_{ji}'' \cdot f_{ik}'')$



az újonnan létesített közvetlen összeköttetést fejezi ki a redukált hálózatnál.

Fenti formulánkat a 12–128. és 12–129. ábrák esetére alkalmazva, az  $i = 3$  megszüntetése után például  $j = 2$  és  $k = 1$  csomópontok közötti összeköttetést eredetileg megadó

$$\left. \begin{aligned} f''_{jk} &= f''_{21} = D \text{ elem helyébe} \\ f''_{ji} &= f''_{23} = E \\ f''_{ik} &= f''_{31} = B \end{aligned} \right\} \text{ révén}$$

az új, alacsonyabb rendű táblázatba bekerülő elem:

$$f'_{jk} = f'_{21} = f'_{12} = f''_{21} + f''_{23} \cdot f''_{31} = D + E \cdot B$$

ami valóban egyezik 12–129b. ábra megfelelő elemével.

Az előzők alapján fordított irányban gondolkodva összerakhatók egy

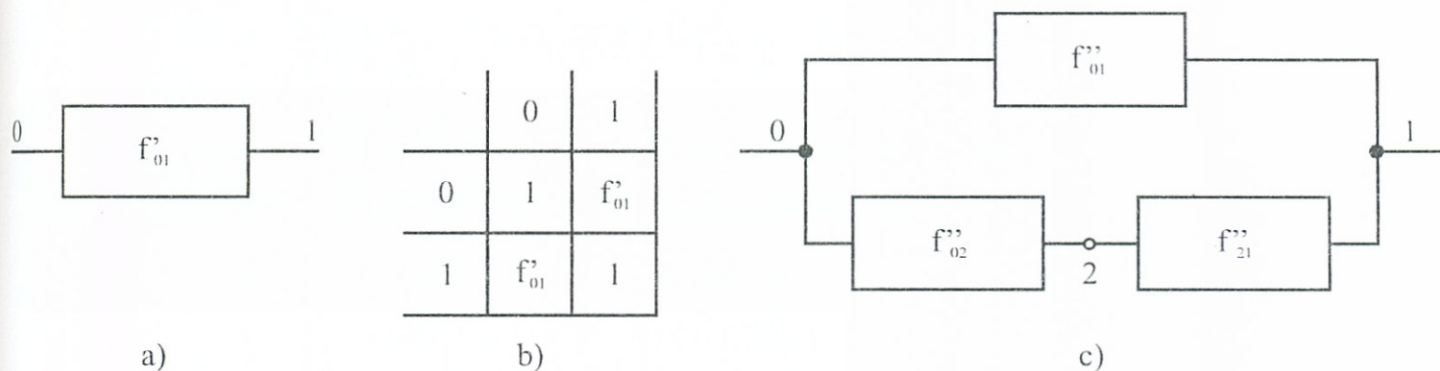
soros–párhuzamos  $\rightarrow$  híd

típusú szintézis főbb lépései, mellyel – várhatóan – egyszerűbb kombinációs kapcsolóhálózatot sikerül kialakítanunk.

Kiinduláskor szükséges lehet a híd-struktúra képzésének feltétel-vizsgálata. Mivel nem minden függvény „hidasítható”, ezért meg kell vizsgálnunk a következőket:

- Létezni kell a diszjunktív alakban négy olyan tagnak, melyben két, célszerűen megválasztott „kezdő” és két „végző” elemnek minden lehetséges kombinációja szerepel, kivéve a kezdő–kezdő és végző–végző kombinációs eseteket.
- A kezdő és végző elemek szorzóként történő kiemelése folytán keletkező két tényezőben, az azonos változók csak meghatározott kombinációkban szerepelhetnek:  $(u + v \cdot w)$ , ill.  $(w + u \cdot v)$  formában.

Például a 12–128a. ábránál a kezdő elemek  $A$  és  $C$ , a végző elemek  $B$  és  $D$ , a szorzatkombinációk:  $AB$ ,  $CD$ ,  $(AD)E$ ,  $(BC)E$  és nem szerepel  $AC$ , ill.  $BD$  alkotókat is tartalmazó



12-130. ábra Csomópont bővítés

tag. Továbbá, ha a 12-128a. ábrán szereplő  $Y$  alaknál  $A$ -t és  $C$ -t kiemeljük, kapjuk a b) pontnak megfelelően:

$$Y_k = A(B+ED) + C(D+EB)$$

Valamely kiinduló függvényalak esetén a kezdő- és végelemek nem mindig találhatóak meg közvetlen felismeréssel, emiatt ezek keresésére több szisztematikus eljárást is kidolgoztak, melyekkel e könyvben nem foglalkozunk.

A híd kialakítás lépései a következők:

*I. lépés:* Primitív (kiinduló) összeköttetési táblázat felállítása, majd szisztematikus bővítése. A primitív összeköttetési táblánál:

$$F_k'' = f'_{01} = f'_{10} \quad *$$

A tábla a 12-130b. ábra szerinti lesz.

*II. lépés:* Összeköttetési táblázat-bővítés egy újabb csomópont felvételével. Ehhez az  $F_k''$  függvényt a következő alakra rendezzük:

$$F_k'' = f'_{01} = f''_{01} + f''_{02} \cdot f''_{21} \quad **$$

Ebből a bővített újabb összeköttetési táblázat kitölthető, és megfelel a 12-130c. ábra hálózatának.

*III.-(N-1). lépések:* Újabb és újabb bővítések a II. lépéshez hasonlóan, amíg van lehetőség.

*N. lépés:* Végleges hálózat felrajzolása.

Az előző algoritmus megismerése után már nekifoghatunk a G.9.4. feladat tényleges megoldásának. Újra felírva:

$$Z = \bar{Y} = \overline{\bar{E}(\bar{D}\bar{C}\bar{B}A + D\bar{C}\bar{B}\bar{A})}$$

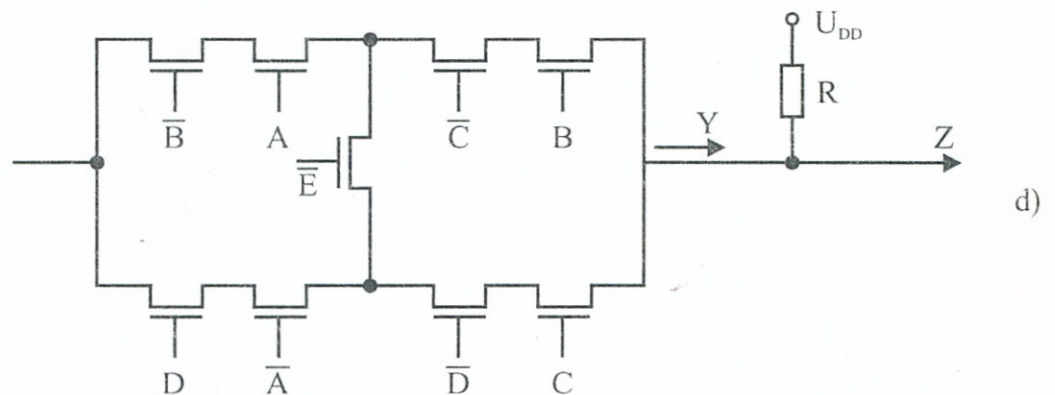
$$= \overline{\bar{E}\bar{D}\bar{C}\bar{B}A + \bar{E}D\bar{C}\bar{B}\bar{A}}$$

A MOS realizáció miatt az  $Y$ -ra végezzük el a hidasítást.

	0	1	
0	1	$\bar{E}\bar{D}\bar{C}\bar{B}A + \bar{E}D\bar{C}\bar{B}\bar{A}$	a)
1	$\bar{E}\bar{D}\bar{C}\bar{B}A + \bar{E}D\bar{C}\bar{B}\bar{A}$	1	

	0	1	2	
0	1	0	$\bar{B}A + \bar{E}D\bar{A}$	b)
1	0	1	$\bar{C}B + \bar{E}\bar{D}C$	
2	$\bar{B}A + \bar{E}D\bar{A}$	$\bar{C}B + \bar{E}\bar{D}C$	1	

	0	1	2	3	
0	1	0	$\bar{B}A$	$D\bar{A}$	c)
1	0	1	$\bar{C}B$	$\bar{D}C$	
2	$\bar{B}A$	$\bar{C}B$	1	$\bar{E}$	
3	$D\bar{A}$	$\bar{D}C$	$\bar{E}$	1	



12-131. ábra Híd struktúra kialakítása szisztematikus módszerrel

I. lépés: Primitív összeköttetési tábla a \* összefüggés alapján (12–131a. ábra).

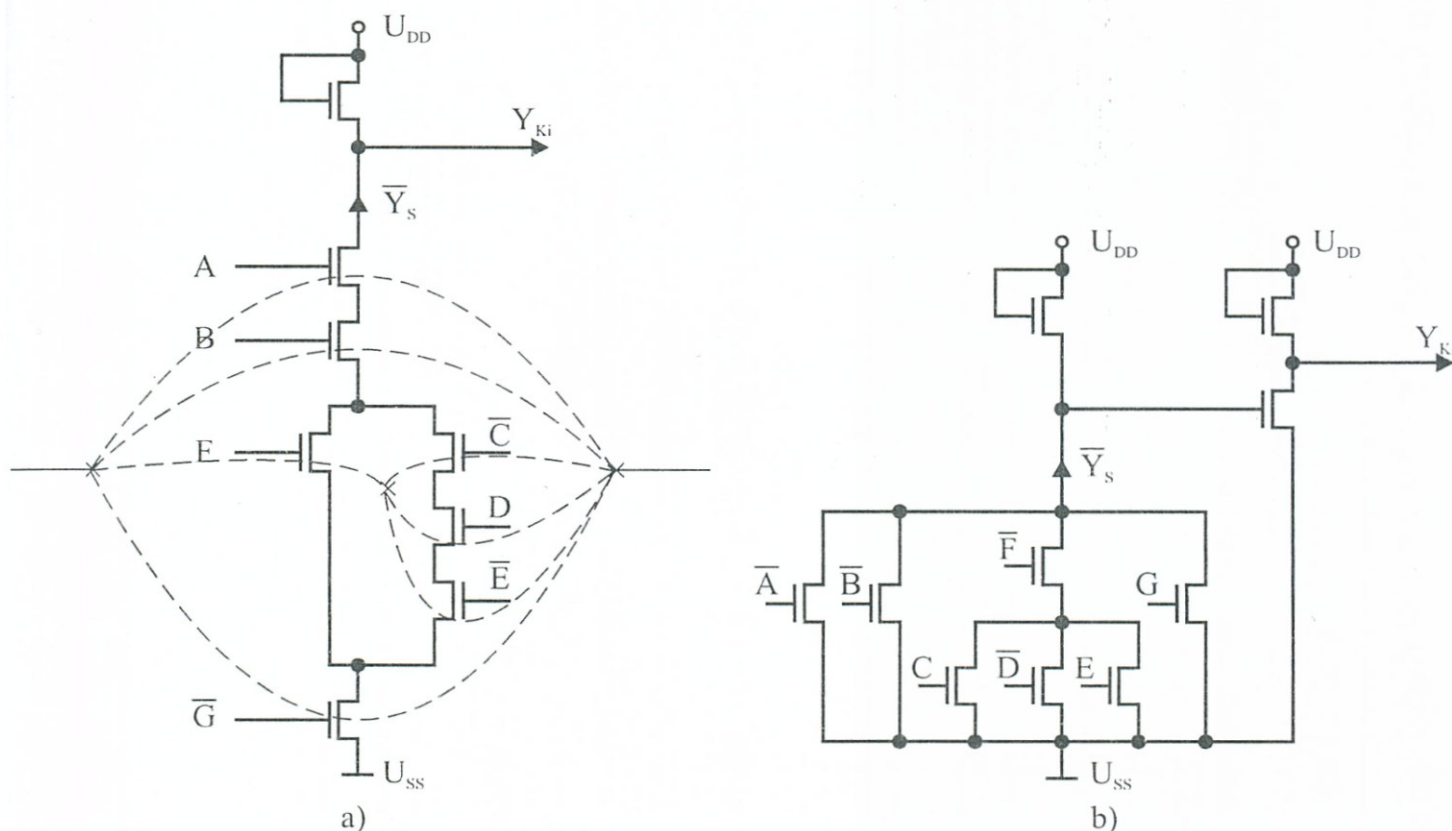
II. lépés: A függvényt olyan alakra kell hoznunk, hogy hasonlítson a \*\* összefüggéshez.

$$\begin{aligned} Y &= (\overline{CB} + \overline{EDC}) \cdot (\overline{BA} + \overline{EDA}) = \\ &= 0 + (\overline{CB} + \overline{EDC}) \cdot (\overline{BA} + \overline{EDA}) = \\ &= f'_{01} + f''_{02} \cdot f''_{21} \end{aligned}$$

Ennek alapján az első bővített összeköttetési tábla a 12–131b. ábra szerint alakul.

III. lépés: Az  $f''_{02}$  és  $f''_{21}$  elemeket úgy is tovább fejthetjük, hogy ügyelünk arra, hogy az új, 4. sorba, illetve oszlopba a „tükrös” helyekre azonos kifejezések kerüljenek. Ilyen alapon felrajzolható a tovább már nem bővíthető 12–131c. ábra.

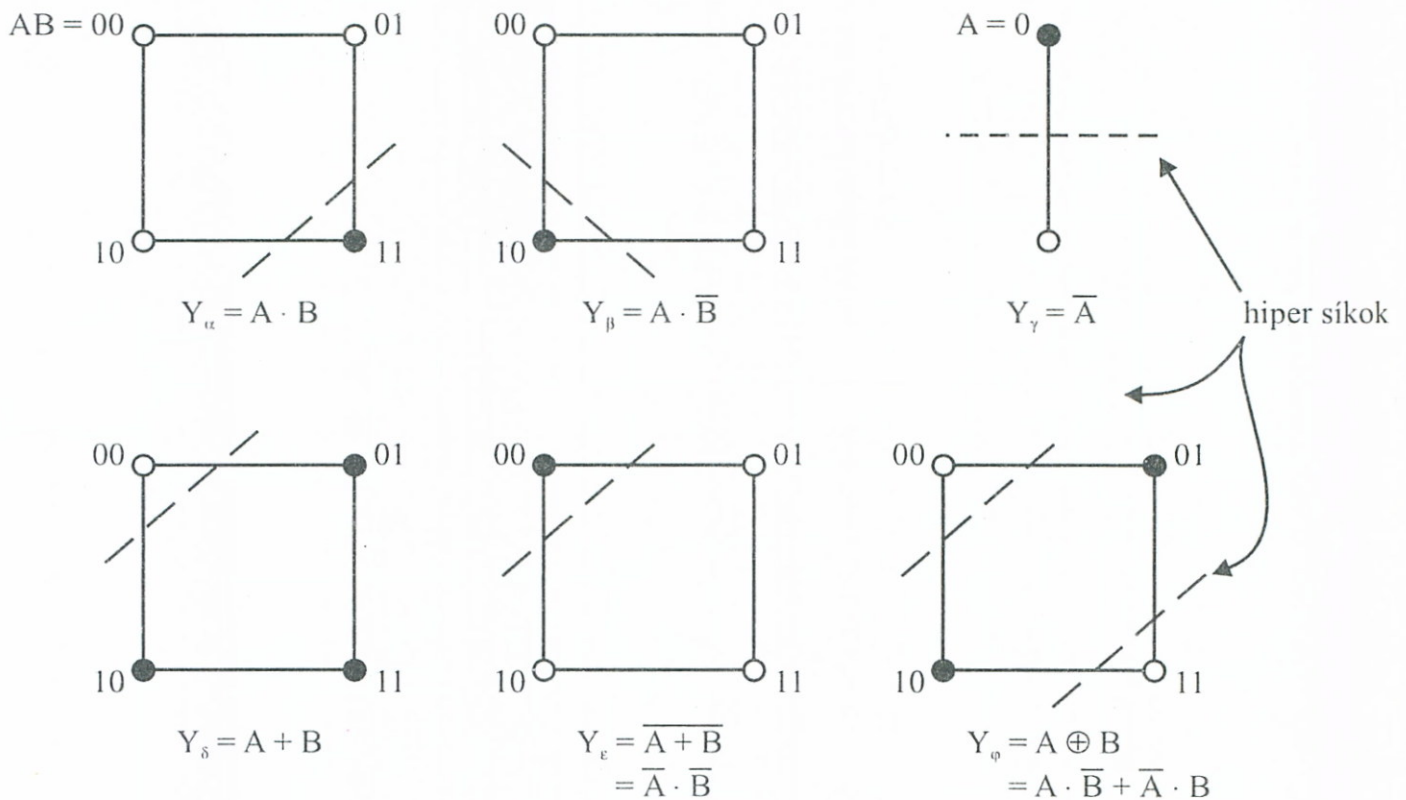
IV. lépés: A végleges híd-hálózat felrajzolása a 12–131d. ábrán történt.



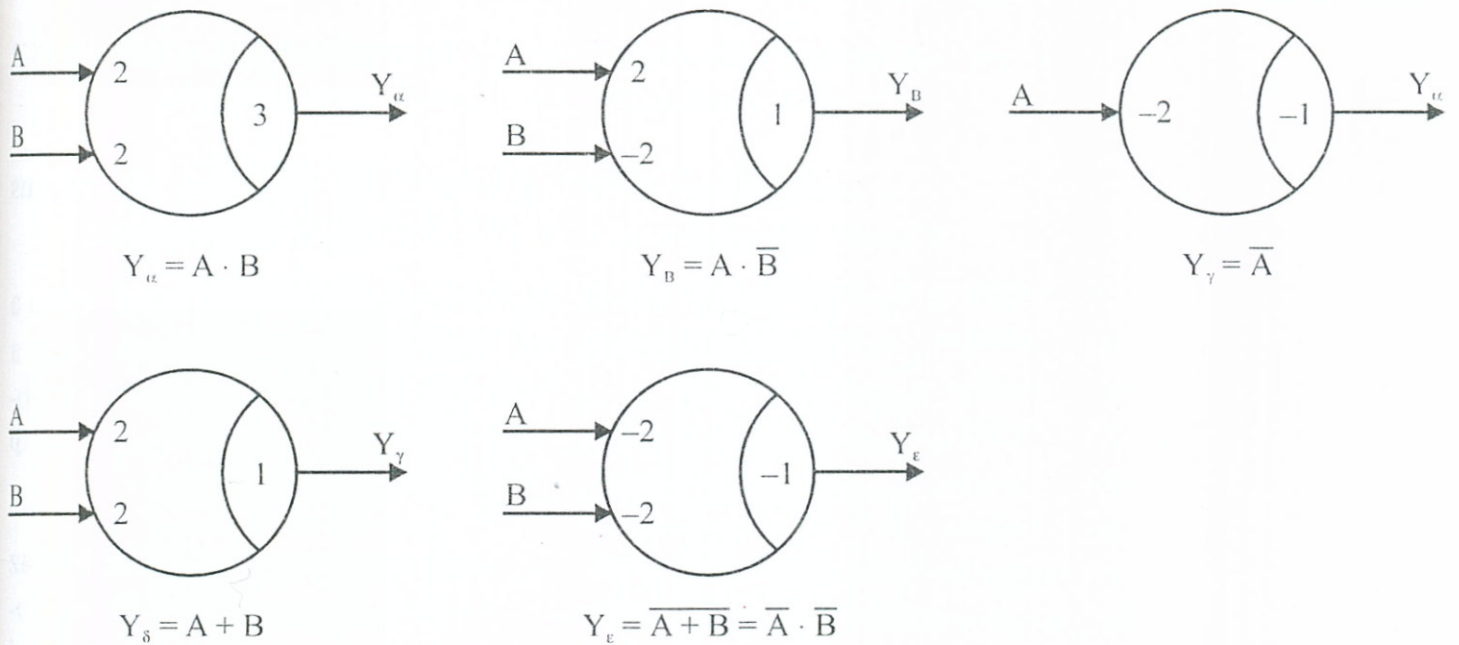
12-132. ábra Áttérés kevesebb sorbakapcsolt elemre

F.9.5. A megoldáshoz a 9–10. ábrán bemutatott grafikus eljárás segítségével juthatunk. A 12–132a. ábrán berajzoltuk a „duál” szerkesztési vonalakat, melyek segítségével megrajzolhattuk a 12–132b. ábrát, ahol a sorbakapcsolt aktív tranzistorok száma csak kettő, így a példabeli célkitűzést még túl is teljesítettük. A kimenetre még egy invertert is kellett tenni, mivel a szerkesztés során a dualitás miatt  $Y_s \rightarrow \bar{Y}_s$ -négált képződött és ezt vissza kellett fordítanunk.

F.9.6. Első lépésként meg kell vizsgálnunk, hogy az adott Boole-függvény *lineárisan szeparálható-e*? Ha igen: akkor egyetlen-, ha nem: akkor csak összetett küszöbelemmel lesz realizálható (a 9.5. Példa értelmében). Ezt a vizsgálatot esztünkre a 12–133. ábrán látható  $n = 2$  és  $n = 1$  dimenziós „kockákkal” végeztük el. Itt a kérdéses függvények „1”-es minterm-jeit a kocka *befeketített* csúcsain tüntettük fel, a „0”-ás minterm-eket *üres-körös* csúcsok jelzik. Amennyiben a befeketített és üres csúcsok egymástól egyetlen „hiper-síkkal” elválaszthatók, akkor egyetlen küszöbelem elegendő a realizáláshoz, több hiper-síknál több elemre van szükség.



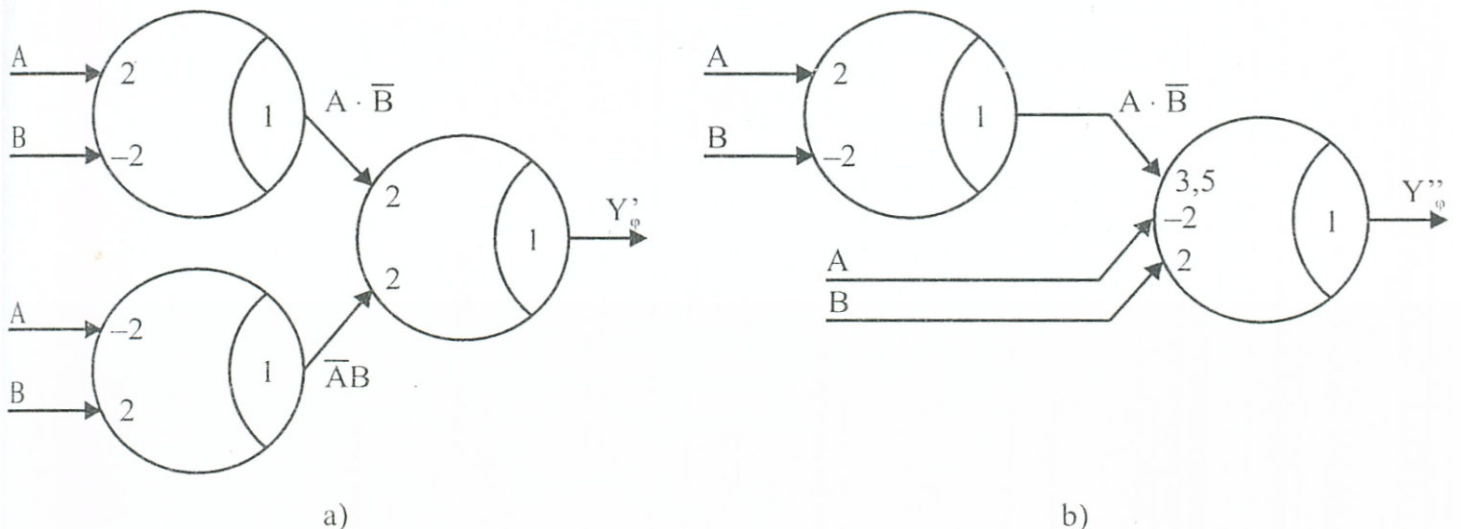
12-133. ábra Elemi BOOLE függvények ábrázolása „n” dimenziós „kockán” és a hiper-síkok



12-134. ábra Lineárisan szeparálható elemi BOOLE függvények küszöbelemes realizációi

ség. Az egyes ábrák kiértékelése után megállapítható, hogy az ANTIVALENCIA-függvénynél két hiper-síkra volt szükség, azaz összetett küszöbhálózatot igényel, míg a többiek egy-egy küszöbelemmel realizálhatók. Ez utóbbiaknál (mivel a függvények rendkívül egyszerűek) a megoldások *intuitív úton* is előállíthatók. Lehetséges megoldási eseteket foglal össze a 12-134. ábra.

Az ANTIVALENCIA realizációt két elv szerint is megkísérélhetjük, a 12-135. ábrának megfelelően. Az a) változatnál a külön-külön megvalósított  $AB$ ,  $\bar{A}\bar{B}$  összetevőket egy VAGY-elemmel kapcsoljuk össze. A b) változatnál az egyi-



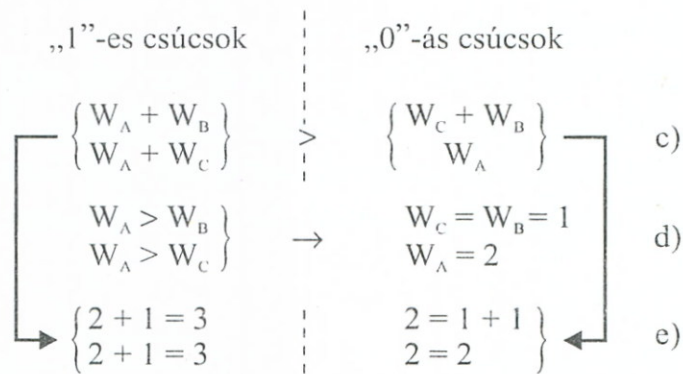
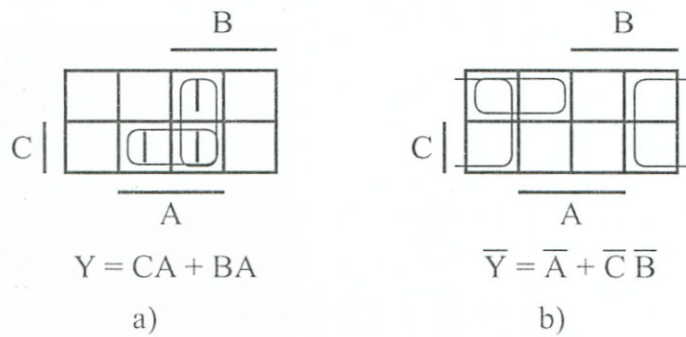
12-135. ábra Összetett küszöbfüggvények realizációs változatai ANTIVALENCIA esetén

ket (pl.  $\overline{AB}$ -et) „alárendeljük” hierarchikusan a másiknak a 9–18. ábra kaszkádosítási elvének megfelelően.

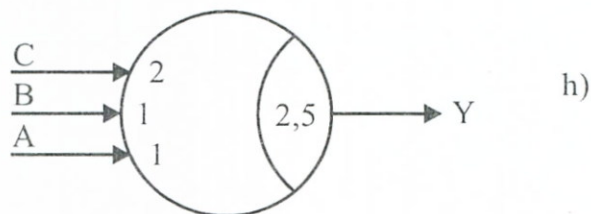
F.9.7. A küszöbhálózat előállítását a 9.2.4. pontbeli algoritmus alapján végezhetjük, és a 12–136. ábrán követhetjük.

*I., II., III. lépés:* Diszjunktív irredundáns alak előállítása a 12–136a. ábra minterm-táblájából adódik. Látható, hogy a függvény UNATE, így van remény az egyetlen küszöb-elemmel történő realizálhatóságra, sőt nem kell az  $Y \rightarrow \Phi$  konverzió sem, miután az összes változó ponált.

*IV., V. lépés:* Hiper-sík helyének megkeresése. Ez itt már az „n-dimenziós kockákkal” nehézkes lenne, ezért a 9–16. ábránál már alkalmazott egyenlőtlenségrendszer-megoldási



Választott küszöb:  $3 > T = 2,5 > 2$  f)  
 Súlyküszöb vektor:  $v = \{1, 1, 2; 2, 5\}$  g)  
 Realizáló küszöb elem:



12-136. ábra Küszöb elem identifikációja adott BOOLE függvényhez

módszert fogjuk használni. Ez a művelet két lépésre tagolódik:

- $W_i$ -súlytényezők megkeresése és
- $T$ -küszöbérték beállítása.

A *súlytényezők* meghatározásához megkeressük a „legkisebb” „1”-es („befeketített”) csúcsokat, valamint a „legnagyobb” „0”-ás („üres”) csúcsokat. Itt a „hiper-sík” grafikus berajzolását egy egyenlőtlenség-rendszer megoldása helyettesíti. Az egyenlőtlenségek felírását megkönnyíti, ha az „1”-es csúcsokhoz a 12–136a., a „0”-ás csúcsokhoz a 12–136b. minimál alakokat felírjuk, melyekből kigyűjthető a c.) ábrabeli egyenlőtlenség-rendszer a súlytényezőkre. Mivel rendkívül egyszerű esettel van dolgunk, a d.) ábrán szereplő megoldás közvetlenül adódik. Itt lehetőleg *alacsony* súlyértékekre törekedve, és a kapott relációkat tiszteletben tartva felvettük a  $W_C = W_B = 1$  és  $W_A = 2$  értékeket.

Mellékesen megjegyezzük, hogy ha az egyenlőtlenség-rendszer megoldásánál ellentmondások adódtak volna, akkor ez azt jelentette volna, hogy *nem elegendő egyetlen* elválasztó hiper-sík, azaz összetett küszöbfüggvényes realizációra kellett volna áttérni.

A *küszöbérték* meghatározásához ki kell számítani a c.) ábrabeli egyenlőtlenségébe behelyettesített összegeket az e.) ábra szerint, és a  $T$ -küszöbértéket ezek közé kell beállítani az f.) ábrának megfelelően.

E feladatnál, mivel a kiinduló függvény eleve *pozitív-UNATE* volt, elmarad a  $\Phi \rightarrow Y$  visszakonvertálás is, így a végleges súlyküszöb-vektor a g.) ábrán, a küszöbelem pedig a h.) ábrán felrajzolható.

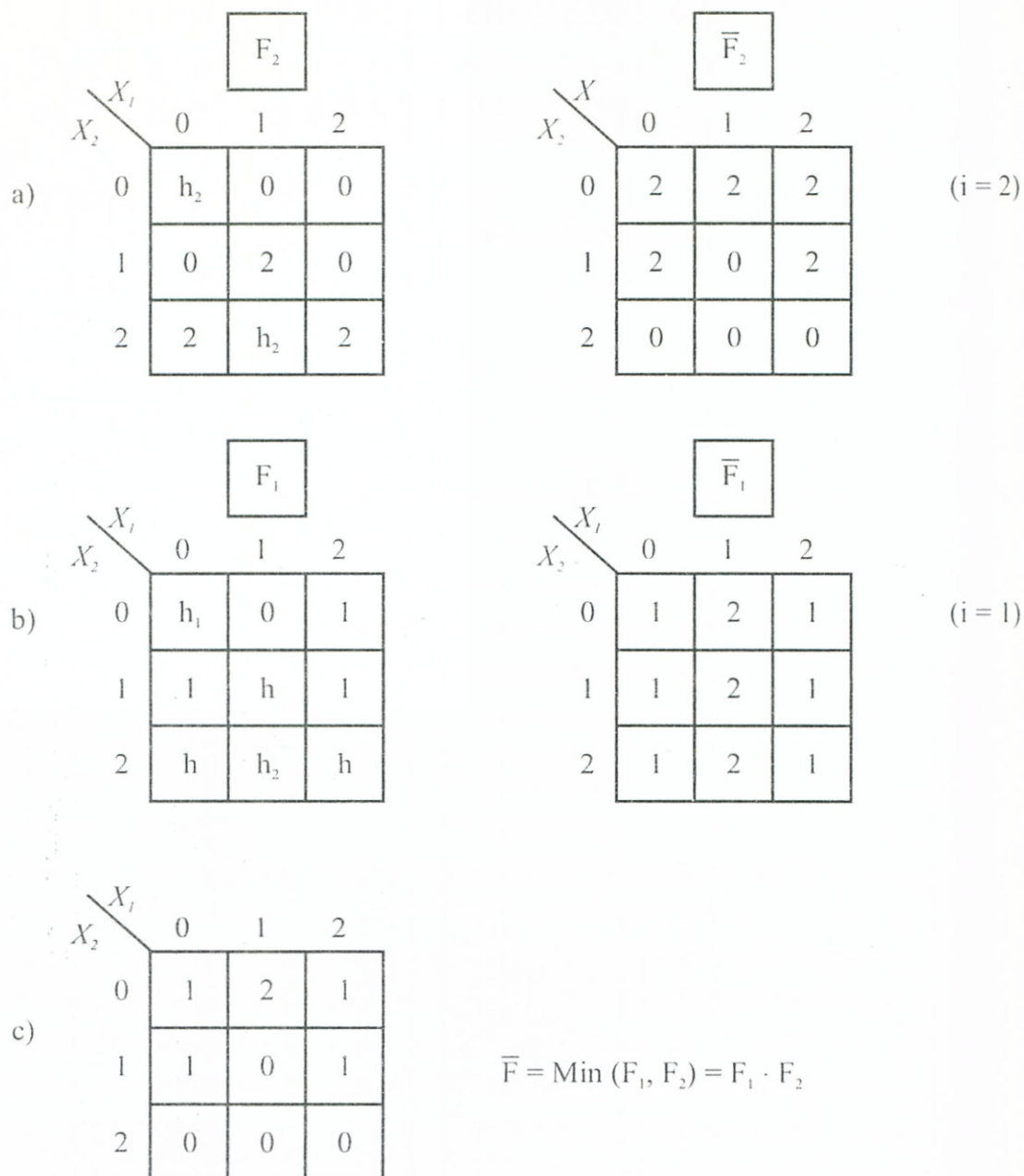
- F.9.8. Itt is felbontjuk (9.18) szerint a függvényt és  $i = R - 1, i = R - 2$  ... esetekre felrajzoljuk a term-táblákat. Mivel általánosságban írható (9.18), majd De Morgan alapján (9–23. ábra f.):

$$F = F_1 + F_2 + \dots + F_{R-1} + F_h$$

$$\overline{F} = \overline{F_1 + F_2 + \dots + F_{R-1} + F_h}$$

$$\overline{F} = \overline{F_1} \cdot \overline{F_2} \cdot \dots \cdot \overline{F_{R-1}} \cdot \overline{F_h}$$





12-137. ábra Komplementek előállításának grafikus módszere

Az egyes sejtekben szereplő konstans-értékek komplementét pedig (9.12) alapján állítjuk elő.

A logikai szorzást a  $\text{Min}(A, B)$  operátor 9-22. ábra szerinti táblázata alapján végezzük el.

Az elmondottak követhetők a 12-137a., b., c. ábrákon.

F.9.9. Az eredeti  $A$  fuzzy halmaz a 9–34. ábrából:

$$A = 1/120 + 1/130 + 0,9/140 + \\ + 0,5/150 + 0,2/160 + 0/170 + \\ + 0/180 + 0/190 + 0/200 + 0/210$$

Felhasználva a (9.29) összefüggést, a komplementekre kapjuk:

$$A^c = 0/120 + 0/130 + 0,1/140 + \\ + 0,5/150 + 0,8/160 + 1/170 + \\ + 1/180 + 1/190 + 1/200 + 1/210$$

F.9.10. A (9.21), (9.22), (9.23), (9.24), (9.25) felhasználásával:

$$\text{core}(A^c) = \{170, 180, 190, 200, 210\} \\ \text{sup}(A^c) = \{140, 150, 160, 170, 180, 190, 200, 210\} \\ \text{height}(A^c) = 1 \\ (A^c)_{\alpha=0,6} = \{160, 170, 180, 190, 200, 210\} \\ |A^c| = 0,1 + 0,5 + 0,8 + 1 + 1 + 1 + 1 + 1 = 6,4$$

F.9.11. A feladat teljesen hasonlít a 9.18 Példához, így a műveleteket hasonlóan kell elvégezni.

F.9.12. Az elkészítendő példához forrásul szolgálhatnak a 9.5.2.1. pont h2.) alpontjában elmondottak.

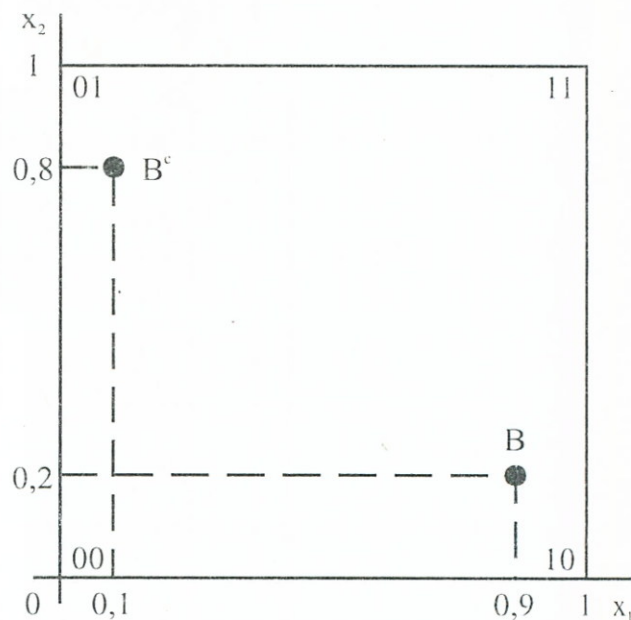
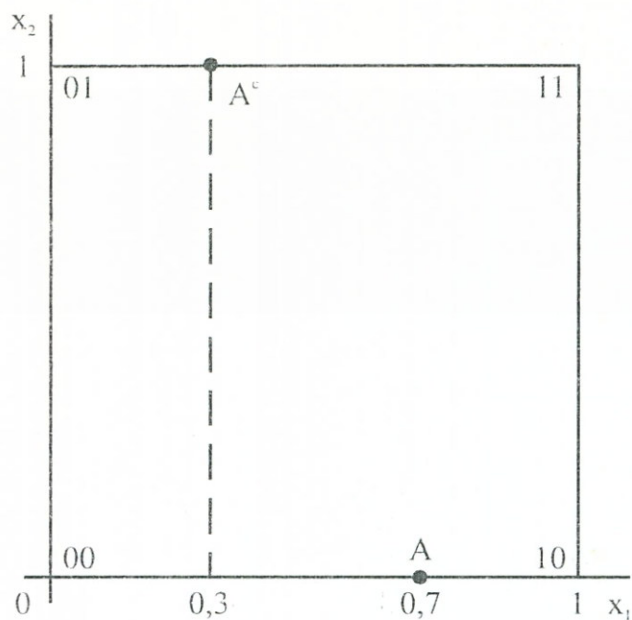
F.9.13. A (9.41) összefüggés értelmében felírhatók:

$$(R^{-1})^{-1} = R \\ \text{dom}R(X, Y) = \text{ran}R^{-1}(X, Y) \\ \text{dom}R^{-1}(X, Y) = \text{ran}R(X, Y)$$

F.9.14. Az *a.) esetben* látható, hogy:  $\mu_A(x_2) = 0$  tehát az illesztő vektor így is írható:

$$A(0,7(x_1), 0(x_2)), \text{ továbbá:} \\ A^c(0,3(x_1), 1(x_2))$$

Az  $A, A^c$  halmazokat a 11–138a. ábra mutatja:



12-138. ábra A G.9.14. feladat halmazainak grafikus ábrázolása egységkockán

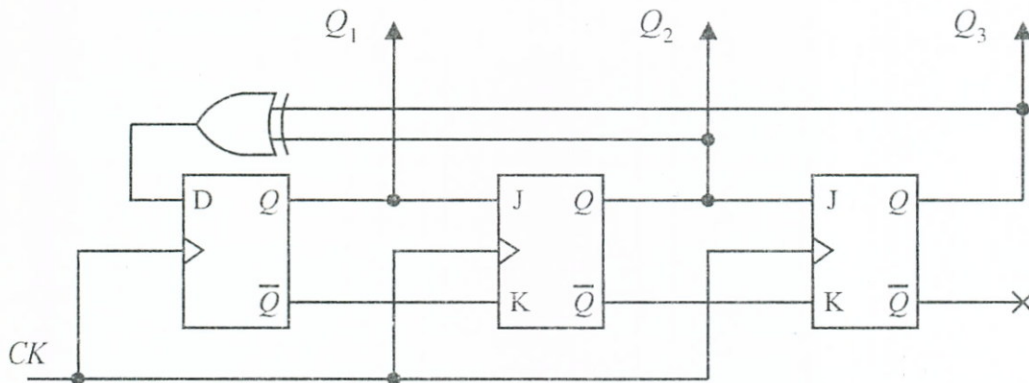
$B(0,9(x_1), 0,2(x_2))$ , továbbá:

$B^c(0,1(x_1), 0,8(x_2))$

Az  $B, B^c$  halmazokat a 11–138b. ábra mutatja

## 12.10.1. Gyakorló feladatok a 10. „Funkcionális egységek” c. fejezethez

- \*G.10.1. Rajzoljunk fel egy  $S$ – $P$  regiszter kapcsolást.
- \*G.10.2. Rajzoljunk fel egy  $P$ – $S$  regiszter kapcsolást.
- \*G.10.3. Vizsgáljuk meg a 12–139. ábrán látható kapcsolás működését, és azt is, hogy milyen célra lenne hasznosítható.

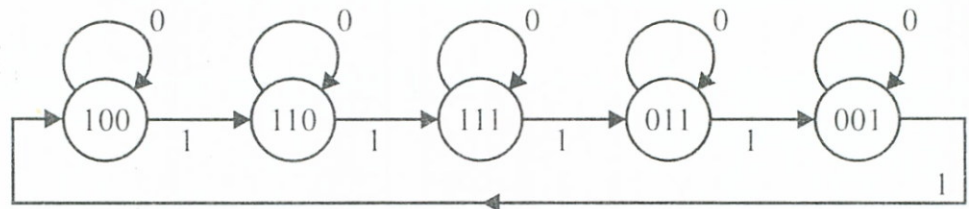


12–139. ábra Kiinduló hálózat a G.10.3. példához

- G.10.4. Gondoljuk át, miként módosul (10.2), ha nem azonosak a valószínűségek.
- \*G.10.5. Alakítsunk át egy GRAY-kódszót BIN kódrendszerbeli, soros ábrázolással.
- G.10.6. Gondoljuk át, hogy miként alkalmas egy többdimenziós, paritás-elemes kódrendszer hibajavításra.
- \*G.10.7. Alakítsunk ki soros paritásképző áramkört  $n$ -bitre.
- \*G.10.8. Alakítsunk ki egy 1/3/8 DMX-et áramlogikás MOS-kapcsolók felhasználásával.
- \*G.10.9. Realizáljuk az alább megadott logikai függvényt:
  - a) 16/4/1 MPX
  - b) 8/3/1 MPX
 típusú modul-elemek felhasználásával

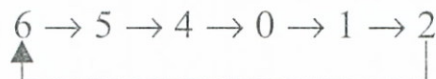
$$Y = \prod_{i=0}^4 (0, 3, 5, 9, 11, 12)$$

- \*G.10.10. Gondoljuk át, hogy miként oldható meg DMX és MPX segítségével 8 mérési állomás jeleinek átvitele nagyobb távolságra egyetlen soros átviteli vonal birtokában.
- \*G.10.11. Tervezzünk kétirányú 3-bites S–S típusú léptető-regiszttert. A kapcsolást lássuk el alaphelyzet-beállító CL-bemenettel is.
- \*G.10.12. Vizsgáljuk meg a 10–29a. ábrán látható szinkron számláncnál, hogy a bekeretezett hálózatrész valóban biztosítja-e helyes, *bináris* működést.
- \*G.10.13. Tervezzünk egy módosított JOHNSON-számlálót a 12–140. ábra szerinti működési ciklussal. A hálózatot úgy alakítsuk ki, hogy bekapcsolás után maximum két fázist követően már „beletaláljon” az üzemszerű működési ciklusba.

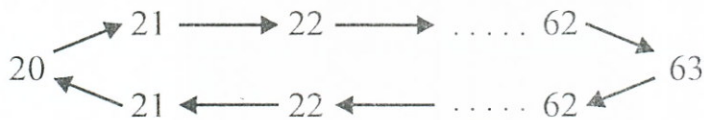


12-140. ábra Módosított JOHNSON számláló gráfja

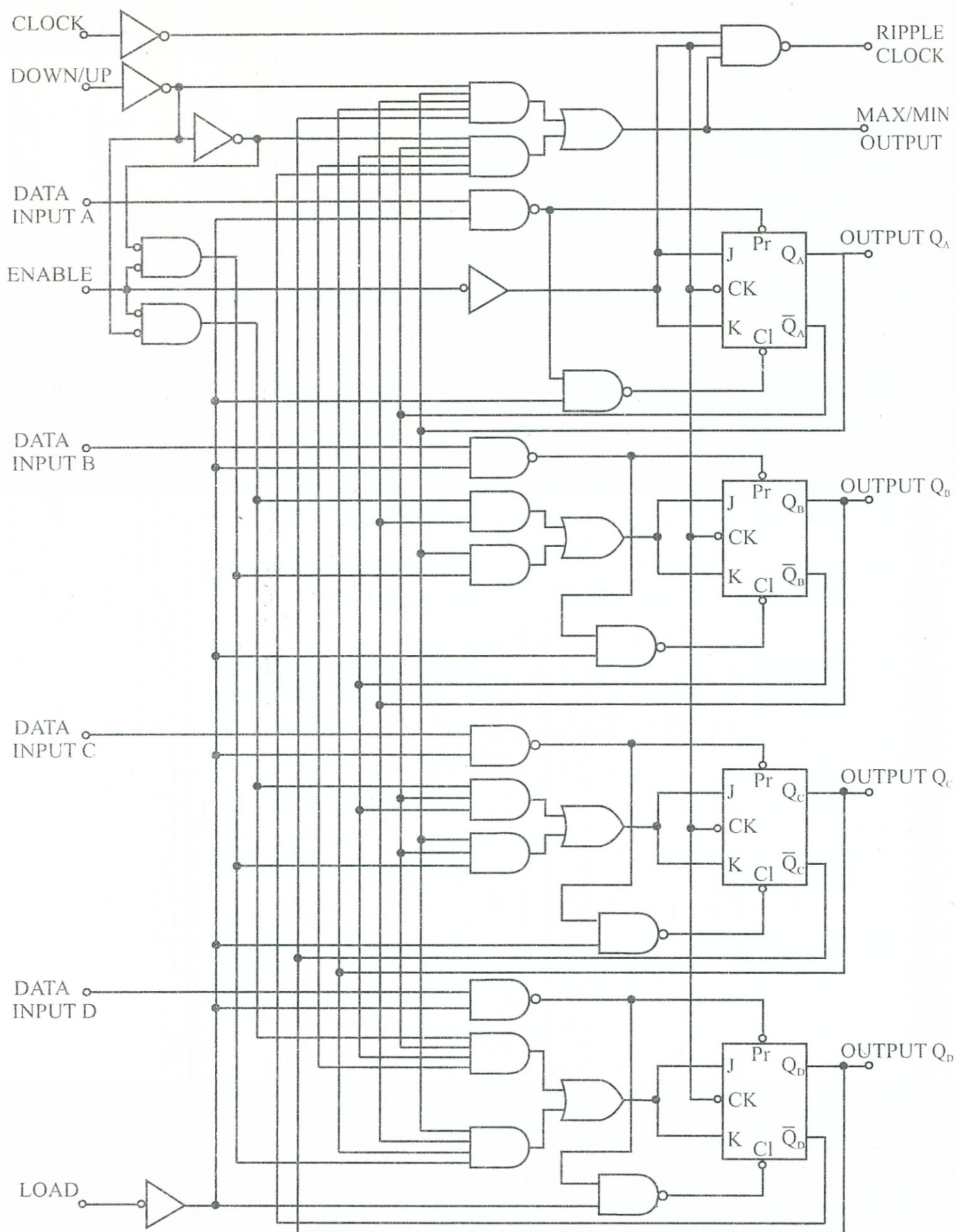
- \*G.10.14. Alakítsunk ki egy 1/31-es *frekvenciaosztót* számlálók felhasználásával.
- \*G.10.15. Alakítsunk ki az alábbi ciklus realizálására egy számlálót a 10–32. ábrán bemutatott modul felhasználásával:



- \*G.10.16. Adva a 12–141. ábrán látható reverzibilis számláló-hálózat. Vizsgáljuk meg működését és bővítési adottságait.
- \*G.10.17. Alakítsunk ki a 12–141. ábrán látható számláló kapcsolás felhasználásával egy alábbi reverzáló ciklusban működő hálózatot:



- G.10.18. Végezzük el két felvett szám összeszorzását a tanult *duplá-zó–felező* módszerrel.
- G.10.19. Végezzük el két felvett bináris szám összeszorzását a Booth-algoritmus szerint.
- \*G.10.20. Vizsgáljuk meg, miként lehetne *négyzetre emelő* áramkört kialakítani.
- \*G.10.21. Gondoljuk át, miként lehetne egyszerű *hatványozó* áramkört előállítani.
- G.10.22. Végezzük el két felvett szám osztását *kivonásra* történő visszavezetéssel.
- \*G.10.23. Tegyük kísérletet a megismert *törthányadosú* osztóberendezés hasznosítására egészhányadosú osztásnál.
- \*G.10.24. Vizsgáljuk meg, hogy milyen belső felépítéssel realizálható a 10.84. ábra soros komparátorának KIÉRTÉKELŐ HÁLÓZAT-a.
- \*G.10.25. Tervezzünk RAM felhasználásával egy sorrendi hálózatot, mely egy  $X$  bemenettel és egy  $Z$  kimenettel rendelkezik és  $X$  minden negyedik állapotváltozásakor történik  $Z$ -nél állapotváltozás.
- \*G.10.26. Vizsgáljuk meg egy CAM–RAM összetevőkből felépülő *gyorsmemória* címzési viszonyait olyan esetben, amikor adott „ $D$ ” esetén több egyezési kimenet is adódik és ki kell alakítanunk ezekkel egy címzési stratégiát.
- \*G.10.27. Alakítsunk ki  $64 \times 1$  bit kapacitású, bit-szervezésű RAM-memóriát a 10.93. ábrán bemutatott  $4 \times 4 = 16 \times 1$  bit kapacitású modulból, bővítéssel.
- \*G.10.28. Tekintsük most *kiinduló modul*nak az előző példa 12-165. ábrabeli eredményeként kapott hálózatot. Vizsgáljuk meg,



12 - 141. ábra. Binér - reverzibilis számlánc a G.10.16 példához

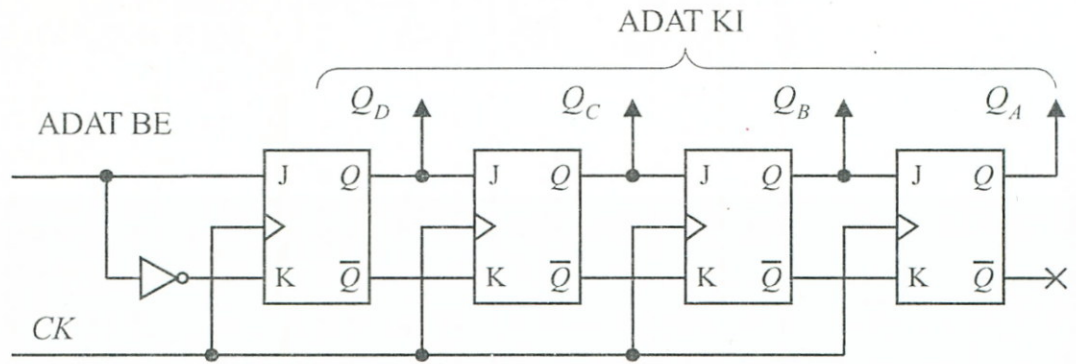
miként állítható elő ilyen modulokból egy 64 x 8 bites szószervezésű memória.

- \*G.10.29. Alakítsunk ki a 12-167a. ábrán látható szószervezésű RAM-memória modul felhasználásával egy 12 kByte-os RAM-memóriát.
- \*G.10.30. Kialakítandó egy digitális berendezés, mely többek között egy 8 bites szóhosszúságú ROM-memóriát, egy ugyancsak 8 bites SZ számlálót és egy ÖH összehasonlító áramkört tartalmaz. Az SZ számláló egy START jelre indul és mindaddig lépked, amíg a kimenetén jelentkező érték meg nem egyezik a ROM kimeneti Byte-jával. Egyezés esetén, az ÖH összehasonlító E kimenetén található lámpa kigyullad és a számláló leáll. A léptetés ideje alatt az összehasonlító K kimenetén található lámpa ad jelet minden léptetéskor, egészen az E lámpa kigyulladásáig. Ha valamilyen okból a számláló nem állt meg a kívánt helyen és túllép, akkor az összehasonlító N kimenetén levő lámpa ad hibajelet. A 0-tól 255-ös nagyság szerint tárolt ROM-szavakat, melyek a számláló lépésszámának felelnek meg, a ROM címző bemenetén keresztül lehet előválasztani. A realizációnál tételizzük fel, hogy a kiinduló MSI-modulkészlet minden eleme 4 bites adatcsatlakozásokkal rendelkezik és a ROM címbemeneteinek száma: 8.
- \*G.10.31. Mi történik egy  $D/A$  átalakítónál, ha az  $U_{ref}$  referenciafeszültség széles tartományban változtatható?
- \*G.10.32. Milyenek az analóg tartó áramkörök?

## 12.10.2. Feladatmegoldások a 10. fejezethez

- F.10.1.  $S-P$  regisztert alakíthatunk ki a 10-3. ábrán felrajzolt  $S-S$  változatból, ha valamennyi tárolócella  $Q_{ic}$  kimeneti pontját is kivezetjük a 12-142. ábra szerinti módon.
- F.10.2.  $P-S$  regisztert alakíthatunk ki ugyancsak a 10-3. ábrabeli  $S-S$  változatból, ha az egyes flip-flopokat ellátjuk az aszinkron párhuzamos beírást lehetővé tevő  $PR$  (Preset) és  $CL$





12–142. ábra *S-P tároló J-K flip-flopokkal*

(Clear) bemenetekkel, és ezeket használjuk fel párhuzamos adatbemenetekként.

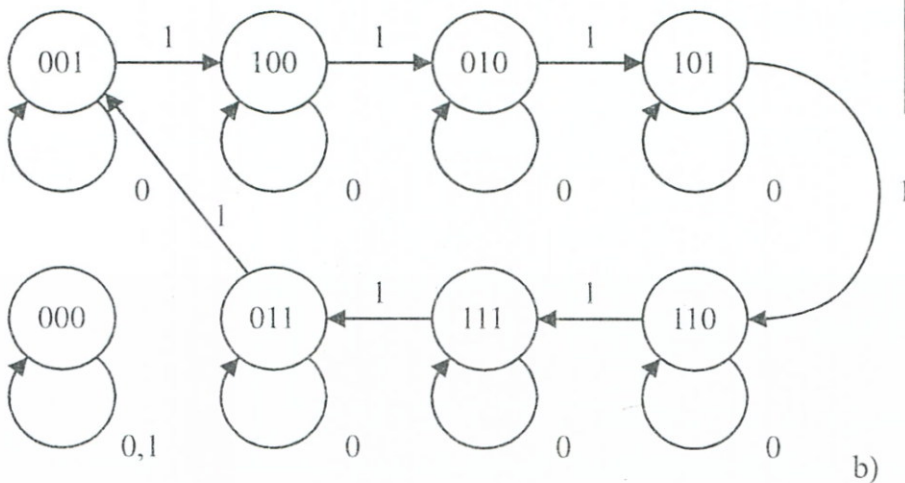
F.10.3. A kiinduló 12–139. ábrán látható hálózat egy visszacsatolt *D*-tárolós léptetőregiszterből és antivalencia kapuból tevődik össze. Az ábra alapján felírhatók a tárolóelemekre jellemző működési függvények, ill. ezek alapján a kódolt rovatos állapottábla (12–143a.). Ha végül az állapotgráfot is

$$Q_{1(T+1)} = Q_{2T} \oplus Q_{3T} = D_{1T}$$

$$Q_{2(T+1)} = Q_{1T} = D_{2T}$$

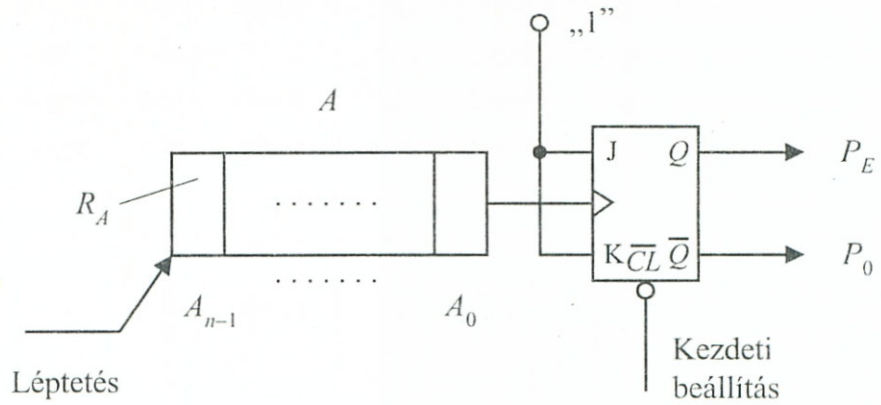
$$Q_{3(T+1)} = Q_{2T} = D_{3T}$$

$Q_{1T}$	$Q_{2T}$	$Q_{3T}$	$Q_{1(T+1)}$	$Q_{2(T+1)}$	$Q_{3(T+1)}$
0	0	1	1	0	0
0	1	0	1	0	1
0	1	1	0	0	1
1	0	0	0	1	0
1	0	1	1	1	0
1	1	0	1	1	1
1	1	1	0	1	1
0	0	0	0	0	0



12–143. ábra *Visszacsatolt léptető-regiszter, mint karaktergenerátor*





12–145. ábra SOROS  $n$ -bites paritásképző

A felismerés alapján  $P_E = Q \cdot T = A$  helyettesítéssel a 12–141. ábra szerinti kapcsolás rajzolható fel megoldásként, melynél a

$$\overline{P_E} = P_O$$

összefüggést is figyelembe vettük, és a  $T$ -tárolóelemet  $J$ - $K$  tárolóelemből állítottuk elő.

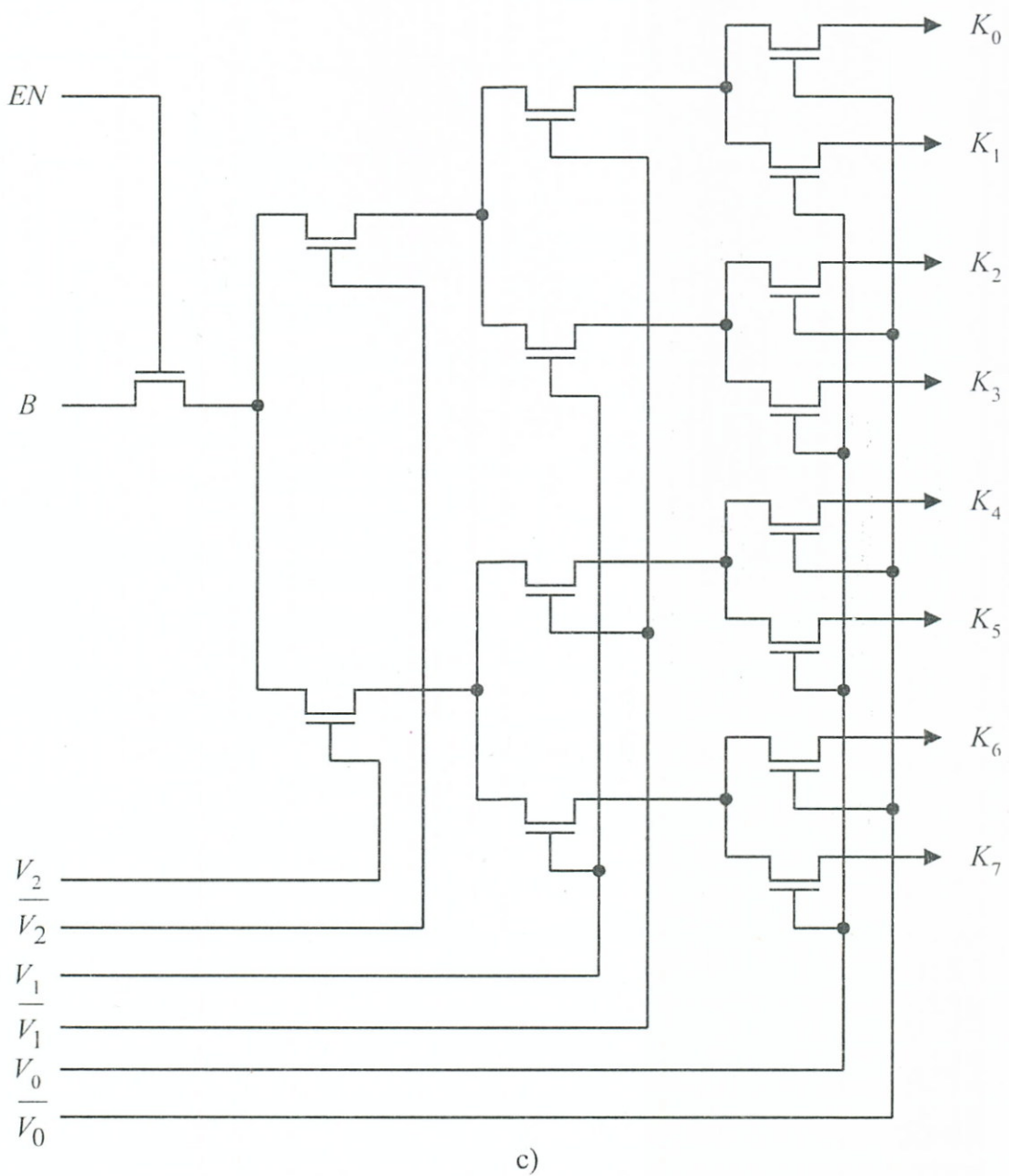
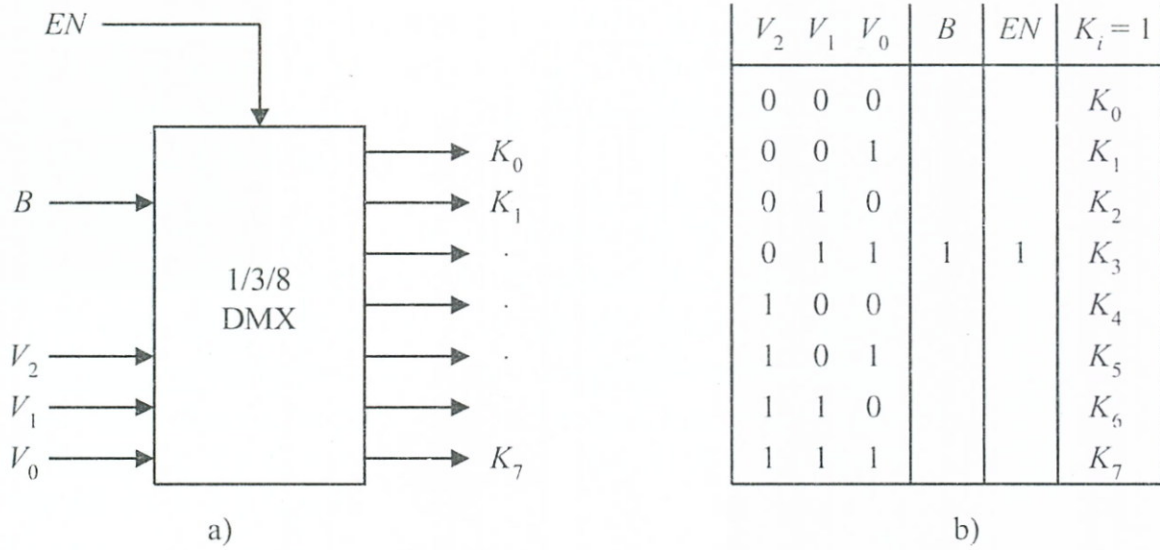
- F.10.8. Az 1/3/8 DMX elvi vázlata és működési vázlata a 12–146a. és b. ábrán látható. A táblázat egy-egy sora egy-egy ÉS-kapcsolatnak felel meg az alábbi formula szerint:

$$K_i = B \cdot E_i^3(V_0, V_1, V_2)$$

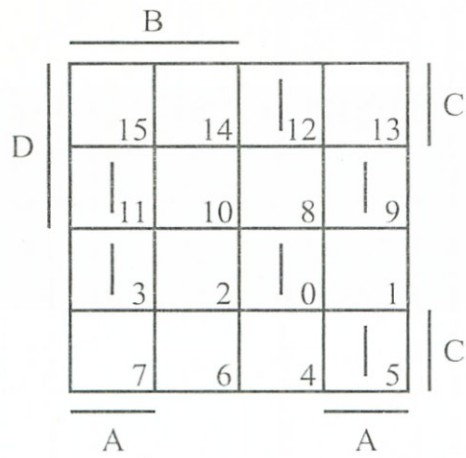
Az ÉS-kapcsolatot MOS-áramlogikában sorbakapcsolt MOS tranzisztorokkal valósíthatjuk meg. Az ily módon felépített, ún. FA-struktúrájú megoldást a 12–146c. ábrán rajzoltuk fel.

- F.10.9. Az MPX-szel történő függvényrealizálással már foglalkoztunk a 10.4.2. pontban. Jelenlegi példánkban ugyanannak a függvénynek a realizálását 3-féle változatban is bemutatjuk. A kiinduló-függvényt első lépésben diszjunktív alakra kell hoznunk, a (10.14) összefüggés felírhatósága érdekében. Az átalakítást  $V$ - $K$  táblával elvégezve, a 12–147a. ábrán megkaptuk a diszjunktív szabályos alakot.

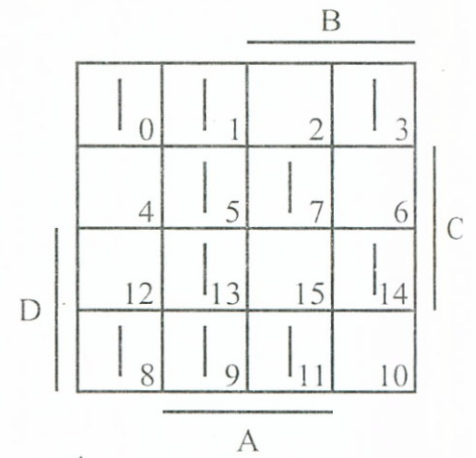
a) változat: Az  $n=4$  változós függvényt egy 16/4/1-es MPX-szel közvetlenül realizálhatjuk. A 10–24. ábrán bemutatott megoldáshoz hasonlóan eljárva, a kiinduló függvényünk-



12-146. ábra 1/3/8 DMX MOS-FA struktúra



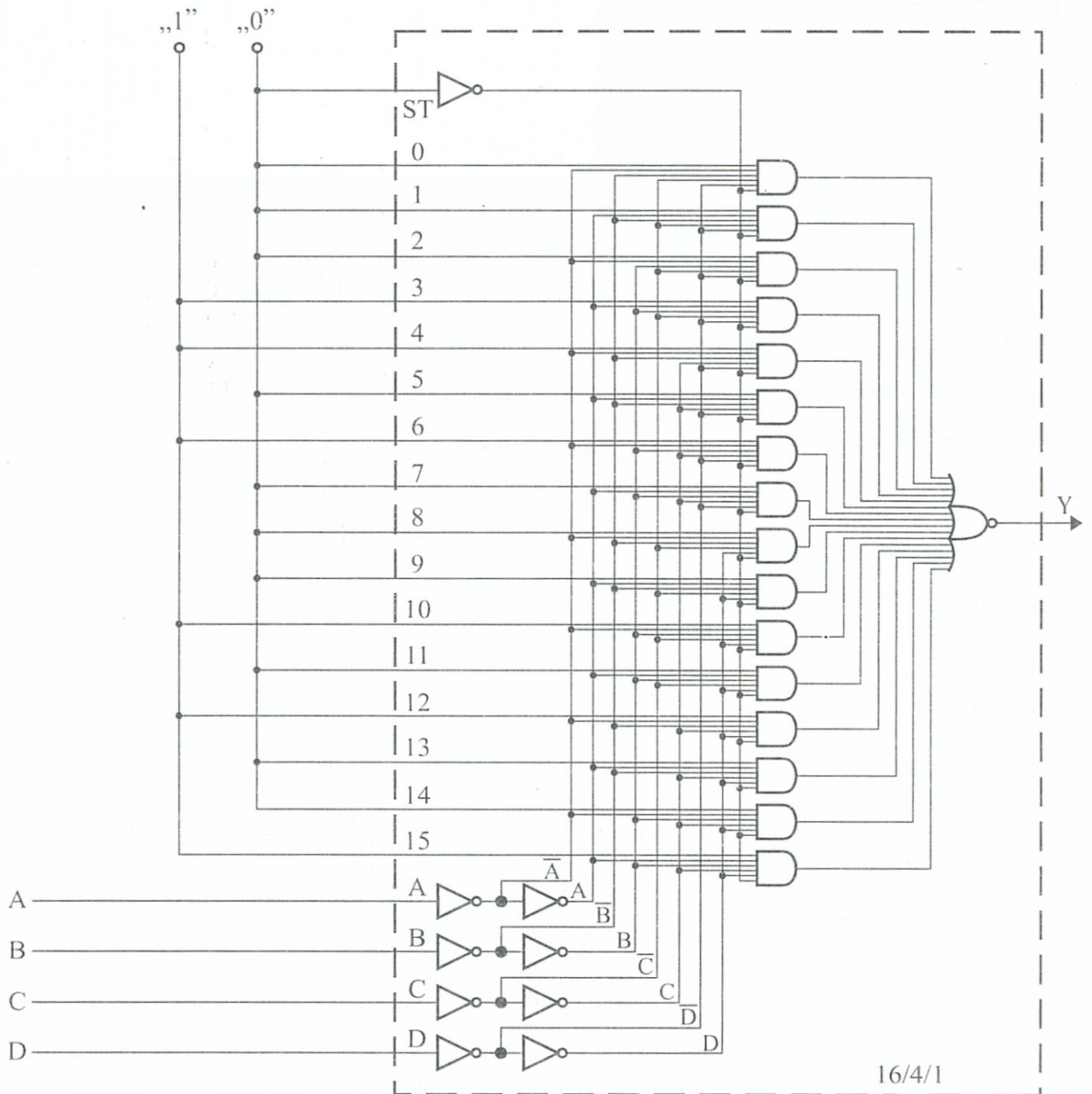
$$Y = \prod (0, 3, 5, 9, 11, 12)$$



$$Y = \sum (0, 1, 2, 5, 7, 8, 9, 11, 13, 14)$$

$$\bar{Y} = \sum (3, 4, 6, 10, 12, 15)$$

a)

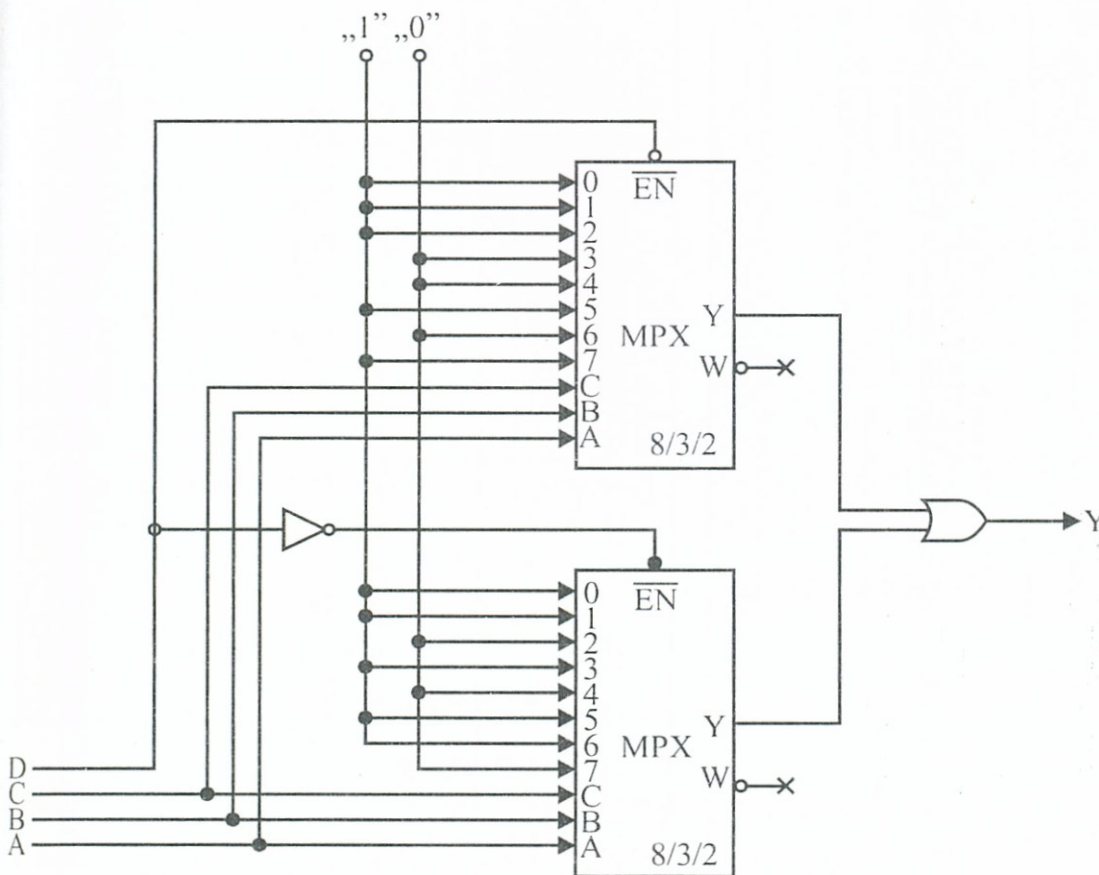


b)

12-147. ábra Függvényrealizálás 16/4/1 MPX-szel

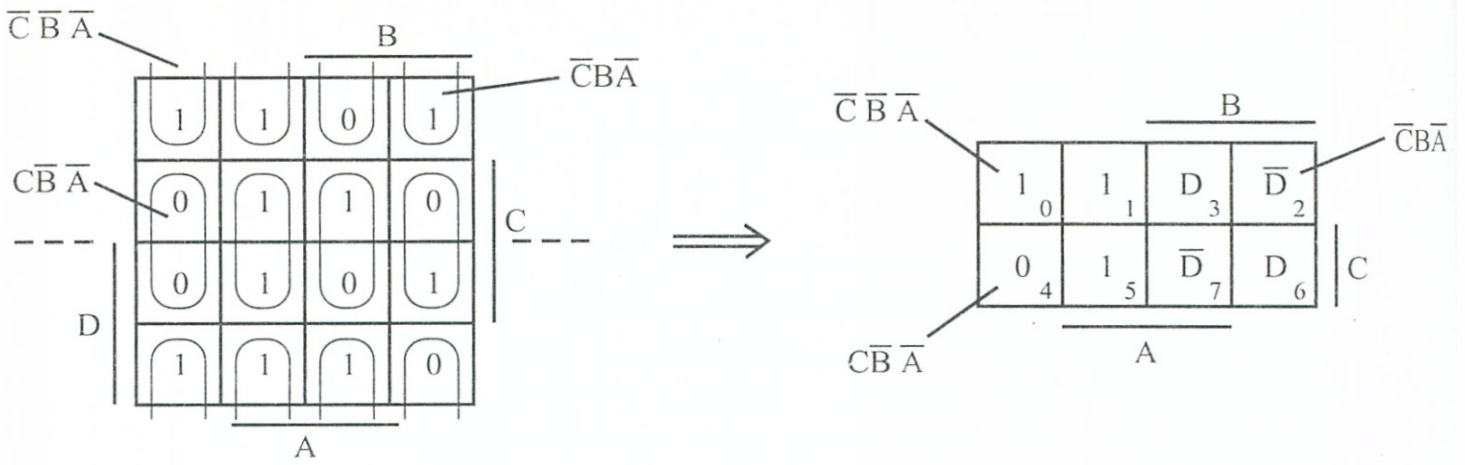
nek megfelelő eredményt a 12–147b. ábrán rajzoltuk fel. Mivel az áramkör a kimeneten negált (aktív „0”) eredményt szolgáltat, célszerű volt a függvény negáltjának diszjunktív alakjából kiindulni.

b) változat: A 8/3/1 típusnál, mikor az MPX „EN” bemenettel is rendelkezik, alkalmazhatunk bővítést, melyhez a 12–148. ábrán látható 8/3/2-es modul típust használjuk fel. Itt nem szükséges a függvény negáltját realizálnunk, miután a modul mind ponált, mind negált kivezetéssel rendelkezik.



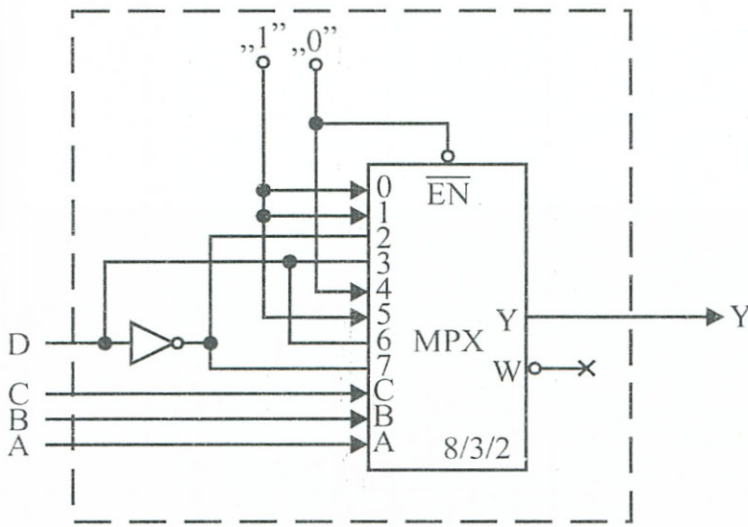
12-148. ábra Függvényrealizálás MPX bővítéssel

c) változat: A feladat megoldható egyetlen 8/3/1 típusú MPX-szel is, ez esetben az engedélyező EN bemenet nem kell, hogy aktív szerepet kapjon. Ha megvizsgáljuk a 12–149. ábra minterm-tábláját, belátható, hogy a 12–149a. ábra értelmében a 4-változós táblát átrajzolhatjuk egy 3-változósá, mely alapul szolgál az egyetlen 8/3/1 MX-szel történő realizációhoz. Ismét a 12–148. ábra áramkörét választva a realizációhoz a 12–149b. ábrán rajzoltuk fel a megoldást.



a)

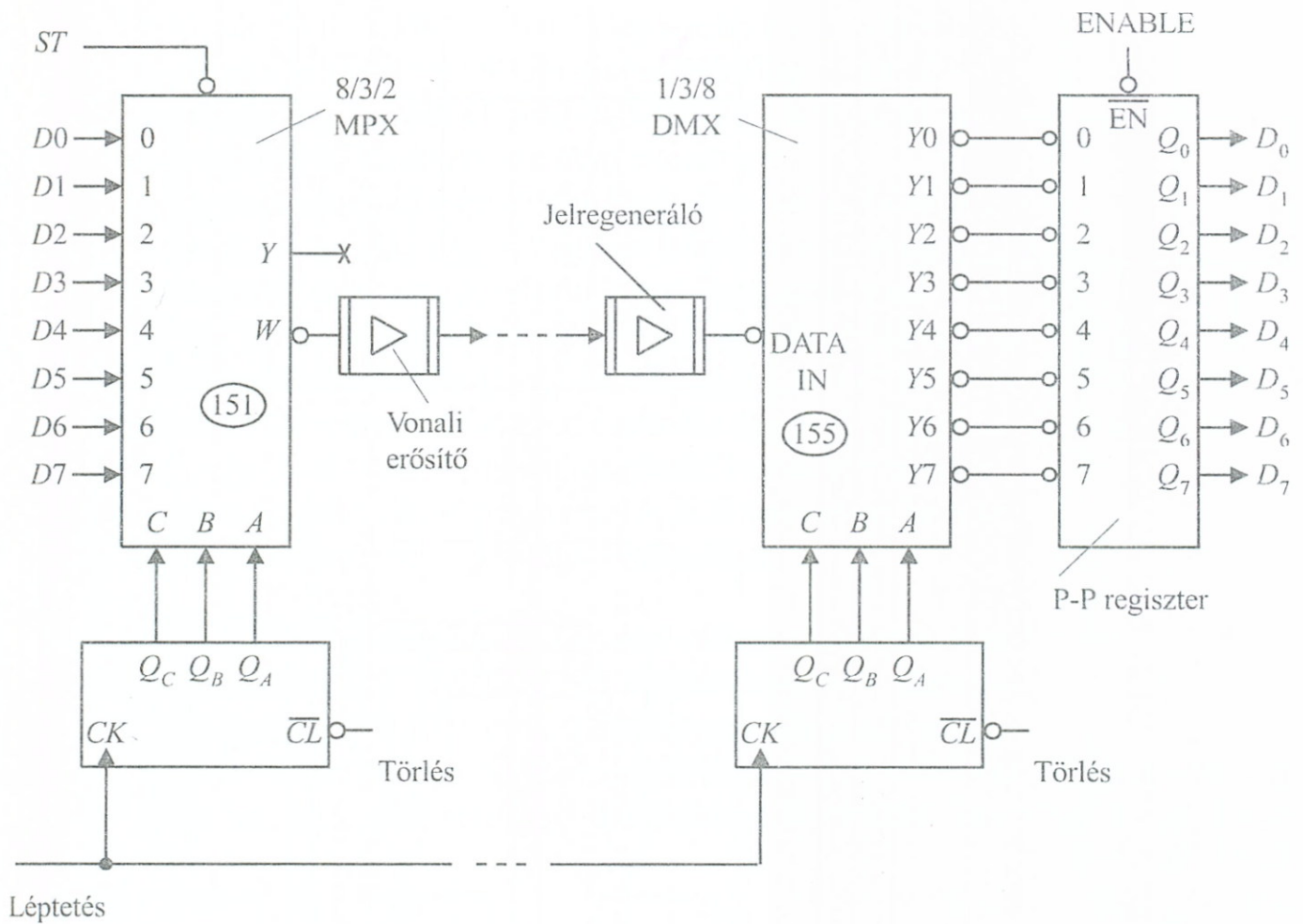
$$Y = 1(\overline{C}\overline{B}\overline{A}) + 1(\overline{C}\overline{B}A + \overline{D}(\overline{C}B\overline{A}) + D(\overline{C}BA) + 0(\overline{C}B\overline{A}) + 1(\overline{C}BA) + D(\overline{C}B\overline{A}) + \overline{D}(\overline{C}BA)$$



b)

12-149. ábra Négyváltozós függvény realizálása 8/3/2 MX-szel

F.10.10. A feladat egy adatátviteli problémát vet fel, melynél csak egyetlen adat-vonallal rendelkezünk. Az elvi sémára a 12–150. ábrán rajzoltuk fel, hogy 8/3/2 típusú MPX és egy DMX 1/3/8-ra bővített változatának felhasználásával. Az átvitel úgy történik, hogy az MPX-nél a  $D_0$ – $D_7$  adatbemeneteket a választó bemenetekre csatlakozó (pl. BINÉR ELŐRE) számlánc léptetésével egyenként (időben eltolva) juttatjuk a W-kimenetre, ahonnan az információ az átviteli adatvonalon *sorosan* továbbítódik a DMX DATA IN bemenetére. A DMX Yi adat-kimeneteit is egy előbbivel megegyező, azal szinkronban lépkedő számlánc léptetései választják ki. Amennyiben a vevő oldalon az  $Y_0$ – $Y_7$  kimeneteket egyidejűleg, *párhuzamosan* akarjuk felhasználni, akkor a DMX után még egy P–P típusú regisztert kell csatlakoztatnunk,



12–150. ábra 8 független mérési adat távolsági átvitele egy soros adatvonalon

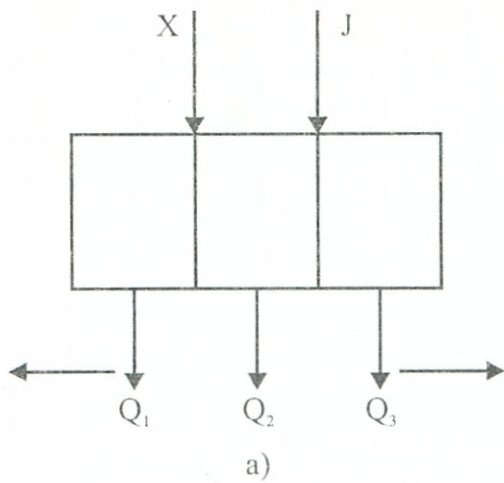
melyet a soros átviteli ciklus befejeződése után olvasunk ki az ENABLE kapuzó jel megfelelő időzítésével.

Amennyiben az ADÓ–VEVŐ távolság nagyobb, szükség esetén az MPX-oldalon erősítőt, a DMX oldalon jelregenerálót is be kell iktatni.

F.10.11. A kétirányú soros léptetőregiszter tervezését a szinkron sorrendi hálózatok tervezésénél megismert módszerek alapján végezhetjük el (8. fejezet). A hálózat elvi rajzát a 12–151a. ábrán tanulmányozhatjuk, itt „ $X$ ” az adatbemenet, „ $J$ ” a léptetés irányának kijelölése.  $S$ – $S$  üzem esetén a soros kilépőjelek jobbra lépésnél a  $Q_3$  kimeneten, balra lépésnél a  $Q_1$  kimeneten jelennek meg a léptetés sorrendjében. Amennyiben a  $Q_2$  cellát is kivezetjük, az áramkör  $S$ – $P$  üzemben is használható lesz. Az ily módon körülírt hálózatnak megfelelő kódolt rovatos állapotábrát a 12–151b. ábrán töltöttük ki. Amennyiben  $D$ -tárolós realizációt választunk, a



12. Gyakorló feladatok és megoldásaik



t	J = 0			J = 1			
	Q <sub>1</sub>	Q <sub>2</sub>	Q <sub>3</sub>	x = 0	x = 1	x = 0	x = 1
0	0	0	0	0	0	0	0
1	0	0	1	0	0	0	1
2	0	1	0	0	0	0	0
3	0	1	1	0	0	1	0
4	1	0	0	0	1	0	0
5	1	0	1	0	1	0	0
6	1	1	0	0	1	1	0
7	1	1	1	0	1	1	0

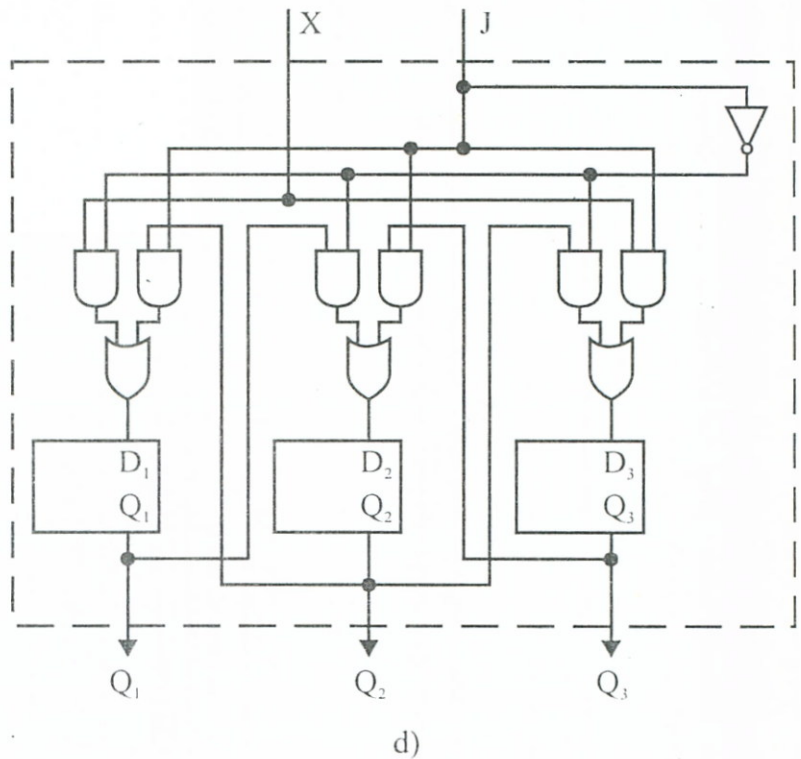
b)

$$D_1 = \bar{J}X + J \cdot Q_2$$

$$D_2 = \bar{J} \cdot Q_1 + J \cdot Q_3$$

$$D_3 = \bar{J} \cdot Q_2 + J \cdot X$$

c)



12-151. ábra Kétirányú léptetőregiszter kialakítása

$$Q_{i(t+1)} = D_{it}$$

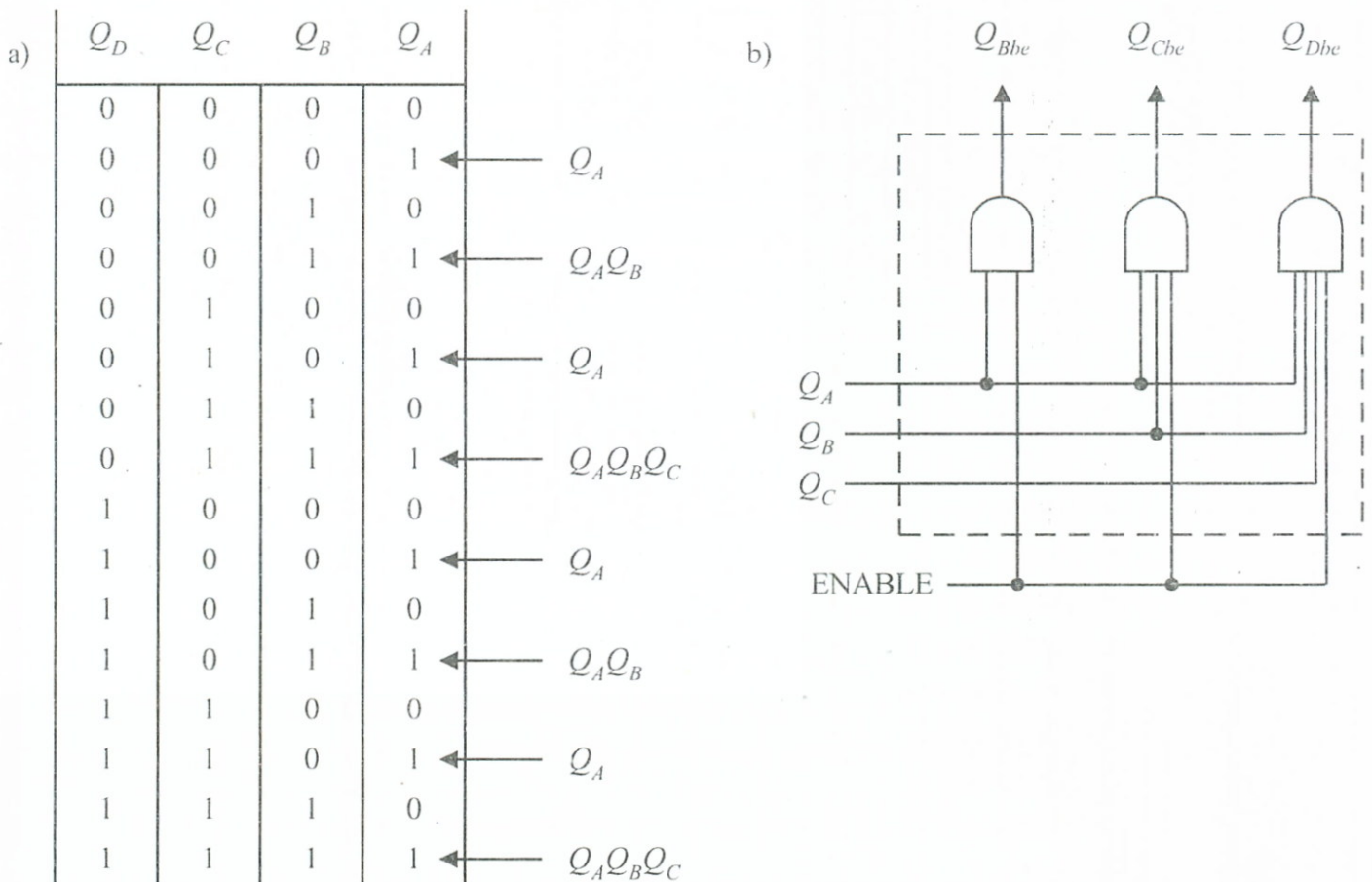
összefüggés értelmében felírható a tárolók működtetési függvénye (12-151c. ábra), a realizációs hálózat pedig a 12-151d. ábra szerinti lesz.

F.10.12. A 10-29. ábrabeli számláncnál az előreszámlálást biztosító hálózatrész működését a 12-152. ábra táblázatán ellenőrizhetjük. A számlánc  $Q_A, Q_B, Q_C, Q_D$   $J-K$  típusú tárolóelemei számlálási üzemmódjukban  $T$ -tárolóelemként üzemelnek ( $J_i = K_i$ ). A számlálási léptetést az  $EP.ET = ENABLE$  kapuzó-jel engedélyezi.

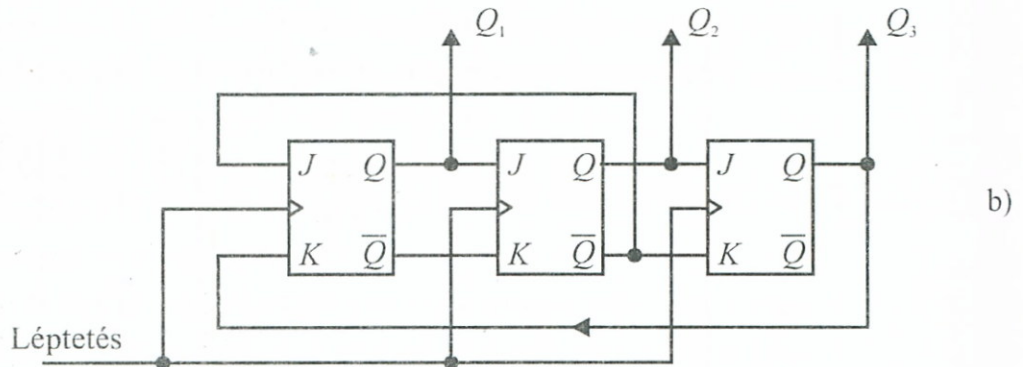
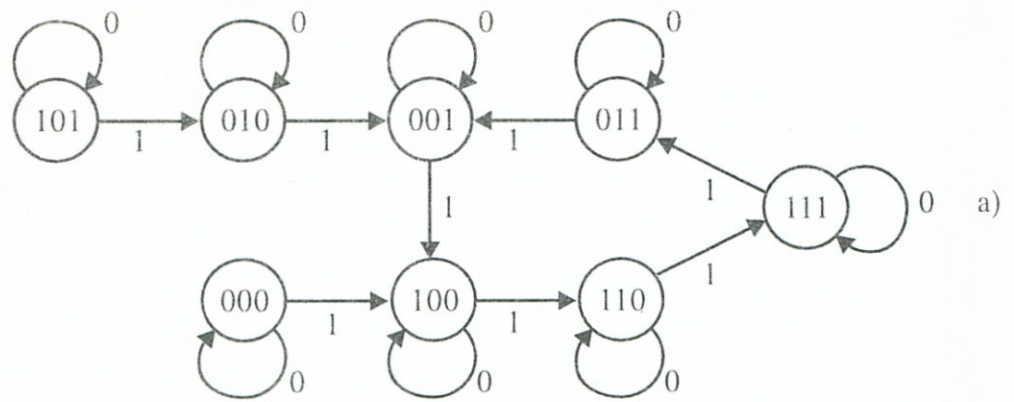
A  $Q_A$  tárolóelem képviseli a  $2^n$  legkisebb binér helyértéket, így ennek minden órajel-léptetés esetén állapotot kell váltania függetlenül a többi tárolótól. Ezért a  $Q_A$  bemeneti vezérlése a jelölt hálózatrészben nem is szerepel.

A  $Q_B$  tárolóelem állapotváltásai (az a. ábra táblázatából ellenőrizhetően) mindig a  $Q_A = 1$  ütemet követően kell, hogy megtörténjenek, ezért a  $Q_{Bhe}$  jelet a  $Q_A = 1$  fogja képviselni. A  $Q_C$ , ill.  $Q_D$  tárolóelemek állapotváltozásai (ugyancsak a táblázatból ellenőrizhetően) a  $Q_A Q_B = 11$ , ill.  $Q_A Q_B Q_C = 111$  ütemeket követően következnek be, ezért ezeknél a  $Q_{Cbe} = Q_A \cdot Q_B$ ,  $Q_{Dbe} = Q_A \cdot Q_B \cdot Q_C$  feltételek adják a megfelelő bemeneti vezérlést. A kapu áramkörökbe még az ENABLE feltételt is bevezették az előzőekben elmondottak értelmében.

F.10.13. A kiindulásként megadott működési ciklusra, ha közvetlenül megterveznénk a hálózatot, ez a *ciklusban nem szereplő*:  $Q_1 Q_2 Q_3: 000, 010, 101$  elvileg lehetséges állapotok valamelyikébe bekerülve bizonytalan működésű lehetne. Ezért célszerű az ún. „self starting” kialakításra törekedni, mely



12-152. ábra A 10-29. ábrabeli számláló léptetés vezérlése

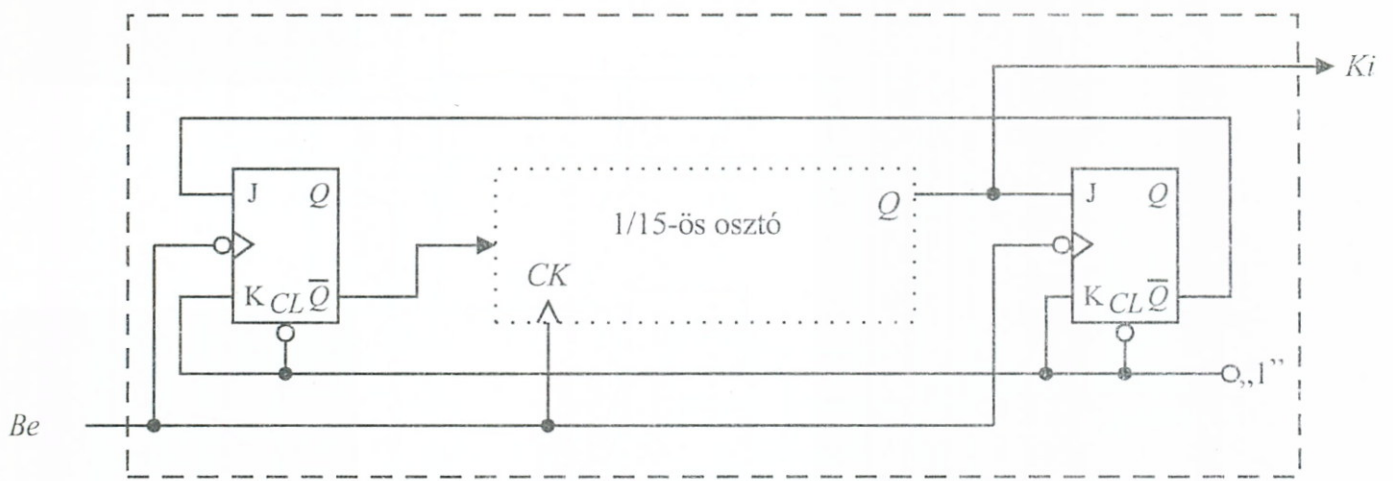


**12-153. ábra**  $M = 5$ -ös modulusú JOHNSON számláló „self starting” kialakítással

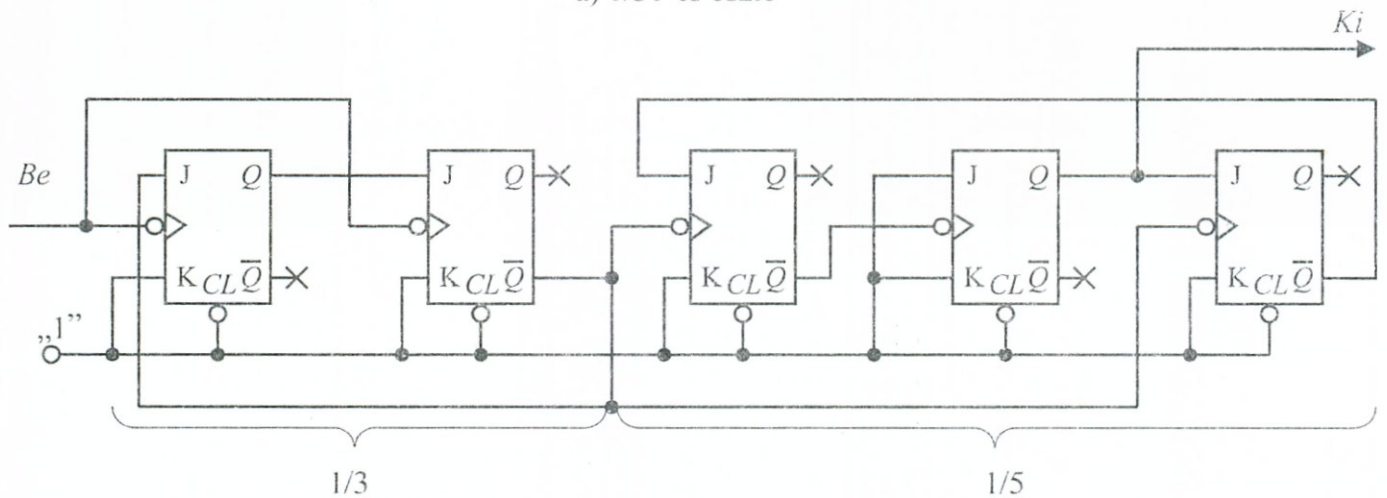
olyan megoldást jelent, mely (pl. bekapcsoláskor) bármelyik állapotból indulva biztosan beletalál a kívánt üzemszerű ciklusba. Esetünkben a kódolt állapotgráfot, ha a 12–153a. ábra szerint vesszük fel, akkor teljesülhet a fenti kívánalom. A megoldáshoz J–K tárolóelemeket választva és a tervezés lépéseit itt nem részletezve végül a 12–153b. hálózatot kapjuk. Mint látható, itt a J–K tárolók egy léptetőregisztert alkotnak, melynél a visszacsatolás egy invertálás beiktatásával szerepel (a  $Q_2$  révén).

F.10.14. A frekvenciaosztókkal a 10.5.6. pontban foglalkoztunk. A feladatban szereplő  $1/31$ -es osztót a 10–38. ábra elvi kapcsolása alapján tervezhetjük meg. Ennek értelmében a 12–154a. ábra teljesíti a 31-es osztást. A benne szereplő  $1/15$ -ös osztót pedig egy  $1/3$  és  $1/5$  osztó páros, soros kapcsolásával állíthatjuk elő a 12–154b. ábra szerinti kapcsolással.

F.10.15. A feladat rokonságban van a 10–33. ábrán bemutatott kapcsolásokkal (mivel itt is ciklusrövidítés a feladat), de esetünkben *reverzibilis* számlálót kell alkalmaznunk. Továbbá,



a) 1/31-es osztó

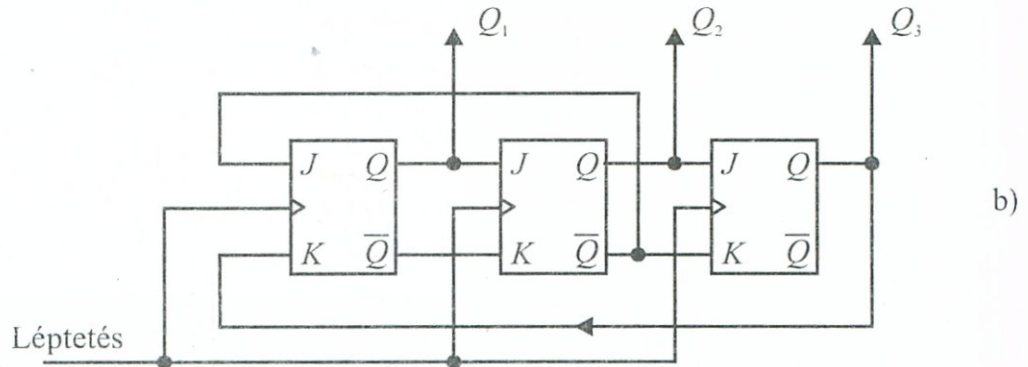
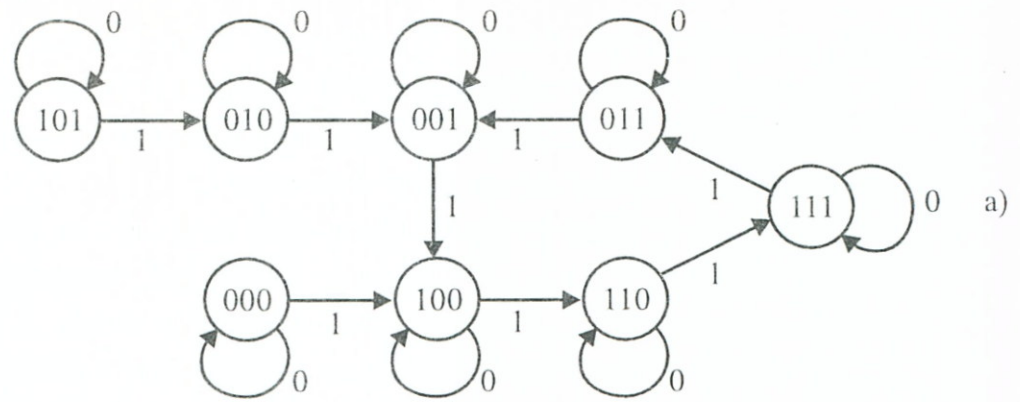


b) 1/15-ös osztó

12–154. ábra 1/31-es frekvenciaosztó egy változata

gondoskodni kell arról, hogy az ELŐRE, illetve HÁTRA irányokat kijelölő jelet, amíg a számlálási ciklus megkívánja, tároljuk. Végül ügyelni kell arra, hogy a megadott típusú modul *aszinkron* CLEAR és LOAD vezérléssel rendelkezik, amit (a 10–33. ábrán bemutatott módon) figyelembe kell venni a reverzálási kapujelek értékének megállapításaikor. Példánknál ezért kellett az ELŐRE irányú léptetés végén 2 helyett 3-at, a HÁTRA irányú léptetés végén 4 helyett 3-at kapuzni. A realizációs hálózatot a 12–155. ábrán rajzoltuk fel.

F.10.16. A 12–141. ábrán megadott hálózat egy  $M = 16$  – szinkron–párhuzamos–binér–reverzibilis számláló, melynél az előre-számlálást a DOWN/UP = 0, a hátra-számlálást a DOWN/UP = 1 előválasztással lehet beállítani. A számlánc

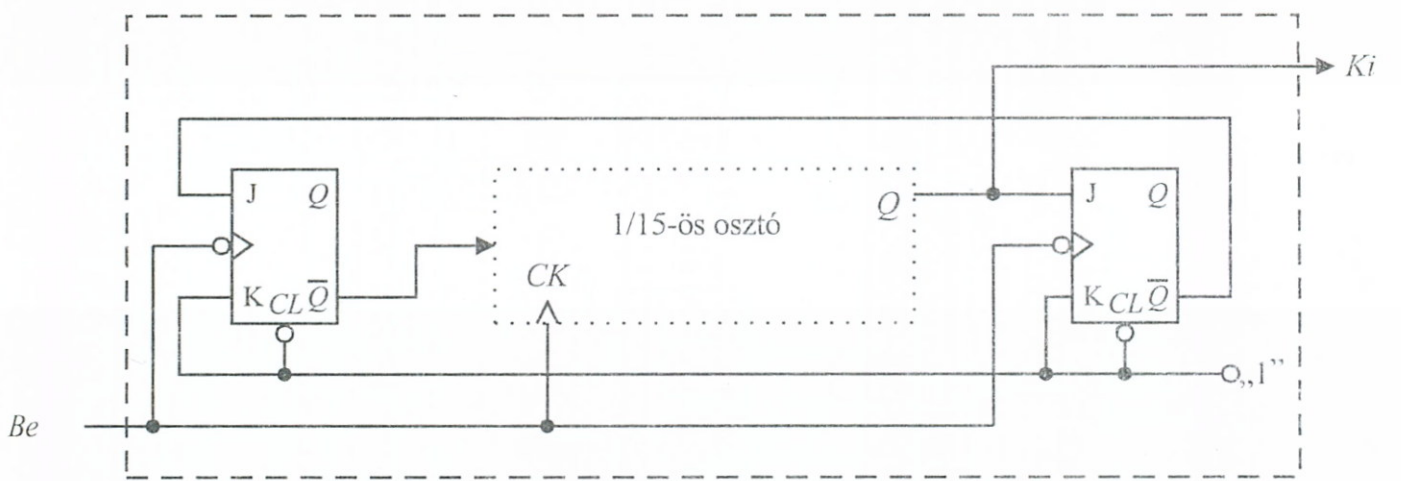


**12-153. ábra**  $M = 5$ -ös modulusú JOHNSON számláló „self starting” kialakítással

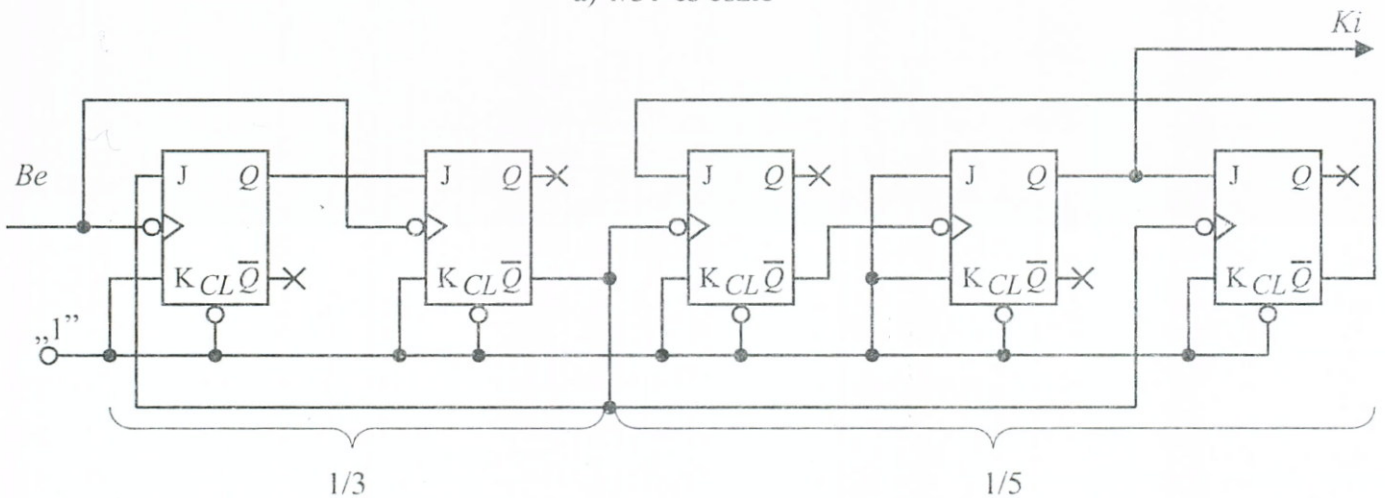
olyan megoldást jelent, mely (pl. bekapcsoláskor) bármelyik állapotból indulva biztosan beetalál a kívánt üzemszerű ciklusba. Esetünkben a kódolt állapotgráfot, ha a 12–153a. ábra szerint vesszük fel, akkor teljesülhet a fenti kívánalom. A megoldáshoz J–K tárolóelemeket választva és a tervezés lépéseit itt nem részletezve végül a 12–153b. hálózatot kapjuk. Mint látható, itt a J–K tárolók egy léptetőregisztert alkotnak, melynél a visszacsatolás egy invertálás beiktatásával szerepel (a  $\bar{Q}_2$  révén).

F.10.14. A frekvenciaosztókkal a 10.5.6. pontban foglalkoztunk. A feladatban szereplő 1/31-es osztót a 10–38. ábra elvi kapcsolása alapján tervezhetjük meg. Ennek értelmében a 12–154a. ábra teljesíti a 31-es osztást. A benne szereplő 1/15-ös osztót pedig egy 1/3 és 1/5 osztó páros, soros kapcsolásával állíthatjuk elő a 12–154b. ábra szerinti kapcsolással.

F.10.15. A feladat rokonságban van a 10–33. ábrán bemutatott kapcsolásokkal (mivel itt is ciklusrövidítés a feladat), de esetünkben *reverzibilis* számlálót kell alkalmaznunk. Továbbá,



a) 1/31-es osztó

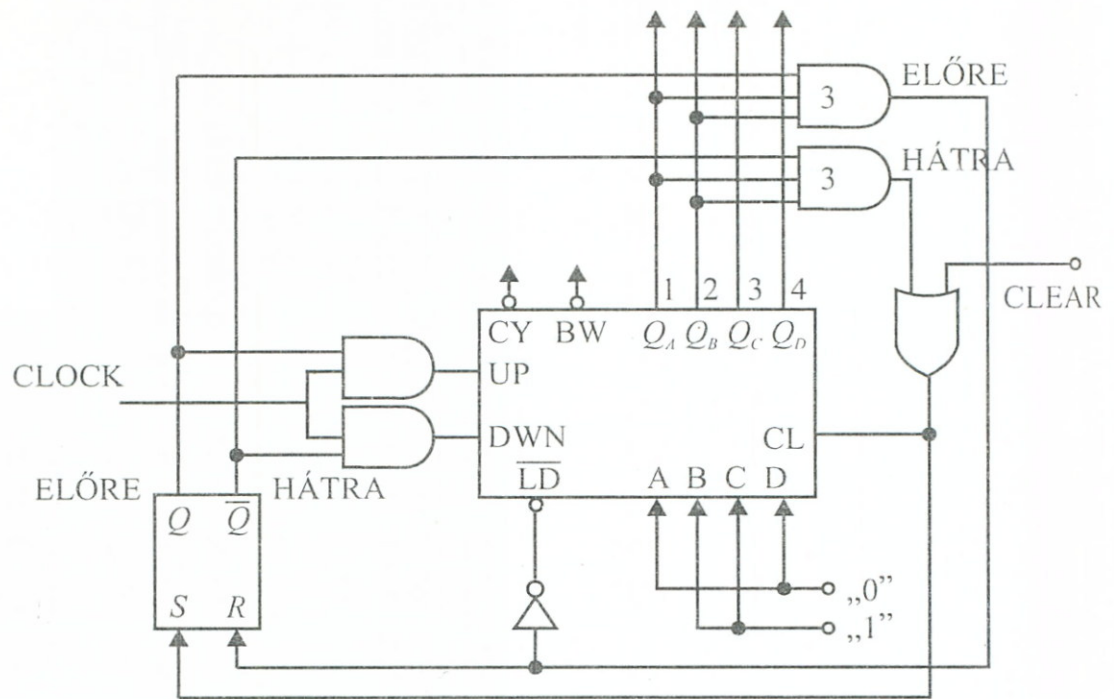


b) 1/15-ös osztó

12–154. ábra 1/31-es frekvenciaosztó egy változata

gondoskodni kell arról, hogy az ELŐRE, illetve HÁTRA irányokat kijelölő jelet, amíg a számlálási ciklus megkívánja, tároljuk. Végül ügyelni kell arra, hogy a megadott típusú modul *aszinkron* CLEAR és LOAD vezérléssel rendelkezik, amit (a 10–33. ábrán bemutatott módon) figyelembe kell venni a reverzálási kapujelek értékének megállapításaikor. Példánknál ezért kellett az ELŐRE irányú léptetés végén 2 helyett 3-at, a HÁTRA irányú léptetés végén 4 helyett 3-at kapuzni. A realizációs hálózatot a 12–155. ábrán rajzoltuk fel.

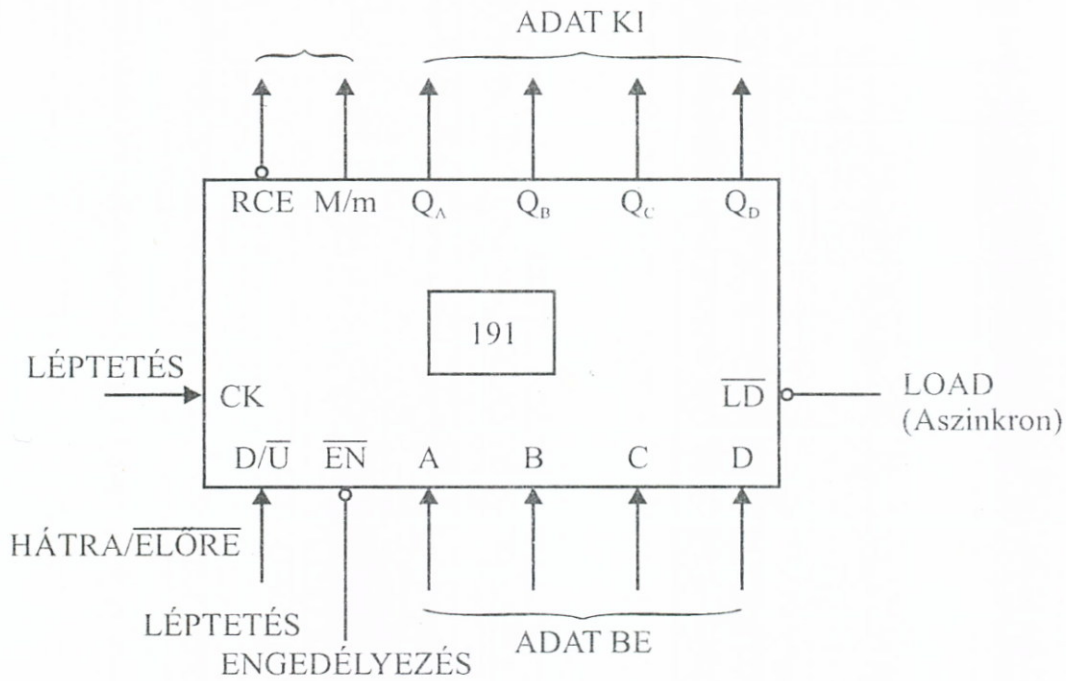
F.10.16. A 12–141. ábrán megadott hálózat egy  $M = 16$  – szinkron–párhuzamos–binér–reverzibilis számláló, melynél az előre-számlálást a DOWN/UP = 0, a hátra-számlálást a DOWN/UP = 1 előválasztással lehet beállítani. A számlánc



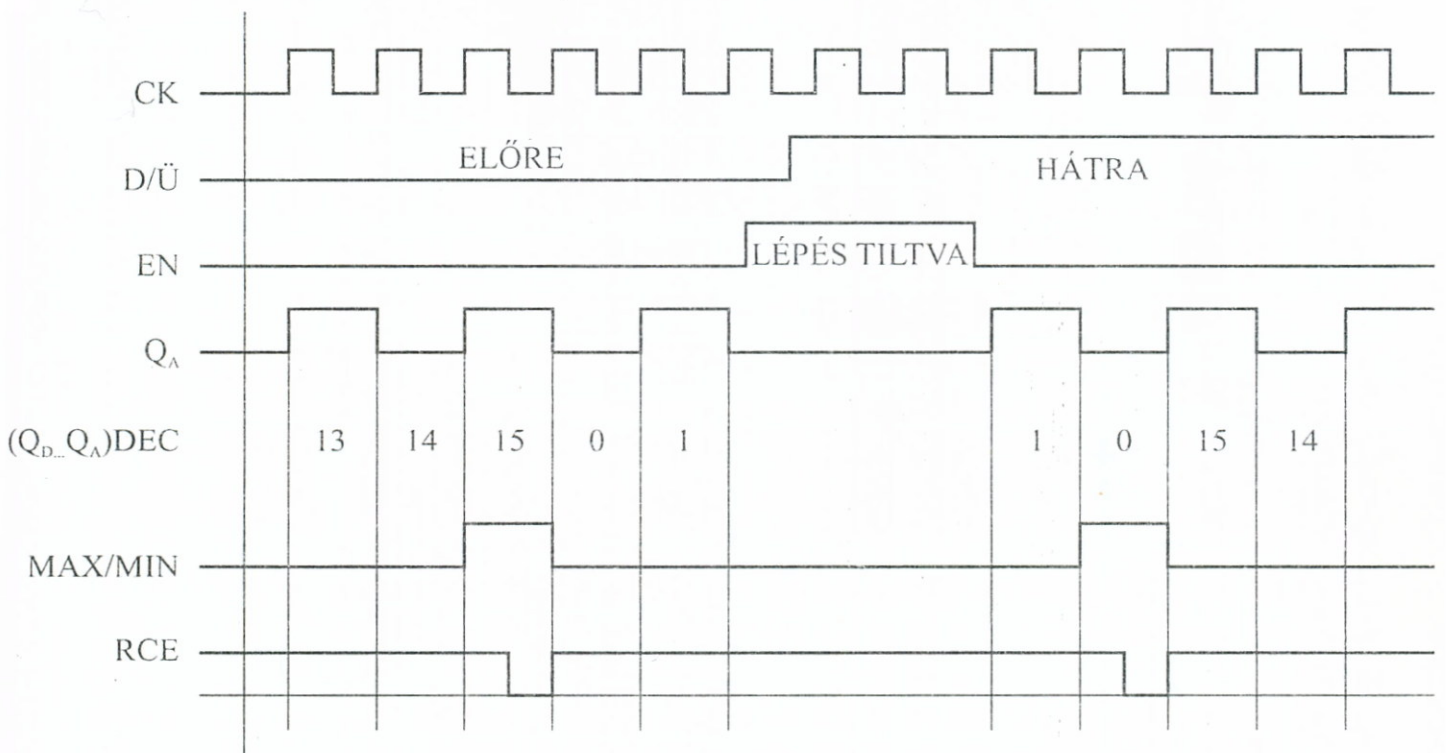
12-155. ábra Reverzált számlálási ciklus megvalósítása a G.10.15. példánál

rendelkezik a DATA INPUT-i bemenetek révén párhuzamos preszettelhetőséggel, melyet az aszinkron tulajdonságú LOAD ( $LD = 0$ ) értékkel engedélyezhetünk. A léptetést az ENABLE ( $EN = 1$ ) bemenő jellel tilthatjuk le. Bővítés céljára a RIPPLE COUNT (RC) és a MAX/MIN (M/m) kivezetések szolgálnak (12–156a. ábra). E kivezetések jelviszonyait a 12–15b. ábra idődiagramján tanulmányozhatjuk. A bővítésre szolgáló RC és M/m kimenetek kombinálásával a számláncot háromféleképpen lehet bővíteni a 12–157. ábrán látható változatoknak megfelelően.

- F.10.17. Az előző példában részletesen tárgyalt reverzibilis szinkron számlánc  $M = 16$  modulusú, így a megadott ciklus realizálására két fokozatúra bővített megoldás lesz csak alkalmas. Válasszuk a 12–157b. ábra szerinti bővítést és az előre/háttra irány ciklus alatti tárolására alkalmazzunk egy NAND kapupárból kialakított inverz S–R tárolót. Annak biztosítására, hogy a számláló biztosan a ciklusban induljon, biztosítanunk kell egy cikluson belüli értékre történő kezdeti beállítást is. Ezt az  $LD = 0$  időszakos beállításával biztosítjuk. A PRESET bemenetekre a 21-es értéknek megfelelő bináris kódot kötöttük be konstans szintekkel. Ily módon a kezdeti irányt külön nem is kell megadnunk, mivel 21-ről indulva



a)



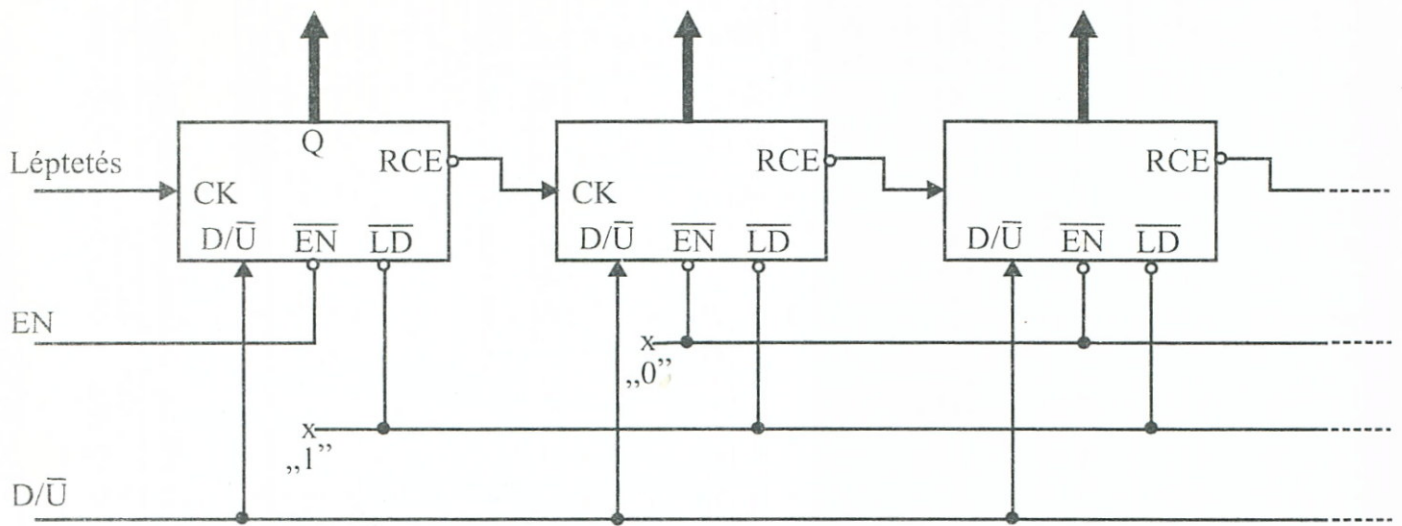
b)

**12-156. ábra** Egy 191 típusú reverzibilis számlánc elvi vázlatja és működési időviszonyai

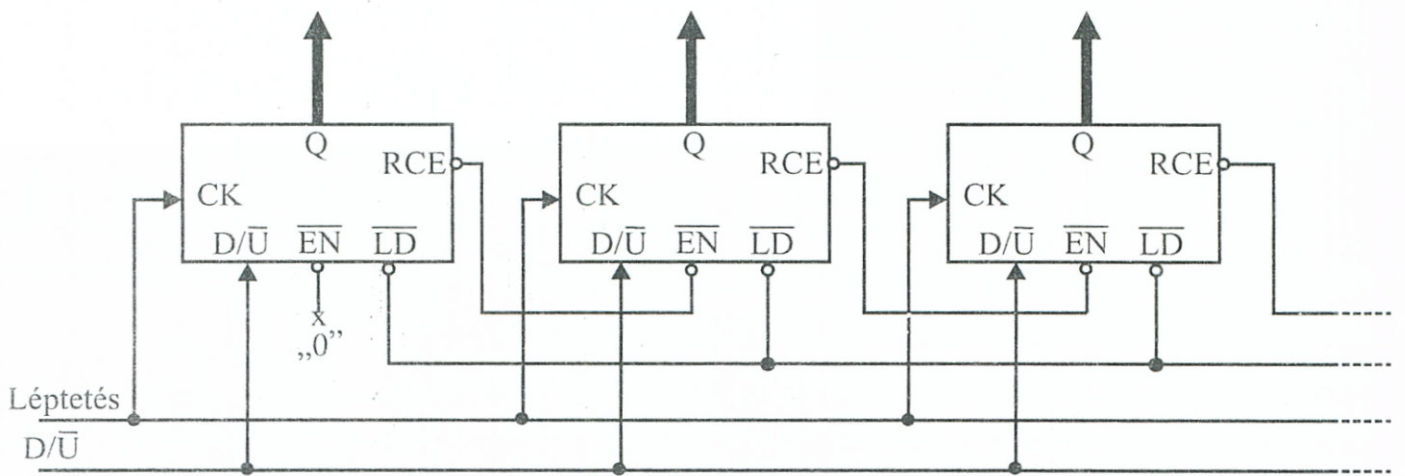
UP vagy DOWN esetén is a cikluson belül maradunk. A teljes hálózat a 12-158. ábrán látható.

F.10.20. Négyzetre emelésnél első ötletként önként adódik, hogy egy szorzóáramkör mindkét bemenetére ugyanazt a számot vezessük s így a szorzat a szám négyzete lesz. Ha azonban

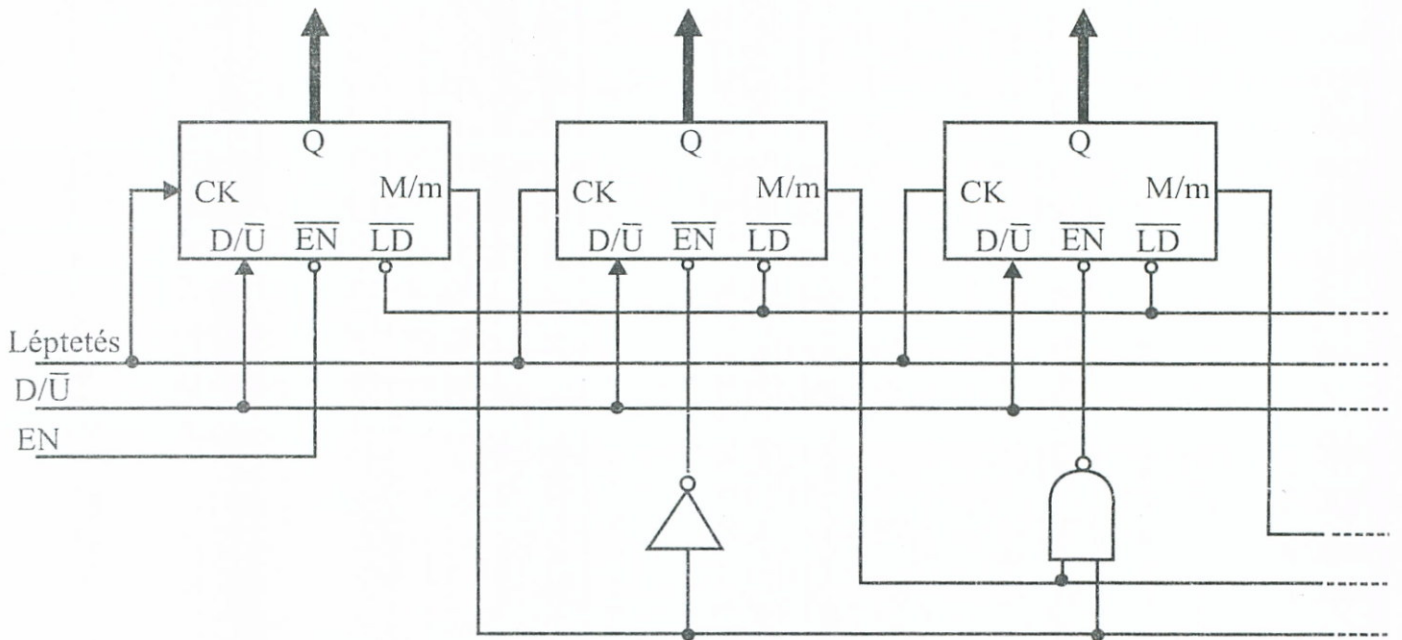




(a) Aszinkron kapcsolat, kaszkád elrendezés

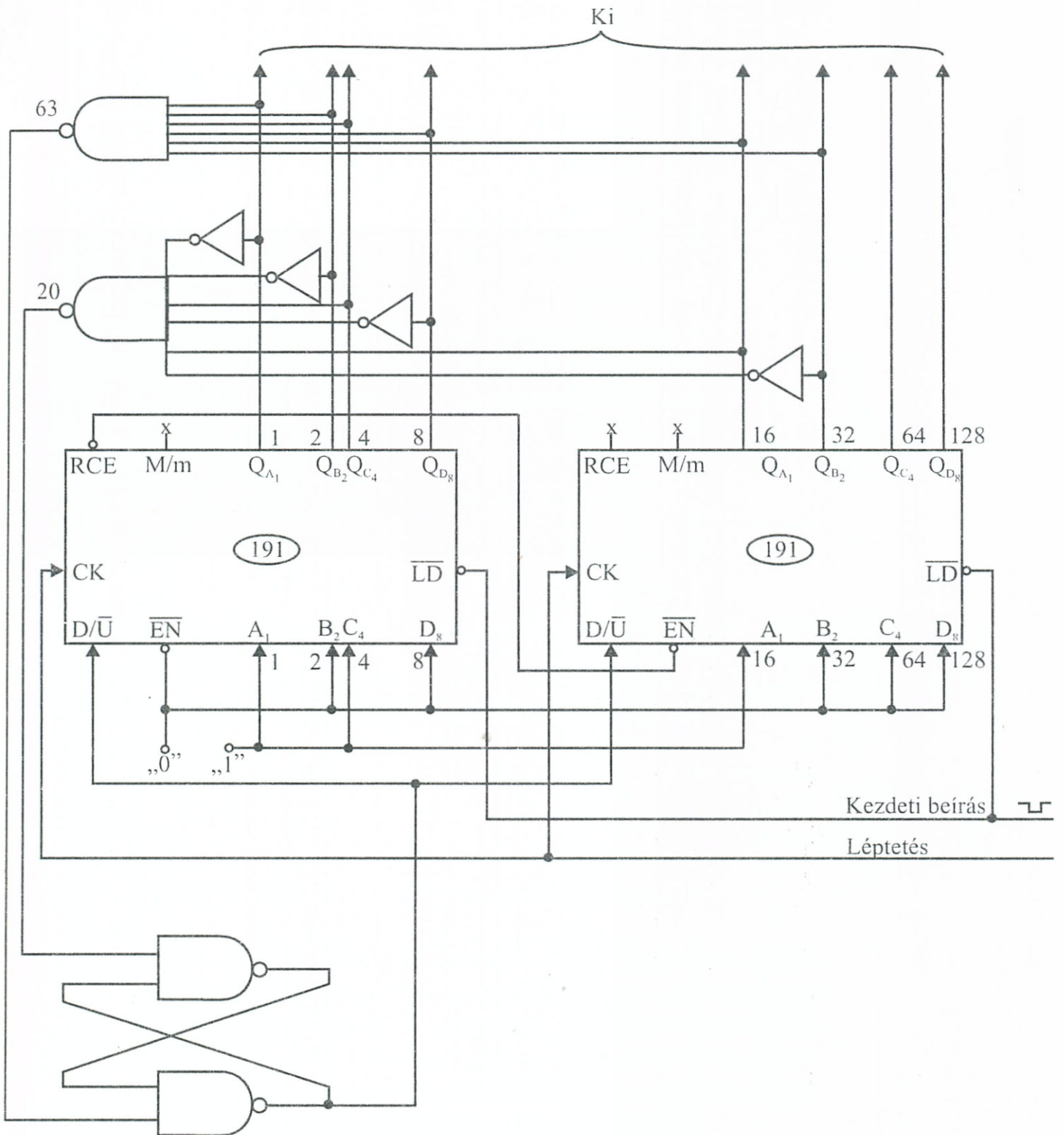


(b) Szinkron kapcsolat, kaszkád elrendezés



(c) Szinkron kapcsolat, párhuzamos elrendezés

12 - 157. ábra. Bővítési változatok



12 - 158. ábra. Számlálás 20 ↔ 63 ciklusban

kifejezetten a négyzetre emelés a cél, jóval egyszerűbb áramkörrel is célhoz érhetünk. Tekintsünk például egy 4-bites számot:  $A_3A_2A_1A_0$ . Állítsuk elő a négyzetre emelés részletszorzatait s vizsgáljuk meg ezeket, illetve az összeadásuk során keletkező jegyeket:

				$A_3$	$A_2$	$A_1$	$A_0$	$x A_3 A_2 A_1 A_0$
				$A_3 A_0$	$A_2 A_0$	$A_1 A_0$	$A_0 A_0$	
			$A_3 A_1$	$A_2 A_1$	$A_1 A_1$	$A_0 A_1$		
		$A_3 A_2$	$A_2 A_2$	$A_1 A_2$	$A_0 A_2$			
	$A_3 A_3$	$A_2 A_3$	$A_1 A_3$	$A_0 A_3$				
$S_7$	$S_6$	$S_5$	$S_4$	$S_3$	$S_2$	$S_1$	$S_0$	

Figyelembevéve a logikai ÉS idempotenciáját és kommutativitását, ez a szorzat kissé egyszerűbb alakban is előállítható. Némi átrendezés után kapjuk:

				$A_3$	$A_2$	$A_1$	$A_0$	$x A_3 A_2 A_1 A_0$
				$A_0 A_3$	$A_0 A_2$	$A_0 A_1$	$A_0$	
			$A_1 A_3$	$A_1 A_2$	$A_1$	$A_0 A_1$		
		$A_2 A_3$	$A_2$	$A_1 A_2$	$A_0 A_2$			
	$A_3$	$A_2 A_3$	$A_1 A_3$	$A_0 A_3$				
$S_7$	$S_6$	$S_5$	$S_4$	$S_3$	$S_2$	$S_1$	$S_0$	

Az  $S_i$  bitekre a következők fognak teljesülni:

$$S_0 = A_0$$

$$S_1 = 0$$

$$S_2 = A_1 + A_0 A_1$$

$$S_3 = A_0 A_2 + C_3$$

$$S_4 = A_2 + A_0 A_3 + A_1 A_2 + C_4$$

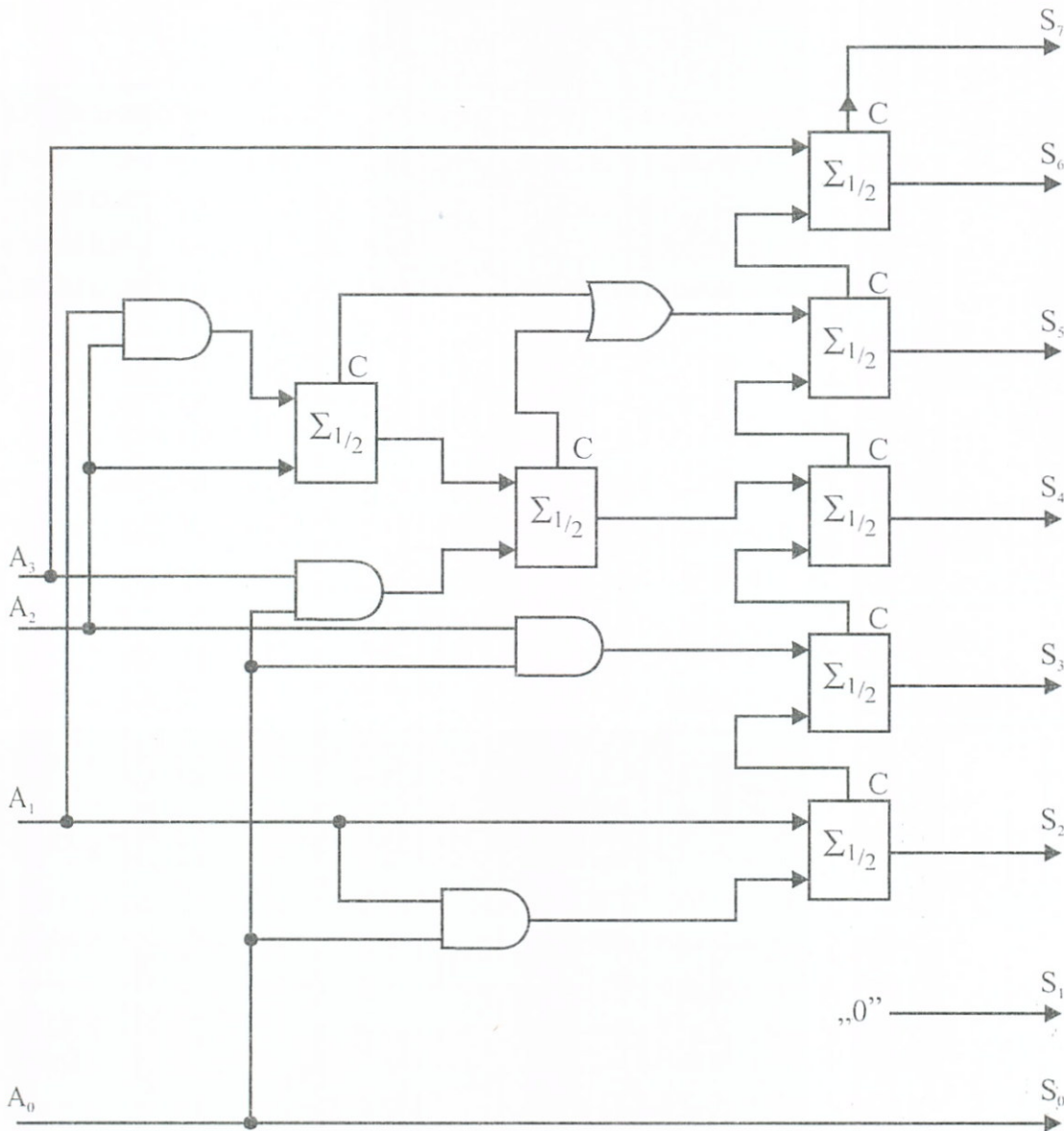
$$S_5 = C_5$$

$$S_6 = A_3 + C_6$$

$$S_7 = C_6$$

A fentiek alapján már felrajzolhatjuk a 12–159. ábrán látható 4-bites négyzetre emelő áramkört.

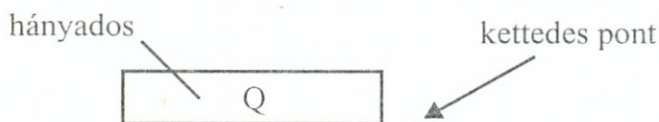
- F.10.21. Bináris számok egész hatványának kiszámítására (hasonlóan a négyzetre emeléshez), a legegyszerűbb módszer az ismételt szorzás. Természetesen magasabb hatványnál ez meglehetősen költséges megoldás, hiszen nagyon áramkörügyes. Ügyesebb áramkör, amelyet a következő elven készítünk: Tegyük sorossá a szorzások elvégzését, s használjunk csupán egy szorzóáramkört, amelynek a szélessége elegendő



12-159. ábra 4-bites négyzetreemelő áramkör

az  $(n - 1)$ -ik hatvány méretű szorzandó fogadására is. Ezután megfelelő vezérlővel, a kiindulási operandust tekintve szorzónak, előállítjuk a négyzetet, majd ezt visszaírjuk a szorzandó helyére s ezt újra megszorozzuk az eredeti operandussal stb. Ily módon  $n$ -lépésben előáll az  $n$ -edik hatvány.

F.10.23. A feladat tehát az, hogy megvizsgáljuk, miként használható fel a 10-76a. ábrában szereplő berendezés az  $A : B$ , ha  $A \geq B$  ún. egészhányadosú osztásnál. Ilyenkor a 10-75. ábrabeli helyzet a 12-160. ábrabelivé változik meg:



12-160. ábra. Hányados egész-hányadosu osztásnál

Ha a (10.41)-re vezető levezetés kiindulásánál  $n$ -lépéssel jobbra léptetjük el az osztandót, akkor „látszólag” kisebbé tesszük az osztónál, azaz hasonló feltételeket teremtünk, mint a „tört-hányadosú” osztás algoritmusánál fennálltak. Ezután – mint látni fogjuk – az algoritmus egész-hányadosú osztásra is használható lesz. Az elmondottakat formulárisan is elvégezve, itt

$$R_0 = A \cdot 2^{-n}$$

a korábban levezetett részmaradék formulába a mostani  $R_0$ -t behelyettesítve és a számításokat elvégezve kapjuk.

$$R_n = A - B(2^{n-1} \cdot Q_1 + 2^{n-2} \cdot Q_2 + \dots + Q_n)$$

innen átrendezéssel végül kapjuk:

$$\frac{A}{B} = \sum_{i=1}^n Q_i \cdot 2^{n-i} + \frac{R_n}{B}$$

ahol a hányados – mint a formulákból látható – nem tört. A szükséges blokkséma azonos lehet a 10–76a. ábrabelivel, viszont a 10–76b. állapotgráf egyes állapotainak tartalma módosul. Így a \*-os sorok változásaival:

$\alpha$  állapot: Indulás előtti feltöltésnél:

OSZTANDÓ	: $A \cdot 2^{-n}$	$\rightarrow Q$	*
OSZTÓ	: $B$	$\rightarrow X$	
TÖRLÉS	: $0$	$\rightarrow Z$	*
TÖRLÉS	: $0$	$\rightarrow CY$	
CIKLUSSZÁM	: $n$	$\rightarrow C$	

és az osztás után:

$\rho$  állapot:

$Q$	= HÁNYADOS	( $Q$ )
$Z$	= MARADÉK	( $R$ )
$X$	= OSZTÓ	( $B$ )
$C$	= CIKLUS VÉGE	( $0$ )

Osztandó:  $|A| = |-9_{10}| = 1001_2$  (Q-ba betöltve)  $n=4$   
 Osztó :  $|B| = |+4_{10}| = 0100_2$  (X-be betöltve)  $B_k=1100$

	CY	Z	Q	Q <sub>i</sub>	C	
$A \cdot 2^{-4} = R_0$	0	0000	100	1	4	
$2R_0$ $+B_k$		0001 1100	001			←
$+B$	0	1101 0100		0		} Vissza- állítás
$R_1$	✓	0001	001	0	3	
$2R_1$ $+B_k$		0010 1100	010			←
$+B$	0	1110 0100		0		} Vissza- állítás
$R_2$	✓	0010	010	0	2	
$2R_2$ $+B_k$		0100 1100	100			←
$R_3$	1	0000	100	1	1	
$2R_3$ $+B_k$		0001 1100	001	0		←
$+B$	0	1101 0100		0		} Vissza- állítás
$R_4$	✓	0001	001	0	0	
		Maradék ↑	Hányados ↑			
Ketteses vessző		$2^{-1}2^{-2}2^{-3}2^{-4}$	$2^{-1}2^{-2}2^{-3}2^{-4}$			

Maradék:  $R = 0001,0_2 = 1_{10}$

Hányados:  $Q = 0010,0_2 = 2_{10}$

Előjel:  $S_F = S_{osztó} \oplus S_{osztandó} = 0 \oplus 1 = 1 \longrightarrow$  NEGATÍV

**12 - 161 ábra.** Bináris osztás „egészhányadossal”

Mivel itt is előjel-abszolútértékes ábrázolás van, az előjelet a (10.43) összefüggéssel számíthatjuk.

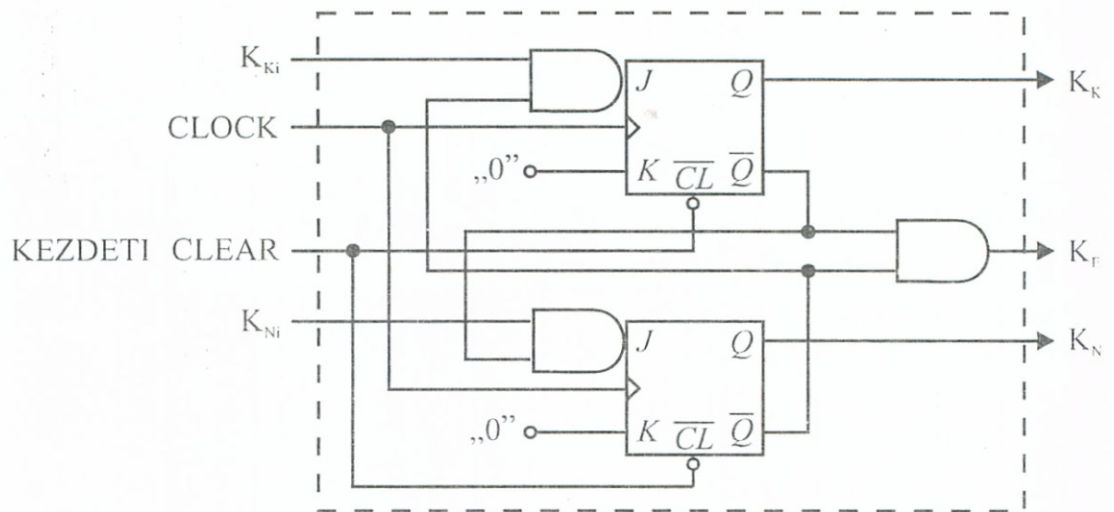
Szemléltetésül oldjuk meg a következő példát, melynek lépéseit a 12–161. ábrán követhetjük.

$$(-9) : (+4) = ?$$

Az ellenőrző-próba itt is a (10.38) alapján történhet:

$$\frac{|A|}{|B|} = \frac{9}{4} = Q + \frac{R}{B} = 2 + \frac{1}{4} = \frac{8}{4} + \frac{1}{4} = \frac{9}{4}$$

F.10.24. A 10–84. ábra soros komparátoránál szereplő KIÉRTÉKELŐ HÁLÓZAT-ra azért van szükség, mert a  $K_K, K_E, K_N$  kimeneteken megjelenő  $<, =, >$  eredménynek a teljes, „n”-bites kódszóra kell érvényesnek lenni. A KIÉRTÉKELŐ bemenetére érkező  $K_{Ki}, K_{Ei}, K_{Ni}$  értékek a léptetés során, minden bit-pozícióban változ(hat)nak. Az  $A, B$  operandusok nagyobb, ill. kisebb relációja akkor dől el egyértelműleg, mikor a léptetés során valamelyik bit-pozíciónál az  $A_i \geq B_i$  reláció kialakul. Ezután a léptetést már nem kellene folytatni, mivel az újabb (alacsonyabb helyértékű) bit-pozíciós összehasonlítások „felülírnák” a tényleges eredményt. Ennek elkerülésére az elsőként bekövetkezett  $A_i \geq B_i$  esetet tárolni kell, mivel ez lesz a végleges eredmény. Ha az  $A, B$  kódszavak egyenlőek, akkor a teljes „n” hosszra le kell folytatni a bit összehasonlításokat és csak az utolsó  $A_o, B_o$  összehasonlítását követően mondhatjuk ki az egyenlőséget. Egy ilyen kiértékelő hálózat realizációt rajzoltunk fel a 12–162. ábrán.



12-162. ábra KIÉRTÉKELŐ HÁLÓZAT soros komparátorhoz

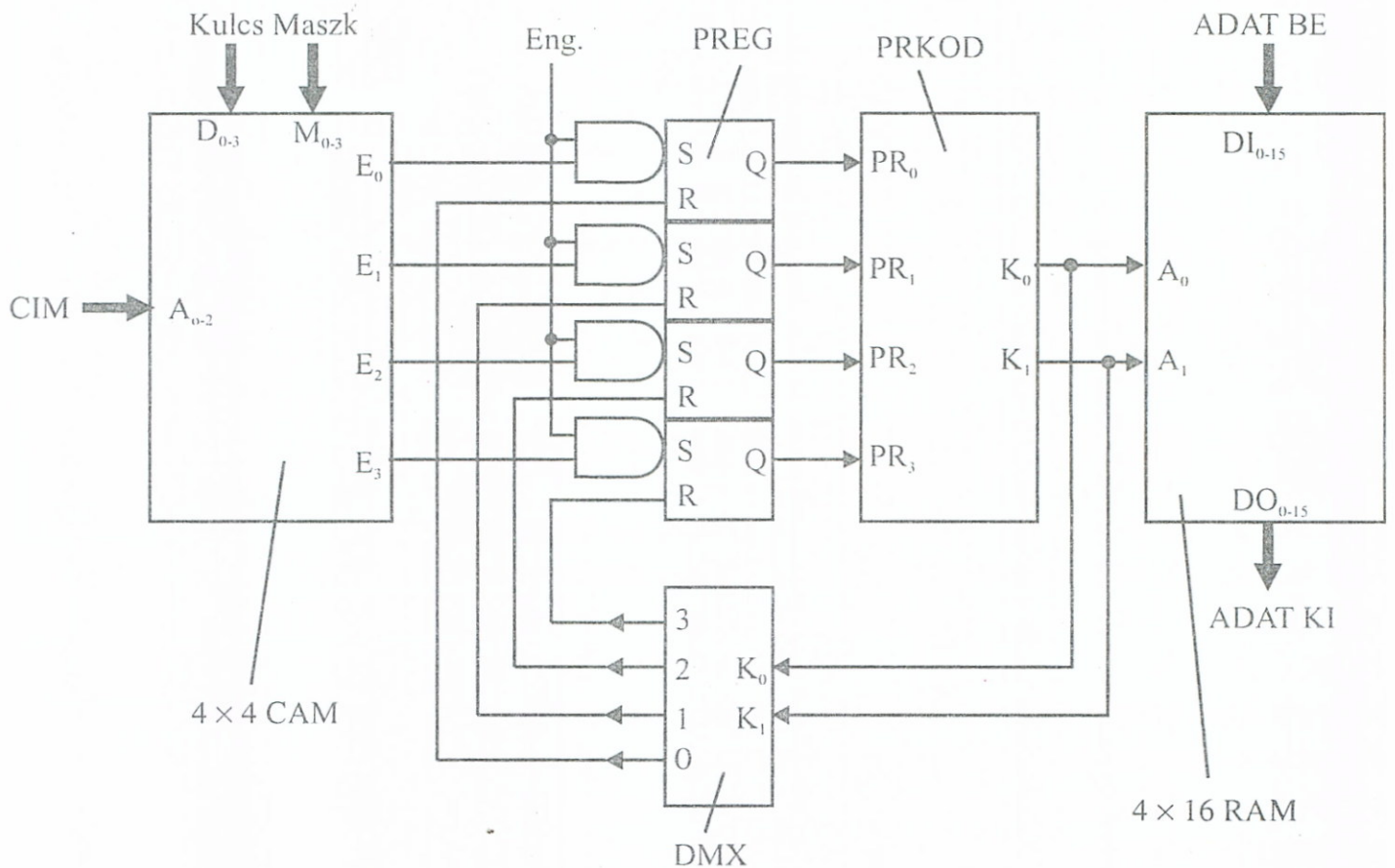
F.10.25. A feladat valójában egy 1/4-es frekvenciaosztó-hálózat, de az érdekesség a RAM-mal történő realizálás igényében rejlik. A korszerű digitális berendezésekben gyakran alkalmaznak az ún. átprogramozható (vagy újraprogramozható) logikákat, melyeknél a RWM-típusú memóriákba töltik be a megoldandó feladat *struktúráját* is a paramétereken túlmenően. Egy másik struktúra betöltésével valójában egy *másik áramkört* személyesítünk meg, miáltal az ún. többcélú digitális rendszerek felé teszünk egy lépést. Tulajdon-



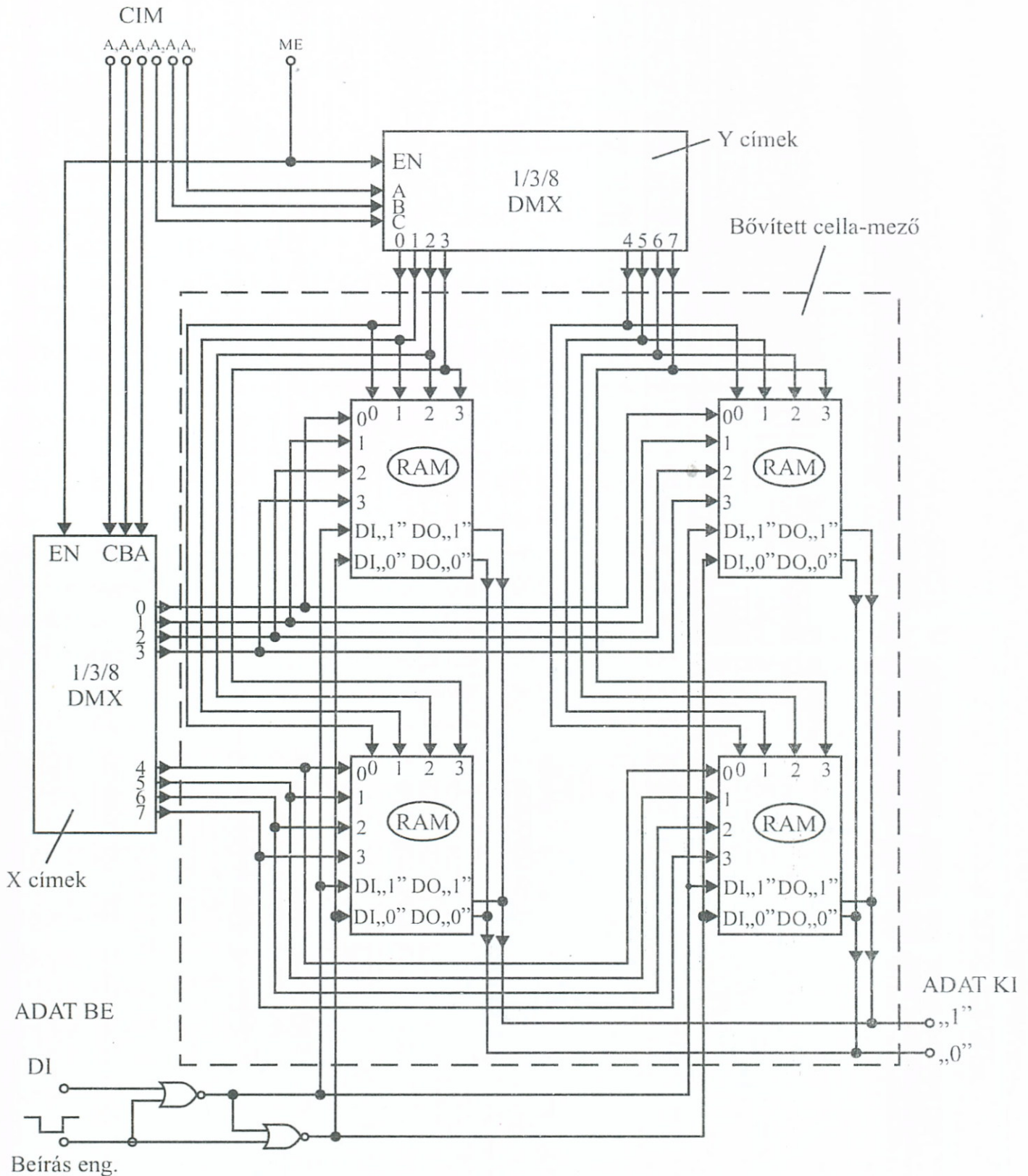


ziensek hatásának kiküszöbölése céljából) az *ME* bemenet-  
re adott léptetéssel is elősegíthetjük. Az áramkörnél feltün-  
tettünk előzetes beíró áramköröket is, melyek révén az  
üzemszerű használat előtt a RAM adatokkal feltölthető az  
 $A_0, A_1, A_2$  CÍM vezeték és a  $\overline{DI}_0, DI_1, DI_2$  adatbeíró vezeték-  
ek révén. A feltöltést a *P/M* üzemmód választóbemenet  
 $P/M = 1$  állapotával engedélyezzük, mikor is a visszacsato-  
ló hurok inhibálódik.  $P/M = 0$  esetén az  $A_1, A_2$  és az adat-  
bemenetek leválasztódnak, a visszacsatoló-hurok aktivizál-  
ódhat, valamint  $A_0 X$  bemenetté alakul át.

F.10.26. A feladatmegoldásnál a 10–100. ábrán vázolt gyorsított  
címezési elvet alkalmazhatjuk. Mivel itt több „*E*” alapján  
kell döntenünk, célszerű ezek között prioritási sorrendet ki-  
alakítanunk. Ennek érvényesítésére a 12–164. ábrán a CAM  
kimenetén megjelenő  $E_i$ -ket átmenetileg egy P–P típusú re-  
giszterben tároltuk (PREG), mely egy *prioritáson kódátala-  
kítóhoz* csatlakozik (PRKÓD). Az összekötés a kimenetek-  
hez rendelt  $PR_i$  prioritások figyelembevételével történt. A  
PRKÓD kimenetei képezik a csatlakozó RAM *címző* beme-



12 - 164.ábra. CAM - RAM gyorsmemória prioritásos címezéssel

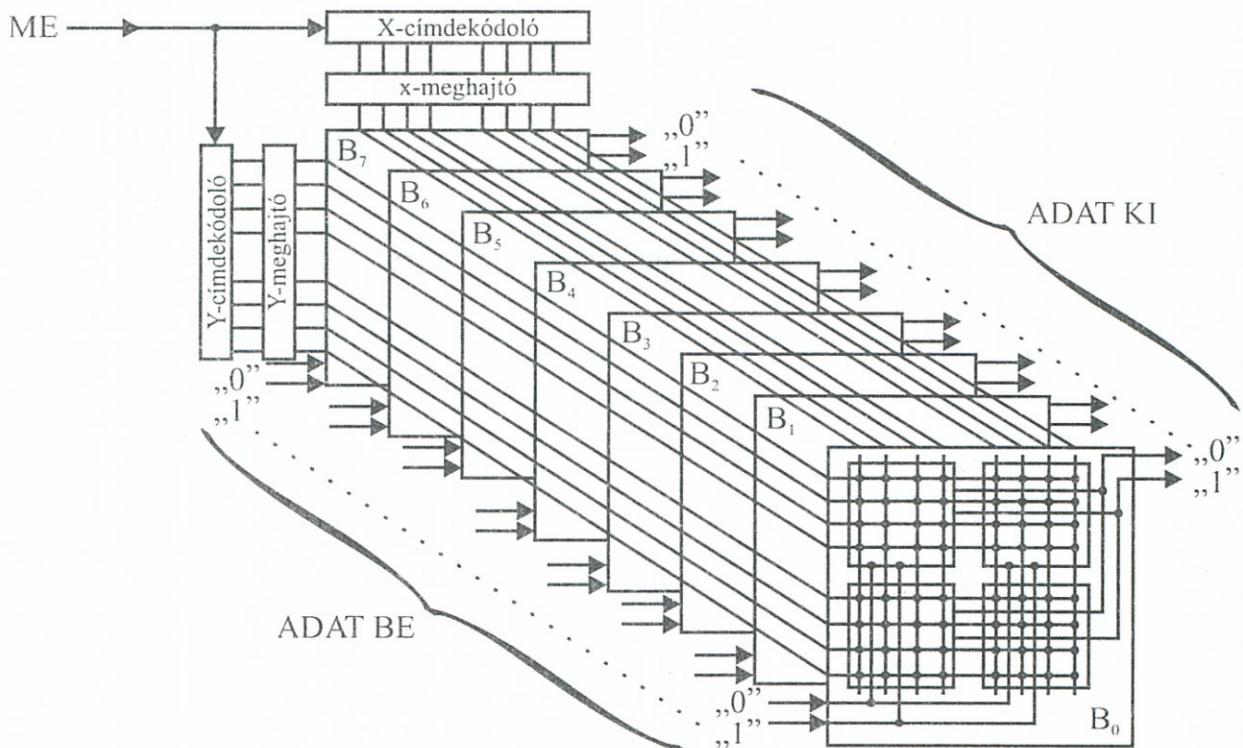
12-165. ábra  $64 \times 1$  bites bitszervezésű RAM

neteit, melyeken mindig a legmagasabb priorítás érvényesül. Egy adott  $PR_i$ -hez tartozó címzés befejezése után a „használt” cím-kódot egy kódátalakítóként működtetett DMX-re vezetjük, melynek az így aktivizált kimenete törli

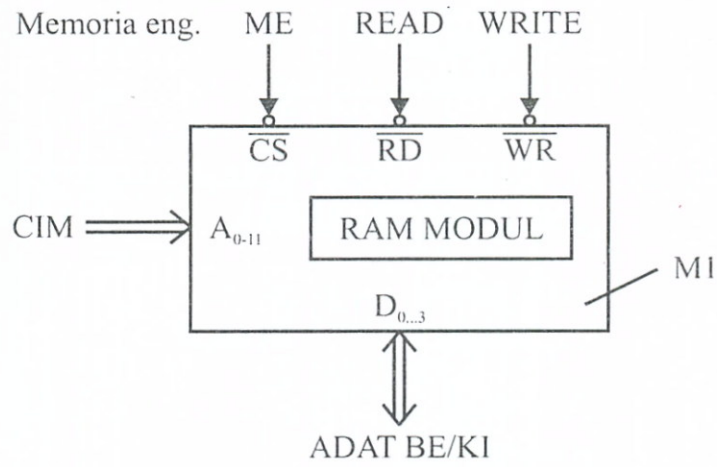
a  $PR_i$  címzés tárolóját, miáltal a  $PR_{i+1}$  prioritás lesz a legmagasabb és ez fogja meghatározni a következő RAM-cím kijelölését.

F.10.27. Esetünkben – mivel a szóhossz 1 bit – csupán *kapacitás-bővítésre* van szükség, és ehhez  $64:16 = 4$  db modulra lesz szükségünk. Tételezzük fel, hogy az adatkimeneti csatlakozások három-állapotúak, így másik modullal összeköthetők. A  $64 \times 1$ -bit  $X$ - $Y$  irányú címzéséhez 3-3 bit ( $2^6 = 64$ ) szükséges, melyet 1/3/8-as DMX-ek CÍMDEKÓDER-kénti felhasználásával biztosíthatunk. A DMX-ek EN bemeneteinek összekötésével előállíthatjuk a memória  $ME$  engedélyező bemenetét. A teljes hálózatot a 12-165. ábrán rajzoltuk fel.

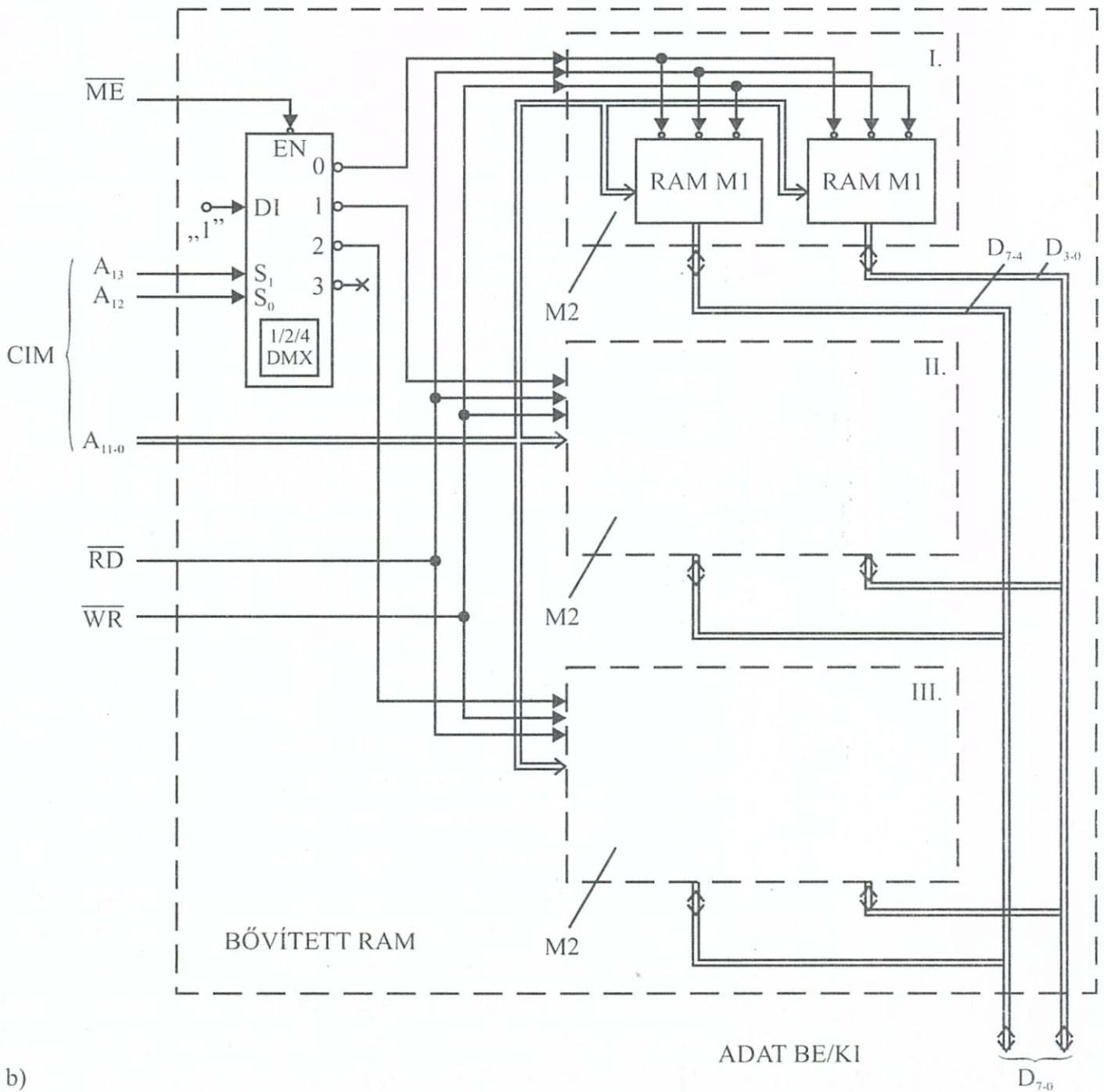
F.10.28. A kiinduló modult a 12-166. ábrában látható négyzetek képviselik, melyek  $64 \times 1$ -bit kapacitásúak, ennek megfelelően  $8 \times 8$  db tárolócellás mátrixot alkotnak. A rajzon minden pont egy-egy tárolócellát jelöl. Ebben a példában címkapacitás-bővítést nem kell alkalmaznunk, a kívánt 8-as szóhossz miatt viszont szóhossz-bővítés szükséges. Ezt például a 12-166. ábrán látható elvi elrendezéssel oldhatjuk meg, melynél az  $X$ - $Y$  CÍMDEKÓDEREK megnövekedett



12-166. ábra  $64 \times 8$ -as szószervezésű RAM kialakítása bővítéssel



a)



b)

12-167. ábra RAM szóhossz-, és kapacitásbővítés

áramköri terhelése miatt szükségessé váló MEGHAJTÓ fokozatokat is feltüntettük.

- F.10.29. A 12-167a. ábrán látható megadott RAM-modult megvizsgálva, megállapítható:

szóhossz:	4 bit	( $D_{0-3}$ -ből)
kapacitás:	4 kszó	( $A_{0-11}$ -ből)

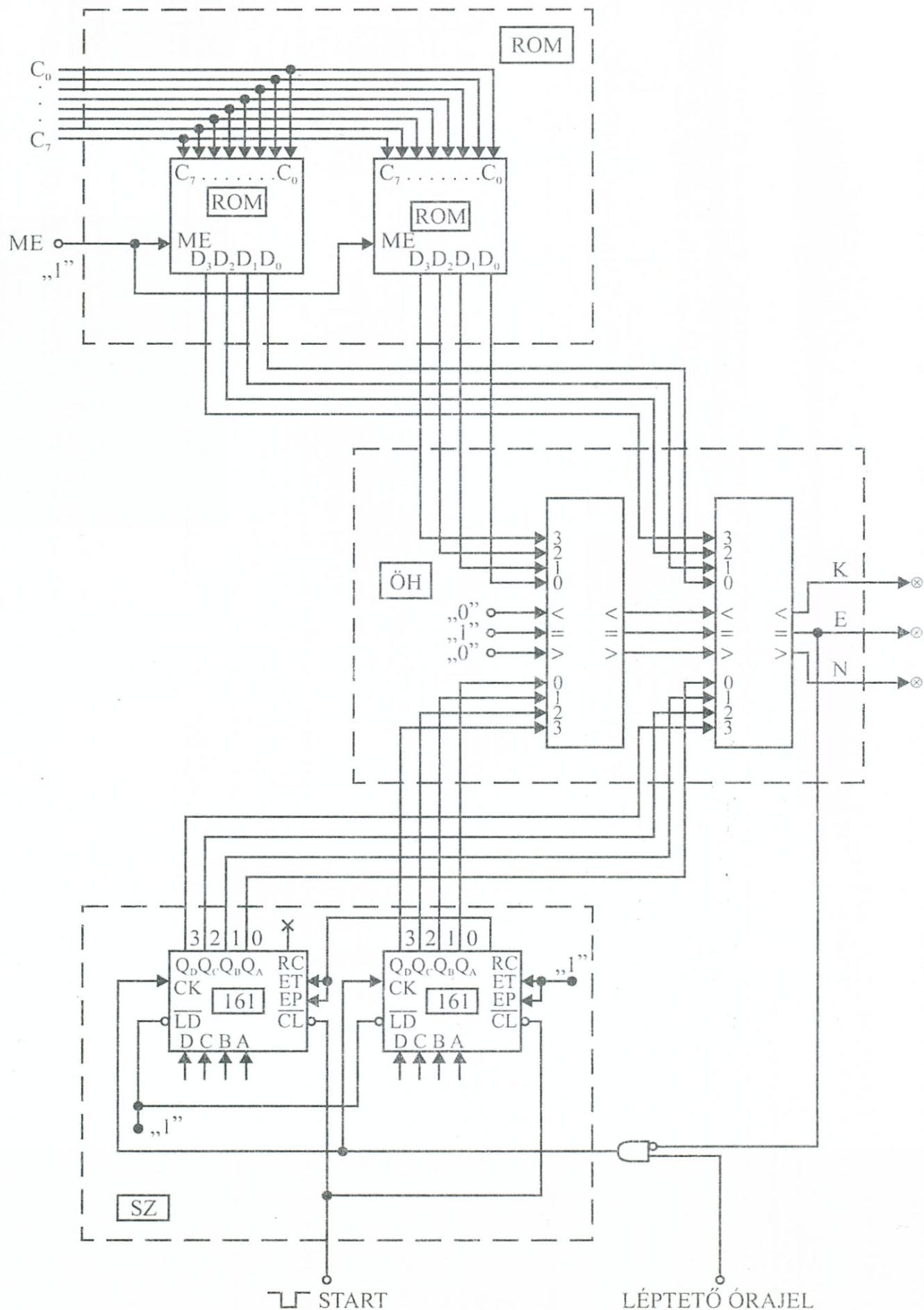
A kívánt 12 kByte-os memória kialakításához szükséges paraméterek:

szóhossz:	8 bit	(1 Byte = 8 bit)
kapacitás:	12 KByte	

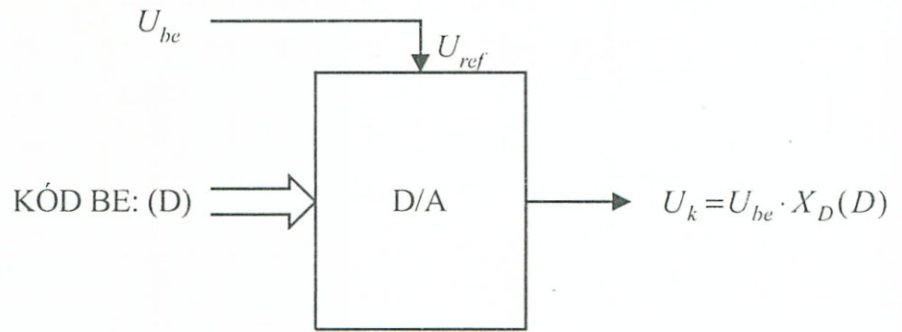
Azaz, mind szóhosszbővítésre, mind kapacitásbővítésre szükség van. A feladatot két lépésben oldjuk meg. Először szóhosszbővítést végzünk 8 bitre, melyhez 2 kiinduló M1-es modulból kialakítunk egy M2-es modult, majd ez utóbbiból annyit kapcsolunk össze, hogy a kívánt 12 kByte-os kapacitás kiadódjék. Az I, II. és III. modulegyüttes megcímezéséhez további *címzőbitek* is szükségesek, melyeket egy 1/2/4 DMX-esn keresztül csatlakoztatunk az M2 modulok  $\overline{CS}$  bemenetére. Az olvasás/írás vezérléshez a modulok  $\overline{RD}/\overline{WR}$  bemeneteit is össze kell kapcsolni. (12-167b. ábra)

- F.10.30. A feladatmegoldáshoz felhasználandó 4 bites modulokhoz tételezzük fel *számlálónak* a 10-29. ábra „161”-es modulját, *komparátornak* a 10-87. ábra „85”-ös modulját, és *ROM-nak* a 10-10a. ábra „ROM”-moduljának egy 4 bites változatát. Mivel a példa előírásai szerint, a kialakítandó berendezésben 8 bites adatok szerepelnek, ezért mindegyik összetevőnél *bővítést* kell alkalmaznunk.

A *számláló-bővítés* a 10-34. ábrán bemutatott elvek szerint történhet, a *komparátor-bővítés*hez a 10-88. ábra szolgálhat kiindulásul. A *ROM-bővítésnél* (a 8. címbemenet miatt) kapacitás-bővítés nem kell, így csupán szóhossz-bővítést kell végeznünk a 10-101b. ábrán bemutatott módon. A teljes hálózat a 12-168. ábrán került felrajzolásra. Az indító START jel a számlálót nullázza, majd ez az órajelek hatására mindaddig előre lépked, amíg a komparátor E egyenlőség jele – a léptető órajel letiltásával – a működést le nem állítja.



12-168. ábra Összetett bővítési példa



12–169. ábra Szorzó D/A átalakító

- F.10.31. Mindazon  $D/A$  átalakítókat, amelyek széles tartományban változtatható referenciafeszültséggel működtethetők, szorzó (multiplying) átalakítóknak nevezik. Használatos a digitális, vagy digitálisan vezérelt potenciométer elnevezés is. Ha felírjuk egy átalakító kimeneti feszültségét (12–169. ábra).

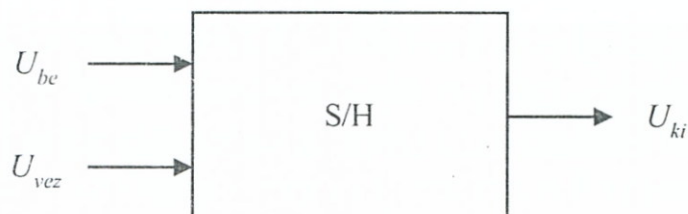
$$U_K = U_{ref} \cdot X_D(D) = U_{b \cdot e} X_D(D)$$

akkor ebből azonnal látható, hogy  $U_A$  két bemeneti mennyiség szorzata, amelyek közül az egyik analóg feszültség  $U_{ref}$ , a másik pedig egy digitális kódtól ( $D$ ) függő szám, amelynek értéktartománya:

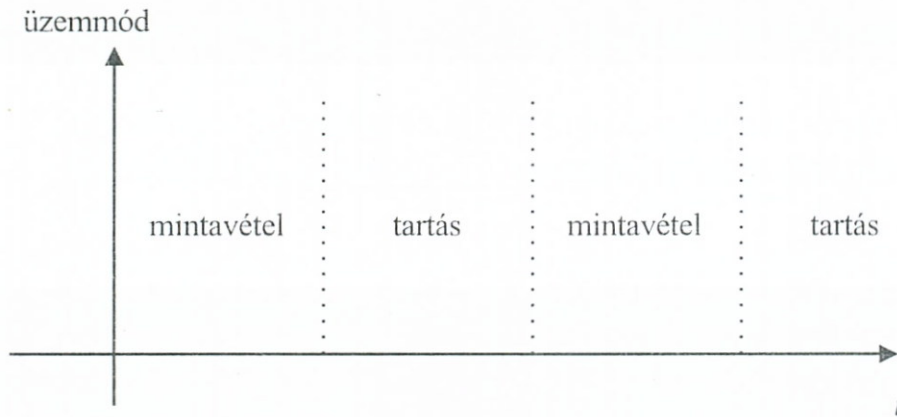
$$0 < X_D < 1$$

A felírt összefüggés unipoláris esetre vonatkozik. Ha  $U_{ref}$  kétpolaritású, akkor a szorzó két síknegyedes.

- F.10.32. Az  $S/H$  ún. mintavevő-tartó (SAMPLE TRACK/HOLD) áramköröket mintavevő (követő)-tartó áramköröknek is nevezik, és a 12–170. blokkjával ábrázolhatók. Az ábrán  $U_{be}$  a jelbemenet,  $U_{vez}$  a vezérlőfeszültség,  $U_{ki}$  pedig a jelkimenet. Működésükre jellemző a mintavételi-tartási periódusok időbeli váltakozása, ahol a periódusok eltérő hosszúságúak is lehetnek (12–171. ábra).

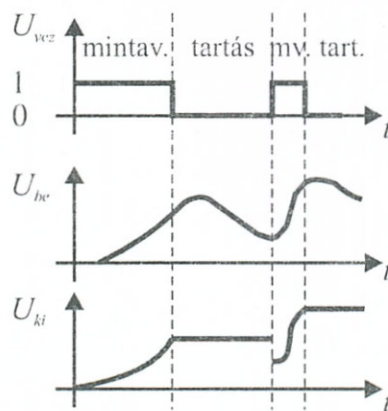


12–170. ábra Mintavevő-tartó áramkör



12-171. ábra

A mintavétel és -tartás problémáit már a 10.10. pontban a 10-113. ábrával kapcsolatosan érintettük, ott szerepelt egy nulladrendű tartókapcsolás is. A jelalakokat egy nulladrendű tartó esetére a 12-172. ábra mutatja.



12-172. ábra Mintavételező-tartó működése

Az analóg jel az  $U_{he}$  bemenetre érkezik, az  $U_{vez}$  vezérlőjel egy kapcsolójel, mely  $U_{vez} = 1$  esetén mintát vesz és ez alatt az idő alatt a berendezés követi az analóg jelet.  $U_{vez} = 0$ -ára kapcsolásakor az utolsó jelérték tárolódik, a berendezés *tartó* állapotba áll be.

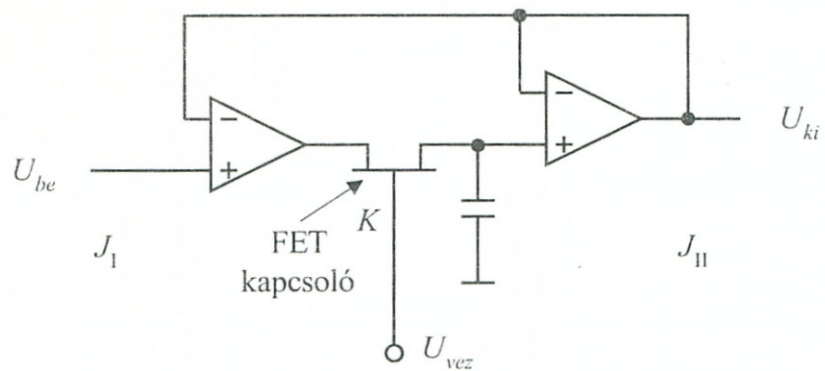
A *nulladrendű* tartó egy nagyon egyszerű elvi áramköri változata a 10-113b. ábrán látható, ott

$$U_{be} = J_I$$

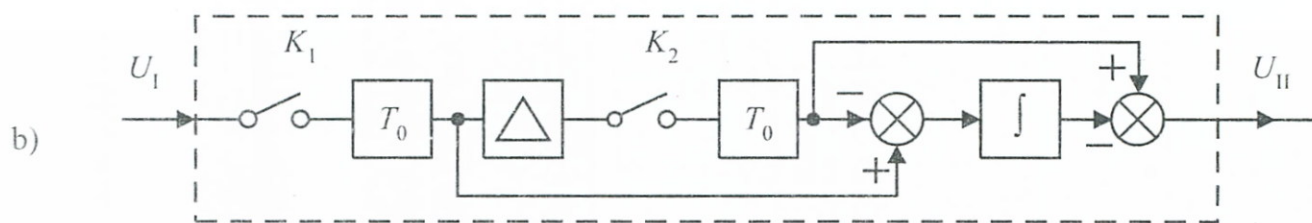
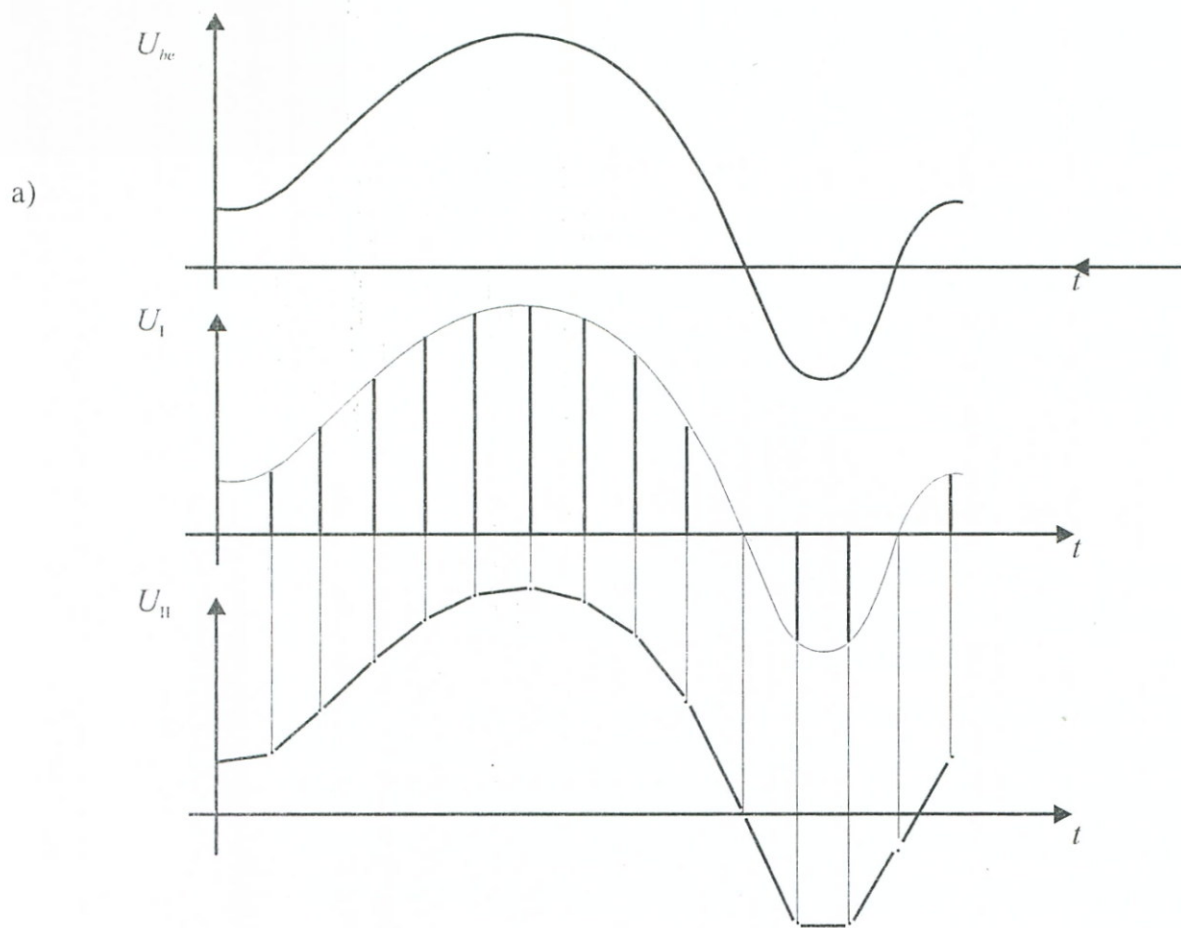
$$U_{vez} = K$$

$$U_{ki} = J_{II}$$





12-173. ábra Egy alkalmazott S/H kapcsolás



12-174. ábra Elsőrendű interpoláló tartó jelei és blokkvázlata

Egy gyakorlatban használatos megoldást rajzoltunk fel a 12–173. ábrán.

Az áramkör visszacsatolás révén biztosítja azt, hogy mintavételezéskor  $C$  töltése vagy kisütése kis impedanciáról történjék.

Az *elsőrendű* tartóknál a mintavételezések közötti tartások nem vízszintes görbeszakaszok, hanem interpolálással vagy extrapolálással előállított ferde-törtvonalas közelítések. Egy elsőrendű interpoláló tartó blokkvázlata látható a 12–174b. ábrán, a jelviszonyokat a 12–174a. görbék mutatják. A blokk-sémán látható  $K_1$ ,  $K_2$  kapcsolók mintavételkor „nagyon gyorsan” záródnak és feltöltik a  $T_0$  tartókban levő kondenzátorokat a kapcsoló feszültségére. A  $\Delta$  blokk időkésleltető áramkör. A kapcsolás ezeken kívül még tartalmaz kivonó és integráló tagokat is, az interpoláció végrehajtása érdekében.

### 12.11.1. Gyakorló feladatok a 11. „Szoftver és hardver vegyes alkalmazásán alapuló digitális rendszerek” c. fejezethez

- \*G.11.1. Kövessük végig a NOP-utasítás végrehajtásának mozzanatait a 12-1. ábra hardverjén.
- \*G.11.2. Kövessük végig a CALL CIMS utasítás végrehajtásának mozzanatait a 12-1. ábra hardverjén.
- \*G.11.3. Mi lesz az *AC*-ben az alábbi programrészlet végrehajtásának végén?

```
⋮  
XRA  A  
ORI  05H  
MVI  D,11  
DCR  D  
ADD  D  
HLT
```

- \*G.11.4. Mi lesz a *C* regiszterben az alábbi programrészlet HLT utasítása idején?

```
⋮  
STC  
MVI  A, A4H  
RAR  
ANI  FFH  
MOV  C, A  
HLT
```

- \*G.11.5. A MEM memória *adatmezejében* egymás mellett van egy PERC és egy ÓRA-rekesz. Írjuk meg azt az IDŐMÉRŐ szubrutint, amelyet pontosan minden percben kívülről meghívunk és amely percenként felfrissíti a PERC és az ÓRA-rekeszekben a pontos időt.

- G.11.6. Terjesszük ki a G.11.5. feladatot. MÁSODPERC, PERC, ÓRA, NAP, HÓNAP, ÉV adatokkal dolgozó időmérővé.
- \*G.11.7. Adva a MEM memória adatmezejében egy CIMK adott kezdőcímű adatcsoporthoz, mely  $L = 100$  db szót tartalmaz. Írjunk assembly szubrutint, amely az  $L = 100$  szóban levő számadatok közül kikeresi a *legnagyobb* és a *legkisebbet*, majd a *legnagyobb* a 12-28. ábrabeli CPU-nak B regiszterében, a *legkisebbet* pedig a C regiszterben tárolja.
- \*G.11.8. Vázoljuk fel, hogy miként alakul a 11.3. Példa hardver be-  
rendezése, ha INTERFÉSZ-ként PIO egységet alkalmazunk.

## 12.11.2. Feladatmegoldások a 11. fejezethez

- F.11.1. A NOP utasítást a program „lyukas” helyeinek „töltelék-ként” szokták alkalmazni, rendszerint valamilyen későbbi feladat érdekében. A NOP utasításnál, a nevének megfelelően (NOP = No OPeration) érdemleges művelet nem történik, csupán azt kell biztosítani, hogy a program rajta tovább juthasson. Ehhez elegendő, hogy a PC programszámláló inkrementálódjon. Miután ez magában a FETCH-ben megtörténik, így további teendőkre már nincs szükség.
- F.11.2. Itt a 11.3.2.1. pontban elmondottakból indulunk ki, melyek szerint a CALL CIMSRS egy  
– PC STACK-be mentési (PUSH) és egy  
– JMP CIMSRS ugrási műveletből áll.  
A részletezett lépéseket – a korábbi esetekhez hasonlóan – táblázatosan foglaltuk össze a 12-175. ábrán.

## 12. Gyakorló feladatok és megoldásaik

CIKLUS	ELEMI HARDVER MŰVELET	MAGYARÁZAT
1. FETCH	FETCH	– Mindig egyforma
2.	$SP \leftarrow SP - 1$ $CR \leftarrow SP$ $PC \leftarrow PC + 1$ $DR \leftarrow PC$ PUSH $(CR) \leftarrow DR$	– PC tárolási helyének kijelölése a STACK-ben – STACK megcímezése – A visszatérési PC beállítása – PC tárolásának előkészítése – PC tárolása a STACK-ban
3.	$PC \leftarrow PC - 1$ $CR \leftarrow PC$ $DR \leftarrow (CR)$ UGRÁS SZUBRUTIN- RA $PC \leftarrow DR$	– PC visszaállítása CIM SR rekeszéhez – CIM SR rekeszének megcímezése – CIM SR értékének kiolvasása – CIM SR áttöltése PC-be

12–175. ábra CALL CIMSR utasítás végrehajtásának mozzanatai a 12-1. ábra HW-énél

F.11.3. A 12-31a. ábra utasításkészletének alapján felírhatók a következők (12–176. ábra).

ASSEMBLY	HATÁS	BINÁRIS KÓD		
XRA A	$A \leftarrow A \oplus A$	A	0000	0000
ORI $\emptyset 5H$	$A \leftarrow A \text{ or } \emptyset 5H$	A	0000	0000
		$\emptyset 5H$	0000	0101
		$A \leftarrow$	0000	0101
MVI D, 11H	$D \leftarrow 11H$	D	0001	0001
DCR D	$D \leftarrow D - 1$	D	0001	0001
		-1	-0000	0001
		$D \leftarrow$	0001	0000
ADD D	$A \leftarrow A + D$	A	0000	0101
		D	+0001	0000
		$A \leftarrow$	0001	0101
HLT				

Végül AC tartalma:  $00010101_2 = 15H$

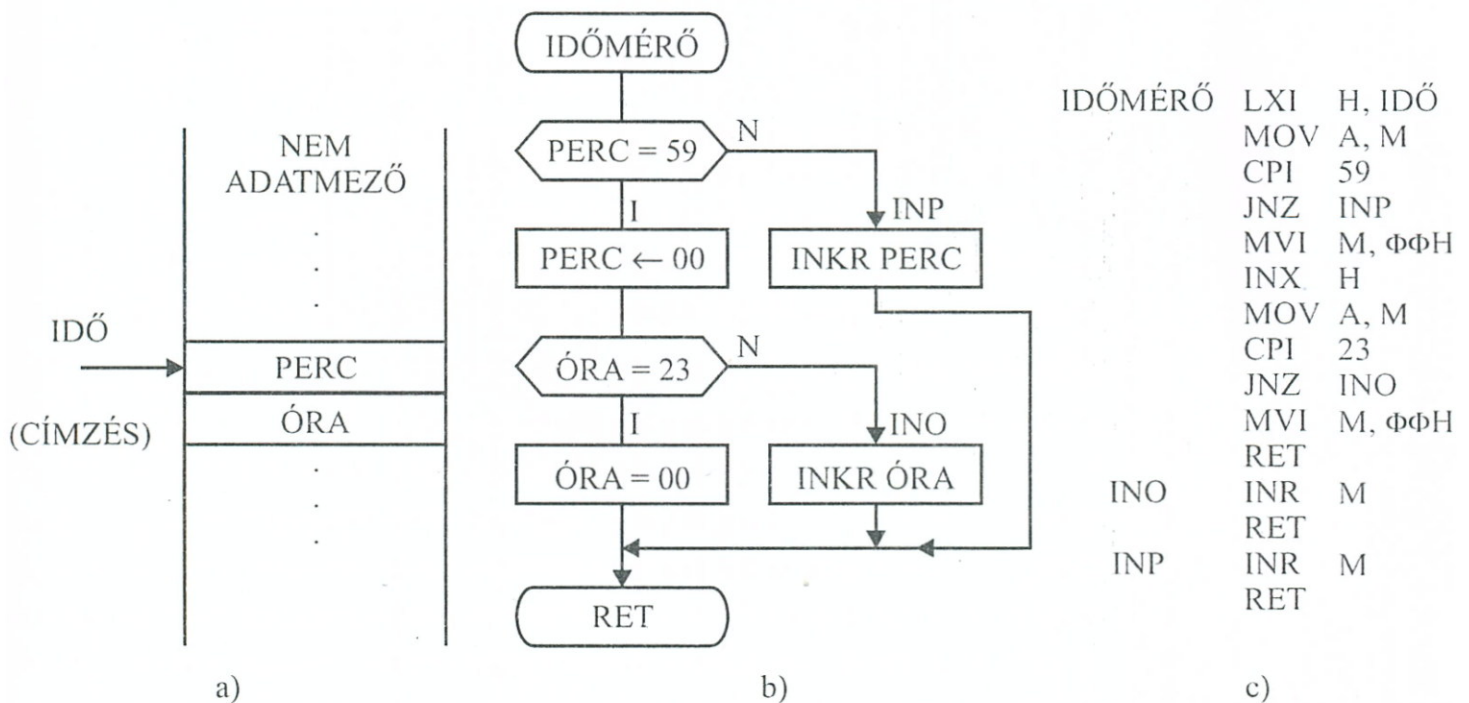
12–176. ábra Az F.11.3. példa-megoldás

F.11.4. Hasonlóan az előző példához, felírható a 12-177. ábra

ASSEMBLY	HATÁS	BINÁRIS KÓD	
STC	$CY \leftarrow 1$	$CY = 1$	
MVI A, A4H	$A \leftarrow A4H$	A	1010 0100
RAR	$CY \rightarrow A$ 	$CY \xrightarrow{1} A$ 0 ←	1101 0010
ANI FFH	$A \leftarrow A$ and FFH	A	1101 0010
		FF	1111 1111
		$A \leftarrow$	1101 0010
MOV C, A	$C \leftarrow A$	$C \leftarrow$	1101 0010

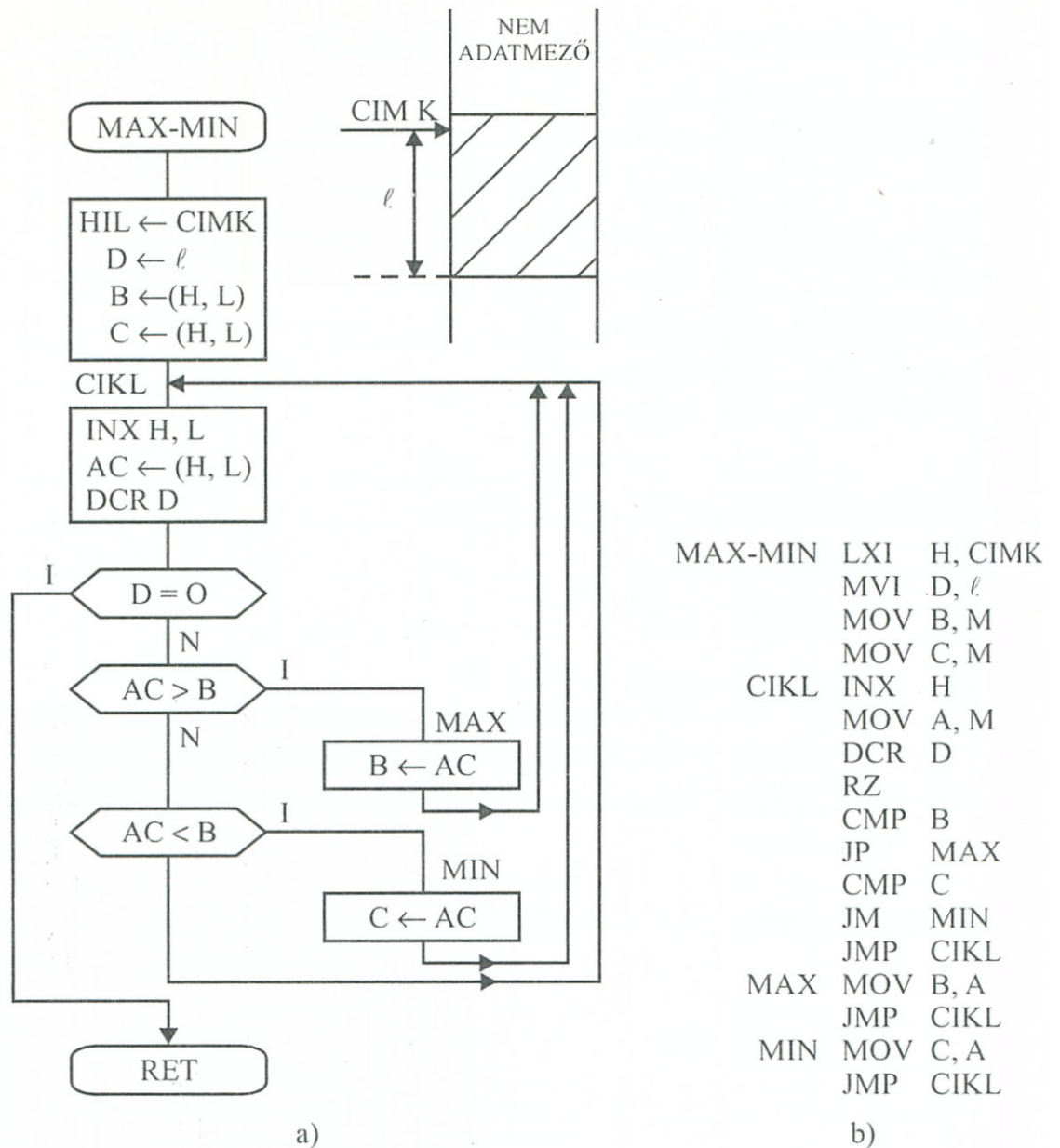
12-177. ábra Az F.11.4. példa-megoldás

F.11.5. A PERC és ÓRA-rekeszek helyét a memóriában a 12-178a. ábra mutatja az IDŐ nevű címmel. A folyamatábra a 12-178b. ábrán látható, míg az assembly programot a 12-178c. ábrában írtuk meg.



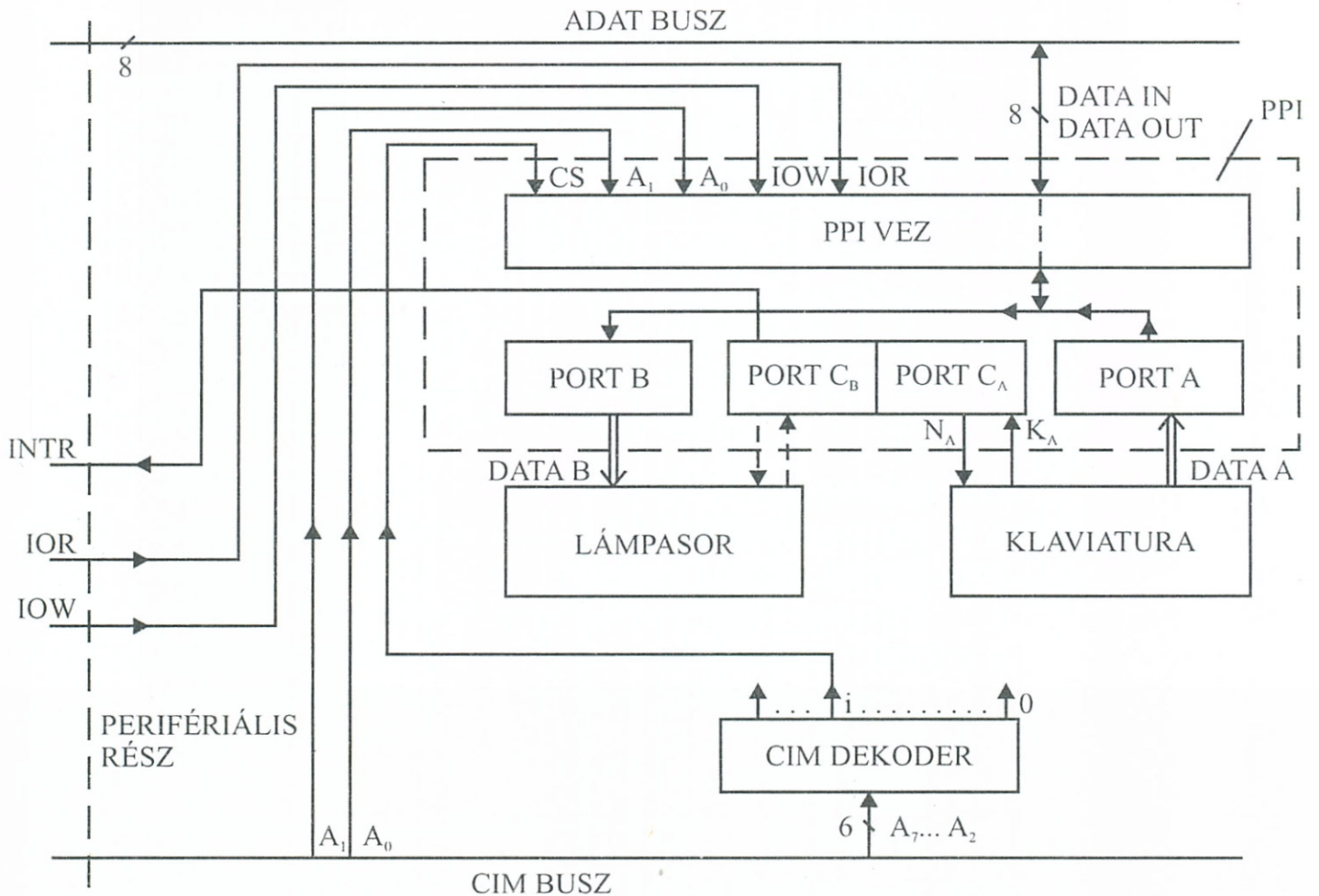
12-178. ábra IDŐMÉRŐ program az F.11.5. példamegoldáshoz

F.11.7. A részletezett folyamatábrát a 12-179a. ábra mutatja. Az assembly programot a 12-179b. ábrán írtuk meg.



12-179. ábra Folyamatábra és assembly program az F.11.7. feladatmegoldáshoz

F.11.8. A PIO egységeket, a gyártó cégek (INTEL, MOTOROLA stb.) többféle változatban állítják elő. A működési leírásokat, paramétereket, a felhasználási mintapéldákat *katalógusokban* bocsátják a felhasználók rendelkezésére. Ezek részletes ismerete nélkül a 11.3. Példa PIO-s változatát csak „körvonalazottan” tudjuk megoldani. A PIO-egység általános vázlatával kapcsolatosan már említettük, hogy egy PIO egységben általában több PORTi-t is beépítenek. Induljunk ki egy, az INTEL cég által forgalmazott PIO egységből (ezt ott PPI – Parallel-Peripheral-Interface-nek is nevezik), mely 3 db PA, PB, PC port-ot tartalmaz. A 12–180. ábrán felraj-



12-180. ábra KLAVIATURA-LÁMPASOR illesztése PPI-vel a 11-36. ábra rendszeréhez

zoltunk egy olyan blokkvázlatot, amely egy ilyen PPI-t használ fel, és amely blokkvázlattal a 12-36. ábra szaggatott vonaltól jobbra eső – „perifériális rész” helyettesíthető – a feladatmegoldásnak megfelelően.

A PPI-ben található PORTi-eket *külön-külön* meg lehet címezni. Egy gyakran alkalmazott megoldásként válasszuk a PORT-címzésre a címbusz legalsó (A1A0) bitjeit, melyekkel pl. a 12-181a. ábra táblázata szerint címezhetjük meg PA, PB, PC-t és lehetőségünk van még a PIO VEZ blokk külön megcímezésére is. Ez utóbbi azért fontos, mert a működtetés érdekében a PPI-t többféle *működési mód*ba kell majd beprogramoznunk ún. CONTROL WORD (CW) *vezérlőszavak* felhasználásával. A vezérlőszavak (hasonlóan, mint a SIO-nál már láttuk) az *adatbuszon* érkeznek a CPU felől, 8 bites, párhuzamos formában. Ha a PA, PB, (PC) blokkok vannak megcímezve, akkor az adatbuszon ADAT



## 12. Gyakorló feladatok és megoldásaik

### PORT címzése:

$A_1 A_0$	PORT és VEZ
0 0	PA
0 1	PB
1 0	PC
1 1	PPI VEZ

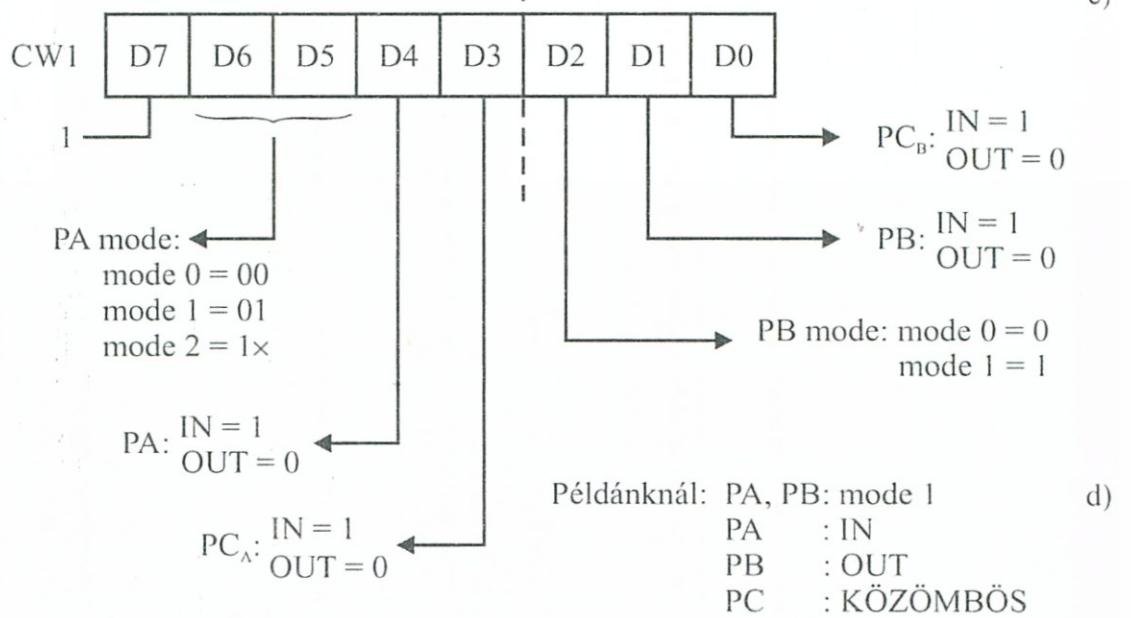
a)

### mode változatok:

mode	JELLEMZŐK
mode 0	PA, PB, PC független PORT-ok
mode 1	PA, PB, független PORT-ok PC vezérlő feladatokat lát el hand shaking vezérlés
mode 2	PA, PB, független PORT-ok PA kétirányú adatátvitelre alkalmas PB egyirányúra PC vezérlő feladatokat lát el hand shaking vezérlés

b)

### CONTROL WORD:



CW1: 

1	0	1	1	X(0)	1	0	X(0)
---	---	---	---	------	---	---	------

 = 10110100<sub>2</sub> = B4 Hexa

### CIMZÉSI VISZONYOK:

$A_7 A_6 A_5 A_4 A_3 A_2$	$A_1 A_0$	CIM PORT <sub>i</sub>	CIM HEXÁBAN
	0 0	PORT A	4 C
0 1 0 0 0 0	0 1	PORT B	4 D
(például felvéve)	1 0	PORT C	4 E
	1 1	PPI VEZ	4 F

CS |

e)

12-181. ábra PPI működési paraméterek beállítása

(DATA) információ áramlik, ha a PIO VEZ-t címezzük, akkor az adatbuszon VEZÉRLŐ SZÓ érkezik a CPU felől. A vezérlő szó tartalmazza az egyes PORT-ok adatátviteli irányítottságát (IN, OUT), továbbá a PPI működési módját. A lehetséges működési módokat a 12–181 b. ábrán soroltuk fel. Egy vezérlő szó bitenkénti felépítését tanulmányozhatjuk a 12–181c. ábrán. A vezérlő szót – adott felhasználási helyzetnek megfelelően – bitenként *ki kell tölteni*, és az így keletkező bináris számot HEXA formában már, mint egy *átvitelre jellemző konstans* tekintjük.

Jelen feladatunknál – az átvitel megbízhatóságának javítása érdekében – válasszuk a 11.4.3.1. pontban már említett *hand shaking* üzemmódot. Miután a 12–180. ábrából láthatóan mind PA, mind PB egyirányú adatátvitelt kell hogy végezzenek, ezért a PPI-t a 12–181b. ábra alapján: mode 1-be kell majd beállítanunk. Az adatátviteli irányoknál:

PA IN (befelé)

PB OUT (kifelé)

értelemben kell majd programoznunk. A hand shaking üzemmódban a PC port csatlakozó vezetékai a 11.4.3.1. pontban ugyancsak említett:

K – „adatot fogok küldeni” (kezdő)

N – „adat megjött” (nyugtázó)

jelek feladatait látják el, mégpedig úgy, hogy a  $PC_H$  (felső négy bit) a PA-t, a  $PC_L$  (alsó négy bit) a PB-t szolgálja ki az átvitel során. (PC szabadon maradt bitjeit – egyes PPI-típusoknál még ki lehet pl. adatátvitelre használni.)

A körvonalazott működési feltételek alapján már kitölthető a 12–180 ábrában szereplő PPI-re az aktuális CW *control word*, melyet a 12–181d. ábrán mutattunk be részleteiben. A PPI-k egyes típusait alkalmassá tették INTERRUPT üzemmódra is, ezt a 12–180. ábrán ugyancsak feltüntettük.

A PPI CONTROL WORD valójában lehet:

- COMMAND WORD (Parancs típusú), melynél a CPU parancsokat küld a PPI-nek;

- STATUS WORD (Lekérdező típusú), melynél a CPU lekérdezi a PPI-t az egyes kimeneti csatlakozások jel-állapotaira vonatkozóan.

A 11–36. ábrabeli HW PPI-vel történő módosításának kihatása van a *szoftverre is*. A berendezés áram alá helyezése után, itt is be kell írni a PPI VEZ-be a CONTROL WORD-öt, azért, hogy a PPI a 12–180. ábra szerinti működésre legyen *felprogramozva*. Ez az *inicializálás*, amely a HW építését „helyettesíti”. Az inicializáló program:

```

:
MVI          A, B4 H    AC ← CW 1    } lásd:
OUT          4F         PPI VEZ ← AC } 12–181e. ábra
:

```

Ezután a PPI működésre kész.

Valamelyik gomb megnyomása után, itt is IT-vel indulhat a működés, majd ráugrunk az IT szubrutinra. A PPI-s változatnál az ITSR-ben

CIM KL helyébe: CIM PORT A (4CH)

CIM LP helyébe: CIM PORT B (4DH)

kerülnek.

Az INTERFÉSZ egységek részletesebb tárgyalásával az alkalmazás orientáltabb irodalmi források és a MIKROSZÁMÍTÓGÉP-es szakirodalom foglalkoznak.

# NÉHÁNY TÁJÉKOZTATÓ IRODALMI FORRÁS

- Dr. Simonyi Károly: Elméleti villamosságtan. Tankönyvkiadó, 1960.
- Dr. Fodor György: A Laplace transzformáció műszaki alkalmazása. Műszaki Könyvkiadó, 1962.
- J. Millman–A. Grabel: Microelectronics. Mc Graw-Hill, 1988.
- Hollós–Dr. Vágó: Villamosságtan I–III. LSI Kiadás, 1990.
- Dr. Komarik József: Analóg elektronika. LSI Kiadás, 1990.
- Dr. Szittyá Ottó: Logikai kapcsolástan. Tankönyvkiadó, 1971.
- Zvi Kohavi: Switching and Finite Automata Theory. Mc Graw–Hill, 1980.
- Dr. Szittyá Ottó: Logikai rendszerek és szekvenciális automaták. Tankönyvkiadó, 1986.
- Dr. Flesch István: Logikai rendszerek tervezése. Példatár. Tankönyvkiadó, 1987.
- Dr. Arató Péter: Logikai rendszerek tervezése. Tankönyvkiadó, 1988.
- U. Tietze–Ch. Schenk: Analóg és digitális áramkörök. Műszaki Könyvkiadó, 1990.
- M. A. Harrison: Introduction to the Switching and Automata Theory. Mc Graw–Hill, 1970.
- Theisz–Gruber–Jagudits: Digitális technika I. Tankönyvkiadó, 1977.
- Bohus–Horváth: Digitális számítógépek. Tankönyvkiadó, 1982.
- Dr. Szittyá Ottó: Digitális elektronika I–V. kötet. LSI Kiadás, 1990.
- Gerdai Gábor: Programozható áramkörök. Távközlési Kiadó, 1992.
- Dr. Szittyá Ottó: Bevezetés az elektronikába. LSI Kiadás, 1996.
- C. J. Coates: Threshold Logic. John Wiley, 1970.

- D-C. Rine: Computer science and multiple-valued logic. North Holland, New York, 1977.
- R. H. Katz: Contemporary logic design. The Benjamin Cummings, 1994.
- L. A. Zadeh: Fuzzy sets. Information and Control. 1965.
- Dr. Bagyinszki János: Fuzzy logic. Kandó Kálmán Polytechnics. 1997.
- Cox Earl: The Fuzzy system handbook. AP-Professional, 1994.
- Vörös Gábor: Bevezetés a neurális számítástechnikába. LSI Kiadás, 1997.
- Dr. Kóczy T. László: Fuzzy Logic I. Tempus Jep 07759-94-Modify, 1997.
- Dr. Kóczy–Kovács Sz: Fuzzy Logic II. Tempus Jep 07759-94-Modify, 1997.
- Dr. Szittya Ottó: Fuzzy Flip-Flops, Functional Units, Arithmetics Tempus. Budapest–Barcelona, 1997.
- John Uffenbeck: Microcomputers and Microprocessors. Prentice Hall Inc., 1991.

---

# TÁRGYMUTATÓ

- A/D átalakító 786  
abszolút közép 50  
abszorbens állapot 349  
AC 804  
accumulátor 804  
adat-busz 803  
adatforrás 829  
adatmező 807  
adatregiszter 807  
ADD 813  
aktív szűrő 89  
alfanumerikus kijelző 435  
algoritmusok 103  
állapot-gráf 139, 348  
állapotkódolás 484, 500  
állapotminimalizálás 486  
állapotstabilitási feltétel 367, 370  
állapot-tábla 350  
ALU 804  
aluláteresztő 89  
Amper 18  
analog függvénygenerátor 263  
analog integráló 262  
analog jelek 100  
analog kivonó 261  
analog-digital átalakító 786  
analog-összeadó 261  
antivalencia 114  
árain 209  
áram 18  
áramgenerátor 26  
áramlogika 294  
áramsűrűség 22  
áramtükör 245  
aritmetikai kompaválás 752  
aritmetikai közép 50  
aritmetikai műveletvégző 698  
ASSEMBLY 811  
astabil billenőkör 286  
aszinkron hálózat 519  
aszinkron működés 333, 374  
aszinkron számláló 683  
áteresztő stabilizátor 275  
átmeneti tábla 366  
átütési feszültség 160  
átviteli karakterisztika 190  
automata-elmélet 344  
autonom automata 350  
auxiliary carry 842  
  
bázis 187  
BCD kód 662  
BCD összeadás 718  
BCD szorzás 732  
belső állapot-függvény 342  
belső ellenállás 25  
bemeneti jelleggörbe 188  
bemenő ellenállás 189, 195  
bináris kivonó 716  
bináris osztás 734  
bináris összeadó 709  
bináris sorozatdetektor 514  
bináris szorzás 721  
binér kód 662  
bipoláris tranzisztor 187  
bistabil billenőkör 281  
bit-szervezés 768  
BOÁK 385  
BOOLE 119  
BOOTH-féle szorzás 728

- Borrow 691  
BUFFER 805  
BUSY 767  
busz 298, 299  
BW 690
- CALL 819  
CAM 761  
Carry 710, 804  
cél állomás 829  
ciklusbővítés 692  
cím-busz 803  
címdekóder 767  
címregiszter 807  
címzési módozatok 820  
CLB 403  
CMOS 212  
COLPITTS 267  
COMPARE 840  
cos  $\varphi$  61  
Coulomb 11  
CPU 803  
CR 807  
CY 804
- CS 767  
csillagkapcsolás 63  
csomóponti törvény 26  
csoportokra bontás 491  
csúcsérték 49  
csúcstényező 51  
csúsztatás 575
- D/A átalakító 779  
DA 839  
DACK 11/49  
darlington 203  
DATA LOCK OUT 339  
DE MORGAN 117  
decibel 236  
DECIMAL ADJUST 839
- defuzzyfikálás 646  
dekompozíció 417  
dekrementálás 682, 806  
delta kapcsolás 63  
demultiplexer 673  
depletion 210  
DI 827  
DIAC 224  
diamágneses 34  
dielektromos állandó 12, 160  
differenciál erősítő 248  
differenciális módu üzem 250  
differenciáló elem 93  
digital-analog átalakító 779  
digitális jelek 102  
dinamikus hazard 361  
dinamikus inverter 329  
dinamikus memória 764  
diodák 176  
diódás egyenirányítás 178  
Dirac delta 73  
direkt címzés 820  
displacement 810  
diszjunktív alak 123  
diszkrimináns 445  
DMA 808, 833  
DMA vezérlő 834  
domain 35  
don't care 123  
DR 807  
DREQ 11/49  
drift 199  
D-tároló 338, 380, 383  
DTL 311  
DUAL IN LINE 310  
dualitás 121
- ECL 5/24  
EDGE TRIGGERED 338  
effektív érték 50  
egycímes utasítás 810

- egyenirányító 272  
egységugrás 71  
EI 827  
ekvivalencia 115  
ekvivalens állapot 485, 464  
elektrolit kondenzátor 166  
elektromos töltés 11  
– energia 18, 24  
– erőtér 11  
– térerősség 12  
elektronikus berendezés 144  
ellenállás szín-kód 150  
– helyettesítő kép 152  
ellenállás 19  
előjel-abszolútértékes számábrázolás 699  
előtöltéses inverter 330  
emitter 187  
emitterkövető 299  
enhancement 209  
entropia 656  
EPROM 761  
erősítő 88, 235  
ÉS 114  
EVEN 664  
EXCESS 3 kód 662  
EXCITATION MAP 365
- fajlagos ellenállás 20  
– vezetőképesség 20  
FAMOS 389  
FAN OUT 308  
Farad 15  
Faraday törvény 41  
fázisregiszteres rendszerek 562  
felfutási idő 327  
félösszeadó 723  
feltétel nélküli ugrás 816  
feltételes ekvivalencia 487  
feltételes ugrás 817  
felüláteresztő 90
- ferrit 36  
ferromágneses 34  
feszültség logika 297  
feszültség stabilizátor 275  
feszültséggenerátor 26  
FET 206  
fixpontos számábrázolás 698  
FL 802  
FLAG 804  
flag regiszter 804  
FLAT 309  
fluxus 31  
folyadékkristály 230  
forgatás 576  
formatényező 51  
fotodiód 184  
fotoellenállás 156  
fototranzisztor 218  
Fourier 65  
földelt-bázis 201  
földelt-drain 216  
földelt-emitter 195  
földelt-kollektor 202  
földelt-source 215  
frekvencia-osztó 695  
funkcionális hazard 363  
FUZZY-entropy 630  
FUZZY-flip-flop 632  
FUZZY-halmaz 615, 616  
FUZZY-irányítórendszer 642  
FUZZY-logika 612  
FUZZY-műveletek 618  
FUZZY-relációk 622
- generátor 25  
gerjedés 367  
gerjesztési tábla 366  
glate 209  
GMP 627  
Graetz kapcsolás 273  
GRAY kód 662



- HALL hatás 229  
HAMMING-kód 665  
hand-shaking 829  
hardver leíró nyelv 813  
háromállapotú elem 298, 300  
HARTLEY 267  
határozatlan eset 133  
HAZARD 357  
helyettesítési tulajdonságú partíciók 505  
Henry 32  
Hertz 49  
hét-szegmenses kijelző 435  
HEXA 662  
hibafelfedés 658  
hibajavítás 658  
hibakorlátozás  
híd kapcsolás 297, 578  
hiper sík 587  
hiszterézis görbe 34, 173  
HLDA 833  
HLT 842  
HOLD 833  
HUFFMAN tábla 349  
hurokerősítés 239  
huroktörvény 27  
huzalellenállás 146  
huzalozott kapcsolás 313
- IC kapcsoló mezők 386  
ideális kapcsoló 295  
idődiagram 347  
igazságtáblázat 108  
IMMEDIATE 820  
impedancia 58  
implikáció 115  
impulzusfüggvény 72  
IN 823  
indexelt címzés 820  
indirekt címzés 821  
indukált feszültség 41  
inhibíció 114
- iniciális állapot 348  
inkrementálás 806  
INTA 827, 839  
INTE 839  
integráló elem 94  
INTERFACE 808  
interrupt 824  
interrupt request 825  
interrupt ugráscím táblázat 826  
intuitív módszer 466  
inverter 299  
inverz tároló 140  
IO egység 803  
IP 805  
irányított gráf 348  
IT 804  
IT maszkolás 827  
IT prioritás 826  
IT szubrutin 825  
ítélet 454
- JC 817  
JFET 206  
JK-tároló 140  
JMP 816  
JOHNSON kód 662  
jósági tényező 163  
Joule 24
- kanonikus alak 123  
kapacitás 15  
kapacitás-bővítés 777  
kapacitásdióda 186  
kapcsoló üzemi tápegység 278  
kapuáramkör 303  
Karnaugh táblák 125  
kemény vasmag 175  
késleltetési idő 308  
kétpólus 87  
kimeneti állapot-függvény 342  
kimeneti ellenállás 196

- kimeneti jelleggörbe 188  
kimeneti tábla 366  
Kirchhoff 27  
kivonás komplementissal 705  
kizáró VAGY 113  
kódátalakító 667  
kódolás 654  
kódolt állapotábra 480  
kollektor 187  
kombinációs hálózat 341  
komparátor 751  
kompatibilis állapot 466, 494  
komplementes számábrázolás 701  
komplex számok 53  
kondenzátor 15  
kondenzátor színekód 168  
konjunktív alak 123  
kölsönös indukció 31  
következtetés 454  
követő 301  
közös részhálózat 413  
közösmódú üzem 251  
közvetett címzés 821  
közvetlen címzés 820  
küszöb logika 581  
kvantálási zaj 789  
kvarc oszcillátor 268  
kvázistacionárius tér 41
- lágymag 173  
Laplace 74  
latch 334  
LCA 399  
LDA 812  
lebegőpontos műveletek 746  
lebegőpontos számábrázolás 707  
LED 185  
lefutási idő 327  
lényeges hazard 372  
lépcsős táblázat 486  
léptető-regiszter 654
- logikai egyenlet 439  
logikai függvény 107  
logikai reláció 441  
logikai-algebrák 119  
logikai-műveletek 119  
LOOK AHEAD összeadó 712  
LSB 790  
LSI 305
- mágnesdioda 186  
mágneses energia 37  
mágneses gerjesztés 30  
mágneses indukció 29  
mágneses mechanikai hatás 38  
mágneses térerősség 29  
majoritás logika 596  
makrocella 399  
mantissza 707  
MASTER-SLAVE 335  
maszkolás 827  
MAX-LAB 399  
maxterm 123  
MC-CLUSKEY 410  
ME 767  
MEALY 343, 347  
megszakítás 824  
MEISSNER 267  
memória 759  
memória frissítés 766  
memória kapacitás 762  
meredekség 190  
mikroprocesszor 836  
mikroprogramozott rendszerek 555  
MILLER effektus 240  
minoritás logika 596  
mintavételezés 788  
minterm 123  
mód utasítás 831  
MODEM 828  
módosított bit-szervezés 769  
modus ponens 455

- modus tollens 455
- monostabil billenőkör 284
- MOORE 343, 347
- MOS FET 208
- MOV 816
- MSB 792
- MSI 305
- multiplexer 677
- multivibrátor 284
- munka egyenes 243
- műveleti erősítők 254
- műveleti kód 804
- MVI 816
  
- nagy impedanciájú kimenet 833
- NAND 114
- negatív logika 304
- négycímes utasításformátum 809
- négypólus 87
- nemlineáris torzítás 239
- NMOS 208
- NOP 840, 841
- NOR 114
- npn 187
- NTC 156
  
- nyelvi változó 613
- nyomtatott áramkör 144
  
- OC 11/5
- ODD 664
- OE 772
- ofszetfeszültség 253
- Ohm 19
- open collector 313
- optikai csatoló 219
- oszillátor 265
- oszlopgyakoriság 422
- osztás 734
- OUT 824
- output enable 772
  
- overflow 707
- OVF 707
  
- önindukció 31
- összeadás 709
  
- PAL 395
- paradoxon 456
- paramágneses 34
- parancs információ 831
- parancs utasítás 831
- párhuzamos interfész 829
- párhuzamos komparátor 755
- párhuzamos összeadó 712
- paritás-bit 664
- paritásképző 670
- PC 805
- PEIRCE 114
- periféria címzés 823
- periodusos jelek 48
- permeabilitás 29
- PIO 829
- PLA 389
- PLD 396
- pnp 187
- POP 820
- PORT 828
- POST függvény 597
- potenciál 14
- potenciométer 155
- pozicionális hálózat 527, 577
- pozitív logika 304
- premissza 455
- primitív állapotábra 483
- prioritás IT-nél 826
- prioritásokód 669
- program 809
- program állapot szó 805
- program-mező 806
- programszámláló 805
- PROM 761

- PSW 805  
PTC 156  
PUSH 819
- QUINE 410
- RAM 761  
RD 767  
READY 838  
reaktancia 59  
redundancia 656  
referencia feszültség 780, 787  
regiszter 654  
reiteratív hálózat 571  
relatív címzés 820  
RESET 136, 838  
részben meghatározott automata 492  
RET 819, 828  
rétegellenállás 147  
reverzibilis számláló 689  
rezisztencia 59  
rézveszteség 171  
RFRSM 767  
RIPPLE CARRY összeadó 712  
ROM 393, 514  
ROTATE 840  
RWM 761
- SAM 771  
SAR 792  
sávszűrő 92  
SCHMITT trigger 287  
SCHOTTKY dioda 181, 205  
SET 136  
SHEFFER 114  
shift-regiszter 654  
Siemens 20  
SIO 830  
sorgyakoriság 422  
sorok egyesítése 527, 529  
soros interfész 830  
soros kinonó 717  
soros komparátor 753  
soros memoria 773  
soros összeadó 711  
sorrendi hálózat 342, 811  
source követő 217  
SP 806  
speed/power 307  
SR tároló 136  
SSI 305  
ST<sup>2</sup>L 315  
STA 813  
stabilizátor 275  
STACK memoria 806  
STACK pointer 806  
STACK terület 806  
statikus hazard 358  
státusz információ 831  
súly-küszöb vektor 582
- szabadkollektoros 313  
szabályozás 642  
számláló 682  
szekunder változó 467  
szekvenciális hálózat 342  
szelektív függvény 414  
szélessávú erősítő 237  
szimbolikus gráf 574  
szimmetrikus logikai függvény 569  
szinkronizálás 374, 474  
szinuszos jelek 53  
szóhossz-bővítés 777  
szolenoid 30  
szomszédossági kód 502  
szorzás komplement kódban 728  
szó-szervezés 768  
szubfüggvény 418  
szubrutin 818  
szubsztrát 209  
szukcesszív approximáció 790  
szűrő 92

- tápegység 271
- tároló-elem 136, 5/40, 6/40
- tartó kapcsolás 788
- tekercs 171
- teljesítmény erősítő 246
- teljesítménydioda 179
- térerősség 12
- terjedési idő 306
- termoellenállás 156
- térvezérlésű tranzisztor 206
- Tesla 29
- tiltott zóna 307
- torzítás 239
- TOTEM POLE 313
- több-értékű logika 597
- TRANSFER elem 323, 328
- TRANSITION MAP 368
- transzformátor 42
- tranzisztor-dioda 221
- tranzisztor-hőfokfüggés 193
- tranzisztor-karakterisztikák 187
- tranzisztor-tetroda 223
- tranzisztor-tokozás 192
- tranzisztor-trioda 222
- TRAP 839
- TRIAC 226
- TTL 312
- túlcsordulás 707
  
- ugrás-cím táblázat 826
- ugró utasítás 816
- unáris operátor 600
- utasítás 809
  
- utasítás-formátum 809, 810
- utasításkészlet 810
- utasításregiszter 802, 805
- utasítás-számláló 805
  
- ütemdiagram 347
  
- VAGY függvény 115
- valóságos kapcsoló 295
- vasveszteség 172
- VDR 159
- végfokozat 246
- Veitch táblák 125
- vektoros ábrázolás 53
- VENN 108
- versenyfutás 369
- vezérlő busz 802
- virtuális rövidzár 255
- visszacsatolás 237
- visszacsatolási tényező 237
- V-K táblák 109
- VLSI 305
- Volt 13
  
- Watt 24
- wired 313
- WR 767
  
- XILINX 403
  
- ZADEH műveletek 619
- ZENER dioda 182

---

# TARTALOMJEGYZÉK

JELMAGYARÁZAT	9
<b>1. VILLAMOSSÁGTANI ALAPOK ÖSSZEFOGLALÁSA</b>	<b>11</b>
1.1. Sztatikus elektromos tér	11
1.1.1. Elektromos töltés	11
1.1.2. Feszültség, potenciál	13
1.1.3. Kapacitás, kondenzátor	15
1.1.4. Elektrosztatikus energia	18
1.2. Stacionárius áramlási tér	18
1.2.1. Elektromos áram, ellenállás, vezetőképesség	18
1.2.2. Térbeli áramlás	22
1.2.3. Energia és teljesítmény stacionárius áramlás esetén	24
1.2.4. Energiaforrások, hálózatok	25
1.3. Stacionárius és kvázistacionárius mágneses tér	28
1.3.1. Mágneses indukció-, térerősség, gerjesztés	28
1.3.2. Fluxus önindukció, kölcsönös indukció	31
1.3.3. Mágneses anyagok	34
1.3.4. Stacionárius mágneses tér energiaviszonyai	37
1.3.5. Mágneses tér mechanikai erőhatása	38
1.3.6. Kvázistacionárius elektromágneses tér, indukált feszültség	40
1.4. Hálózatok időfüggő áramlásjellemzők esetén	45
1.4.1. A klasszikus leírás	45
1.4.2. Energiaviszonyok időfüggő áramjellemzőknél	47
1.4.3. Időben periodikusan változó mennyiségek jellemzői	48
1.4.4. Szinuszos jelekkel működő hálózatok	52
1.4.5. Többfázisú rendszerek	62
1.4.6. Általános periodikus jelekkel működő hálózatok	65
1.4.7. Átmeneti jelenségek	70
1.5. Kétpólusok, négy-pólusok, erősítők	87
1.E. Ellenőrző kérdések és feladatok	96

<b>2. A LOGIKAI RENDSZERLEÍRÁS ALAPJAI</b> . . . . .	99
2.1. Analóg és digitális jellemzés, algoritmusok, műveletek . . . . .	99
2.2. Logikai leírásmód, műveletek, függvények . . . . .	107
2.2.1. Logikai függvények leírásmódjai . . . . .	108
2.2.2. Egy-, két, és többváltozós függvények . . . . .	111
2.2.3. Logikai műveletek, algebrák . . . . .	119
2.2.4. V – K táblák . . . . .	125
2.2.5. Részben meghatározott függvények . . . . .	133
2.2.6. Emlékezési feladatok megoldása logikai módszerekkel . . . . .	135
2.3. Digitális rendszerek kialakítása logikai modulok felhasználásával . . . . .	141
2.E. Ellenőrző kérdések és feladatok . . . . .	142
<b>3. ELEKTRONIKUS ÁRAMKÖRÖK ÉPÍTŐELEMEI</b> . . . . .	143
3.1. Alkatrészek és konstrukció . . . . .	143
3.2. Ellenállások . . . . .	145
3.2.1. Szabványos értéktáblázatok . . . . .	148
3.2.2. Teljesítményviszonyok, hőfokfüggés . . . . .	151
3.2.3. Nagyfrekvenciás viselkedés . . . . .	152
3.2.4. Lineáris–nemlineáris jelleggörbe . . . . .	153
3.2.5. Állandó és változtatható ellenállások . . . . .	154
3.2.6. Külső hatás következtében változó ellenállások . . . . .	156
3.3. Kondenzátorok . . . . .	160
3.3.1. Dielektromos állandó, átütési feszültség . . . . .	160
3.3.2. Valóságos kondenzátor. Helyettesítő kapcsolások . . . . .	162
3.3.3. Kondenzátorok hőmérsékletviszonyai . . . . .	164
3.3.4. Kondenzátorok jellegzetes típusai . . . . .	164
3.3.5. Feszültségviszonyok . . . . .	167
3.3.6. Szabványos értéktáblázatok . . . . .	168
3.3.7. Változtatható kapacitású kondenzátorok . . . . .	169
3.4. Tekercsek, induktivitás . . . . .	171
3.4.1. Tekercsek működési veszteségei . . . . .	171
3.4.2. Lágymag- és keményvasmagos tekercsek . . . . .	173
3.5. Félvezető diódák . . . . .	176
3.5.1. Karakterisztika, főbb jellemzők . . . . .	176
3.5.2. Nagyfrekvenciás és dinamikus viselkedés . . . . .	179
3.5.3. Teljesítménydiódák . . . . .	179
3.5.4. Különleges diódák . . . . .	180
3.6. Bipoláris tranzisztorok . . . . .	187
3.6.1. Karakterisztikák, főbb jellemzők . . . . .	187
3.6.2. Tranzisztorok, mint alkatrészek . . . . .	192

3.6.3. Tranzisztor alapkapcsolások	195
3.6.4. Bipoláris tranzisztor, mint kapcsolóeszköz	204
3.7. Térvezérlésű tranzisztorok	206
3.7.1. JFET eszközök	206
3.7.2. MOSFET eszközök	208
3.7.3. Jellemzők, paraméterek	210
3.7.4. CMOS eszközök	212
3.7.5. Működési sebesség, kapcsoló üzemmód	214
3.7.6. Alapkapcsolások FET eszközökkel	215
3.8. Különleges eszközök	217
3.8.1. Fototranzisztorok, optikai csatolók, fényelemek	217
3.8.2. A tirisztor család	220
3.8.3. Hall hatáson alapuló eszközök	229
3.8.4. Folyadékkristályos kijelzők	230
3.E. Ellenőrző kérdések és feladatok	232

## 4. JELLEGZETES ELEKTRONIKUS ÁRAMKÖRÖK 235

4.1. Erősítők	235
4.1.1. Általános jellemzők, ideális erősítő	235
4.1.2. Visszacsatolás	237
4.1.3. A Miller effektus	240
4.1.4. Munkaegyenes, kivezérelhetőség	243
4.1.5. Áramtükrök	245
4.1.6. Többfokozatú erősítők	246
4.1.7. Teljesítményerősítők	246
4.1.8. FET realizáció sajátosságai	247
4.2. Differenciálerősítők	248
4.2.1. Differenciális módú üzemeles	250
4.2.2. Közös módú üzemeles	251
4.2.3. Ofszettefeszültség	252
4.3. Műveleti erősítők	254
4.3.1. Ideális és valóságos műveleti erősítő	255
4.3.2. Kapcsolási változatok	257
4.3.3. Visszacsatolt műveleti erősítők	259
4.3.4. Műveletmegoldási feladatok	261
4.3.5. Műveleti erősítők frekvenciaviszonyai	264
4.4. Oszcillátorok	265
4.4.1. Az oszcilláció feltételei	265
4.4.2. Klasszikus oszcillátor típusok	266
4.4.3. Kvarc oszcillátorok	268



4.5. Tápegységek, stabilizátorok . . . . .	271
4.5.1. Egyenirányítók . . . . .	272
4.5.2. Analóg stabilizátorok . . . . .	274
4.5.3. Kapcsoló–üzemű tápegységek . . . . .	278
4.6. Billenő áramkörök . . . . .	281
4.6.1. Bistabil billenőkörök . . . . .	281
4.6.2. Monostabil billenőkörök . . . . .	284
4.6.3. Astabil billenőkörök . . . . .	286
4.6.4. Schmitt triggerek . . . . .	287
4.E. Ellenőrző kérdések és feladatok . . . . .	290
<b>5. DIGITÁLIS ÁRAMKÖRÖK . . . . .</b>	<b>293</b>
5.1. Kapcsolók és integrált áramkörök . . . . .	293
5.1.1. Áramlogikás hálózatok . . . . .	294
5.1.2. Feszültséglogikás hálózatok . . . . .	297
5.1.3. Integrált áramkörök általános kérdései . . . . .	305
5.2. Bipoláris integrált áramkörök . . . . .	312
5.2.1. A $T^2L$ család . . . . .	312
5.2.2. Az $ST^2L$ család . . . . .	315
5.2.3. Az ECL család . . . . .	316
5.3. MOS integrált áramkörök . . . . .	320
5.3.1. MOS inverterek és kapuáramkörök . . . . .	320
5.3.2. CMOS inverterek és kapuáramkörök . . . . .	324
5.3.3. MOS elemek dinamikus tulajdonságai . . . . .	329
5.4. Tároló áramkörök és jellemzőik . . . . .	331
5.4.1. A két alapáramkör . . . . .	331
5.4.2. Realizációs kérdések . . . . .	332
5.4.3. Vezérlési módok . . . . .	338
5.E. Ellenőrző kérdések és feladatok . . . . .	340
<b>6. DIGITÁLIS HÁLÓZATOK . . . . .</b>	<b>341</b>
6.1. Definíciók . . . . .	341
6.1.1. Digitális hálózatok jellemzése automataelméleti módszerekkel . . . . .	344
6.1.2. Automaták leírásmódjai . . . . .	347
6.1.3. Néhány jellegzetes automata-típus . . . . .	350
6.1.4. Egy szemléltető példa . . . . .	351
6.2. Az áramköri késleltetések befolyása a digitális hálózatok működésére . . . . .	355
6.2.1. A késleltetések hatása kombinációs hálózatoknál . . . . .	356

6.2.2. A késleltetések és visszacsatolások együttes hatása sorrendi hálózatoknál. Jellemző táblák	365
6.2.3. Versenyfutási jelenségek	369
6.2.4. A „lényeges” hazard	372
6.2.5. Aszinkron és szinkron sorrendi hálózatok	374
6.3. Tárolóelemek, mint automaták	379
6.4. Digitális hálózatok realizációs kérdései	384
6.4.1. IC-kapcsoló mezők	386
6.4.2. PLA, ROM, PAL	389
6.4.3. PLD	396
6.E. Ellenőrző kérdések	406
<b>7. KOMBINÁCIÓS HÁLÓZATOK KIALAKÍTÁSI KÉRDÉSEI</b>	<b>409</b>
7.1. Matematikai minimál alakon alapuló hálózatok	409
7.1.1. A minimál alak előállítása táblázatos módszerrel	410
7.1.2. A részben meghatározott (DON'T CARE) esetek kezelése táblázatos módszernél	413
7.2. Közös részhálózatok kialakítása	413
7.3. Dekompozíció	417
7.3.1. Egyszerű diszjunkt dekompozíció	418
7.3.2. Összetett diszjunkt-dekompozíció	426
7.4. A realizációs eszközkészlet hatása a hálózat kialakítására	431
7.5. Logikai egyenletek felhasználása kombinációs hálózatok kialakításánál	439
7.5.1. Logikai egyenletek és egyenlőtlenségek	440
7.5.2. Algebrai megoldás	442
7.5.3. Grafikus megoldás	445
7.5.4. Példa egyenlőtlenségre	452
7.5.5. Logikai ítéletek, következtetések és egyenletek	454
7.E. Ellenőrző kérdések	460
<b>8. SORRENDI HÁLÓZATOK KIALAKÍTÁSI KÉRDÉSEI</b>	<b>463</b>
8.1. A kialakítással kapcsolatos elvi szintű megfontolások	463
8.1.1. A hálózat-kialakítás egy klasszikus, intuitív útja	466
8.2. Szinkron sorrendi hálózatok kialakítása	474
8.2.1. Teljesen meghatározott hálózatok	476
8.2.2. Részben meghatározott hálózatok	492
8.2.3. Állapotkódolási kérdések	500
8.2.4. Realizációs kérdések	511
8.2.5. Egy összefoglaló feladat	514

8.3. Aszinkron sorrendi hálózatok kialakítása . . . . .	519
8.3.1. A hálózatkiakítás főbb mozzanatai . . . . .	521
8.3.3. Egy szisztematikus módszerrel megoldott feladat . . . . .	530
8.3.3. A tranziensek okozta problémák aszinkron feladatok állapotkódolásánál . . . . .	536
8.3.4. A bemeneti- és belső késleltetések, valamint a lényeges hazard hatása az állapotkódolásra . . . . .	552
8.3.5. Realizációs kérdések . . . . .	552
8.4. Mikroprogramozott és fázisregiszteres elven felépülő sorrendi hálózatok . . . . .	554
8.4.1. Mikroprogramozott rendszerek . . . . .	555
8.4.2. Fázisregiszteres rendszerek . . . . .	562
8.E. Ellenőrző kérdések . . . . .	567
<b>9. KÜLÖNLEGES DIGITÁLIS HÁLÓZATOK . . . . .</b>	<b>569</b>
9.1. Szimmetrikus-, pozicionális- és híd-hálózatok . . . . .	569
9.1.1. Szimmetrikus függvények és hálózatok . . . . .	569
9.1.2. Pozicionális hálózatok . . . . .	577
9.1.3. Híd-struktúrák . . . . .	578
9.2. Küszöb-logikás hálózatok . . . . .	581
9.2.1. Küszöb-elem, küszöbfüggvény . . . . .	581
9.2.2. Egyszerű és összetett küszöbfüggvények . . . . .	584
9.2.3. Geometriai ábrázolás és lineáris szeparálhatóság . . . . .	585
9.2.4. Identifikációs algoritmus . . . . .	587
9.2.5. Összetett küszöbfüggvények szintézise . . . . .	591
9.2.6. Összefoglalás . . . . .	594
9.3. Majoritás és minoritás-logikák . . . . .	596
9.4. Többértékű logikák . . . . .	597
9.4.1. A POST függvény fogalma és a vele kapcsolatos műveletek . . . . .	597
9.4.2. Többértékű függvények minimalizálása . . . . .	605
9.4.3. Megjegyzések, realizációs kérdések . . . . .	610
9.5. Fuzzy-logikák . . . . .	612
9.5.1. Fuzzy-halmazok és műveletek . . . . .	615
9.5.2. Fuzzy relációk . . . . .	622
9.5.3. FUZZY flip-flopok elvi működése és realizációja . . . . .	632
9.5.4. Fuzzy logikák irányítástechnikai alkalmazása . . . . .	641
9.E. Ellenőrző kérdések . . . . .	647

<b>10. FUNKCIONÁLIS EGYSÉGEK</b> . . . . .	651
10.1. Regiszterek . . . . .	651
10.2. Kódolás, kódátalakítók . . . . .	654
10.2.1. Információelméleti alapfogalmak . . . . .	654
10.2.2. Kódolási alapok . . . . .	657
10.2.3. Alkalmazott kódrendszerek . . . . .	661
10.2.4. Kódátalakítók . . . . .	667
10.3. Demultiplexerek . . . . .	673
10.3.1. Adatelosztás . . . . .	674
10.3.2. Kódátalakítás . . . . .	674
10.3.3. Demultiplexerek összekapcsolása . . . . .	677
10.4. Multiplexerek . . . . .	677
10.4.1. Adatkiválasztás . . . . .	678
10.4.2. Logikai feladatmegoldás . . . . .	678
10.4.3. Multiplexerek összekapcsolása . . . . .	680
10.5. Számlálók . . . . .	682
10.5.1. Aszinkron előreszámlálók . . . . .	683
10.5.2. Szinkron előreszámlálók . . . . .	684
10.5.3. „Hátra”-számlálók . . . . .	687
10.5.4. Reverzibilis számlálók . . . . .	689
10.5.5. Számlálók kialakítása adott feladatra . . . . .	691
10.5.6. Számlálókkal felépített frekvencia-osztók . . . . .	695
10.6. Aritmetikai műveletvégzők . . . . .	698
10.6.1. Számábrázolás . . . . .	698
10.6.2. Bináris összeadók és kivonók . . . . .	709
10.6.3. BCD számábrázolás és összeadás . . . . .	718
10.6.4. Bináris szorzás . . . . .	721
10.6.5. BCD szorzás . . . . .	732
10.6.6. Bináris osztás . . . . .	734
10.6.7. Műveletek lebegőpontos bináris számokkal . . . . .	746
10.7. Digitális komparátorok, összehasonlító . . . . .	751
10.7.1. Elvi működés . . . . .	751
10.7.2. Soros elven működő komparátorok . . . . .	753
10.7.3. Párhuzamos elven működő komparátorok . . . . .	755
10.7.4. Komparátorok összekapcsolása . . . . .	756
10.8. Memóriák . . . . .	759
10.8.1. Elvi működés, főbb jellemzők, csoportosítás . . . . .	759
10.8.2. Memória-cellák felépítése és működése . . . . .	762
10.8.3. Memória-egységek felépítése . . . . .	766
10.8.4. Memóriák szervezése . . . . .	768

10.8.5. Aszociatív memóriák	774
10.8.6. Memóriák összekapcsolása	777
10.9. Digitál-Analóg átalakítók	779
10.9.1. Elvi működés, általános blokkvázlat	779
10.9.2. Kapcsoló- és ellenálláshálózatok	781
10.9.3. Jellegzetes megvalósítási esetek	782
10.9.4. Alkalmazások	785
10.10. Analóg-Digitál átalakítók	786
10.10.1. Elvi működés, mintavételezés	787
10.10.2. A/D átalakítók alaptípusai	789
10.10.3. Jellegzetes megvalósítási esetek	790
10.10.4. Egy összetett alkalmazási példa	795
10.E. Ellenőrző kérdések és feladatok	796

## **11. SZOFTVER ÉS HARDVER VEGYES ALKALMAZÁSÁN ALAPULÓ DIGITÁLIS RENDSZEREK** . . . . . 801

11.1. Általános megfontolások	801
11.2. A rendszer hardver összetevői	803
11.2.1. CPU–Central Processing Unit (Központi feladat- megoldó egység)	803
11.2.2. MEMORIA-egység	807
11.2.3. IO – INPUT–OUTPUT egységek	808
11.3. A rendszer szoftver összetevői	809
11.3.1. Program és utasítások	809
11.3.2. Az utasításvégrehajtás hardver lépései és az utasításkészlet	810
11.4. A CPU és az IO-egységek kapcsolata	823
11.4.1. IO-egységek címzése	823
11.4.2. Az INTERRUPT. Program-megszakítás	824
11.4.3. IO INTERFÉSZ feladatok	828
11.5. A MEMORIA és az IO-egységek kapcsolata	832
11.5.1. Kapcsolat a CPU közreműködésével	832
11.5.2. Közvetlen MEM–IO-kapcsolat	833
11.6. Egy professzionális, univerzális, digitális berendezés szemléltető bemutatása	836
11.6.1. A HW felépítése	837
11.6.2. Az utasításkészlet	839
11.6.3. Szemléltető feladatok	843
11.E. Ellenőrző kérdések	850

<b>12. GYAKORLÓ FELADATOK ÉS MEGOLDÁSAIK</b> . . . . .	851
12.1.1. · Gyakorló feladatok az 1. „Villamosságtani alapok” c. fejezethez . . . . .	851
12.1.2. · Feladatmegoldások az 1. fejezethez . . . . .	853
12.2.1. · Gyakorló feladatok a 2. „Logikai rendszerleírás alapjai” c. fejezethez . . . . .	863
12.2.2. · Feladatmegoldások a 2. fejezethez . . . . .	866
12.3.1. · Gyakorló feladatok a 3. „Elektronikus áramkörök építőelemei” c. fejezethez . . . . .	873
12.3.2. · Feladatmegoldások a 3. fejezethez . . . . .	875
12.4.1. · Gyakorló feladatok a 4. „Jellegzetes elektronikus áramkörök” c. fejezethez . . . . .	883
12.4.2. · Feladatmegoldások a 4. fejezethez . . . . .	888
12.5.1. · Gyakorló feladatok az 5. „Digitális áramkörök” c. fejezethez . . . . .	904
12.5.2. · Feladatmegoldások az 5. fejezethez . . . . .	905
12.6.1. · Gyakorló feladatok a 6. „Digitális hálózatok” c. fejezethez . . . . .	910
12.6.2. · Feladatmegoldások a 6. fejezethez . . . . .	915
12.7.1. · Gyakorló feladatok a 7. „Kombinációs hálózatok kialakítási kérdései” c. fejezethez . . . . .	934
12.7.2. · Feladatmegoldások a 7. fejezethez . . . . .	936
12.8.1. · Gyakorló feladatok a 8. „Sorrendi hálózatok kialakítási kérdései” c. fejezethez . . . . .	953
12.8.2. · Feladatmegoldások a 8. fejezethez . . . . .	957
12.9.1. · Gyakorló feladatok a 9. „Különleges digitális hálózatok” c. . fejezethez . . . . .	980
12.9.2. · Feladatmegoldások a 9. fejezethez . . . . .	982
12.10.1. Gyakorló feladatok a 10. „Funkcionális egységek” c. fejezethez . . . . .	999
12.10.2. Feladatmegoldások a 10. fejezethez . . . . .	1003
12.11.1. Gyakorló feladatok a 11. „Szoftver és hardver vegyes alkalmazásán alapuló digitális rendszerek” c. fejezethez . . . . .	1036
12.11.2. Feladatmegoldások a 11. fejezethez . . . . .	1037
 <b>NÉHÁNY TÁJÉKOZTATÓ IRODALMI FORRÁS</b> . . . . .	 1045
<b>TÁRGYMUTATÓ</b> . . . . .	1047
<b>ÖSSZESÍTETT TARTALOMJEGYZÉK</b> . . . . .	1055



# GÁBOR DÉNES FŐISKOLA

## MŰKÖDÉSI HELYEI

### Budapest Informatikai Rendszerek Intézete:

Vezető: *Dr. Kovács Magda*  
1037 Budapest, Bécsi út 324.  
Információ

Tel.: 06-1-436-65-19; Fax: 06-1-436-65-28  
Honlap: [www.gdf.hu](http://www.gdf.hu)

### Informatikai Alkalmazások Intézete:

Vezető: *Dr. Zárda Sarolta*  
1115 Budapest, Etele út 68.  
Tanulmányi Osztály

Tel.: 06-1-203-02-83; 06-1-203-03-04/8900  
E-mail: [tanoszt@gdf.hu](mailto:tanoszt@gdf.hu) Honlap: [www.gdf.hu](http://www.gdf.hu)

### Ajka Vezető: *Kovács Sándor*

Tel.: 06-88-453-948, 06-30-3902-576;

### Baja Vezető: *Búcsú Lajos*

6500 Baja, Oltványi u. 14.

Tel./Fax: 06-79-426-427; E-mail: [oktatas@fit.hu](mailto:oktatas@fit.hu)  
Honlap: [www.fit.hu](http://www.fit.hu)

### Balatonboglár Vezető: *Lakos István*

8630 Balatonboglár, Szabadság u. 41.

Tel.: 06-85-351-633; 06-30-2544-995;  
Tel./Fax: 06-85-351-316 E-mail: [lakist@mathiasz.sulinet.hu](mailto:lakist@mathiasz.sulinet.hu)  
Honlap: [www.extra.hu/balatonboglár](http://www.extra.hu/balatonboglár)

### Békéscsaba Vezető: *Kovács Zoltánné*

5600 Békéscsaba, Andrásy u. 73/1.

Tel.: 06-66-448-385; 06-30-3552-039;  
Fax: 06-66-448-385; E-mail: [gdf-bkk@nap-szam.hu](mailto:gdf-bkk@nap-szam.hu)  
Honlap: [www.gdf-bkk-03.nap-szam.hu](http://www.gdf-bkk-03.nap-szam.hu)

### Cegléd Vezető: *Sági Ferenc*

2700 Cegléd, Kossuth F.u. 32.

Tel.: 06-20-9575-958;  
Tel./Fax: 06-53-311-695; E-mail: [sagif@infotars.hu](mailto:sagif@infotars.hu)  
Honlap: [www.extra.hu/gdf-cegled](http://www.extra.hu/gdf-cegled)

### Debrecen Vezető: *Kovács Jánosné*

4029 Debrecen, Maróthy Gy. u. 5-7.

Tel./Fax: 06-52-418-660; E-mail: [gdf@cts.hu](mailto:gdf@cts.hu)  
Honlap: [www.cts.hu](http://www.cts.hu)

### Dunaújváros Szervezése Székesfehérváron

Vezető: *Róth Péter*

8000 Székesfehérvár, Mátyás király krt. 5.

Tel./Fax: 06-22-348-542; E-mail: [roker@mail.axelero.hu](mailto:roker@mail.axelero.hu)

### Eger Vezető: *Csathó Csaba*

3300 Eger, Széchenyi u. 58.

Tel.: 06-30-9581-822; Tel./Fax: 06-36-411-811;

E-mail: [sprinter@mail.agria.hu](mailto:sprinter@mail.agria.hu) Honlap: <http://sprinter.agria.hu>

### Esztergom Vezető: *Fűrész Tiborné*

2500 Esztergom, Bánomi út 8.

Tel./Fax: 06-1-230-43-76; 06-20-3518-601;

E-mail: [fureszt@axelero.hu](mailto:fureszt@axelero.hu) Honlap: [web.axelero.hu/fureszt](http://web.axelero.hu/fureszt)

### Érd Vezető: *Budai Csaba*

2030 Érd, Széchenyi tér 1.

Tel./Fax: 06-20-9344-770; 06-1-283-79-79;

E-mail: [budacs@axelero.hu](mailto:budacs@axelero.hu)

### Gyöngyös Vezető: *Gerják István*

3200 Gyöngyös Körösi Csoma S. u. 9.

Tel./Fax: 06-37-303-683; 06-30-9585-488

E-mail: [gerjak@mail.datanet.hu](mailto:gerjak@mail.datanet.hu), [trivium@tvnetwork.hu](mailto:trivium@tvnetwork.hu)

### Győr Vezető: *Domonkos Gyuláné*

9021 Győr, Árpád u. 2.

Tel.: 06-96-550-200; Fax: 06-96-550-201

E-mail: [etelka@gdfgyor.axelero.net](mailto:etelka@gdfgyor.axelero.net) Honlap: [www.gdfgyor.axelero.net](http://www.gdfgyor.axelero.net)

### Hódmezővásárhely Vezető: *Dr. Gál József*

6800 Hódmezővásárhely, Szántó K. J. u. 64.

Tel.: 06-62-535-536; 06-30-3135-873;

Fax: 06-62-535-530; E-mail: [imsuli@delfin.hu](mailto:imsuli@delfin.hu)

Honlap: [www.gdf.vasarhely.hu](http://www.gdf.vasarhely.hu)

### Isaszeg Vezető: *Keresztúri Jusztiána*

2117 Isaszeg, Madách u. 1/a

Tel./Fax: 06-28-496-206; E-mail: [gdfisa@mail.sziszi.hu](mailto:gdfisa@mail.sziszi.hu)

### Kaposvár Vezető: *dr. Paál Jenő*

7400 Kaposvár, Guba S. u. 36-40.

Tel.: 06-82-314-155/147; 06-82-424-339;

Fax: 06-82-320-757; E-mail: [posane@atk.kaposvar.pate.hu](mailto:posane@atk.kaposvar.pate.hu)

### Kecskemét Vezető: *Pósfayné Bakota Éva*

6000 Kecskemét, Hunyadi János tér 2.

Tel.: 06-76-411-494; 06-20-9762-100; 06-20-9935-735;

Fax: 06-76-411-041; E-mail: [gdfkecsk@axelero.hu](mailto:gdfkecsk@axelero.hu)

### Kisvárd Vezető: *Meskó Marianna*

4600 Kisvárd, Szent László út 27.

Tel.: 06-45-500-290; Fax: 06-45-500-291;

E-mail: [info@felveteliiroda.hu](mailto:info@felveteliiroda.hu) Honlap: [www.felveteliiroda.hu](http://www.felveteliiroda.hu)

### Keszthely Vezető: *dr. Vargáné Dugonics Rita*

8360 Keszthely, Deák F. u. 57.

Tel.: 06-83-312-330/262; 06-83-312-330/290; 06-30-2165-583

Fax: 06-83-314-334; E-mail: [vdr@georgikon.hu](mailto:vdr@georgikon.hu)

### Mátészalka Vezető: *Pethő Mária Terézia*

4700 Mátészalka, Seregély u. 17/A.

Tel.: 06-44-417-889; 06-20-9743-125; 06-20-3663-669

Tel./Fax: 06-44-417-889;

E-mail: [fic@okito.hu](mailto:fic@okito.hu), [info@okito.hu](mailto:info@okito.hu) Honlap: [www.okito.hu](http://www.okito.hu)

### Miskolc Vezető: *Dr. Czap László*

3535 Miskolc, Árpád u. 2.

Tel.: 06-20-3132-869; Tel./Fax: 06-46-414-429;

E-mail: [czap@mazsola.iit.uni-miskolc.hu](mailto:czap@mazsola.iit.uni-miskolc.hu)

Honlap: <http://gdfm.homeip.net>

**Nagykanizsa** Vezető: *Németh Zoltán*  
8800 Nagykanizsa, Ady Endre u. 74/a  
Tel.: 06-93-312-383; 06-93-313-010/730; 06-30-9370-605;  
Fax: 06-93-310-107; E-mail: [nemethz.gdf@chello.hu](mailto:nemethz.gdf@chello.hu)

**Nyíregyháza** Vezető: *Méhész János*  
4400 Nyíregyháza, Vasvári Pál u. 1.  
Tel.: 06-42-407-027; 06-42-406-850; 06-20-3559-390;  
Fax: 06-42-406-848; E-mail: [szuvnyirseg@chello.hu](mailto:szuvnyirseg@chello.hu)  
Honlap: [www.freeweb.hu/gdf-nyhz](http://www.freeweb.hu/gdf-nyhz)

**Pápa** Vezető: *Gerics Erzsébet*  
8500 Pápa, Budai Nagy Antal u. 1.  
Tel.: 06-20-9583-058; Tel/Fax: 06-89-311-297;  
E-mail: [gerics@gege-comp.hu](mailto:gerics@gege-comp.hu) Honlap: [www.gege-comp.hu](http://www.gege-comp.hu)

**Pécs** Vezető: *Kedves Vera*  
7624 Pécs, Tiborc u. 38/c  
Tel.: 06-72-213-412; Fax: 06-72-310-259;  
E-mail: [gdfpecs@axelero.hu](mailto:gdfpecs@axelero.hu)

**Pilisvörösvár** **Szervezése Esztergomban**  
Vezető: *Fűrész Tiborné*  
2500 Esztergom, Bánomi út. 8.  
Tel./Fax: 06-1-230-43-76; 06-20-3518-601;  
E-mail: [fureszt@axelero.hu](mailto:fureszt@axelero.hu) Honlap: [web.axelero.hu/fureszt](http://web.axelero.hu/fureszt)

**Salgótarján** Vezető: *dr. Agócs József*  
3100 Salgótarján, Kossuth u. 8.  
Tel.: 06-32-416-833; Fax: 06-32-317-420;  
E-mail: [jozsef.agocs@ncsszi.hu](mailto:jozsef.agocs@ncsszi.hu)

**Sátoraljaújhely** **Szervezése Mátészalkán**  
Vezető: *Pethő Mária Terézia*  
4700 Mátészalka, Seregély u. 17/A.  
Tel.: 06-20-9743-125; 06-20-3663-669;  
Tel./Fax: 06-44-417-889; E-mail: [info@okito.hu](mailto:info@okito.hu)

**Siófok** **Szervezése Székesfehérváron**  
Vezető: *Róth Péter*  
8000 Székesfehérvár, Mátyás király krt. 5.  
Tel./Fax: 06-22-348-542; E-mail: [roker@mail.axelero.hu](mailto:roker@mail.axelero.hu)

**Sopron** Vezető: *Dr. Molnár László*  
9400 Sopron, Bajcsy-Zsilinszky u. 4.  
Tel.: 06-99-518-182; 06-30-4112-941;  
Fax: 06-99-518-259; E-mail: [molnarl@fmk.nyme.hu](mailto:molnarl@fmk.nyme.hu)

**Szeged** Vezető: *Malincsák János*  
6720 Szeged, Kígyó u. 4.  
Tel: 06-20-9245-756; Tel./Fax: 06-62-423-258,  
E-mail: [malinca@tvnetwork.hu](mailto:malinca@tvnetwork.hu), [gdfszeged@tvnetwork.hu](mailto:gdfszeged@tvnetwork.hu)  
Honlap: [www.gdfszeged.hu](http://www.gdfszeged.hu)

**Szekszárd** Vezető: *Doszkocs László*  
7100 Szekszárd, Rákóczi u. 70.  
Tel./Fax: 06-74-413-435; E-mail: [gdf@kvantum.hu](mailto:gdf@kvantum.hu)  
Honlap: <http://gdf.kvantum.hu/>

**Székesfehérvár** Vezető: *Róth Péter*  
8000 Székesfehérvár, Mátyás király krt. 5.  
Tel./Fax: 06-22-348-542; E-mail: [roker@mail.axelero.hu](mailto:roker@mail.axelero.hu)

**Szolnok** Vezető: *Nyáry László*  
5000 Szolnok, Arany J. u. 4.  
Tel.: 06-56-375-122; Fax: 06-56-511-262;  
E-mail: [titgdf@externet.hu](mailto:titgdf@externet.hu)

**Szombathely** **Nyílt nap helye:**  
POTE Szhelyi Képzési Kp. Jókai Mór u. 14.  
Vezető: *Csicseri Andrea*  
9700 Szombathely, Kisfaludy u. 51.  
Tel.: 06-94-501-894; 06-20-9910-357; Fax: 06-94-501-899;  
E-mail: [gdf\\_akt@flagnet.hu](mailto:gdf_akt@flagnet.hu) Honlap: [www.flagnet.hu](http://www.flagnet.hu)

**Tatabánya** Vezető: *Gimesi Lászlóné*  
2800 Tatabánya, Vértanúk tere 13.  
Tel./Fax: 06-34-510-460; 06-20-9625-047;  
E-mail: [gnkft@axelero.hu](mailto:gnkft@axelero.hu)

**Vác** Vezető: *Dr. Molnár Lajos*  
2601 Vác, Németh László u.4-6.  
Tel.: 06-27-317-077; 06-27-317-886; Fax: 06-27-315-093;  
E-mail: [boronkay@vac.hu](mailto:boronkay@vac.hu)

**Veszprém** Vezető: *Nagyné László Mária*  
8201 Veszprém, Egyetem u. 10.  
Tel.: 06-88-422-022/4191; 06-20-5636-777;  
Fax: 06-88-422-022/4452; E-mail: [laszlo@almos.vein.hu](mailto:laszlo@almos.vein.hu)

**Zalaegerszeg** Vezető: *Dr. Sárvarnyé Kiss Katalin*  
8900 Zalaegerszeg, Rákóczi u. 4-8.  
Tel.: 06-92-311-229; 06-20-9225-546; Fax: 06-92-510-590;  
E-mail: [zeggdf@szam.hu](mailto:zeggdf@szam.hu) Honlap: [www.szam.hu](http://www.szam.hu)

#### Határon túli központok:

##### Románia

###### Erdélyi központok szervezése Kolozsváron (Cluj-Napoca)

Vezető: *Dr. Selinger Sándor*  
Románia, 3400 Cluj-Napoca str.: I. Budai Deleanu 64.  
Levélcím: OFP 5. CP 737

Tel./Fax: 00-40/2-64-431-841; E-mail: [gdf@gdf.ro](mailto:gdf@gdf.ro)

Honlap: [www.gdf.ro](http://www.gdf.ro)

###### Csíkszereda (Miercurea Ciuc)

###### Kolozsvár (Cluj-Napoca)

###### Marosvásárhely (Târgu-Mureş)

###### Nagyvárad (Oradea)

###### Sepsiszentgyörgy (Sfântu-Gheorghe)

###### Szatmárnémeti (Satu-Mare)

###### Székelyudvarhely (Odorheiu-Secuiesc)

##### Szerbia-Montenegro

###### Szabadka (Subotica)

Vezető: *Bóni László*

24000 Szabadka, Szegedi út 74. Szerbia-Montenegro

Tel.: 00-381-24-546-067; 00-381-24-546-463;

Fax: 00-381-24-546-021; E-mail: [imc@magnetron.co.yu](mailto:imc@magnetron.co.yu)

##### Szlovákia

###### Kassa (Košice)

Vezető: *Dr. Kiss Imre*

04001 Košice, Moyzesova 58., Slovenská Republika,

Tel.: 00-421-55-727-4435, Fax: 00-421-55-727-4429;

E-mail: [kiss@teledom.sk](mailto:kiss@teledom.sk) Honlap: [www.teledom.sk](http://www.teledom.sk)

###### Diószeg Sládkovičovo Vezető: *Ladislav Spalek*

92521 Sládkovičovo, Fučíkova ul. 269.

Slovenská Republika

Tel.: 00-421-31-788-1733; 00-421-31-788-1712;

Fax: 00-421-31-788-1710;

E-mail: [ladislav.spalek@ivosr.sk](mailto:ladislav.spalek@ivosr.sk), [takacsatti@hotmail.com](mailto:takacsatti@hotmail.com)